

การศึกษาต้นแบบช่องเปิดสำหรับอาคารในเขตวิถีอนชีน

นายวราุณ ศรีวัช្យวัช

สถาบันวิทยบริการ อพกองกรอเมืองวิทยาลัย

วิทยานิพนธ์นี้เป็นส่วนหนึ่งของการศึกษาตามหลักสูตรปวสญาสถาปัตยกรรมศาสตรมหาบัณฑิต

สาขาวิชาสถาปัตยกรรม ภาควิชาสถาปัตยกรรมศาสตร์

คณะสถาปัตยกรรมศาสตร์ จุฬาลงกรณ์มหาวิทยาลัย

ปีการศึกษา 2550

ลิขสิทธิ์ของจุฬาลงกรณ์มหาวิทยาลัย

A STUDY OF FENESTRATION PROTOTYPES FOR HOT-HUMID CLIMATE BUILDING

Mr. Voravut Siriratchata

สถาบันวิทยบริการ

A Thesis Submitted in Partial Fulfillment of the Requirements
for the Degree of Master of Architecture Program in Architecture

Department of Architecture

Faculty of Architecture

Chulalongkorn University

Academic Year 2007

Copyright of Chulalongkorn University

หัวขอวิทยานิพนธ์
โดย
สาขาวิชา
อาจารย์ที่ปรึกษา

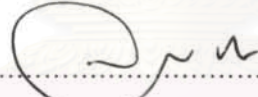
การศึกษาด้านแบบช่องเปิดสำหรับอาคารในเขตอุตสาหกรรม
นายวราภรณ์ ศิริรัชญะ^{*}
สถาบันปัจจัย
ศาสตราจารย์ ดร. สุนทร บุญญาธิการ

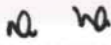
คณะกรรมการคัดเลือกผู้เข้าแข่งขัน
คณะกรรมการคัดเลือกผู้เข้าแข่งขัน
คณบดีคณะสถาปัตยกรรมศาสตร์ ฯพลังกรณ์มหาวิทยาลัย อนุมัติให้นับวิทยานิพนธ์ฉบับนี้เป็น^{*}
ส่วนหนึ่งของการศึกษาตามหลักสูตรบริณญาณ nabnithit

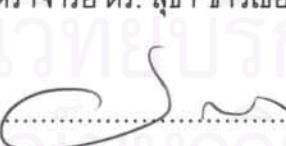

..... คณบดีคณะสถาปัตยกรรมศาสตร์
(ศาสตราจารย์ ดร. บันพิท จุลาสัย)

คณะกรรมการสอบวิทยานิพนธ์


..... ประธานกรรมการ
(รองศาสตราจารย์ ดร. นวัลิต นิตยะ)


..... อาจารย์ที่ปรึกษาวิทยานิพนธ์
(ศาสตราจารย์ ดร. สุนทร บุญญาธิการ)


..... กรรมการภายนอกมหาวิทยาลัย
(รองศาสตราจารย์ ดร. สุชา ขาวเมือง)


..... กรรมการ
(รองศาสตราจารย์ ดร. วรสันต์ บูรณะกุญจน์)


..... กรรมการ
(ผู้ช่วยศาสตราจารย์ ดร. อรรถนา เศรษฐบุตร)

**วารุณี ศิริรัชภูวะ : การศึกษาต้นแบบของเปิดสำหรับอาคารในเขตร้อนชื้น. (A STUDY OF FENESTRATION PROTOTYPES FOR HOT-HUMID CLIMATE BUILDING) อ. ที่ปรึกษา :
ศ. ดร. สุนทร บุญญาธิกา, 254 หน้า.**

การออกแบบของเปิดในปัจจุบันมีปัญหาหลายประการ โดยเฉพาะอย่างยิ่ง การใช้แสงธรรมชาติ การป้องกันความร้อน-หน้าว การติดตั้งล่าช้าอย่างยาก และการตู้แรกรักษาลำบาก ทำให้ผู้ออกแบบไม่สามารถใช้ประโยชน์ของซ่องเปิดได้อย่างเหมาะสม การวิจัยนี้มีจุดประสงค์เพื่อสรุณหต้นแบบของเปิดสำหรับอาคารในเขตร้อนชื้น ที่สามารถลดพลังงานไฟฟ้าจากแสงธรรมชาติมากกว่าใช้พลังงานเพื่อขัดความร้อนจากซ่องเปิด ผลงานให้ซ่องเปิดได้กำไรงาน พลังงาน ชั้นตอนการวิจัยเป็นการศึกษาการใช้แสงธรรมชาติตัววิธีสร้างแบบจำลองทางกายภาพ และการศึกษาการถ่ายเทความร้อนตัววิธีจำลองสภาพแวดล้อม โดยเปรียบเทียบการลดการใช้พลังงานจากแสงธรรมชาติและการใช้พลังงานเพื่อขัดความร้อนจากซ่องเปิด ทำการวิเคราะห์พลังงานสุทธิของซ่องเปิดเพื่อสร้างต้นแบบของเปิดสำหรับอาคารในเขตร้อนชื้น การวิเคราะห์สัดส่วนร่างกายของคนไทย และขนาดของวัสดุ ทำให้ได้ขนาดซ่องเปิดที่เหมาะสมสำหรับการวิจัย คือ ซ่องเปิดสี่เหลี่ยมขนาด 0.90×0.60 ม. 0.90×1.20 ม. 0.90×2.00 ม. และซ่องเปิดกลมเส้นผ่านศูนย์กลางขนาด 1.20 ม. ติดตั้งที่ระดับวงกบบนสูงจากพื้น 1.20 ม. 2.00 ม. และ 2.80 ม. ตามลำดับ

ผลการวิจัยพบว่า ต้นแบบซ่องเปิดที่เหมาะสมในเขตร้อนชื้น ที่มีกำไรงาน พลังงาน ติดตั้งได้รวดเร็ว และการนำรูรักษาตัว มี 3 รูปแบบ คือ ซ่องเปิดขนาด 0.90×1.20 ม. ซ่องเปิดกลมเส้นผ่านศูนย์กลางขนาด 1.20 ม. และซ่องเปิดขนาด 0.90×0.60 ม. สำหรับใช้เป็นซ่องเปิดทั่วไป ซ่องเปิดที่ต้องการรูรักษาพิเศษ และซ่องเปิดของแสงตามลำดับ ผลการเปรียบเทียบพลังงานสุทธิกับซ่องเปิดกรณีพื้นฐาน ซึ่งเป็นซ่องเปิดบนกรอบไม้กรุกระจกใส 6 มม. เป็นดังนี้

ต้นแบบซ่องเปิดขนาด 0.90×1.20 ม. บนกรอบบูรณาภรณ์พิเศษกรุกระจกใส 2 ชั้น 32 มม. กระเจ้าใส 2 ชั้น 32 มม. หรือกระเจ้าใส 2 ชั้น 24 มม. ระดับวงกบบนสูงจากพื้น 2.00 ม. มีผลต่างของพลังงานสุทธิสูงกว่าซ่องเปิดกรณีพื้นฐานประมาณ 45 วัตต์ต่อบ้าน 43 วัตต์ต่อบ้าน และ 42 วัตต์ต่อบ้านตามลำดับ

ต้นแบบซ่องเปิดกลมเส้นผ่านศูนย์กลางขนาด 1.20 ม. บนกรอบบูรณาภรณ์พิเศษกรุกระจกใส 2 ชั้น 32 มม. กระเจ้าใส 2 ชั้น 32 มม. หรือกระเจ้าใส 2 ชั้น 24 มม. ระดับวงกบบนสูงจากพื้น 2.00 ม. มีผลต่างของพลังงานสุทธิสูงกว่าซ่องเปิดกรณีพื้นฐานประมาณ 46 วัตต์ต่อบ้าน 42 วัตต์ต่อบ้าน และ 41 วัตต์ต่อบ้านตามลำดับ และ ซ่องเปิดระดับวงกบบนสูงจากพื้น 2.80 ม. มีผลต่างของพลังงานสุทธิสูงกว่าซ่องเปิดกรณีพื้นฐาน ประมาณ 47 วัตต์ต่อบ้าน 45 วัตต์ต่อบ้าน และ 44 วัตต์ต่อบ้านตามลำดับ

ต้นแบบซ่องเปิดขนาด 0.90×0.60 ม. บนกรอบบูรณาภรณ์พิเศษกรุกระจกใส 8 มม. ระดับวงกบบนสูงจากพื้น 2.00 ม. และ 2.80 ม. มีผลต่างของพลังงานสุทธิสูงกว่าซ่องเปิดกรณีพื้นฐาน ประมาณ 24 วัตต์ต่อบ้าน ทั้งสองตำแหน่ง

การประยุกต์ใช้ต้นแบบซ่องเปิดทำโดยการทดสอบติดตั้งในอาคารจริงพบว่า ซ่องเปิดตั้งกล่าวมีประสิทธิภาพด้านการพลังงาน ลดชั้นตอนและเวลาในการประกอบและการติดตั้ง และจากการประมาณการติดตั้งในกรณีบ้านพักอาศัยการเลือกใช้ต้นแบบซ่องเปิดสามารถติดตั้งได้อย่างรวดเร็ว

ภาควิชา...สถาปัตยกรรมศาสตร์... ลายมือชื่อนิสิต

สาขาวิชา.....สถาปัตยกรรม..... ลายมือชื่ออาจารย์ที่ปรึกษา

ปีการศึกษา2550.....

.....๑๙๖๗.....๑๙๖๗.....
.....C.....h.....

497 41535 25 : MAJOR ARCHITECTURE

KEY WORD: FENESTRATION / DAYLIGHTING / HEAT GAIN / PROTOTYPE / INFILTRATION

VORAVUT SIRIRATCHATA: A STUDY OF FENESTRATION PROTOTYPES FOR HOT-HUMID

CLIMATE BUILDING. THESIS ADVISOR: PROF. Dr. SOONTORN BOONYATIKARN, 254 pp.

The fenestration design problems, that make designer can not utilize a proper benefit, were low utilize daylighting, high heat penetration, long construction period and difficult maintenance. Therefore, designer can not get benefit from normal fenestration. The research objective is to create fenestration prototypes for hot-humid climate. The appropriate fenestration should allow less heat transfer but better utilize the benefits of natural light thus it can get the profit of fenestration. The research methodology was to study daylighting from physical model and heat transfer from simulation which comparing the increment of energy use from heat transfer and the decrement of energy use from daylighting. The fenestration prototypes were created by considering the energy performance. The sizes of fenestration in this study considered by human dimensions and material scales, were 0.90x0.60 m., 0.90x1.20 m., 0.90x2.00 m., and a 1.20 m. diameter round shape. There were 3 installed positions which the upper frame high above floor level at 1.20 m., 2.00 m., and 2.80 m..

This research illustrated that the appropriate fenestration prototypes for hot-humid climate could have energy profit, reduce construction period and be easy maintenance that classify in 3 types of 0.90x1.20 m., a 1.20 m. diameter round shape, and 0.90x0.60 m. for regular, special, and clearstory use. These prototypes were compared with a base case fenestration which was a wood frame with 6 mm. clear floated glass.

The 0.90x1.20 m. fenestration prototype is a uPVC frame that is installed the upper frame level at 2.00 m.. The glazing materials are green double glazing 32 mm, clear double glazing 32 mm, or clear double glazing 24 mm.. This prototype is better than the base case around 45, 43 and 42 Watt/ unit

The 1.20 m. diameter round fenestration prototype is a uPVC frame with that is installed upper frame level at a 2.00 m. and 2.80 m.. The glazing materials are green double glazing 32 mm, clear double glazing 32 mm, or clear double glazing 24 mm.. This prototype is better than the base case around 46, 42 and 41 Watt/ unit for the upper frame level at the 2.00 and 47, 45 and 44 Watt/ unit for the upper frame level at 2.80.

The 0.90x0.60 m. fenestration prototype is a uPVC frame that is installed upper frame level at 2.00 m. and 2.80 m.. The glazing material is green laminated glass 8 mm.. This prototype is better than the base case opening around 24 Watt/ unit both for the upper frame levels at 2.00 and 2.80.

These fenestration prototypes were tested by installed in building. The results showed that they had more energy performance and easily installation that reduced construction time. In case of residential building the installation time may be faster than others.

Department of..... Architecture..... Student's signature
Field of study..... Architecture..... Advisor's signature
Academic year2007.....

25202 23309
Pun

กิตติกรรมประกาศ

วิทยานิพนธ์ฉบับนี้สำเร็จลุล่วงเป็นอย่างดีด้วยความช่วยเหลืออย่างดียิ่งจากคณาจารย์ และบุคคล
หลาย ๆ ท่าน บุคคลแรกที่ต้องกล่าวขับคุณคือ ศาสตราจารย์ ดร. สุนทร บุญญาธิกา อาจารย์ที่ปรึกษา
วิทยานิพนธ์ ซึ่งได้สละเวลาอันมีค่า ให้คำแนะนำและข้อคิดเห็นต่าง ๆ อันมีประโยชน์อย่างยิ่งในการทำวิจัย
ฉบับนี้ นอกจากนี้ยังได้รับความกรุณาเป็นอย่างสูงจากคณาจารย์ท่านอื่น ๆ ได้แก่ รองศาสตราจารย์ ดร.
วรสันต์ บุรณากาญจน์ ผู้ช่วยศาสตราจารย์ ดร. อรุจัน เศรษฐบุตร อาจารย์ ดร. วรภัทร อิงค์โรจน์ฤทธิ์ ใน
การทำวิจัย ปัจจุบัน อาจารย์ ดร. ชุม ขาวเขียว กรรมการสอบวิทยานิพนธ์ และรองศาสตราจารย์ ดร. ศุชา ขาวเขียว กรรมการสอบวิทยานิพนธ์
สุดท้ายนี้ขอกราบขอบคุณ พี่น้องของข้าพเจ้าที่ให้กำลังใจและการ
สนับสนุนด้านการศึกษามาโดยตลอด รวมถึงพี่ก้อย พี่เปape พี่ติง พี่เบิล พี่เก่ง พี่บุ่ม อยอ แอ้ และสมาชิกใน
ศูนย์เชี่ยวชาญเทคโนโลยีอาคารและสิ่งแวดล้อมทุกคน รวมถึงบุคคลอื่นๆ ที่ช่วยสนับสนุนการวิจัยในครั้งนี้
ทั้งทางตรงและทางอ้อมที่ไม่ได้เอียนามทุกท่าน

สถาบันวิทยบริการ
จุฬาลงกรณ์มหาวิทยาลัย

สารบัญ

	หน้า
บทคัดย่อภาษาไทย.....	๗
บทคัดย่อภาษาอังกฤษ.....	๙
กิตติกรรมประกาศ.....	๑
สารบัญ.....	๙
สารบัญตาราง.....	๑๓
สารบัญรูปภาพ.....	๑๘
สารบัญแผนภูมิ.....	๒๔
บทที่ 1 บทนำ.....	๑
1.1 ความเป็นมาและความสำคัญของปัญหา.....	๑
1.2 วัตถุประสงค์ของการวิจัย.....	๘
1.3 ขอบเขตของการวิจัย.....	๘
1.4 ระเบียบวิธีวิจัย.....	๙
1.5 ประโยชน์ที่คาดว่าจะได้รับ.....	๑๑
บทที่ 2 เอกสารและงานวิจัยที่เกี่ยวข้อง.....	๑๒
2.1 บทนำ.....	๑๒
2.2 ส่วนประกอบของช่องเปิด.....	๑๓
2.2.1 ส่วนบานกราก.....	๑๓
2.2.2 ส่วนบานกรอบ.....	๑๔
บานกรอบไม้.....	๑๔
บานกรอบโลหะ.....	๑๕
บานกรอบโพลิเมอร์.....	๑๖
2.2.3 ส่วนคุปกรณ์บังแಡด.....	๑๘
2.3 ประเด็นในการพิจารณาช่องเปิด.....	๑๘
2.3.1 ประเด็นด้านเศรษฐกิจ และสังคม.....	๑๙
2.3.2 ประเด็นด้านมนุษย์.....	๑๙
2.3.1 ประเด็นด้านพลังงาน.....	๑๙
2.3.1 ประเด็นด้านสิ่งแวดล้อม.....	๑๙
2.4 ทฤษฎีการถ่ายเทความร้อนผ่านช่องเปิด.....	๒๐
2.4.1 คุณสมบัติของวัสดุด้านการถ่ายเทความร้อน.....	๒๑

	หน้า
ค่าความสัมผ่านรังสี.....	21
ค่าความสะท้อนรังสี.....	22
ค่าความดูดกลืนรังสี.....	23
ค่าการแผ่รังสีความร้อน.....	24
ค่าสัมประสิทธิ์การนำความร้อน.....	24
ค่าความนำความร้อน.....	25
ค่าความต้านทานความร้อน.....	25
ค่าสัมประสิทธิ์การถ่ายเทความร้อน.....	26
ค่าสัมประสิทธิ์การส่งผ่านความร้อนจากรังสีอาทิตย์.....	27
ค่าสัมประสิทธิ์การบังแเดด.....	28
2.4.2 การคำนวณการถ่ายเทความร้อนผ่านช่องเปิด.....	28
การคำนวณการถ่ายเทความร้อนผ่านผ่านส่วนทึบแสงของช่องเปิด.....	30
การคำนวณการถ่ายเทความร้อนผ่านส่วนโปร่งแสงของช่องเปิด.....	31
2.5 ทฤษฎีการถ่ายเทความร้อนโดยการรั่วซึมอากาศผ่านช่องเปิด.....	32
2.5.1 การประมาณรอยรั่วอากาศของช่องเปิดโดยวิธีประมาณเส้นรอยรั่ว.....	33
2.5.2 การคำนวณการรั่วซึมอากาศผ่านช่องเปิด.....	36
การประมาณปริมาณความร้อนในส่วนความร้อนสัมผัส.....	36
การประมาณปริมาณความร้อนในส่วนความร้อนแห้ง.....	37
การประมาณปริมาณความร้อนรวมของการรั่วซึมอากาศ.....	37
2.6 ประสิทธิภาพของระบบปั้นอากาศในการขัดความร้อนขันเนื่องมาจากช่องเปิด.....	37
2.7 ทฤษฎีด้านแสงธรรมชาติ.....	38
2.7.1 นิยามคำศัพท์ที่เกี่ยวข้องกับแสงธรรมชาติ.....	39
ปริมาณแสง.....	39
ความเข้มของการส่องสว่าง.....	39
ความส่องสว่าง.....	39
ความสว่าง.....	40
2.7.2 คุณสมบัติของวัสดุด้านแสงธรรมชาติ.....	40
ค่าความสัมผ่านของแสงที่ตามองเห็น.....	40
ค่าอัตราส่วนแสงต่อสัมประสิทธิ์การบังแเดด.....	40
ค่าอัตราส่วนแสงต่อพลังงานอาทิตย์.....	40
2.7.3 แหล่งที่มาของแสงธรรมชาติ.....	41

	หน้า
แสงตรงจากดวงอาทิตย์.....	41
แสงสะท้อนจากห้องฟ้า.....	41
แสงสะท้อนจากผิวดินและพื้นผิวอื่นๆ.....	41
2.7.4 การแฝงสีอาทิตย์.....	41
การแฝงสีอาทิตย์นอกบровรากคลิก.....	41
การแฝงสีอาทิตย์จากพื้นโลก.....	42
2.7.5 ลักษณะสภาพห้องฟ้า.....	42
ห้องฟ้าโปร่ง.....	42
ห้องฟ้ามีเมฆปกคลุมบางส่วน.....	42
ห้องฟ้ามีเมฆปกคลุมมาก.....	43
2.7.6 ความสัมพันธ์ระหว่างแสงธรรมชาติกับปริมาณการแฝงสีอาทิตย์.....	43
2.7.7 การประยุกต์ใช้แสงธรรมชาติในอาคาร.....	44
2.7.8 การคำนวณแสงธรรมชาติผ่านช่องเปิด.....	45
2.7.9 องค์ประกอบที่มีผลต่อแสงธรรมชาติในอาคาร.....	45
องค์ประกอบจากห้องฟ้า.....	46
องค์ประกอบจากการสะท้อนแสงภายในออกอาคาร.....	46
องค์ประกอบจากการสะท้อนแสงภายในในอาคาร.....	46
2.7.10 การคำนวณการลดการใช้พลังงานไฟฟ้าจากแสงประดิษฐ์โดยการใช้ประโยชน์จากแสงธรรมชาติ.....	47
2.7.11 การเลือกวัสดุช่องเปิด.....	49
2.8 งานกิจย์ที่เกี่ยวข้อง.....	50
2.7.1 เรื่อง energy transparency for energy efficiency.....	50
บทที่ 3 ระบบวิธีวิจัย.....	51
3.1 เครื่องมือที่ใช้ในการวิจัย.....	51
3.1.1 เครื่องมือวัดระดับความส่องสว่าง.....	51
3.1.2 กล้องทดลอง.....	51
3.2 การทดสอบเครื่องมือที่ใช้ในการวิจัย.....	52
3.3 การวิเคราะห์ปริมาณพลังงานที่เกิดจากการถ่ายเทความร้อนผ่านช่องเปิด.....	57
3.3.1 ตัวแปรที่เกี่ยวข้อง.....	57
3.3.2 การศึกษาการถ่ายเทความร้อนผ่านส่วนทึบของผู้คน.....	58
การถ่ายเทความร้อนผ่านส่วนทึบของผู้คน.....	59

	หน้า
การถ่ายเทความร้อนผ่านส่วนป้องแสงของช่องเปิด.....	60
3.3.3 การศึกษาการใช้พลังงานไฟฟ้าในการขัดความร้อนอันเนื่องมาจากการเปิด.....	62
3.4 การวิเคราะห์ปริมาณพลังงานที่ได้รับจากการใช้แสงธรรมชาติผ่านช่องเปิดเทียบเท่ากับพลังงานไฟฟ้าที่ลดได้จากแสงประดิษฐ์.....	62
3.4.1 ตัวแปรที่เกี่ยวข้อง.....	62
3.4.2 การศึกษาการใช้แสงธรรมชาติผ่านช่องเปิด.....	63
3.4.3 การวิเคราะห์การได้รับพลังงานจากแสงธรรมชาติเทียบเท่าแสงประดิษฐ์.....	65
3.5 การเปรียบเทียบการใช้พลังงานไฟฟ้าจากภาระการทำความเย็นของช่องเปิดและการลดการใช้พลังงานไฟฟ้าแสงประดิษฐ์จากการใช้ประโยชน์จากแสงธรรมชาติ.....	67
3.6 การเสนอช่องเปิดต้นแบบที่เหมาะสมสำหรับอาคารในเขตวันชี้น.....	67
บทที่ 4 ผลการวิเคราะห์ข้อมูล.....	68
4.1 การศึกษาเพื่อการใช้พลังงานไฟฟ้าผ่านช่องเปิด.....	68
4.1.1 การวิเคราะห์ปริมาณพลังงานที่เกิดจากการถ่ายเทความร้อนผ่านช่องเปิด..... การถ่ายเทความร้อน ความชื้นและการใช้พลังงานเพื่อขัดความร้อนผ่านช่องเปิดขนาด 0.90x1.20 เมตร.....	68
การถ่ายเทความร้อน และการใช้พลังงานเพื่อขัดความร้อนผ่านช่องเปิดขนาด 0.90x0.60 เมตร.....	73
การถ่ายเทความร้อน และการใช้พลังงานเพื่อขัดความร้อนผ่านช่องเปิดกลมขนาดเส้นผ่านศูนย์กลาง 1.20 เมตร.....	82
การถ่ายเทความร้อน และการใช้พลังงานเพื่อขัดความร้อนผ่านช่องเปิดกลมขนาดเส้นผ่านศูนย์กลาง 1.20 เมตร.....	91
การถ่ายเทความร้อน และการใช้พลังงานเพื่อขัดความร้อนผ่านช่องเปิดกลมช่อง เปิดขนาด 0.90x2.00 เมตร.....	100
สรุปผลการถ่ายเทความร้อน ความชื้น และการใช้พลังงานเพื่อขัดความร้อน ของช่องเปิด.....	113
4.1.2 การวิเคราะห์ปริมาณพลังงานที่ได้รับจากการใช้แสงธรรมชาติผ่านช่องเปิดเทียบเท่ากับพลังงานไฟฟ้าที่ลดได้จากแสงประดิษฐ์.....	114
ระดับความส่องสว่างจากแสงธรรมชาติ และพลังงานไฟฟ้าเทียบเท่าแสงประดิษฐ์ของช่องเปิดขนาด 0.90x1.20 เมตร.....	115
ระดับความส่องสว่างจากแสงธรรมชาติ และพลังงานไฟฟ้าเทียบเท่าแสงประดิษฐ์ของช่องเปิดขนาด 0.90x0.60 เมตร.....	130

ระดับความส่องสว่างจากแสงธรรมชาติ และพลังงานไฟฟ้าเทียบเท่าแสง ประดิษฐ์ของช่องเปิดกลมเส้นผ่านศูนย์กลางขนาด 1.20 เมตร.....	145
ระดับความส่องสว่างจากแสงธรรมชาติ และพลังงานไฟฟ้าเทียบเท่าแสง ประดิษฐ์ของช่องเปิดขนาด 0.90×2.00 เมตร.....	160
สรุประดับความส่องสว่างจากแสงธรรมชาติและพลังงานไฟฟ้าเทียบเท่าแสง ประดิษฐ์ของช่องเปิด.....	172
4.1.3 การเปรียบเทียบพลังงานที่เกิดจากการถ่ายเทคความร้อนผ่านช่องเปิดเข้าสู่ ภายในอาคารและปริมาณพลังงานที่ได้รับจากแสงธรรมชาติผ่านช่อง เปิดเทียบเท่าแสงประดิษฐ์.....	173
การเปรียบเทียบพลังงานสุทธิของช่องเปิดขนาดต่าง ๆ.....	173
การเปรียบเทียบพลังงานสุทธิของวัสดุบานกรอบชนิดต่าง ๆ.....	176
การเปรียบเทียบพลังงานสุทธิของวัสดุบานกระจกชนิดต่าง ๆ.....	186
สรุปผลการเปรียบเทียบพลังงานที่เกิดจากการถ่ายเทคความร้อนผ่านช่องเปิด เข้าสู่ภายในอาคาร และปริมาณพลังงานที่ได้รับจากแสงธรรมชาติผ่าน ช่องเปิดเทียบเท่าแสงประดิษฐ์.....	191
4.1.4 การเสนอช่องเปิดตันแบบที่เหมาะสมสมสำหรับอาคารในเขตตัวอื่น.....	197
ขนาด และรูปทรงช่องเปิดที่เหมาะสม.....	197
วัสดุช่องเปิดที่เหมาะสม.....	199
ตำแหน่งช่องเปิดที่เหมาะสม.....	200
บทที่ 5 สรุปและวิเคราะห์ผลการวิจัย.....	206
5.1 สรุปผลการวิจัย.....	206
5.1.1 การใช้พลังงานไฟฟ้าเพื่อขัดความร้อนอันเนื่องมาจากการช่องเปิด.....	206
5.1.2 การได้รับพลังงานไฟฟ้าจากแสงธรรมชาติเทียบเท่าการลดการใช้พลังงาน ไฟฟ้าจากแสงประดิษฐ์.....	207
5.1.3. การเปรียบเทียบพลังงานที่เกิดจากการถ่ายเทคความร้อนผ่านช่องเปิดเข้าสู่ ภายในอาคารและปริมาณพลังงานที่ได้รับจากการใช้แสงธรรมชาติผ่าน ช่องเปิด เทียบเท่าแสงประดิษฐ์.....	208
5.1.4 การเสนอช่องเปิดตันแบบที่เหมาะสมสมสำหรับอาคารสำนักงานในเขตตัวอื่น.....	209
5.1.5 การออกแบบช่องเปิดตันแบบเพื่อแก้ปัญหาโกลว่อน.....	211
5.1.5 ช่องเปิดตันแบบและผลกระทบต่อสิ่งแวดล้อม.....	213
5.2 ข้อเสนอแนะ.....	215

หน้า	
รายการข้างอิง.....	216
ภาคผนวก.....	219
ภาคผนวก ก.....	220
ภาคผนวก ข.....	245
ประวัติผู้เขียนวิทยานิพนธ์.....	254



สถาบันวิทยบริการ จุฬาลงกรณ์มหาวิทยาลัย

สารบัญตาราง

	หน้า
ตารางที่ 2-1 แสดงระดับของช่องเปิด.....	34
ตารางที่ 2-2 แสดงอัตราการรั่วซึม ต่อเมตรของหน้าต่างชนิดต่าง ๆ	36
ตารางที่ 2-3 แสดงระดับประสิทธิภาพระบบปรับอากาศ.....	38
ตารางที่ 2-4 แสดงประสิทธิภาพของหลอดไฟ และแสงธรรมชาติ.....	44
ตารางที่ 2-5 แสดงประสิทธิภาพของหลอดไฟในปัจจุบัน.....	48
ตารางที่ 3-1 ข้อมูลการวัดระดับความส่องสว่างของอุปกรณ์สำหรับสอบเทียบอุปกรณ์.....	53
ตารางที่ 3-2 สมการปรับแก้ความคลาดเคลื่อนของอุปกรณ์.....	57
ตารางที่ 3-3 คุณสมบัติของวัสดุของบานกรอบ.....	59
ตารางที่ 3-4 คุณสมบัติของวัสดุของบานกระจก.....	61
ตารางที่ 3-5 ประสิทธิภาพหลอดไฟ.....	65
ตารางที่ 4-1 ระดับพลังงานสุทธิของช่องเปิดจากวัสดุกระจกที่แตกต่างกันของช่องเปิดขนาด 0.90x0.60 ม.....	192
ตารางที่ 4-2 ระดับพลังงานสุทธิของช่องเปิดจากวัสดุกระจกที่แตกต่างกันของช่องเปิดขนาด 0.90x1.20 ม. ช่องเปิดกลมเส้นผ่านศูนย์กลาง 1.20 ม. และช่องเปิดขนาด 0.90x2.00 ม.....	192
ตารางที่ 4-3 พลังงานสุทธิจากพลังงานที่ใช้ในการขัดความร้อนอันเนื่องมาจากการช่องเปิด และ พลังงานจากแสงธรรมชาติเทียบเท่าแสงประดิษฐ์ของช่องเปิดที่ใช้ในการศึกษา.....	193
ตารางที่ 4-4 ระดับคะแนนสำหรับดีบุ๊คประสิทธิภาพด้านพลังงานของช่องเปิด และช่วงพลังงานสุทธิ	195
ตารางที่ 4-5 จำนวนช่องเปิดในแต่ละระดับประสิทธิภาพด้านพลังงาน.....	195
ตารางที่ 4-6 การเปรียบเทียบพลังงานสุทธิของช่องเปิดฐานร่วงสีเหลี่ยมและวงกลม.....	197
ตารางที่ 4-7 การพิจารณาประสิทธิภาพทางด้านช่องเปิดและมุ่มมองทางสายตาของช่องเปิด ตำแหน่งล่างชนิดต่าง ๆ	201
ตารางที่ 4-8 การพิจารณาประสิทธิภาพทางด้านช่องเปิดและมุ่มมองทางสายตาของช่องเปิด ตำแหน่งกลางชนิดต่าง ๆ	201
ตารางที่ 4-9 การพิจารณาประสิทธิภาพทางด้านช่องเปิดและมุ่มมองทางสายตาของช่องเปิด ตำแหน่งบนชนิดต่าง ๆ	201
ตารางที่ 5-1 ประสิทธิภาพช่องเปิดต้นแบบเทียบกับช่องเปิดกรณีพื้นฐาน.....	210
ตารางที่ 5-2 การลดการปลดปล่อยก๊าซคาร์บอนไดออกไซด์ของช่องเปิดต้นแบบ.....	212
ตารางที่ 5-3 ข้อดี และข้อเสียของบานกรอบบุฟเฟ่ต์.....	214

	หน้า
ตารางที่ 6-1 อุณหภูมิกรະเปาะแห้งเดือนมกราคม.....	221
ตารางที่ 6-2 อุณหภูมิกรະเปาะแห้งเดือนกุมภาพันธ์.....	222
ตารางที่ 6-3 อุณหภูมิกรະเปาะแห้งเดือนมีนาคม.....	223
ตารางที่ 6-4 อุณหภูมิกรະเปาะแห้งเดือนเมษายน.....	224
ตารางที่ 6-5 อุณหภูมิกรະเปาะแห้งเดือนพฤษภาคม.....	225
ตารางที่ 6-6 อุณหภูมิกรະเปาะแห้งเดือนมิถุนายน.....	226
ตารางที่ 6-7 อุณหภูมิกรະเปาะแห้งเดือนกรกฎาคม.....	227
ตารางที่ 6-8 อุณหภูมิกรະเปาะแห้งเดือนสิงหาคม.....	228
ตารางที่ 6-9 อุณหภูมิกรະเปาะแห้งเดือนกันยายน.....	229
ตารางที่ 6-10 อุณหภูมิกรະเปาะแห้งเดือนตุลาคม.....	230
ตารางที่ 6-11 อุณหภูมิกรະเปาะแห้งเดือนพฤษจิกายน.....	231
ตารางที่ 6-12 อุณหภูมิกรະเปาะแห้งเดือนธันวาคม.....	232
ตารางที่ 6-13 รังสีกระจายอาทิตย์เดือนกุมภาพันธ์.....	233
ตารางที่ 6-14 รังสีกระจายอาทิตย์เดือนกุมภาพันธ์.....	234
ตารางที่ 6-15 รังสีกระจายอาทิตย์เดือนมีนาคม.....	235
ตารางที่ 6-16 รังสีกระจายอาทิตย์เดือนเมษายน.....	236
ตารางที่ 6-17 รังสีกระจายอาทิตย์เดือนพฤษภาคม.....	237
ตารางที่ 6-18 รังสีกระจายอาทิตย์เดือนมิถุนายน.....	238
ตารางที่ 6-19 รังสีกระจายอาทิตย์เดือนกรกฎาคม.....	239
ตารางที่ 6-20 รังสีกระจายอาทิตย์เดือนสิงหาคม.....	240
ตารางที่ 6-21 รังสีกระจายอาทิตย์เดือนกันยายน.....	241
ตารางที่ 6-22 รังสีกระจายอาทิตย์เดือนตุลาคม.....	242
ตารางที่ 6-23 รังสีกระจายอาทิตย์เดือนพฤษจิกายน.....	243
ตารางที่ 6-24 รังสีกระจายอาทิตย์เดือนธันวาคม.....	244

สารบัญภาพ

	หน้า	
ภาพที่ 1-1	การถ่ายเทความร้อนผ่านช่องเปิด: การนำความร้อน (conduction), การพาความร้อน (convection), และการแพร่งสีความร้อน (radiation).....	2
ภาพที่ 1-2	ข้อแนะนำเพื่อผู้บริโภคสำหรับการใช้พลังงานอย่างมีประสิทธิภาพ และการใช้พลังงานหมุนเวียน กระทรวงพลังงานสหรัฐอเมริกา.....	7
ภาพที่ 1-3	ข้อแนะนำการเลือกหน้าต่างของหน่วยงานเอนเนอร์จีสตาร์.....	7
ภาพที่ 2-1	แสดงตัวอย่างช่องเปิดประตู.....	12
ภาพที่ 2-2	แสดงตัวอย่างช่องเปิดหน้าต่าง.....	12
ภาพที่ 2-3	แสดงตัวอย่างของกระจกชนิดต่าง ๆ.....	13
ภาพที่ 2-4	แสดงบานกรอบไม้ที่ขาดการดูแลรักษา.....	15
ภาพที่ 2-5	แสดงปัญหาการรั่วซึมจาก窗บีเวนรอยต์ของบานกรอบอลูมิเนียม.....	16
ภาพที่ 2-6	แสดงรอยต่อของบานกรอบบุฟเฟ่ต์.....	17
ภาพที่ 2-7	ธรรมชาติของการถ่ายเทความร้อนผ่านวัสดุ ช่องว่างอากาศ และโครงสร้างปะลุงวัสดุ.....	21
ภาพที่ 2-8	แสดงตัวอย่างการหาคุณสมบัติของวัสดุด้านการถ่ายเทความร้อน.....	26
ภาพที่ 2-9	แสดงคุณสมบัติของรังสีอาทิตย์ที่กระทำต่อวัสดุ.....	27
ภาพที่ 2-10	คลื่นแม่เหล็กไฟฟ้า.....	39
ภาพที่ 2-11	ลักษณะท้องฟ้า.....	43
ภาพที่ 2-12	องค์ประกอบที่มีผลต่อแสงธรรมชาติภายในอาคาร.....	47
ภาพที่ 3-1	เครื่องมือวัดระดับความส่องสว่าง รุ่น DX-200.....	51
ภาพที่ 3-2	แบบจำลองกล่องทดลองสำหรับการวิจัย.....	52
ภาพที่ 3-3	สัดส่วนร่างกายเฉลี่ยของชายไทยอายุระหว่าง 17-49 ปี.....	58
ภาพที่ 3-4	ขนาดช่องเปิดที่ใช้ในงานวิจัย.....	59
ภาพที่ 3-5	ตำแหน่งติดตั้งช่องเปิดสำหรับวัดระดับความส่องสว่าง.....	64
ภาพที่ 3-6	ตำแหน่งวัดระดับความส่องสว่าง.....	64
ภาพที่ 3-7	ระดับพลังงานสำหรับไฟฟ้าแสงสว่างระบบไฟฟ้าแสง谱ดิชั่ลชั้งอิง.....	66
ภาพที่ 4-1	ช่องเปิดที่เลือกใช้เป็นกรณีศึกษา.....	68
ภาพที่ 4-2	เครื่องมือที่ใช้ทดสอบแสงธรรมชาติ.....	114
ภาพที่ 4-3	ตำแหน่งติดตั้งสำหรับทดสอบช่องเปิดขนาด 0.90×1.20 เมตร.....	115
ภาพที่ 4-4	การทดสอบระดับความส่องสว่างของช่องเปิด 0.90×1.20 เมตร ที่ตำแหน่งล่าง.....	115

	หน้า	
ภาพที่ 4-5	การทดสอบระดับความส่องสว่างของช่องเปิด 0.90×1.20 เมตร ที่ติดตั้งบนผนังกลาง.....	116
ภาพที่ 4-6	การทดสอบระดับความส่องสว่างของช่องเปิด 0.90×1.20 เมตร ที่ติดตั้งบนผนังบัน.....	116
ภาพที่ 4-7	ติดตั้งสำหรับทดสอบช่องเปิดขนาด 0.90×0.60 เมตร.....	130
ภาพที่ 4-8	การทดสอบระดับความส่องสว่างของช่องเปิด 0.90×1.20 เมตร ที่ติดตั้งล่าง.....	130
ภาพที่ 4-9	การทดสอบระดับความส่องสว่างของช่องเปิด 0.90×1.20 เมตร ที่ติดตั้งบนผนังกลาง.....	131
ภาพที่ 4-10	การทดสอบระดับความส่องสว่างของช่องเปิด 0.90×1.20 เมตร ที่ติดตั้งบนผนังบัน.....	131
ภาพที่ 4-11	ติดตั้งสำหรับทดสอบช่องเปิดกลม เส้นผ่านศูนย์กลางขนาด 1.20 เมตร.....	145
ภาพที่ 4-12	การทดสอบระดับความส่องสว่างของช่องเปิดกลม เส้นผ่านศูนย์กลางขนาด 1.20 เมตร ที่ติดตั้งล่าง.....	145
ภาพที่ 4-13	การทดสอบระดับความส่องสว่างของช่องเปิดกลม เส้นผ่านศูนย์กลางขนาด 1.20 เมตร ที่ติดตั้งบนผนังกลาง.....	146
ภาพที่ 4-14	การทดสอบระดับความส่องสว่างของช่องเปิดกลม เส้นผ่านศูนย์กลางขนาด 1.20 เมตร ที่ติดตั้งบนผนังบัน.....	146
ภาพที่ 4-15	ติดตั้งสำหรับทดสอบช่องเปิดขนาด 0.90×2.00 เมตร.....	160
ภาพที่ 4-16	การทดสอบระดับความส่องสว่างของช่องเปิด 0.90×2.00 เมตร ที่ติดตั้งบนผนังกลาง.....	160
ภาพที่ 4-17	ระดับการประเมินประสิทธิภาพด้านพลังงานของช่องเปิด.....	194
ภาพที่ 4-18	ช่องเปิดตันแบบมาตรฐานทั่วไป ติดตั้งบนผนังกลาง.....	202
ภาพที่ 4-19	ช่องเปิดตันแบบรูปแบบพิเศษ ติดตั้งบนผนังกลาง.....	203
ภาพที่ 4-20	ช่องเปิดตันแบบรูปแบบพิเศษ ติดตั้งบนผนังบัน.....	204
ภาพที่ 4-21	ช่องเปิดตันแบบซ่องแสง ติดตั้งบนผนังกลาง.....	205
ภาพที่ 4-22	ช่องเปิดตันแบบซ่องแสง ติดตั้งบนผนังบัน.....	205
ภาพที่ 5-1	กระบวนการนำกลับมาใช้ใหม่ระบบไวนิลลูป.....	214
ภาพที่ 6-1	แบบรายละเอียดติดตั้งช่องเปิดบานเปิด: รูปตัด.....	246
ภาพที่ 6-2	แบบรายละเอียดติดตั้งช่องเปิดบานเปิด: ผัง.....	246
ภาพที่ 6-3	แบบรายละเอียดติดตั้งช่องเปิดบานเปิด: แบบขยายรายละเอียด.....	247
ภาพที่ 6-4	อาคารบ้านเชิงทิศย 2.....	247
ภาพที่ 6-5	การเตรียมช่องเปิดก่อนการติดตั้ง.....	248
ภาพที่ 6-6	อุปกรณ์ติดตั้งช่องเปิด.....	248
ภาพที่ 6-7	การติดตั้งช่องเปิด.....	249
ภาพที่ 6-8	บรรยายภาษาไทยในอาคารหลังการติดตั้ง 1: ช่องเปิดตันแบบรูปแบบพิเศษ.....	249
ภาพที่ 6-9	บรรยายภาษาไทยในอาคารหลังการติดตั้ง 2: ช่องเปิดตันแบบรูปแบบพิเศษ.....	250

	หน้า	
ภาพที่ 6-10	รายละเอียดการติดตั้งช่องเปิดภายใน: ช่องเปิดตันแบบรูปแบบพิเศษ	250
ภาพที่ 6-11	บรรยายกาศภายในอาคารหลังการติดตั้ง 3: ช่องเปิดตันแบบรูปแบบช่องแสง	251
ภาพที่ 6-12	บรรยายกาศภายในอาคารหลังการติดตั้ง 4: ช่องเปิดตันแบบมาตรฐาน	252
ภาพที่ 6-13	บรรยายกาศภายนอกอาคาร	252
ภาพที่ 6-14	บรรยายกาศภายนอกอาคาร	253



สถาบันวิทยบริการ จุฬาลงกรณ์มหาวิทยาลัย

สารบัญแผนภูมิ

	หน้า	
แผนภูมิที่ 1-1	แสดงประสิทธิภาพความส่องสว่างของแหล่งกำเนิดแสงชนิดต่าง ๆ	3
แผนภูมิที่ 1-2	แสดงช่วงความยาวคลื่นรังสีอาทิตย์ที่ส่องมา�ังพื้นผิวโลก.....	3
แผนภูมิที่ 1-3	แสดงปริมาณการใช้ไฟฟ้ารวมของประเทศไทยระหว่างปี พ.ศ. 2528-2549.....	4
แผนภูมิที่ 1-4	แสดงสัดส่วนการใช้ไฟฟ้าของประเทศไทยปี พ.ศ. 2549.....	5
แผนภูมิที่ 1-5	แสดงปริมาณการใช้พลังงานเพื่อขัดความร้อน (พื้นที่สีแดง) และความชื้น (พื้นที่สีเหลือง) ที่放อยู่ในอากาศ เฉลี่ย 1 วันของเดือนเมษายน.....	6
แผนภูมิที่ 1-6	ขั้นตอนศึกษาวิจัย.....	11
แผนภูมิที่ 2-1	แสดงการแบ่งประเภทของgradeที่ใช้ในปัจจุบัน.....	14
แผนภูมิที่ 2-2	ประเด็นในการพิจารณาซ่องเปิดที่มีประสิทธิภาพ.....	20
แผนภูมิที่ 2-3	แสดงค่าความส่งผ่านรังสี ค่าความสะท้อนรังสี และค่าความดูดกลืนรังสี ของ grade 3 ชนิดคือ grade ไส grade สี และ grade 2 ขั้น.....	24
แผนภูมิที่ 2-4	แสดงปริมาณการใช้พลังงานเพื่อขัดความร้อน (พื้นที่สีแดง) และความชื้น (พื้นที่สีเหลือง) ที่放อยู่ในอากาศ เฉลี่ย 1 วันของทุกเดือนตลอด 1 ปี.....	32
แผนภูมิที่ 2-5	แผนภูมิแปลงความเร็วลม เป็นเวโลซิตี เอด แฟคเตอร์.....	34
แผนภูมิที่ 2-6	แผนภูมิแสดงอัตราการร้าวซึมของอากาศ ของซ่องเปิดของซ่องเปิด 3 กลุ่ม.....	35
แผนภูมิที่ 3-1	ระดับความส่องสว่างของเครื่องวัดเครื่องที่ 1 เทียบกับเครื่องวัดมาตรฐาน.....	54
แผนภูมิที่ 3-2	ระดับความส่องสว่างของเครื่องวัดเครื่องที่ 2 เทียบกับเครื่องวัดมาตรฐาน.....	54
แผนภูมิที่ 3-3	ระดับความส่องสว่างของเครื่องวัดเครื่องที่ 3 เทียบกับเครื่องวัดมาตรฐาน.....	55
แผนภูมิที่ 3-4	ระดับความส่องสว่างของเครื่องวัดเครื่องที่ 4 เทียบกับเครื่องวัดมาตรฐาน.....	55
แผนภูมิที่ 3-5	ระดับความส่องสว่างของเครื่องวัดเครื่องที่ 5 เทียบกับเครื่องวัดมาตรฐาน.....	56
แผนภูมิที่ 3-6	ระดับความส่องสว่างของเครื่องวัดเครื่องที่ 6 เทียบกับเครื่องวัดมาตรฐาน.....	56
แผนภูมิที่ 4-1	อุณหภูมิสูงสุด ต่ำสุด และเฉลี่ย ของกรุงเทพมหานคร ปี 2550.....	70
แผนภูมิที่ 4-2	ปริมาณรังสีอาทิตย์ของกรุงเทพมหานคร เดือนเมษายน ปี 2550.....	71
แผนภูมิที่ 4-3	เอนทัลปีของกรุงเทพมหานคร เดือนเมษายน ปี 2550.....	72
แผนภูมิที่ 4-4	การถ่ายเทความร้อน ความชื้นผ่านบานกรอบ ของซ่องเปิดขนาด 0.90×1.20 เมตร ทางด้านทิศตะวันตก เดือนเมษายน ปี 2550.....	73
แผนภูมิที่ 4-5	การถ่ายเทความร้อน ความชื้นผ่านบานกระจก ของซ่องเปิดขนาด 0.90×1.20 เมตร ทางด้านทิศตะวันตก เดือนเมษายน ปี 2550.....	74

แผนภูมิที่ 4-21	เบริ่ยบเทียบผล้งงานเฉลี่ยในช่วงเวลา 00:80-17:00 นาฬิกา ที่ใช้ในการขัดความร้อนของซ่องเปิดขนาด 0.90×0.60 เมตร ทางด้านทิศตะวันตก เดือนเมษายน ปี 2550.....	90
แผนภูมิที่ 4-22	การถ่ายเทความร้อนผ่านบานกรอบ ของซ่องเปิดกลมเส้นผ่านศูนย์กลางขนาด 1.20 เมตร ทางด้านทิศตะวันตก เดือนเมษายน ปี 2550.....	91
แผนภูมิที่ 4-23	การถ่ายเทความร้อนผ่านบานกรอบ ของซ่องเปิดกลมเส้นผ่านศูนย์กลางขนาด 1.20 เมตร ทางด้านทิศตะวันตก เดือนเมษายน ปี 2550.....	92
แผนภูมิที่ 4-24	ผล้งงานที่ใช้ในการขัดความร้อนของซ่องเปิดกลมบานกรอบไม้ กระเจาไสชนิดต่างๆเส้นผ่านศูนย์กลางขนาด 1.20 เมตร ทางด้านทิศตะวันตก เดือนเมษายน ปี 2550.....	93
แผนภูมิที่ 4-25	ผล้งงานที่ใช้ในการขัดความร้อนของซ่องเปิดกลมบานกรอบไม้ กระเจาเขียวชนิดต่างๆเส้นผ่านศูนย์กลางขนาด 1.20 เมตร ทางด้านทิศตะวันตก เดือนเมษายน ปี 2550.....	94
แผนภูมิที่ 4-26	ผล้งงานที่ใช้ในการขัดความร้อนของซ่องเปิดกลมบานกรอบอลูมิเนียม กระเจาใสชนิดต่างๆเส้นผ่านศูนย์กลางขนาด 1.20 เมตร ทางด้านทิศตะวันตก เดือนเมษายน ปี 2550.....	95
แผนภูมิที่ 4-27	ผล้งงานที่ใช้ในการขัดความร้อนของซ่องเปิดกลมบานกรอบอลูมิเนียม กระเจาเขียวชนิดต่างๆเส้นผ่านศูนย์กลางขนาด 1.20 เมตร ทางด้านทิศตะวันตก เดือนเมษายน ปี 2550.....	96
แผนภูมิที่ 4-28	ผล้งงานที่ใช้ในการขัดความร้อนของซ่องเปิดกลมบานกรอบบัญชีพีวีซี กระเจาใสชนิดต่างๆเส้นผ่านศูนย์กลางขนาด 1.20 เมตร ทางด้านทิศตะวันตก เดือนเมษายน ปี 2550.....	97
แผนภูมิที่ 4-29	ผล้งงานที่ใช้ในการขัดความร้อนของซ่องเปิดกลมบานกรอบบัญชีพีวีซี กระเจาเขียวชนิดต่างๆเส้นผ่านศูนย์กลางขนาด 1.20 เมตร ทางด้านทิศตะวันตก เดือนเมษายน ปี 2550.....	98
แผนภูมิที่ 4-30	เบริ่ยบเทียบผล้งงานเฉลี่ยในช่วงเวลา 0:80-17:00 นาฬิกา ที่ใช้ในการขัดความร้อนของซ่องเปิดกลมเส้นผ่านศูนย์กลางขนาด 1.20 เมตร ทางด้านทิศตะวันตก เดือนเมษายน ปี 2550.....	99
แผนภูมิที่ 4-31	การถ่ายเทความร้อนผ่านบานกรอบ ของซ่องเปิดขนาด 0.90×2.00 เมตร ทางด้านทิศตะวันตก เดือนเมษายน ปี 2550.....	100

หน้า

แผนภูมิที่ 4-32	การถ่ายเทความร้อนผ่านบานกระจก ของช่องเปิดขนาด 0.90×2.00 เมตร ทางด้านทิศตะวันตก เดือนเมษายน ปี 2550.....	101
แผนภูมิที่ 4-33	พลังงานที่ใช้ในการขัดความร้อนของช่องเปิดบานกรอบไม้ กระจกใสชนิดต่างๆ ขนาด 0.90×2.00 เมตร ทางด้านทิศตะวันตก เดือนเมษายน ปี 2550.....	102
แผนภูมิที่ 4-34	พลังงานที่ใช้ในการขัดความร้อนของช่องเปิดบานกรอบไม้ กระจกเขียวชนิดต่างๆ ขนาด 0.90×2.00 เมตร ทางด้านทิศตะวันตก เดือนเมษายน ปี 2550.....	103
แผนภูมิที่ 4-35	พลังงานที่ใช้ในการขัดความร้อนของช่องเปิดบานกรอบอลูมิเนียม กระจกใสชนิดต่างๆ ขนาด 0.90×2.00 เมตร ทางด้านทิศตะวันตก เดือนเมษายน ปี 2550.....	104
แผนภูมิที่ 4-36	พลังงานที่ใช้ในการขัดความร้อนของช่องเปิดบานกรอบอลูมิเนียม กระจกเขียวชนิดต่างๆ ขนาด 0.90×2.00 เมตร ทางด้านทิศตะวันตก เดือนเมษายน ปี 2550.....	105
แผนภูมิที่ 4-37	พลังงานที่ใช้ในการขัดความร้อนของช่องเปิดบานกรอบบุญพีรีชี กระจกใสชนิดต่างๆ ขนาด 0.90×2.00 เมตร ทางด้านทิศตะวันตก เดือนเมษายน ปี 2550.....	106
แผนภูมิที่ 4-38	พลังงานที่ใช้ในการขัดความร้อนของช่องเปิดบานกรอบบุญพีรีชี กระจกเขียวชนิดต่างๆ ขนาด 0.90×2.00 เมตร ทางด้านทิศตะวันตก เดือนเมษายน ปี 2550.....	107
แผนภูมิที่ 4-39	เบรียบเทียบพลังงานเฉลี่ยในช่วงเวลา 00:80-17:00 นาฬิกา ที่ใช้ในการขัดความร้อนของช่องเปิดขนาด 0.90×2.00 เมตร ทางด้านทิศตะวันตก เดือนเมษายน ปี 2550.....	108
แผนภูมิที่ 4-40	เบรียบเทียบพลังงานเฉลี่ยในช่วงเวลา 00:80-17:00 นาฬิกา ที่ใช้ในการขัดความร้อนของช่องเปิดบานกรอบชนิดต่างๆ ขนาด 0.90×1.20 เมตร ทางด้านทิศตะวันตก เดือนเมษายน ปี 2550.....	109
แผนภูมิที่ 4-41	เบรียบเทียบพลังงานเฉลี่ยในช่วงเวลา 00:80-17:00 นาฬิกา ที่ใช้ในการขัดความร้อนของช่องเปิดบานกระจกชนิดต่างๆ ขนาด 0.90×1.20 เมตร ทางด้านทิศตะวันตก เดือนเมษายน ปี 2550.....	110
แผนภูมิที่ 4-42	เบรียบเทียบอัตราส่วนของพลังงานเฉลี่ยในช่วงเวลา 00:80-17:00 นาฬิกา ที่ใช้ในการขัดความร้อนของช่องเปิดผ่านบานกรอบ ทางด้านทิศตะวันตก เดือนเมษายน ปี 2550.....	111
แผนภูมิที่ 4-43	เบรียบเทียบอัตราส่วนของพลังงานเฉลี่ยในช่วงเวลา 00:80-17:00 นาฬิกา ที่ใช้ในการขัดความร้อนของช่องเปิดผ่านบานกระจก ทางด้านทิศตะวันตก เดือนเมษายน ปี 2550.....	112
แผนภูมิที่ 4-44	ระดับความส่องสว่างของช่องเปิดขนาด 0.90×1.20 เมตร กระจกใส 6 มม.....	117

	หน้า
แผนภูมิที่ 4-83	ระดับความส่องสว่างของช่องเปิดขนาด 0.90×0.60 เมตรจากเขียว 2 ชั้น 24 มม. 140
แผนภูมิที่ 4-84	พลังงานไฟฟ้าจากแสงธรรมชาติ เทียบเท่าแสงประดิษฐ์ ของช่องเปิดขนาด 0.90×0.60 เมตร กรกฎาคมเขียว 2 ชั้น 24 มม..... 140
แผนภูมิที่ 4-85	ระดับความส่องสว่างของช่องเปิดขนาด 0.90×0.60 เมตรจากเขียว 2 ชั้น 32 มม. 141
แผนภูมิที่ 4-86	พลังงานไฟฟ้าจากแสงธรรมชาติ เทียบเท่าแสงประดิษฐ์ ของช่องเปิดขนาด 0.90×0.60 เมตร กรกฎาคมเขียว 2 ชั้น 32 มม..... 141
แผนภูมิที่ 4-87	เบรียบเทียบพลังงานไฟฟ้าแสงธรรมชาติ เทียบเท่าแสงประดิษฐ์ ของช่องเปิดขนาด 0.90×0.60 เมตร ตำแหน่งล่าง จากวัสดุบานกระจกที่แตกต่างกัน..... 142
แผนภูมิที่ 4-88	เบรียบเทียบพลังงานไฟฟ้าแสงธรรมชาติ เทียบเท่าแสงประดิษฐ์ ของช่องเปิดขนาด 0.90×0.60 เมตร ตำแหน่งกลาง จากวัสดุบานกระจกที่แตกต่างกัน..... 143
แผนภูมิที่ 4-89	เบรียบเทียบพลังงานไฟฟ้าแสงธรรมชาติ เทียบเท่าแสงประดิษฐ์ ของช่องเปิดขนาด 0.90×0.60 เมตร ตำแหน่งบน จากวัสดุบานกระจกที่แตกต่างกัน..... 144
แผนภูมิที่ 4-90	ระดับความส่องสว่างของช่องเปิดกลม เส้นผ่านศูนย์กลางขนาด 1.20 เมตร กระจกใส 6 มม..... 147
แผนภูมิที่ 4-91	พลังงานไฟฟ้าจากแสงธรรมชาติ เทียบเท่าแสงประดิษฐ์ ของช่องเปิดกลม เส้นผ่านศูนย์กลางขนาด 1.20 เมตร กระจกใส 6 มม..... 147
แผนภูมิที่ 4-92	ระดับความส่องสว่างของช่องเปิดกลม เส้นผ่านศูนย์กลางขนาด 1.20 เมตร กระจกใส 8 มม..... 148
แผนภูมิที่ 4-93	พลังงานไฟฟ้าจากแสงธรรมชาติ เทียบเท่าแสงประดิษฐ์ ของช่องเปิดกลม เส้นผ่านศูนย์กลางขนาด 1.20 เมตร กระจกใส 8 มม..... 148
แผนภูมิที่ 4-94	ระดับความส่องสว่างของช่องเปิดกลม เส้นผ่านศูนย์กลางขนาด 1.20 เมตร กระจกเขียว 6 มม. 149
แผนภูมิที่ 4-95	พลังงานไฟฟ้าจากแสงธรรมชาติ เทียบเท่าแสงประดิษฐ์ ของช่องเปิดกลม เส้นผ่านศูนย์กลางขนาด 1.20 เมตร กระจกเขียว 6 มม..... 149
แผนภูมิที่ 4-96	ระดับความส่องสว่างของช่องเปิดกลม เส้นผ่านศูนย์กลางขนาด 1.20 เมตร กระจกเขียว 8 มม. 150
แผนภูมิที่ 4-97	พลังงานไฟฟ้าจากแสงธรรมชาติ เทียบเท่าแสงประดิษฐ์ ของช่องเปิดกลม เส้นผ่านศูนย์กลางขนาด 1.20 เมตร กระจกเขียว 8 มม..... 150
แผนภูมิที่ 4-98	ระดับความส่องสว่างของช่องเปิดกลม เส้นผ่านศูนย์กลางขนาด 1.20 เมตร กระจก لامิเนตใส 8 มม..... 151

แผนภูมิที่ 4-152	การเปรียบเทียบพลังงานที่ได้จากการแสวงห้องชุดติดตั้งแบบต่อเนื่องกับแบบต่อเนื่องที่ใช้ในการขัดความร้อนอันเนื่องมาจากช่องเปิด ของวัสดุบานกระจกต่าง ๆ ซึ่งเปิดขนาด 0.90×0.60 ม. บานกรอบบุญพีวีซี ตำแหน่งติดตั้ง ตำแหน่งบน.....	188
แผนภูมิที่ 4-153	การเปรียบเทียบพลังงานที่ได้จากการแสวงห้องชุดติดตั้งแบบต่อเนื่องกับแบบต่อเนื่องที่ใช้ในการขัดความร้อนอันเนื่องมาจากช่องเปิด ของวัสดุบานกระจกต่าง ๆ ซึ่งเปิดกลมเส้นผ่านศูนย์กลางขนาด 1.20 ม. บานกรอบบุญพีวีซี ตำแหน่งติดตั้ง ตำแหน่งล่าง.....	189
แผนภูมิที่ 4-154	การเปรียบเทียบพลังงานที่ได้จากการแสวงห้องชุดติดตั้งแบบต่อเนื่องกับแบบต่อเนื่องที่ใช้ในการขัดความร้อนอันเนื่องมาจากช่องเปิด ของวัสดุบานกระจกต่าง ๆ ซึ่งเปิดกลมเส้นผ่านศูนย์กลางขนาด 1.20 ม. บานกรอบบุญพีวีซี ตำแหน่งติดตั้ง ตำแหน่งกลาง.....	189
แผนภูมิที่ 4-155	การเปรียบเทียบพลังงานที่ได้จากการแสวงห้องชุดติดตั้งแบบต่อเนื่องกับแบบต่อเนื่องที่ใช้ในการขัดความร้อนอันเนื่องมาจากช่องเปิด ของวัสดุบานกระจกต่าง ๆ ซึ่งเปิดกลมเส้นผ่านศูนย์กลางขนาด 1.20 ม. บานกรอบบุญพีวีซี ตำแหน่งติดตั้ง ตำแหน่งบน.....	190
แผนภูมิที่ 4-156	การเปรียบเทียบพลังงานที่ได้จากการแสวงห้องชุดติดตั้งแบบต่อเนื่องกับแบบต่อเนื่องที่ใช้ในการขัดความร้อนอันเนื่องมาจากช่องเปิด ของวัสดุบานกระจกต่าง ๆ ซึ่งเปิดขนาด 0.90×2.00 ม. บานกรอบบุญพีวีซี ตำแหน่งติดตั้ง ตำแหน่งกลาง.....	190
แผนภูมิที่ 4-157	แสดงการกระจายของจำนวนช่องเปิดในช่วงพลังงานสุทธิต่าง ๆ	193
แผนภูมิที่ 4-158	ระดับพลังงานสุทธิ แบ่งตามส่วนเบี่ยงเบนมาตรฐาน.....	194
แผนภูมิที่ 4-159	ระดับพลังงานสุทธิของช่องเปิดขนาดต่าง ๆ	196
แผนภูมิที่ 4-160	เปรียบเทียบพลังงานสุทธิของช่องเปิดรูปแบบสี่เหลี่ยมและรูปแบบกลมติดตั้ง ตำแหน่งกลาง วัสดุบานกรอบบุญพีวีซี กระจกเชี่ยว 2 ชั้น 32 มม.....	198
แผนภูมิที่ 4-161	เปรียบเทียบพลังงานสุทธิของช่องเปิดรูปแบบสี่เหลี่ยมและรูปแบบกลมติดตั้ง ตำแหน่งบน วัสดุบานกรอบบุญพีวีซี กระจกเชี่ยว 2 ชั้น 32 มม.....	198
แผนภูมิที่ 4-162	พลังงานที่ใช้ในการขัดความร้อนในส่วนบานกรอบของช่องเปิดขนาดต่าง ๆ	199
แผนภูมิที่ 4-163	พลังงานที่ใช้ในการขัดความร้อนในส่วนบานกระจกของช่องเปิดขนาด 0.90×1.20 ม.....	200
แผนภูมิที่ 5-1	พลังงานที่ใช้ในการขัดความร้อนในส่วนบานกรอบของช่องเปิดขนาดต่าง ๆ	206
แผนภูมิที่ 5-2	พลังงานที่ใช้ในการขัดความร้อนในส่วนบานกระจกของช่องเปิดขนาด 0.90×1.20 ม.....	207

แผนภูมิที่ 5-3	พลังงานที่ได้จากแสงธรรมชาติเทียบเท่าแสงประดิษฐ์ของปีเดือนada 0.90x1.20 m.....	208
แผนภูมิที่ 5-4	เปรียบเทียบพลังงานสุทธิระหว่างช่องเปิดตันแบบกับช่องเปิดกรณีพื้นฐาน.....	210
แผนภูมิที่ 5-5	แสดงการลดการปลดปล่อยก๊าซคาร์บอนไดออกไซด์ของช่องเปิดตันแบบ.....	212
แผนภูมิที่ 5-6	เอมบอดีเอนเนอร์จีของวัสดุก่อสร้างต่าง ๆ	214



บทที่ 1

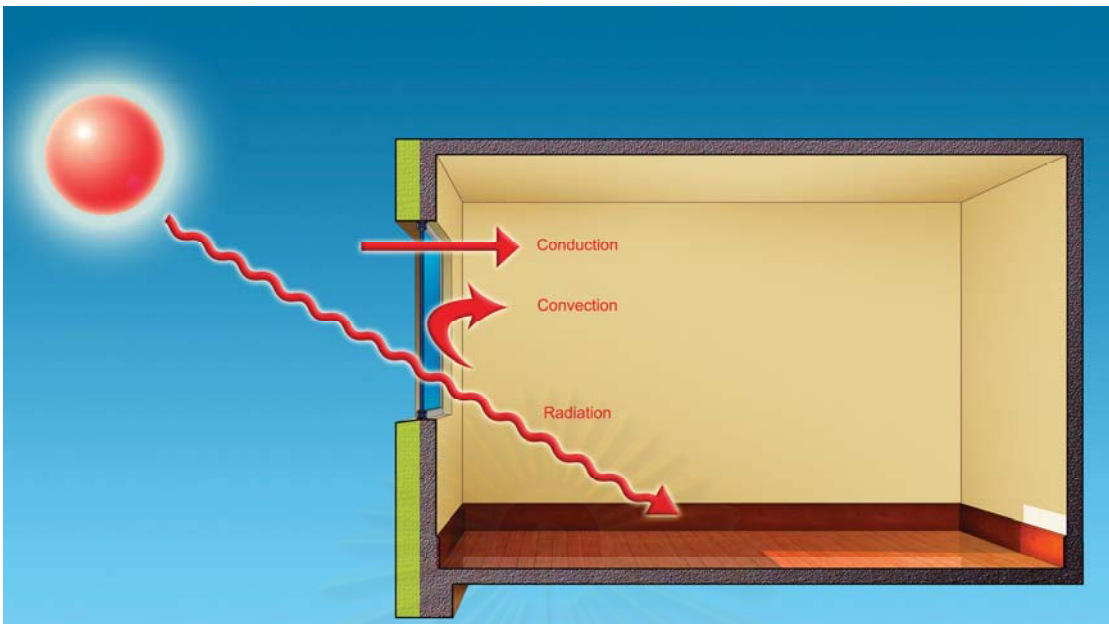
บทนำ

1.1. ความเป็นมา และความสำคัญของปัญหา

ช่องเปิด (fenestration) ในความหมายของงานสถาปัตยกรรมคือ “วัตถุที่นำมาประกอบเป็นช่องบริเวณเปลี่ยนอากาศ เช่น หน้าต่าง ประตู หรือช่องแสงต่าง ๆ” (ASHRAE, 2004: 30.1) ถือเป็นองค์ประกอบทางสถาปัตยกรรมภายนอกที่มีผลต่อรูปลักษณ์อาคารด้วยคุณสมบัติที่โดดเด่น เช่น ความทึบ ความโปร่งใส การสะท้อนภาพภายนอกเข้ามาอยู่บนตัวอาคาร สีสันของช่องแสงที่สามารถแปรเปลี่ยนไปตามช่วงเวลาของวัน รวมถึงการเปิดเผยหรือปิดบังกิจกรรมภายในอาคารตามความต้องการและจินตนาการของผู้ออกแบบ นอกจากผลกระทบต่อตัวงานสถาปัตยกรรมในด้านกายภาพ (physical effect) ช่องเปิดยังมีผลกระทบต่อผู้ใช้งานในด้านจิตวิทยา (psychological effect) และในด้านสภาพแวดล้อม (environmental effect) เช่น ช่องเปิดเป็นส่วนที่เชื่อมต่อที่ว่างระหว่างภายใน และภายนอกเข้าด้วยกัน และความเป็นพลวัตรที่เกิดขึ้นจากแสงธรรมชาติทำให้คนรับรู้มิติทางด้านเวลา ในด้านการใช้พลังงานในอาคารช่องเปิดเป็นส่วนที่มีการถ่ายเทความร้อน และรับแสงธรรมชาติเข้าสู่อาคาร มากที่สุดเมื่อเทียบสัดส่วนพื้นที่ ดังนั้นช่องเปิดจึงมีผลต่อการใช้พลังงานไฟฟ้าในอาคารสูงมาก

การนำรังสีอาทิตย์ (solar radiation) เข้าสู่อาคารเป็นสิ่งที่ต้องระมัดระวังโดยเฉพาะอาคารที่ตั้งอยู่ในเขตภูมิอากาศแบบร้อนชื้น (hot-humid climate) เช่นประเทศไทย รังสีอาทิตย์ไม่เพียงแต่จะนำแสงธรรมชาติ (daylighting) เข้าสู่อาคาร แต่ยังนำความร้อน (heat gain) เข้าสู่อาคารอีกด้วย และช่องเปิดถือเป็นส่วนที่มีการถ่ายเทความร้อน (heat transfer) จากรังสีอาทิตย์ เข้าสู่อาคารได้มากที่สุด โดยผ่านการถ่ายเทความร้อน 3 ทางคือ การนำความร้อน การพากความร้อน และการแผ่รังสีความร้อนดังที่แสดงในภาพ 1-1 สำหรับอาคารปัจจุบันความร้อนที่เข้ามายังในอาคารจะเปลี่ยนเป็นภาระการทำความเย็น (cooling load) ของอาคารอีกด้วย

จุฬาลงกรณ์มหาวิทยาลัย

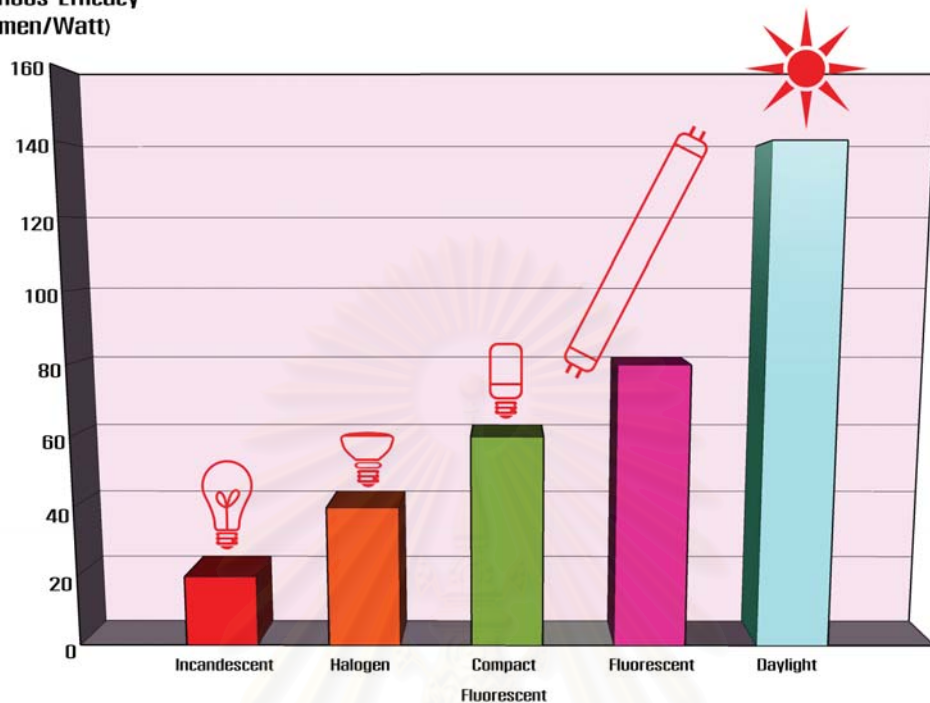


ภาพที่ 1-1 การถ่ายเทความร้อนผ่านช่องเปิด: การนำความร้อน (conduction) การพาความร้อน (convection) และการแผ่รังสีความร้อน (radiation)

การใช้ประโยชน์จากแสงธรรมชาติอย่างเหมาะสมสามารถลดความต้องการใช้พลังงานไฟฟ้าแสงสว่างจากแสงประดิษฐ์ภายในอาคารได้ ข้อดีของแสงธรรมชาติคือมีประสิทธิภาพความส่องสว่าง (luminous efficacy) สูงมากเมื่อเทียบกับแสงประดิษฐ์ดังที่แสดงในแผนภูมิที่ 1-1 นอกจากนั้นแสงธรรมชาติเป็นแสงที่มีดัชนีความถูกต้องของสี (color rendering index, CRI) สูงมากซึ่งทำให้สิงของต่าง ๆ มีสีตามจริง (สูนทรา บุญญาธิการ, 2545) และแสงธรรมชาติเป็นแสงที่มีพลวัตร (dynamic) สามารถแปรเปลี่ยนไปในแต่ละช่วงเวลาของวันซึ่งสามารถกระตุ้นให้ผู้ใช้อาคารรับรู้มิติตลามเวลา สร้างความกระฉับกระเฉงให้กับผู้ใช้งานอาคาร ข้อควรระวังในการใช้แสงธรรมชาติคือความร้อนที่เข้าสู่อาคาร จากแผนภูมิที่ 1-2 พบร่วงสีอาทิตย์ที่ส่องผ่านสีผิวโลกไม่เพียงมีแสงที่ตามองเห็น (visible light) เท่านั้นแต่ยังมีรังสีในช่วงคลื่นอื่น ๆ ที่ไม่ต้องการสำหรับอาคารในภูมิภาคร้อนชื้น นั่นคือรังสีอัลตราไวโอลेट (ultraviolet) และรังสีอินฟราเรด (infrared) รังสีอัลตราไวโอลेटเป็นรังสีที่สามารถทำลาย (degradation) เครื่องเรือนให้เก่าและเสื่อม化 อาจรวมถึงการทำอันตรายต่อร่างกายมนุษย์ และรังสีอินฟราเรดคือรังสีความร้อน ซึ่งสร้างความร้อนให้แก่อาคาร นอกจากนี้รังสีอาทิตย์ซึ่งเป็นรังสีคลื่นสั้นสามารถทะลุทะลวงผ่านบานกระจกของช่องเปิดได้ดีแต่เมื่อส่องกระทบกับวัสดุทึบแสงภายในอาคารแล้ว วัสดุนั้นจะดูดกลืนรังสี (Absorption) และคล้ายรังสีอุ่นมาในรูปของรังสีคลื่นยาวในช่วงความยาวคลื่นของรังสีฟาร์อินฟราเรด (far-infrared) หรือคลื่นความร้อนเช่นกัน ช่วงคลื่นดังกล่าวไม่สามารถถ่ายเทความร้อนผ่านกระจกโดยการแผ่รังสีความร้อนได้ทำให้เกิด

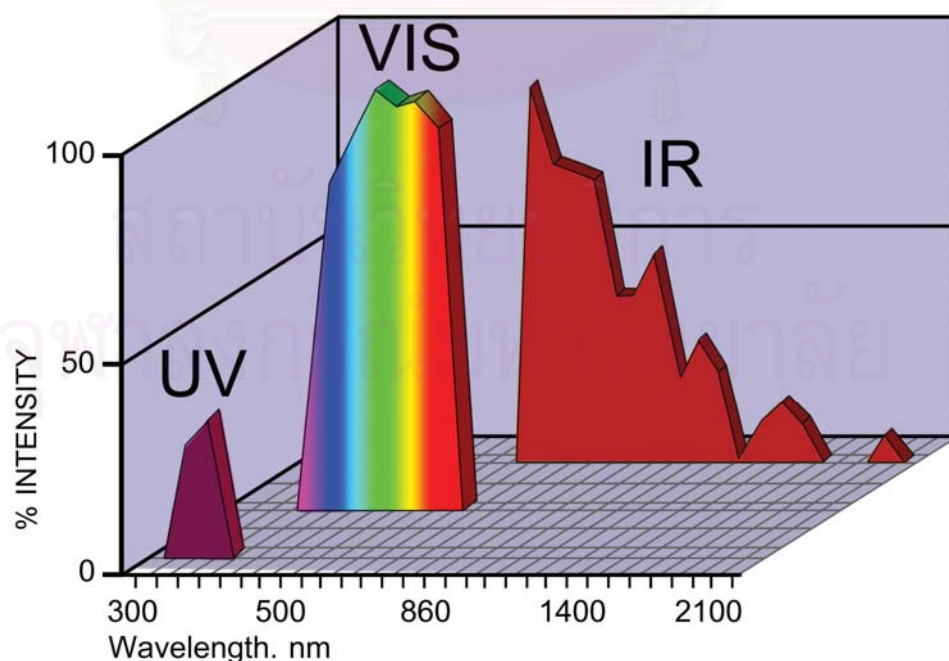
ความร้อนสะสมภายในอาคารซึ่งเพิ่มภาวะในการทำความเย็นให้กับอาคารป้องกันอากาศมากยิ่งขึ้น

Luminous Efficacy
(Lumen/Watt)



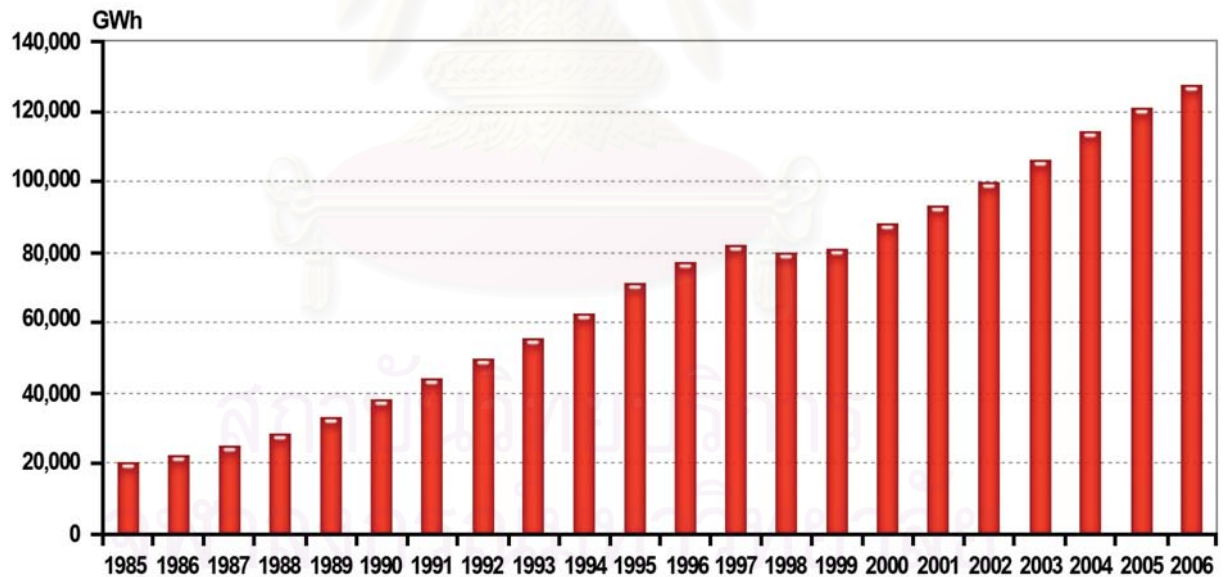
แผนภูมิที่ 1-1 แสดงประสิทธิภาพความส่องสว่างของแหล่งกำเนิดแสงชนิดต่าง ๆ
(สุนทร บุญญาธิการ, 2545: 142)

The Solar Spectrum
3% UV-44% VIS-53% NIR

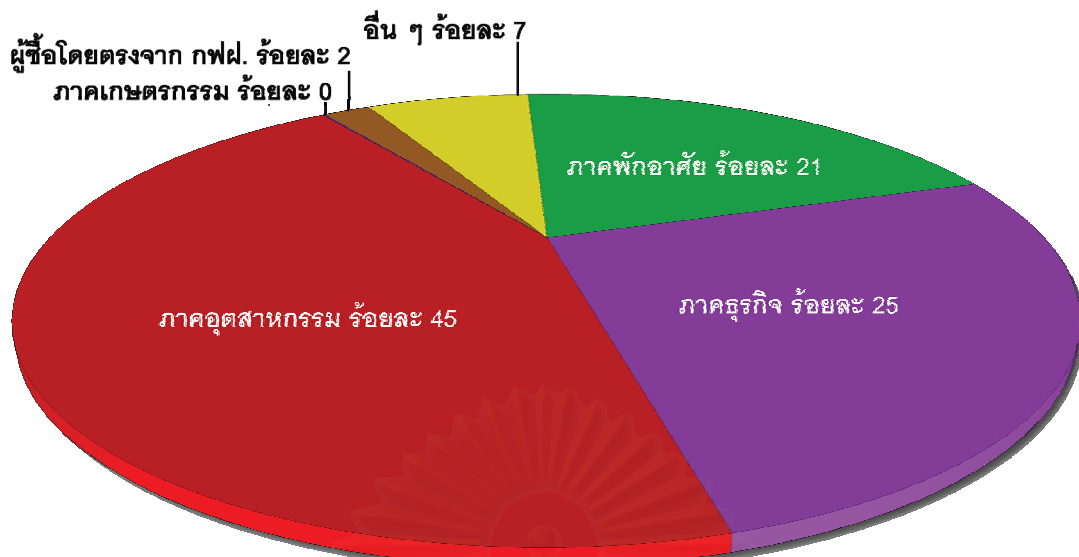


แผนภูมิที่ 1-2 แสดงช่วงความยาวคลื่นของรังสีอาทิตย์ที่ส่องมาถึงพื้นผิวโลก (สุนทร บุญญาธิการ, 2551: 76)

จากที่กล่าวในข้างต้น พบว่าซองเปิดมีความสำคัญต่อการใช้พลังงานไฟฟ้าในอาคารเป็นอย่างมาก เมื่อพิจารณาการใช้ไฟฟ้าในอาคารจากข้อมูลของกระทรวงพลังงาน (2550) ดังที่แสดงในแผนภูมิที่ 1-3 การใช้พลังงานไฟฟ้าในประเทศไทยระหว่างปี พ.ศ. 2528 - 2549 (ค.ศ. 1985 - 2006) พบว่าปริมาณการใช้ไฟฟ้าของประเทศไทยมีแนวโน้มเพิ่มสูงขึ้นเกือบทุกปี เมื่อพิจารณาในปี พ.ศ. 2549 (ค.ศ. 2006) ปริมาณการใช้พลังงานไฟฟ้าต่อประชากรคือประมาณ 2.12 เมกะวัตต์ต่อคนต่อปี (พิจารณาจากจำนวนประชากรของประเทศไทยที่ 60 ล้านคน) จากการประมาณการของ การไฟฟ้าฝ่ายผลิตแห่งประเทศไทยปริมาณการใช้พลังงานไฟฟ้าในปี พ.ศ. 2551 ประมาณ 156,628 กิกะวัตต์ชั่วโมง เพิ่มขึ้นร้อยละ 5.5 จากปี พ.ศ. 2550 เมื่อพิจารณาการใช้พลังงานไฟฟ้าของประเทศไทยในปี พ.ศ. 2549 พบว่ามีสัดส่วนการใช้พลังงานไฟฟ้าในภาคพักอาศัยสูงถึงร้อยละ 21 หรือคิดเป็น 26,914.91 กิกะวัตต์ชั่วโมง (GWh) โดยปกติแล้วแผนการอนุรักษ์พลังงานในส่วนภาคพักอาศัยมักปฏิบัติให้เกิดผลจริงได้ยาก เนื่องจากเป็นลักษณะกثุ่มผู้บริโภคพลังงานไฟฟ้ารายย่อย ๆ จำนวนมากดังนั้นเพื่อเป็นการแก้ปัญหาที่ดันเหตุการออกแบบอาคารที่มีประสิทธิภาพสูงตั้งแต่เริ่มต้นจึงเป็นแนวทางที่เหมาะสมที่สุด



แผนภูมิที่ 1-3 แสดงปริมาณการใช้ไฟฟ้ารวมของประเทศไทยระหว่างปี พ.ศ. 2528 - 2549 (ค.ศ. 1985 - 2006)

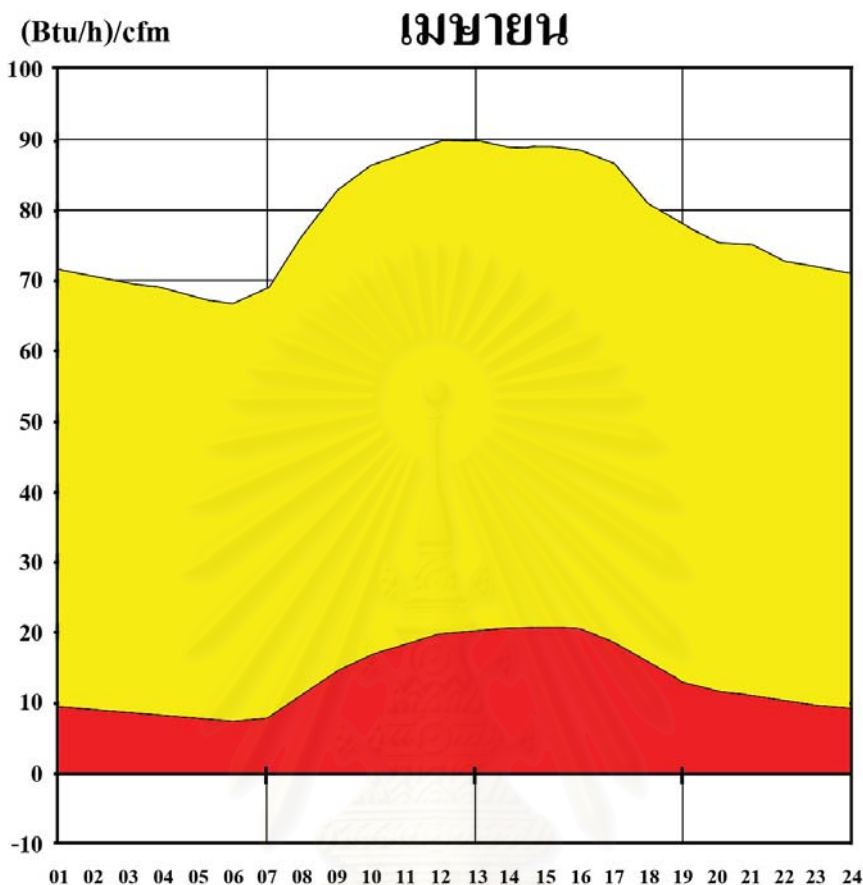


แผนภูมิที่ 1-4 แสดงสัดส่วนการใช้ไฟฟ้าของประเทศไทยปี พ.ศ. 2549

(http://www.eppo.go.th/info/5electricity_stat.htm)

ปัจจุบันสังคมตระหนักถึงปัญหาด้านพลังงานและสิ่งแวดล้อมมากขึ้นเนื่องจากปัญหาภาวะโลกร้อน (Global warming) ที่มีผลกระทบให้เห็นเป็นรูปธรรมและทวีความรุนแรงอย่างต่อเนื่องก่อให้เกิดความกังวลต่อสังคม ปัญหาดังกล่าวทำให้เกิดการตระหนักรถึงการใช้พลังงานและทรัพยากรธรรมชาติอย่างมีประสิทธิภาพ ส่งผลให้อาคารต่าง ๆ ทั้งอาคารเก่าและอาคารที่ออกแบบใหม่ต้องเพิ่มประสิทธิภาพในการใช้พลังงานในอาคารให้คุ้มค่า การปรับปรุงและออกแบบกรอบอาคารที่เหมาะสมสามารถเพิ่มประสิทธิภาพทางด้านพลังงานของอาคารได้ ส่วนหนึ่งของการปรับปรุงและออกแบบกรอบอาคารคือการปรับปรุงซ่อมเปลี่ยนน้ำทิ้งออกและน้ำทิ้งที่ไม่สามารถตอบสนองความต้องการด้านประสิทธิภาพอาคารได้ดีเพียงพอ ดังนั้นเพื่อตอบสนองความต้องการทางด้านประสิทธิภาพอาคาร (Building performance) และยังต้องตอบสนองต่อความต้องการพื้นฐานเดิม เช่น สภาวะนำสบายนอกมนุษย์ (Human comfort) และความเหมาะสมทางเศรษฐกิจศาสตร์ (Economic criteria) การวิจัยนี้จึงทำการศึกษาซ่อมเปลี่ยนน้ำทิ้งในส่วนการติดตั้ง และการเลือกใช้วัสดุของซ่อมเปลี่ยนที่เหมาะสมเพื่อลดการถ่ายเทความร้อนเข้าสู่อาคารผ่านซ่อมเปลี่ยน อาคารปรับอากาศที่ตั้งในเขตภูมิอากาศร้อนชื้น (hot-humid climate) ซึ่งมีความชื้นสูงตลอดทั้งปี จำเป็นต้องออกแบบซ่อมเปลี่ยนที่มีการรับซึมอากาศต่ำ เนื่องจากอากาศที่ร้อนชื้มเข้าสู่อาคารมีความชื้นสูง ทำให้ระบบปรับอากาศในอาคารต้องรีดความชื้นจำนวนมากออกสู่ภายนอกอาคาร ส่งผลต่อการใช้พลังงานไฟฟ้าในส่วนภาระการทำความเย็นของอาคาร ผลที่ได้จากการศึกษา

สามารถนำไปเป็นแนวทางในการปรับปรุงในการออกแบบอาคารใหม่ รวมถึงการปรับปรุงอาคารเก่า (Retrofit) ให้มีประสิทธิภาพที่ดีขึ้น เช่นกัน



แผนภูมิที่ 1-5 แสดงปริมาณการใช้พลังงานเพื่อขัดความร้อน (พื้นที่สีแดง) และความชื้น (พื้นที่สีเหลือง) ที่แผงอยู่ในอากาศ เฉลี่ย 1 วันของเดือนเมษายน พบว่าปริมาณการใช้พลังงานเพื่อขัดความชื้นมากกว่าปริมาณพลังงานที่ใช้ลดความร้อนในห้อง (สุนทร นุญญาธิการ, 2545: 35)

ในต่างประเทศมีหลายหน่วยงานให้ความสำคัญต่อประสิทธิภาพของซ่องเปิด เช่น กระทรวงพลังงานของสหรัฐอเมริกา (U.S. department of energy) ได้มีข้อแนะนำสำหรับผู้บริโภคสำหรับการใช้พลังงานอย่างมีประสิทธิภาพ และการใช้พลังงานหมุนเวียน (A Consumer's Guide to Energy Efficiency and Renewable Energy) ซึ่งอธิบายถึงการเลือกใช้คุณภาพต่าง ๆ ให้มีประสิทธิภาพรวมถึงมีการจัดระดับประสิทธิภาพหน้าต่าง ประตู และซ่องแสงต่าง ๆ (Energy Performance Ratings for Windows, Doors, and Skylights) เพื่อเป็นข้อมูลสำหรับประชาชน หรือหน่วยงานอิเน็นจิรีสตาร์ (Energy star) ซึ่งเป็นหน่วยงานที่กำหนดมาตรฐานการใช้พลังงานของคุณภาพต่าง ๆ เพื่อให้การรับรองผลิตภัณฑ์ที่มีการอนุรักษ์พลังงานที่ดี ทำการพิจารณาผลิตภัณฑ์ประเภทหน้าต่าง ประตู และซ่องแสงต่าง ๆ เป็นต้น

 U.S. Department of Energy
Energy Efficiency and Renewable Energy *Bringing you a prosperous future where energy is clean, abundant, reliable, and affordable*

EERE Home

A Consumer's Guide to Energy Efficiency and Renewable Energy

Your Home | Your Vehicle | Your Workplace | Products & Services | Renewable Energy | Information Resources | Home

Your Home

[Printable Version](#)

Windows, Doors, and Skylights
 Energy-efficient windows, doors, and skylights—also known as fenestration—can help lower a home's heating, cooling, and lighting costs. Learn about their [energy performance ratings](#) and how to maximize their energy efficiency in your home:

- **Exterior Doors**
 Select energy-efficient doors or improve the energy efficiency of existing ones.
- **Skylights**
 Select energy-efficient skylights.
- **Windows**
 Select energy-efficient windows or improve the energy efficiency of existing ones.

[Printable Version](#)

EERE Information Center
LEARN MORE
 Product Information
 Residential Windows, Doors, and Skylights 
 ENERGY STAR
 Professional Services
 Certified Window and Door Installers 
 InstallationMasters Institute
 Department of Energy Resources
 Windows and Doors R&D 
 Building Technologies Program

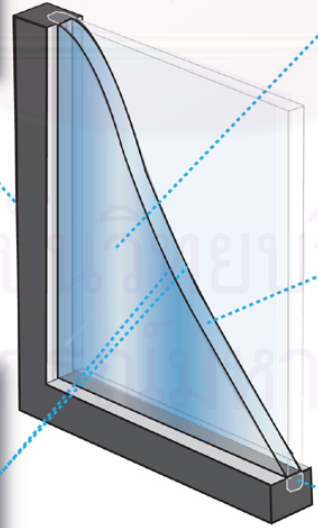
Calculate Your Energy Costs 

[Consumer's Guide Home](#) | [EERE Home](#) | [U.S. Department of Energy](#)
[Webmaster](#) | [Web Site Policies](#) | [Security & Privacy](#) | [USA.gov](#)
 Content Last Updated: September 12, 2005

ภาพที่ 1-2 ข้อแนะนำเพื่อผู้บริโภคสำหรับการใช้พลังงานอย่างมีประสิทธิภาพ และการใช้พลังงานหมุนเวียน กระทรวงพลังงานสหรัฐอเมริกา (<http://www.eere.energy.gov/consumer/>)

WHAT MAKES A WINDOW ENERGY EFFICIENT? 

Today, manufacturers use an array of [advanced technologies](#) to make ENERGY STAR-qualified windows.



IMPROVED FRAME MATERIALS
 Wood composites, vinyl, and fiberglass frames reduce heat transfer and help insulate better.

LOW-E GLASS
 Special coatings reflect infrared light, keeping heat inside in winter and outside in summer. They also reflect damaging ultraviolet light, which helps protect interior furnishings from fading.

GAS FILLS
 Some energy-efficient windows have argon, krypton, or other gases between the panes. These odorless, colorless, non-toxic gases insulate better than regular air.

MULTIPLE PANES
 Two panes of glass, with an air or gas-filled space in the middle, insulate much better than a single pane of glass. Some ENERGY STAR-qualified windows include three or more panes for even greater energy efficiency, increased impact resistance, and sound insulation.

WARM EDGE SPACERS
 A spacer keeps a window's glass panes the correct distance apart. Today's warm edge spacers—made of steel, foam, fiberglass, or vinyl—reduce heat flow and prevent condensation.

ภาพที่ 1-3 ข้อแนะนำการเลือกหน้าต่างของหน่วยงานเอนเนอร์จีสตาร์ (www.energystar.gov)

ปัจจุบันประเทศไทยมีมาตรฐานผลิตภัณฑ์อุตสาหกรรมสำหรับประตูหน้าต่างหลายตัว เช่น มาตรฐานผลิตภัณฑ์อุตสาหกรรม มอก. 1043-2534 สำหรับหน้าต่างพีวีซี เป็นต้น มาตรฐานเหล่านี้เป็นมาตรฐานอุตสาหกรรมสำหรับบริษัทผู้ผลิต และโรงงานซึ่งกล่าวถึงขนาด และคุณสมบัติเชิงกลของผลิตภัณฑ์ เช่น การรับแรง และการทนไฟ เป็นต้น (สำนักงานมาตรฐานผลิตภัณฑ์อุตสาหกรรมกระทรวงอุตสาหกรรม, 2534) ดังนั้นนักออกแบบ และผู้บริโภคในปัจจุบันยังขาดข้อมูลสำหรับออกแบบซึ่งเปิดที่มีประสิทธิภาพ ด้านพลังงาน งานวิจัยนี้เป็นการศึกษาซึ่งองเปิดรูปแบบต่าง ๆ เพื่อหารูปแบบซึ่งเปิดที่เหมาะสมสำหรับอาคารในเขตภูมิอากาศร้อนชื้น เช่นประเทศไทย อันนำไปสู่การสร้างต้นแบบซึ่งเปิดที่มีประสิทธิภาพด้านพลังงาน ต่อไป

1.2. วัตถุประสงค์ของการวิจัย

- 1.2.1. ศึกษาปริมาณพลังงานไฟฟ้าที่สูญเสียจากการถ่ายเทความร้อนผ่านซ่องเปิดเข้าสู่ภายในอาคาร
- 1.2.2. ศึกษาปริมาณพลังงานไฟฟ้าที่ลดลงจากการใช้แสงธรรมชาติผ่านซ่องเปิดเพื่อทดแทนแสงประดิษฐ์ในอาคาร
- 1.2.3. วิเคราะห์เปรียบเทียบการใช้พลังงานไฟฟ้าจากการทำความเย็นของซ่องเปิด และการลดการใช้พลังงานไฟฟ้าแสงประดิษฐ์จากการใช้ประโยชน์จากแสงธรรมชาติ
- 1.2.4. เสนอวิธีการใช้งานซึ่งองเปิดที่เหมาะสมสำหรับอาคารในเขตร้อนชื้น

1.3. ขอบเขตของการวิจัย

- 1.3.1. ศึกษาซึ่งองเปิดสำหรับอาคารปรับอากาศในเขตภูมิอากาศแบบร้อนชื้น เช่นประเทศไทยเท่านั้น โดยเลือกข้อมูลสภาพอากาศกรุงเทพมหานคร และปริมณฑล เป็นกรณีศึกษา
- 1.3.2. วิเคราะห์และประเมินค่าของรูปแบบซึ่งองเปิดที่ติดตั้งในระนาบตั้ง และไม่ได้รับอิทธิพลจากการถ่ายเทียบตัวของตัวเอง
- 1.3.3. ทำการศึกษาประสิทธิภาพของซึ่งองเปิดเฉพาะผลกระทบด้านภาระการทำความเย็น และแสงธรรมชาติเท่านั้น
- 1.3.4. ศึกษาวัสดุซึ่งองเปิดที่นิยมใช้ทั่วไปในห้องตลาดประเทศไทย

1.4. ระเบียบวิธีวิจัย

ระเบียบวิธีวิจัยสามารถแบ่งขั้นตอนได้ 4 ขั้นตอน คือ

- ขั้นตอนที่ 1. วิเคราะห์ปริมาณพลังงานที่เกิดจากการถ่ายเทความร้อนผ่านช่องเปิด
- ขั้นตอนที่ 2. วิเคราะห์ปริมาณพลังงานที่ได้รับจากการใช้แสงธรรมชาติผ่านช่องเปิดเทียบเท่ากับพลังงานไฟฟ้าที่ลดได้จากแสงประดิษฐ์
- ขั้นตอนที่ 3. เปรียบเทียบการใช้พลังงานไฟฟ้าจากการทำความเย็นของช่องเปิดและการลดการใช้พลังงานไฟฟ้าแสงประดิษฐ์จากการใช้ประโยชน์จากแสงธรรมชาติ
- ขั้นตอนที่ 4. เสนอช่องเปิดต้นแบบที่เหมาะสมสำหรับอาคารในเขตกรุงศรีฯ

ขั้นตอนที่ 1 วิเคราะห์ปริมาณพลังงานที่เกิดจากการถ่ายเทความร้อนผ่านช่องเปิด

1.4.1. ตัวแปรที่ใช้ในการวิจัย

- ตัวแปรต้น (independent variable) คือกลุ่มตัวแปรเกี่ยวกับการใช้พลังงานของช่องเปิด เช่นค่าสัมประสิทธิ์การถ่ายเทความร้อน (U-value), ค่าสัมประสิทธิ์การบังแดด (SC)
- ตัวแปรตาม (dependent variable) คือกลุ่มตัวแปรที่เป็นผลมาจากการตัวแปรต้น ในที่นี้คือ การใช้พลังงานไฟฟ้าเพื่อขัดความร้อนอันเนื่องมาจากการช่องเปิด
- ตัวแปรควบคุม (controlled variable) คือกลุ่มตัวแปรที่ไม่ทำการศึกษา และควบคุมไม่ให้มีผลกระทบต่อตัวแปรตาม ในที่นี้คือ การบังเงาของช่องเปิด และขนาดของห้อง

1.4.2. ศึกษาการถ่ายเทความร้อนผ่านช่องเปิด

- ศึกษาโดยใช้วิธีการหาภาระความแตกต่างความร้อนเทียบเท่า (cooling load temperature difference, CLTD)

1.4.3. ศึกษาการใช้พลังงานไฟฟ้าในการขัดความร้อนอันเนื่องมาจากการช่องเปิด

- ศึกษาโดยทำการใช้พลังงานของระบบปรับอากาศในการขัดความร้อนอันเนื่องมาจากการช่องเปิด

ขั้นตอนที่ 2 วิเคราะห์ปริมาณพลังงานที่ได้รับจากการใช้แสงธรรมชาติผ่านช่องเปิดเทียบเท่ากับพลังงานไฟฟ้าที่ลดได้จากแสงประดิษฐ์

1.4.4. ตัวแปรที่ใช้ในการวิจัย

- ตัวแปรต้น (independent variable) คือกลุ่มตัวแปรเกี่ยวกับการได้รับพลังงานของช่องเปิด เช่น ตำแหน่งติดตั้งช่องเปิด ค่าการส่องผ่านแสง (VT) เป็นต้น
- ตัวแปรตาม (dependent variable) คือกลุ่มตัวแปรที่เป็นผลมาจากการตัวแปรต้น ในที่นี้คือ ระดับความส่องสว่าง และการได้รับพลังงานไฟฟ้าจากแสงธรรมชาติ เทียบเท่าแสงประดิษฐ์
- ตัวแปรควบคุม (controlled variable) คือกลุ่มตัวแปรที่ไม่ทำการศึกษา และควบคุมไม่ให้มีผลกระทบต่อตัวแปรตาม ในที่นี้คือ การบังเงาของช่องเปิด และขนาดของห้อง

1.4.5. ศึกษาการใช้แสงธรรมชาติผ่านช่องเปิด

- ศึกษาการใช้แสงธรรมชาติทำการศึกษาโดยสร้างแบบจำลองทางกายภาพ (physical model) และใช้วิธีตัวประกอบแสงธรรมชาติ (daylight factor)

1.4.6. ทำการคำนวณการได้รับพลังงานจากแสงธรรมชาติเทียบเท่าแสงประดิษฐ์

- ศึกษาโดยพิจารณาจากการใช้แสงธรรมชาติทดสอบใช้พลังงานไฟฟ้าแสงสว่างของแสงประดิษฐ์ต่อพื้นที่ 1 ตารางเมตร

ขั้นตอนที่ 3 เปรียบเทียบการใช้พลังงานไฟฟ้าจากภาระการทำการทำความเย็นของช่องเปิดและการลดการใช้พลังงานไฟฟ้าแสงประดิษฐ์จากการใช้ประโยชน์จากแสงธรรมชาติ

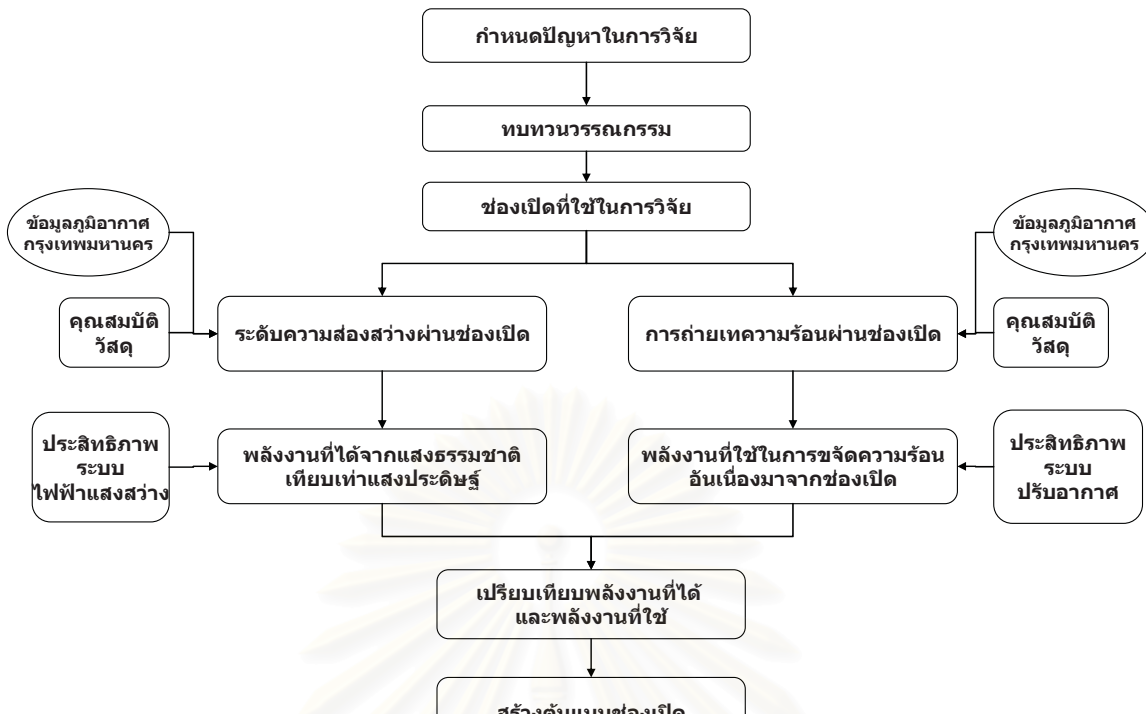
1.4.7. เปรียบเทียบการใช้พลังงานที่ได้จากแสงธรรมชาติเทียบเท่าแสงประดิษฐ์ และพลังงานที่ใช้ในการลดความร้อนจากช่องเปิด

1.4.8. สร้างมาตรฐานดับประดับประสิทธิภาพด้านพลังงานของช่องเปิด

ขั้นตอนที่ 4 เสนอช่องเปิดต้นแบบที่เหมาะสมสำหรับอาคารในเขตร้อนชื้น

1.4.9. วิเคราะห์ปัจจัยในการออกแบบช่องเปิดที่เกี่ยวข้องกับการใช้พลังงานในอาคาร

1.4.10. พัฒนาช่องเปิดต้นแบบสำหรับอาคารในเขตร้อนชื้น



แผนภูมิที่ 1-6 .ขั้นตอนศึกษาวิจัย

1.5. ประโยชน์ที่คาดว่าจะได้รับ

- 1.5.1. เข้าใจตัวแปรที่มีผลต่อการใช้พลังงานในอาคารอันเนื่องมาจากช่องเปิด
- 1.5.2. เข้าใจตัวแปรที่มีผลต่อการนำแสงธรรมชาติเข้ามาใช้เพื่อลดการใช้พลังงานไฟฟ้าในอาคาร
- 1.5.3. เกณฑ์ในการวัดประสิทธิภาพด้านพลังงานของช่องเปิด
- 1.5.4. ต้นแบบช่องเปิดที่มีประสิทธิภาพด้านพลังงานที่เหมาะสมสำหรับอาคารปัจจุบัน อากาศประเทศไทย

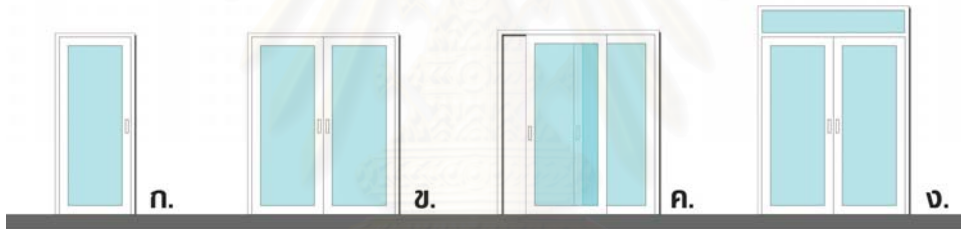
**สถาบันวิทยบริการ
จุฬาลงกรณ์มหาวิทยาลัย**

บทที่ 2

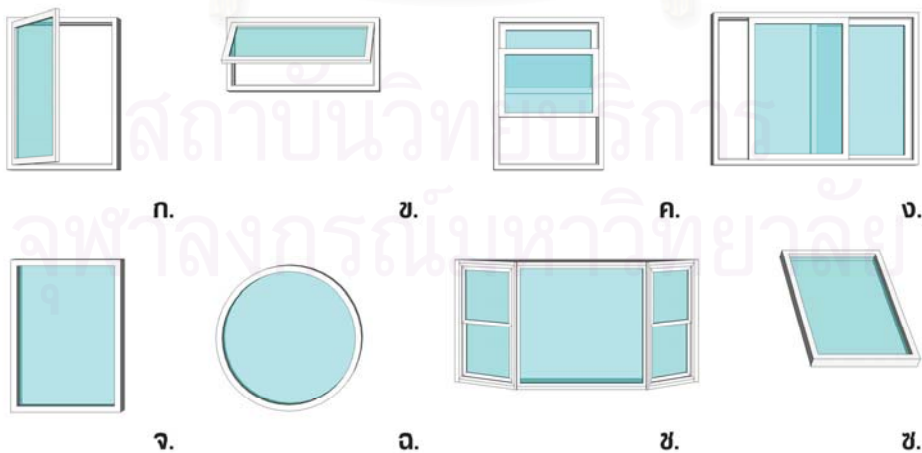
เอกสาร และงานวิจัยที่เกี่ยวข้อง

2.1. บทนำ

ช่องเปิด หรือคำศัพท์ในภาษาอังกฤษคือ fenestration มีรากศัพท์มาจากภาษาลาตินคือ fenestra แปลว่าหน้าต่าง ช่องเปิดหมายถึง “วัตถุที่นำมาประกอบเป็นช่องบริเวณเปลือกอาคาร เช่น หน้าต่าง ประตู หรือช่องแสงต่าง ๆ” (ASHRAE, 2004: 30.1) เป็นส่วนประกอบภายในออกที่สำคัญของงานสถาปัตยกรรมซึ่งเชื่อมที่ว่างภายใน และภายนอกเข้าด้วยกันทั้งทางด้านภายใน และมุ่มมองทางสายตา และยังเป็นช่องทางนำรังสีอาทิตย์ (solar radiation) เข้าสู่อาคาร ซึ่งนำทั้งแสงธรรมชาติ (daylighting) และความร้อน (heat gain) เข้าสู่อาคาร รูปแบบช่องเปิดมีหลากหลายชนิดดังที่แสดงตัวอย่างในภาพที่ 2-1 และ 2-2 ซึ่งมีทั้งรูปแบบช่องเปิดติดตาย (fixed) และรูปแบบเปิดได้ (operable) ที่สามารถควบคุมการระบายอากาศด้วยวิธีธรรมชาติ (natural ventilation) สำหรับอาคารไม่ปิดอากาศ



ภาพที่ 2-1 แสดงตัวอย่างช่องเปิดประตู ก. ประตูบานเปิดเดียว (single panel hinged door) ข. ประตูบานเปิดคู่ (double panel hinged door) ค. ประตูบานเลื่อน (sliding door) และ ง. ประตูบานเปิดคู่มีช่องแสงติดตายด้านบน (serried of hinged door)



ภาพที่ 2-2 แสดงตัวอย่างช่องเปิดหน้าต่าง ก. หน้าต่างบานเปิด (casement window) ข. หน้าต่างบานกระทุ้ง (awning window) ค. หน้าต่างบานเลื่อนแนวตั้ง (double hung window) ง. หน้าต่างบานเลื่อนแนวนอน (sliding window) จ. หน้าต่างบานติดตาย (fixed window) ฉ. หน้าต่างรูปแบบพิเศษ (special window) ช. หน้าต่างเรือนกระจก (greenhouse window) และ ช. ช่องแสงหลังคา (skylight)

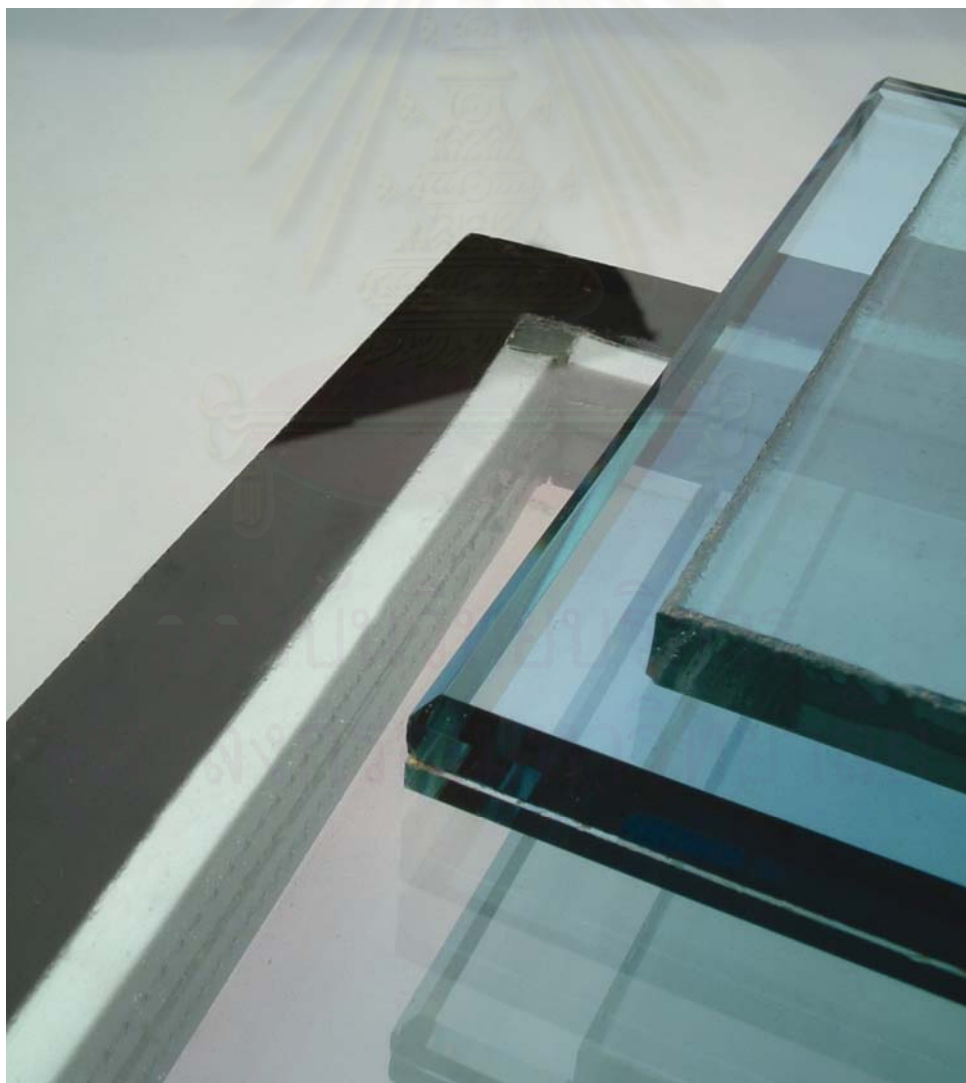
2.2. ส่วนประกอบของช่องเปิด

ช่องเปิดประกอบด้วยส่วนประกอบหลัก 2 ส่วนคือ ส่วนบานกระจก (glazing) และส่วนบานกรอบ (framing) โดยบางกรณีอาจมีอุปกรณ์ปั้งแಡด (shading device) หนึ่งชุด (insect screen) หรือ เหล็กตัด ประกอบ

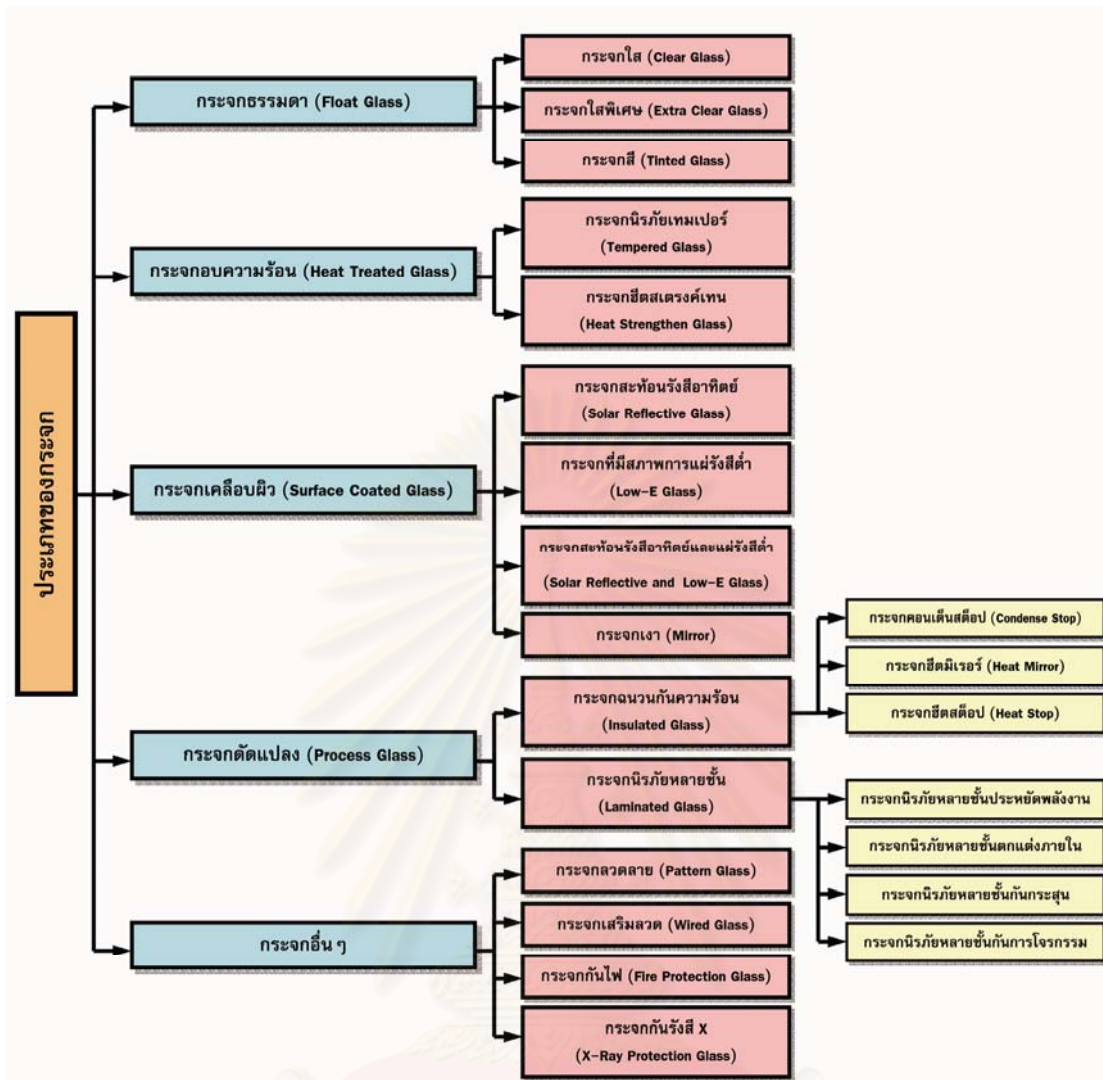
2.2.1. ส่วนบานกระจก

วัสดุบานกระจกที่นิยมใช้ในการติดตั้งส่วนบานกระจกของช่องเปิด มีหลายชนิด เช่นกระจกใส (clear float glass) กระจกสี (tinted glass) กระจก laminated glass) กระจกลาย (pattern glass) และกระจกฉนวนกันความร้อน (insulated glass) เป็นต้น

บานกระจกของช่องเปิดเป็นส่วนประกอบที่สำคัญมากต่อการใช้พลังงานของช่องเปิด เพราะเป็นส่วนที่มีการถ่ายเทความร้อน และการแผ่วงสีความร้อนจากภายนอกเข้าสู่อาคาร



ภาพที่ 2-3 แสดงตัวอย่างของกระจกชนิดต่าง ๆ (สุนทร บุณยานิการ, 2551: 27)



แผนภูมิที่ 2-1 แสดงการแบ่งประเภทของกระจกที่ใช้ในปัจจุบัน (สุนทร บุญญาธิการ, 2551: 28)

2.2.2. ส่วนบานกรอบ

วัสดุบานกรอบที่นิยมในตลาดประเทศไทย ปัจจุบันมี 3 กลุ่มคือ กลุ่มบานกรอบไม้ (wood framing) กลุ่มบานกรอบโลหะ (metal framing) และกลุ่มบานกรอบโพลีเมอร์ (polymers framing)

2.2.2.1. บานกรอบไม้

ไม้เป็นวัสดุบานกรอบดั้งเดิมที่ใช้กันโดยทั่วไป มีคุณสมบัติเด่นคือ ความเป็นอนุวัฒน์ของเนื้อวัสดุสูง โดยทั่วไปค่าสัมประสิทธิ์การถ่ายเทความร้อนของไม้จะอยู่ระหว่าง 1.70 ถึง 2.84 วัตต์ต่อตารางเมตร เคลวิน ($W/m^2 K$) นอกจากนั้นยังมีความแข็งแรง และสวยงาม แต่มีความต้านทานการเปลี่ยนแปลงสภาพอากาศได้ต่ำ ส่งผลต่อการโกรง บิดตัว และการยืดหดตัวของเนื้อวัสดุ อีกทั้งยังถูกทำลายได้ง่ายโดย ปลวก และรา ทำให้ต้องเสียค่าใช้จ่ายในการบำรุงรักษาสูง และอายุการ

ใช้งานต่อแต่หากมีการบำบัดรักษาที่ถูกวิธีจะสามารถยืดอายุการใช้งานได้ยาวนาน ปัญหาที่สำคัญอย่างยิ่งของบานกรอบไม้คือ อัตราการร้าวซึมออกาศของไม้ซึ่งอยู่ในระดับที่สูงมาก เนื่องจากการยึดหดตัวของเนื้อวัสดุที่สูง และการประกอบของวัสดุ ทำให้สิ้นเปลืองพลังงานในการปรับอากาศของอาคารโดยเฉพาะอย่างยิ่ง หากในเขตหนาวชื้น เช่นประเทศไทย



ภาพที่ 2-4 แสดงบานกรอบไม้ที่ขาดการดูแลรักษา

2.2.2.2. บานกรอบโลหะ

บานกรอบโลหะที่นำมาประกอบเป็นบานกรอบคือ บานกรอบเหล็ก และบานกรอบอลูมิเนียม โดยบานกรอบอลูมิเนียม เป็นบานกรอบที่ได้รับความนิยมมากในปัจจุบัน ข้อดีของบานกรอบโลหะมีความทนทาน และความแข็งแรงสูงมาก แต่มีคุณสมบัติความเป็นอนุน雅ของเนื้อวัสดุต่ำมาก เช่นบานกรอบอลูมิเนียม มีค่าสัมประสิทธิ์การนำความร้อน (thermal conductivity: k) สูงกว่าไม้ และโพลีเมอร์ ประมาณ 1000 เท่า เป็นต้น ซึ่งสามารถแก้ปัญหาการนำความร้อนโดยการใช้ฉนวนกันระหว่างอลูมิเนียมภายนอก และภายใน (thermal break aluminum) ซึ่งทำให้ลดค่าสัมประสิทธิ์การถ่ายเทความร้อนได้มาก แต่อย่างไรก็

ตามราคาของบานกรอบชนิดนี้มีราคาสูงมาก ทำให้มีได้รับความนิยมในประเทศไทย บานกรอบอลูมิเนียมในประเทศไทยมีปัญหาการร้าวซึ่งมาจากการศูนจากบัญชา การควบคุมคุณภาพการผลิตบานกรอบซึ่งทำให้เกิดการร้าวซึ่งมาจากการบริเวณรอยต่อของวัสดุได้



ภาพที่ 2-5 แสดงปัญหาการร้าวซึ่งมาจากการบริเวณรอยต่อของบานกรอบอลูมิเนียม

2.2.2.3. บานกรอบโพลิเมอร์

บานกรอบกลุ่มบานกรอบโพลิเมอร์ มีบานกรอบที่นิยมใช้คือ บานกรอบพีวีซี (PVC frame) และบานกรอบยูพีวีซี (uPVC frame) ซึ่งมีคุณสมบัติแตกต่างกันจากสารเคมีที่เติมลงในเนื้อวัสดุ โดยบานกรอบโพลีเมอร์ที่นำมาใช้ภายนอกคือบานกรอบยูพีวีซี (uPVC frame) เป็นพีวีซีที่ไม่ผสมสารพลาสติกไซเซอร์ (plasticizer) ทำให้คุณสมบัติยูพีวีซีมีความแกร่ง นอกจากนี้ยูพีวีซีมีการเติมสารไททาเนียมไดออกไซด์ (titanium dioxide) ทำให้บานกรอบยูพีวีซีทนทานต่อรังสีอัลตราไวโอลেต และเนื้อวัสดุเป็นสีขาว บานกรอบยูพีวีซีมีคุณสมบัติความเป็นฉนวนในเนื้อวัสดุสูง ใกล้เคียงบานกรอบไม้ สามารถป้องกันความชื้นได้ดี และทนทานต่อการสึกกร่อนเนื่องจากสีของวัสดุผสานรวมกับเนื้อวัสดุ ทำให้การบำรุงรักษาต่ำอย่างไรก็ตามความแข็งแรงของวัสดุไม่สูงมากกับการประกอบบานกรอบ

ขนาดใหญ่จำเป็นต้องเสริมความแข็งแรงโดยการเสริมโครงล็อกหะ เช่นโครงไม้ หรือเหล็กกัลป์ว้านต์ ภายในตัวบานกรอบ

ข้อดีของบานกรอบบุฟเฟ่ชีอิกประการหนึ่งคือ การประกอบบานกรอบใช้วิธีเชื่อมติดด้วยความร้อน (welding) ทำให้รอยต่อของวัสดุเป็นเนื้อดียวกันทำให้การรั่วซึมออกอากาศของช่องเปิดต่ำ และป้องกันการจลาจลรวม



ภาพที่ 2-6 แสดงรอยต่อของบานกรอบบุฟเฟ่ชี

นอกจากวัสดุทั้ง 3 ชนิดที่กล่าวถึงข้างต้นยังมีวัสดุบานกรอบอื่น ๆ เช่น บานกรอบผสม (hybrid frames) บานกรอบคอมโพลิต (wood/ polymer composites frames) บานกรอบไฟเบอร์กลาส (fiberglass pultrusions frames) และบานกรอบเอนจิเนียร์ เทคโนโลยี พลาสติก (engineered thermoplastics frames) (Carmody, J. et al., 2004) ซึ่งวัสดุเหล่านี้ยังไม่ได้รับความนิยม และแพร่หลายในประเทศไทย รวมถึงราคาของช่องเปิดเหล่านี้มีราคาสูงจึงไม่น่ามาศึกษาในงานวิจัยนี้

ในการวิจัยนี้ศึกษาบ้านกรอบที่นิยมใช้ภายในนอก 3 ชนิดมาเปรียบเทียบคือ บ้านกรอบไม้ (wood frame) บ้านกรอบอลูมิเนียม (aluminum frame) และบ้านกรอบยูพีวีซี (uPVC frame) สำหรับเป็นกรณีศึกษาในการวิจัย

บ้านกรอบมีอิทธิพลต่อการใช้พลังงานในอาคารด้านการถ่ายเทความร้อนผ่านเนื้อวัสดุ (conduction) และการรั่วซึมอากาศ (infiltration) ผ่านช่องเปิดของอาคาร

2.2.3. ส่วนอุปกรณ์บังแดด

อุปกรณ์บังแดดในปัจจุบันมีหลายชนิด โดยมีรูปลักษณ์ และคุณสมบัติที่แตกต่างกัน จุดประสงค์หลักของอุปกรณ์บังแดดคือการป้องกันรังสีอาทิตย์ตรง (direct radiation) ที่เข้าสู่อาคาร และด้านทัศนวิสัย (visual) เพื่อป้องกันแสงบาดตา อุปกรณ์บังแดดแบ่งประเภทใหญ่ได้ 2 ประเภทคือ อุปกรณ์บังแดดภายนอก และอุปกรณ์บังแดดภายใน อุปกรณ์บังแดดภายนอกมีคุณสมบัติลดความร้อนจากแสงอาทิตย์ (solar heat gain) ได้ดีกว่าอุปกรณ์บังแดดภายใน แต่อุปกรณ์บังแดดภายในมีข้อดีคือติดตั้ง และปรับแต่งได้ง่ายกว่า

ในงานวิจัยนี้ตั้งอยู่บนสมมติฐานคือช่องเปิดไม่โดนแดดรโดยตรง หมายความว่า ช่องเปิดไม่โดนรังสีอาทิตย์ตรง มีอุปกรณ์บังแดดภายนอกป้องกันช่องเปิดจากรังสีอาทิตย์ตรง

2.3. ประเด็นในการพิจารณาช่องเปิด

ในอดีตประเด็นที่ผู้ออกแบบพิจารณาเลือกใช้และออกแบบช่องเปิดเป็นหลัก คือ ประเด็นด้านความสวยงาม และด้านราคา ในปัจจุบันความต้องการของมนุษย์มีมากขึ้น เนื่องจากสภาพแวดล้อมภายนอกไม่สมบูรณ์ดังเช่นอดีตที่ผ่านมา ผู้ออกแบบจึงจำเป็นต้องพิจารณาประเด็นนี้ ๆ ร่วมในลักษณะองค์รวม เพื่อสามารถออกแบบอาคารที่มีช่องเปิดประสิทธิภาพสูงตอบสนองความต้องการของมนุษย์ในปัจจุบัน ประเด็นในการพิจารณาช่องเปิดสามารถแบ่งออกเป็นประเด็นใหญ่ได้ 4 ประเด็นคือ ประเด็นด้านเศรษฐกิจ และสังคม ประเด็นด้านมนุษย์ ประเด็นด้านพลังงาน และประเด็นด้านสิ่งแวดล้อม ดังที่แสดงในแผนภูมิที่ 2-2

2.3.1. ประเด็นด้านเศรษฐกิจ และสังคม

ประเด็นด้านเศรษฐกิจ และสังคม เป็นประเด็นที่พิจารณาถึงช่องเปิดในคุณสมบัติ ด้านกายภาพภายนอก ซึ่งช่องเปิดที่ดีต้องมีระดับราคาที่สมเหตุสมผลกับประสิทธิภาพที่ได้รับจากช่องเปิด (reasonable price) ส่งเสริมคุณภาพชีวิตที่สูงขึ้นแก่ผู้อยู่อาศัย (quality of life) รวมทั้งส่งเสริมค่านิยมทางสังคม (social value) มีความแข็งแรง และสร้างความปลอดภัยในชีวิตและทรัพย์สินได้ (safety and security)

2.3.2. ประเด็นด้านมนุษย์

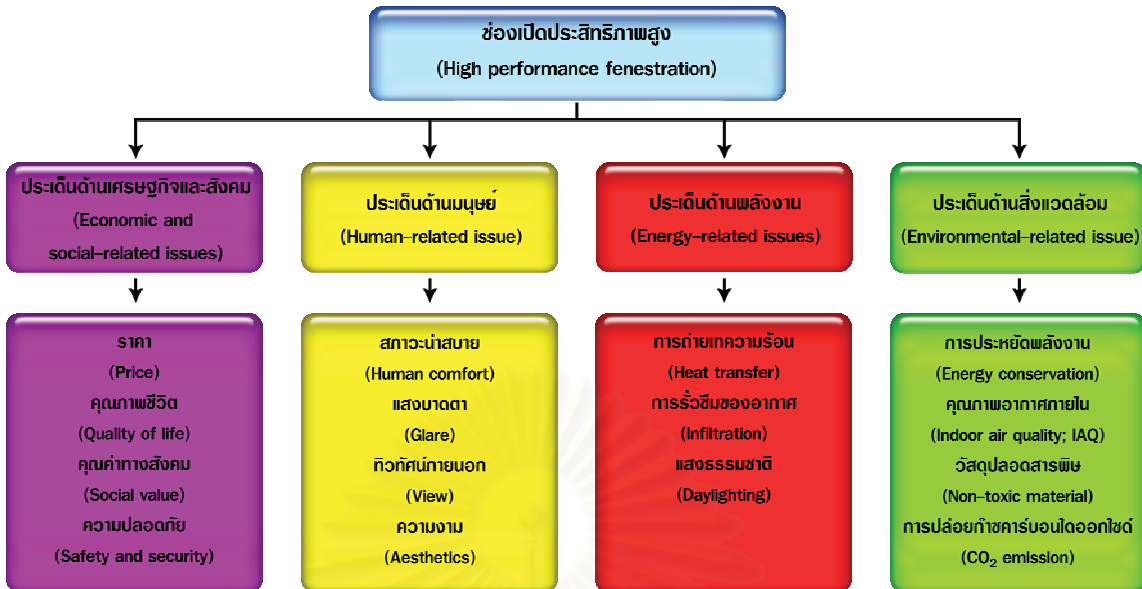
ประเด็นด้านมนุษย์ เป็นประเด็นที่พิจารณาถึงช่องเปิดในคุณสมบัติที่ส่งผลกระทบต่อมนุษย์โดยตรง ซึ่งช่องเปิดที่ดีต้องสร้างสภาวะน่าสบาย (human comfort) ทั้ง ในด้านอุณหภูมิ แสง เสียง และทัศนวิสัย รวมถึงการควบคุม ตำแหน่งติดตั้งช่องเปิดที่ไม่มีแสงบาดตา (glare) รบกวนการอยู่อาศัย อีกทั้งช่องเปิดเปรียบเสมือนกรอบภาพซึ่งผู้ออกแบบจะต้องมีความเข้าใจ สามารถนำทิวทัศน์ภายนอก (view) ที่ดีเข้าสู่อาคาร และรูปลักษณ์ช่องเปิดต้องมีความสวยงาม (aesthetics) ซึ่งจะส่งเสริมงานสถาปัตยกรรมได้อีกทางหนึ่ง

2.3.3. ประเด็นด้านพลังงาน

ประเด็นด้านพลังงาน เป็นประเด็นที่พิจารณาถึงคุณสมบัติช่องเปิดด้านการถ่ายเทความร้อน (heat transfer) ซึ่งมีผลต่อการใช้พลังงานในอาคาร รวมถึงการรั่วซึมของอากาศ (Infiltration) ที่นำความชื้นเข้าสู่อาคารซึ่งเป็นภาระการทำความเย็นในอาคารปรับอากาศ และรวมถึงการพิจารณาการนำแสงธรรมชาติ (daylighting) มาใช้ประโยชน์ภายในอาคารเพื่อลดการใช้พลังงานไฟฟ้าแสงประดิษฐ์

2.3.4. ประเด็นด้านสิ่งแวดล้อม

ประเด็นด้านสิ่งแวดล้อม เป็นประเด็นที่ต้องให้ความสำคัญในปัจจุบัน เนื่องจากปัญหาสิ่งแวดล้อม และวิกฤติเชื้อเพลิงฟอสซิล ดังนั้นช่องเปิดที่ดีต้องมีส่วนช่วยประหยัดพลังงาน (energy conservation) รวมถึงการพิจารณาการเลือกใช้วัสดุที่ไม่ก่อให้เกิดสารพิษ (non-toxic materials) ซึ่งจะส่งผลต่อกุณภาพอากาศภายในอาคาร (indoor air quality: IAQ) และการพิจารณาวัสดุที่ช่วยลดการปลดปล่อยก๊าซคาร์บอนไดออกไซด์ ทั้งในกระบวนการผลิตวัตถุดิบ และการใช้งานตลอดอายุการใช้งานอาคาร

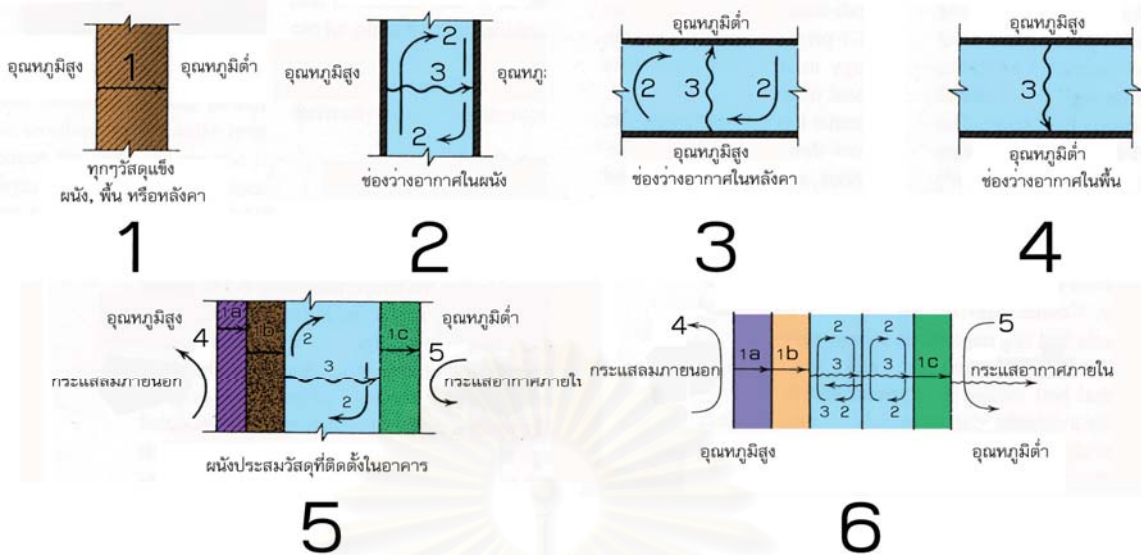


แผนภูมิที่ 2-2 ประเด็นในการพิจารณาช่องเปิดที่มีประสิทธิภาพ

ในการวิจัยนี้ทำการกำหนดขอบเขตในการวิจัย ในประเด็นผลกระทบด้าน พลังงานเป็นหลัก ซึ่งมีประเด็นในการพิจารณาแยกย่อยได้ 3 ด้าน คือ การถ่ายเทความร้อน (heat transfer) การรับซึมของอากาศ (infiltration) และแสงธรรมชาติ (daylighting) งานวิจัยนี้เป็นการศึกษาหาสมดุลของการใช้พลังงานไฟฟ้าของอาคารปรับอากาศ ในการลดความร้อนที่ถ่ายเทเข้าสู่อาคารผ่านช่องเปิด และพลังงานไฟฟ้าแสงสว่างที่ ทดแทนการใช้แสงประดิษฐ์ จากแสงธรรมชาติที่เข้าสู่อาคารผ่านช่องเปิด เพื่อพิจารณา ช่องเปิดรูปแบบต่าง ๆ สำหรับนำมากำหนดรูปแบบช่องเปิดต้นแบบที่เหมาะสมกับ ประเทศไทยต่อไป

2.4. ทฤษฎีการถ่ายเทความร้อนผ่านช่องเปิด

ความร้อน (heat) เป็นพลังงานรูปแบบหนึ่งสามารถถ่ายเทเข้ามายังขอบเขตระหว่าง ระบบ กับสิ่งแวดล้อมโดยรอบด้วยความแตกต่างของอุณหภูมิ (ราชบัณฑิตยสถาน, 2548; 68) โดยความร้อนจะไหลจากบริเวณที่มีอุณหภูมิสูง ไปยังบริเวณที่อุณหภูมิต่ำกว่าเสมอ ความร้อนถ่ายเท (heat transfer) ผ่านช่องเปิดจากช่องเปิดด้านที่ร้อนกว่าสู่ช่อง เปิดด้านที่เย็นกว่าเสมอ โดยคุณสมบัติพื้นฐาน 3 ประการคือ การนำความร้อน (conduction), การพาความร้อน (convection), และการแผรังสีความร้อน (radiation) ซึ่ง ช่องเปิดจะมีคุณสมบัติในการป้องกัน หรือยอมให้ความร้อนผ่านช่องเปิดซึ่งเรียกว่า ค่า ความเป็นฉนวน (insulation value) ของวัสดุ



ภาพที่ 2-7 ဓรรມชาติของการถ่ายเทความร้อนผ่านวัสดุ ช่องว่างอากาศ และโครงสร้างประสิทธิภาพ ลักษณะของพฤติกรรมแสดงโดยตัวเลขดังนี้ 1 = การนำความร้อน (conduction) 2 = การพาความร้อน (convection) 3 = การแผ่รังสีความร้อน (radiation) 4 = ความนำความร้อนของพื้นผิวภายนอก (outside surface conductance) และ 5 = ความนำความร้อนของพื้นผิวภายใน (inside surface conductance) (ดัดแปลงบางส่วนเพื่อให้เหมาะสมกับบริบทของประเทศไทย Stein, Reynolds and McGuinness, 1986: 98)

2.4.1. คุณสมบัติของวัสดุด้านการถ่ายเทความร้อน ค่าความส่งผ่านรังสี (transmittance, t)

ค่าความส่งผ่านรังสี หมายถึงอัตราส่วนของรังสีที่สามารถส่องผ่านวัสดุ ต่อปริมาณรังสีที่ตกกระทบบนวัสดุทั้งหมด สามารถแยกชนิดของรังสีที่ส่องผ่านได้ เช่น ค่าความส่งผ่านของแสงที่ตามองเห็น (visible transmittance) ค่าความส่งผ่านของรังสีอัลตราไวโอลেต (UV transmittance) หรือค่าความส่งผ่านของรังสีอาทิตย์รวม (total solar transmittance)

สำหรับค่าความส่งผ่านของแสงที่ตามองเห็น (visible transmittance) มีผลต่อแสงธรรมชาติ และมุ่งมองออกสู่ภายนอกของกระจก เช่นกระจกสีจะมีสำหรับค่าความส่งผ่านของแสงที่ตามองเห็นน้อยกว่ากระจกใส ซึ่งจะกล่าวถึงในหัวข้อต่อไป

ในปัจจุบันเทคโนโลยีการผลิตกระจกสามารถควบคุมคุณสมบัติความส่งผ่านรังสีในช่วงคลื่นต่าง ๆ ทำให้สามารถผลิตกระจกที่ยอมให้แสงช่วงคลื่นที่ตามองเห็นเข้ามาได้มาก แต่ยอมให้ช่วงคลื่นอื่น ๆ ที่ไม่ต้องการเข้ามาได้น้อยซึ่งมีผลต่อการลดการใช้พลังงานในอาคารได้เป็นอย่างดี

$$T = \frac{I}{I_o} \dots\dots(2-1)$$

เมื่อ

T = ค่าความส่งผ่านรังสี (transmittance)

I = ความเข้มแสงของรังสีที่ส่องผ่านกระจก (intensity of the radiation)

I_o = ความเข้มแสงของรังสีที่ตกกระทบกระจก (intensity of the incident radiation)

(Kaufman, J.E., 1981)

ค่าความสะท้อนรังสี (reflectance, b)

ค่าความสะท้อนรังสี หมายถึงอัตราส่วนของปริมาณรังสีที่สะท้อนออกจากกระจก ต่อปริมาณรังสีที่ตกกระทบบนกระจกทั้งหมด ธรรมชาติของความสะท้อนรังสีของกระจกขึ้นอยู่กับคุณภาพของพื้นผิวกระจก การเคลือบผิวกระจก และมุมตากกระทบ (incident angle) ของรังสีอาทิตย์

ในปัจจุบันการผลิตกระจกมากกว่าร้อยละ 98 (สุนทร บุญญาธิการ, 2551: 21) ผลิตด้วยกระบวนการผลิตกระจกไฟลท์ (float glass manufacturing process) ซึ่งเป็นกระบวนการผลิตกระจกที่มีคุณภาพสูง ผิวกระจกมีความเรียบมาก ทำให้ค่าความสะท้อนแสงของกระจกที่ผ่านกระบวนการผลิตลักษณะนี้จากผู้ผลิตต่าง ๆ ไม่มีความแตกต่างกันมาก อย่างไรก็ตามค่าความสะท้อนแสงของกระจกมีมากกว่าค่าการส่งผ่าน และการดูดซับ เช่นกระจกใส่มีการสะท้อนแสงสูงถึงร้อยละ 50 หรือมากกว่า ในมุมตากกระทบของรังสีอาทิตย์ที่มากกว่า 70 องศา

ค่าความสะท้อนแสงมีความสำคัญต่อการใช้งานมากขึ้นในกรณีที่แสงมีปริมาณน้อย พื้นผิวด้านที่สว่างกว่าจะเสื่อมกระจกเงา เนื่องจากจำนวนของแสงที่ผ่านกระจกด้านที่มีปริมาณน้อยกว่าประมาณของแสงที่สะท้อนจากด้านสว่าง ซึ่งมักจะเกิดขึ้นที่ด้านนอกของอาคารในเวลากลางวัน และด้านในของอาคารในเวลากลางคืน ซึ่งผลกระทบนี้เป็นที่ไม่ต้องการสำหรับกิจกรรมบางชนิด เช่นการจัดวางแสดงสินค้า เทคโนโลยีการผลิตกระจกปัจจุบันสามารถทำการเคลือบผิวกระจกเพื่อกำจัดการสะท้อนแสงได้เรียกว่า กระจกตัดเงา (anti reflective glass) ซึ่งทำให้แสงสามารถส่องผ่านตัวกระจกเพิ่มขึ้นมากกว่าร้อยละ 95 (สุนทร บุญญาธิการ, 2551: 69)

เทคนิคการเคลือบผิวกระจกส่วนใหญ่จะทำการสะท้อนรังสีในทุกช่วงคลื่น อย่างไรก็ตามเทคโนโลยีในปัจจุบันสามารถออกแบบการเคลือบผิวกระจกหรือพลาสติก ให้สะท้อนเฉพาะความยาวคลื่น ซึ่งเรียกว่ากระจกที่มีสภาพการแร้งรังสีตัว การใช้งานกระจกชนิดนี้ในประเทศไทยมีอุปกรณ์ต้องระมัดระวังเนื่องจากจะทำให้อุปกรณ์เสื่อมความร้อนเพิ่มขึ้น

ค่าความดูดกลืนรังสี (absorptance, α)

ค่าความดูดกลืนรังสี หมายถึงอัตราส่วนของปริมาณรังสีที่สะท้อนอยู่ภายในเนื้อกระจกทั้งหมดต่อปริมาณรังสีที่ตกกระทบบนกระจกทั้งหมด รังสีทั้งหมดที่กระจกดูดซับจะถูกเปลี่ยนเป็นความร้อน ทำให้อุณหภูมิของเนื้อวัสดุสูงขึ้น

กระจกใส 3 มิลลิเมตร มีค่าความดูดกลืนรังสีประมาณร้อยละ 8 ที่มุ่งตกกระทบปกติ และค่าความดูดกลืนรังสีจะเพิ่มขึ้นตามสารเติมแต่งที่เพิ่มในกระจก หากกระจกดูดกลืนรังสีช่วงแสงที่ต่างๆ กันมาก จะส่งผลต่อความใสของเนื้อกระจกทำให้กระจกมีสีเข้มขึ้น หากกระจกดูดกลืนรังสีช่วงรังสีอัลตราไวโอเลต (UV) หรือช่วงรังสีเนียร์ อินฟราเรด (near infrared) จะไม่มีผลต่อความใสของเนื้อกระจก ดังนั้นกระจกสี (tinted glass) หรืออาจเรียกอีกชื่อหนึ่งว่ากระจกดูดซับความร้อน (heat absorbing glass) เมื่อโดนแดดรังสีจะร้อนกว่ากระจกใส

ข้อควรระวังในการเลือกใช้กระจกสำหรับอาคารที่ตั้งอยู่ในเขตอากาศร้อน เนื่องจากกระจก และพลาสติกทุกชนิด มีความสามารถในการดูดซับรังสีช่วงฟาร์อินฟราเรด (far-infrared) ได้ดีซึ่งเป็นคุณสมบัติที่เหมาะสมสำหรับภูมิภาคที่มีอากาศหนาวเย็นแต่ไม่เหมาะสมกับอาคารในภูมิภาคร้อนชื้น

วัตถุหนึ่ง ๆ เช่นบานกระจก ผลรวมของ ค่าการทะลุผ่านรังสี ค่าการสะท้อนรังสี และค่าการดูดซับรังสี จะเท่ากับ 1 เสมอ ดังที่แสดงในสมการที่ 2-2

$$T + \beta + \alpha = 1 \quad \dots\dots(2-2)$$

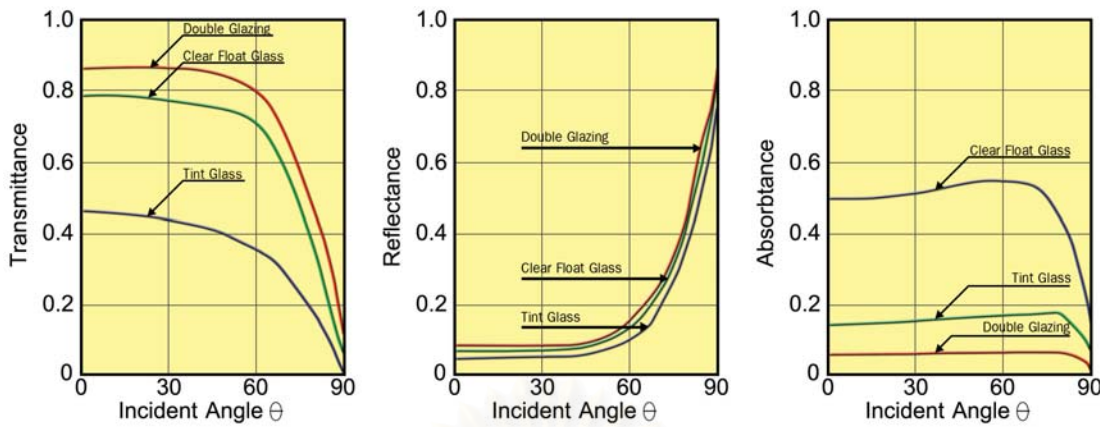
เมื่อ

T = ค่าการทะลุผ่านรังสี (transmittance)

β = ค่าการสะท้อนรังสี (reflectance)

α = ค่าการดูดซับรังสี (absorptance)

(ASHRAE, 2001)



แผนภูมิที่ 2-3 แสดงค่าความส่งผ่านรังสี (transmittance) ค่าความสะท้อนรังสี (reflectance) และค่าความดูดกลืนรังสี (absorptance) ของกระจก 3 ชนิดคือ กระจกใส (clear float glass) กระจกสี (tinted glass) และกระจก 2 ชั้น (double glazing) (ASHRAE, 2001: 30.19)

ค่าการแผ่รังสีความร้อน (emittance: e)

ค่าการแผ่รังสีความร้อน หมายถึงความร้อนหรือปริมาณแสงที่ถูกดูดซับอยู่ในกระจก ถูกพากความร้อนโดยอากาศ หรือการแผ่รังสีกลับ (reradiated) โดยพื้นผิวของกระจก ซึ่งความสามารถในการแผ่รังสีของวัสดุเรียกว่า การแผ่รังสี (emissivity) วัตถุจะแผ่รังสีออกมาในรูปรังสีคลื่นยาว (long wave) หรือ ฟาร์อินฟราเรด (far-infrared) ค่าการแผ่รังสีความร้อนของซองเปิดถือเป็นค่าการถ่ายเทความร้อนที่สำคัญ การลดการแผ่รังสีความร้อนของซองเปิดสามารถเพิ่มค่าความเป็นอนุนวยของวัสดุได้

กระจกใสมาตรฐานมีค่าการแผ่รังสีความร้อนเท่ากับ 0.84 หมายความว่า กระจกมีอุ่นสีร้อยละ 84 หรือหมายความได้อีกนัยหนึ่งว่า เมื่อรังสีคลื่นยาวตกกระทบพื้นผิวกระจก กระจกจะดูดกลืนรังสีร้อยละ 84 และสะท้อนออกไปร้อยละ 16 เมื่อเปรียบเทียบกับกระจกที่มีสภาพการแผ่รังสีต่ำซึ่งมีค่าการแผ่รังสีความร้อนเท่ากับ 0.04 แสดงว่ากระจกจะแผ่รังสีเพียงร้อยละ 4 และสะท้อนรังสีคลื่นยาวกลับไปร้อยละ 96

ค่าสัมประสิทธิ์การนำความร้อน (conductivity: k)

ค่าสัมประสิทธิ์การนำความร้อน หมายถึงอัตราการถ่ายเทความร้อน โดยการนำความร้อนของวัสดุเนื้อเดียวกัน คือปริมาณความร้อนที่ส่งผ่านวัสดุพื้นที่ 1 ตารางหน่วย ความหนา 1 หน่วย ใน 1 หน่วยเวลา โดยมีความแตกต่างของอุณหภูมิผิววัสดุทั้ง 2 ด้าน 1 หน่วย มีหน่วยเป็น วัตต์/เมตร เคลวิน ($W/m K$)

ค่าความนำความร้อน (conductance: C)

ค่าความนำความร้อน หมายถึงค่าความนำความร้อนของวัสดุใด ๆ คือ อัตราส่วนระหว่างค่าสัมประสิทธิ์การนำความร้อนต่อความหนาของวัสดุดังที่แสดงไว้ในสมการที่ 2-3 มีหน่วยเป็น วัตต์ ต่อ ตารางเมตร เคลวิน ($\text{W}/\text{m}^2 \text{ K}$)

$$C = \frac{k}{\Delta x} \quad \dots\dots(2-3)$$

เมื่อ

C = ค่าความนำความร้อน (conductance), วัตต์ ต่อ ตารางเมตร
เคลวิน ($\text{W}/\text{m}^2 \text{ K}$)

k = ค่าสัมประสิทธิ์การนำความร้อน (conductivity), วัตต์/เมตร
เคลวิน ($\text{W}/\text{m}^2 \text{ K}$)

Δx = ความหนาของวัสดุ, เมตร

(Stein, Reynolds and McGuinness, 1986)

ค่าความต้านทานความร้อน (resistance: R)

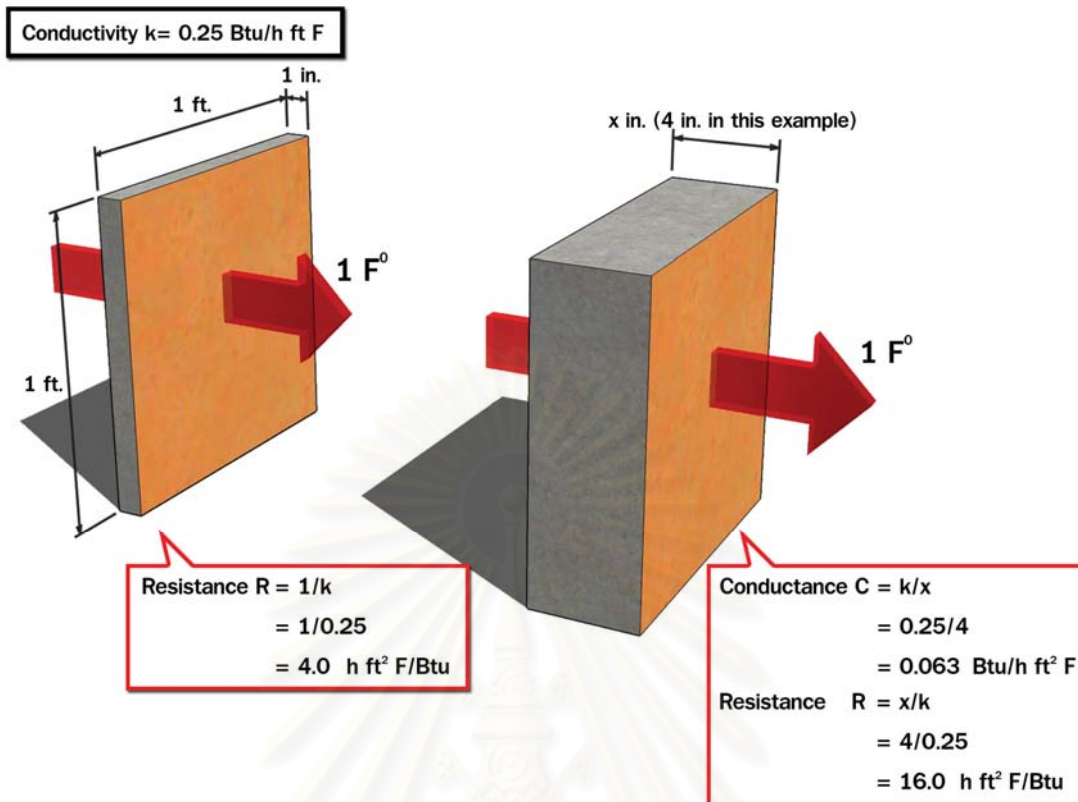
หมายถึงค่าความต้านทานความร้อนของวัสดุใด ๆ เป็นส่วนกลับของ ค่าความนำความร้อน ดังที่แสดงในสมการที่ 2-4 มีหน่วยเป็น ตารางเมตร เคลวิน ต่อวัตต์ ($\text{m}^2 \text{ K/W}$)

$$R = \frac{1}{C} = \frac{\Delta x}{k} \quad \dots\dots(2-4)$$

เมื่อ

R = ค่าความต้านทานความร้อน (resistance), ตารางเมตร
เคลวิน ต่อวัตต์ ($\text{m}^2 \text{ K/W}$)

(Stein, Reynolds and McGuinness, 1986)



ภาพที่ 2-8 แสดงตัวอย่างการหาคุณสมบัติของวัสดุด้านการถ่ายเทความร้อน (ภาพดัดแปลง Stein, Reynolds and McGuinness, 1986: 100)

ค่าสัมประสิทธิ์การถ่ายเทความร้อน (overall coefficient of heat transmission: U-value)

ค่าสัมประสิทธิ์การถ่ายเทความร้อน หมายถึงอัตราการถ่ายเทความร้อนทั้งหมดของวัสดุ ผ่านทุกเนื้อวัสดุ และฟีล์มอากาศ เป็นส่วนกลับของค่าความต้านทานความร้อนรวม ดังที่แสดงในสมการที่ 2-5 มีหน่วยเป็น วัตต์ ต่อ ตารางเมตร เคลวิน ($\text{W/m}^2 \text{ K}$)

$$U = \frac{1}{\sum R} \quad \dots\dots(2-5)$$

เมื่อ

U = ค่าสัมประสิทธิ์การถ่ายเทความร้อน (U-value), ตารางเมตร เคลวิน ต่อวัตต์ ($\text{m}^2 \text{ K/W}$)

(Stein, Reynolds and McGuinness, 1986)

ค่าสัมประสิทธิ์การส่งผ่านความร้อนจากรังสีอาทิตย์ (solar heat gain coefficient: SHGC)

ค่าสัมประสิทธิ์การส่งผ่านความร้อนจากรังสีอาทิตย์ หมายถึง ผลรวมของค่าส่งผ่านรังสีอาทิตย์ (solar transmittance) และค่าดูดกลืนรังสีอาทิตย์ (solar absorptance) ในเนื้อวัสดุแล้วแปรรังสีความร้อนกลับเข้าสู่อาคาร (inward-flowing fraction) และเปลี่ยนเป็นปริมาณความร้อนในอาคาร ดังนั้นค่าสัมประสิทธิ์การส่งผ่านความร้อนจากรังสีอาทิตย์จะเป็นผลรวมของการแพร่รังสีดวงอาทิตย์ทั้งโดยตรง และโดยอ้อม ดังที่แสดงในสมการที่ 2-6

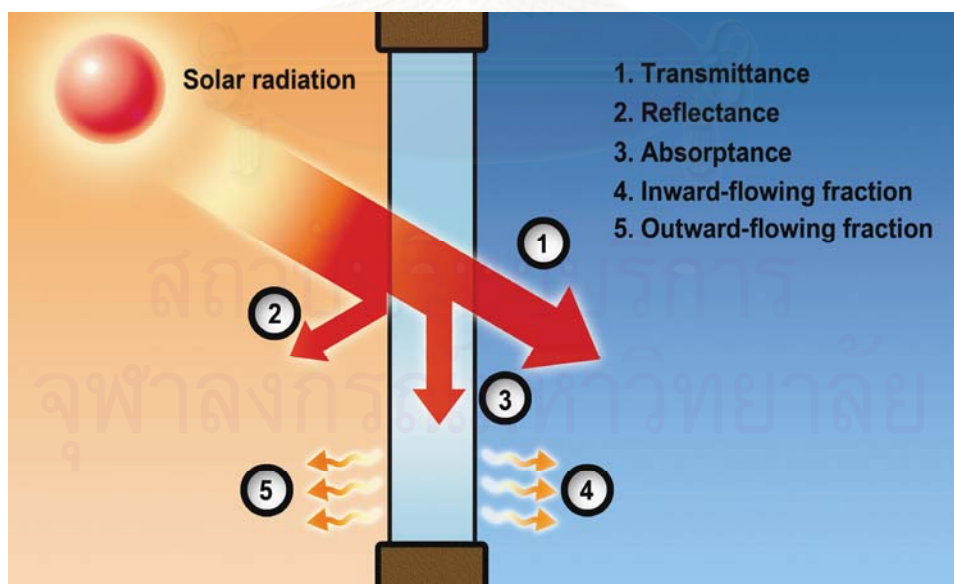
ค่าสัมประสิทธิ์การส่งผ่านความร้อนจากรังสีอาทิตย์ ที่ต่างๆจะเหมาะสมกับอาคารที่ทำความเย็นเป็นหลัก เช่น อาคารในประเทศไทย

$$SHGC = T + NA \quad \dots\dots(2-6)$$

เมื่อ

- $SHGC$ = ค่าสัมประสิทธิ์การส่งผ่านความร้อนจากรังสีอาทิตย์
- T = ค่าส่งผ่านรังสีอาทิตย์ (solar transmittance)
- A = ค่าดูดกลืนรังสีอาทิตย์ (solar absorptance)
- N = ค่าส่วนการแพร่รังสีความร้อนกลับเข้าสู่ภายในอาคาร (inward-flowing fraction)

(ASHRAE, 2001)



ภาพที่ 2-9 แสดงคุณสมบัติของรังสีอาทิตย์ที่กระทำต่อวัสดุ 1. การส่งผ่านรังสีอาทิตย์ (solar transmittance) 2. การสะท้อนรังสีอาทิตย์ (solar reflectance) 3. การดูดกลืนรังสีอาทิตย์ (solar absorptance) 4. ค่าส่วนการแพร่รังสีความร้อนกลับสู่ภายในอาคาร (inward-flowing fraction) 5. ค่าส่วนการแพร่รังสีความร้อนออกสู่ภายนอกอาคาร (outward-flowing fraction) โดยข้อที่ 4 และข้อที่ 5 คือ ค่าการแพร่รังสีความร้อน (emittance)

ค่าสัมประสิทธิ์การบังಡด (shading coefficient: SC)

ค่าสัมประสิทธิ์การบังແດດ หมายถึงค่าสัมประสิทธิ์การถ่ายเทความร้อน เป็นผลจากปริมาณแสงอาทิตย์ที่สามารถส่งผ่านเข้ามาด้านในตัวอาคาร เมื่อ เปรียบเทียบกับกระจกอ่างอิง ดังที่แสดงในสมการที่ 2-7

$$SC = \frac{SHGC(\theta)_{test}}{SHGC(\theta)_{ref}} \quad(2-7)$$

(ASHRAE, 2001)

กระจกอ่างอิงสำหรับหาค่าสัมประสิทธิ์การบังແດດคือ กระจกใสหนา 3 มิลลิเมตร ซึ่งมีค่าสัมประสิทธิ์การส่งผ่านความร้อนจากรังสีอาทิตย์ 0.87 ซึ่ง กำหนดให้กระจกชนิดนี้มีค่าสัมประสิทธิ์การบังແດດเท่ากับ 1 ดังนั้นความสัมพันธ์ ระหว่างค่าสัมประสิทธิ์การบังແດດ และค่าสัมประสิทธิ์การส่งผ่านความร้อนจาก รังสีอาทิตย์สามารถอธิบายได้ดังสมการที่ 2-8

$$SC = \frac{SHGC}{0.87} \quad(2-8)$$

(ASHRAE, 2001)

2.4.2. การคำนวณการถ่ายเทความร้อนผ่านช่องเปิด

ช่องเปิดเป็นส่วนที่มีค่าความต้านทานความร้อน (R) ต่ำที่สุดในส่วน เปลือกอาคาร (Stein and Reynolds, 1999: 137) สำหรับช่องเปิดอาคารขนาดเล็ก เช่นบ้านพักอาศัย บานกรอบของช่องเปิดจะมีสัดส่วนการใช้พลังงานไฟฟ้าใน อาคารเพิ่มขึ้นเมื่อเทียบกับบานกระจก โดยความสามารถพิจารณาพลังงานความร้อนในผ่านช่องเปิดได้ 3 กรณี (ASHRAE, 2004; 30.3) คือ

1. การนำความร้อน และการพาความร้อน ซึ่งเกิดจากความแตกต่างของ อุณหภูมิระหว่างอุณหภูมิอากาศภายใน และอุณหภูมิอากาศภายนอก
2. ผลรวมของคลื่นยาว (net long wave) ซึ่งมีความยาวคลื่นมากกว่า 2500 นาโนเมตร แผ่วงสีความร้อนจากตัวช่องเปิดสู่สภาพแวดล้อมโดยรอบ รวมถึง ระหว่างแผ่นกระจกในแต่ละชั้น

3. คลื่นสั้น (short wave) ซึ่งมีความยาวคลื่นต่ำกว่า 2500 นาโนเมตร จากการแผ่รังสีอาทิตย์ต่อกลางที่เปิด ทั้งจากการแผ่รังสีโดยตรงจากดวงอาทิตย์ และจากการสะท้อนจากพื้นดิน หรือวัตถุโดยรอบ

ในการศึกษาการถ่ายเทความร้อนผ่านช่องเปิด มีพื้นฐานมาจาก การสำรวจว่า อุณหภูมิของห้องฟ้า พื้นดิน และวัตถุโดยรอบ มีความสัมพันธ์ต่อ อุณหภูมิอากาศภายนอก การแผ่รังสีความร้อนแลกเปลี่ยนซึ่งกัน และกัน ประมาณได้ โดยข้อสันนิษฐานว่าพื้นผิวทั้งหมดเป็นพื้นผิวสะท้อนซึ่งรวมถึง ห้องฟ้ามีอุณหภูมิเดียวกันกับอุณหภูมิอากาศภายนอก จากข้อสันนิษฐานนี้ เราจะ คำนวณการถ่ายเทความร้อนน้ำหนักขณะผ่านช่องเปิดได้จากสมการที่ 2-9

$$Q = UA_{pf}(t_{out} - t_{in}) + (SHGC)A_{pf}E_t \quad \dots\dots(2-9)$$

เมื่อ

Q = การถ่ายเทความร้อนชั่วขณะ, วัตต์

U = ค่าสัมประสิทธิ์การถ่ายเทความร้อน, วัตต์ ต่อ ตารางเมตร
เคลวิน

t_{in} = อุณหภูมิอากาศภายนอก มีหน่วยเป็น องศาเซลเซียส หรือ
เคลวิน

t_{out} = อุณหภูมิอากาศภายนอก มีหน่วยเป็น องศาเซลเซียส หรือ
เคลวิน

A_{pf} = พื้นที่ช่องเปิดในลักษณะภาพฉาย มีหน่วยเป็น ตารางเมตร

$SHGC$ = ค่าสัมประสิทธิ์การส่งผ่านความร้อนจากรังสีอาทิตย์ (Solar Heat Gain Coefficient)

E_t = ปริมาณรังสีตกกระทบทั้งหมด (incident total irradiance) มี
หน่วยเป็น วัตต์ต่อตารางเมตร

(ASHRAE, 2001)

จากสมการที่ 2-9 เราสามารถสรุปการถ่ายเทความร้อนผ่านช่องเปิดได้ 2 ส่วน คือส่วนของการถ่ายเทความร้อนจากความแตกต่างของอุณหภูมิ และการถ่ายเทความร้อนจากรังสีอาทิตย์ ดังที่แสดงในสมการ 2-10

$$Q = Q_{th} + Q_{sol} \quad \dots\dots(2-10)$$

เมื่อ

Q_{th} = การถ่ายเทความร้อนขึ้นจะจากความแตกต่างของอุณหภูมิอากาศภายใน และภายนอก

Q_{sol} = การถ่ายเทความร้อนขึ้นจะจากรังสีอาทิตย์
(ASHRAE, 2001)

อย่างไรก็ตาม ในความเป็นจริงค่าการถ่ายเทความร้อนมีการเปลี่ยนแปลงตลอดเวลา เนื่องจากสภาพอากาศภายในออกที่เปลี่ยนไปแต่ละช่วงเวลาของวัน และการใช้งานอาคาร ในงานวิจัยทำการคำนวณการถ่ายเทความร้อนผ่านช่องเปิด โดยอ้างอิงวิธีการคำนวณด้วยวิธีการคำนวณความแตกต่างความร้อนเทียบเท่า (cooling load temperature difference, CLTD)

การคำนวณการถ่ายเทความร้อนผ่านส่วนทึบแสงของช่องเปิด

ความร้อนถ่ายเทผ่านส่วนทึบของช่องเปิด โดยการนำความร้อน (conduction) ซึ่งคำนวนได้จากสมการที่ 2-11 และสมการที่ 2-12 (ASHRAE, 1997)

$$Q = U * A * CLTDc \quad \dots\dots(2-11)$$

เมื่อ

Q = ปริมาณความร้อนที่ผ่านส่วนบานกรอบของช่องเปิด มีหน่วย เป็น วัตต์ (Watt)

U = ค่าสัมประสิทธิ์การถ่ายเทความร้อน มีหน่วยเป็น วัตต์ ต่อ ตารางเมตร เคลวิน ($W/m^2 K$)

A = พื้นที่ส่วนบานกรอบของช่องเปิด มีหน่วยเป็น ตารางเมตร

$CLTDc$ = ภาระความแตกต่างความร้อนเทียบเท่าที่ปรับแก้ให้พอด มีหน่วยเป็น องศาเซลเซียส

$$\boxed{CLTDc = (CLTD + LM) * K + (78 - T_r) + (T_o - 85)} \quad(2-12)$$

เมื่อ

- $CLTD$ = ความแตกต่างความร้อนเที่ยบเท่า (cooling load
temperature difference)
- LM = ค่าปรับแก้ อิทธิพลของที่ตั้ง และเดือน (latitude-month
correction)
- K = ค่าปรับแก้ผนัง (wall correction factor) มีค่า 1.0, 0.83, และ
0.65 สำหรับผนังสีเข้ม สีกลาง และสีอ่อนตามลำดับ
- T_r = อุณหภูมิอากาศภายในอาคาร มีหน่วยเป็น องศาเซลเซียส
- T_o = อุณหภูมิอากาศภายนอกอาคาร มีหน่วยเป็น องศาเซลเซียส

จากสมการที่ 2-12 พบร่วมกันความร้อนที่ผ่านบานกรอบของซ่องเปิด แบ่งผนังตรงกับค่าสัมประสิทธิ์การถ่ายเทความร้อน (U-value) นั้นคือการลดอิทธิพลการถ่ายเทความร้อนผ่านส่วนบานกรอบอาคารสามารถทำได้โดยการลดค่าสัมประสิทธิ์การถ่ายเทความร้อน (U-value) หรือเพิ่มค่าความต้านทานความร้อน (resistance, R)

การคำนวณการถ่ายเทความร้อนผ่านส่วนโปรดังแสงของซ่องเปิด

ความร้อนผ่านถ่ายเทผ่านส่วนโปรดังแสงของซ่องเปิด โดยการนำความร้อน (conduction) ซึ่งสามารถคำนวณพลังงานความร้อนในส่วนนี้ใช้สมการที่ 2-11 ร่วมกับการคำนวณการถ่ายเทความร้อนผ่านส่วนทึบของซ่องเปิด แต่การปรับแก้ค่าภาวะความแตกต่างความร้อนเที่ยบเท่าที่ปรับแก้อิทธิพล สามารถคำนวณได้จากสมการที่ 2-13

$$\boxed{CLTDc = (CLTD) + (78 - T_r) + (T_o - 85)} \quad(2-13)$$

ความร้อนถ่ายเทผ่านส่วนโปรดังแสงของซ่องเปิด โดยการแพร่รังสีความร้อน (radiation) ในงานวิจัยชั้นนี้ตั้งสมมติฐานของซ่องเปิดไม่โคนเดด และไม่คำนึงถึงมวลสารของอาคาร สามารถคำนวณพลังงานความร้อนจากการแพร่รังสีอาทิตย์โดยใช้สมการที่ 2-14

$$Q = A * SC * I_d \quad \dots\dots(2-14)$$

เมื่อ

SC = ค่าสัมประสิทธิ์การบังแดด (shading coefficient)

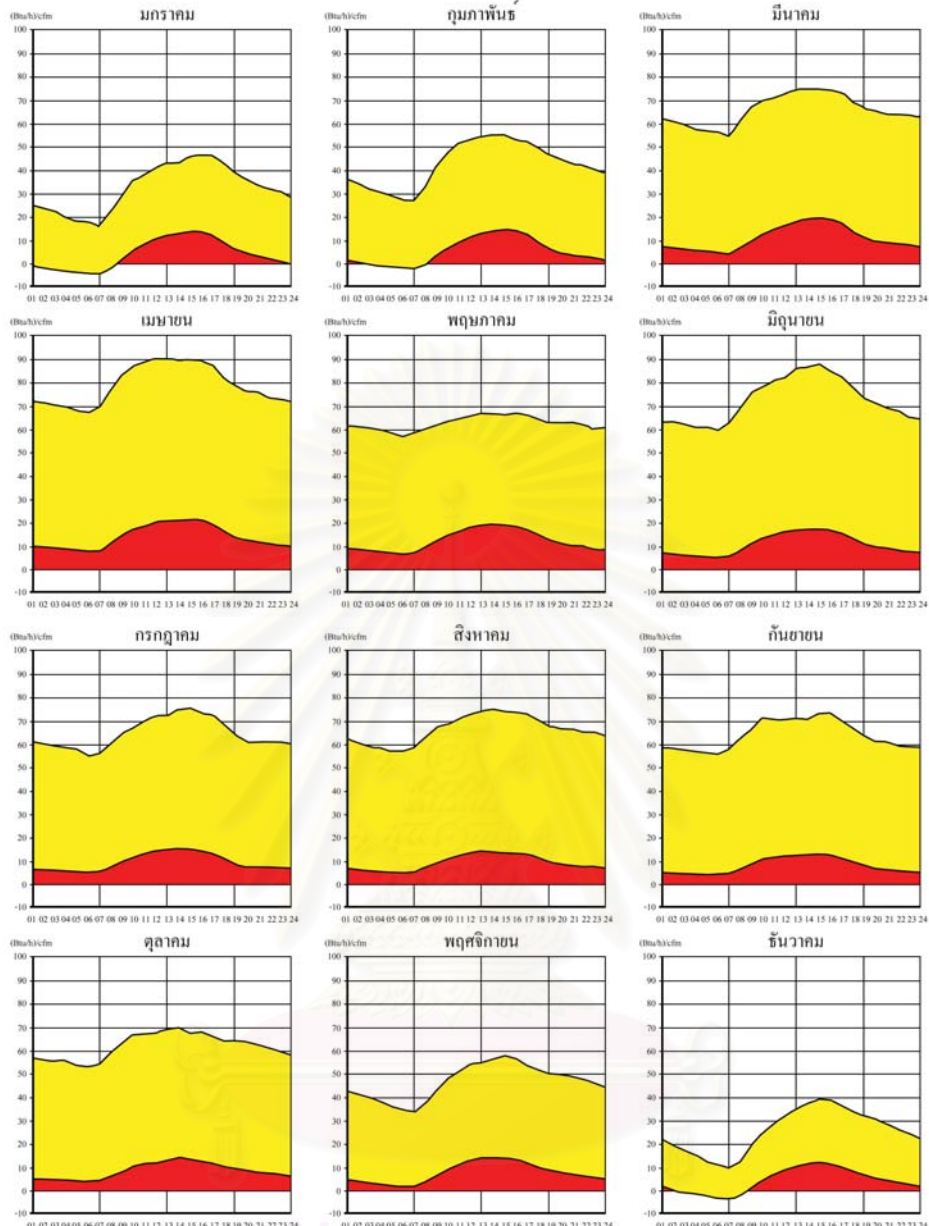
I_d = รังสีอาทิตย์กระจาย (diffuse solar radiation)

จากสมการที่ 2-11 การลดอิทธิพลการถ่ายเทคความร้อนผ่านส่วนโปร่งแสงของช่องเปิดโดยการนำความร้อนสามารถทำได้โดยการลดค่าสัมประสิทธิ์การถ่ายเทคความร้อน (U -value) และ จากสมการที่ 2-14 พบว่าการถ่ายเทคความร้อนผ่านส่วนโปร่งแสงของช่องเปิด โดยการแพร่รังสีความร้อน ปริมาณความร้อนที่ผ่านส่วนโปร่งแสงของช่องเปิด แปรผันตามกับค่าสัมประสิทธิ์การบังแดดของกระจก แสดงว่าการลดความร้อนผ่านส่วนโปร่งแสงของช่องเปิดโดยการแพร่รังสีความร้อน ทำได้โดยลดค่าสัมประสิทธิ์การบังแดดของกระจก

2.5. ทฤษฎีการถ่ายเทคความร้อนโดยการรื้อซึมอากาศผ่านช่องเปิด

การรื้อซึมอากาศเป็นการแลกเปลี่ยนอากาศระหว่างภายนอกอาคาร และภายในอาคารที่ไม่สามารถควบคุมได้ เกิดจากความแตกต่างของความดันภายในอาคาร และภายนอกอาคาร หรือแรงดันลม การรื้อซึมอากาศผ่านช่องเปิดเป็นภาระการทำงานทำความเย็นที่สำคัญของอาคาร โดยเฉพาะอย่างยิ่งอาคารที่ตั้งในเขตภูมิอากาศร้อนชื้น เช่นประเทศไทย ดังแสดงในแผนภูมิที่ 2-4

สำหรับอาคารพักอาศัย และอาคารขนาดเล็ก จะไม่มีข้อกำหนดด้านการถ่ายเทอากาศ เนื่องจาก การรื้อซึมอากาศของอาคารมีปริมาณที่มากพียงพอต่อการระบายอากาศ (Stein, Reynolds and McGuinness, 1986: 142) อย่างไรก็ตามการรื้อซึมอากาศในอาคารที่มากเกินไปจะส่งผลต่อการใช้พลังงานในอาคาร การประเมินค่าการรื้อซึมของอากาศของช่องเปิดสามารถทำได้โดยการประมาณด้วยวิธีประมาณเส้นรอยร้าว (crack method) ซึ่งการคำนวณจะต้องทราบความยาวของเส้นรอยร้าว และความเร็วลม เพื่อสามารถประมาณการรื้อซึมของอากาศได้



แผนภูมิที่ 2-4 แสดงปริมาณการใช้พลังงานเพื่อขัดความร้อน (พื้นที่สีแดง) และความชื้น (พื้นที่สีเหลือง) ที่แผงอยู่ในอากาศ เฉลี่ย 1 วันของทุกเดือนตลอด 1 ปี ซึ่งพบว่าปริมาณการใช้พลังงานเพื่อขัดความชื้นมากกว่าปริมาณพลังงานที่ใช้ลดความร้อนในห้องสมอ (สุนทร บุญญาธิการ, 2545: 35)

2.5.1. การประมาณรอยร้าวอากาศของช่องเปิดโดยวิธีประมาณเส้นรอยร้าว (crack method)

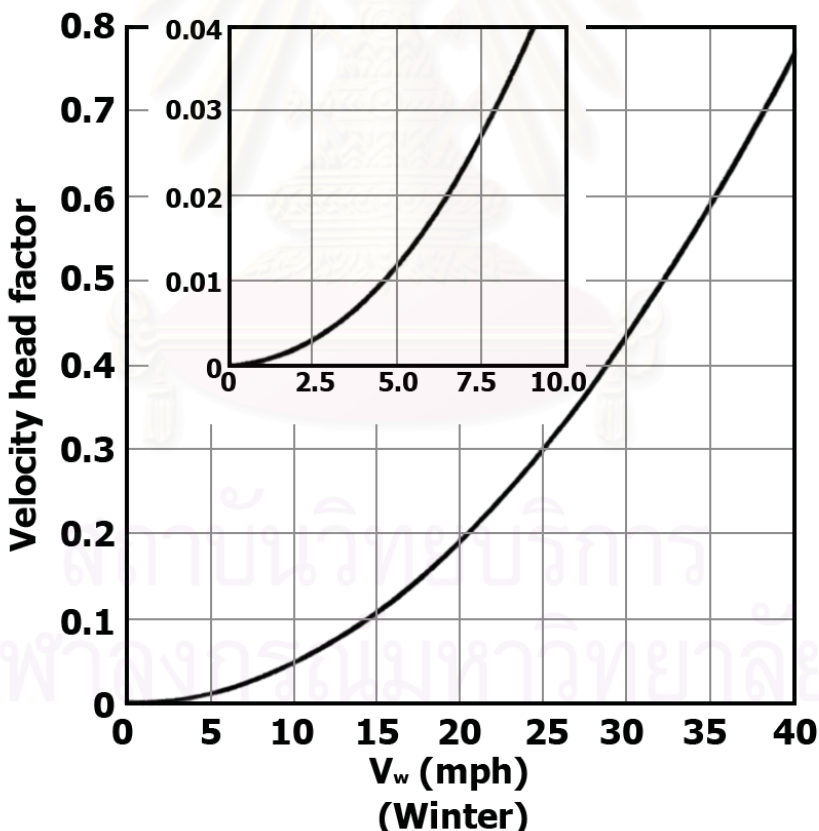
การประมาณการร้าวชื้นอากาศผ่านช่องเปิดโดยวิธีประมาณเส้นรอยร้าว (crack method) ของช่องเปิด สามารถประมาณโดยใช้ข้อมูลความเร็วลม และความยาวของเส้นรอยร้าวของช่องเปิด รวมถึงการพิจารณารูปแบบของช่องเปิด ซึ่งแบ่งออกเป็น 3 ระดับคือ ระดับช่องเปิดแน่น (tight classification) ระดับช่องเปิดปกติ (average classification)

และระดับช่องเปิดหลวม (loose classification) ดังที่แสดงในตารางที่ 2-1 จากนั้นทำการพิจารณาปริมาณการรั่วซึมจากการต่อหนึ่งหน่วยความยาวโดยใช้แผนภูมิที่ 2-5 และ 2-6 ในการพิจารณา มีหน่วยลูกบาศก์ฟุตต่อนาทีต่อความยาว 1 ฟุตของเลื่อนรองรับ สามารถแปลงเป็นหน่วยลิตรต่อวินาที (L/s) ได้ดังที่แสดงในสมการที่ 2-15

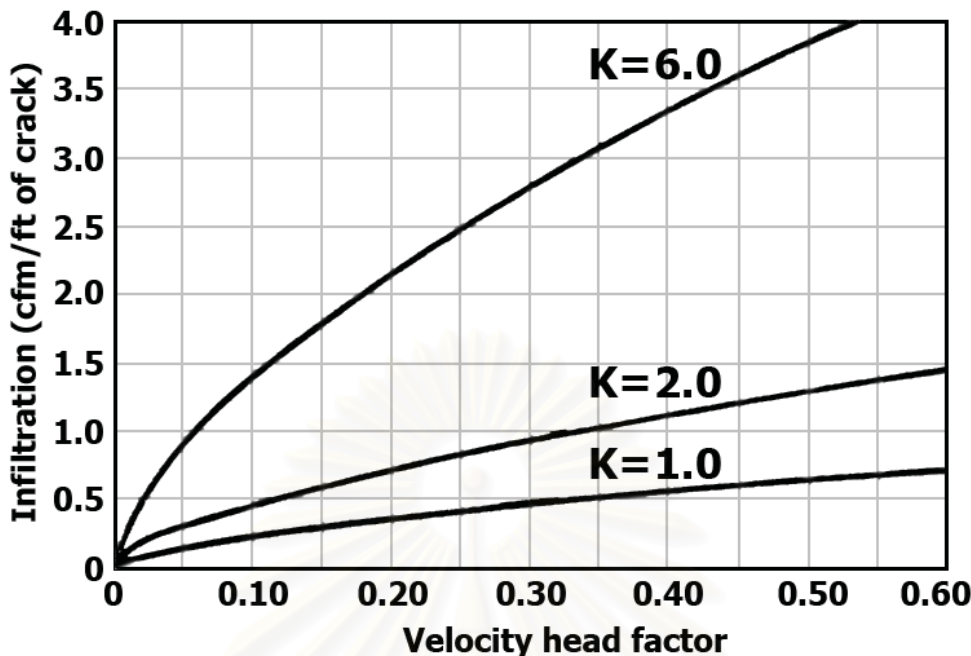
$$L/s = (cfm) * 0.4719 \quad \dots\dots(2-15)$$

ตารางที่ 2-1 แสดงระดับของช่องเปิด (Stein, Renolds and McGuinness, 1986)

ระดับช่องเปิด (classification)	ความกว้างรอยร้าว (crack)
ระดับช่องเปิดแน่น (tight) $k=1.0$	1/64-in มีແບບยางกันซึม
ระดับช่องเปิดปกติ (average) $k=2.0$	3/32-in มีແບບยางกันซึม 1/64-in ไม่มีແບບยางกันซึม
ระดับช่องเปิดหลวม (loose) $k=6.0$	3/32-in ไม่มีແບບยางกันซึม



แผนภูมิที่ 2-5 แผนภูมิแปลงความเร็วลม เป็นเวลาอัตโนมัติ เอค แฟคเตอร์ กำหนด ความเร็วลมฤดูร้อนที่ 7.5 ไมล์ต่อชั่วโมง และความเร็วลมฤดูหนาวที่ 15 ไมล์ต่อชั่วโมง (Stein, Renolds and McGuinness, 1986)



แผนภูมิที่ 2-6 แผนภูมิแสดงอัตราการรั่วซึมของอากาศ (infiltration) ของช่องเปิดของช่องเปิด 3 กลุ่ม โดย กลุ่มแรกคือ ช่องเปิดแน่น (tight) $k=1.0$, ช่องเปิดมาตรฐาน (average) $k=2.0$ และช่องเปิดหลวม (loose) $k=6.0$ (Stein, Reynolds and McGuinness, 1986)

นอกจากนี้วิธีดังกล่าวจาก การศึกษาของ กุสกานา กุบากษา เรื่องการศึกษา ลักษณะการรั่วซึมอากาศของหน้าต่าง และประตู ในประเทศไทยพบว่า อัตราการรั่วซึมอากาศของหน้าต่าง และประตู มีปริมาณการรั่วซึมดังที่แสดงในตารางที่ 2-2 (กุสกานา กุบากษา และสุทธิพงษ์ เนื่องเยาว์, 2549)

ผลการวิจัยพบว่า การพิจารณาการรั่วซึมอากาศผ่านช่องเปิดสามารถคำนวณได้ จากความยาวเส้นรอยร้าว (crack length) ดังที่แสดงในสมการที่ 2-16 และการหาอัตราการรั่วซึมของอากาศเฉลี่ยสามารถคำนวณได้ตามสมการที่ 2-17

$$AL = \sum_{i=1}^n CL_i * AL_i \quad \dots\dots(2-16)$$

เมื่อ

AL = อัตราการรั่วซึมของอากาศต่อความยาวเมตร

CL = ความยาวเส้นรอยร้าว

$$AL_{avg} = \frac{\sum_{i=1}^n CL_i * AL_i}{\sum_{i=1}^n CL_i}(2-17)$$

ตารางที่ 2-2 แสดงขัตตราการรั่วซึม ต่อเมตรของหน้าต่างชนิดต่าง ๆ (ภูสกานา ภูบาส่า และสุทธิพงษ์ เนื่องเยาว์, 2549)

ประเภทหน้าต่าง	อัตราการรั่วซึม (ลิตรต่อวินาที) ต่อความยาวรอยรั่ว (เมตร) ของบานกรอบหน้าต่าง		
	ไม้	อลูมิเนียม	ยูพีวีซี
บานเปิด	0.67	0.73	0.72
บานเปิดบานรัง	0.87	0.94	0.87
บานเลื่อน (แนวอน)	1.00	0.72	0.74
บานพลิก	1.00	N/A	0.90
บานกระทุ้ง	0.65	0.67	0.65
บานรัง	0.64	0.67	0.64
บานเลื่อนแนวตั้ง	0.75	0.80	0.74
บานปิดตาย (curtain wall)	N/A	0.37	N/A

2.5.2. การคำนวณการรั่วซึมอากาศผ่านช่องเปิดตามปริมาณความร้อนจาก การรั่วซึมของอากาศ สามารถแบ่งการคำนวณได้ใน 2 ส่วนคือปริมาณความร้อน ในส่วนความร้อนสัมผัส (sensible heat gain) และปริมาณความร้อนในส่วน ความร้อนแห้ง (latent heat gain) หรือสามารถคำนวนหาปริมาณความร้อนรวม ซึ่งเป็นการรวมปริมาณความร้อนในส่วนความร้อนสัมผัส และความร้อนแห้งเข้า ด้วยกัน

การประมวลปริมาณความร้อนในส่วนความร้อนสัมผัส

การประมวลปริมาณความร้อนในส่วนความร้อนสัมผัสสามารถคำนวณได้จาก สมการที่ 2-18 ซึ่งตัวแปรที่มีผลคือ ความแตกต่างระหว่างอุณหภูมิภายในอาคาร และ ภายนอกอาคาร

$$Q = 1.232 * AL * \Delta T(2-18)$$

เมื่อ

AL = ปริมาณการรั่วซึมของอากาศผ่านช่องเปิด, ลิตรต่อวินาที (L/s)

(Stein, Reynolds and McGuinness, 1986)

การประมาณปริมาณความร้อนในส่วนความร้อน放

การประมาณในส่วนนี้สามารถคำนวณได้จากสมการที่ 2-19 ซึ่งตัวแปรที่มีผลคือ ความแตกต่างระหว่างปริมาณความชื้นภายในอาคาร และภายนอกอาคาร

$$Q = 3012 * AL * \Delta W \quad \dots(2-19)$$

เมื่อ

ΔW = ความแตกต่างอัตราส่วนความชื้นภายใน และภายนอกอาคาร

(inside-outside air humidity ratio difference), กิโลกรัม ของ
น้ำต่อ กิโลกรัมของอากาศแห้ง ($\text{kg H}_2\text{O} / \text{kg of dry air}$)

(Stein, Renolds and McGuinness, 1986)

การประมาณปริมาณความร้อนรวมของการรับซึมอากาศ

การประมาณในส่วนนี้สามารถคำนวณได้จากสมการที่ 2-20 ซึ่งตัวแปรที่มีผลคือ ความแตกต่างระหว่างเอนทัลปี (enthalpy) ภายในอาคาร และภายนอกอาคาร

$$Q = 4.334 * AL * \Delta h \quad \dots(2-20)$$

เมื่อ

Δh = ความแตกต่างระหว่างเอนทัลปี ภายใน และภายนอกอาคาร, กิโลจูล
ต่อ กิโลกรัมของอากาศแห้ง ($\text{kJ} / \text{kg of dry air}$)

(Stein, Renolds and McGuinness, 1986)

- 2.6. ประสิทธิภาพของระบบปรับอากาศในการขัดความร้อนอันเนื่องมาจากการซ่องเปิด เครื่องปรับอากาศเป็นอุปกรณ์ที่อาศัยพลังงานไฟฟ้าในการขัดความร้อนภายใน อาคาร ซึ่งรวมถึงความร้อนอันเนื่องมาจากการซ่องเปิด การพิจารณาประสิทธิภาพของระบบ ปรับอากาศสามารถพิจารณาจากค่าอีอีอาร์ (energy efficiency ratio) ดังที่แสดงใน สมการที่ 2-21 (สุนทร บุญญาธิการ และอุษณีย์ มิงวิมล, 2542)

$$EER = \frac{\text{Cooling (Btu/h)}}{\text{Energy (Watt)}} \quad \dots(2-21)$$

นอกจากการพิจารณาประสิทธิภาพของระบบปรับอากาศจากค่าอีอีอาร์ยัง สามารถพิจารณาได้จาก ค่าประสิทธิภาพการทำความเย็น (coefficient of performance)

หมายถึงอัตราส่วนระหว่างพลังงานความเย็นที่ได้จากเครื่องปรับอากาศ (energy output) ต่อพลังงานไฟฟ้าที่ใช้ในระบบปรับอากาศ ดังที่แสดงในสมการที่ 2-23 (สุนทร บุญญาอิทธิการ และอุษณีย์ มิงวิมล, 2542)

$$COP = \frac{\text{Energy output (Watt)}}{\text{Energy input (Watt)}} \quad \dots\dots(2-22)$$

การหาพลังงานที่ระบบปรับอากาศใช้ในการขจัดความร้อนจากช่องเปิดสามารถพิจารณาได้จากสมการที่ 2-23 สำหรับระบบปรับอากาศในประเทศไทยมีการสร้างฉลากแสดงประสิทธิภาพของระบบปรับอากาศ ซึ่งกำหนดประสิทธิภาพการทำความเย็นไว้ดังที่แสดงในตารางที่ 2-3

$$\text{Energy} = \text{Heat flow} * COP \quad \dots\dots(2-23)$$

ตารางที่ 2-3 แสดงระดับประสิทธิภาพระบบปรับอากาศ (สุนทร บุญญาอิทธิการ และคณะ, 2545)

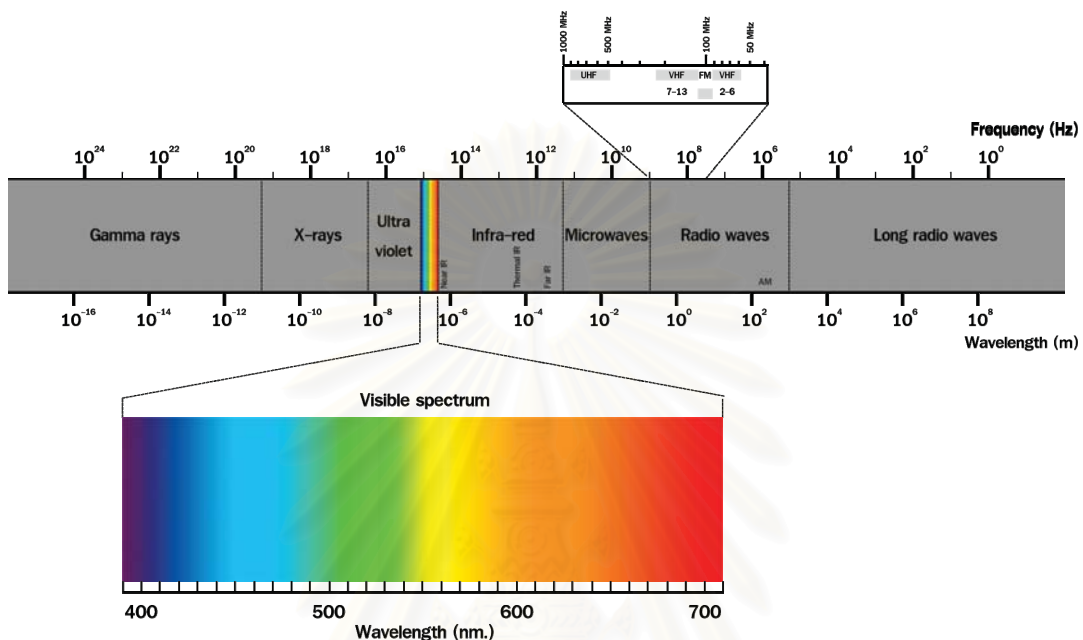
ระดับ ประสิทธิภาพ	กำลังไฟฟ้า (กิโลวัตต์)	กิโลวัตต์ต่อตัน ความเย็น	COP	EER
5	1.13	2.26	3.10 ขึ้นไป	10.60 ขึ้นไป
4	1.25	2.50	2.81 แต่ไม่ถึง 3.10	9.60 แต่ไม่ถึง 10.60
3	1.40	2.79	2.50 แต่ไม่ถึง 2.81	8.60 แต่ไม่ถึง 9.60
2	1.58	3.16	2.20 แต่ไม่ถึง 2.50	7.60 แต่ไม่ถึง 8.60
1	1.82	3.64	ต่ำกว่า 2.20	ต่ำกว่า 7.60

2.7. ทฤษฎีด้านแสงธรรมชาติ

การออกแบบช่องเปิดเพื่อใช้ประโยชน์จากแสงธรรมชาติต้องออกแบบการใช้แสงธรรมชาติให้สัมพันธ์กับการใช้แสงประดิษฐ์ เพื่อที่จะสามารถลดการใช้แสงประดิษฐ์ลงได้ แสงที่ตามองเห็น (visible light) เป็นคลื่นแม่เหล็กไฟฟ้า มีความยาวคลื่นอยู่ระหว่าง 380 นาโนเมตร (สีม่วง) ถึง 760 นาโนเมตร (สีแดง) และสายตาของมนุษย์จะสามารถตอบสนองต่อความยาวคลื่นแสงประมาณ 555 นาโนเมตรได้ดีที่สุด

รังสีดวงอาทิตย์เมื่อส่องผ่านสีชั้นบรรยากาศโลก รังสีอัลตราไวโอเลตจะถูกดูดกลืนโดยชั้นโคลน รังสีคลื่นสั้นจะถูกทำให้กระจายโดยไม่เกิดข้อจำกัดซึ่งส่งผลให้ท้องฟ้าเป็นสีฟ้า และไอน้ำในอากาศในบรรยากาศชั้นล่างจะดูดกลืนช่วงคลื่นที่ฝ่าสั่งเกต

ดังนั้นที่มุ่งยกขึ้นของดาวอาทิตย์ (solar altitude, β) ที่ 41.8 องศา ปริมาณรังสีดวงอาทิตย์ที่ส่องลงมาอย่างพื้นโลกที่ระดับน้ำทะเล ในวันฟ้าใส (clear day) จะประกอบด้วยรังสีอินฟราเรด แสงที่ตามองเห็น และรังสีอัลตราไวโอลেต ประมาณ ร้อยละ 50, 47, และ 3 ตามลำดับ (ASTM standard E 891 อ้างถึงใน ASHRAE, 2004: 30.14)



ภาพที่ 2-10 คลื่นแม่เหล็กไฟฟ้า

2.7.1. นิยามคำศัพท์ที่เกี่ยวข้องกับแสงธรรมชาติ

เมื่อแสงถูกส่งออกมาจากแหล่งกำเนิดแสง และตกกระทบวัตถุ หรือพื้นที่ใด ๆ จะเกิดการสะท้อนเข้าสู่ดวงตา ซึ่งจะทำให้เกิดการมองเห็น โดยมีปัจจัยดังต่อไปนี้

ปริมาณแสง (Luminous flux) คือค่าพลังงานของแหล่งกำเนิดแสงใด ๆ ในรูปของความเข้มของการส่องสว่าง มีหน่วยเป็น ลูเมน

ปริมาณแสง 1 ลูเมน หมายถึง พลังงานที่ได้จากเทียนมาตรฐานขนาด 1 กำลังเทียนที่ตั้งกระทบบนพื้นที่ 1 ตารางฟุต โดยมีระยะห่างจากเทียนมาตรฐาน 1 ฟุต

ความเข้มของการส่องสว่าง (Luminous Intensity) คือปริมาณแสงที่ปล่อยออกมากจากแหล่งกำเนิดใน Solid angle ใด ๆ ในพิศทางใดทางหนึ่ง มีหน่วยเป็น ลูเมต ต่อสเตอร์เรเดียน หรือแคนเดลา

ความส่องสว่าง (Illuminance) คือ ความสว่างของปริมาณแสง 1 หน่วย ที่ตกกระหบลบนพื้นที่ใด ๆ มีหน่วยเป็น ลูเมนต่อหน่วยพื้นที่ เช่น ลูเมนต่อนหนึ่งตาราง

เมตร หรือ ลักซ์ หรือ ลูเมนต่อหน่วยตารางฟุต หรือ พุตแคนเดล โดย 1 ลักซ์ จะเท่ากับ 10.76 พุตแคนเดล

$$\text{Illuminance (lux)} = \frac{\text{Luminous flux (lumen)}}{\text{Area}(\text{m}^2)} \quad \dots(2-24)$$

ความสว่าง (Luminance) คือความส่องสว่างที่สะท้อนจากวัตถุ เข้าสู่ตา ซึ่งทำให้สามารถมองเห็นวัตถุได้ มีหน่วยเป็น แคนเดล่าต่อตารางเมตร (cd/m^2) หรือพุตแลมเบิร์ต (Foot-lambert)

2.7.2. คุณสมบัติของวัสดุด้านแสงธรรมชาติ (daylighting properties)

ค่าความส่งผ่านของแสงที่ตามองเห็น (visible transmittance, T_v)

ค่าความส่งผ่านของแสงที่ตามองเห็นหมายถึงค่าที่แสดงถึงสัดส่วนของแสงที่ตามองเห็นสามารถทะลุผ่านเข้าสู่อาคารได้ ค่าความส่งผ่านของแสงที่ตามองเห็นสูง แสดงว่าแสงธรรมชาติเข้ามาในอาคารได้มาก โดยปกติการลดค่าสัมประสิทธิ์การส่งผ่านความร้อนจากรังสีอาทิตย์ จะทำให้ค่าความส่งผ่านของแสงที่ตามองเห็นลดลงด้วย เทคโนโลยีการเคลือบผิวกระจกในปัจจุบัน สามารถลดค่าสัมประสิทธิ์การส่งผ่านความร้อนจากรังสีอาทิตย์ได้มาก โดยค่าความส่งผ่านของแสงที่ตามองเห็นเพียงเล็กน้อย

ค่าอัตราส่วนแสงต่อสัมประสิทธิ์การบังแดด (Ke)

เป็นอัตราส่วนของปริมาณแสงสว่างต่อปริมาณความร้อนที่ผ่านกระจก หากมีค่ามากหมายถึงประสิทธิภาพของกระจกที่ยอมให้แสงเข้ามากแต่ความร้อนเข้ามาน้อย

$$Ke = \frac{LT}{SC} \quad \dots(2-25)$$

ค่าอัตราส่วนแสงต่อพลังงานอาทิตย์ (light to solar gain ratio, LSG)

ความสัมพันธ์ระหว่างค่าสัมประสิทธิ์การส่งผ่านความร้อนจากรังสีอาทิตย์ และค่าความส่งผ่านของแสงที่ตามองเห็น เรียกว่าค่าอัตราส่วนแสงต่อพลังงานอาทิตย์ (light to solar gain ratio, LSG) หากกระจกมีค่าอัตราส่วนแสงต่อพลังงานอาทิตย์ ที่ได้รับยิ่งมาก แปลว่ากระจกนั้นเหมาะสมในการใช้แสงธรรมชาติสำหรับอาคารในเขตภูมิอากาศร้อน

$$LSG = \frac{T_v}{SHGC} \quad \dots\dots(2-26)$$

เมื่อ

- LSG = ค่าอัตราส่วนแสงต่อพลังงานอาทิตย์ (light to solar gain ration)
- T_v = ค่าความส่งผ่านของแสงที่ตามองเห็น (visible transmittance, T_v)
- $SHGC$ = ค่าสัมประสิทธิ์การส่งผ่านความร้อนจากรังสีอาทิตย์

2.7.3. แหล่งที่มาของแสงธรรมชาติ

แสงตรงจากดวงอาทิตย์

เป็นแสงที่ส่องตรงจากดวงอาทิตย์ โดยทั่วไปไม่นิยมใช้แสงอาทิตย์โดยตรงสำหรับอาคาร เนื่องจากความส่องสว่าง (illuminance) มีค่าสูงมาก แสงสะท้อนจากห้องฟ้า

เป็นแสงที่กระจายมาจากส่วนต่าง ๆ ของห้องฟ้า ซึ่งเกิดจากการกระจาย (scattering) ของแสงอาทิตย์กับโมเลกุลที่漂浮ในชั้นบรรยากาศ แสงสะท้อนจากผิวดิน และพื้นผิวน้ำ ๆ

เป็นแสงที่เกิดจากการ反射สะท้อนของแสงอาทิตย์ และแสงจากห้องฟ้า ตอกกระทบผิวดิน และพื้นผิวน้ำ ๆ

2.7.4. การแผ่รังสีอาทิตย์

การแผ่รังสีอาทิตย์เป็นการถ่ายเทพลังงานในรูปคลื่นแม่เหล็กไฟฟ้าแบ่งออกเป็น 2 ประเภท

การแผ่รังสีอาทิตย์นอกบรรยากาศโลก (solar radiation) เกิดจากพื้นผิวที่มีอุณหภูมิสูงของดวงอาทิตย์แผ่รังสีในรูปคลื่นแม่เหล็กไฟฟ้าแลกเปลี่ยนกับผิวโลกที่มีระยะห่างจากกัน 93 ล้านไมล์ เป็นการแผ่รังสีคลื่นสั้นในช่วงคลื่นอัลตราไวโอเลต ช่วงแสงที่ตามองเห็น และช่วงคลื่นอินฟราเรด

ปริมาณรังสีอาทิตย์นอกบรรยากาศโลกมีค่าแตกต่างเนื่องจากแกนโลกที่เอียง และวงโคจรของโลกมีลักษณะเป็นวงรีรอบดวงอาทิตย์ มีค่าเฉลี่ย 1,370 วัตต์/ตร.ม. มีค่าสูงสุด 1,418 วัตต์/ตร.ม. เมื่อโลกอยู่ใกล้ดวงอาทิตย์ที่สุดประมาณวันที่ 3 มกราคม และมีค่าต่ำสุด 1,325 วัตต์/ตร.ม. เมื่อโลกอยู่ห่างจากดวงอาทิตย์ที่สุดประมาณวันที่ 4 กรกฎาคม (ASHRAE, 1993)

การแพร่รังสีอาทิตย์จากพื้นโลก (Terrestrial radiation) เกิดจากภาวะเปลี่ยนระหว่างบรรยากาศที่ห่อหุ้มโลก และวัตถุบนพื้นผิวโลก เป็นการแพร่รังสีค่าเฉลี่ยในช่วงคลื่นฟาร์อินฟาร์เวด โดยแบ่งการพิจารณาได้ 4 รูปแบบคือ

- รังสีอาทิตย์ตรง (direct solar radiation, I_D) คือรังสีอาทิตย์ที่ได้รับโดยตรงจากดวงอาทิตย์มาถึงพื้นโลกโดยไม่เปลี่ยนแปลง
- รังสีอาทิตย์กระจาย (diffuse solar radiation, I_d) คือรังสีอาทิตย์ที่มาจากการสะท้อนของรังสีจากท้องฟ้า
- รังสีอาทิตย์สะท้อน (reflected solar radiation, I_r) คือรังสีอาทิตย์ที่ตกกระหบบนพื้นผิววัตถุแล้วสะท้อนกลับ
- รังสีอาทิตย์รวม (total หรือ global solar radiation, I_T) คือรังสีอาทิตย์ทั้งหมด ประกอบด้วยรังสีตรง และรังสีกระจายในแนวระนาบ ดังที่แสดงในสมการที่ 2-27

$$I_T = I_D + I_d + I_r \quad \dots\dots(2-27)$$

2.7.5. ลักษณะสภาพท้องฟ้า

ท้องฟ้าโปร่ง (clear sky)

คือท้องฟ้าที่มีปริมาณเมฆปกคลุมเป็นส่วนน้อย คือประมาณไม่เกินร้อยละ 30 ความสว่างลักษณะนี้เกิดจากองค์ประกอบ 2 ส่วน คือ แสงกระจายจากท้องฟ้า (diffuse illumination) และแสงตรงจากดวงอาทิตย์ (direct sun) ซึ่งขึ้นอยู่กับตำแหน่งของดวงอาทิตย์ (solar altitude) เป็นหลัก ซึ่งลักษณะท้องฟ้าส่วนที่ใกล้ดวงอาทิตย์จะมีความสว่าง (luminance) มากที่สุด และส่วนที่อยู่ต่อจากกับดวงอาทิตย์จะมีความสว่าง (luminance) น้อยที่สุด หากพิจารณาเพียงครึ่งส่วนท้องฟ้า (half sky) จะมีระดับความส่องสว่างอยู่ระหว่าง 3,000-20,000 ลักซ์ และมีค่าเฉลี่ยที่ 10,000 ลักซ์

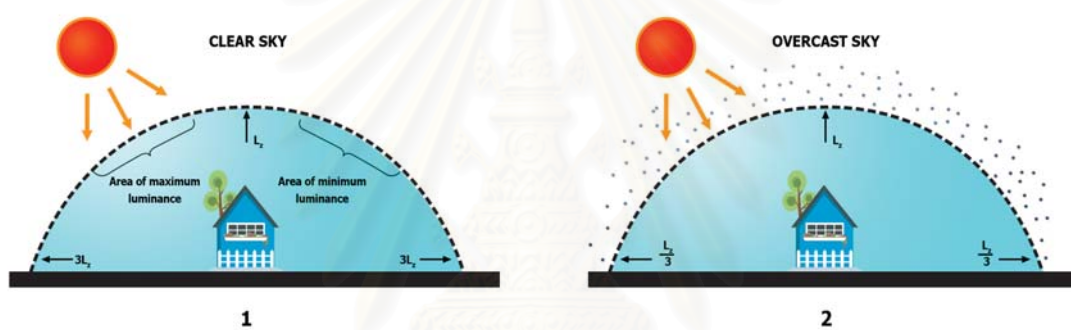
ท้องฟ้ามีเมฆบางส่วน (partly cloudy sky)

เป็นลักษณะท้องฟ้าที่มีเมฆปกคลุมบางส่วนประมาณร้อยละ 40 ถึง 70 ซึ่งเป็นลักษณะท้องฟ้าของประเทศไทยโดยส่วนใหญ่ การหาระดับความส่องสว่างของท้องฟ้าลักษณะนี้ทำได้ยากเนื่องจากมีความแปรเปลี่ยนตามลักษณะของเมฆตลอดเวลา ในกรณีเมฆปกคลุมมีลักษณะบางไม่หนาทึบ ระดับความ

ส่องสว่างจะมีค่ามากกว่าลักษณะท้องฟ้าโปร่งร้อยละ 10-15 เนื่องจากภาวะท้องฟ้าของเมฆ แต่หากเมฆที่ปกคลุมเป็นเมฆกลุ่มหนาทึบ หรือมีสีดำเช่นเมฆฝนอาจทำให้แสงกระจายที่สะท้อนจากท้องฟ้าถูกปิดกัน นั่นคือแสงจะถูกดูดกลืนมากกว่าสะท้อน ทำให้ระดับความส่องสว่างลดลง

ท้องฟ้ามีเมฆปกคลุมมาก (overcast sky หรือ CIE sky)

เป็นลักษณะท้องฟ้าที่มีเมฆปกคลุมเป็นจำนวนมาก ประมาณร้อยละ 80 ขึ้นไป ซึ่งท้องฟ้าลักษณะนี้บริเวณเหนือสุดของท้องฟ้า (zenith) จะมีความสว่างมากที่สุด และจะมีความสว่างลดลงตามลำดับความสูง โดยท้องฟ้าบริเวณแนวระนาบ (horizontal) จะมีความส่องสว่างต่ำสุดประมาณ 1 ใน 3 ของค่าความสว่างบริเวณเหนือสุดของท้องฟ้า



ภาพที่ 2-11 ลักษณะท้องฟ้า 1 ท้องฟ้าโปร่ง (clear sky) 2 ท้องฟ้ามีเมฆปกคลุมมาก (overcast sky)

2.7.6. ความสัมพันธ์ระหว่างแสงธรรมชาติกับปริมาณการแพร่รังสีอาทิตย์

ความสัมพันธ์ระหว่างปริมาณการแพร่รังสีอาทิตย์รวมบนแนวระนาบตอนต่อปริมาณความส่องสว่างของดวงอาทิตย์มีความสัมพันธ์ดังที่แสดงในสมการที่ 2-28

$$E = 104.8 + 31.007 * I_T \quad \dots\dots(2-28)$$

เมื่อ

E = ปริมาณความส่องสว่างจากดวงอาทิตย์, พุตแคนเดิล

I_T = ปริมาณรังสีอาทิตย์รวมแนวระนาบ, บีทีyuต่อชั่วโมง ตารางพุต (กุลศรี สุริยเดชสกุล, ม.ป.ป.)

2.7.7. การประยุกต์ใช้แสงธรรมชาติในอาคาร

บริมาณแสงธรรมชาติที่ได้รับผ่านช่องเปิดสำหรับใช้งานในอาคารขึ้นอยู่ กับตำแหน่งของช่องเปิด และคุณสมบัติของกระจก ซึ่งแสงธรรมชาติเป็นแสงที่มี คุณภาพสูงมาก เมื่อเทียบกับแสงประดิษฐ์ โดยแสงธรรมชาติที่เหมาะสมสมสำหรับ ใช้งานคือแสงสะท้อนจากห้องพำนีประสิทธิภาพ 140 ลูเมนต่อวัตต์ ดังที่แสดงใน ตารางที่ 2-4 การนำแสงธรรมชาติมาใช้ในอาคารทำให้สามารถลดการใช้แสง ประดิษฐ์ ทำให้ประหยัดพลังงานจากไฟฟ้าแสงสว่าง รวมถึงลดภาระการทำ ความเย็นภายในอาคาร (internal cooling load) ได้

การนำแสงธรรมชาติมาใช้ในอาคารอย่างมีประสิทธิภาพ จะต้องคำนึงถึง ตัวแปรต่าง ๆ ดังต่อไปนี้

- ความแพร่ปรวนของท้องฟ้า

สามารถปรับปรุงโดยใช้แสงสะท้อนจากห้องฟ้า (diffuse light) ซึ่งมี ความแพร่ปรวนน้อยกว่า และหลีกเลี่ยงแสงตรงจากดวงอาทิตย์ กำหนดกิจกรรม ให้เหมาะสมกับการใช้งาน โดยเลือกใช้งานในบริเวณที่ยอมรับความแพร่ปรวนได้ มากกว่า และในกรณีที่จำเป็นต้องใช้แสงตรงจากดวงอาทิตย์อาจใช้อุปกรณ์ช่วย กระจายแสง เพื่อทำให้แสงมีความสม่ำเสมอ ก่อนการใช้งาน

- ความต้องการนำแสงธรรมชาติมาใช้ในทุกทิศทาง
- การควบคุมความจ้าที่ทำให้ระคายเคืองตา
- การนำแสงธรรมชาติมาใช้อย่างคุ้มค่า

ตารางที่ 2-4 แสดงประสิทธิภาพของหลอดไฟ และแสงธรรมชาติ (สุนทร บุญญาธิการ และคณะ, 2545)

ชนิดของหลอด	ประสิทธิภาพ (ลูเมนต่อวัตต์)
หลอดอินแคนเดสเซนต์	8-20
หลอดฮาโลเจน	17-20
หลอดคอมแพคฟลูออเรสเซนต์	40-50
หลอดฟลูออเรสเซนต์ (T-12)	70-75
หลอดฟลูออเรสเซนต์ (T-8), หลอดผอม	75-80
หลอดฟลูออเรสเซนต์ (T-5)	96-104
แสงตรงจากดวงอาทิตย์ (direct sun light)	110
แสงสะท้อนจากห้องฟ้า (diffuse light)	140

2.7.8. การคำนวณแสงธรรมชาติผ่านช่องเปิด (daylighting through fenestration calculation)

การวิเคราะห์แสงธรรมชาติสามารถทำได้ 2 แนวทางคือ

แนวทางแรกคือการพิจารณาจากระดับความส่องสว่างรวม (absolute illuminance) เป็นการพิจารณาระดับความส่องสว่างในตำแหน่งต่าง ๆ โดยวัดระดับความส่องสว่างเป็นปริมาณแสงต่อหน่วยพื้นที่ มีหน่วยเป็นลักซ์ หรือฟุตแคนเดล

แนวทางที่สองคือการพิจารณาจากอัตราส่วนของระดับความส่องสว่างภายในต่อภายนอกอาคาร (relative illuminance) วิธีนี้มีข้อกำหนดคือสภาพฟ้าเป็นแบบท้องฟ้ามีเมฆปกคลุมมาก (overcast sky) โดยผลที่ได้จากการวิธีนี้หน่วยเป็นร้อยละ ซึ่งเป็นค่าคงที่โดยทั่วไปสามารถวิเคราะห์ได้ 2 วิธีคือ วิธีลูเมน (lumen method) และวิธีแฟกเตอร์แสงธรรมชาติ (daylight factor) โดยในงานวิจัยได้เลือกใช้วิธีแฟกเตอร์แสงธรรมชาติ (daylight factor) ในการศึกษา

วิธีตัวประกอบแสงธรรมชาติ (daylight factor) จะเป็นการคำนวณหาอัตราส่วนเปรียบเทียบ ระหว่างค่าความสว่างภายในอาคารในระนาบพื้นผิว (E_i) ต่อความส่องสว่างภายนอกของอาคาร (E_e) ในระนาบเดียวกัน โดยความสว่างที่เกิดขึ้นจะสัมพันธ์กับตำแหน่ง และทิศทางของดวงอาทิตย์ ที่เปลี่ยนแปลงไปตามวันและเวลา มีวิธีคำนวณดังนี้

$$DF_o = \left(\frac{E_i}{E_e} \right) * 100 \quad \dots\dots (2-29)$$

เมื่อ

E_i = ค่าความส่องสว่าง (illuminance) ภายในอาคารที่ระนาบนอน

E_e = ค่าความส่องสว่าง (illuminance) ภายนอกอาคารที่ระนาบนอน

(Stein, Renolds and McGuinness, 1986)

2.7.9. องค์ประกอบที่มีผลต่อแสงธรรมชาติภายในอาคาร

องค์ประกอบที่มีผลต่อแสงธรรมชาติภายในอาคารเป็นการพิจารณาความส่องสว่างที่ระดับพื้นที่ใช้งานโดยมีองค์ประกอบโดยรอบที่เกี่ยวข้อง 3 องค์ประกอบคือ องค์ประกอบจากท้องฟ้า องค์ประกอบจากการสะท้อนแสงภายนอกอาคาร และองค์ประกอบจากการสะท้อนแสงภายในอาคาร

- องค์ประกอบจากห้องฟ้า (Sky component, SC) เป็นสัดส่วนของแสงธรรมชาติทั้งหมดที่ส่องโดยตรงจากพื้นที่ห้องฟ้าลงยังจุดที่เวลาต้องการวัด โดยแสงธรรมชาติจะถูกลดทอนจากหน้าต่าง ระดับความส่องสว่างจากองค์ประกอบจากห้องฟ้าขึ้นอยู่กับสภาพห้องฟ้ามีความแปรปรวนสูงตั้งแต่ ห้องฟ้าโปร่งไม่มีเมฆ (clear sky) จนกระทั่งห้องฟ้าปกคลุมด้วยเมฆมากจนไม่สามารถมองเห็นดวงอาทิตย์ (completely overcast sky) ซึ่งมีผลต่อระดับความส่องสว่างที่เกิดขึ้น

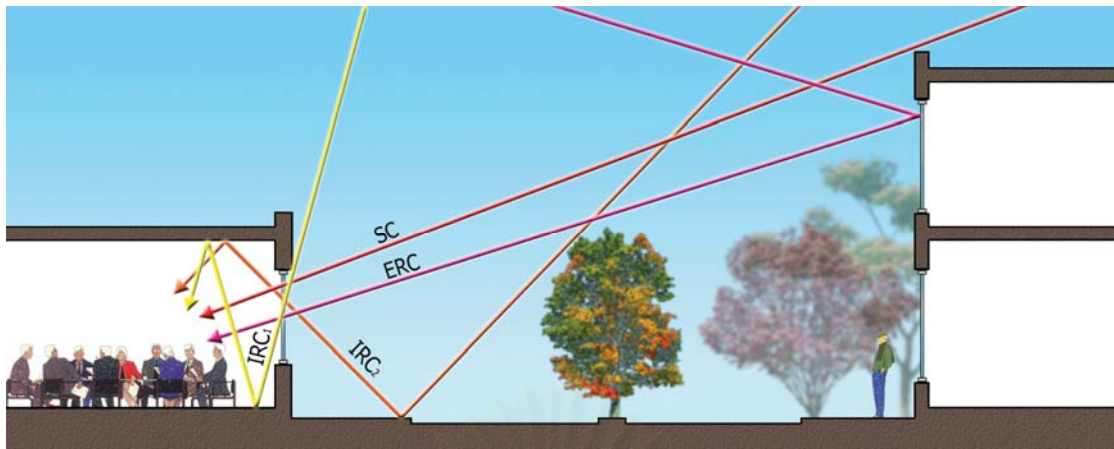
$$SC = \text{incident skylight} - \text{window losses} \quad \dots(2-30)$$

- องค์ประกอบจากการสะท้อนแสงภายนอกอาคาร (Externally reflected component, ERC) เกิดจากแสงสะท้อนจากวัสดุที่อยู่ภายนอกสะท้อนเข้าสู่อาคาร เช่น แม่เหล็ก กำเนิดแสง โดยองค์ประกอบนี้ไม่รวมแสงสะท้อนจากพื้นดิน ระดับความส่องสว่างสามารถประมาณจากสัดส่วนขององค์ประกอบจากห้องฟ้า (sky component) และ ปริมาณแสงที่เกิดขึ้นอยู่กับคุณสมบัติการสะท้อนของวัสดุ (reflectance factor, RF)

$$ERC = SC * RF \text{ (of obstruction)} \quad \dots(2-31)$$

- องค์ประกอบจากการสะท้อนแสงภายในอาคาร (Internally reflected component, IRC) เกิดจากการสะท้อนแสงของรัศมีภายในอาคารจากห้อง องค์ประกอบจากห้องฟ้า และองค์ประกอบจากการสะท้อนแสงภายนอกอาคาร ปริมาณแสงที่เกิดขึ้นอยู่กับคุณสมบัติการสะท้อนของวัสดุ และทิศทางของแสงสะท้อน โดยปกติระดับความส่องสว่างจากองค์ประกอบจากการสะท้อนแสงภายในอาคารรวม (IRC) จะมาจากการสะท้อนแสงจาก องค์ประกอบจากการสะท้อนของห้องฟ้า ลงสู่พื้นผิวภายในโดยตรง (IRC1) โดยมีผลกระทบจากการสะท้อนแสงจากองค์ประกอบจากการสะท้อนแสงภายนอกอาคาร (IRC2) เพียงเล็กน้อยเท่านั้น

$$DF_o = SC + ERC + IRC \quad \dots(2-32)$$



ภาพที่ 2-12 องค์ประกอบที่มีผลต่อแสงธรรมชาติภายในอาคาร (ภาพดัดแปลง Stein and Reynolds, 1999)

วัสดุตกแต่งพื้นผิวอาคารภายในอาคารที่เหมาะสมสมสำหรับการสะท้อนแสงโดยทั่วไปสำหรับห้องทำงาน ค่าการสะท้อนแสงที่เหมาะสมสมสำหรับผู้เดินชมมีค่าประมาณร้อยละ 80 พังร้อยละ 50-70 และพื้นร้อยละ 20-40 รวมถึงลักษณะพื้นผิวที่สามารถกระจายแสงแบบกระจาย (diffuse reflection) เพื่อป้องกันปัญหาแสงบาดตา (glare)

2.7.10. การคำนวณการลดการใช้พลังงานไฟฟ้าจากแสงประดิษฐ์โดยการใช้ประโยชน์จากการแสดงประดิษฐ์

การใช้แสงธรรมชาติในอาคาร ทำให้สามารถลดการใช้แสงประดิษฐ์ ดังนั้นการหาพลังงานจากแสงธรรมชาติสามารถพิจารณาจากการใช้พลังงานของแสงประดิษฐ์ในพื้นที่ใช้งาน 1 ตารางเมตร โดยมีความต้องการระดับการส่องสว่างในการใช้งานที่ 500 ลักซ์

การพิจารณาการใช้พลังงานของแสงประดิษฐ์ พิจารณาจากประสิทธิภาพของอุปกรณ์ไฟฟ้าแสงสว่าง สำหรับงานวิจัยทำการพิจารณาอุปกรณ์ที่มีประสิทธิภาพสูงโดยเลือกใช้หลอดไฟฟ้าที่เหมาะสมกับอาคารขนาดเล็ก และขนาดกลาง คือหลอดฟลูออเรสเซนต์มีค่าประสิทธิภาพที่ 70.65 ลูเมนต่อวัตต์ ควบคู่กับบลลดาต์อิเล็กทรอนิกส์ซึ่งมีการสูญเสียต่ำ และสามารถปรับลดความส่องสว่างให้เหมาะสมกับสภาพแสงธรรมชาติในอาคารได้

ตารางที่ 2-5 แสดงประสิทธิภาพของหลอดไฟในปัจจุบัน (เครือข่ายสารสนเทศด้านพลังงานและสิ่งแวดล้อมของประเทศไทย, 2547)

หลอดไฟฟ้า	ชนิด	ขนาดกำลังไฟฟ้า (วัตต์)	ปริมาณแสง (ลูเมน)	ประสิทธิภาพ (ลูเมน/วัตต์)
หลอดอินแคนเดสเซนต์	GLS	60	730	12.17
	GLS	100	1,380	13.80
หลอดทั้งสเตนเลสไฮโลเจน	Cap.	50	950	16.10
	D.E.	500	9,660	19.32
		1000	36,300	24.20
หลอดคอมแพคฟลูอโบรีเซนต์	ขั้วเกลียว	15	760	50.67
		23	1,350	58.70
	ขั้วเสียบ	11	900	56.25
		18	1,200	46.15
หลอดฟลูอโบรีเซนต์	STD	18	1,030	36.79
		36	2,600	56.52
	Super80	18	1,300	46.43
		36	3,250	70.65
หลอดแสงจันทร์ (หลอดไอโอดีนความดันสูง)	ML	250	5,500	21.15
	HPL-N	80	3,700	41.11
		125	6,200	45.59
		250	12,700	47.21
		400	22,000	52.01
หลอดเมทัลไฮด์	MH-TD	70	5,700	66.28
		150	12,900	75.88
	HPI-T	250	19,000	72.24
		400	35,000	84.34
หลอดโซเดียมความดันสูง	SDW-T	100	5,000	46.30
	SON	70	5,600	69.14
		150	16,000	93.02
	SON-H	220	20,000	83.68
		350	34,000	91.15
	SON-T	250	28,000	100.00
		400	48,000	112.41
หลอดโซเดียมความดันต่ำ	SOX	55	7,800	97.50
		90	13,000	104.00
		180	32,500	151.16

นอกจากนี้ต้องพิจารณาเลือกใช้ดวงโคมที่มีประสิทธิภาพสูง โดยพิจารณาจากค่าสัมประสิทธิ์การใช้ประโยชน์ (coefficient of Utilization, CU) แสดงถึงปริมาณแสงที่โคมไฟส่องมาถึงพื้นที่ทำงาน โดยสามารถพิจารณาได้จากผู้ผลิตดวงโคม

การพิจารณาการให้แสงสว่างของแสงปะดิชชูในภาระจัยนี้ใช้วิธีชนิด คาวิตี (zonal cavity method) ซึ่งเป็นวิธีพิจารณาระดับความส่องสว่างเฉลี่ยทั้งพื้นที่พิจารณาโดยใช้เกณฑ์ของความส่องสว่าง (illuminance) ดังที่แสดงในสมการที่ 2-33

$$E = \left(\frac{L}{A} \right) * CU * LLD * LDD \quad \dots\dots(2-33)$$

เมื่อ

E = ระดับความส่องสว่าง, ลักซ์ หรือ พุตแคนเดล

L = ปริมาณแสง, ลูเมน

A = พื้นที่ส่องสว่าง, ตารางเมตร หรือตารางฟุต

CU = ค่าสัมประสิทธิ์การใช้ประโยชน์

LLD = ค่าความเสื่อมของหลอดไฟ (lamp lumen depreciation)

LDD = ค่าความเสื่อมจากความสกปรกของดวงโคม (luminaire dirt depreciation)

2.7.11. การเลือกวัสดุช่องเปิด

การเลือกใช้วัสดุช่องเปิดที่ดี มีประสิทธิภาพในการประหยัดพลังงาน ควรมีลักษณะดังนี้ (สุนทร บุญญาธิการ และอุษณีย์ มิงกิมล, 2542)

- มีความสามารถในการกันความร้อนได้ดี (ค่าสัมประสิทธิ์การถ่ายเทความร้อน ต่ำ)
- กันการรั่วซึมอากาศได้ดี
- กันน้ำ และกันซึ่นได้ดี
- มีค่าสัมประสิทธิ์การบังแಡดต่ำ (SC)
- มีค่าความส่งผ่านแสงสูง (light transmittion)
- มีอัตราส่วนของค่าความส่งผ่านแสง ต่อค่าสัมประสิทธิ์การบังแಡสูง ซึ่งหมายความว่า ช่องเปิดสามารถอนให้แสงผ่านเข้ามาได้มาก แต่ความร้อนเข้ามาได้น้อย

2.8. งานวิจัยที่เกี่ยวข้อง

2.8.1. เรื่อง energy transparency for energy efficiency โดย Diana Avasoo (2004)

งานวิจัยนี้เป็นการศึกษาการสร้าง และส่งเสริม การจัดระดับด้านพลังงาน (energy rating) ของผลิตภัณฑ์ต่าง ๆ ในที่ต่าง ๆ ทั่วโลก โดยหน้าต่างนับเป็นปัจจัยหลัก ในการใช้พลังงานในอาคารซึ่งส่งผลกระทบต่อการใช้พลังงาน และสภาวะนำ้สบายน ในปี ค.ศ. 2001 ประเทศในทวีปยุโรป 8 ประเทศได้รวมตัวกันสร้างมาตรฐานกลางสำหรับจัด ระดับหน้าต่างด้านพลังงาน เรียกว่า European Window Energy Rating System หรือ EWERS ซึ่งเป็นมาตรฐานสำหรับผู้ออกแบบ ผู้ก่อสร้าง รวมถึงบุคคลทั่วไป ในการเลือกใช้ หน้าต่างที่มีประสิทธิภาพ

ผลดีที่ได้รับจากโครงการนี้คือ

- สามารถเพิ่มจำนวนการใช้หน้าต่างที่มีประสิทธิภาพสูงในทวีปยุโรป
- ลดการใช้พลังงานในการควบคุมสภาพแวดล้อมของอาคาร
- ลดจำนวนคาร์บอนไดออกไซด์ ที่ปลดปล่อยจากการผลิตพลังงาน

สถาบันวิทยบริการ
จุฬาลงกรณ์มหาวิทยาลัย

บทที่ 3

ระเบียบวิธีวิจัย

3.1. เครื่องมือที่ใช้ในการวิจัย

เครื่องมือที่ใช้ในการทดลองประกอบด้วย

3.1.1. เครื่องมือวัดระดับความส่องสว่าง (illuminance meter) การวิจัยเลือกใช้ อุปกรณ์รุ่น DX-200 ของบริษัทไอโอบีเอส เอนเทอร์เพรส จำกัด เป็นอุปกรณ์วัด ระดับความส่องสว่าง (illuminance) ระบบดิจิตอล ความละเอียดในการวัดระดับ ทศนิยม 2 ตำแหน่ง สามารถวัดระดับความส่องสว่างได้ระหว่าง 0 ถึง 100,000 ลักซ์ จำนวน 6 ตัว



ภาพที่ 3-1 .เครื่องมือวัดระดับความส่องสว่าง รุ่น DX-200

3.1.2. กล้องทดลอง เป็นแบบจำลองทางกายภาพ สำหรับศึกษาเรื่อง ระดับความส่องสว่าง ภายในอาคารสำหรับชั้องเปิด โดยจำลองห้องขนาด กว้าง 4 เมตร ยาว 9.5 เมตร สูง 3 เมตร ในขนาดมาตรฐาน 1: 10 เป็นกล้องทดลอง ดังภาพที่ 3-2 วัสดุภายใน กล้องทดลองเลือกใช้วัสดุที่มีค่าสะท้อนแสงส่วนผิวpedan ผนัง และพื้นกล้อง ทดลองที่ ร้อยละ 80, 50 และ 20 ตามลำดับ กำหนดจุดสำหรับวัดระดับความส่อง

สว่างทุกระยะ 1 เมตรจากช่องเปิดรวมทั้งสิ้น 9 จุด โดยทำการวัดระดับความส่องสว่างที่ระดับพื้นที่ใช้งานสูง 0.75 เมตรเหนือระดับพื้น บริเวณแผงผนังด้านซ้ายของเปิดทำการติดตั้งช่องเปิดด้านหน้าของกล่องทดลอง



ภาพที่ 3-2 แบบจำลองกล่องทดลองสำหรับการวิจัย

3.2. การทดสอบเครื่องมือที่ใช้ในการวิจัย

ในการวิจัยใช้เครื่องวัดระดับความส่องสว่างจำเป็นต้องทำการสอบเทียบเครื่องมือเดลล์ต้าให้สามารถแสดงค่าได้ใกล้เคียงกันมากที่สุด เพื่อให้ข้อมูลที่ได้มีความเที่ยงตรงภายใน (internal validity) มีความถูกต้อง และได้มาตรฐานมากที่สุด

การสอบเทียบอุปกรณ์เพื่อให้ได้มาตรฐาน มีขั้นตอนดังนี้

3.2.1. เตรียมเครื่องมือที่ใช้ในการทดลอง คือ เครื่องวัดระดับความส่องสว่าง รุ่น DX-200 จำนวน 6 ตัว โดยมี เครื่องวัดระดับความส่องสว่างมาตรฐานจำนวน 1 ตัว และ เครื่องวัดระดับความส่องสว่างที่นำมาสอบเทียบจำนวน 5 ตัว

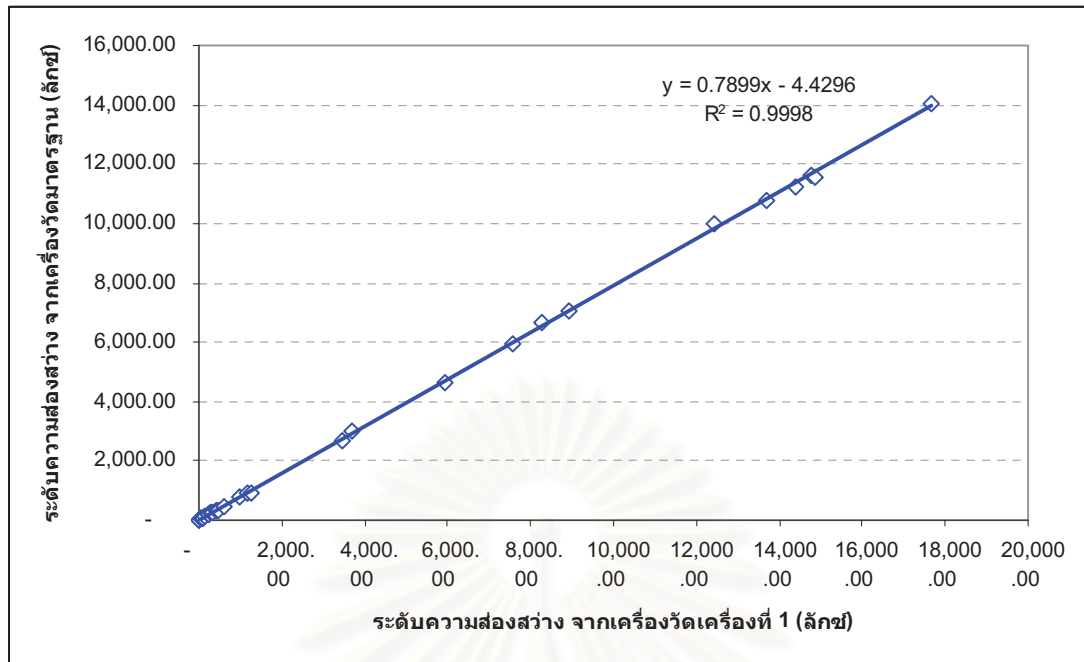
3.2.2. ทำการวัดระดับความส่องสว่าง โดยทำการวัดพร้อมกันทั้ง 6 ตัว ในเวลาเดียวกัน และตำแหน่งเดียวกัน โดยทำการวัดระดับความส่องสว่างตั้งแต่บริเวณที่มีระดับความส่องสว่างต่ำ ไปยังบริเวณที่มีระดับความส่องสว่างสูง โดยหลีกเลี่ยงรังสีอาทิตย์ตรง ทำการบันทึกข้อมูลดังที่แสดงในตารางที่ 3-1 โดยทำการทดสอบไม่น้อยกว่า 30 ครั้ง

3.2.3. นำข้อมูลที่ได้มาหาสมการปรับแก้ของอุปกรณ์ต่าง ๆ ด้วยวิธีสมการทดแทน (regression) เพื่อสร้างสมการปรับแก้ของอุปกรณ์แต่ละตัว

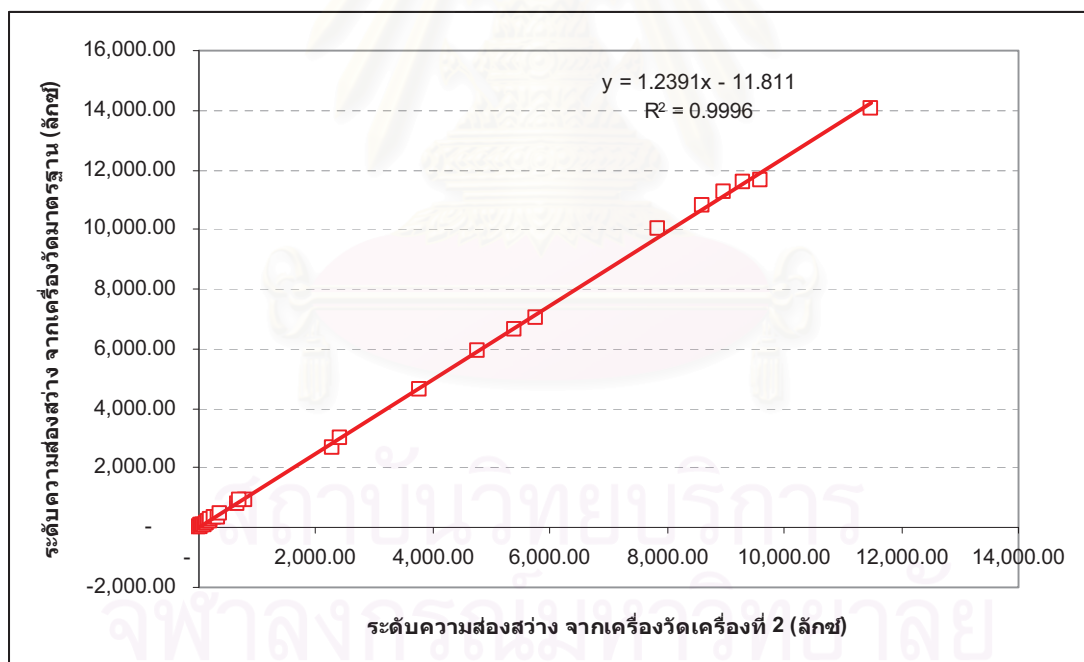
3.2.4. การเก็บข้อมูลจริงของอุปกรณ์แต่ละตัว ต้องนำสมการของอุปกรณ์มาปรับค่าก่อนนำมาใช้งาน เพื่อลดความคลาดเคลื่อนของข้อมูล

ตารางที่ 3-1 ข้อมูลการวัดระดับความส่องสว่างของอุปกรณ์สำหรับสอบเทียบอุปกรณ์

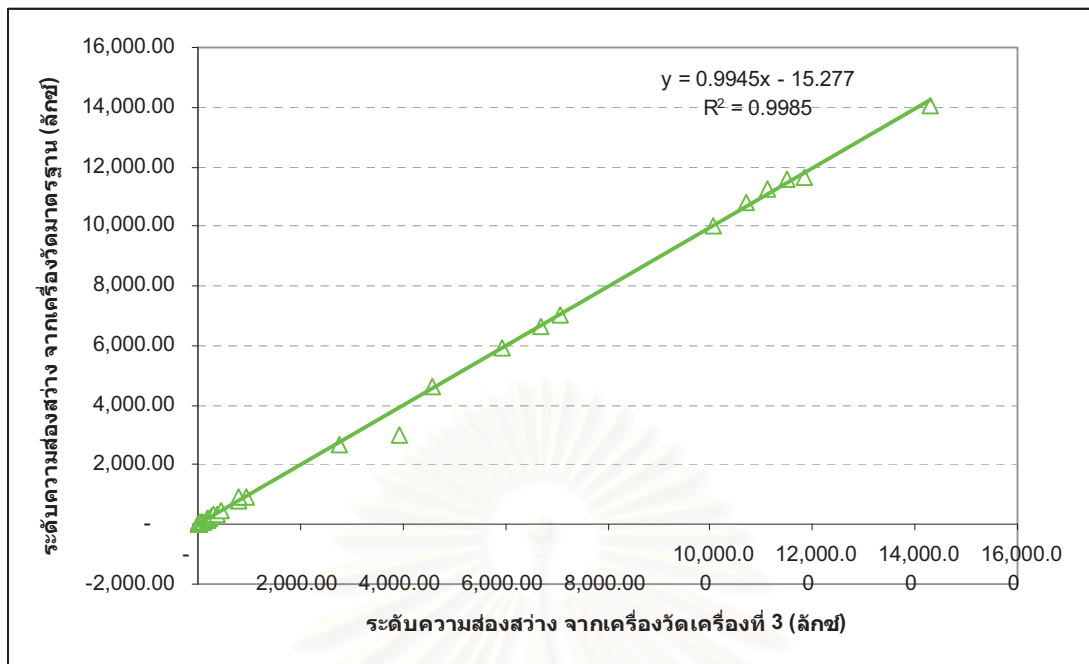
ตำแหน่ง	ระดับความส่องสว่าง (ลักซ์)						ระดับ ความส่อง สว่างเฉลี่ย	
	เครื่องมือวัดระดับความส่องสว่าง รหัส							
	945640	944668	205907	205910	207929	205908		
1	6.50	4.20	4.70	4.50	4.60	4.50	4.83	
2	9.60	6.50	7.30	6.80	7.00	6.60	7.30	
3	57.70	37.50	42.70	41.10	41.80	41.20	43.67	
4	68.60	44.40	50.80	50.20	50.10	49.90	52.33	
5	92.00	60.90	69.60	67.00	66.60	65.60	70.28	
6	105.40	68.80	80.00	77.60	78.40	77.80	81.33	
7	135.00	88.70	102.20	105.10	92.40	95.90	103.22	
8	220.00	146.90	170.70	169.10	157.60	159.70	170.67	
9	224.00	147.70	176.90	170.50	164.00	166.00	174.85	
10	228.00	151.20	173.80	169.00	175.10	166.80	177.32	
11	300.00	198.00	221.00	219.00	222.00	215.00	229.17	
12	327.00	213.00	257.00	255.00	248.00	241.00	256.83	
13	437.00	272.00	320.00	326.00	329.00	323.00	334.50	
14	463.00	322.00	361.00	341.00	318.00	330.00	355.83	
15	608.00	372.00	442.00	448.00	451.00	435.00	459.33	
16	1,002.00	668.00	787.00	754.00	777.00	707.00	782.50	
17	1,173.00	805.00	930.00	892.00	917.00	852.00	928.17	
18	1,285.00	708.00	810.00	816.00	861.00	881.00	893.50	
19	3,440.00	2,300.00	2,750.00	2,640.00	2,640.00	2,470.00	2,706.67	
20	3,670.00	2,430.00	3,930.00	2,810.00	2,740.00	2,560.00	3,023.33	
21	5,950.00	3,770.00	4,590.00	4,600.00	4,590.00	4,410.00	4,651.67	
22	7,580.00	4,780.00	5,930.00	5,930.00	5,810.00	5,610.00	5,940.00	
23	8,280.00	5,410.00	6,690.00	6,650.00	6,530.00	6,310.00	6,645.00	
24	8,930.00	5,750.00	7,070.00	6,960.00	6,920.00	6,670.00	7,050.00	
25	12,410.00	7,840.00	10,070.00	10,110.00	10,130.00	9,510.00	10,011.67	
26	13,710.00	8,610.00	10,690.00	10,720.00	10,680.00	10,220.00	10,771.67	
27	14,400.00	8,980.00	11,130.00	11,110.00	11,210.00	10,730.00	11,260.00	
28	14,770.00	9,600.00	11,830.00	11,470.00	11,350.00	10,920.00	11,656.67	
29	14,840.00	9,300.00	11,480.00	11,380.00	11,390.00	11,070.00	11,576.67	
30	17,670.00	11,490.00	14,310.00	13,840.00	13,680.00	13,130.00	14,020.00	



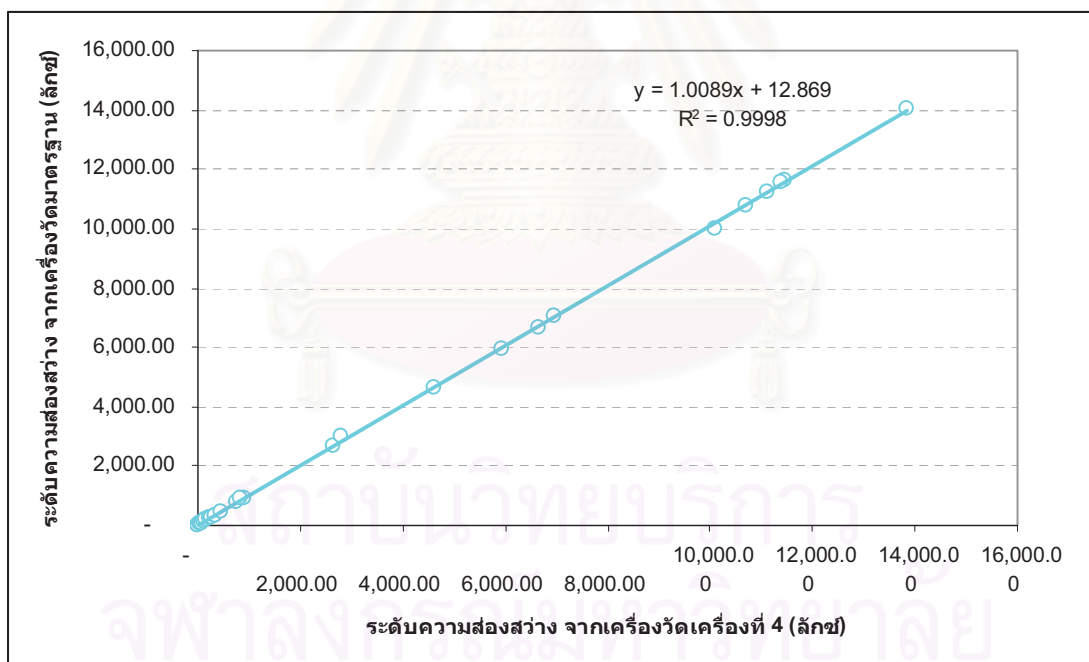
แผนภูมิที่ 3-1 ระดับความส่องสว่างของเครื่องวัดระดับความส่องสว่าง เครื่องที่ 1 เทียบกับเครื่องวัดมาตราฐาน



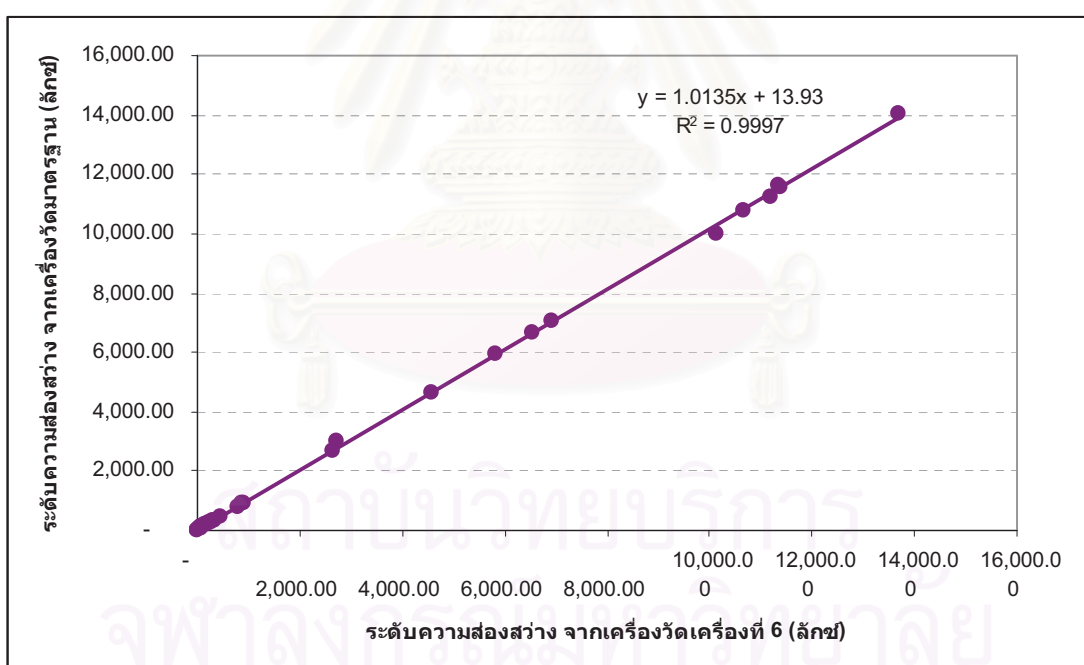
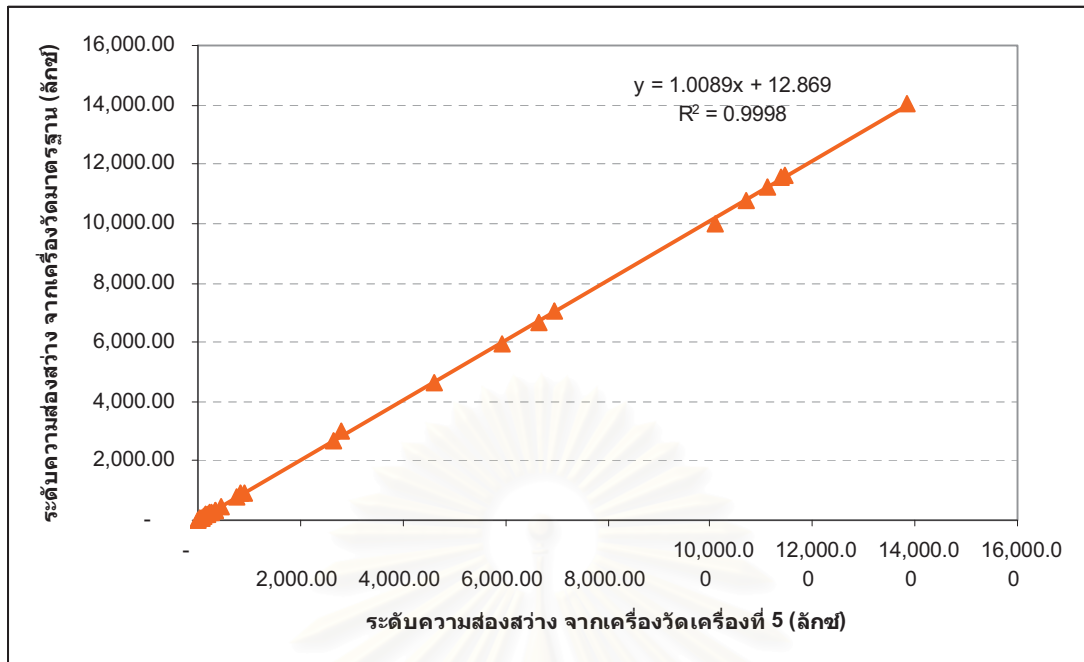
แผนภูมิที่ 3-2 ระดับความส่องสว่างของเครื่องวัดระดับความส่องสว่าง เครื่องที่ 2 เทียบกับเครื่องวัดมาตราฐาน



แผนภูมิที่ 3-3 ระดับความส่องสว่างของเครื่องวัดระดับความส่องสว่าง เครื่องที่ 3 เทียบกับเครื่องวัดมาตรฐาน



แผนภูมิที่ 3-4 ระดับความส่องสว่างของเครื่องวัดระดับความส่องสว่าง เครื่องที่ 4 เทียบกับเครื่องวัดมาตรฐาน



ตารางที่ 3-2 สมการปรับแก้ความคลาดเคลื่อนของอุปกรณ์

อุปกรณ์	สมการ
เครื่องวัดระดับความส่องสว่าง เครื่องที่ 1	$Y=0.7899X-4.4296$
เครื่องวัดระดับความส่องสว่าง เครื่องที่ 2	$Y=1.2391X-11.811$
เครื่องวัดระดับความส่องสว่าง เครื่องที่ 3	$Y=0.9945X-15.277$
เครื่องวัดระดับความส่องสว่าง เครื่องที่ 4	$Y=1.0089X+12.869$
เครื่องวัดระดับความส่องสว่าง เครื่องที่ 5	$Y=1.0089X+12.869$
เครื่องวัดระดับความส่องสว่าง เครื่องที่ 6	$Y=1.0135X+13.93$

3.3. การวิเคราะห์ปริมาณพลังงานที่เกิดจากการถ่ายเทความร้อนผ่านช่องเปิด

ในขั้นตอนนี้ เป็นการหาปริมาณพลังงานที่ต้องใช้ในการซักดูความร้อน และ ความซึ้งอันเนื่องมาจากการซ่องเปิดของอาคารปรับอากาศ ซึ่งหมายถึงพลังงานไฟฟ้าที่เสียไป (energy loss) ของช่องเปิด โดยใช้เงื่อนไขต่าง ๆ เพื่อทำการใช้พลังงานไฟฟ้าของอาคารดังนี้

3.3.1. ตัวแปรที่เกี่ยวข้อง

ตัวแปรต้น (independent variables) หมายถึงตัวแปรที่มีผลต่อการใช้พลังงาน ภายใต้อาคารจากภาระถ่ายเทความร้อน

- ค่าสัมประสิทธิ์การถ่ายเทความร้อน (U-value) ของบานกรอบ
- ค่าสัมประสิทธิ์การถ่ายเทความร้อน (U-value) ของบานกระจก
- ค่าสัมประสิทธิ์การบังแดด (SC)
- ค่าความส่งผ่านของแสงที่ตามองเห็น (visible light transmission, T_v)
- ค่าการรั่วซึมอากาศ (infiltration) ของวัสดุ

ตัวแปรตาม (dependent variables) หมายถึง ปริมาณพลังงานที่อาคารต้องใช้ใน การปรับอุณหภูมิ และความซึ้งสัมพัทธ์ ภายในอาคารให้เข้าสู่เขตสบายเชิงอุณหภูมิ (thermal comfort) ซึ่งกำหนดอุณหภูมิภายในอาคารที่ 25.6 องศาเซลเซียส (78 องศา华เรนไอก์ต์) และความซึ้งสัมพัทธ์ที่ร้อยละ 50

- การใช้พลังงานไฟฟ้าในระบบปรับอากาศอันเนื่องมาจากช่องเปิด

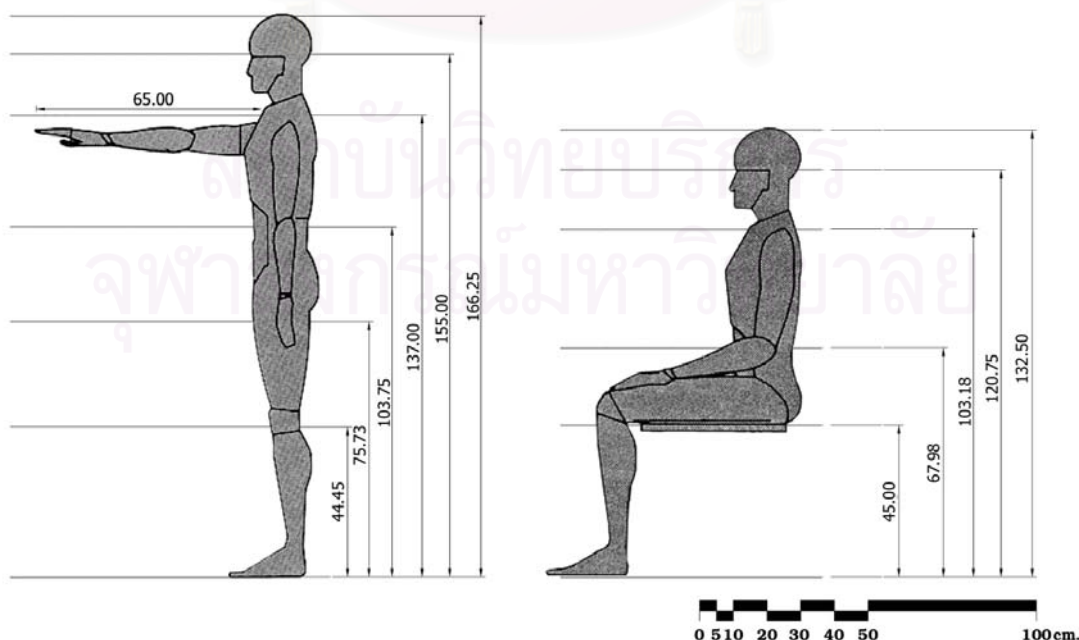
ตัวแปรควบคุม (controlled variables) หมายถึงตัวแปรที่ควบคุม ไม่ให้มีผลกระทบต่อการใช้พลังงานไฟฟ้าในระบบปรับอากาศอันเนื่องมาจากการซ่องเปิด

- ช่วงเวลาการใช้งานของอาคาร กำหนดการใช้งานอาคารระหว่างเวลา 8:00 ถึง 17:00 นาฬิกา หรือ 9 ชั่วโมงต่อวัน
- ขนาดของห้องที่ใช้ในการศึกษา กำหนดขนาดห้องที่ทำการศึกษาที่ กว้าง 4 เมตร ยาว 9.5 เมตร สูง 3 เมตร
- การบังเงาของซ่องเปิด กำหนดให้ซ่องเปิดที่ทำการศึกษาไม่ได้รับอิทธิพลจากแสงสีอาทิตย์ตรง

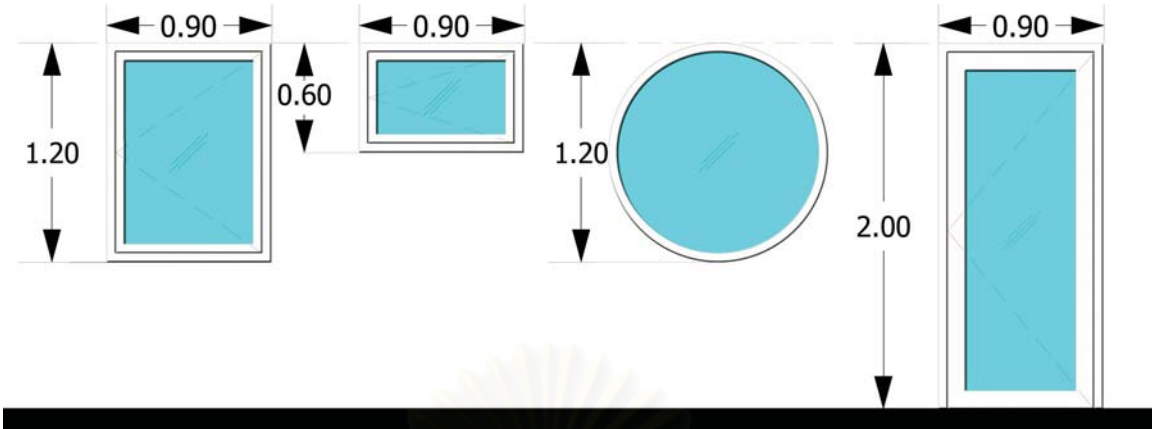
3.3.2. การศึกษาการถ่ายเทความร้อนผ่านผนังซ่องเปิด

แนวทางการพิจารณาซ่องเปิดที่เหมาะสมสำหรับการใช้งานวิเคราะห์จากระยะการใช้งานของคน (human dimension) โดยศึกษาจากสัดส่วนร่างกายของคนไทยซึ่งอ้างอิงจากการศึกษาของสำนักงานมาตรฐานอุตสาหกรรม ร่วมกับการพิจารณาขนาดวัสดุสำหรับผลิตซ่องเปิด และขนาดซ่องเปิดที่ลงตัวกับวัสดุก่อสร้าง ซึ่งสามารถสรุปขนาดซ่องเปิดที่เหมาะสมได้ 4 รูปแบบสำหรับเป็นกรณีศึกษาดังนี้

- ซ่องเปิดขนาด 0.90×1.20 เมตร
- ซ่องเปิดขนาด 0.90×0.60 เมตร
- ซ่องเปิดกลมขนาดเส้นผ่านศูนย์กลาง 1.20 เมตร
- ซ่องเปิดขนาด 0.90×2.00 เมตร



ภาพที่ 3-3 สัดส่วนร่างกายเฉลี่ยของชายไทยอายุระหว่าง 17-49 ปี



ภาพที่ 3-4 ขนาดช่องเปิดที่ใช้ในงานวิจัย

การถ่ายเทความร้อนผ่านส่วนทึบของช่องเปิด

การศึกษาการถ่ายเทความร้อนผ่านส่วนทึบของช่องเปิดคือการถ่ายเทความร้อนผ่านส่วนบนกรอบแบ่งออกเป็น 2 ส่วนคือการถ่ายเทความร้อนโดยการนำความร้อนผ่านบานกรอบ (frame conduction) และการรั่วซึมอากาศผ่านช่องเปิด (infiltration) กำหนดวัสดุบานกรอบที่นำมาศึกษา 3 ชนิดคือ บานกรอบไม้ (wood frame) บานกรอบอลูมิเนียม (aluminum frame) และบานกรอบยูพีวีซี (uPVC frame) โดยวัดแต่ละชนิดมีค่าสัมประสิทธิ์การถ่ายเทความร้อน (U-value) และ อัตราการรั่วซึมอากาศต่อหน่วยความยาวดังที่แสดงในตารางที่ 3-3

ตารางที่ 3-3 คุณสมบัติของวัสดุของบานกรอบ (Visual DOE, 2004; Stein, Reynolds and Mc Guinness, 1986)

Frame materials	U-Value (W/m ² K)	U-Value (Btu/h ft ² F)	Infiltration rate (L/s/m of crack)	Infiltration rate (cfm/ft of crack)
บานกรอบไม้	1.948	0.343	0.236	0.5
บานกรอบอลูมิเนียม	7.069	1.245	0.094	0.2
บานกรอบยูพีวีซี	1.811	0.319	0.047	0.1

การพิจารณาการรั่วซึมของอากาศทำ การวัดความกว้างรอยรั่วรวมกับ ข้อมูลจากผู้ผลิต โดยอัตราการรั่วซึมตั้งอยู่บนสมมติฐานที่ความเร็วลม 3.35 เมตรต่อวินาที (7.5 ไมล์ต่อชั่วโมง) ผลการศึกษาพบว่าช่องเปิดบานกรอบไม้ บานกรอบ

อัลูมิเนียม และบานกรอบปูพื้นที่มีการรั่วซึมอากาศ 0.236 0.094 และ 0.047 ลิตรต่อวินาทีต่อความเยาว์ 1 เมตรของรอยรั่วตามลำดับ

การพิจารณาการนำความร้อนผ่านบานกรอบซ่องเปิดพิจารณาจากค่าสัมประสิทธิ์การถ่ายเทความร้อน (U-value) ควบคู่ไปกับข้อมูลสภาพอากาศกรุงเทพมหานครปี 2550 (อุตุนิยมวิทยา, 2551) โดยอาศัยความสัมพันธ์ดังที่แสดงในสมการที่ 3-1 และสมการที่ 3-2

$$Q = U * A * CLTD_c \quad \dots\dots(3-1)$$

$$CLTD_c = (CLTD * LM) * K + (78 - T_r) + (T_o - 85) \quad \dots\dots(3-2)$$

การพิจารณาการรั่วซึมอากาศผ่านบานกรอบซ่องเปิดพิจารณาจากอัตราการรั่วซึม (infiltration rate) จากเส้นรอยรั่วของซ่องเปิด ควบคู่ไปกับข้อมูลสภาพอากาศกรุงเทพมหานครปี 2550 โดยอาศัยความสัมพันธ์ดังที่แสดงในสมการที่ 3-3

$$Q = 4.334 * AL * \Delta h \quad \dots\dots(3-3)$$

การถ่ายเทความร้อนผ่านส่วนโปร่งแสงของซ่องเปิด

การพิจารณาการถ่ายเทความร้อนผ่านส่วนโปร่งแสงของซ่องเปิดแบ่งออกเป็น 2 ส่วน คือการนำความร้อนผ่านส่วนบานกระจก (glass conduction) และการแผ่รังสีอาทิตย์ผ่านส่วนบานกระจก (glass radiation) กำหนดวัสดุบานกระจกสำหรับใช้เป็นกรณีศึกษา 10 ชนิด คือ กระจกใสหนา 6 มม. (6 mm. clear float glass) กระจกใสหนา 8 มม. (8 mm. clear float glass) กระจกเขียว 6 มม. (6 mm. green tinted glass) กระจกเขียว 8 มม. (8 mm. green tinted glass) กระจก laminate 8 มม. (8 mm. clear laminated glass) กระจก laminate เขียว 8 มม. (8 mm. green tinted laminated glass) กระจกใส 2 ชั้นหนา 24 มม. (24 mm. clear double glazing) กระจกเขียว 2 ชั้นหนา 24 มม. (24 mm. green tinted double glazing) กระจกใส 2 ชั้นหนา 32 มม. (32 mm. clear double glazing) กระจกเขียว 2 ชั้นหนา 32 มม. (32 mm. green tinted double glazing) โดยวัสดุแต่ละชนิดมีค่าสัมประสิทธิ์การถ่ายเทความร้อน (U-value) ค่าสัมประสิทธิ์การบังแดด (shading coefficient, SC) และค่าการส่องผ่านแสงที่ตามองเห็น

(visible light transmission, T_V) ดังที่แสดงในตารางที่ 3-4 นำคุณสมบัติของวัสดุ มาศึกษาการใช้พลังงานของอาคารผ่านบานกระจกซึ่งเปิด

ตารางที่ 3-4 คุณสมบัติของวัสดุของบานกระจก (TGSG, 2550)

Glazing materials	U-Value (W/m ² K)	U-Value (Btu/h ft ² F)	Shading coefficient (SC)	Visible light transmission (LT)
กระจกใส หนา 6 มม.	5.25	0.93	0.95	89
กระจกใส หนา 8 มม.	5.18	0.91	0.92	88
กระจกเขียว หนา 6 มม.	5.25	0.93	0.69	76
กระจกเขียว หนา 8 มม.	5.18	0.91	0.62	70
กระจกسلامินेट หนา 8 มม.	5.14	0.91	0.90	88
กระจกเขียวلامินेट หนา 8 มม.	5.14	0.91	0.72	79
กระจกใส 2 ชั้น หนา 24 มม.	1.63	0.29	0.53	55
กระจกเขียว 2 ชั้น หนา 24 มม.	1.63	0.29	0.47	46
กระจกใส 2 ชั้น หนา 32 มม.	1.61	0.28	0.46	51
กระจกเขียว 2 ชั้น หนา 32 มม.	1.61	0.28	0.33	44

การพิจารณาการนำความร้อนผ่านบานกระจกซึ่งเปิดทำการพิจารณา จากค่าสัมประสิทธิ์การถ่ายเทควมร้อน (U-value) ควบคู่ไปกับข้อมูลสภาพอากาศ กรุงเทพมหานครปี 2550 โดยอาศัยความสัมพันธ์ในสมการที่ 3-4 และสมการที่ 3-5

$$Q = U * A * CLTD_c \quad \dots\dots(3-4)$$

$$CLTD_c = (CLTD) + (78 - T_r) + (T_o - 85) \quad \dots\dots(3-5)$$

การพิจารณาการเผยแพร่องศีความร้อนผ่านบานกระจกซึ่งเปิด พิจารณาโดยใช้ ค่าสัมประสิทธิ์การบังಡัด (SC) ควบคู่ไปกับข้อมูลสภาพอากาศกรุงเทพมหานครปี 2550 โดยไม่คำนึงถึงผลกระทบจากมวลสารของอาคาร มีความสัมพันธ์ดังที่แสดง ในสมการที่ 3-6

$$Q = A * SC * I_d \quad \dots\dots(3-6)$$

3.3.3. การศึกษาการใช้พลังงานไฟฟ้าในการขัดความร้อนอันเนื่องมาจากการซ่องเปิด
การศึกษาการใช้พลังงานไฟฟ้าของอาคารพิจารณาโดยตั้งอยู่บนสมมติฐานที่
ช่วงเวลาในการใช้งานอาคารระหว่าง 8:00-17:00 นาฬิกา อันเป็นช่วงเวลาทำงาน
การพิจารณาอาศัยผลที่ได้จากการถ่ายเทความร้อนผ่านช่องเปิดแบล็คเป็นภาระการ
ทำความเย็น (cooling load) อันเนื่องมาจากซ่องเปิดซึ่งเป็นพลังงานไฟฟ้าที่ระบบ
ปรับอากาศใช้ในการปรับอากาศ ดังที่แสดงสมการที่ 3-7 โดยกำหนดระบบปรับ
อากาศที่ใช้ในการวิจัยเป็นระบบปรับอากาศที่มีระดับประสิทธิภาพตามมาตรฐาน
ฉลากประหยัดพลังงานระดับ 5 มีค่าประสิทธิภาพการทำความเย็น (COP) อย่างน้อย
3.1 (สุนทร บุญญาธิการ, 2545)

$$\text{Energy(Watt)} = \frac{\text{Cooling load(Watt)}}{\text{COP}} \quad \dots\dots(3-7)$$

3.4. การวิเคราะห์ปริมาณพลังงานที่ได้รับจากการใช้แสงธรรมชาติผ่านช่องเปิด เทียบเท่ากับพลังงานไฟฟ้าที่ลดได้จากแสงประดิษฐ์

ในขั้นตอนนี้เป็นการหาปริมาณพลังงานไฟฟ้าที่ได้จากแสงธรรมชาติ โดย พิจารณาพลังงานที่สามารถลดได้จากไฟฟ้าแสงประดิษฐ์ อีกนัยหนึ่งเปรียบเสมือน พลังงานที่ได้รับ (energy gain) จากช่องเปิด โดยใช้เงื่อนไขต่าง ๆ สำหรับวิเคราะห์การ ใช้พลังงานของอาคารดังนี้

3.4.1. ตัวแปรที่เกี่ยวข้อง

ตัวแปรต้น (independent variables) หมายถึงตัวแปรที่มีผลต่อการลดการใช้ พลังงานภายในอาคารจากแสงธรรมชาติ

- ค่าความส่งผ่านของแสงที่ตามองเห็น (visible light transmission , T_V)
- ระดับการติดตั้งช่องเปิดในการวิจัยกำหนดระดับการติดตั้งช่องเปิดใน 3 ระดับคือ ระดับล่าง ระดับกลาง และระดับบน
- ขนาดช่องเปิด ในงานวิจัยนี้ได้เลือกขนาดช่องเปิดขนาดกว้าง 0.90×1.20 ม. ช่อง เปิด 0.90×0.60 ม. ช่องเปิดกลมเส้นผ่านศูนย์กลาง 1.20 ม. และช่องเปิดขนาด 0.90×2.00 ม. ดังภาพที่ 3-3

ตัวแปรตาม (dependent variables) หมายถึง ปริมาณพลังงานไฟฟ้าที่อาคาร สามารถลดการใช้แสงประดิษฐ์จากการนำแสงธรรมชาติมาใช้ในอาคาร โดยกำหนด

ระดับความส่องสว่างสำหรับการใช้งานบนระนาบอนที่ 500 ลักษ์ ระดับต้องทำงาน (working plane) สูง 0.75 เมตรเหนือพื้นห้อง (Kaufman,1981)

- การลดการใช้พลังงานไฟฟ้าแสงสว่างอันเนื่องมาจากการซ่องเปิด

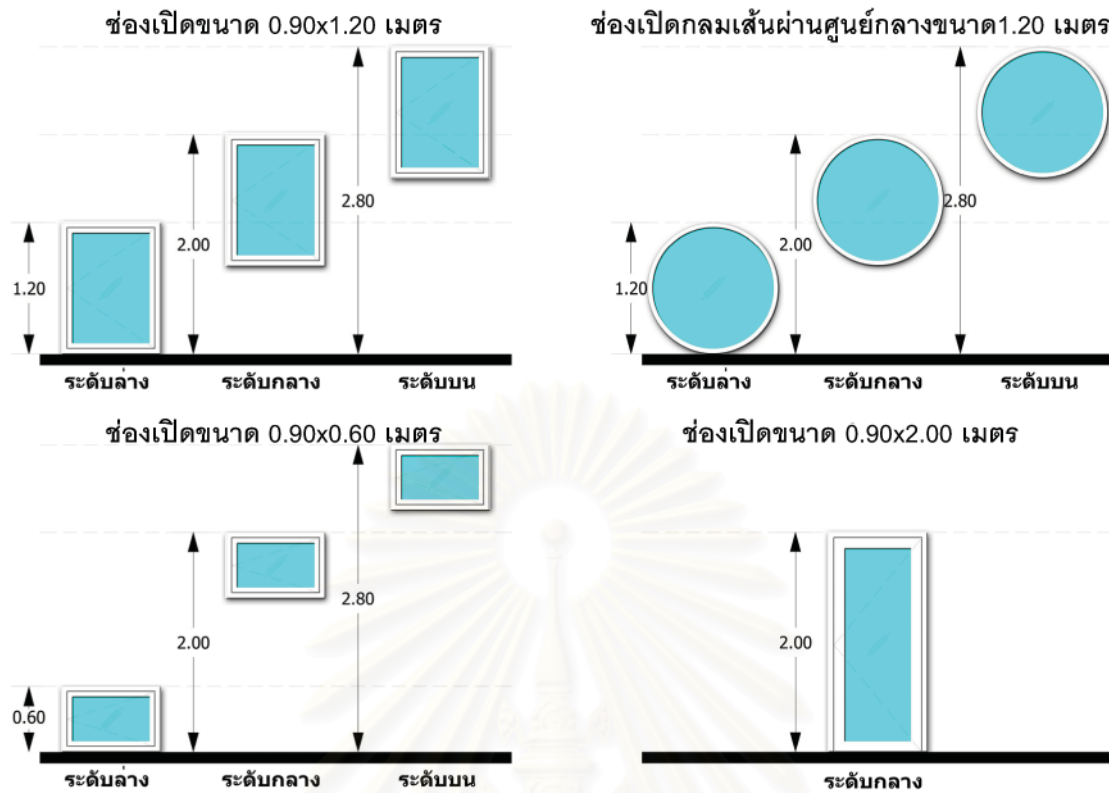
ตัวแปรควบคุม (controlled variables) หมายถึงตัวแปรที่ควบคุม ไม่ให้มีผลกระทบต่อการลดการใช้พลังงานไฟฟ้าแสงสว่างอันเนื่องมาจากการซ่องเปิด

- ช่วงเวลาการใช้งาน ทำการใช้งานอาคารระหว่างเวลา 8:00 ถึง 17:00 น. หรือ 9 ชั่วโมงต่อวัน
- ขนาดของห้องที่ใช้ในการศึกษา กำหนดขนาดห้องที่ทำการศึกษาที่ กว้าง 4 เมตร ยาว 9.5 เมตร สูง 3 เมตร
- ค่าการสะท้อนแสงของวัสดุภายในอาคาร กำหนดค่าการสะท้อนแสงของผ้า เพดาน ผนัง และพื้น ที่ร้อยละ 80, 50 และ 20 ตามลำดับ
- การบังเงาของซ่องเปิด กำหนดให้ซ่องเปิดที่ทำการศึกษาไม่ได้รับอิทธิพลจากรังสี ดวงของดวงอาทิตย์

3.4.2. การศึกษาการใช้แสงธรรมชาติผ่านซ่องเปิด

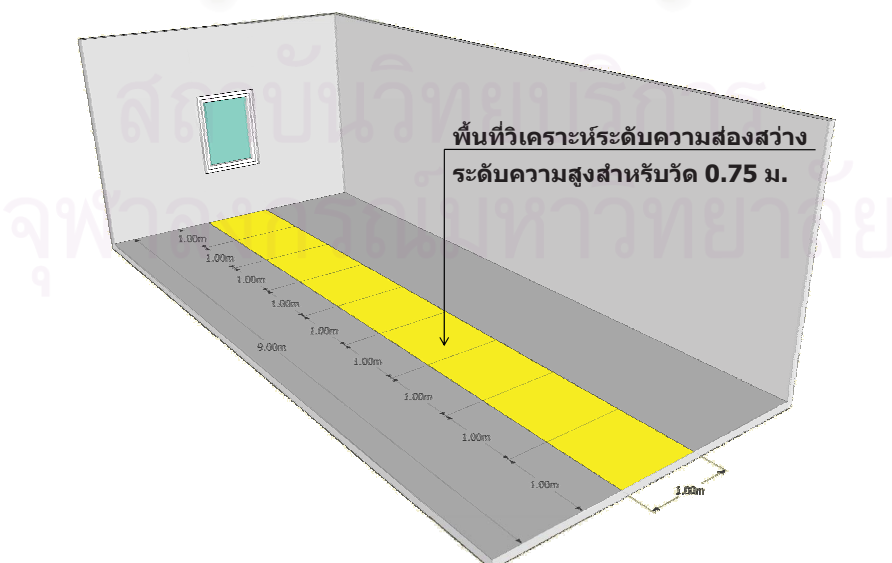
การศึกษาระดับความส่องสว่างของแสงธรรมชาติผ่านซ่องเปิดพิจารณาโดย สร้างกล่องทดลองขนาดกว้าง 0.40 เมตร ยาว 0.95 เมตร สูง 0.3 เมตร ตั้งภาพ 3-2 ผนังด้านหน้าของกล่องทดลองติดตั้งซ่องเปิดโดยทำการติดตั้งซ่องเปิดใน 3 ระดับดังนี้

- ซ่องเปิดขนาด 0.90×1.20 เมตร ติดตั้ง 3 ระดับที่ ระดับล่าง ระดับกลาง และระดับสูง ระดับวงกบบนสูงจากพื้น 1.20 ม., 2.00 ม., และ 2.80 ม. ตามลำดับ ดังที่แสดงในภาพที่ 3-5
- ซ่องเปิดขนาด 0.90×0.60 เมตร ติดตั้ง 3 ระดับที่ ระดับล่าง ระดับกลาง และระดับสูง ระดับวงกบบนสูงจากพื้น 0.60 ม., 2.00 ม., และ 2.80 ม. ตามลำดับ ดังที่แสดงในภาพที่ 3-5
- ซ่องเปิดกลมขนาดเส้นผ่านศูนย์กลาง 1.20 เมตร ติดตั้ง 3 ระดับที่ ระดับล่าง ระดับกลาง และระดับสูง ระดับวงกบบนสูงจากพื้น 1.20 ม., 2.00 ม., และ 2.80 ม. ตามลำดับ ดังที่แสดงในภาพที่ 3-5
- ซ่องเปิดขนาด 0.90×1.20 เมตร ติดตั้ง 1 ระดับที่ ระดับกลาง ระดับวงกบบนสูงจากพื้น 2.00 ม ดังที่แสดงในภาพที่ 3-5



ภาพที่ 3-5 . ตำแหน่งติดตั้งช่องเปิดสำหรับวัดระดับความส่องสว่าง

- ทำการวัดระดับความส่องสว่าง (illuminance) ของช่องเปิดในแต่ละกรณี โดยทำการวัดระดับความส่องสว่างที่ระดับความสูง 0.75 ม. (ระดับโต๊ะทำงาน) ดังที่แสดงในภาพที่ 3-6 ทำการหาค่าตัวประกอบแสงธรรมชาติ (daylight factor) ของช่องเปิดในกรณีต่าง ๆ โดยกำหนดการใช้วัสดุบานกระจก และคุณสมบัติดังที่แสดงในตารางที่ 3-4



ภาพที่ 3-6 . ตำแหน่งวัดระดับความส่องสว่าง

- วิเคราะห์ค่าตัวประจุคงเหลือรวมชาติของซ่องเปิดทุกกรณีเทียบกับระดับความส่องสว่างภายในออกที่ระดับ 20,000 ลักซ์ เพื่อหาระดับความส่องสว่างสำหรับการใช้งานโดยกำหนดความส่องสว่างที่ต้องการที่ 500 ลักซ์ (Kaufman, 1981)

3.4.3. การวิเคราะห์การได้รับพลังงานจากแสงธรรมชาติเทียบเท่าแสงประดิษฐ์

- การวิจัยกำหนดช่วงเวลาการใช้งานอาคารระหว่าง 8:00-17:00 นาฬิกา นำผลระดับความส่องสว่างที่ได้มาวิเคราะห์หาพลังงานไฟฟ้าแสงประดิษฐ์ที่สามารถลดลงจากการใช้แสงธรรมชาติ จากการเปิดช่องเปิดในกรณีต่าง ๆ โดยทำการกำหนดระบบไฟฟ้าแสงประดิษฐ์สำหรับอ้างอิงคือ หลอดฟลูออเรสเซนต์ (T5) รหัส T5-21W เป็นหลอดที่ใช้กำลังไฟฟ้า 21 วัตต์ และมีความสว่างที่ 2100 ลูเมน มีประสิทธิภาพที่ 100 ลูเมนต์ต่าวัตต์

ตารางที่ 3-5 ประสิทธิภาพหลอดไฟ (Eclipse Lighting Inc., 2008)

ชนิดหลอดไฟ	รหัส	กำลังไฟฟ้า (วัตต์)	ความสว่าง (ลูเมน)	ประสิทธิภาพ (ลูเมน/วัตต์)
คอมแพคฟลูออเรสเซนต์	TT-18W	18	1150	63.9
คอมแพคฟลูออเรสเซนต์	TT-36W	36	2900	80.6
คอมแพคฟลูออเรสเซนต์	PL-H-60W	60	4000	66.7
คอมแพคฟลูออเรสเซนต์	PL-H-85W	85	6000	70.6
คอมแพคฟลูออเรสเซนต์	PL-H-120W	120	9000	75.0
ฟลูออเรสเซนต์ (T8)	T8-17W	17	1400	82.4
ฟลูออเรสเซนต์ (T8)	T8-25W	25	2225	89.0
ฟลูออเรสเซนต์ (T8)	T8-32W	32	2600	81.3
ฟลูออเรสเซนต์ (T5)	T5-14W	14	1350	96.4
ฟลูออเรสเซนต์ (T5)	T5-21W	21	2100	100.0
ฟลูออเรสเซนต์ (T5)	T5-28W	28	2900	103.6
ฟลูออเรสเซนต์ (T5)	T5HO-54W	54	5000	92.6
ฟลูออเรสเซนต์ (T5)	T5HO-80W	80	7000	87.5

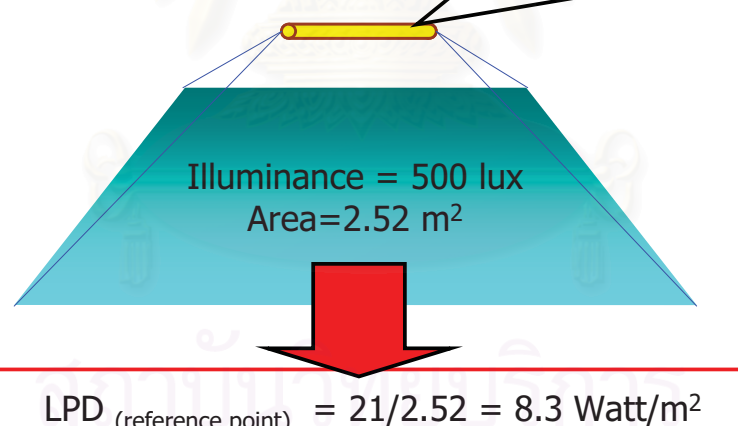
จากแนวทางการหาระดับความส่องสว่างโดยวิธี โซนอล คาวิตี้ (zonal cavity method) สามารถหาพื้นที่สำหรับหลอดไฟในการให้ระดับความส่องสว่างที่ต้องการที่ 500 ลักซ์ กำหนดให้ค่าสัมประสิทธิ์การใช้งานโดยเฉลี่ยที่ 0.60 และไม่คิดความเสื่อมของหลอดไฟ และความสกปรกของหลอดไฟ

$$A = \left(\frac{L}{E} \right)^* CU \quad \dots\dots(3-8)$$

จากสมการที่ 3-8 พบร่วงหลอดไฟในกรณีศึกษา 1 หลอดมีประสิทธิภาพในการส่องสว่างที่ระดับตัวทำงานได้อย่างพอเพียงที่ 2.52 ตารางเมตรต่อหลอดดังนั้นพื้นที่ 1 ตารางเมตรสามารถพิจารณาได้จากสมการที่ 3-9

$$\text{Lighting energy (Watt / m}^2) = \left(\frac{\text{Lamp Power (watt)}}{A} \right) \quad \dots\dots(3-9)$$

ชนิดหลอดไฟ	กำลังไฟฟ้า (วัตต์)	ความสว่าง (ลูเมน)	ประสิทธิภาพ (ลูเมน/วัตต์)
ฟลูออเรสเซนต์ (T5)	21	2100	100.0



ภาพที่ 3-7 ระดับพลังงานสำหรับไฟฟ้าแสงสว่าง (light power density, LPD) ระบบไฟฟ้าแสงประดิษฐ์ อ้างอิง: หลอดฟลูออเรสเซนต์ (T5)

จากการพิจารณาหลอดไฟในกรณีศึกษามีประสิทธิภาพในการส่องสว่างที่ระดับ 8.3 วัตต์ต่อตารางเมตร โดยค่าดังกล่าวจะเป็นค่าเบริญบที่ymb สำหรับการได้รับพลังงานจากแสงธรรมชาติต่อไป อย่างไรก็ตามการวิจัยนี้ได้ปรับลดระดับการใช้พลังงานไฟฟ้าแสงสว่างลงจากพระราชนูญติจากการพิจารณาการใช้พลังงานไฟฟ้าแสงสว่างข้างต้น เนื่องจากพระราชนูญติส่งเสริมการ

อนุรักษ์พลังงานกำหนดระดับพลังงานสำหรับไฟฟ้าแสงสว่าง (LPD) ที่ 14 วัตต์ ต่อตารางเมตร ดังนั้นหากพิจารณาตามข้อกำหนดของพระราชบัญญัติ ค่าพลังงานไฟฟ้าแสงสว่างสำหรับเทียบเท่ากับแสงธรรมชาติจะสูงกว่าค่าที่กำหนดในงานวิจัยฉบับนี้

3.5. การเปรียบเทียบการใช้พลังงานไฟฟ้าจากภาระการทำความเย็นของช่องเปิดและการลดการใช้พลังงานไฟฟ้าแสงประดิษฐ์จากการใช้ประโยชน์จากแสงธรรมชาติ

การพิจารณาทำการเปรียบเทียบพลังงานที่ได้รับจากแสงธรรมชาติเทียบเท่าแสงประดิษฐ์ของช่องเปิดที่ตำแหน่ง และวัสดุช่องเปิดต่าง ๆ กับพลังงานที่ใช้เพื่อขัดความร้อนอันเนื่องมาจากการเปิด โดยเปรียบเทียบช่องเปิดในกรณีต่าง ๆ ดังนี้

- เปรียบเทียบพลังงานจากการลดความแตกต่างของวัสดุบานกรอบช่องเปิด
- เปรียบเทียบพลังงานจากการลดความแตกต่างของวัสดุบานกระจาดของช่องเปิด
- เปรียบเทียบพลังงานของรูปแบบหน้าต่างต่อตารางเมตรของช่องเปิด

การพิจารณาประสิทธิภาพของช่องเปิดอาศัยข้อมูลการใช้พลังงานไฟฟ้าอันเนื่องมาจากการเปิดและการได้รับพลังงานไฟฟ้าจากการใช้แสงธรรมชาติด้วยแทนแสงประดิษฐ์เพื่อหาพลังงานไฟฟ้าสูตรซึ่งหมายถึงผลต่างของพลังงานไฟฟ้าที่สามารถลดได้จากการใช้แสงธรรมชาติในการใช้แสงธรรมชาติกับพลังงานไฟฟ้าที่ใช้ขัดความร้อนอันเนื่องมาจากการเปิดดังที่แสดงในสมการที่ 3-10 และวิเคราะห์ด้วยวิธีทางสถิติเพื่อหาระดับขนาดมาตรฐาน (scale) เพื่อกำหนดรัฐธรรมนูญของช่องเปิดสำหรับอ้างอิงในการพัฒนารูปแบบช่องเปิดที่เหมาะสมสำหรับอาคารในเขตภูมิภาคร้อนชื้นต่อไป

$$E_{net} = E_{daylight} - E_{heat} \dots\dots(3-10)$$

3.6. การเสนอช่องเปิดต้นแบบที่เหมาะสมสำหรับอาคารในเขตร้อนชื้น

การพิจารณาขนาดช่องเปิดที่เหมาะสมใช้ข้อมูลจากพลังงานสุทธิของช่องเปิดโดยพิจารณาช่องเปิดที่เหมาะสมสำหรับอาคารในเขตร้อนชื้นดังนี้

- ขนาดที่เหมาะสมสำหรับช่องเปิด
- วัสดุช่องเปิดที่เหมาะสม
- ตำแหน่งติดตั้งช่องเปิดที่เหมาะสม

บทที่ 4

ผลการวิเคราะห์ข้อมูล

4.1. การศึกษาเพื่อการใช้พลังงานผ่านช่องเปิด

การวิจัยแบ่งขั้นตอนการศึกษาการใช้พลังงานสำหรับสร้างช่องเปิดด้านแบบที่มีประสิทธิภาพด้านพลังงาน ออกเป็น 4 ส่วนดังนี้

ส่วนที่ 1. การวิเคราะห์ปริมาณพลังงานที่เกิดจากการถ่ายเทความร้อนผ่านช่องเปิด

ส่วนที่ 2. การวิเคราะห์ปริมาณพลังงานที่ได้รับจากการใช้แสงธรรมชาติผ่านช่องเปิดเทียบเทากับพลังงานไฟฟ้าที่ลดลงได้จากแสงประดิษฐ์

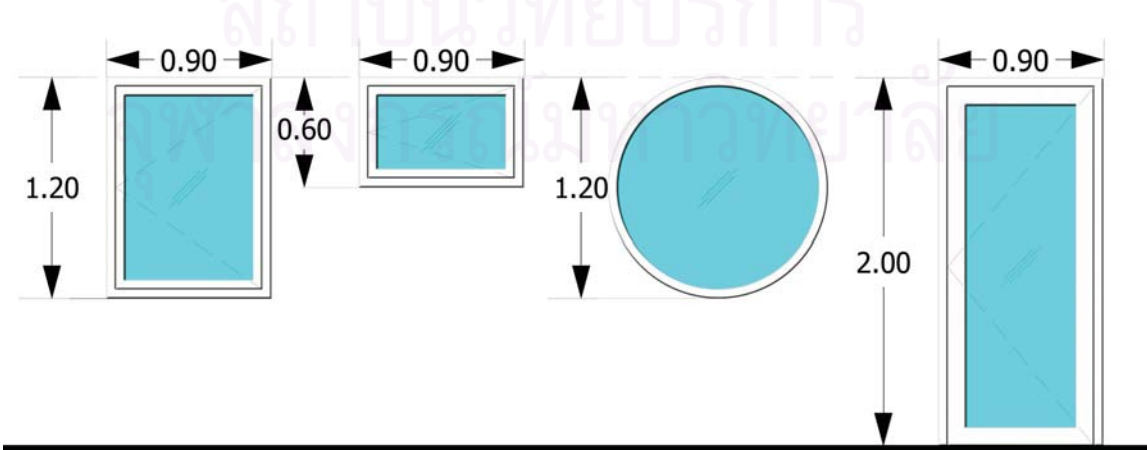
ส่วนที่ 3. การเปรียบเทียบการใช้พลังงานไฟฟ้าจากภาระการทำความเย็นของช่องเปิด และการลดการใช้พลังงานไฟฟ้าแสงประดิษฐ์จาก การใช้ประโยชน์จากแสงธรรมชาติ

ส่วนที่ 4. เสนอช่องเปิดด้านแบบที่เหมาะสมสำหรับอาคารในเขตหนาวชั้น

4.1.1. การวิเคราะห์ปริมาณพลังงานที่เกิดจากการถ่ายเทความร้อนผ่านช่องเปิด

การศึกษาส่วนนี้เป็นการวิเคราะห์การใช้พลังงานไฟฟ้าของระบบปรับอากาศใน การขัดความร้อนอันเนื่องมาจากการเปิด ช่องเปิดสำหรับศึกษามี 4 รูปแบบดังนี้

- ช่องเปิดขนาด 0.90×1.20 เมตร
- ช่องเปิดขนาด 0.90×0.60 เมตร
- ช่องเปิดกลมขนาดเส้นผ่านศูนย์กลาง 0.60 เมตร
- ช่องเปิดขนาด 0.90×2.00 เมตร



รูปที่ 4-1 ช่องเปิดที่เลือกใช้เป็นกรณีศึกษา

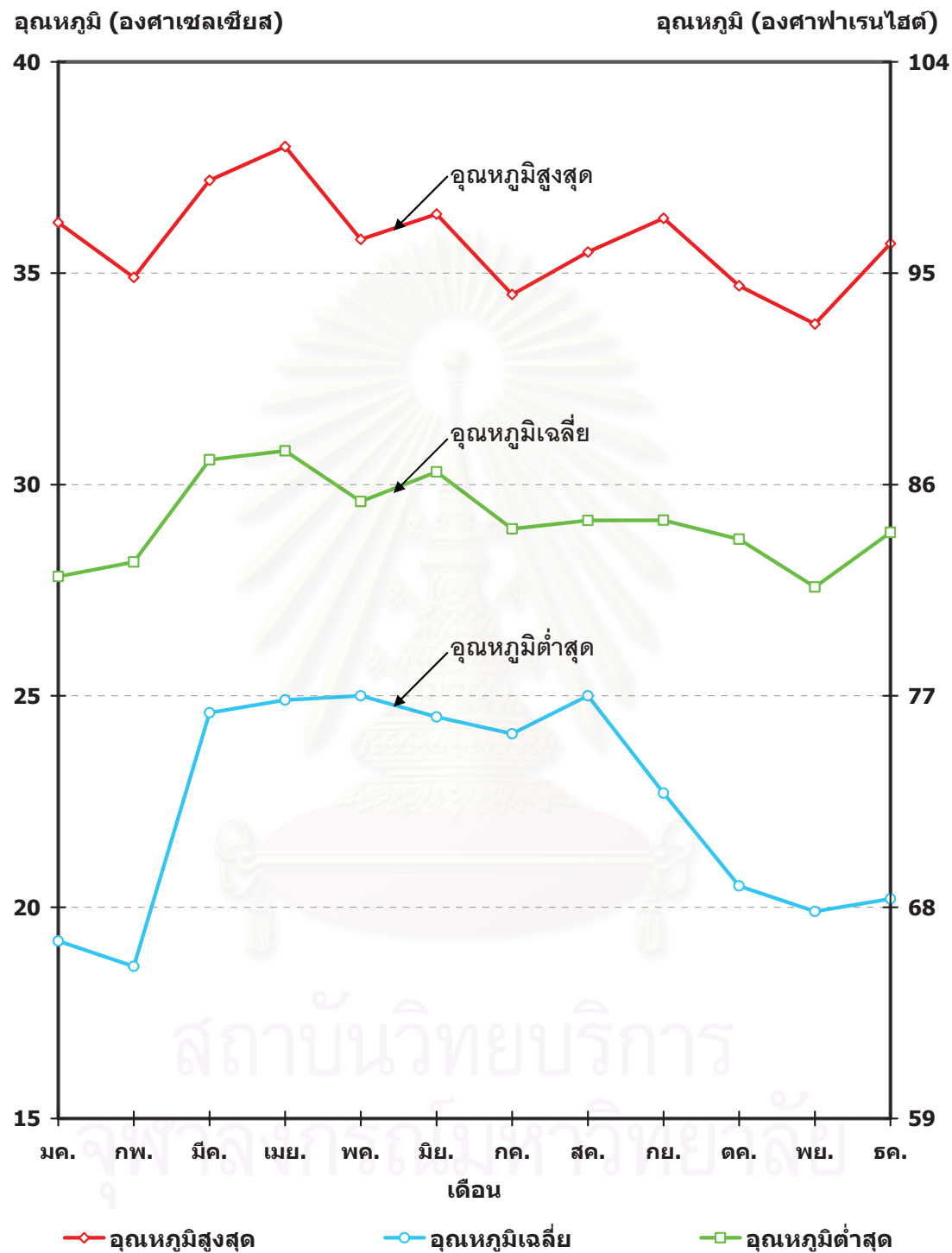
การศึกษาการถ่ายเทความร้อนผ่านช่องเปิดแบ่งการพิจารณาจากวัสดุช่องเปิดโดยแบ่งส่วนวัสดุช่องเปิดออกเป็น 2 ด้านคือ ส่วนคือ ส่วนวัสดุบานกรอบ และส่วนวัสดุบานกระজก

การถ่ายเทความร้อนผ่านวัสดุบานกรอบ มีผลต่อการถ่ายเทความร้อน 2 ด้านคือ การนำความร้อนผ่านบานกรอบ และการรั่วซึมอากาศ และการถ่ายเทความร้อนผ่านส่วนบานกระจก มีผลต่อการถ่ายเทความร้อน 2 ด้านคือ การนำความร้อนผ่านบานกระจก และการแผ่รังสีความร้อนผ่านบานกระจก ซึ่งสามารถสรุปการถ่ายเทความร้อนผ่านช่องเปิดได้ดังนี้

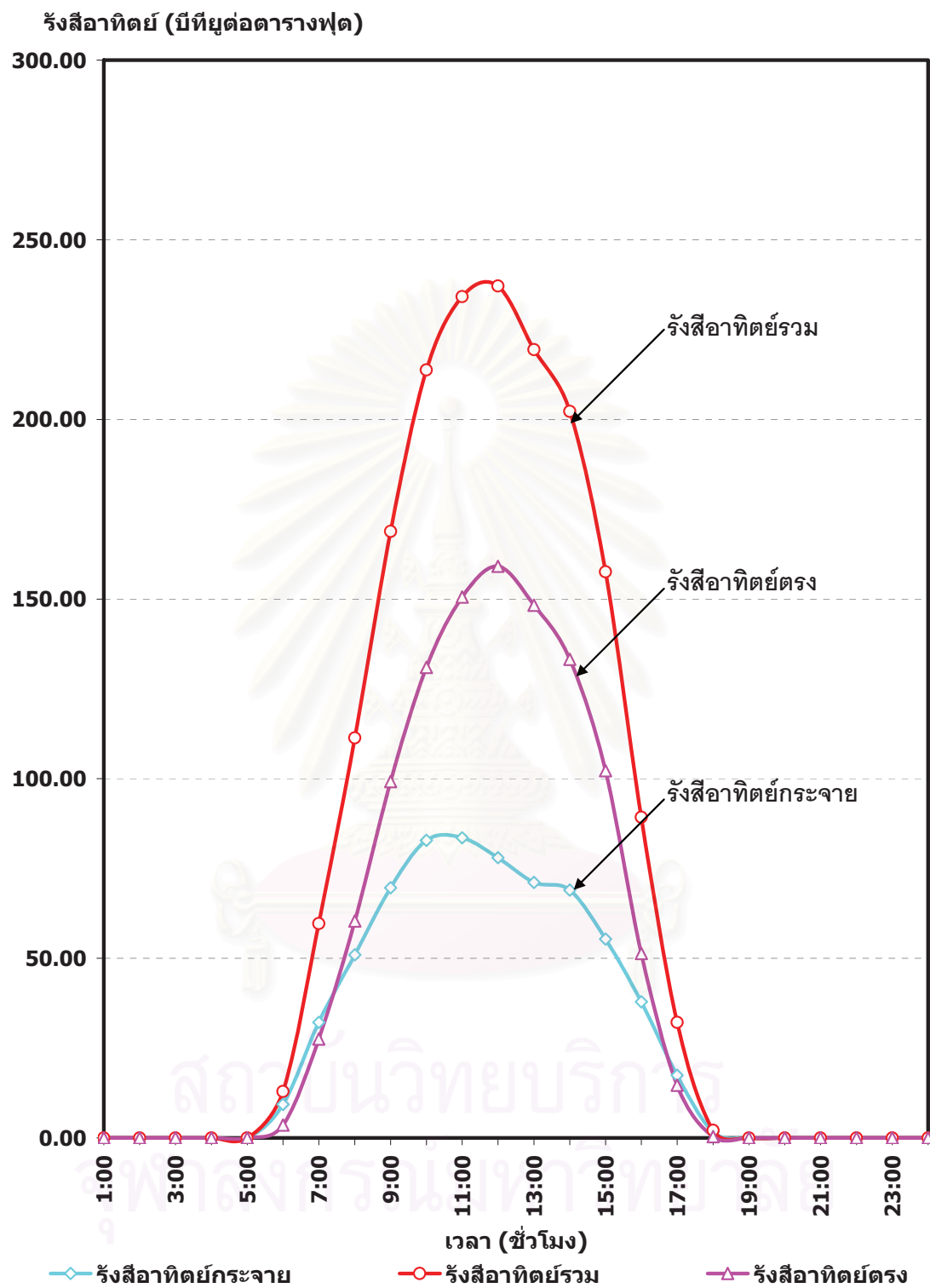
- การนำความร้อนผ่านส่วนบานกรอบ (frame conduction)
- การนำความร้อนผ่านส่วนบานกระจก (glass conduction)
- การแผ่รังสีความออาทิตย์ผ่านส่วนบานกระจก (glass radiation)
- การรั่วซึมอากาศ (infiltration)

การวิจัยเลือกข้อมูลสภาพอากาศของกรุงเทพมหานครปี 2550 เป็นข้อมูลสำหรับทำการศึกษาเนื่องจากเป็นข้อมูลสภาพอากาศที่ใหม่ที่สุดซึ่งมีความใกล้เคียงกับสภาพภูมิอากาศในปัจจุบันที่สุด จากการพิจารณาข้อมูลสภาพอากาศกรุงเทพมหานครปี 2550 ในส่วนอุณหภูมิอากาศพบว่าเดือนเมษายนเป็นเดือนที่มีอุณหภูมิอากาศเฉลี่ย (average temperature) และอุณหภูมิอากาศสูงสุด (maximum temperature) สูงที่สุดในรอบปี โดยมีอุณหภูมิอากาศเฉลี่ยที่ 30.80 องศาเซลเซียส และอุณหภูมิสูงสุดที่ 38.0 องศาเซลเซียส ปริมาณรังสีอาทิตย์ของช่องเปิด แสดงว่าเดือนเมษายนเป็นเดือนที่ภาระการทำความเย็นอันเนื่องมาจากการเปิดสูงสุดซึ่งหมายความว่าสมiliar การพิจารณาประสิทธิภาพของช่องเปิด ดังนั้นการวิจัยจึงเลือกเดือนเมษายนเป็นกรณีศึกษา

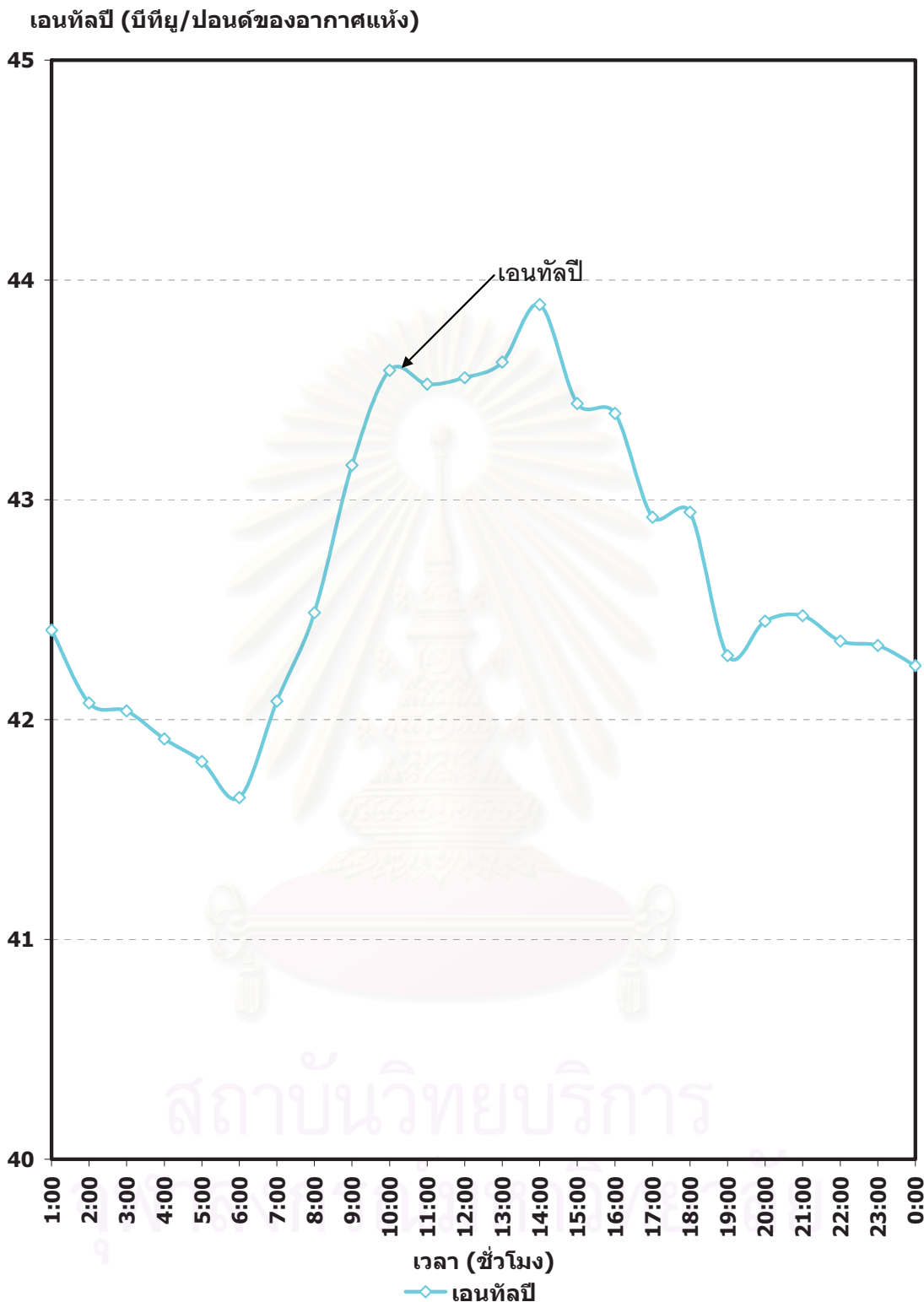
ผลกระทบของการ จุฬาลงกรณ์มหาวิทยาลัย



แผนภูมิที่ 4-1 อุณหภูมิสูงสุด ต่ำสุด และเฉลี่ย ของกรุงเทพมหานคร ปี 2550 (อุตุนิยมวิทยา, 2551)

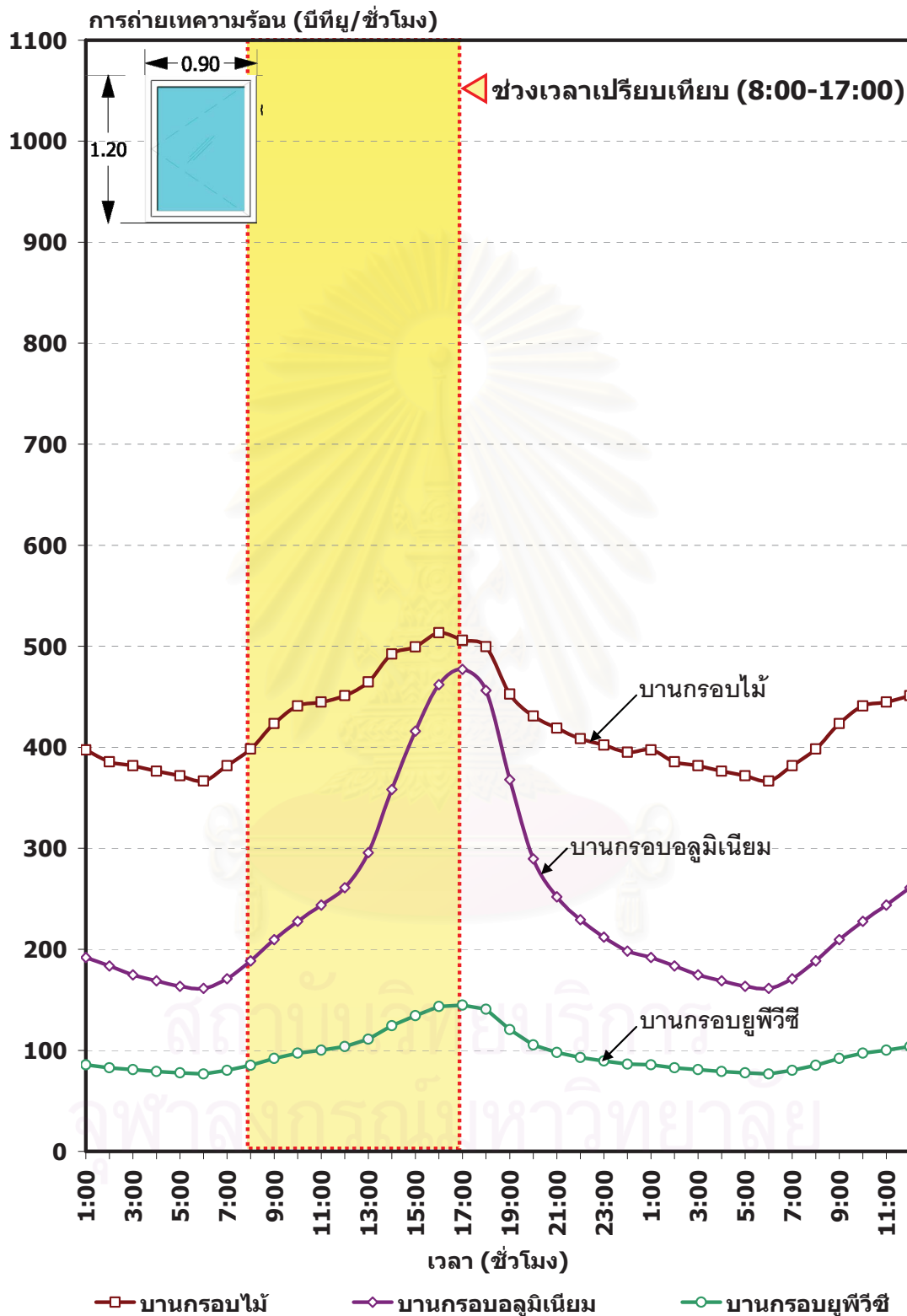


แผนภูมิที่ 4-2 ปริมาณรังสีอาทิตย์ของกรุงเทพมหานคร เดือนเมษายน ปี 2550 (อุตุนิยมวิทยา, 2551)

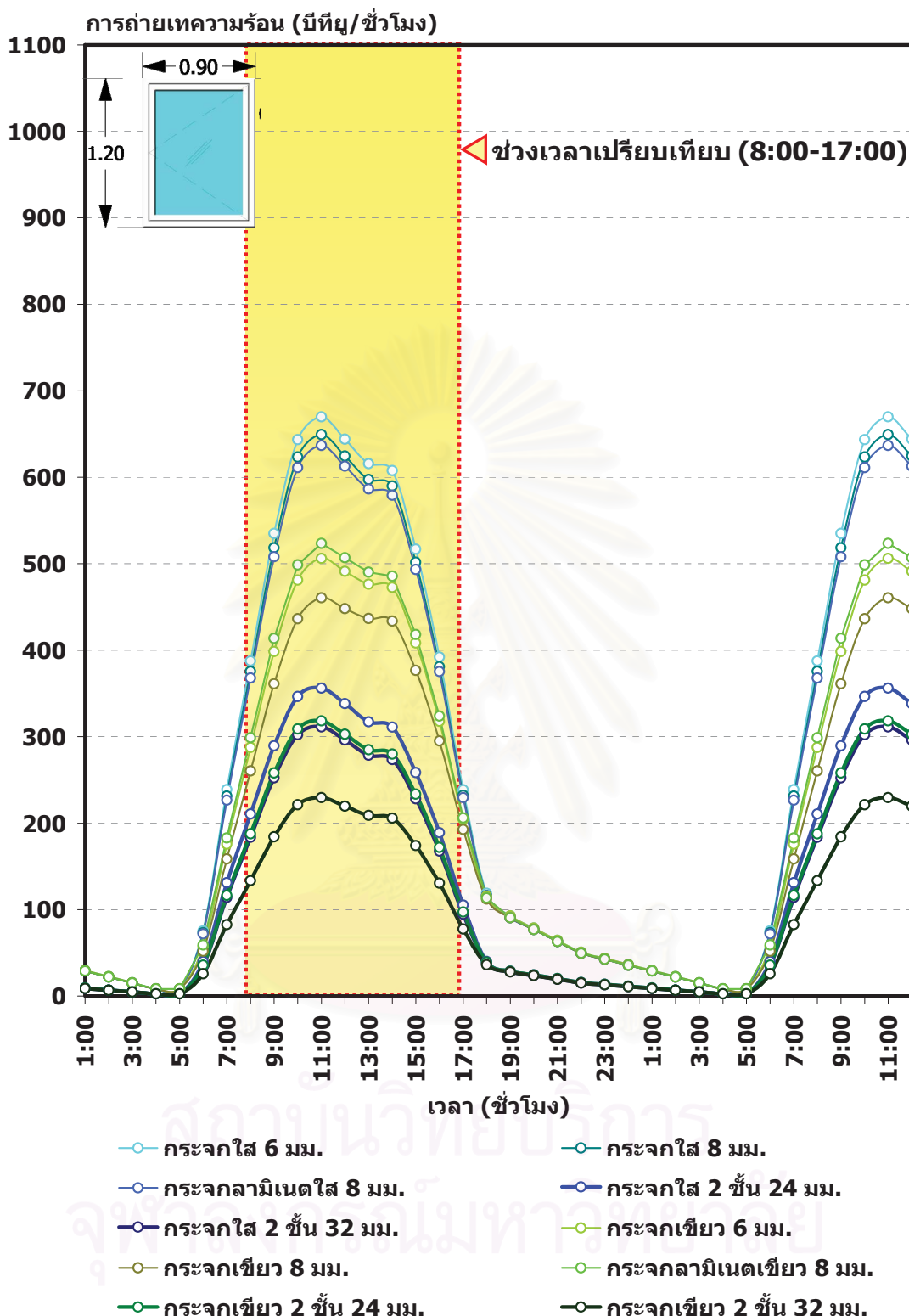


แผนภูมิที่ 4-3 เอนทัลปีของกรุงเทพมหานคร เดือนเมษายน ปี 2550 (อุตุนิยมวิทยา, 2551)

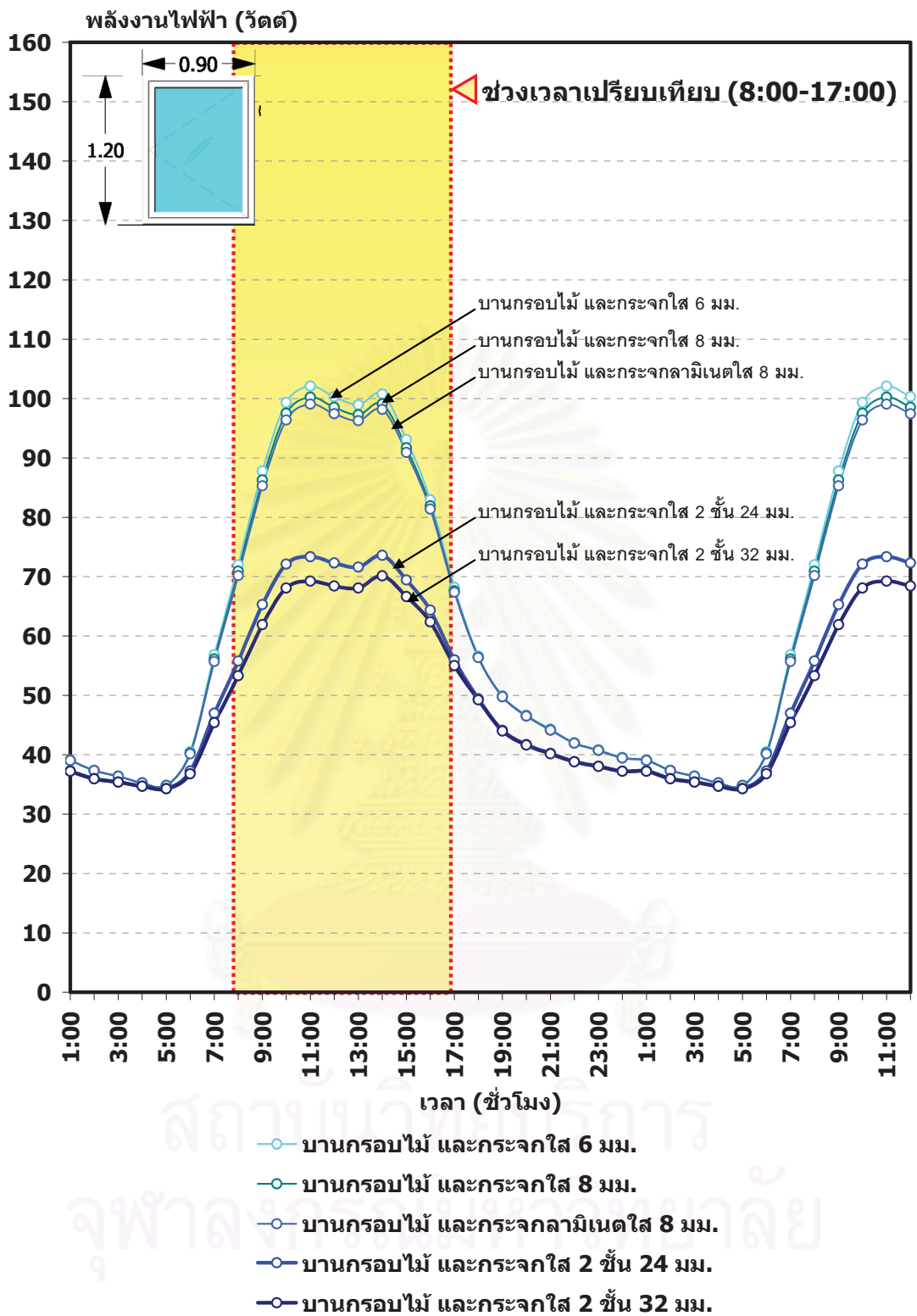
การถ่ายเทความร้อน ความชื้น และการใช้พลังงานเพื่อขอจัดความร้อนซ่อง เปิดขนาด 0.90×1.20 เมตร



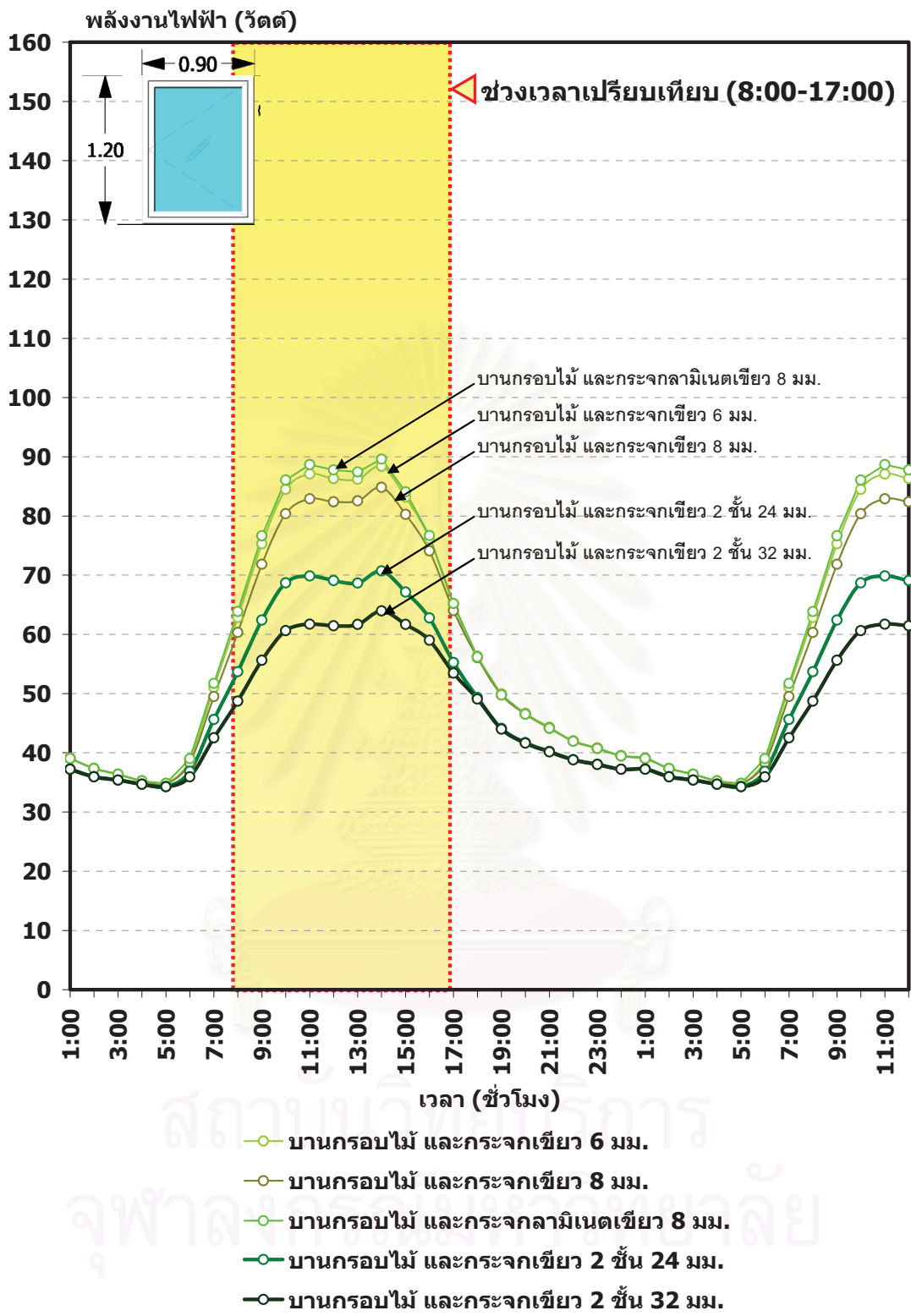
แผนภูมิที่ 4-4 การถ่ายเทความร้อน ความชื้นผ่านบานกรอบ ของซ่องเปิดขนาด 0.90×1.20 เมตร ทางด้านทิศตะวันตก เดือนเมษายน ปี 2550

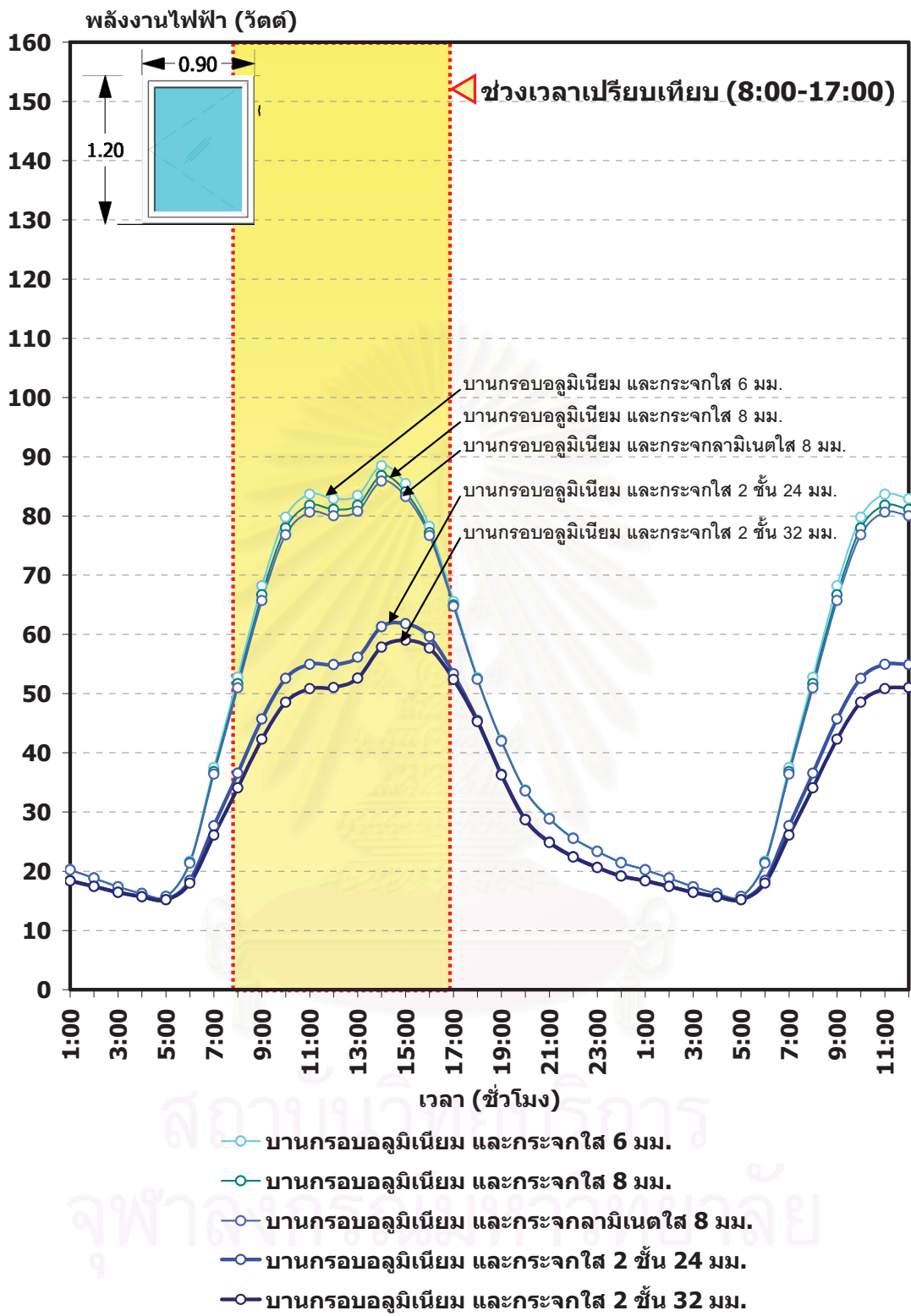


แผนภูมิที่ 4-5 การถ่ายเทความร้อน ผ่านบานกระเบื้อง ของช่องเปิดขนาด 0.90×1.20 เมตร ทางด้านทิศตะวันตก เดือนเมษายน ปี 2550

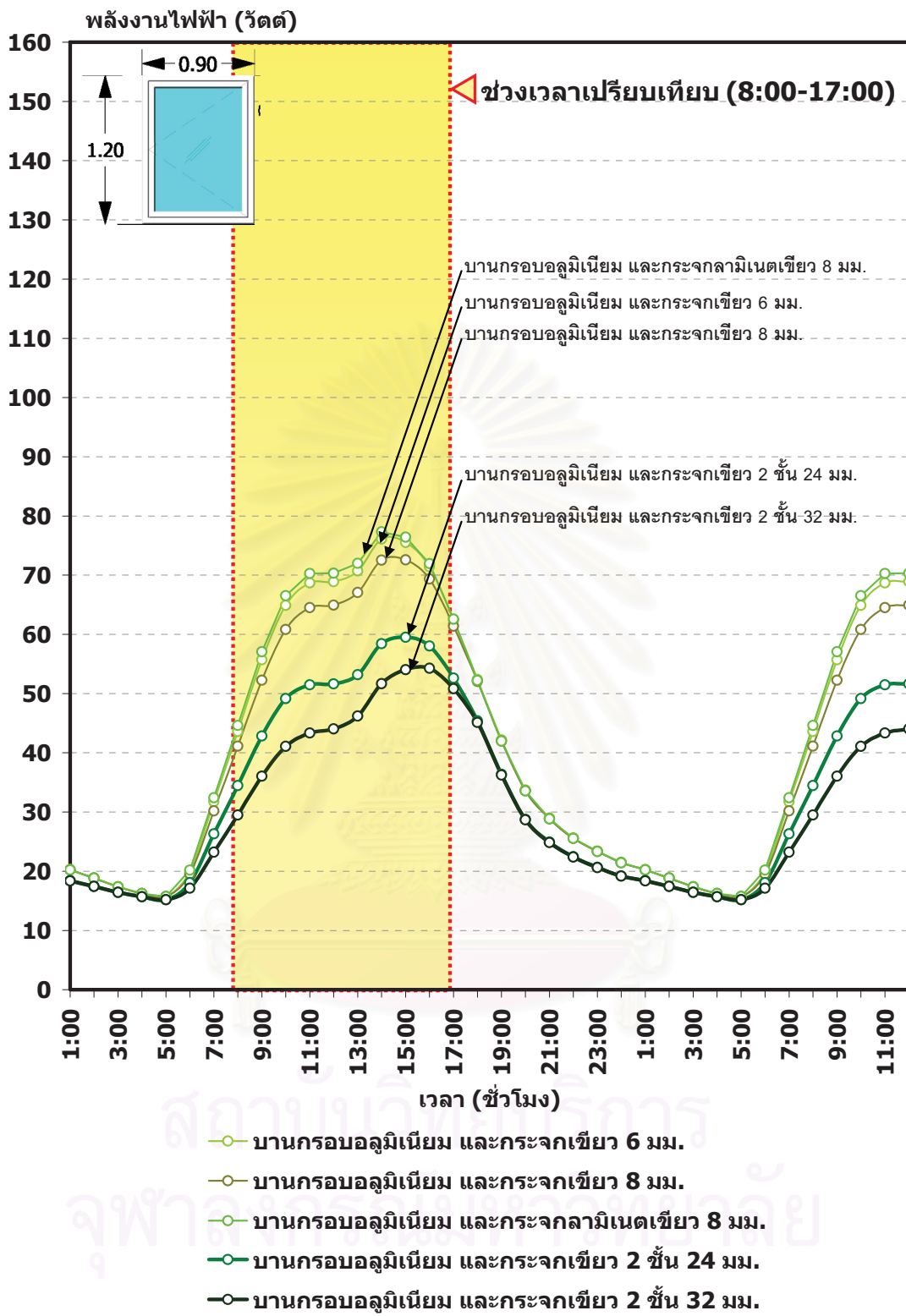


แผนภูมิที่ 4-6 พลังงานไฟฟ้าที่ใช้ในการขัดความร้อนของช่องเปิดบานกรอบไม้ และกระเจาะใสชนิดต่าง ๆ ขนาด 0.90x1.20 เมตร ทางด้านทิศตะวันตก เดือนเมษายน ปี 2550

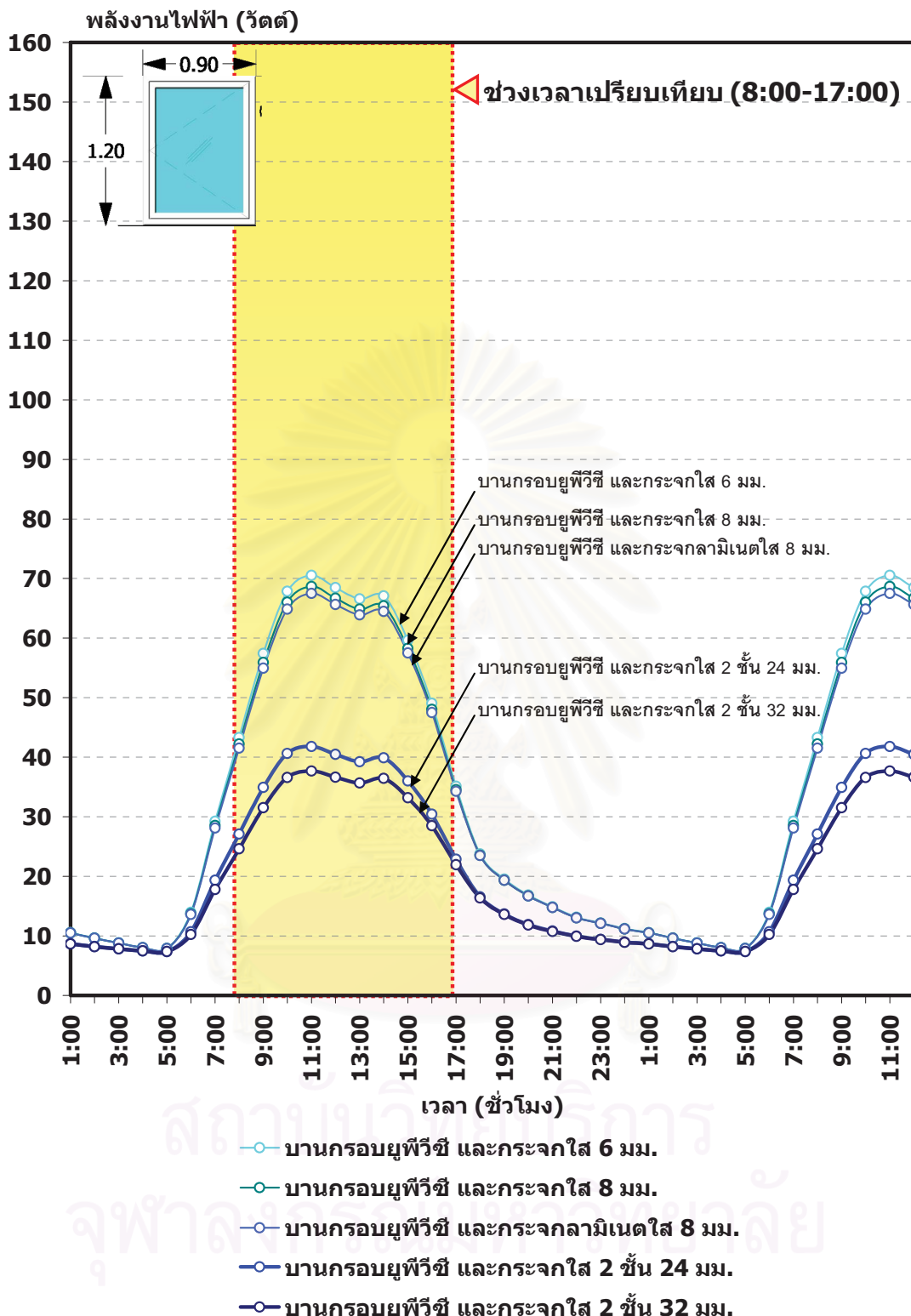




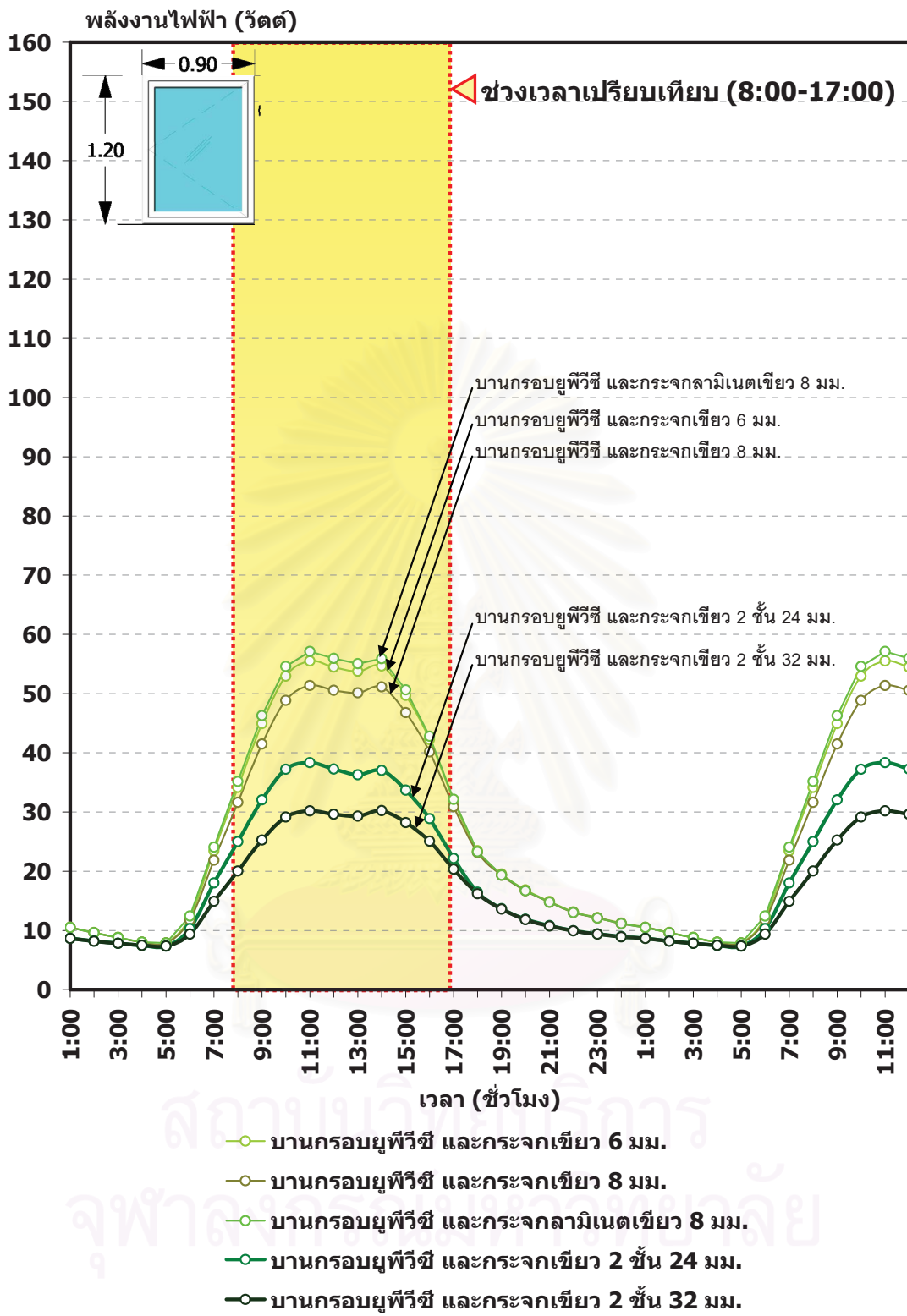
แผนภูมิที่ 4-8 พลังงานไฟฟ้าที่ใช้ในการขัดความร้อนของช่องเปิดบานกรอบอลูมิเนียม และกระจกใสชนิดต่าง ๆ ขนาด 0.90×1.20 เมตร ทางด้านทิศตะวันตก เดือนเมษายน ปี 2550



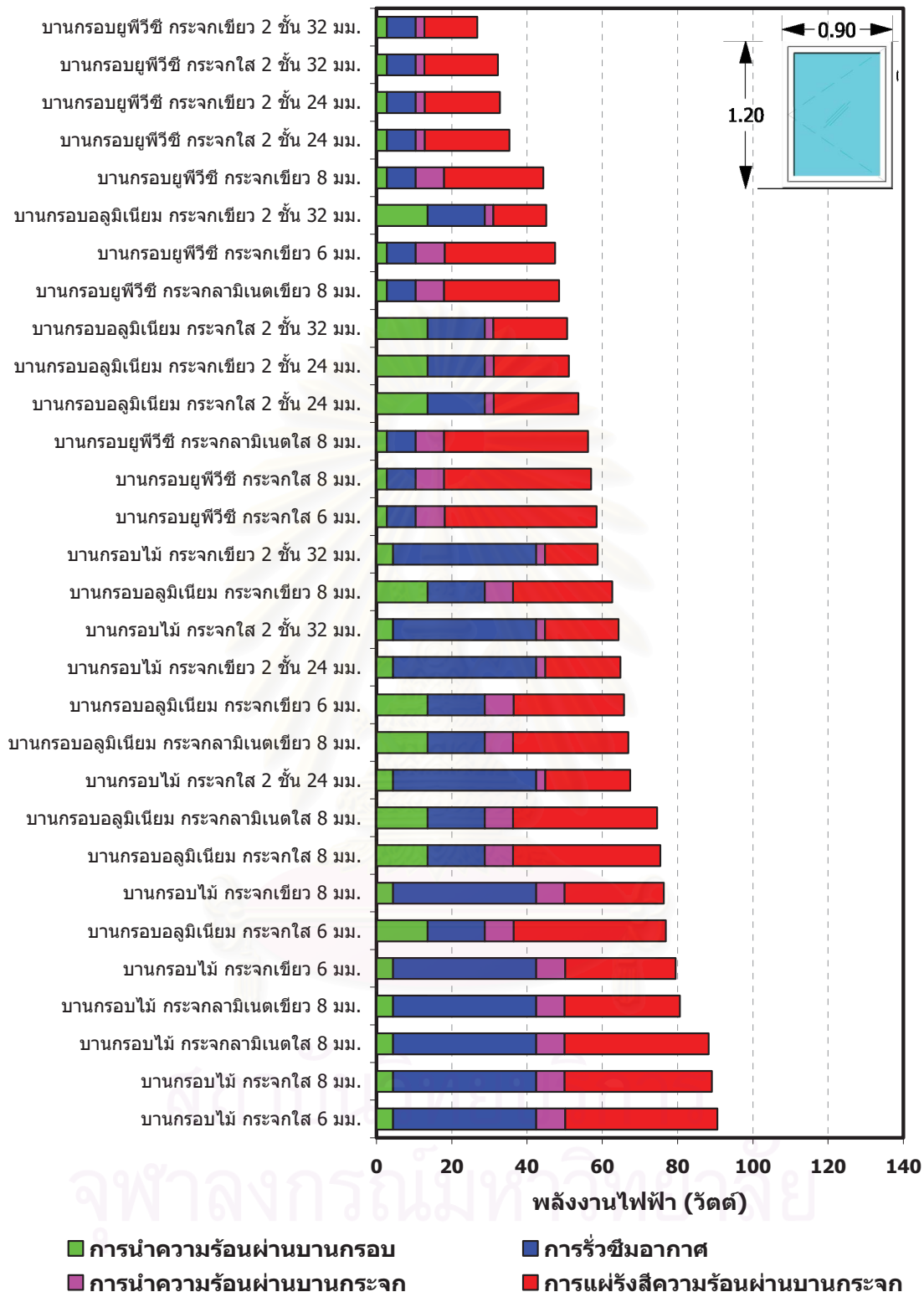
แผนภูมิที่ 4-9 พลังงานไฟฟ้าที่ใช้ในการขัดความร้อนของช่องเปิดบานกรอบอลูมิเนียม และกระจากเชี้ยวชนิดต่าง ๆ ขนาด 0.90×1.20 เมตร ทางด้านทิศตะวันตก เดือนเมษายน ปี 2550



แผนภูมิที่ 4-10 พลังงานไฟฟ้าที่ใช้ในการจัดความร้อนของช่องเปิดบานกรอบยูพีวีซี และกระดาษใส ชนิดต่าง ๆ ขนาด 0.90×1.20 เมตร ทางด้านทิศตะวันตก เดือนเมษายน ปี 2550

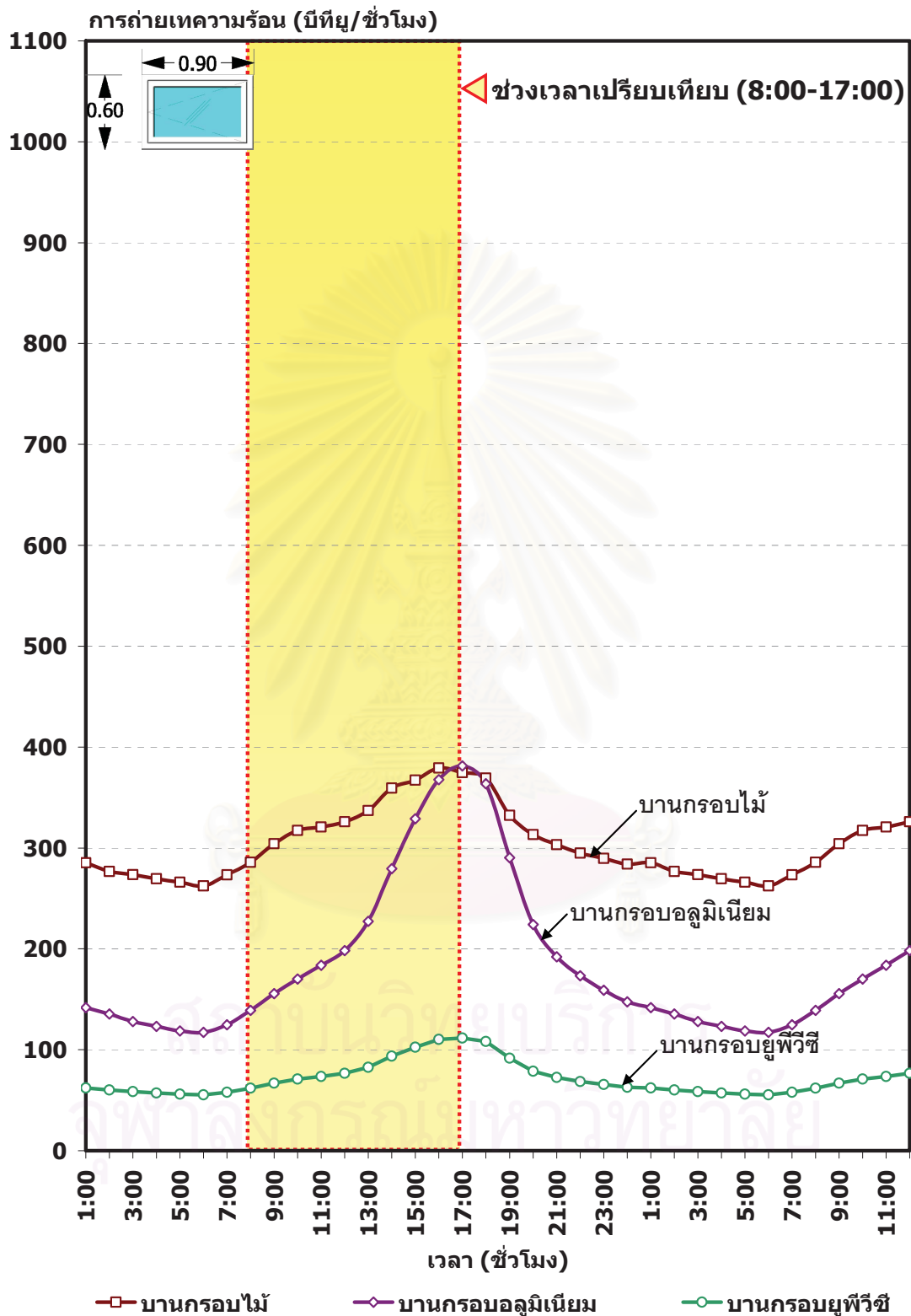


แผนภูมิที่ 4-11 ผลลัพธ์ไฟฟ้าที่ใช้ในการจัดความร้อนของช่องเปิดบานยูพีวีซี และกระจากเลี่ยง
ชนิดต่าง ๆ ขนาด 0.90×1.20 เมตร ทางด้านทิศตะวันตก เดือนเมษายน ปี 2550

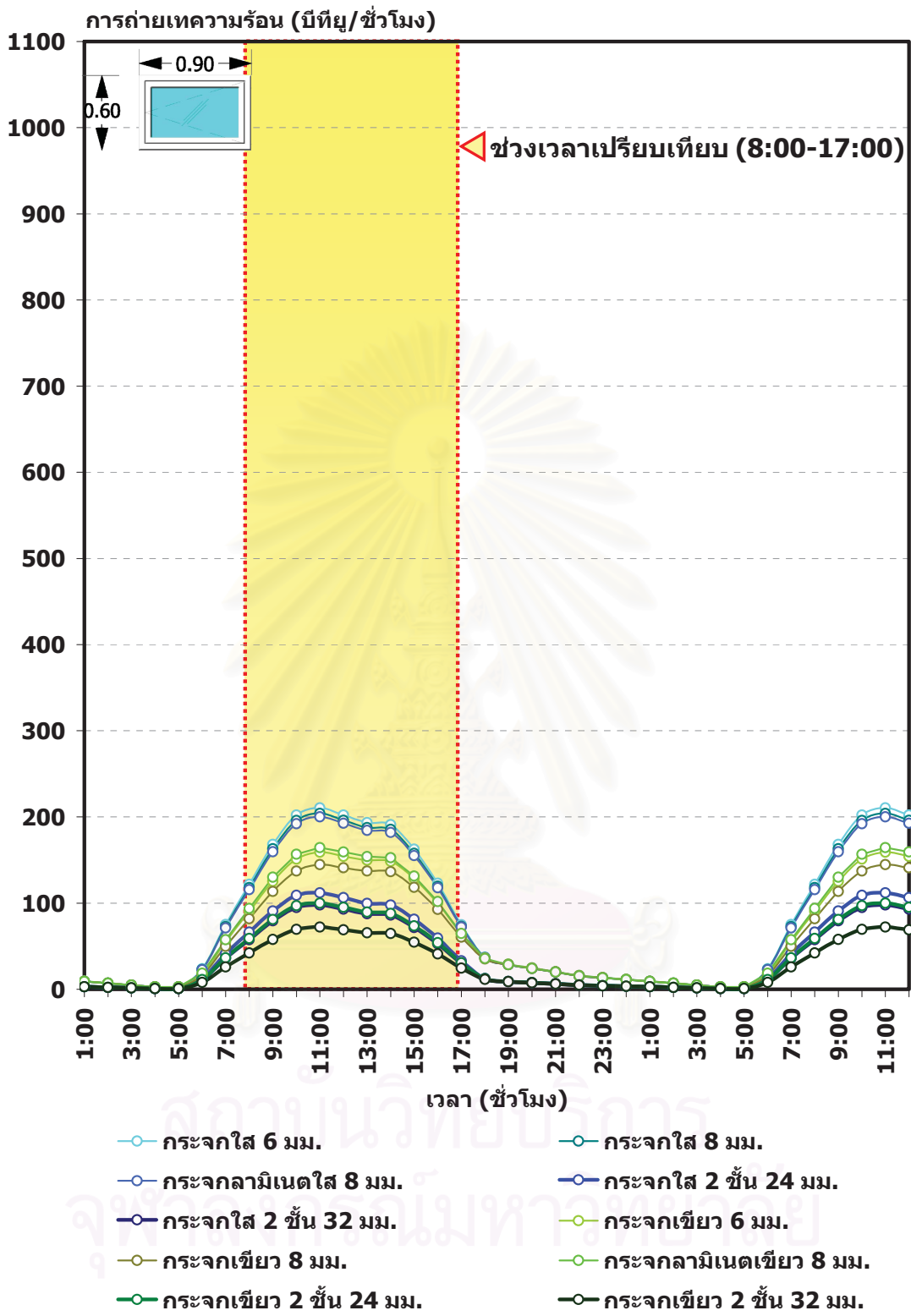


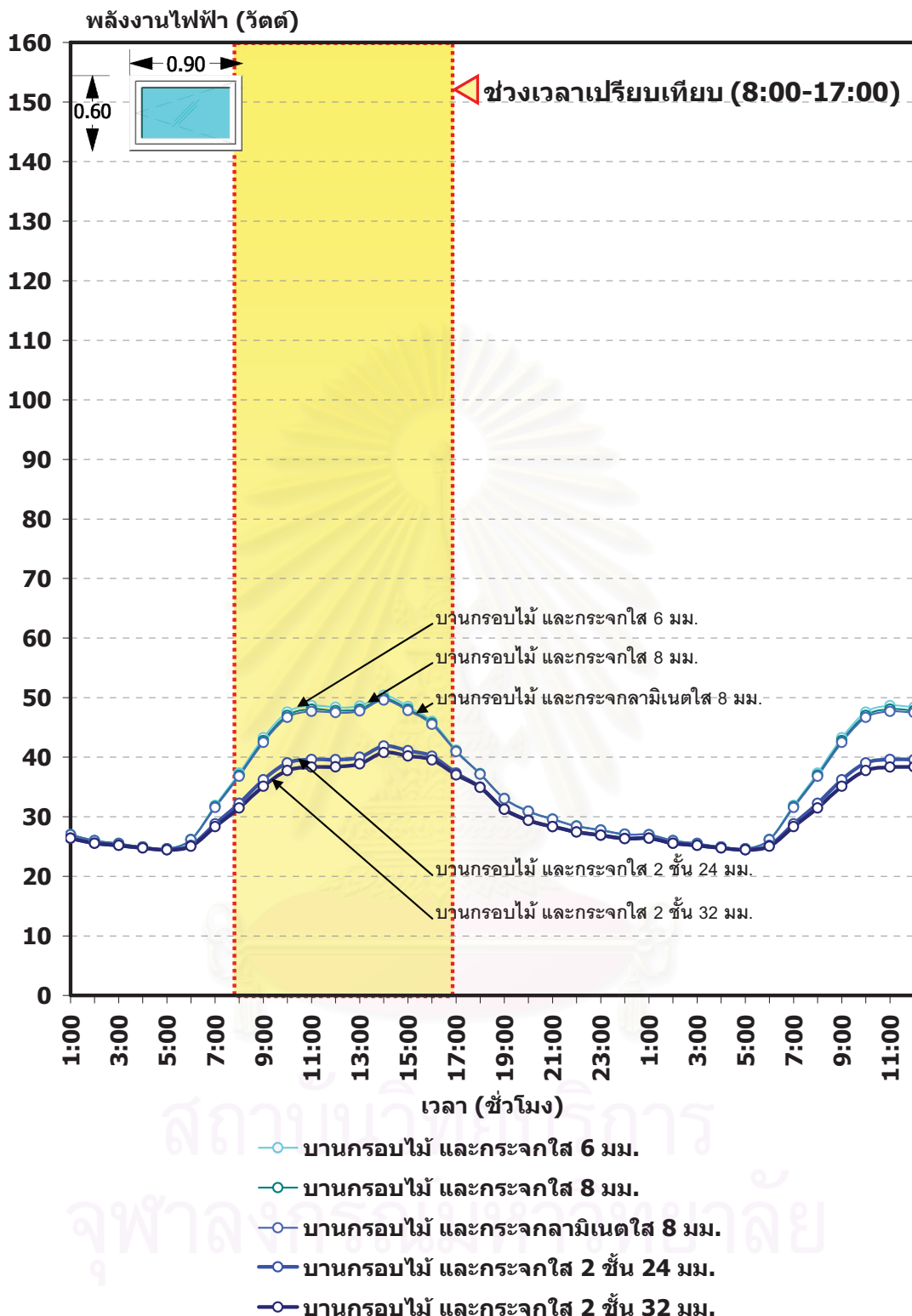
แผนภูมิที่ 4-12 การเปรียบเทียบพลังงานเฉลี่ยในช่วงเวลา 0:80-17:00 นาฬิกา ที่ใช้ในการขัดความร้อนของช่องเปิดขนาด 0.90×1.20 เมตร ทางด้านทิศตะวันตก เดือนเมษายน ปี 2550

การถ่ายเทความร้อน ความชื้น และการใช้พลังงานเพื่อจัดความร้อนซ่องเปิด
ขนาด 0.90×0.60 เมตร

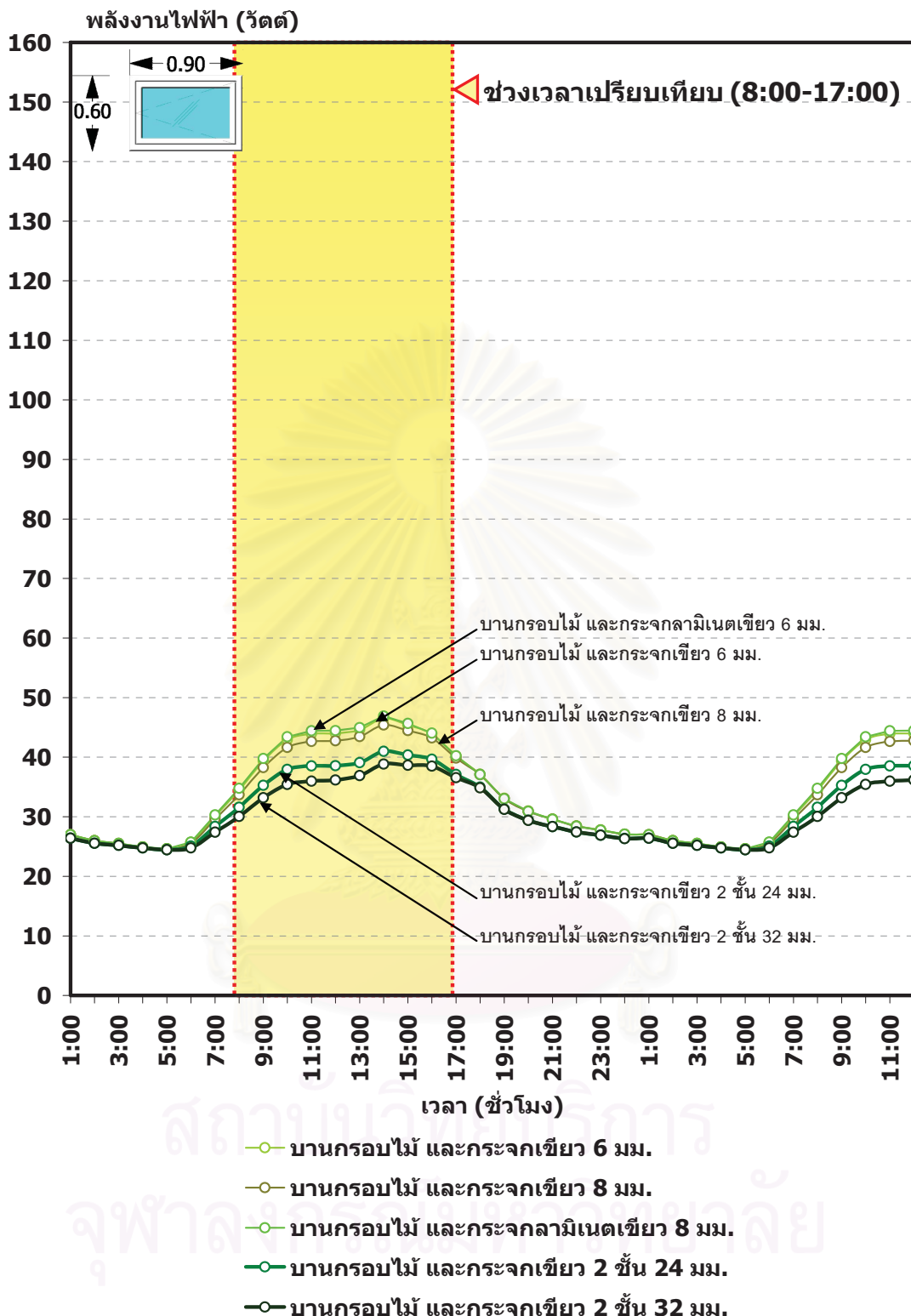


แผนภูมิที่ 4-13 การถ่ายเทความร้อน ความชื้น ผ่านบานกรอบ ของซ่องเปิดขนาด 0.90×0.60 เมตร
ทางด้านทิศตะวันตก เดือนเมษายน ปี 2550

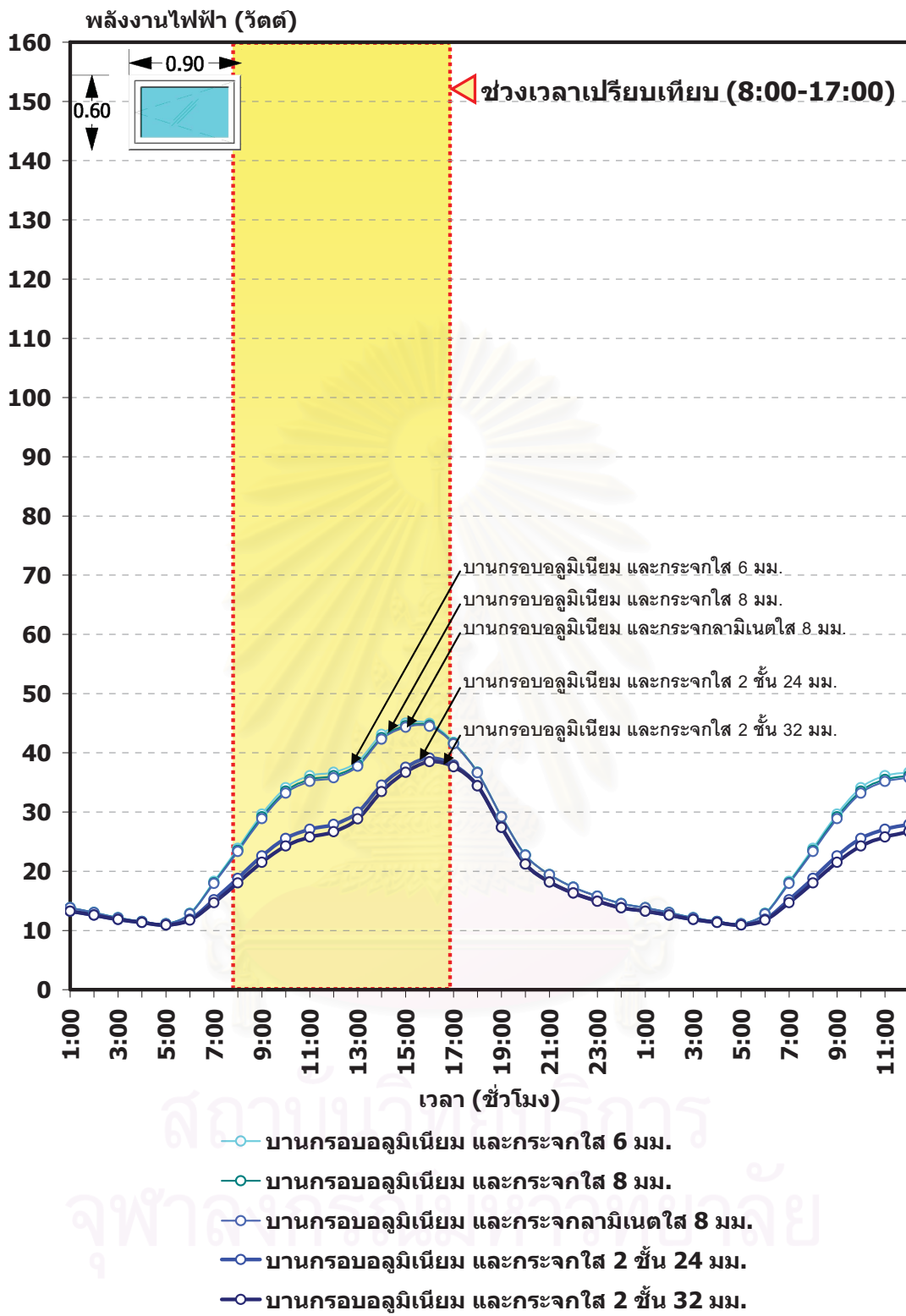




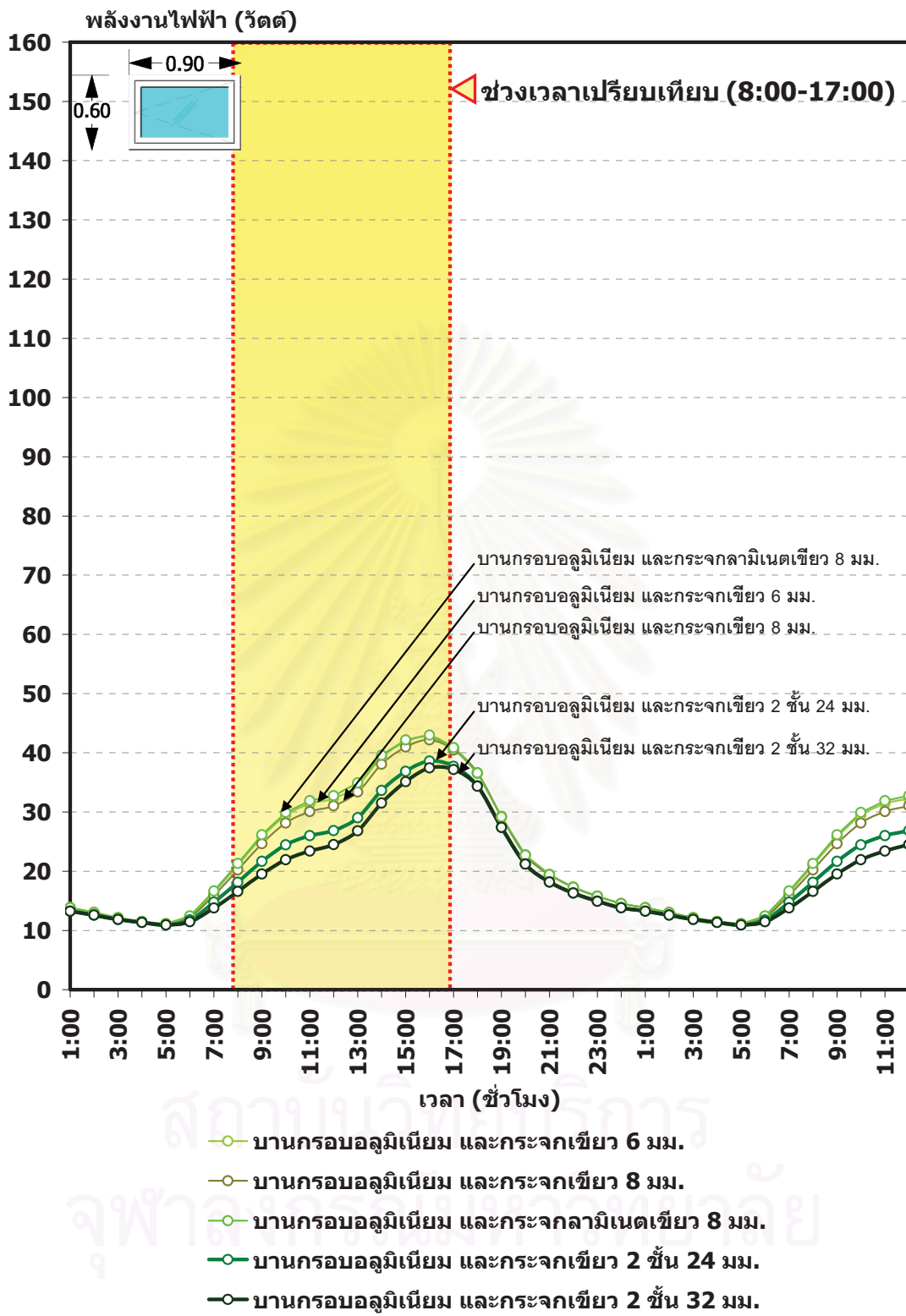
แผนภูมิที่ 4-15 ผลลัพธ์ไฟฟ้าที่ใช้ในการจัดความร้อนของช่องเปิดบานกรอบไม้ และกระเจ้าใสชนิดต่าง ๆ ขนาด 0.90×0.60 เมตร ทางด้านทิศตะวันตก เดือนเมษายน พ.ศ. 2550



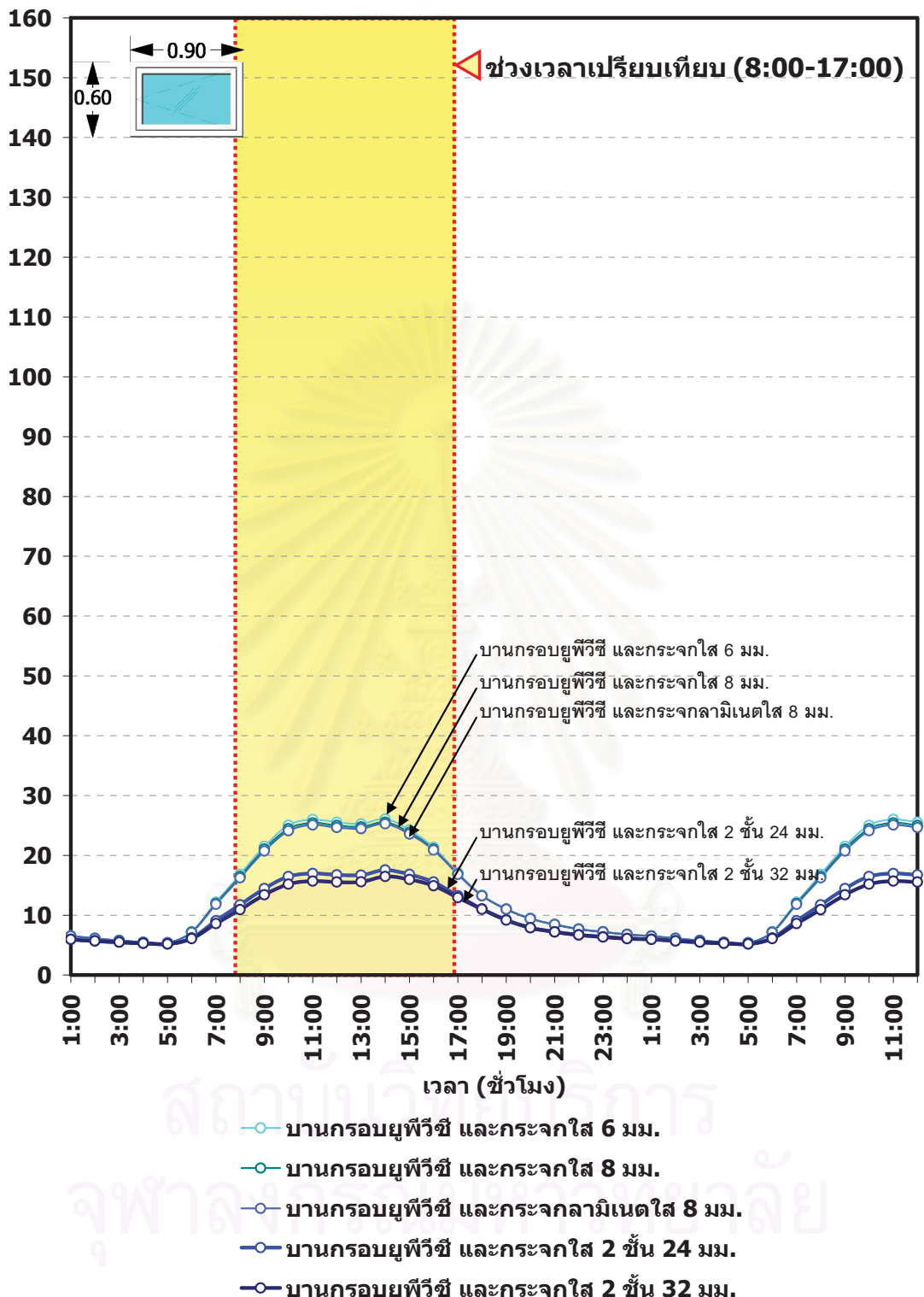
แผนภูมิที่ 4-16 พลังงานไฟฟ้าที่ใช้ในการจัดความร้อนของช่องเปิดบานกรอบไม้ และกระจากเลี่ยง ชนิดต่าง ๆ ขนาด 0.90×0.60 เมตร ทางด้านทิศตะวันตก เดือนเมษายน ปี 2550



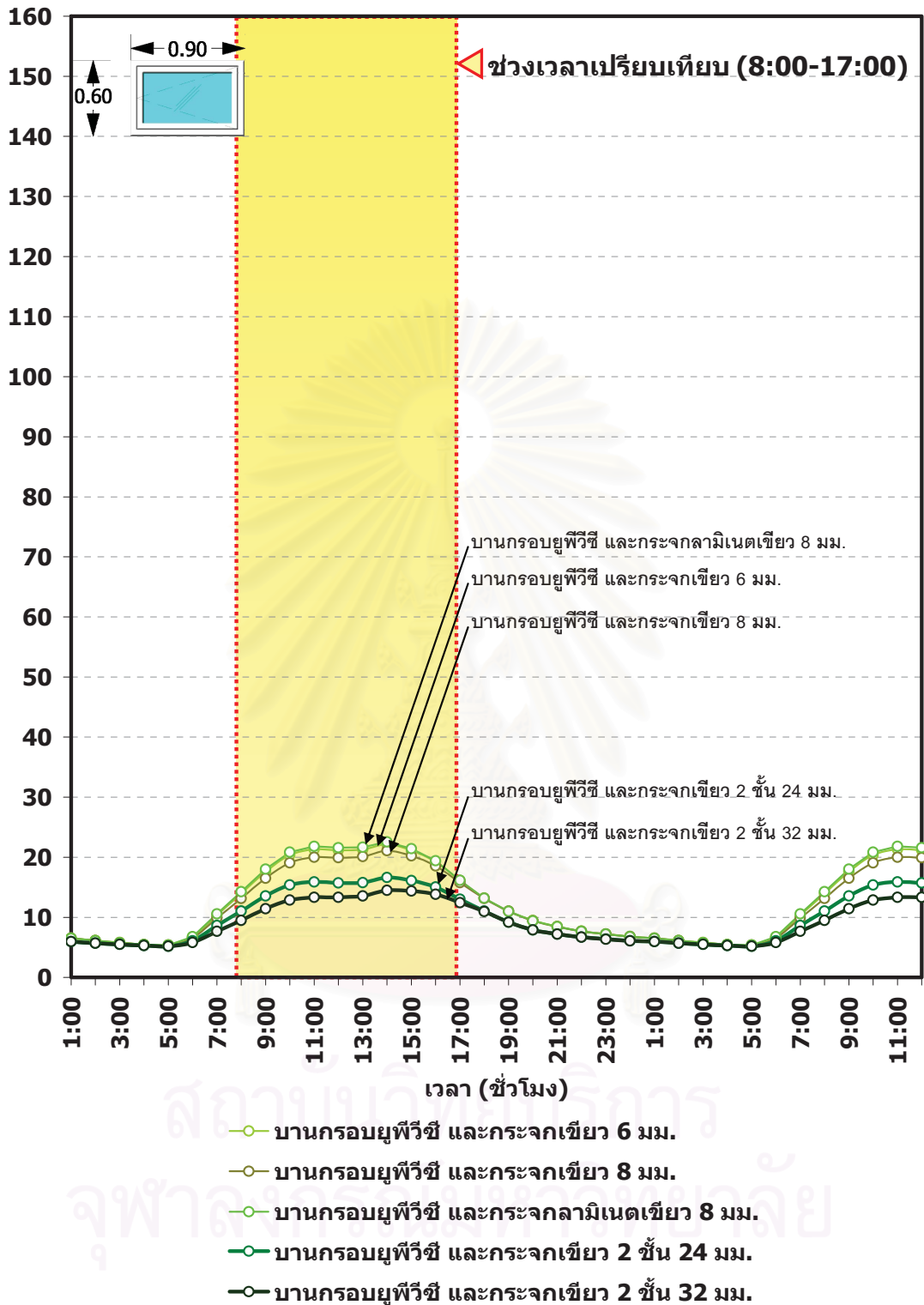
แผนภูมิที่ 4-17 พลังงานไฟฟ้าที่ใช้ในการขัดความร้อนของช่องเปิดบานกรอบอลูมิเนียม และกระจกใสชนิดต่าง ๆ ขนาด 0.90×0.60 เมตร ทางด้านทิศตะวันตก เดือนเมษายน ปี 2550



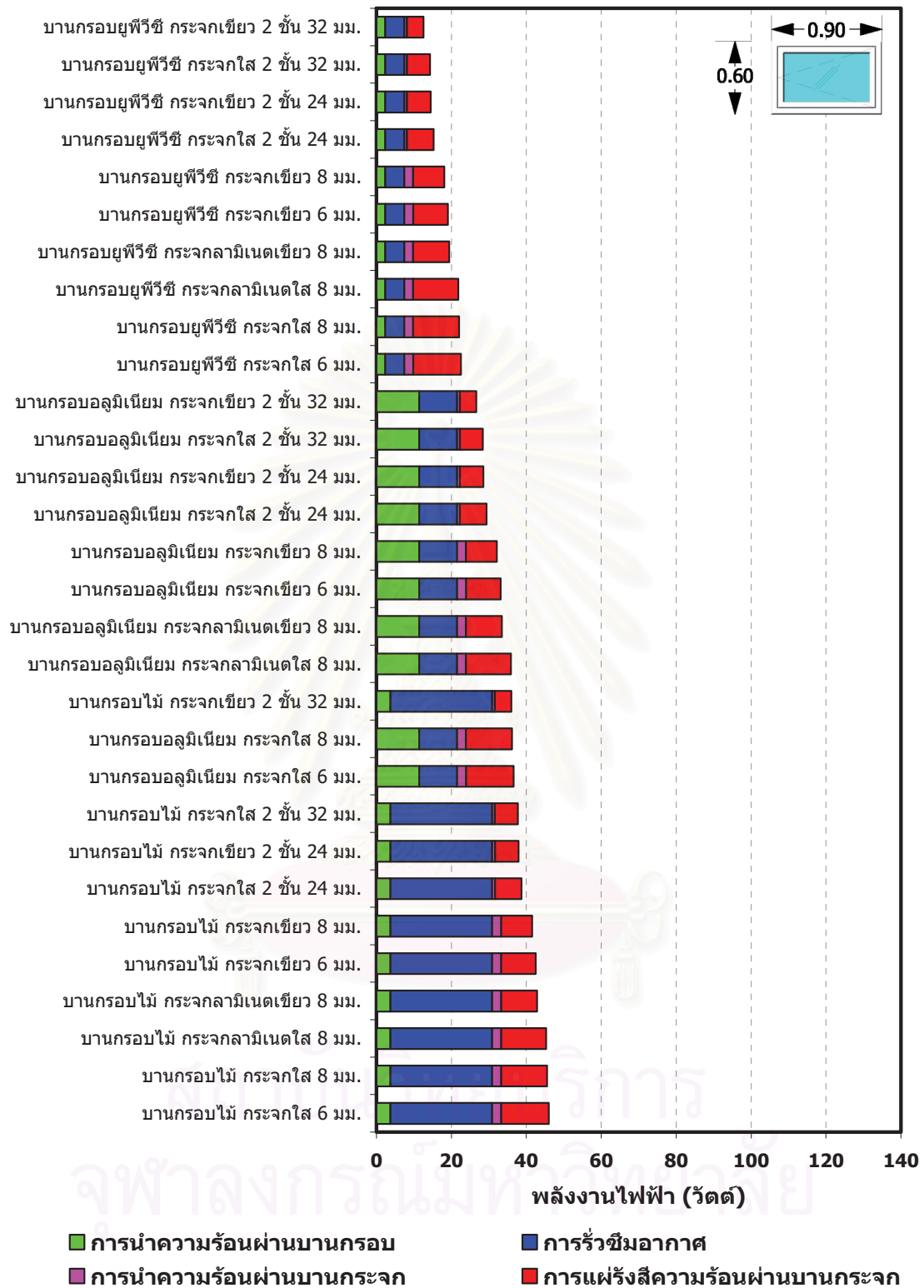
แผนภูมิที่ 4-18 พลังงานไฟฟ้าที่ใช้ในการขัดความร้อนของช่องเปิดบานกรอบอลูมิเนียม และกระจกเคลือบเงาชนิดต่าง ๆ ขนาด 0.90×0.60 เมตร ทางด้านทิศตะวันตก เดือนเมษายน ปี 2550



แผนภูมิที่ 4-19 พลังงานไฟฟ้าที่ใช้ในการจัดความร้อนของช่องเปิดบานกรอบยูพีวีซี และกระจกใส ชนิดต่าง ๆ ขนาด 0.90×0.60 เมตร ทางด้านทิศตะวันตก เดือนเมษายน ปี 2550

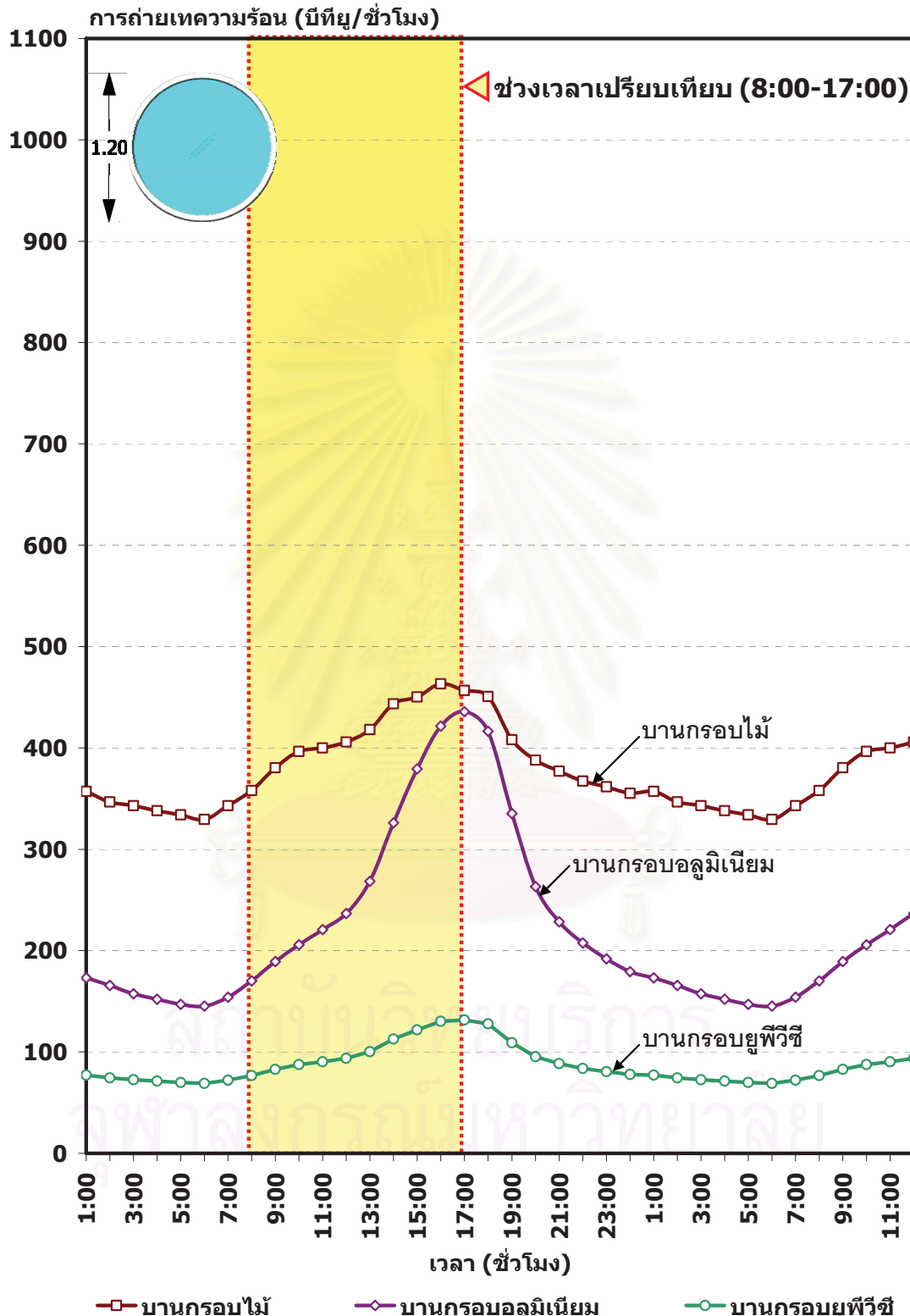


แผนภูมิที่ 4-20 พลังงานไฟฟ้าที่ใช้ในการขัดความร้อนของช่องเปิดนานกรอบยูพีวีซี และกระจากเลี้ยว
ชนิดต่าง ๆ ขนาด 0.90×0.60 เมตร ทางด้านทิศตะวันตก เดือนเมษายน ปี 2550

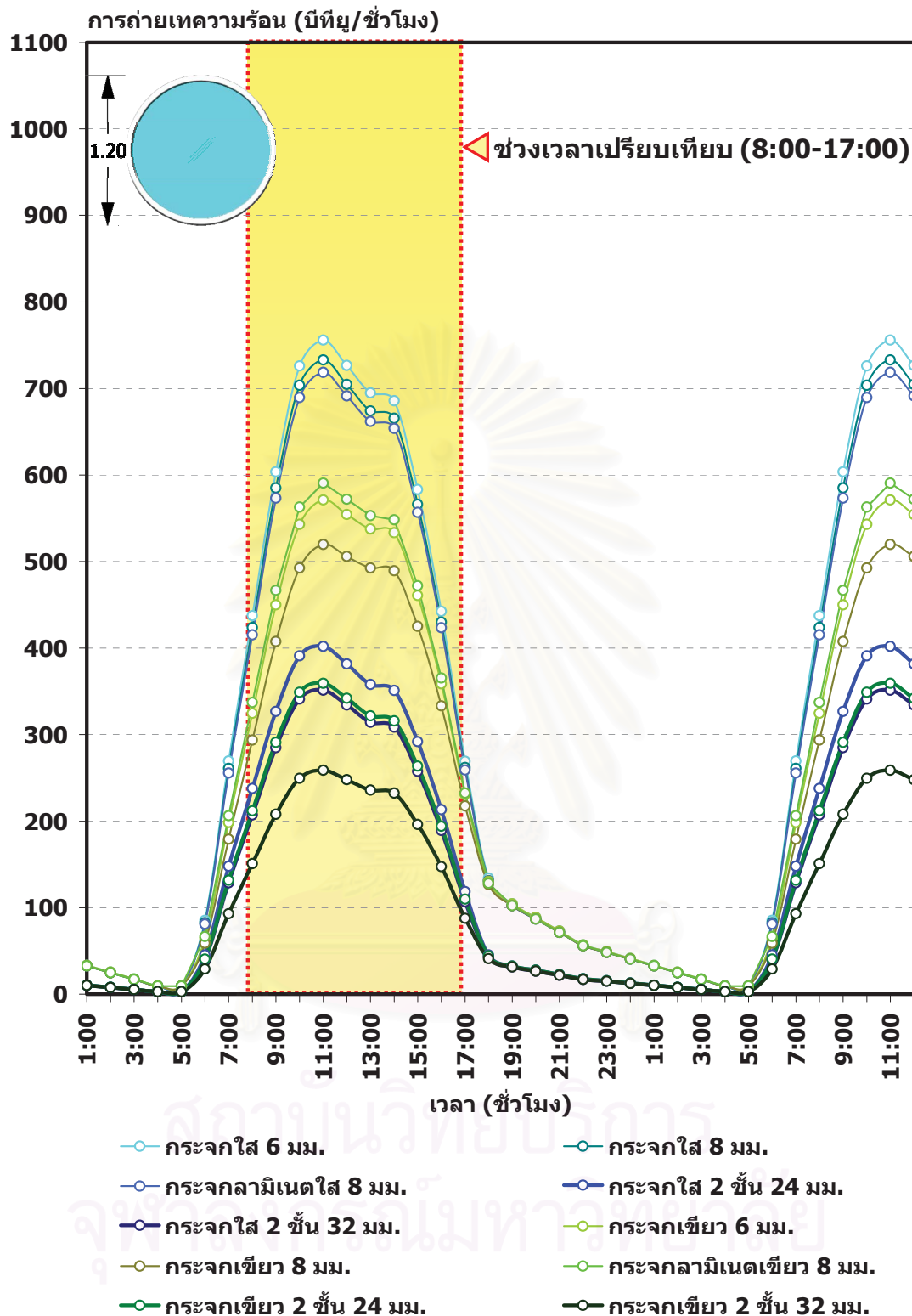


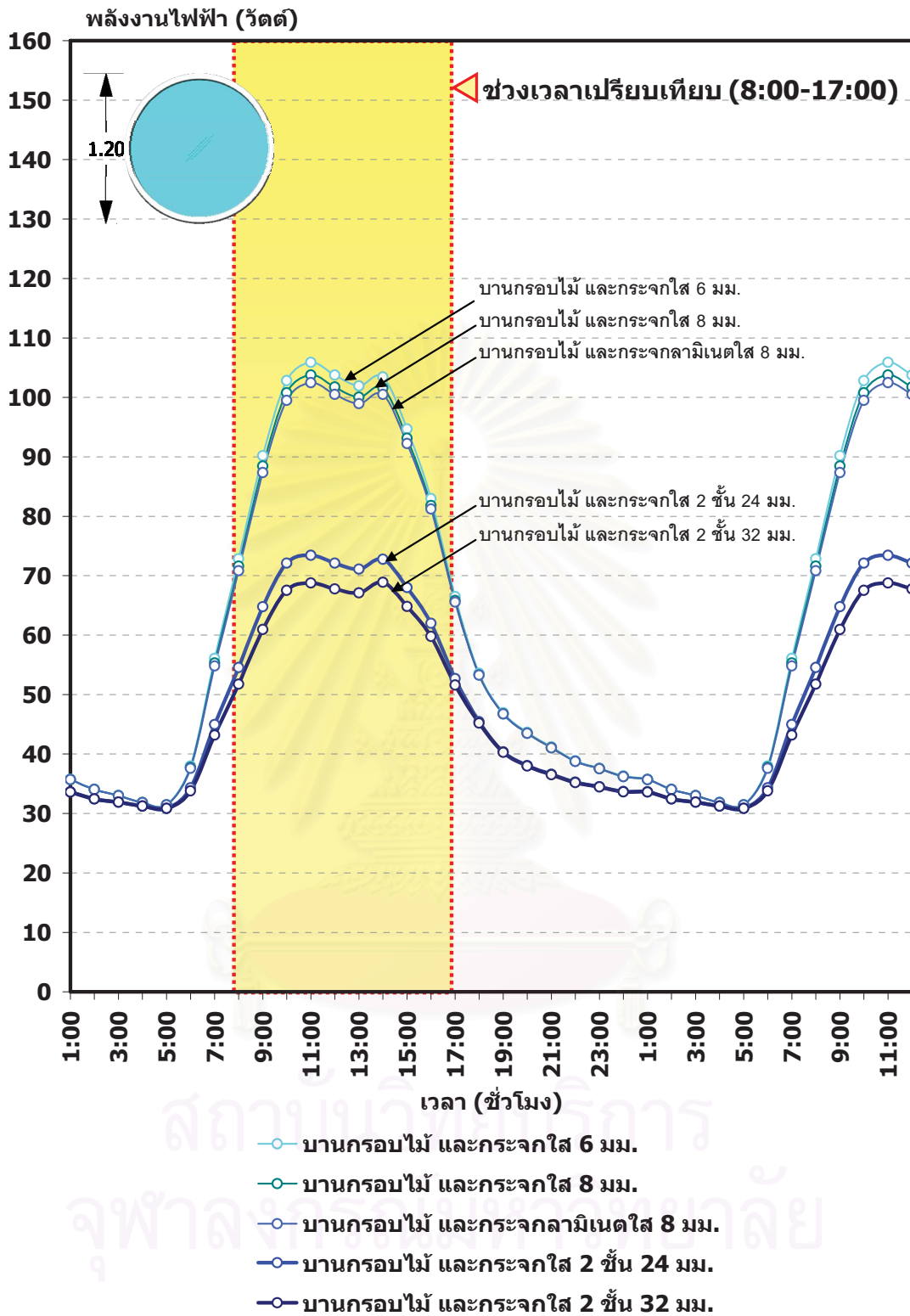
แผนภูมิที่ 4-21 เปรียบเทียบพลังงานเฉลี่ยในช่วงเวลา 0:80-17:00 นาฬิกา ที่ใช้ในการขจัดความร้อนของช่องเปิดขนาด 0.90×0.60 เมตร ทางด้านทิศตะวันตก เดือนเมษายน ปี 2550

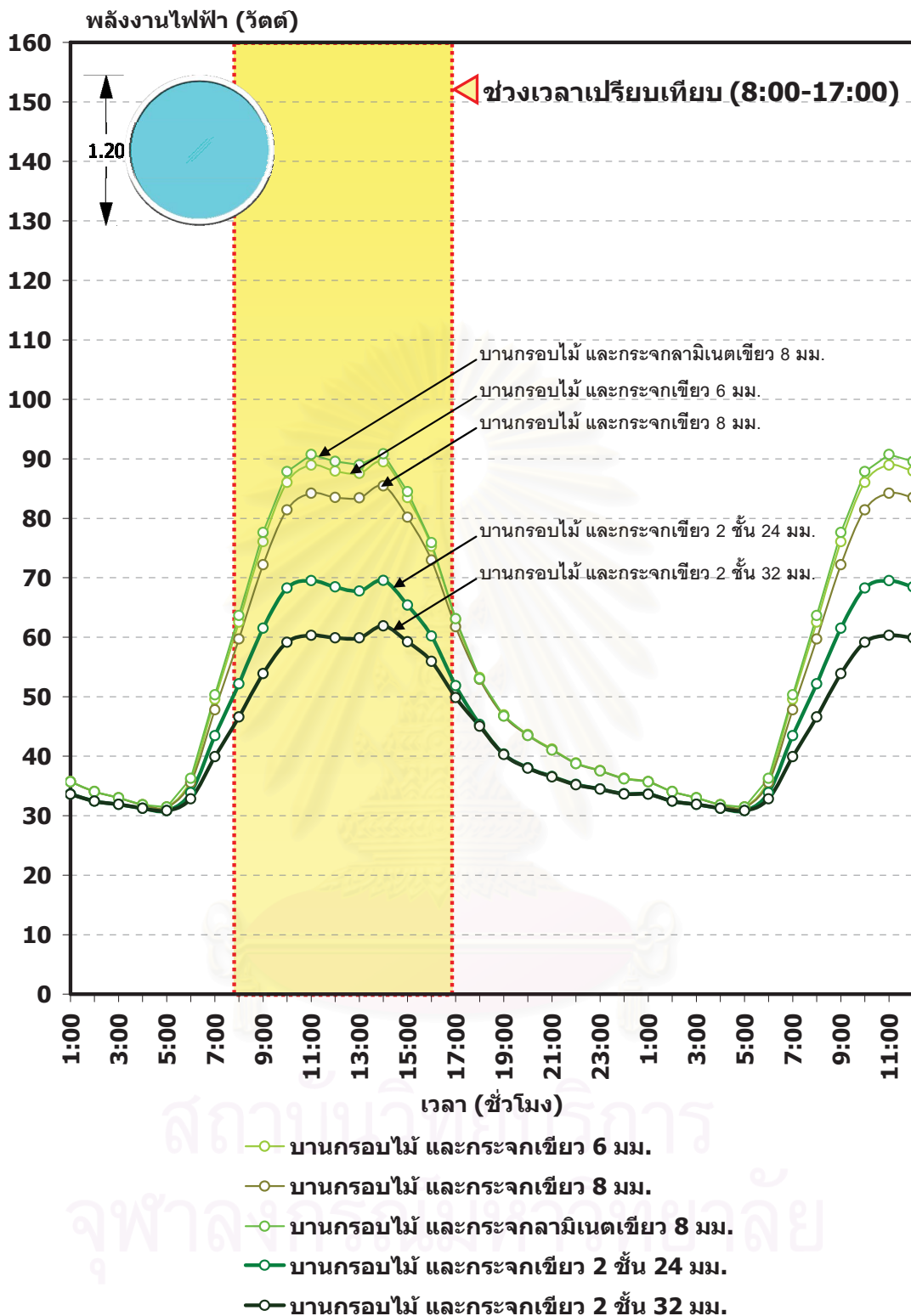
การถ่ายเทความร้อน ความชื้น และการใช้พลังงานเพื่อขัดความร้อนซ่องเปิด
กลมขนาดเส้นผ่านศูนย์กลาง 1.20 เมตร



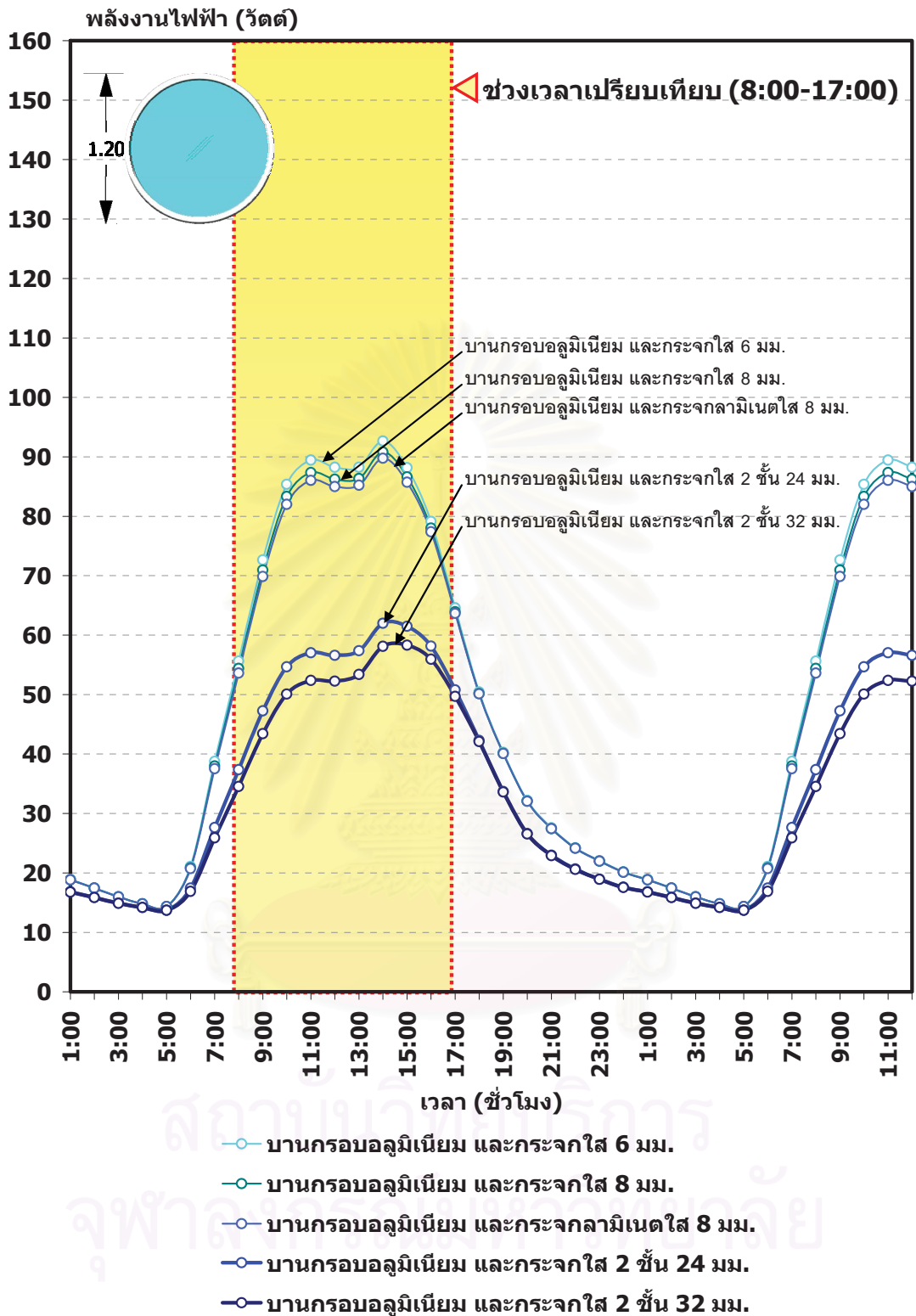
แผนภูมิที่ 4-22 การถ่ายเทความร้อน ความชื้นผ่านบ้านกรอบ ของซ่องเปิดกลมเส้นผ่านศูนย์กลาง
ขนาด 1.20 เมตร ทางด้านทิศตะวันตก เดือนเมษายน ปี 2550



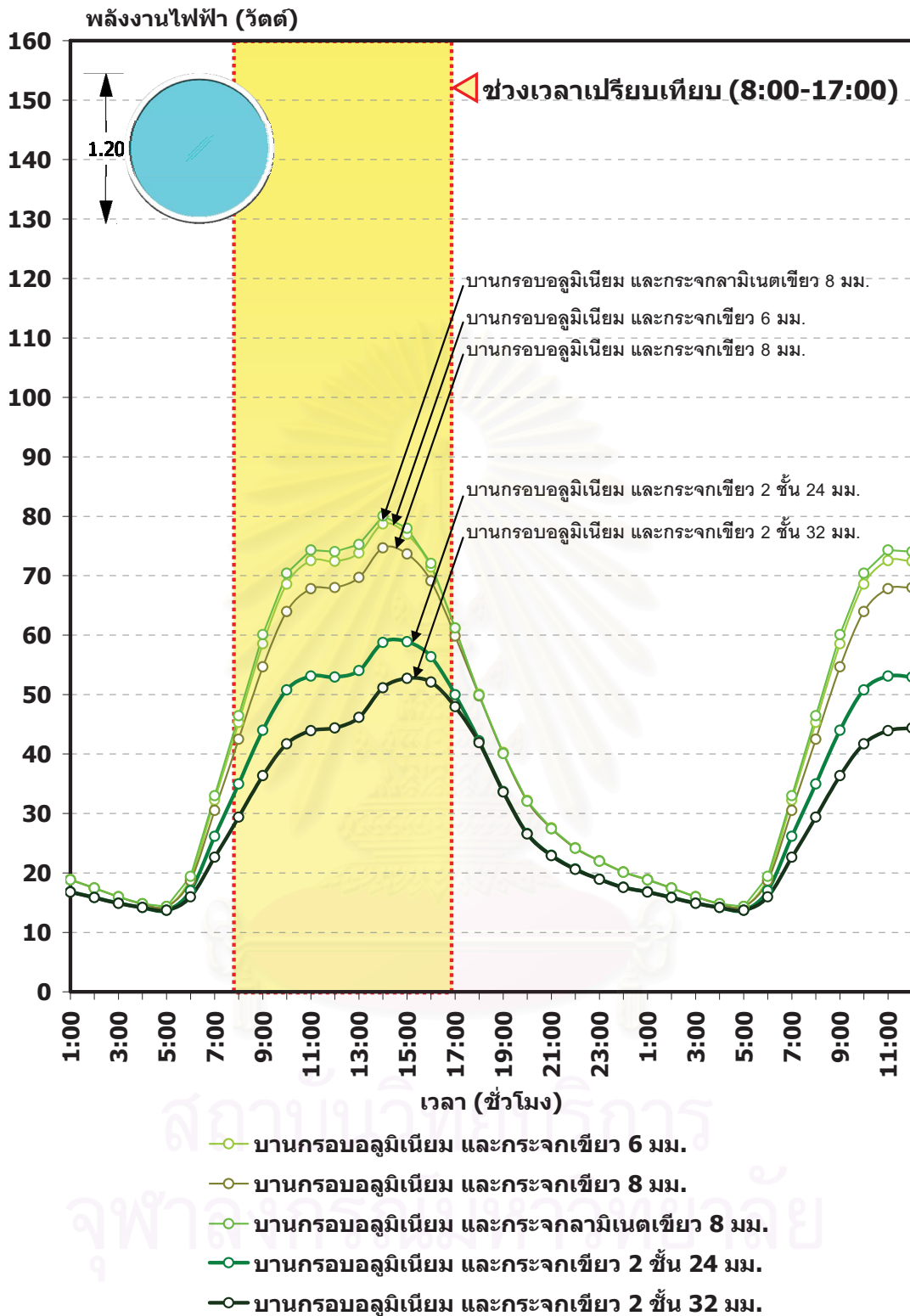


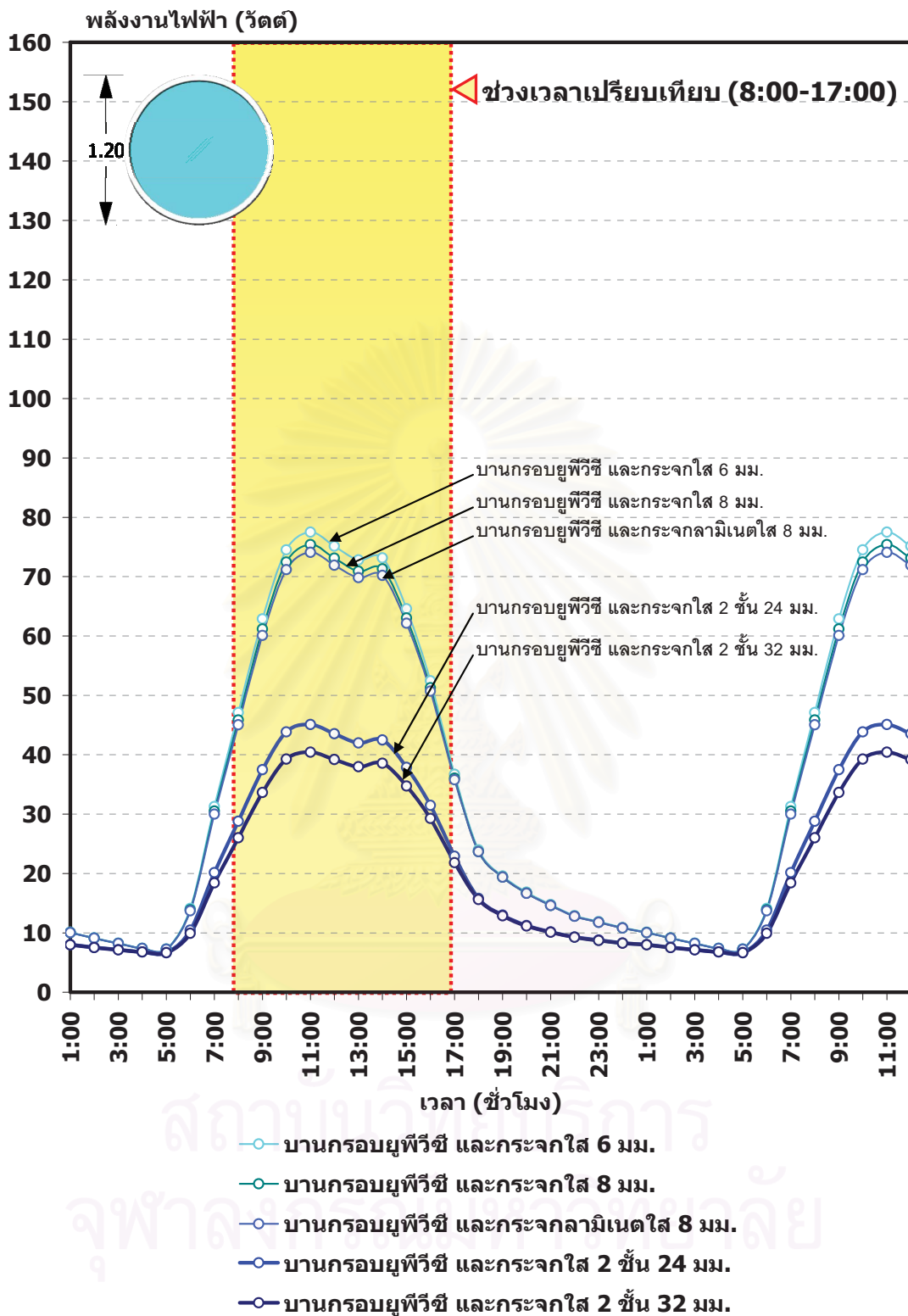


แผนภูมิที่ 4-25 พลังงานไฟฟ้าที่ใช้ในการขัดความร้อนของช่องเปิดกลมบานกรอบไม้ และกระจาคเขียวชนิดต่าง ๆ เส้นผ่านศูนย์กลางขนาด 1.20 เมตร ทางด้านทิศตะวันตก เดือนเมษายน ปี 2550

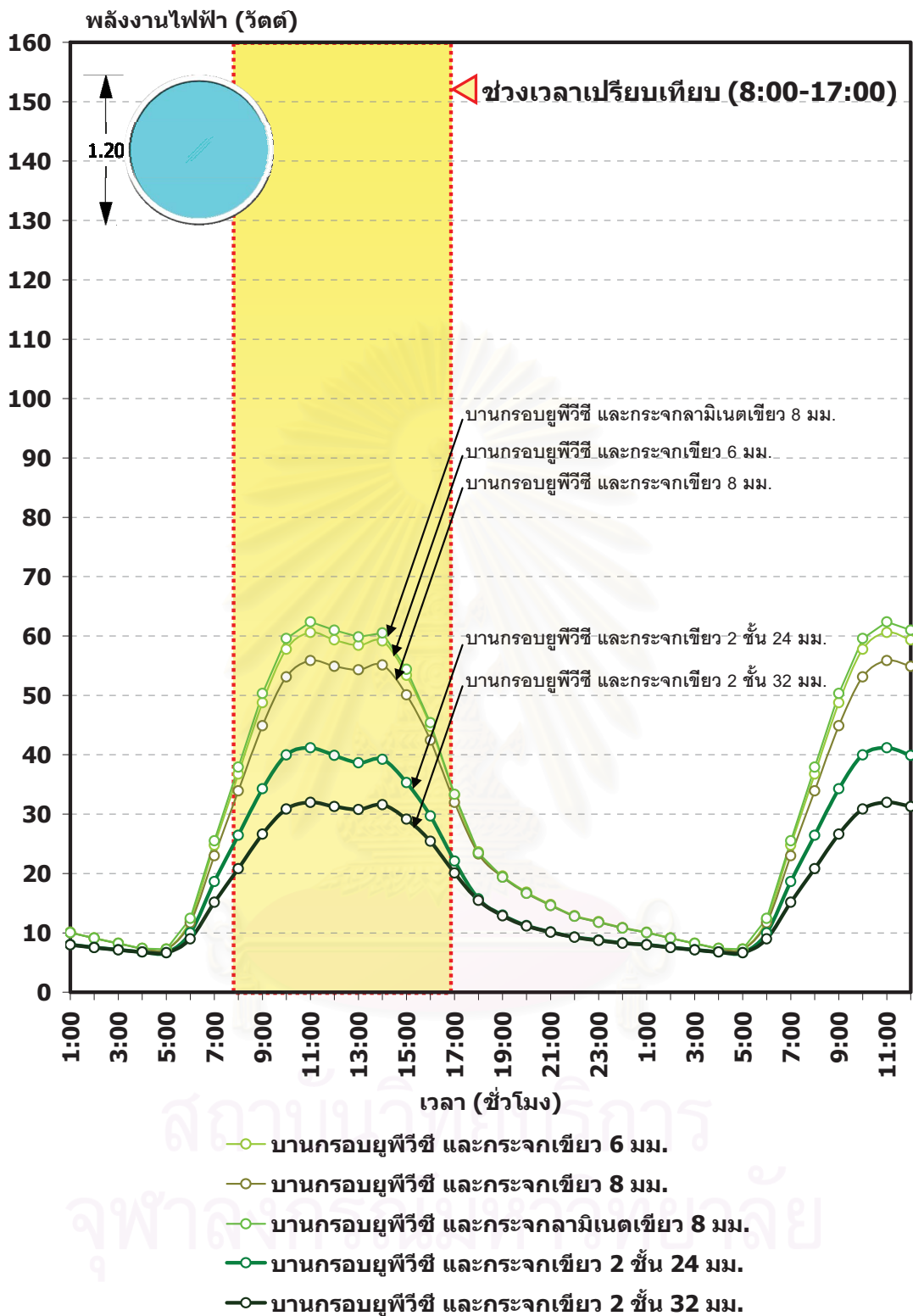


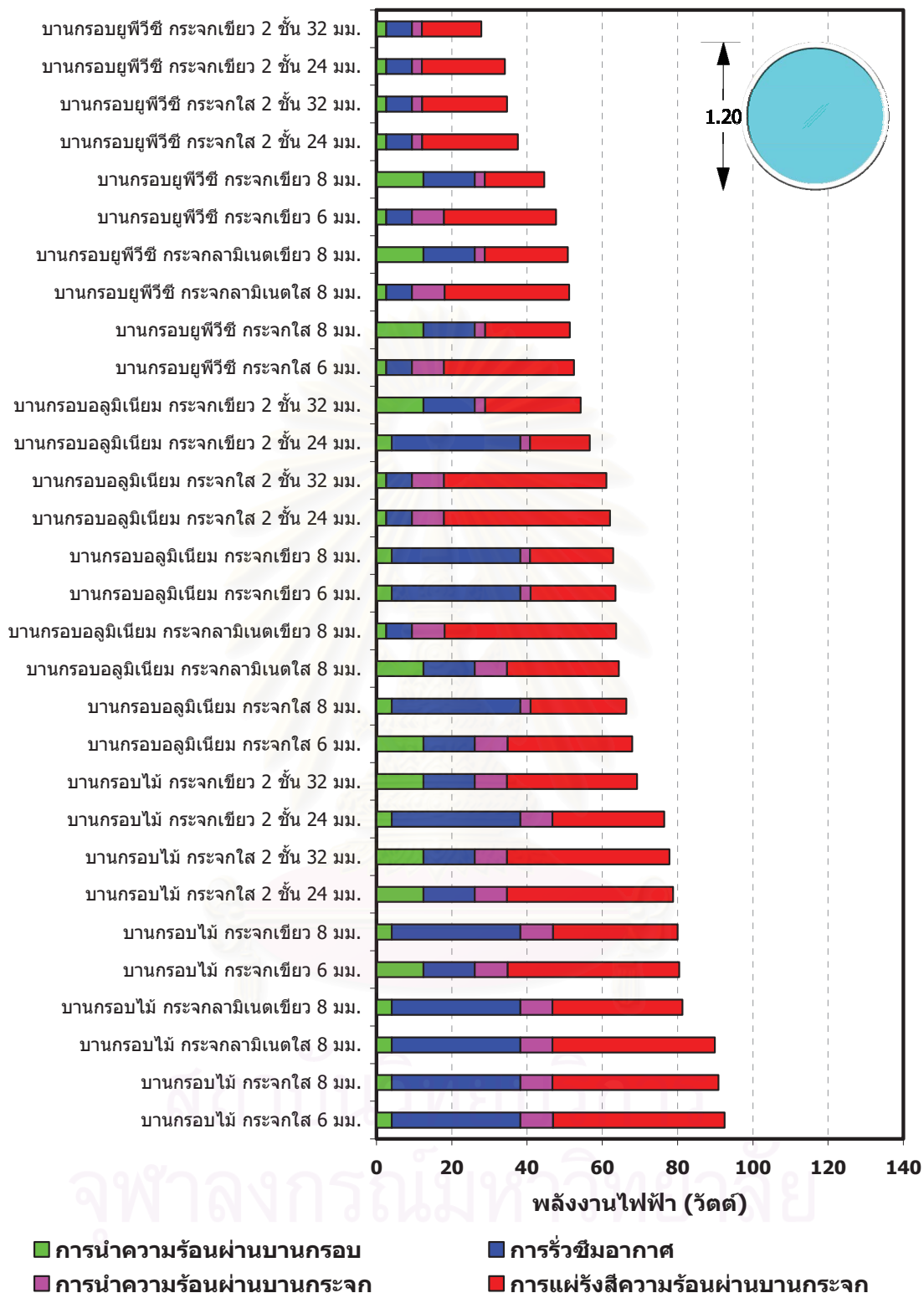
แผนภูมิที่ 4-26 พลังงานไฟฟ้าที่ใช้ในการขัดความร้อนของช่องเปิดกลมบานกรอบอลูมิเนียม และกระจกใสชนิดต่าง ๆ เส้นผ่านศูนย์กลางขนาด 1.20 เมตร ทางด้านทิศตะวันตก เดือนเมษายน ปี 2550





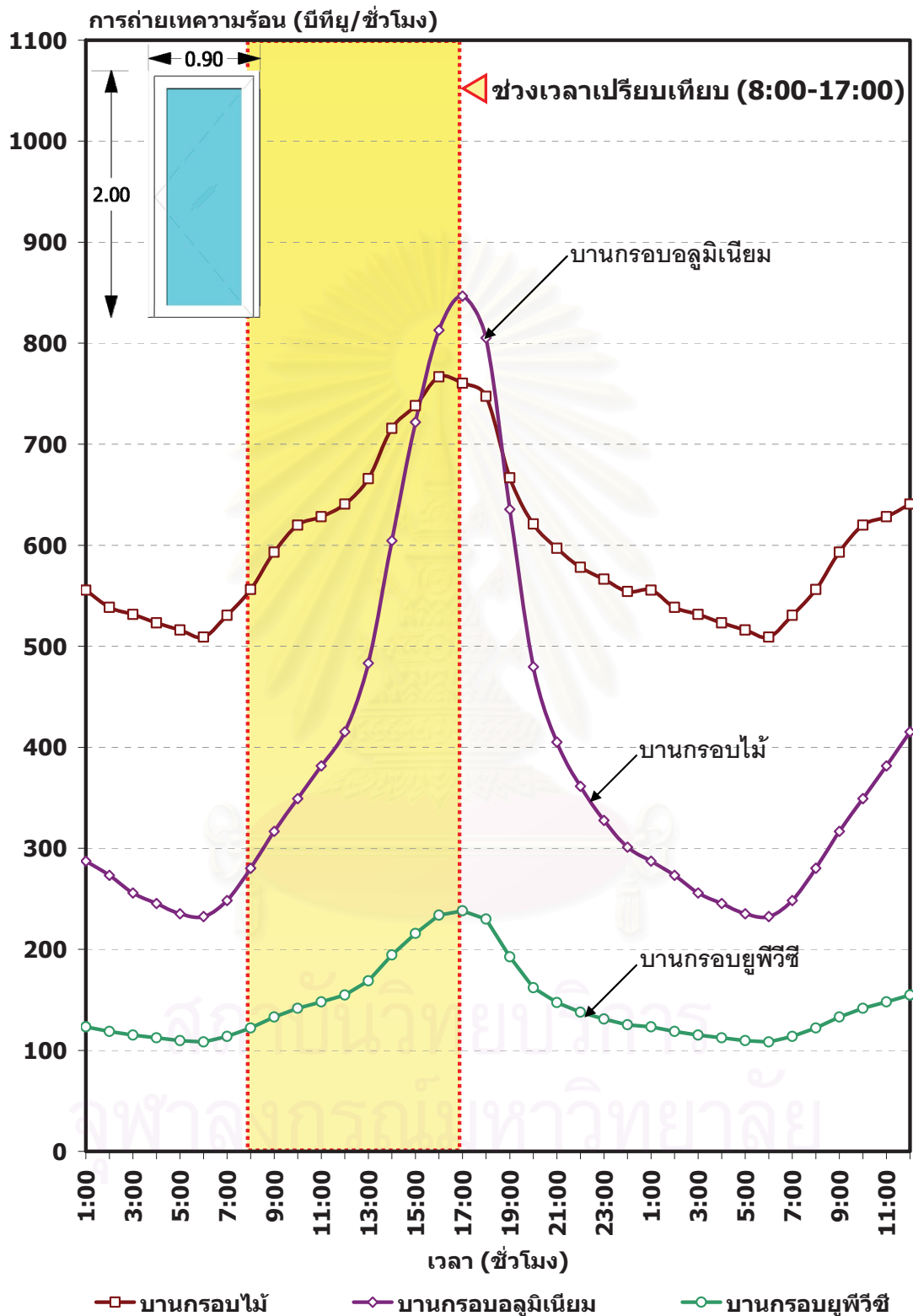
แผนภูมิที่ 4-28 พลังงานไฟฟ้าที่ใช้ในการขัดความร้อนของช่องเปิดกลมบานกรอบยูพีวีซี และกระเจาใสชนิดต่าง ๆ เส้นผ่านศูนย์กลางขนาด 1.20 เมตร ทางด้านทิศตะวันตก เดือนเมษายน ปี 2550



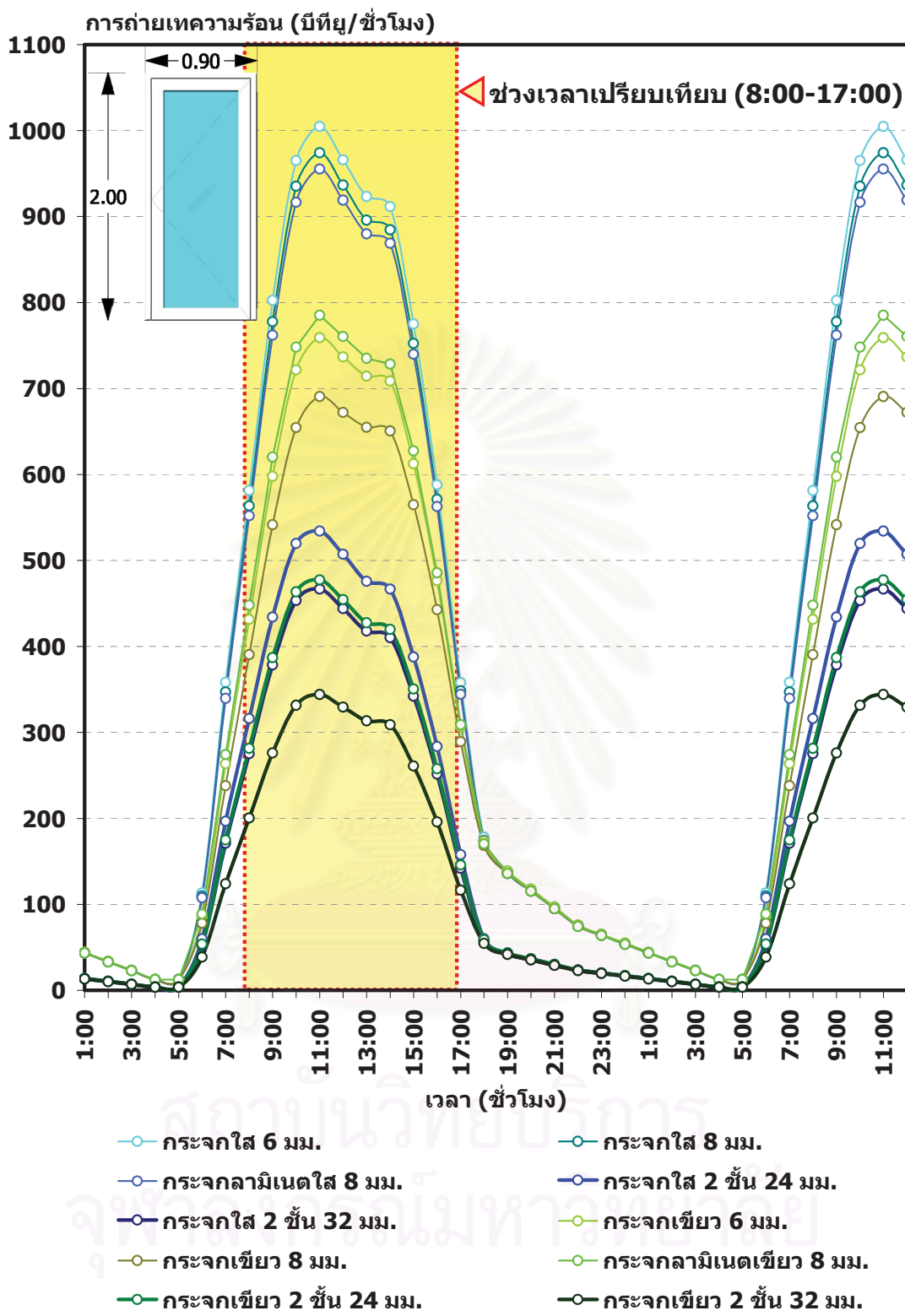


แผนภูมิที่ 4-30 เปรียบเทียบพลังงานเฉลี่ยในช่วงเวลา 0:80-17:00 นาฬิกา ที่ใช้ในการจัดความร้อนของช่องเปิดกลมเส้นผ่านศูนย์กลางขนาด 1.20 เมตร ทางด้านทิศตะวันตก เดือนเมษายน ปี 2550

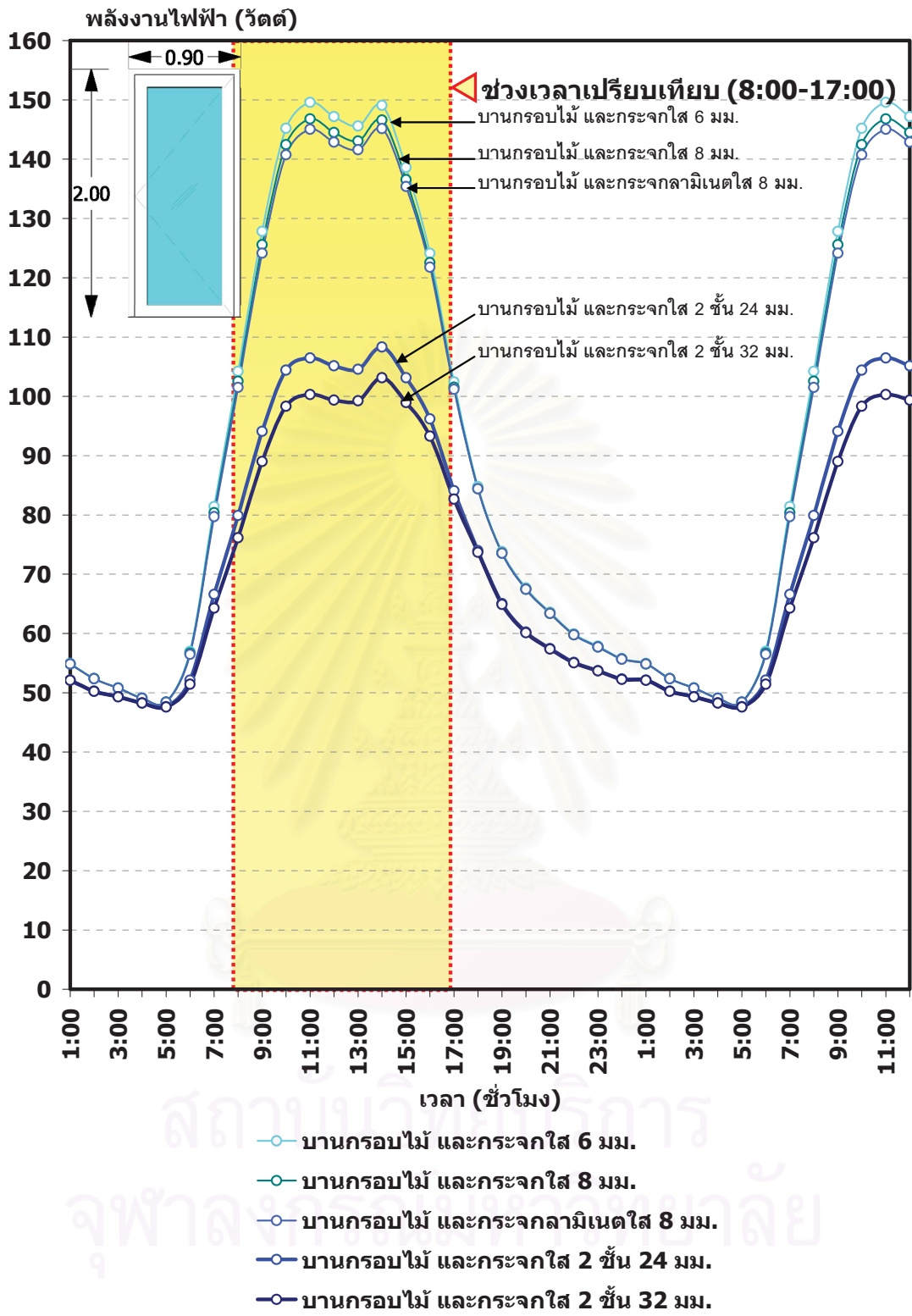
การถ่ายเทความร้อน ความชื้น และการใช้พลังงานเพื่อจัดความร้อนซ่องเปิด
กลมซ่องเปิดขนาด 0.90×2.00 เมตร

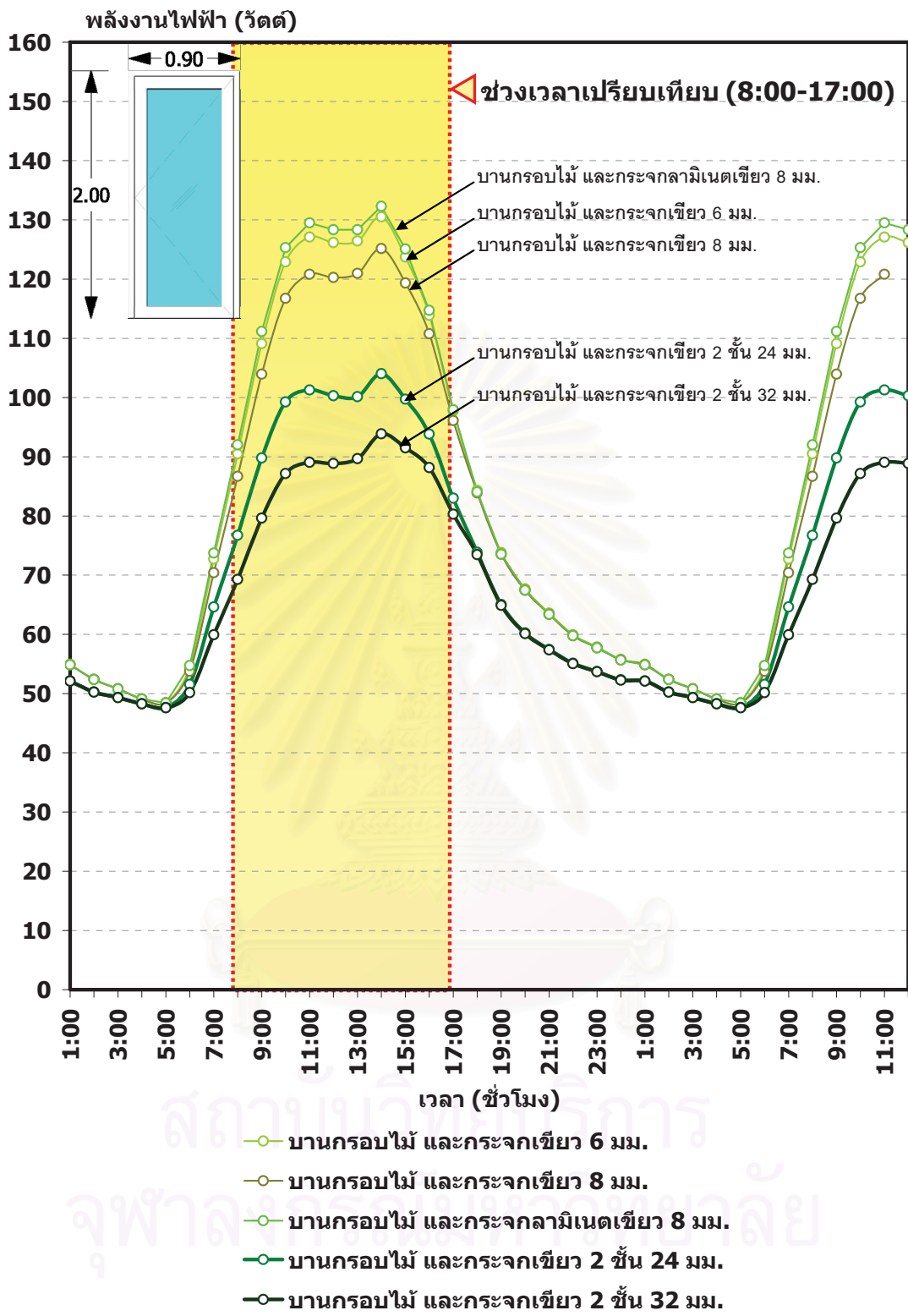


แผนภูมิที่ 4-31 การถ่ายเทความร้อน ความชื้น ผ่านบันกรอบ ของซ่องเปิดขนาด 0.90×2.00 เมตร
ทางด้านทิศตะวันตก เดือนเมษายน ปี 2550

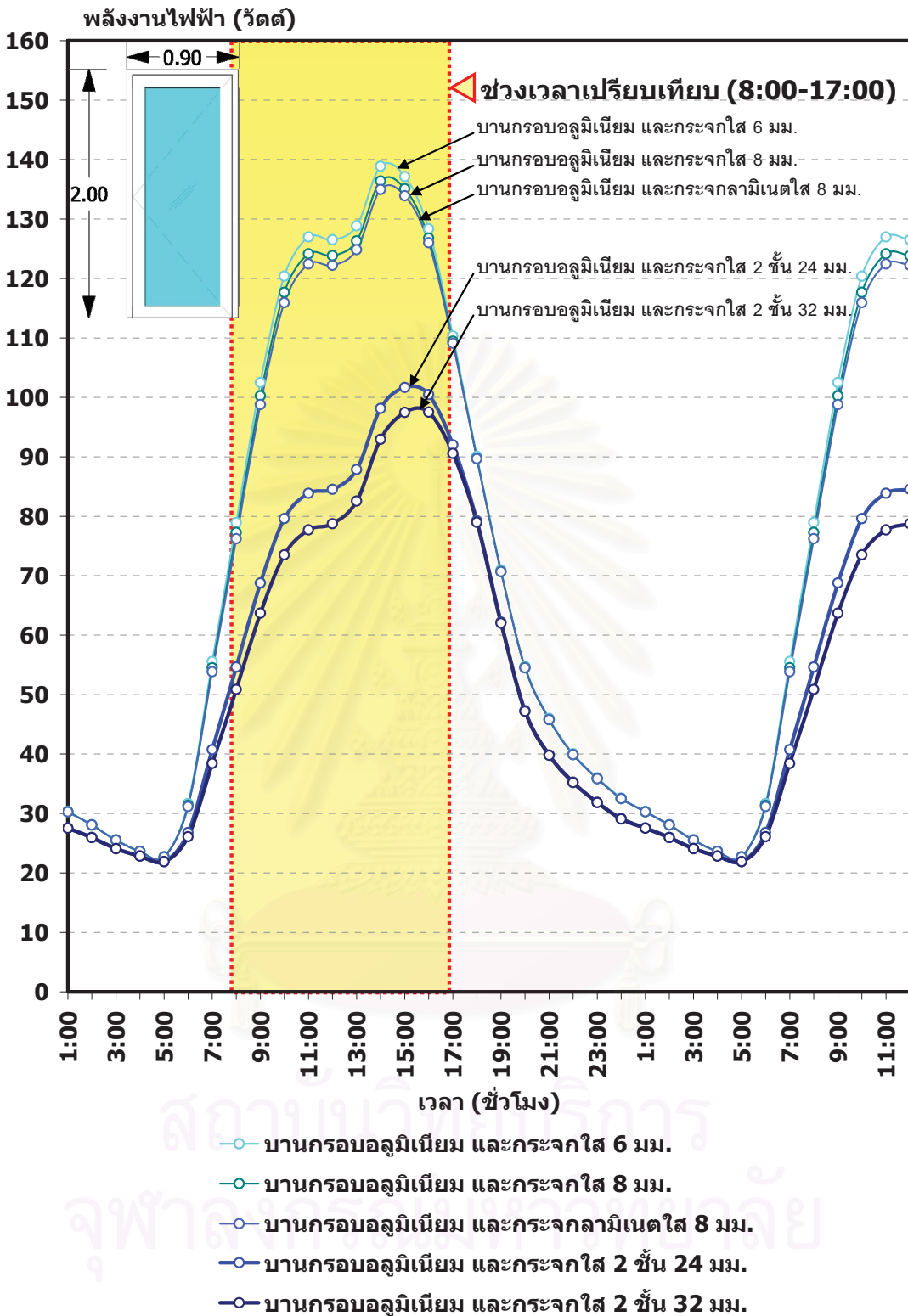


แผนภูมิที่ 4-32 การถ่ายเทความร้อนผ่านบานกระจก ของช่องเปิดขนาด 0.90×2.00 เมตร ทางด้านทิศตะวันตก เดือนเมษายน ปี 2550

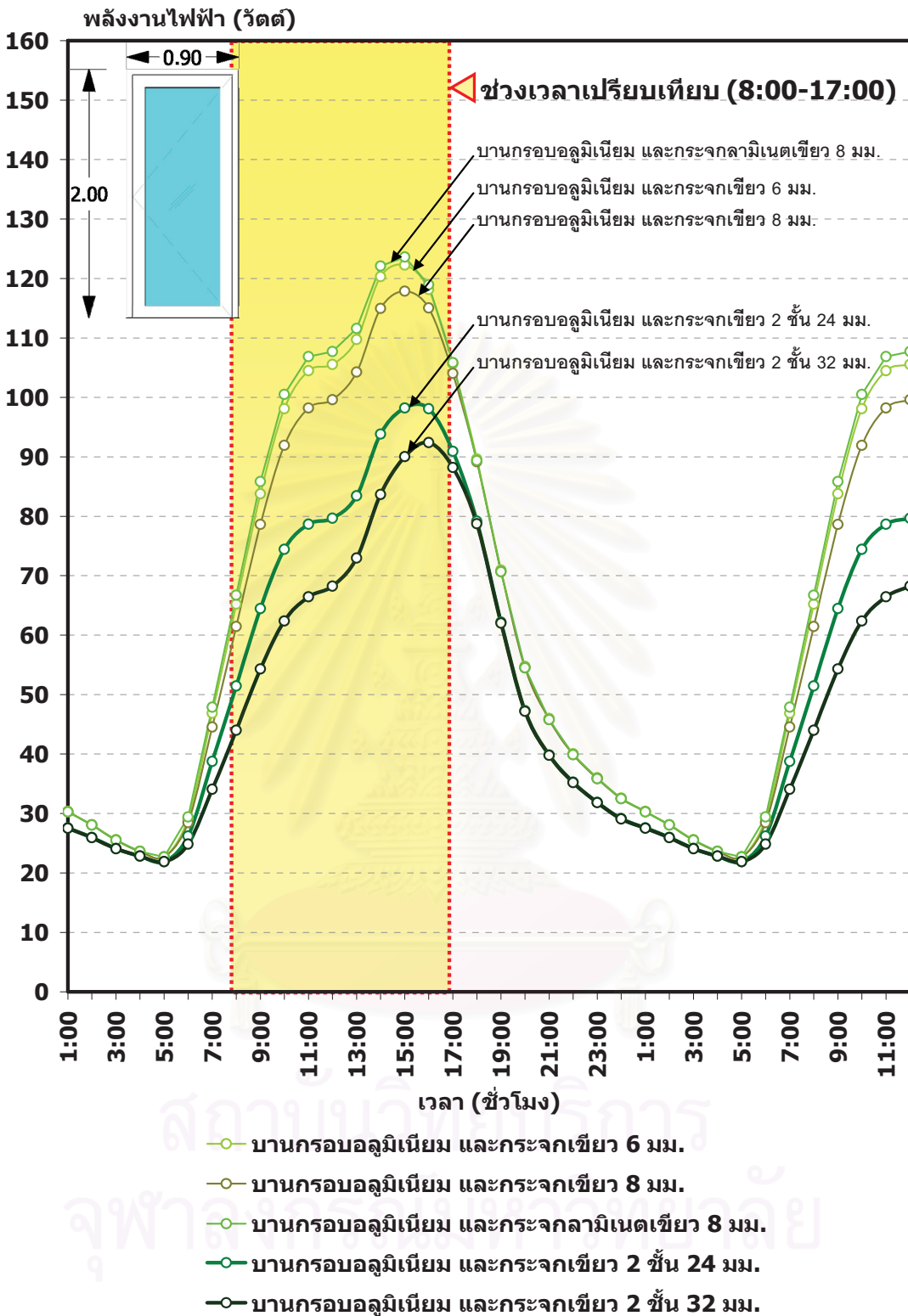




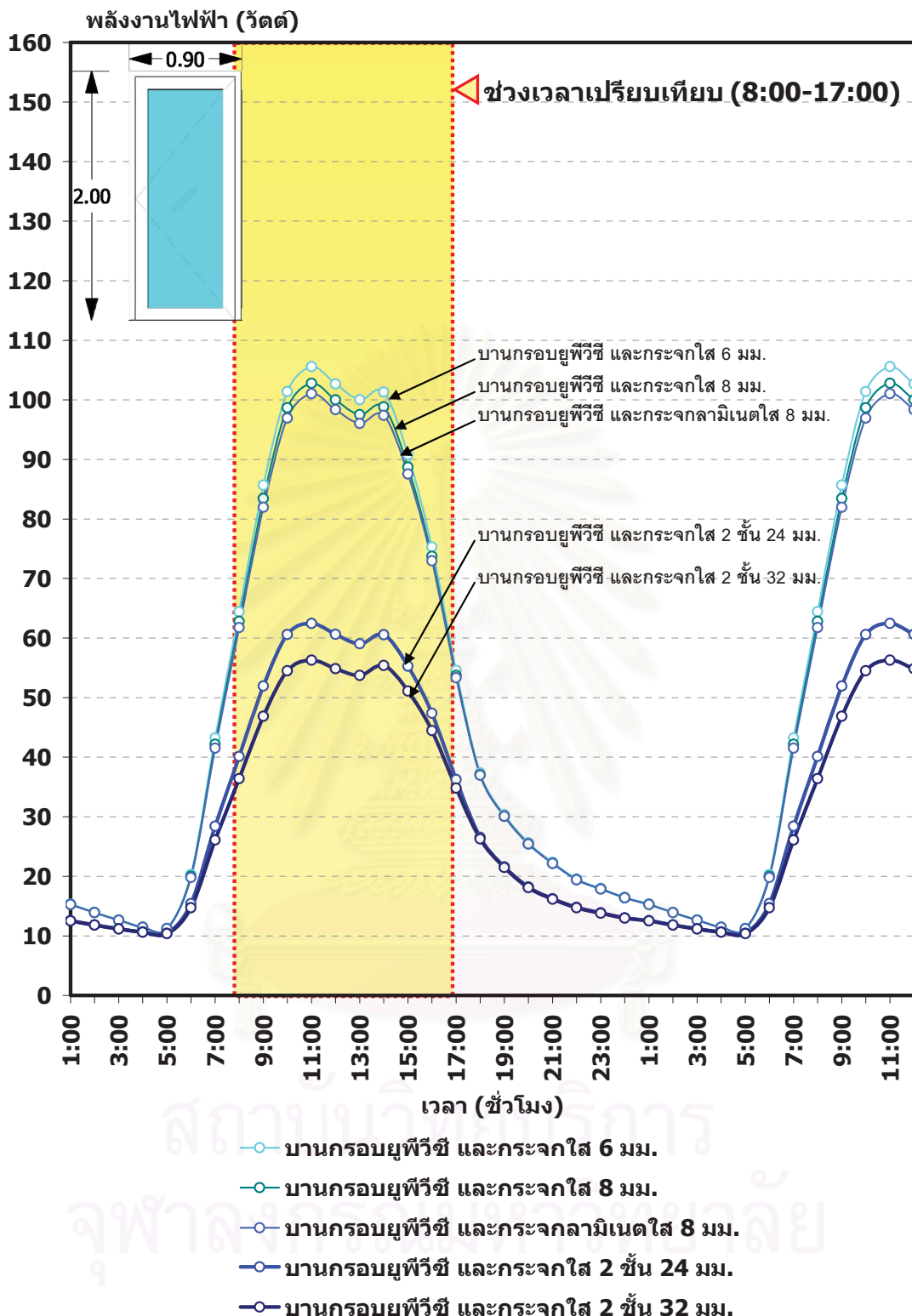
แผนภูมิที่ 4-34 พลังงานไฟฟ้าที่ใช้ในการจัดความร้อนของช่องเปิดบานกรอบไม้ และกระจาคเขียว ชนิดต่าง ๆ ขนาด 0.90×2.00 เมตร ทางด้านทิศตะวันตก เดือนเมษายน ปี 2550



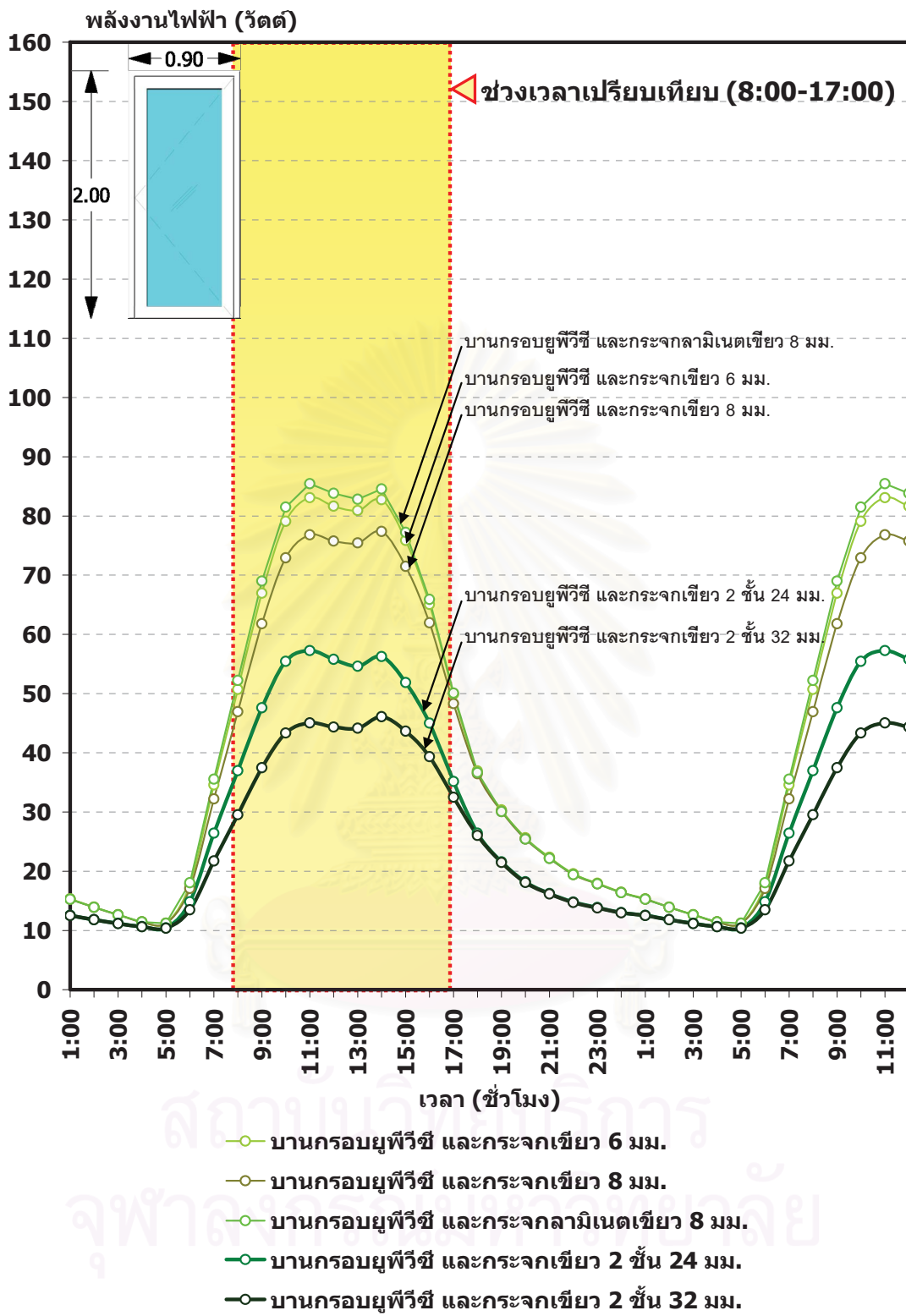
แผนภูมิที่ 4-35 พลังงานไฟฟ้าที่ใช้ในการขัดความร้อนของช่องเปิดบานกรอบอลูมิเนียม และกระจกใสชนิดต่าง ๆ ขนาด 0.90×2.00 เมตร ทางด้านทิศตะวันตก เดือนเมษายน ปี 2550



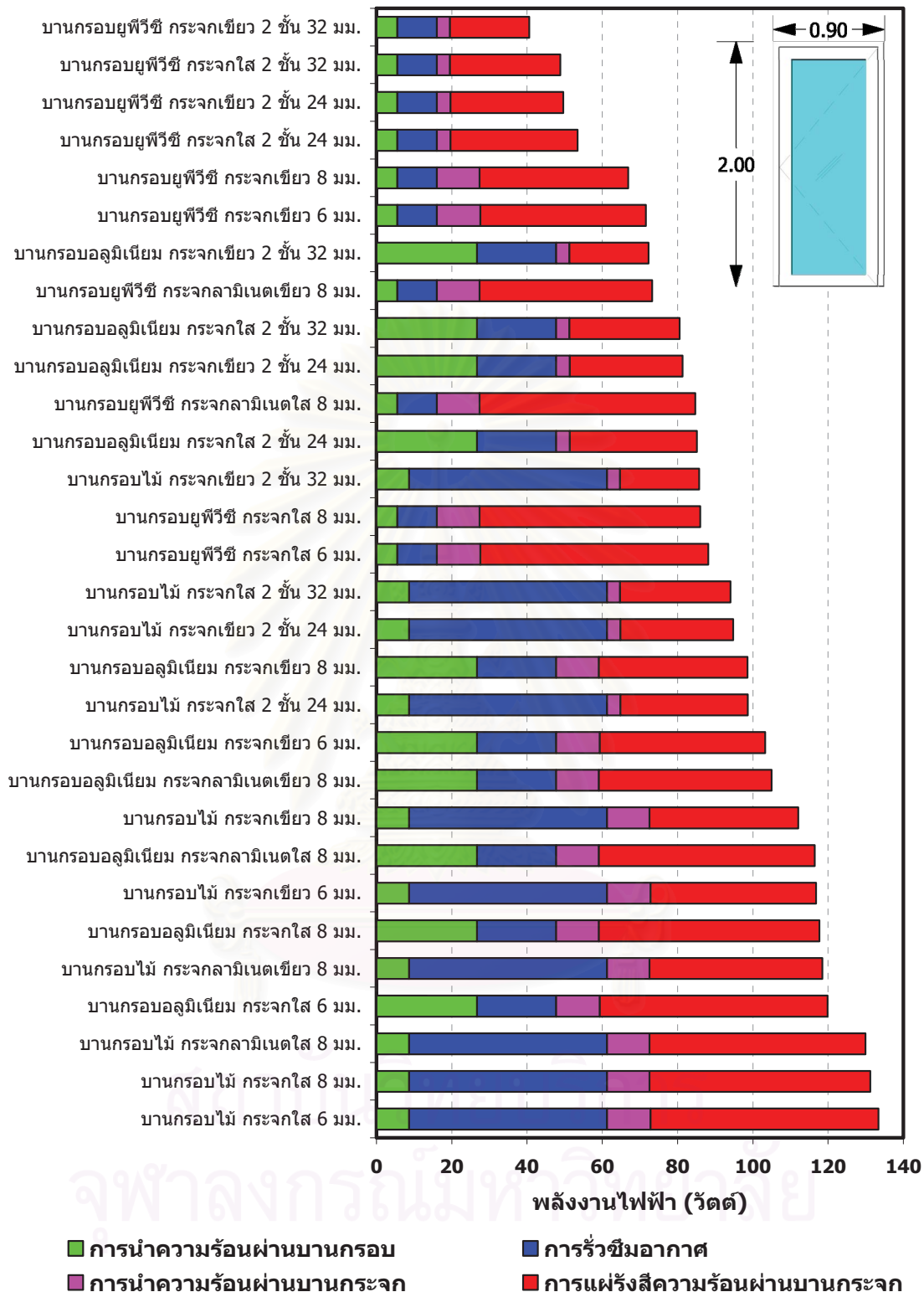
แผนภูมิที่ 4-36 พลังงานไฟฟ้าที่ใช้ในการจัดความร้อนของช่องเปิดบานกรอบอลูมิเนียม และกระจก เชียวนิคต่าง ๆ ขนาด 0.90×2.00 เมตร ทางด้านทิศตะวันตก เดือนเมษายน ปี 2550



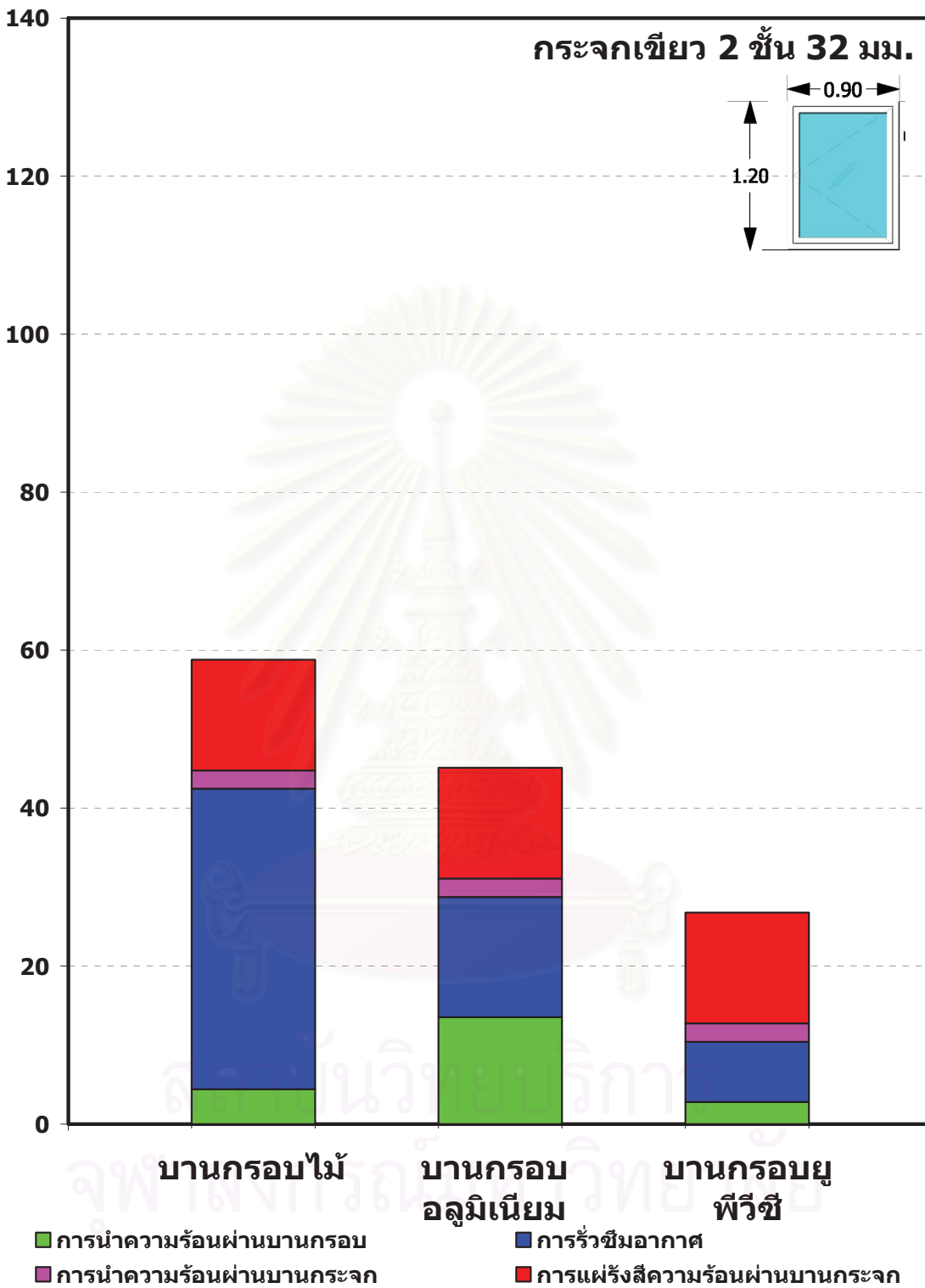
แผนภูมิที่ 4-37 พลังงานไฟฟ้าที่ใช้ในการขัดความร้อนของช่องเปิดบานกรอบยูพีวีซี และกระเจ้าใส ชนิดต่าง ๆ ขนาด 0.90×2.00 เมตร ทางด้านทิศตะวันตก เดือนเมษายน ปี 2550

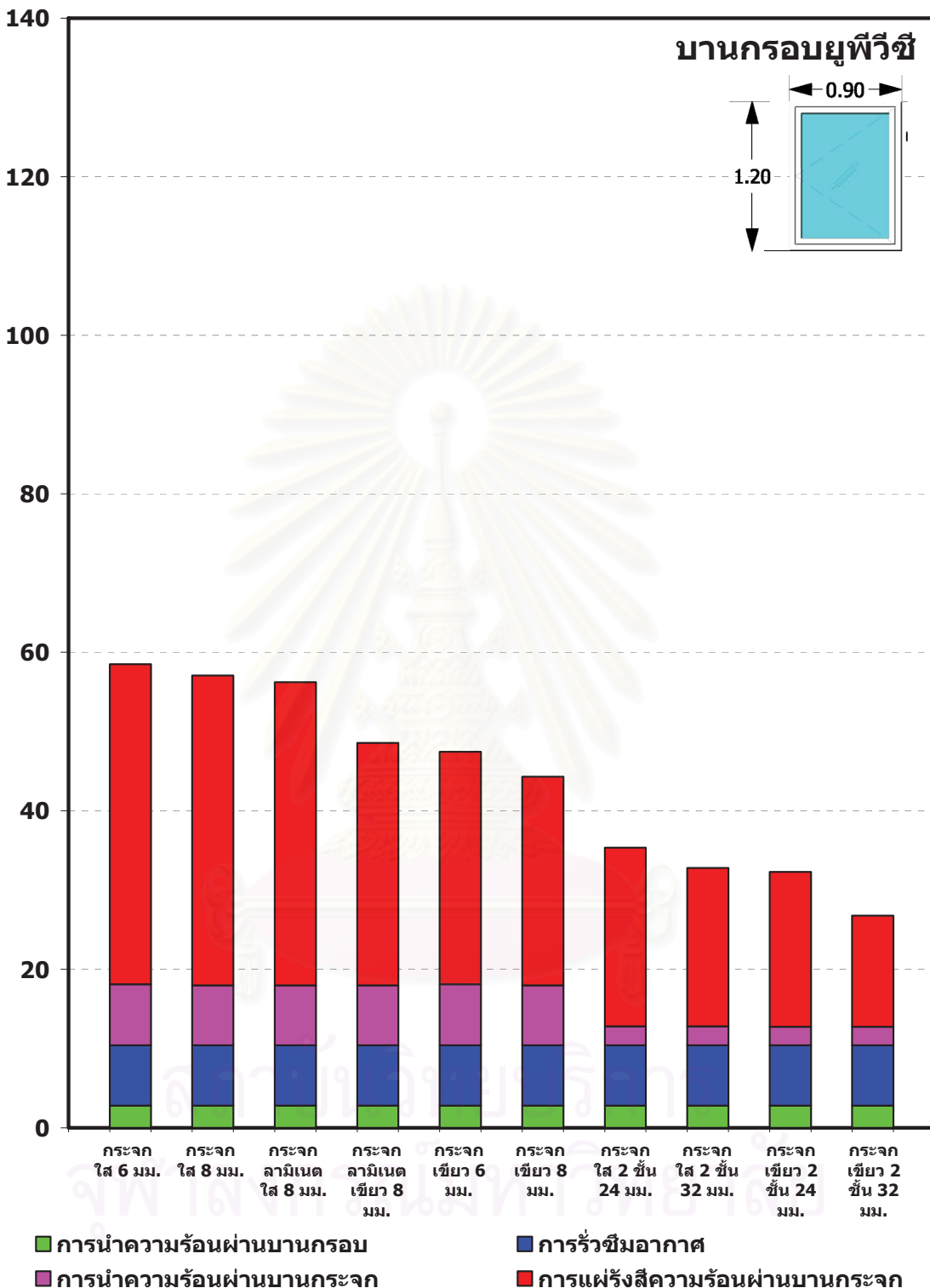


แผนภูมิที่ 4-38 พลังงานไฟฟ้าที่ใช้ในการขัดความร้อนของช่องเปิดบานกรอบบุญพิวชี และกระจากเชีย ชนิดต่าง ๆ ขนาด 0.90×2.00 เมตร ทางด้านทิศตะวันตก เดือนเมษายน ปี 2550

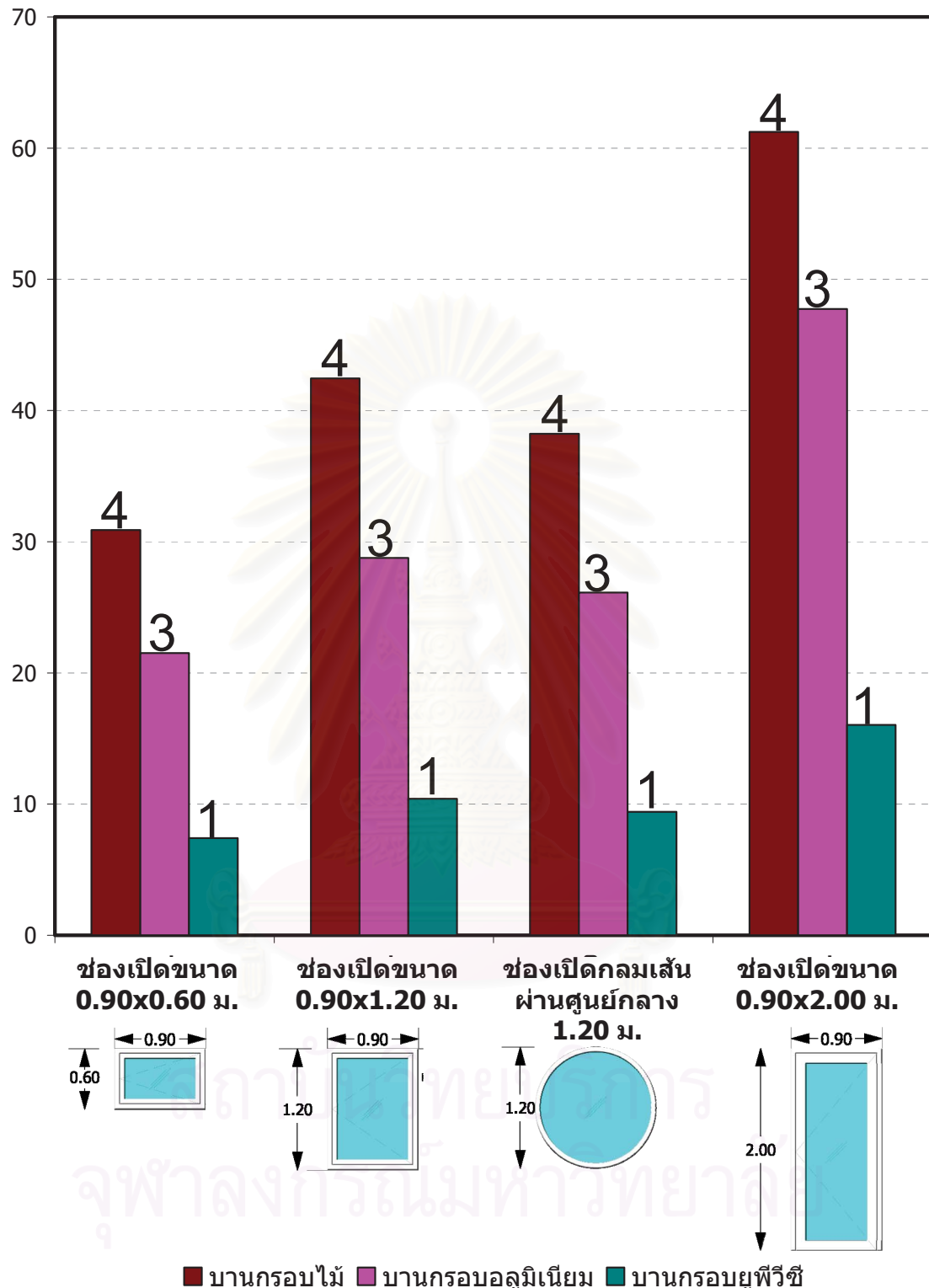


แผนภูมิที่ 4-39 เปรียบเทียบพลังงานเฉลี่ยในช่วงเวลา 0:80-17:00 นาฬิกา ที่ใช้ในการขจัดความร้อน
ของช่องเปิดขนาด 0.90×2.00 เมตร ทางด้านทิศตะวันตก เดือนเมษายน ปี 2550

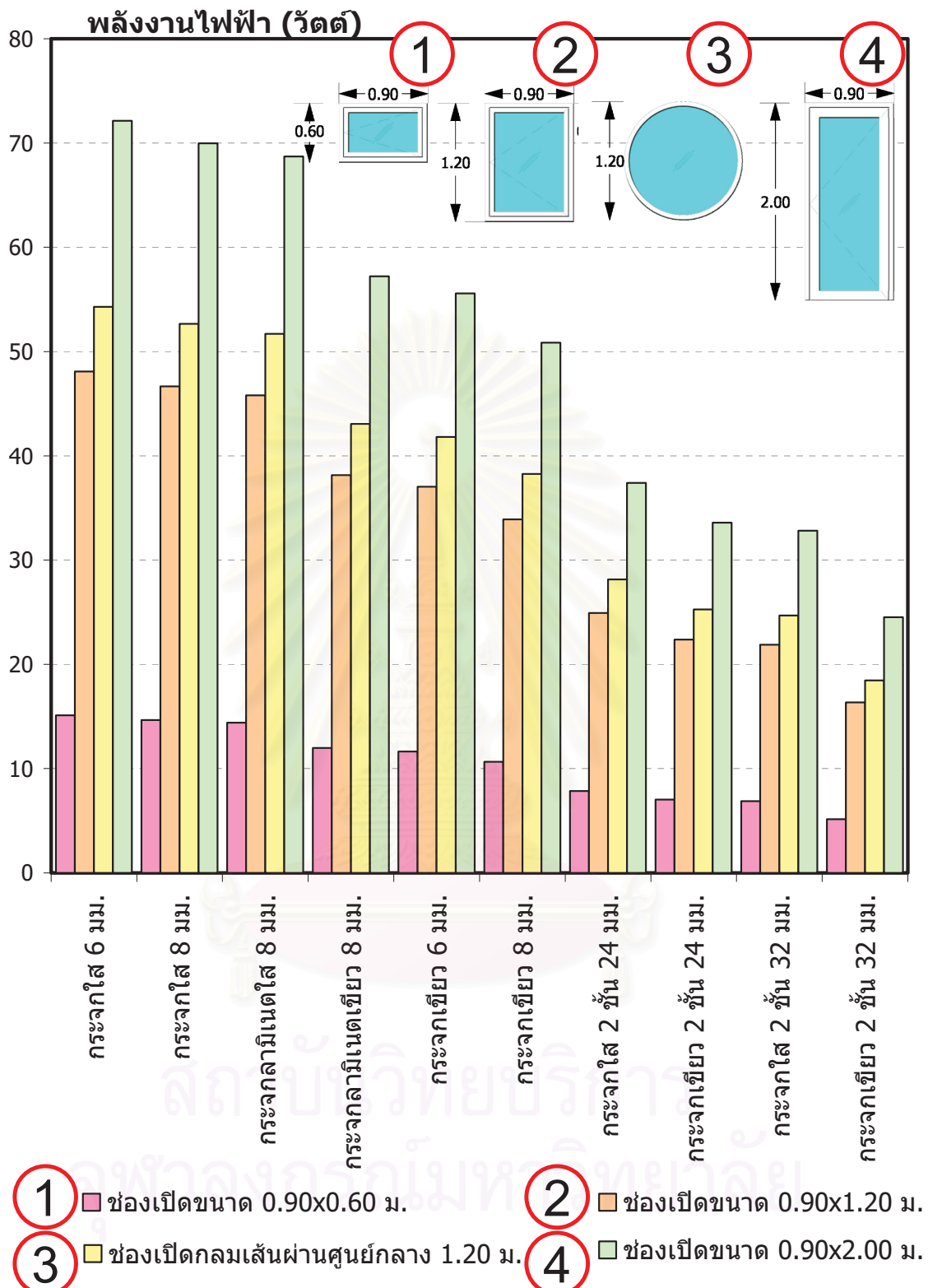




แผนภูมิที่ 4-41 เปรียบเทียบผลังงานเฉลี่ยที่ในช่วงเวลา 0:80-17:00 นาฬิกา ใช้ในการขจัดความร้อนของช่องเปิดที่ใช้บานกระจกชนิดต่าง ๆ ขนาด 0.90×1.20 เมตร ทางด้านทิศตะวันตก เดือนเมษายน ปี 2550



แผนภูมิที่ 4-42 เปรียบเทียบอัตราส่วนของพลังงานเฉลี่ยในช่วงเวลา 0:80-17:00 นาฬิกา ที่ใช้ในการขัดความร้อนของช่องเปิดผ่านบานกรอบ ทางด้านทิศตะวันตก เดือนเมษายน ปี 2550 พ布ว่า อัตราส่วนพลังงานไฟฟ้าระหว่างบานกรอบไม้ อลูมิเนียม และยูพีวีซี เท่ากับ 4:3:1



แผนภูมิที่ 4-43 เปรียบเทียบอัตราส่วนของพลังงานเฉลี่ยในช่วงเวลา 0:80-17:00 นาฬิกา ที่ใช้ในการ
จำกัดความร้อนของช่องเปิดผ่านบานกระเจ้า ทางด้านทิศตะวันตก เดือนเมษายน ปี 2550

สรุปผลการถ่ายเทความร้อน ความชื้น และการใช้พลังงานเพื่อขัดความร้อนของช่องเปิด

ผลการศึกษาด้านการถ่ายเทความร้อน และการใช้พลังงานเพื่อขัดความร้อนของช่องเปิดสามารถแบ่งการพิจารณาได้ 2 ส่วนคือ ส่วนบนกรอบ และส่วนบานกระจก

การพิจารณาในส่วนบนกรอบ จากแผนภูมิที่ 4-40 พบว่าสัดส่วนเปิดที่มีผลต่อการใช้พลังงานในการขัดความร้อนจากมากไปน้อยคือ ช่องเปิดบานกรอบไม่บานกรอบอลูมิเนียม และบานกรอบบัฟเฟอร์วีซี ตามลำดับ ตัวแปรที่มีอิทธิพลคือ ค่าสัมประสิทธิ์การถ่ายเทความร้อน ($U\text{-value}$) ของบานกรอบ และอัตราการรั่วซึมอากาศของช่องเปิดโดยบานกรอบไม่มีอัตราการรั่วซึมอากาศสูงส่งผลให้การใช้พลังงานเพื่อขัดความร้อนสูง ส่วนบานกรอบอลูมิเนียมการนำความร้อนผ่านบานกรอบสูงส่งผลให้การใช้พลังงานเพื่อขัดความร้อนสูง เช่นกัน โดยอัตราส่วนพลังงานของบานกรอบไม่อลูมิเนียม และบัฟเฟอร์วีซี เท่ากับ 4:3:1

การพิจารณาในส่วนบานกระจก จากแผนภูมิที่ 4-41 พบว่าพลังงานที่ใช้ในการขัดความร้อนของช่องเปิดจากมากไปน้อยคือ ช่องเปิดบานกระจกใส 6 มม. กระจกใส 8 มม. กระจก laminate 8 มม. กระจก laminate เขียว 8 มม. กระจกเขียว 6 มม. กระจกเขียว 8 มม. กระจกใส 2 ชั้น 24 มม. กระจกใส 2 ชั้น 32 มม. กระจกเขียว 2 ชั้น 24 มม. และกระจกเขียว 2 ชั้น 32 มม. ตามลำดับ ตัวแปรที่มีอิทธิพลคือ ค่าสัมประสิทธิ์การถ่ายเทความร้อน ($U\text{-value}$) ของบานกระจก และค่าสัมประสิทธิ์การบังเดด (SC) ของบานกระจก อัตราส่วนระหว่างบานกระจกใส 6 มม. และบานกระจกเขียว 2 ชั้น 32 มม คือ 2.94:1

**สถาบันวิทยบริการ
จุฬาลงกรณ์มหาวิทยาลัย**

4.1.2. การวิเคราะห์ปริมาณพลังงานที่ได้รับจากการใช้แสงธรรมชาติผ่านช่องเปิดเทียบเท่ากับพลังงานไฟฟ้าที่ลดได้จากแสงประดิษฐ์

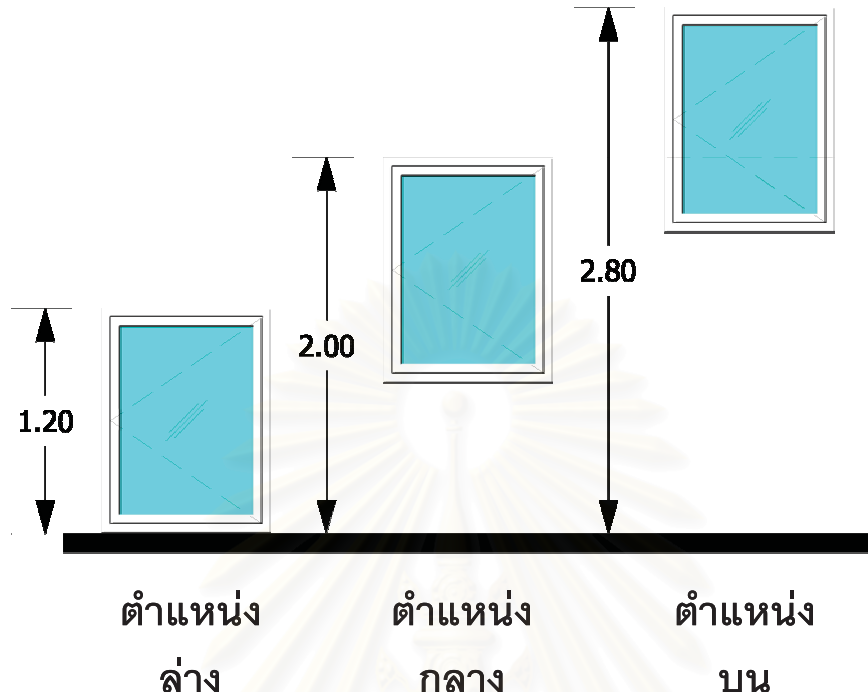
การศึกษาการใช้ประโยชน์จากแสงธรรมชาติในอาคารเป็นการหาพลังงานไฟฟ้าที่อาคารสามารถลดการใช้พลังงานไฟฟ้าจากแสงประดิษฐ์ เปรียบเสมือนอาคารได้รับพลังงานจากแสงธรรมชาติเทียบเท่าพลังงานไฟฟ้าจากแสงประดิษฐ์

การศึกษาแสงธรรมชาติทำการศึกษาช่องเปิด 4 ชนิด เช่นเดียวกับการวิเคราะห์ปริมาณพลังงานที่เกิดจากการถ่ายเทความร้อนผ่านช่องเปิดดังที่แสดงในรูปที่ 4-1 โดยช่องเปิดดังกล่าวติดตั้งใน 3 ตำแหน่ง คือตำแหน่งล่าง ตำแหน่งกลาง และตำแหน่งบน ดังที่แสดงในรูปที่ 4-3 4-7 4-11 และ 4-15 แนวทางการวิจัยทำโดยหาระดับความส่องสว่างด้วยวิธีหาตัวประกอบแสงธรรมชาติ (daylight factor) จากแบบจำลองซึ่งมีค่าการส่องสว่างที่อนแสดงของผ้าเพดาน ผนัง และพื้น ที่ร้อยละ 80, 50 และ 20 ตามลำดับ



รูปที่ 4-2 เครื่องมือที่ใช้ทดสอบแสงธรรมชาติ

ระดับความส่องสว่างจากแสงธรรมชาติ และพลังงานไฟฟ้าเทียบเท่าแสง
ประดิษฐ์ของช่องเปิดขนาด 0.90×1.20 เมตร



รูปที่ 4-3 ตำแหน่งติดตั้งสำหรับทดสอบช่องเปิดขนาด 0.90×1.20 เมตร



รูปที่ 4-4 การทดสอบระดับความส่องสว่างของช่องเปิด 0.90×1.20 เมตร ที่ตำแหน่งล่าง

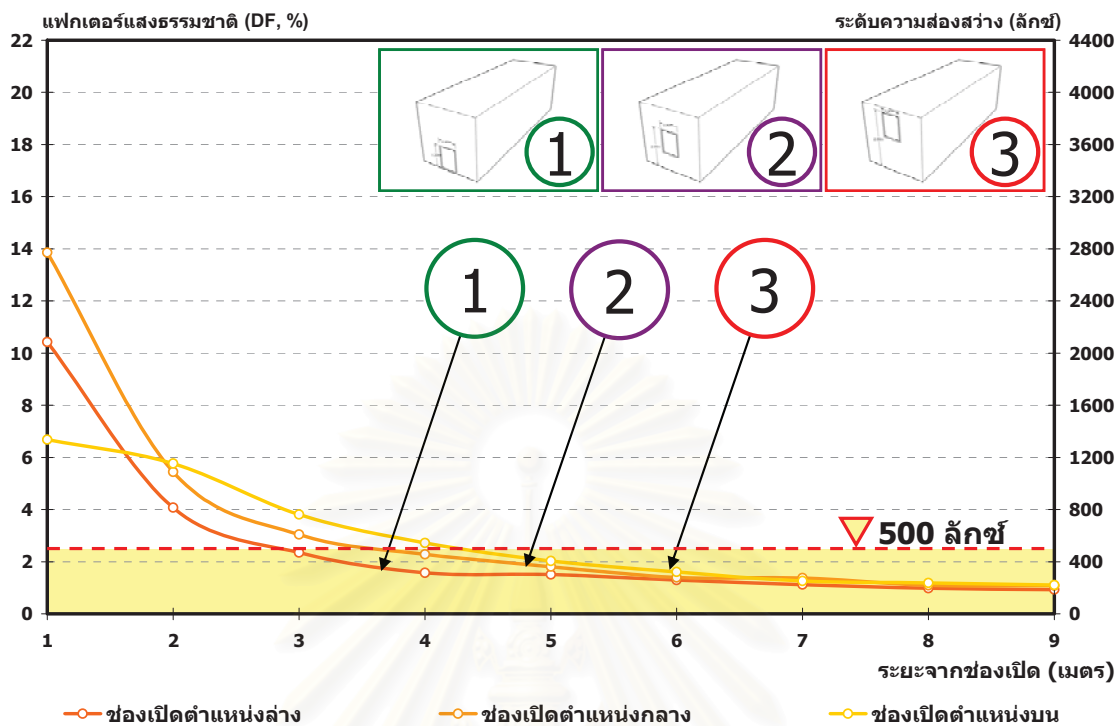


รูปที่ 4-5 การทดสอบระดับความส่องสว่างของช่องเปิด 0.90x1.20 เมตร ที่ตำแหน่งกลาง



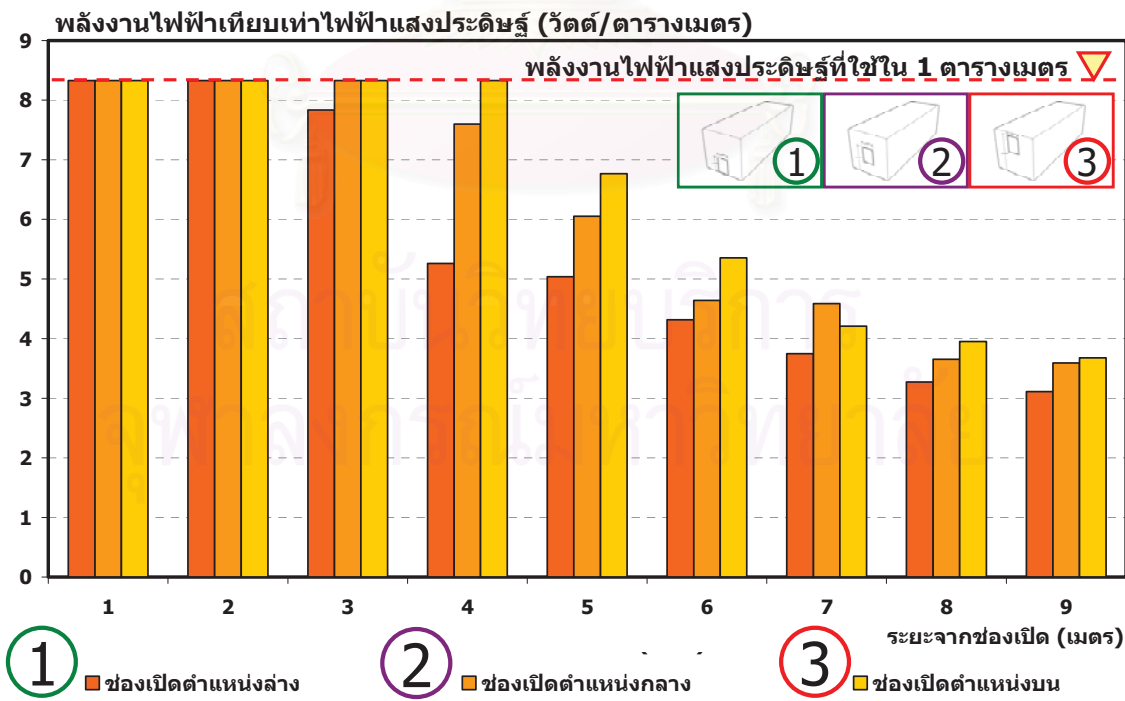
รูปที่ 4-6 การทดสอบระดับความส่องสว่างของช่องเปิด 0.90x1.20 เมตร ที่ตำแหน่งบน

ระดับความส่องสว่างของช่องเปิดขนาด 0.90×1.20 เมตร กระจกใส 6 มม.



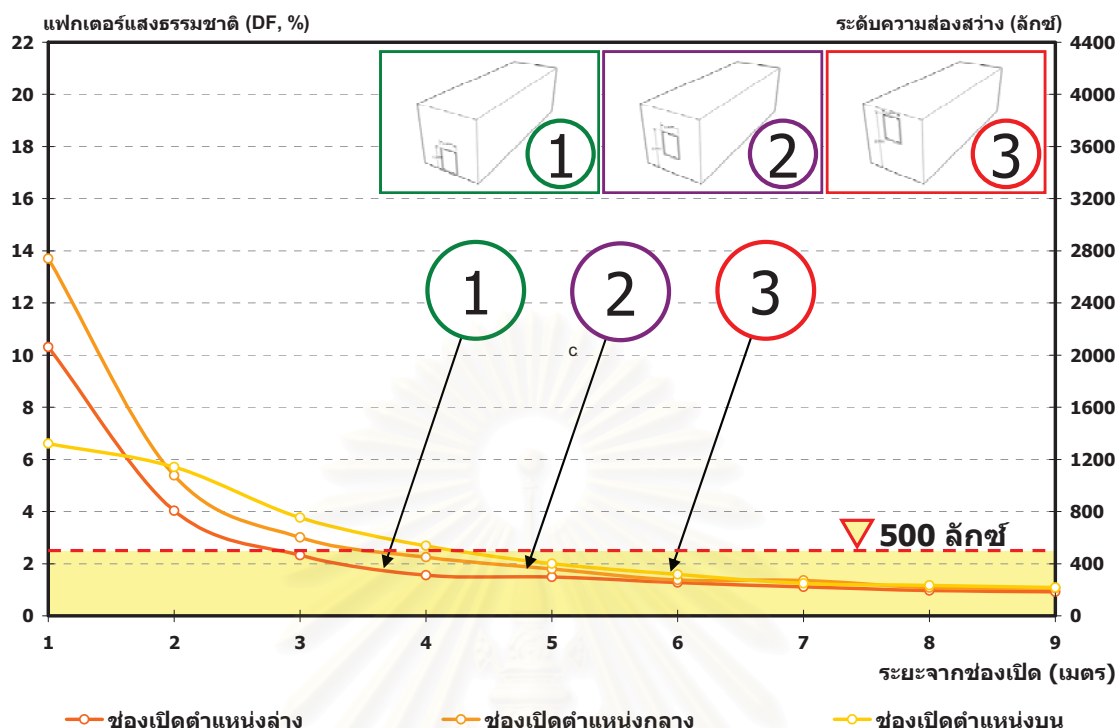
แผนภูมิที่ 4-44 ระดับความส่องสว่างของช่องเปิดขนาด 0.90×1.20 เมตร กระจกใส 6 มม. ติดตั้ง 3 ระดับ 1 ตำแหน่งล่าง 2 ตำแหน่งกลาง และ 3 ตำแหน่งบน

พลังงานไฟฟ้าที่ได้รับจากแสงธรรมชาติของช่องเปิดขนาด 0.90×1.20 เมตร บนกระจกใส 6 มม.



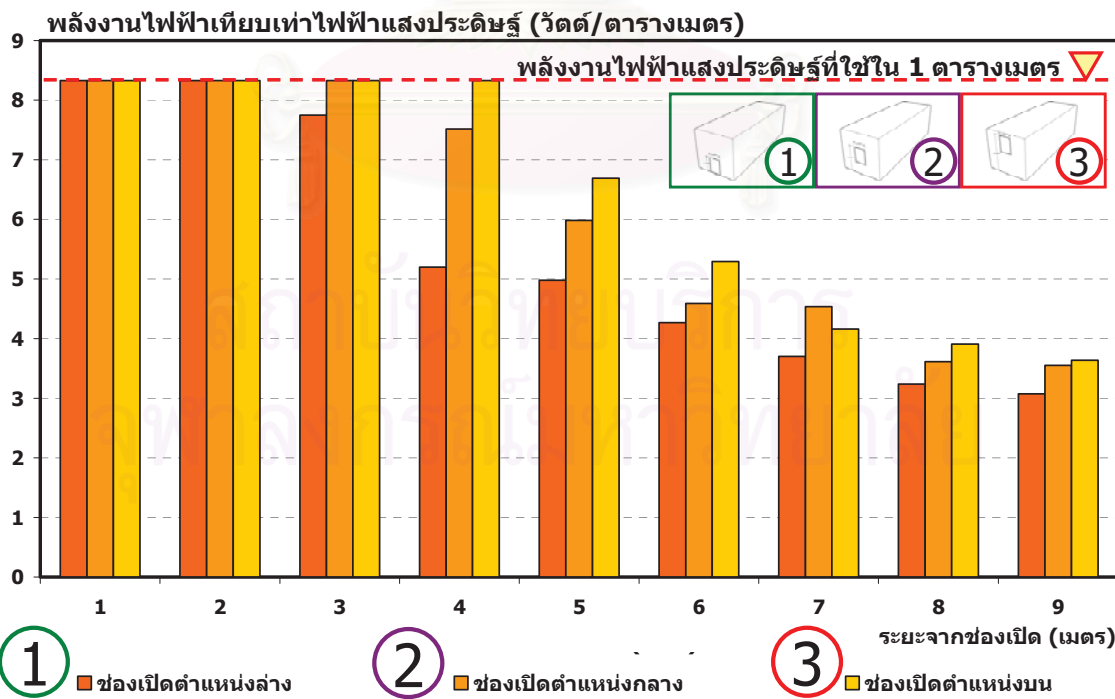
แผนภูมิที่ 4-45 พลังงานไฟฟ้าจากแสงธรรมชาติ เทียบเท่าแสงประดิษฐ์ ของช่องเปิดขนาด 0.90×1.20 เมตร กระจกใส 6 มม.

ระดับความส่องสว่างของช่องเปิดขนาด 0.90×1.20 เมตร กระจกใส 8 มม.



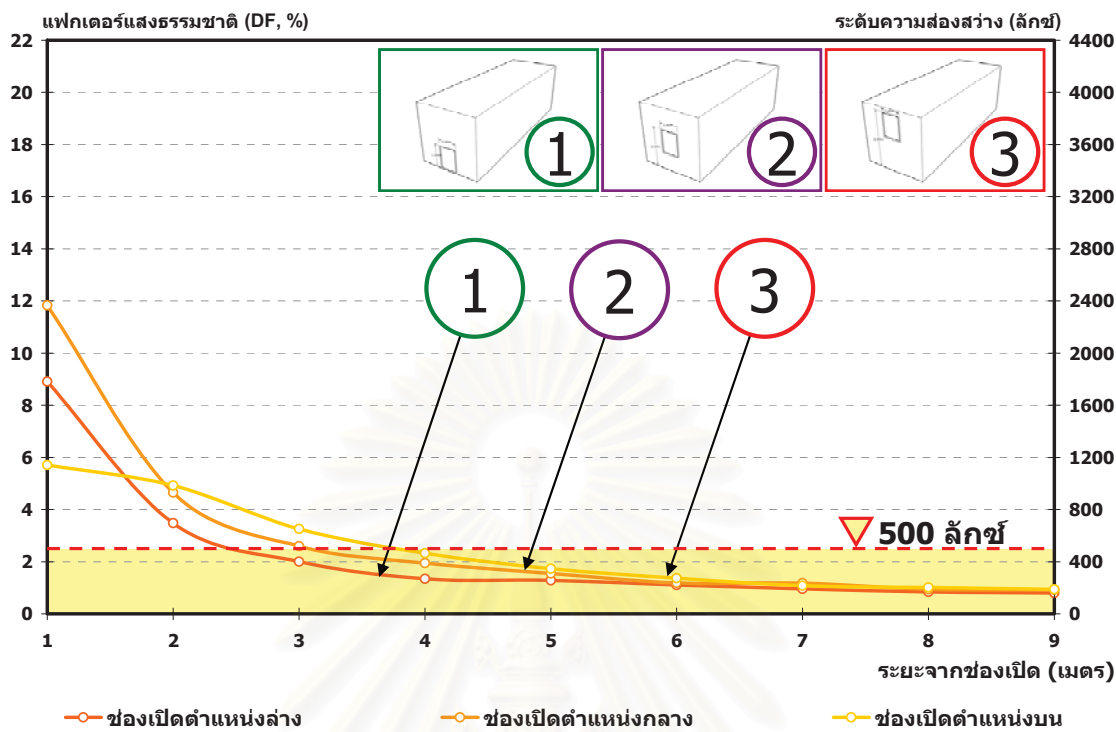
แผนภูมิที่ 4-46 ระดับความส่องสว่างของช่องเปิดขนาด 0.90×1.20 เมตร กระจกใส 8 มม. ติดตั้ง 3 ระดับ 1 ตำแหน่งล่าง 2 ตำแหน่งกลาง และ 3 ตำแหน่งบน

พลังงานไฟฟ้าที่ได้รับจากแสงธรรมชาติของช่องเปิดขนาด 0.90×1.20 เมตร บนกระจกใส 8 มม.



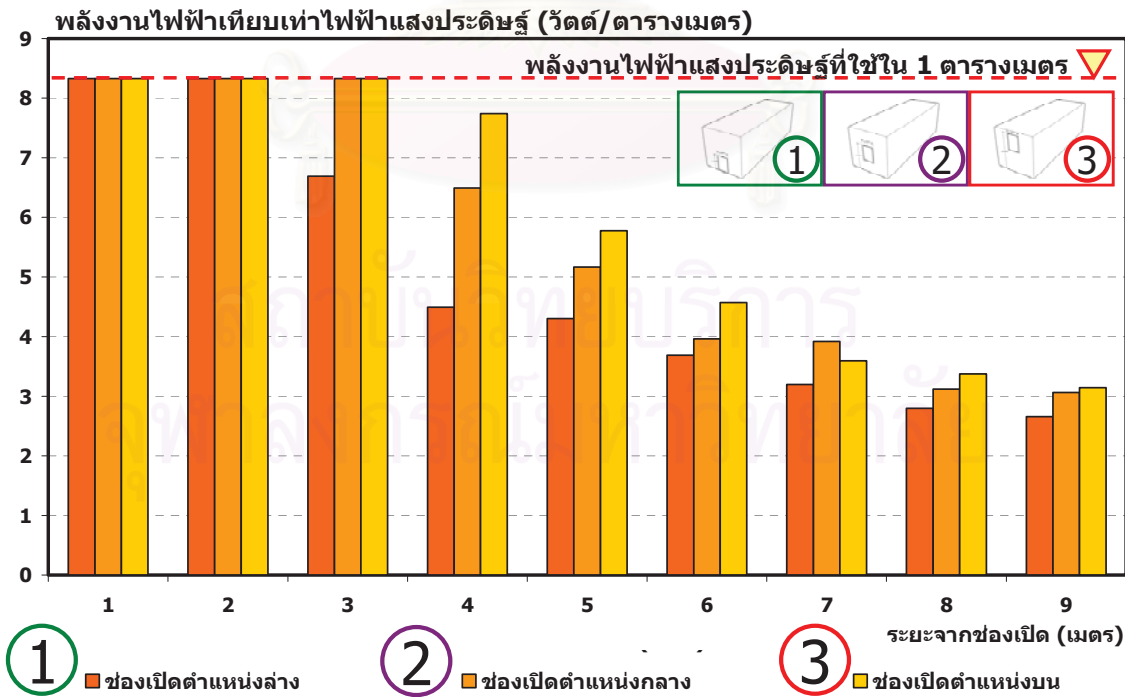
แผนภูมิที่ 4-47 พลังงานไฟฟ้าจากแสงธรรมชาติ เทียบเท่าแสงประดิษฐ์ ของช่องเปิดขนาด 0.90×1.20 เมตร กระจกใส 8 มม.

ระดับความส่องสว่างของช่องเปิดขนาด 0.90×1.20 เมตร กระจายเขียว 6 มม.



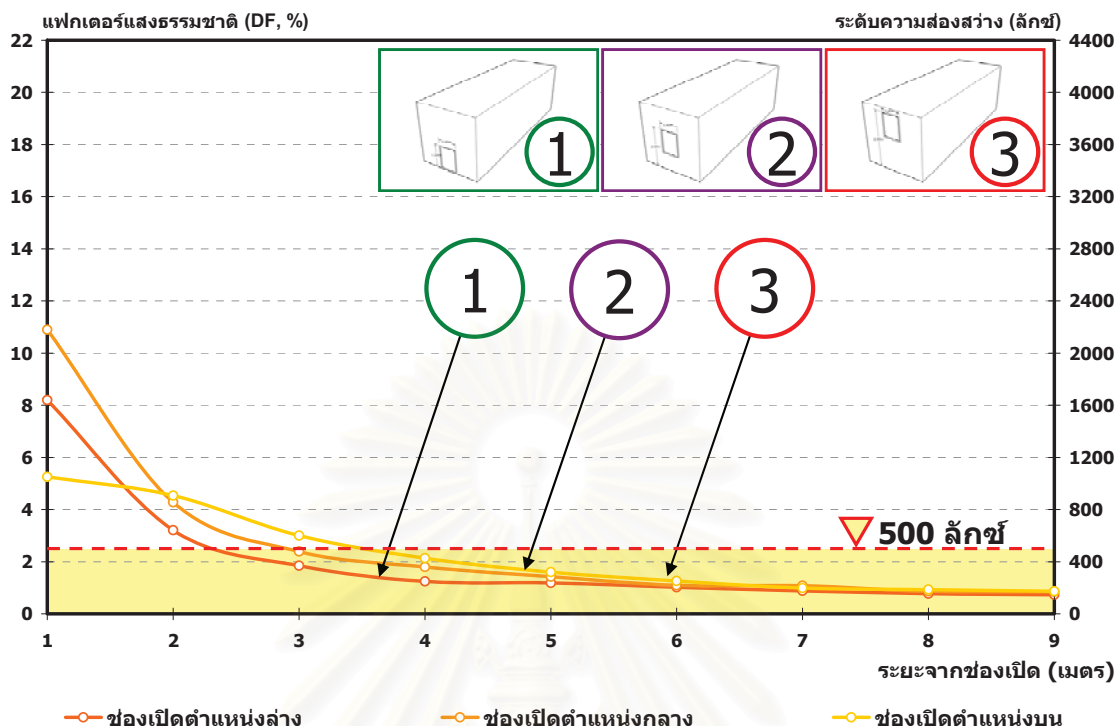
แผนภูมิที่ 4-48 ระดับความส่องสว่างของช่องเปิดขนาด 0.90×1.20 เมตร กระจายเขียว 6 มม. ติดตั้ง 3 ระดับ 1 ตัวแทนงล่าง 2 ตัวแทนงกลาง และ 3 ตัวแทนงบน

พลังงานไฟฟ้าที่ได้รับจากแสงธรรมชาติของช่องเปิดขนาด 0.90×1.20 เมตร บนกระจกเขียว 6 มม.



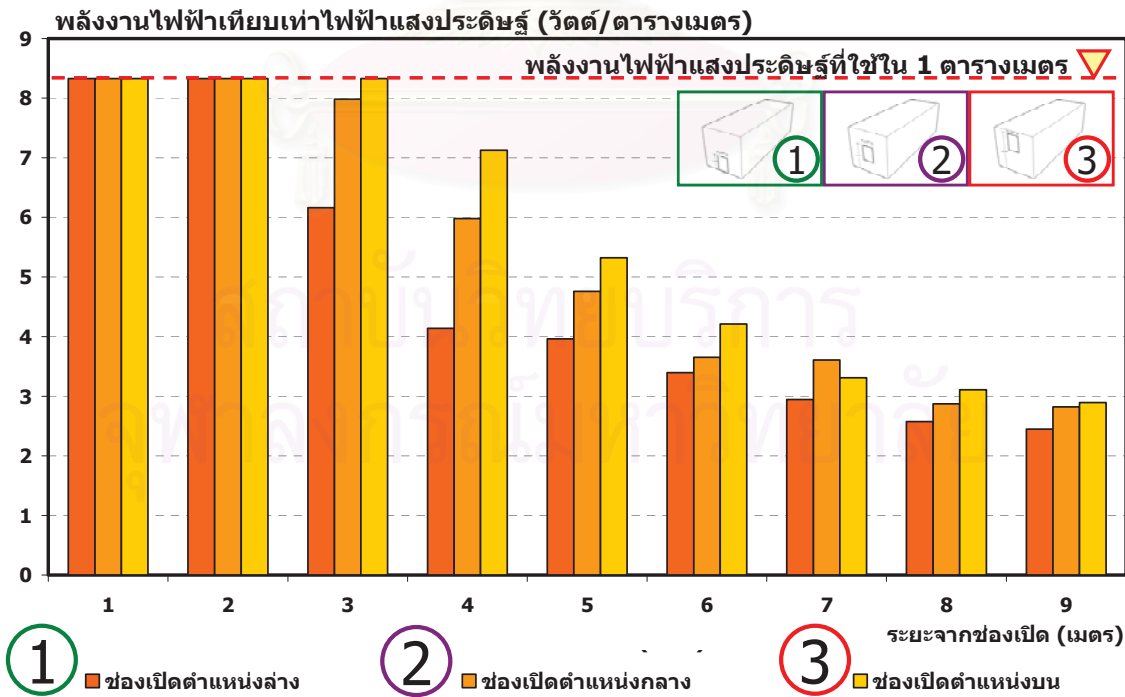
แผนภูมิที่ 4-49 พลังงานไฟฟ้าจากแสงธรรมชาติ เทียบเท่าแสงประดิษฐ์ ของช่องเปิดขนาด 0.90×1.20 เมตร กระจกเขียว 6 มม.

ระดับความส่องสว่างของช่องเปิดขนาด 0.90×1.20 เมตร กระจายเขียว 8 มม.



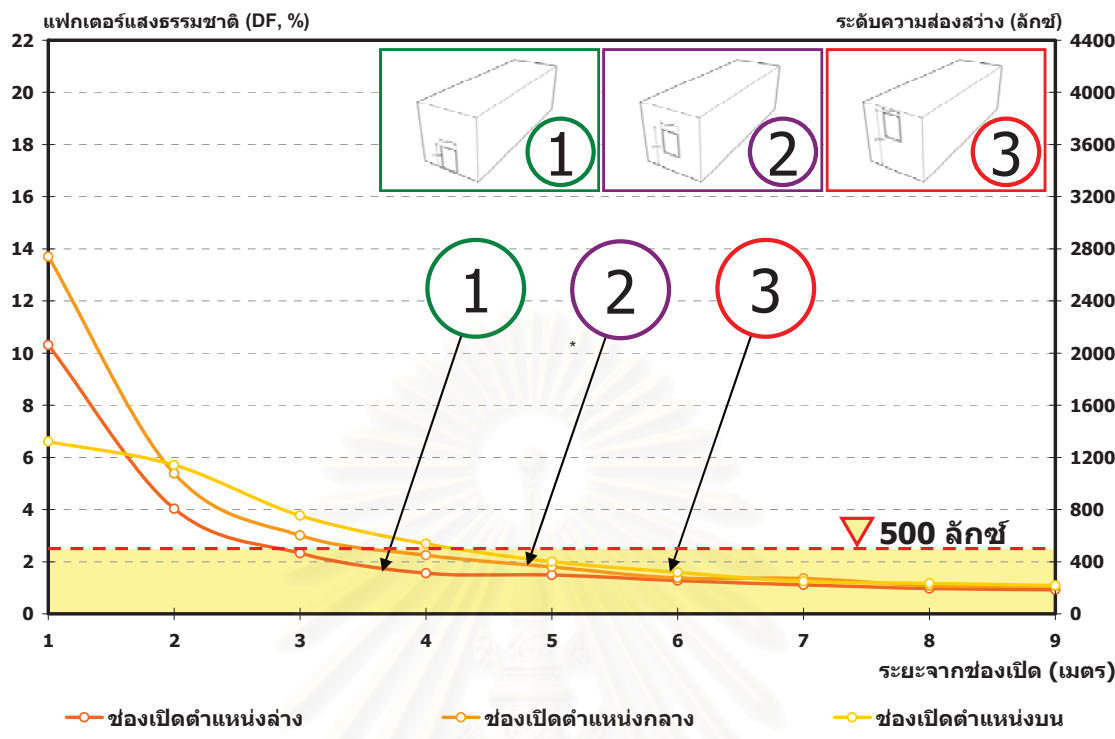
แผนภูมิที่ 4-50 ระดับความส่องสว่างของช่องเปิดขนาด 0.90×1.20 เมตร กระจายเขียว 8 มม. ติดตั้ง 3 ระดับ 1 ตำแหน่งล่าง 2 ตำแหน่งกลาง และ 3 ตำแหน่งบน

พลังงานไฟฟ้าที่ได้รับจากแสงธรรมชาติของช่องเปิดขนาด 0.90×1.20 เมตร
บนกระจายเขียว 8 มม.



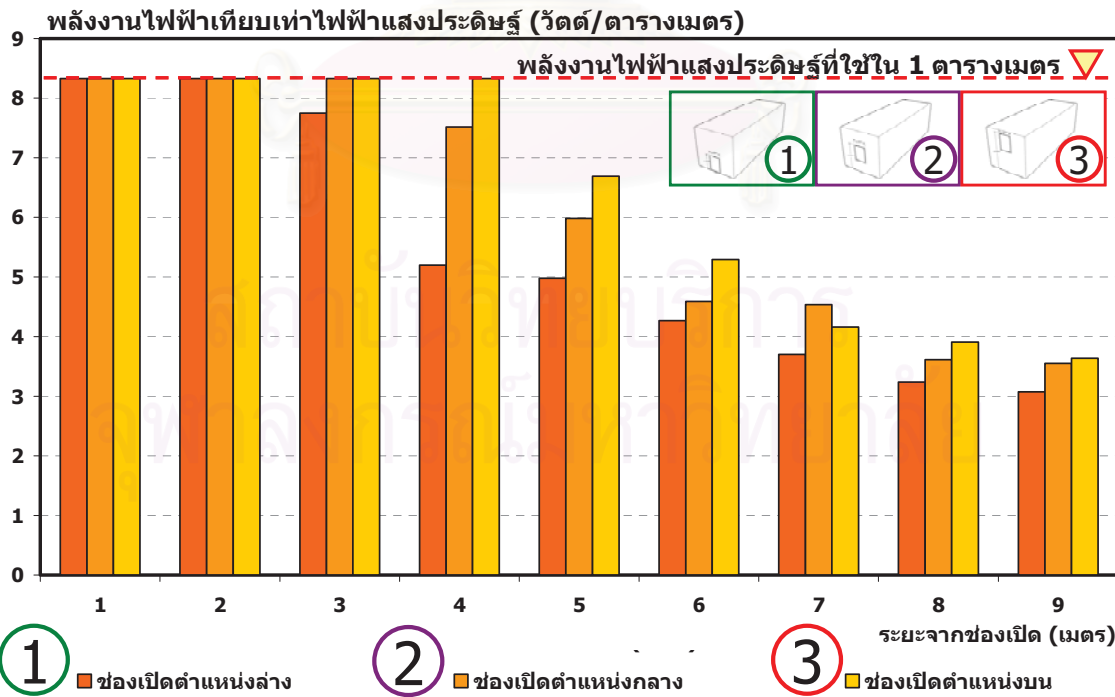
แผนภูมิที่ 4-51 พลังงานไฟฟ้าจากแสงธรรมชาติ เทียบเท่าแสงประดิษฐ์ ของช่องเปิดขนาด 0.90×1.20 เมตร กระจายเขียว 8 มม.

ระดับความส่องสว่างของช่องเปิดขนาด 0.90×1.20 เมตร กระจกalamini เท�ี่น 8 มม.



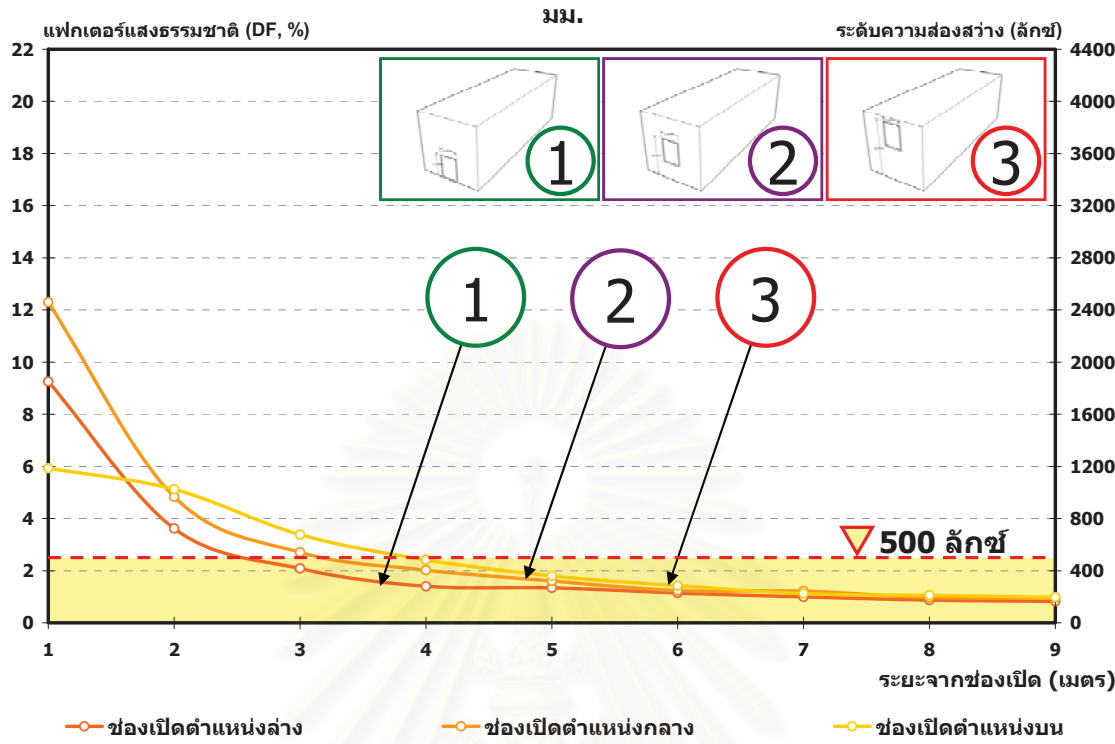
แผนภูมิที่ 4-52 ระดับความส่องสว่างของช่องเปิดขนาด 0.90×1.20 เมตร กระจกalamini เท�ี่น 8 มม.
ติดตั้ง 3 ระดับ 1 ตำแหน่งล่าง 2 ตำแหน่งกลาง และ 3 ตำแหน่งบน

พลังงานไฟฟ้าที่ได้รับจากแสงธรรมชาติของช่องเปิดขนาด 0.90×1.20 เมตร นานกระจกalamini เท�ี่น 8 มม.



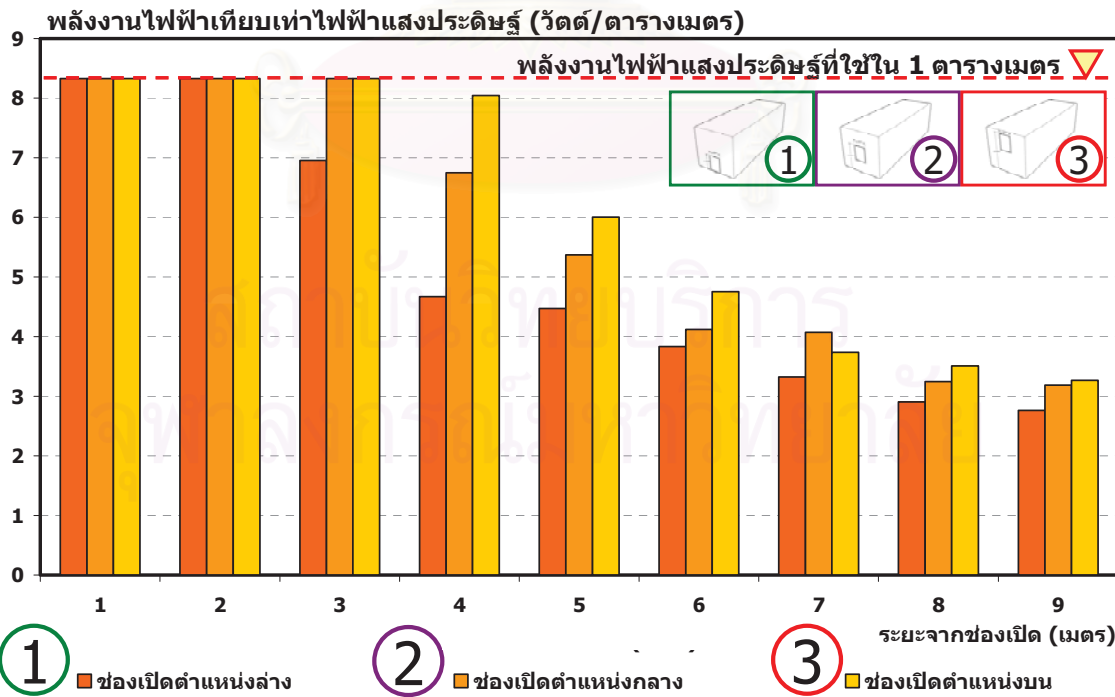
แผนภูมิที่ 4-53 พลังงานไฟฟ้าจากแสงธรรมชาติ เทียบเท่าแสงประดิษฐ์ ของช่องเปิดขนาด 0.90×1.20 เมตร กระจกalamini เท�ี่น 8 มม.

ระดับความส่องสว่างของช่องเปิดขนาด 0.90×1.20 เมตร กระจกalamini เนตเขียว 8 มม.



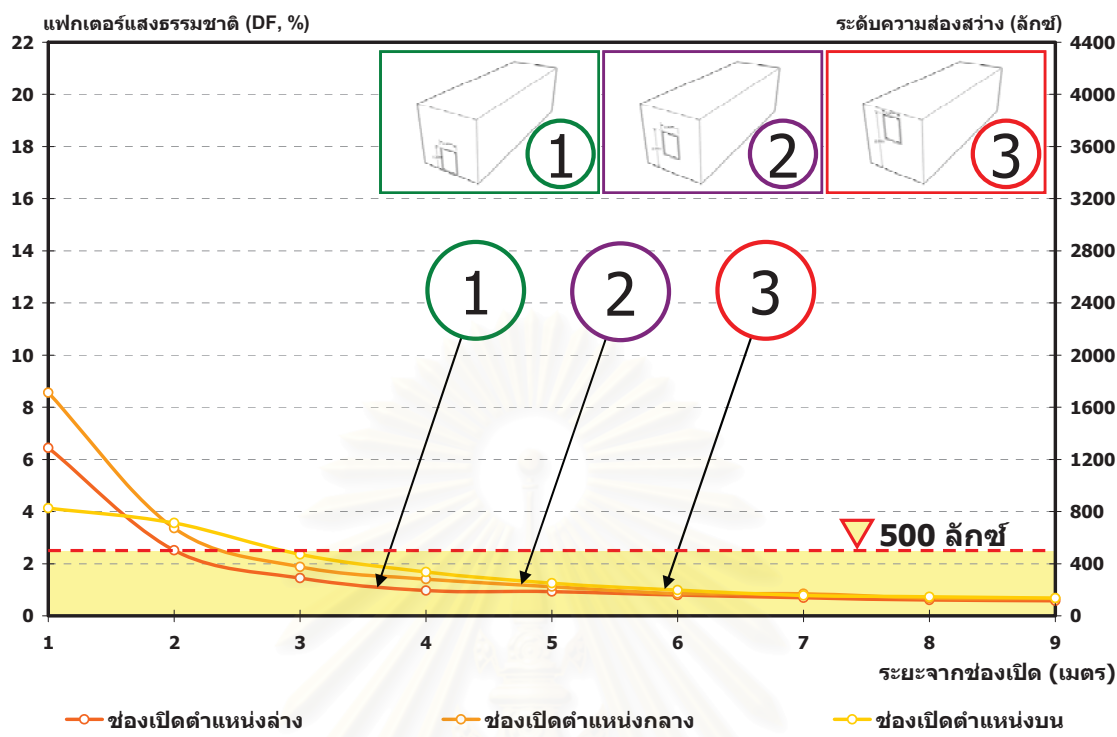
แผนภูมิที่ 4-54 ระดับความส่องสว่างของช่องเปิดขนาด 0.90×1.20 เมตร กระจกalamini เนตเขียว 8 มม.
ติดตั้ง 3 ระดับ 1 ตำแหน่งล่าง 2 ตำแหน่งกลาง และ 3 ตำแหน่งบน

พลังงานไฟฟ้าที่ได้รับจากแสงธรรมชาติของช่องเปิดขนาด 0.90×1.20 เมตร
บนกระจกalamini เนตเขียว 8 มม.



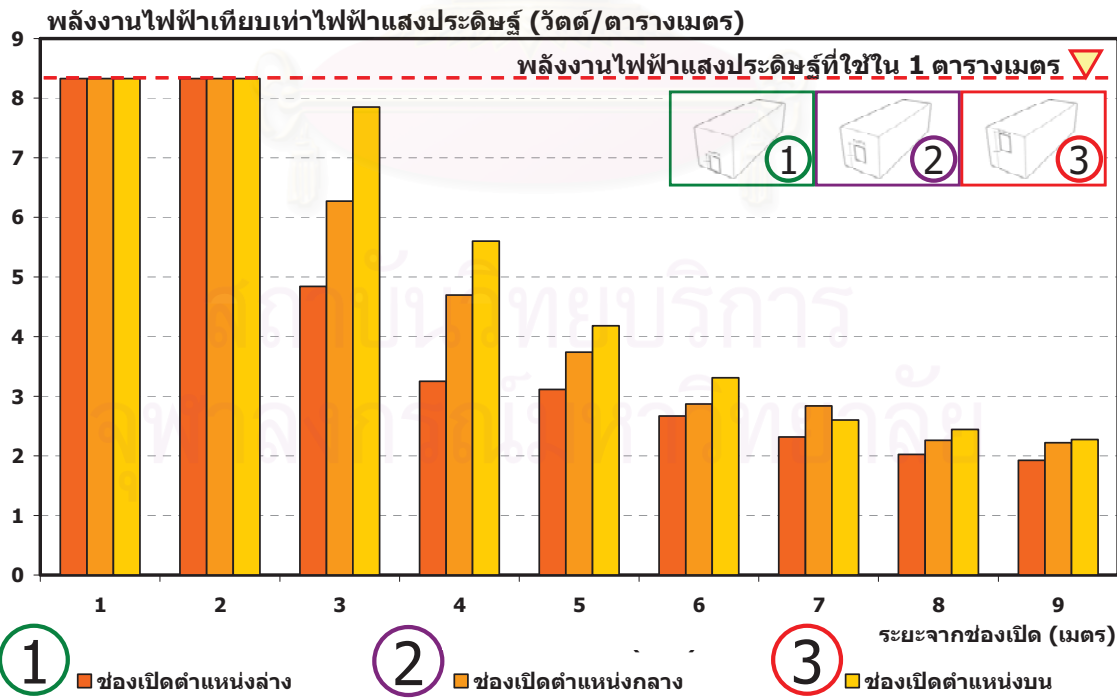
แผนภูมิที่ 4-55 พลังงานไฟฟ้าจากแสงธรรมชาติ เทียบเท่าแสงประดิษฐ์ ของช่องเปิดขนาด 0.90×1.20 เมตร กระจกalamini เนตเขียว 8 มม.

ระดับความส่องสว่างของช่องเปิดขนาด 0.90×1.20 เมตร กระจายใส่ 2 ชั้น 24 มม.



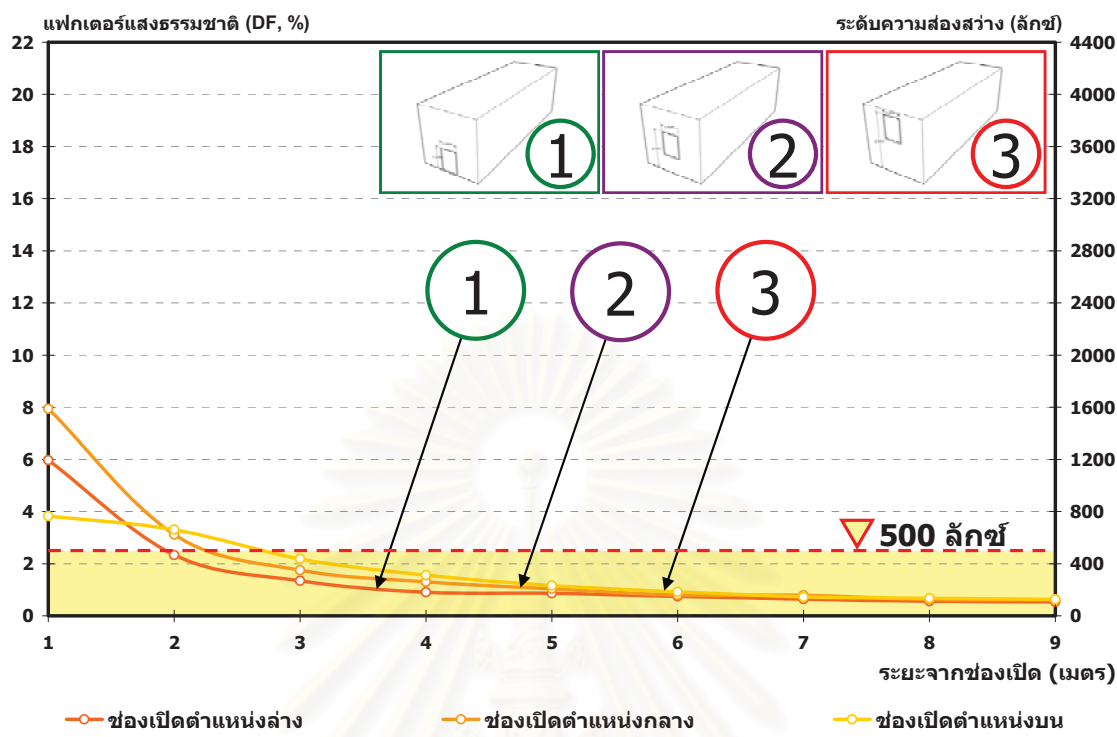
แผนภูมิที่ 4-56 ระดับความส่องสว่างของช่องเปิดขนาด 0.90×1.20 เมตร กระจายใส่ 2 ชั้น 24 มม.
ติดตั้ง 3 ระดับ 1 ตัวแน่นล่าง 2 ตัวแน่นกลาง และ 3 ตัวแน่นบน

พลังงานไฟฟ้าที่ได้รับจากแสงธรรมชาติของช่องเปิดขนาด 0.90×1.20 เมตร
นานกระจายใส่ 2 ชั้น 24 มม.



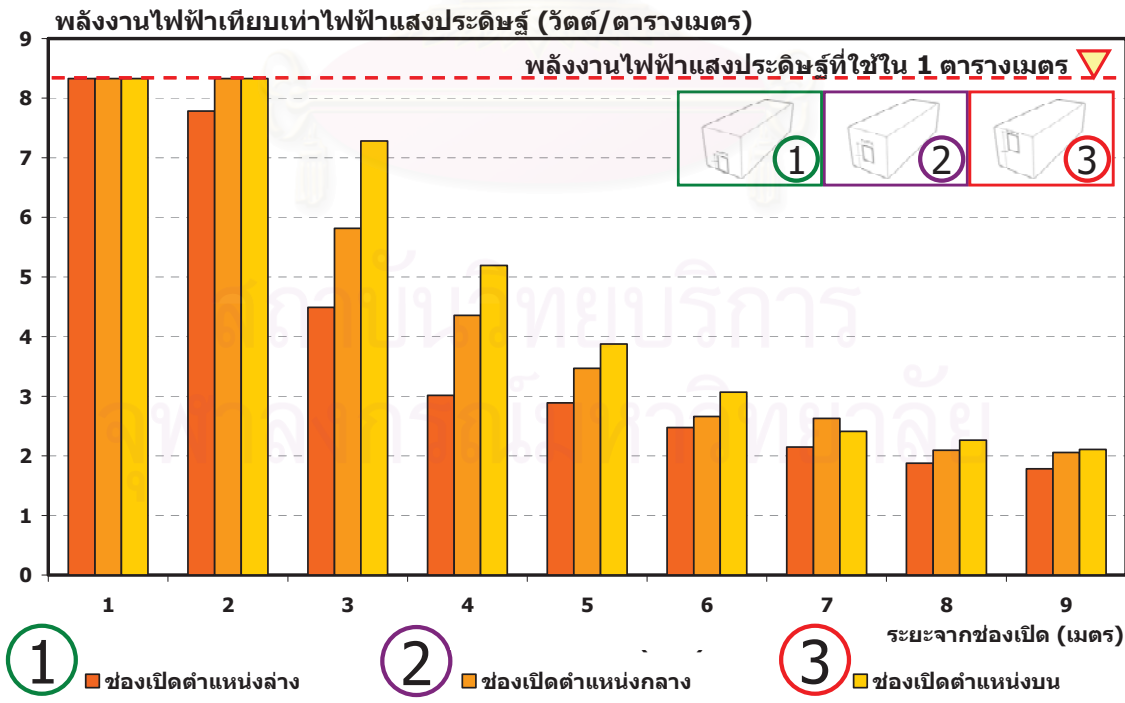
แผนภูมิที่ 4-57 พลังงานไฟฟ้าจากแสงธรรมชาติ เทียบเท่าแสงประดิษฐ์ ของช่องเปิดขนาด 0.90×1.20 เมตร กระจายใส่ 2 ชั้น 24 มม.

ระดับความส่องสว่างของช่องเปิดขนาด 0.90×1.20 เมตร กระจายใส่ 2 ชั้น 32 มม.



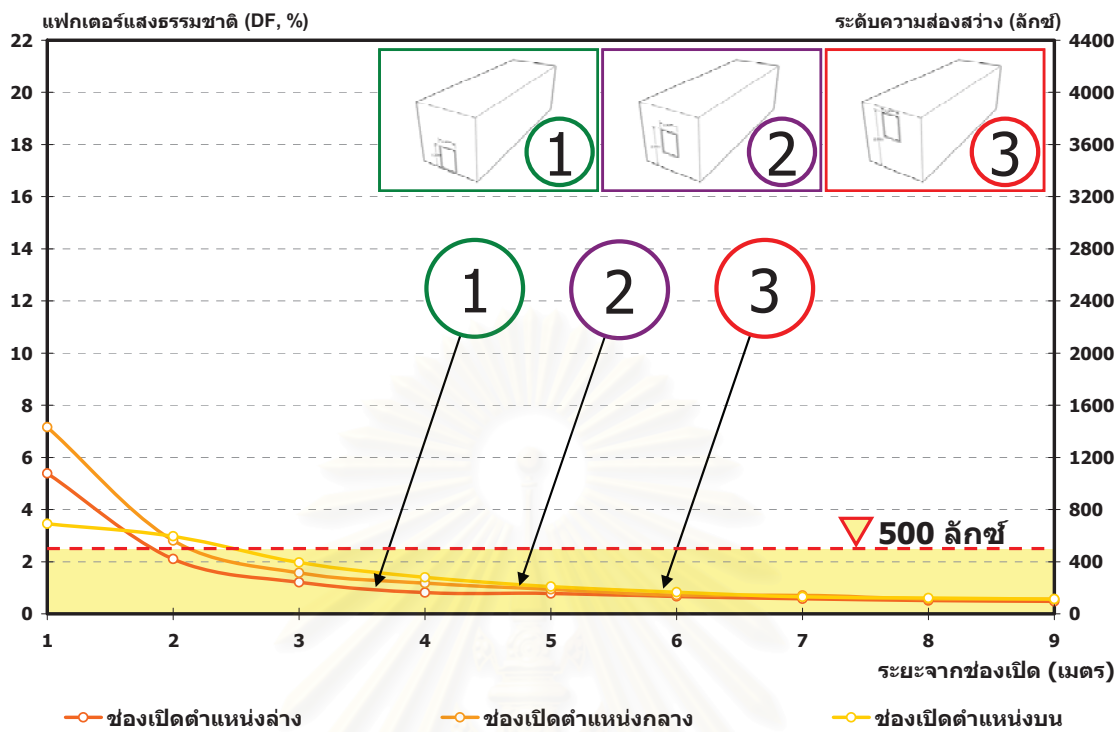
แผนภูมิที่ 4-58 ระดับความส่องสว่างของช่องเปิดขนาด 0.90×1.20 เมตร กระจายใส่ 2 ชั้น 32 มม.
ติดตั้ง 3 ระดับ 1 ตำแหน่งล่าง 2 ตำแหน่งกลาง และ 3 ตำแหน่งบน

พลังงานไฟฟ้าที่ได้รับจากแสงธรรมชาติของช่องเปิดขนาด 0.90×1.20 เมตร
บนกระจกใส 2 ชั้น 32 มม.



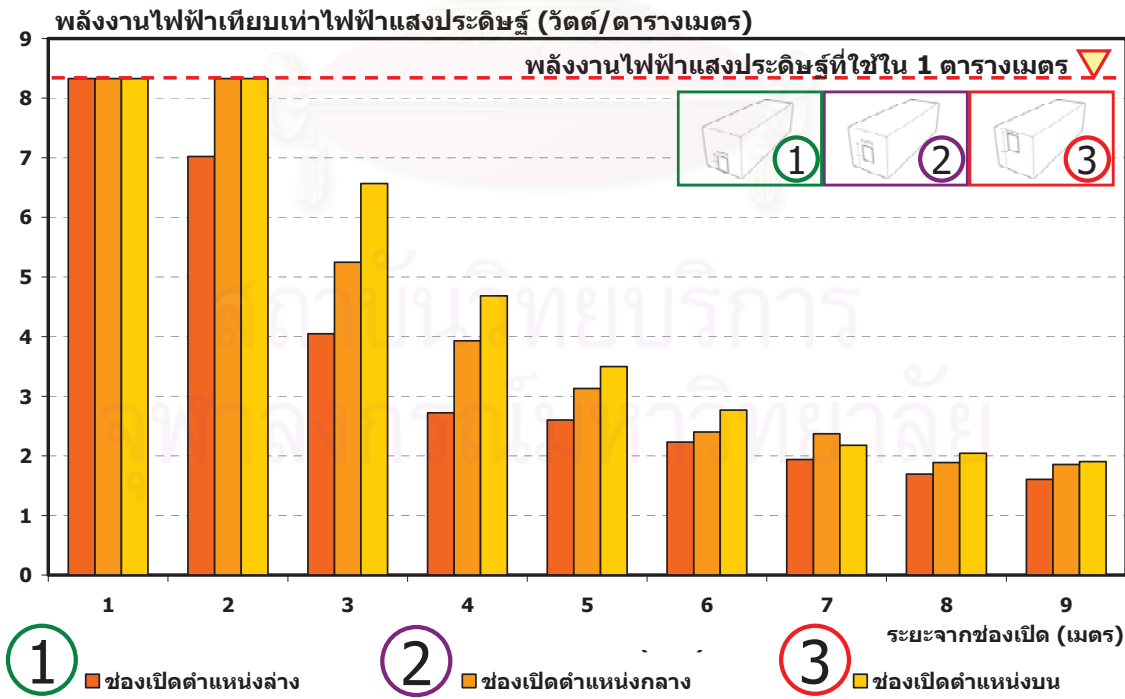
แผนภูมิที่ 4-59 พลังงานไฟฟ้าจากแสงธรรมชาติ เทียบเท่าแสงประดิษฐ์ ของช่องเปิดขนาด 0.90×1.20 เมตร กระจกใส 2 ชั้น 32 มม.

ระดับความส่องสว่างของช่องเปิดขนาด 0.90×1.20 เมตร กระจายเขียว 2 ชั้น 24 มม.



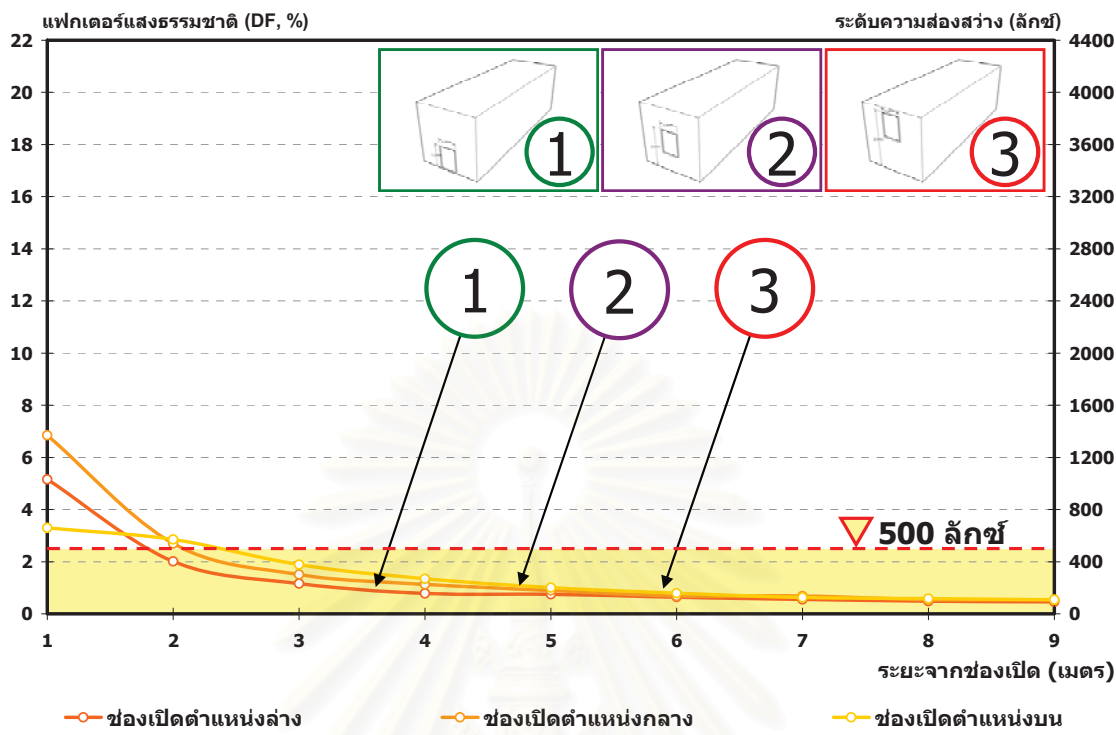
แผนภูมิที่ 4-60 ระดับความส่องสว่างของช่องเปิดขนาด 0.90×1.20 เมตร กระจายเขียว 2 ชั้น 24 มม.
ติดตั้ง 3 ระดับ 1 ตำแหน่งล่าง 2 ตำแหน่งกลาง และ 3 ตำแหน่งบน

พลังงานไฟฟ้าที่ได้รับจากแสงธรรมชาติของช่องเปิดขนาด 0.90×1.20 เมตร
บนกระจกเขียว 2 ชั้น 24 มม.



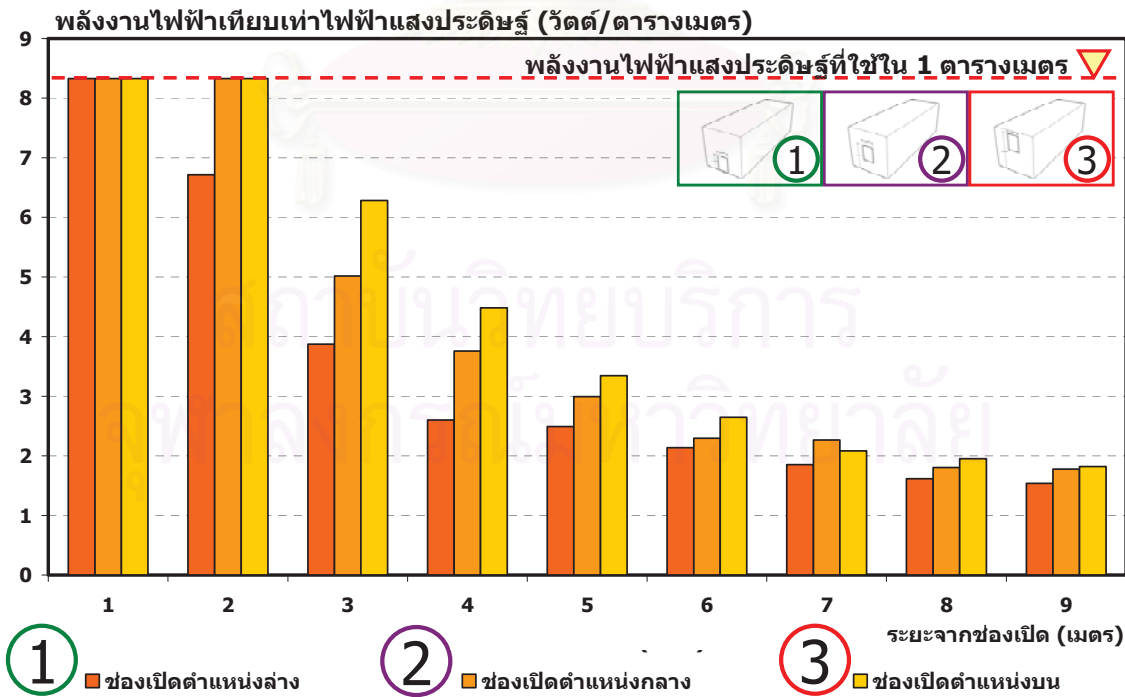
แผนภูมิที่ 4-61 พลังงานไฟฟ้าจากแสงธรรมชาติ เทียบเท่าแสงประดิษฐ์ ของช่องเปิดขนาด 0.90×1.20 เมตร กระจกเขียว 2 ชั้น 24 มม.

ระดับความส่องสว่างของช่องเปิดขนาด 0.90×1.20 เมตร กระจายเขียว 2 ชั้น 32 มม.



แผนภูมิที่ 4-62 ระดับความส่องสว่างของช่องเปิดขนาด 0.90×1.20 เมตร กระจายเขียว 2 ชั้น 32 มม.
ติดตั้ง 3 ระดับ 1 ตำแหน่งล่าง 2 ตำแหน่งกลาง และ 3 ตำแหน่งบน

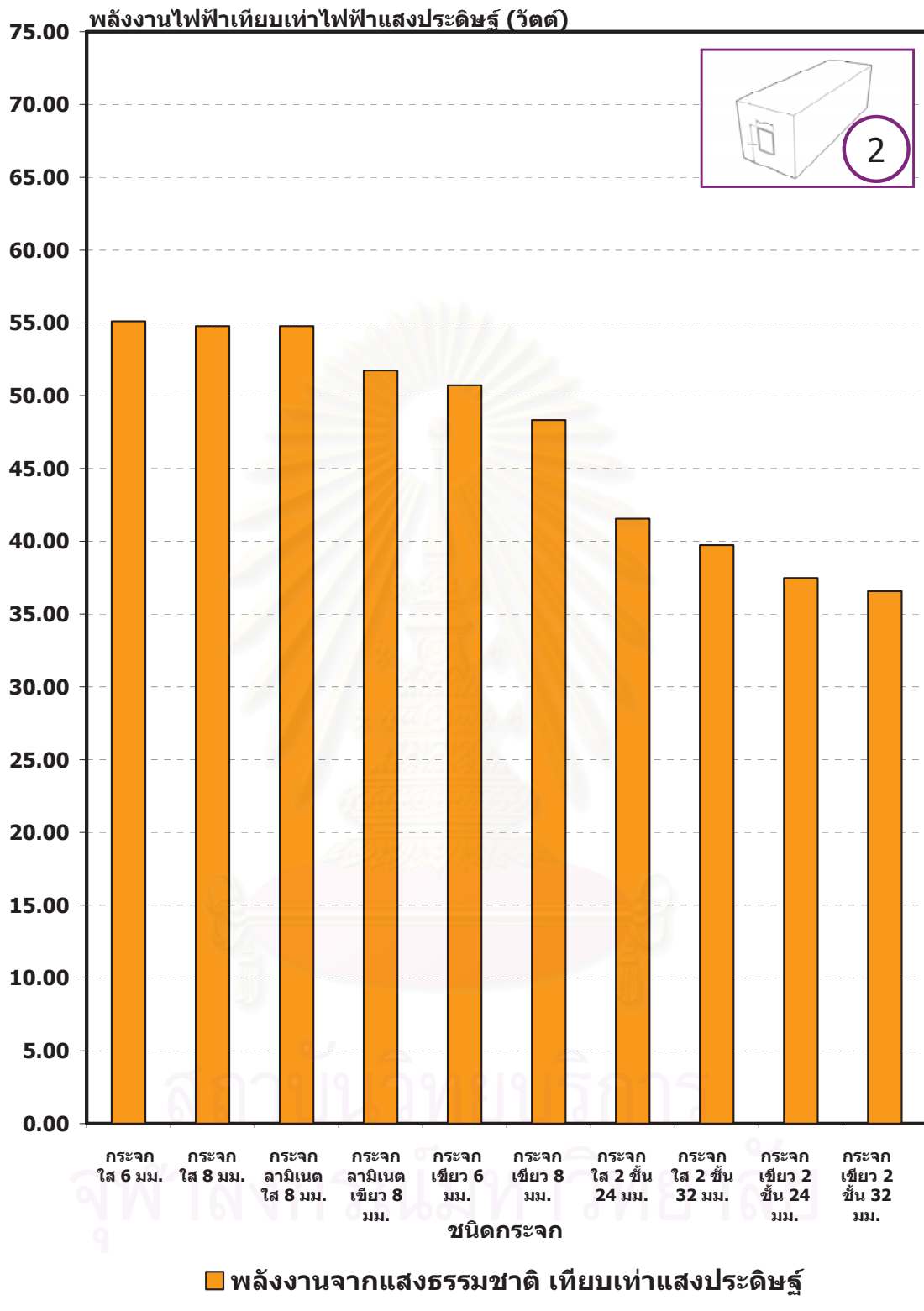
พลังงานไฟฟ้าที่ได้รับจากแสงธรรมชาติของช่องเปิดขนาด 0.90×1.20 เมตร
บนกระจกเขียว 2 ชั้น 32 มม.



แผนภูมิที่ 4-63 พลังงานไฟฟ้าจากแสงธรรมชาติ เทียบเท่าแสงประดิษฐ์ ของช่องเปิดขนาด 0.90×1.20 เมตร กระจกเขียว 2 ชั้น 32 มม.



แผนภูมิที่ 4-64 เปรียบเทียบพลังงานไฟฟ้าจากแสงธรรมชาติเทียบเท่าแสง谱รัฐ ของซ่องเปิดขนาด 0.90×1.20 เมตร ตำแหน่งล่าง จากวัสดุบานกระจกแตกต่างกัน

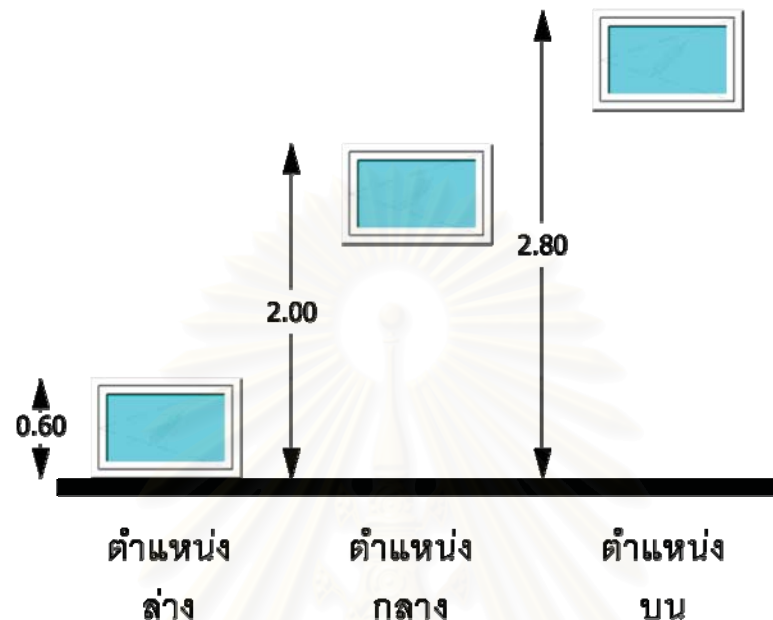


แผนภูมิที่ 4-65 เปรียบเทียบพลังงานไฟฟ้าจากแสงธรรมชาติเทียบเท่าแสง谱รัฐ ของซ่องเปิดขนาด 0.90×1.20 เมตร ตำแหน่งกลาง จากวัสดุบานกระจกแตกต่างกัน



แผนภูมิที่ 4-66 เปรียบเทียบพลังงานไฟฟ้าจากแสงธรรมชาติเทียบเท่าแสง谱รัฐ ของซ่องเปิดขนาด 0.90×1.20 เมตร ตำแหน่งบน จากรัศมีบานกระจกแตกต่างกัน

ระดับความส่องสว่างจากแสงธรรมชาติ และพลังงานไฟฟ้าเทียบเท่าแสง
ประดิษฐ์ของช่องเปิดขนาด 0.90×0.60 เมตร



รูปที่ 4-7 ตำแหน่งติดตั้งสำหรับทดสอบความส่องสว่างของช่องเปิดขนาด 0.90×0.60 เมตร



รูปที่ 4-8 การทดสอบความส่องสว่างของช่องเปิด 0.90×0.60 เมตร ที่ตำแหน่งล่าง

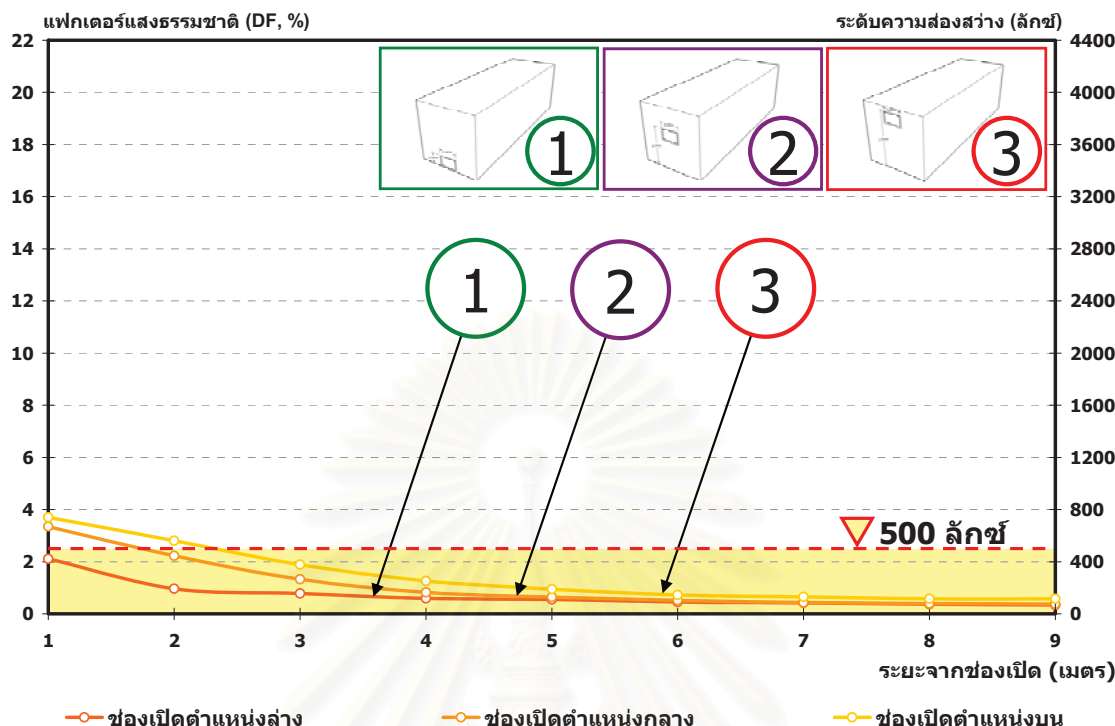


รูปที่ 4-9 การทดสอบระดับความส่องสว่างของช่องเปิด 0.90×0.60 เมตร ที่ตำแหน่งกลาง



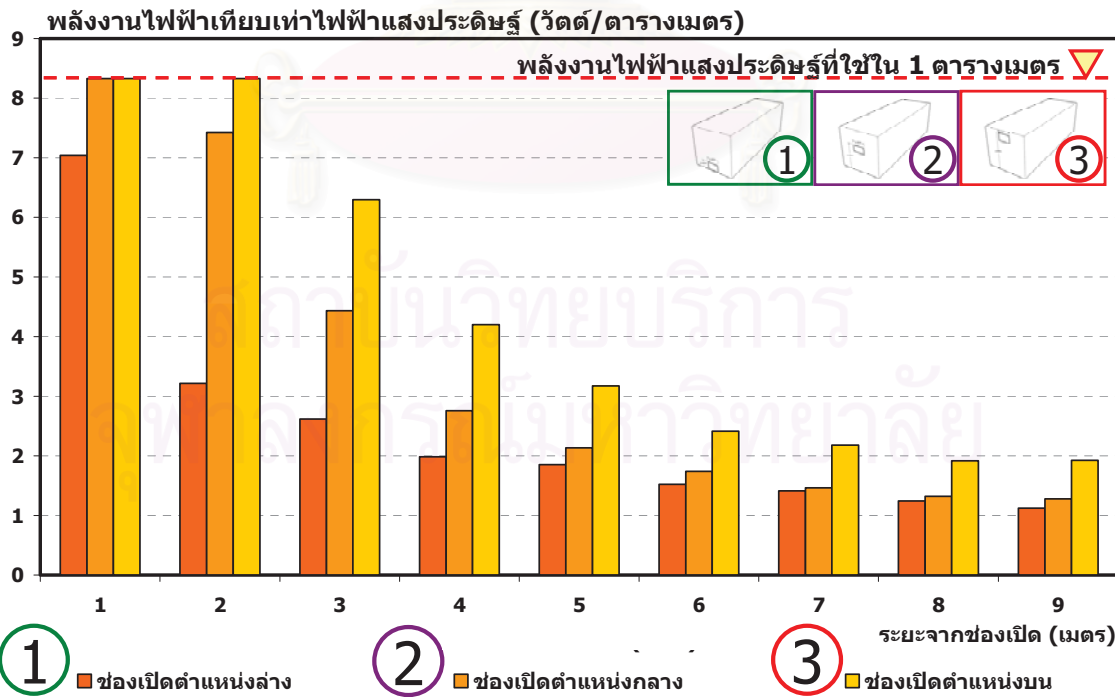
รูปที่ 4-10 การทดสอบระดับความส่องสว่างของช่องเปิด 0.90×0.60 เมตร ที่ตำแหน่งบน

ระดับความส่องสว่างของช่องเปิดขนาด 0.90×0.60 เมตร กระจายใส่ 6 มม.



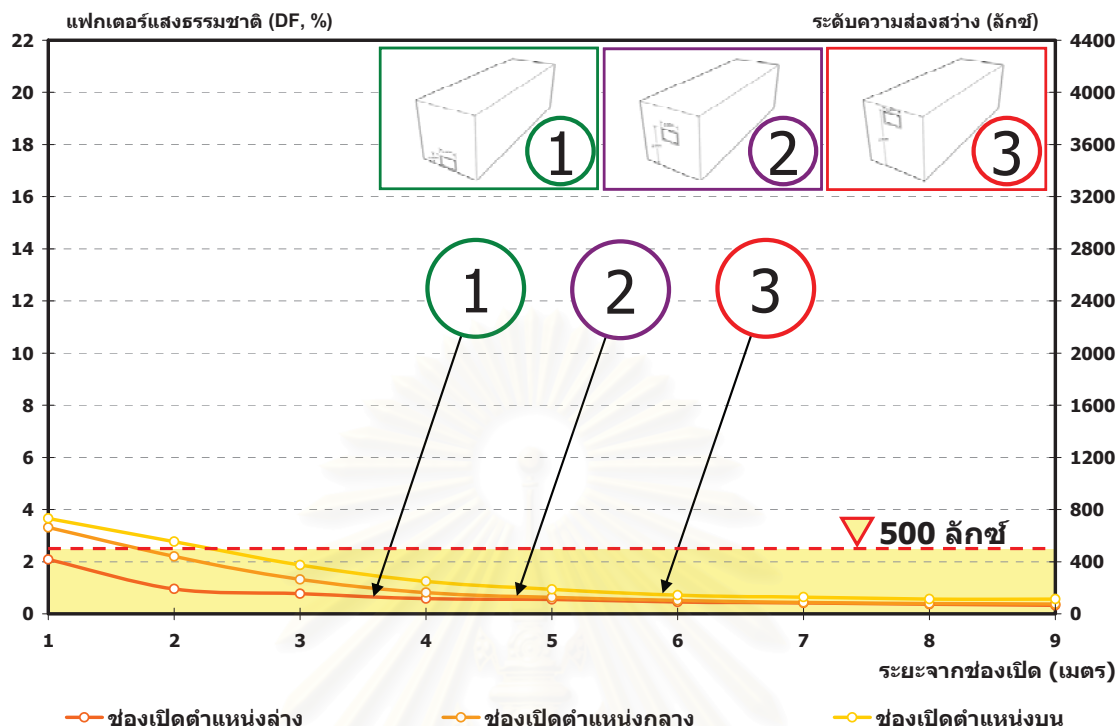
แผนภูมิที่ 4-67 ระดับความส่องสว่างของช่องเปิดขนาด 0.90×0.60 เมตร กระจายใส่ 6 มม. ติดตั้ง 3 ระดับ 1 ตำแหน่งล่าง 2 ตำแหน่งกลาง และ 3 ตำแหน่งบน
แผนภูมิที่ 4-67 ระดับความส่องสว่างของช่องเปิดขนาด 0.90×0.60 เมตร กระจายใส่ 6 มม. ติดตั้ง 3 ระดับ 1 ตำแหน่งล่าง 2 ตำแหน่งกลาง และ 3 ตำแหน่งบน

พลังงานไฟฟ้าที่ได้รับจากแสงธรรมชาติของช่องเปิดขนาด 0.90×0.60 เมตร
นานากระจายใส่ 6 มม.



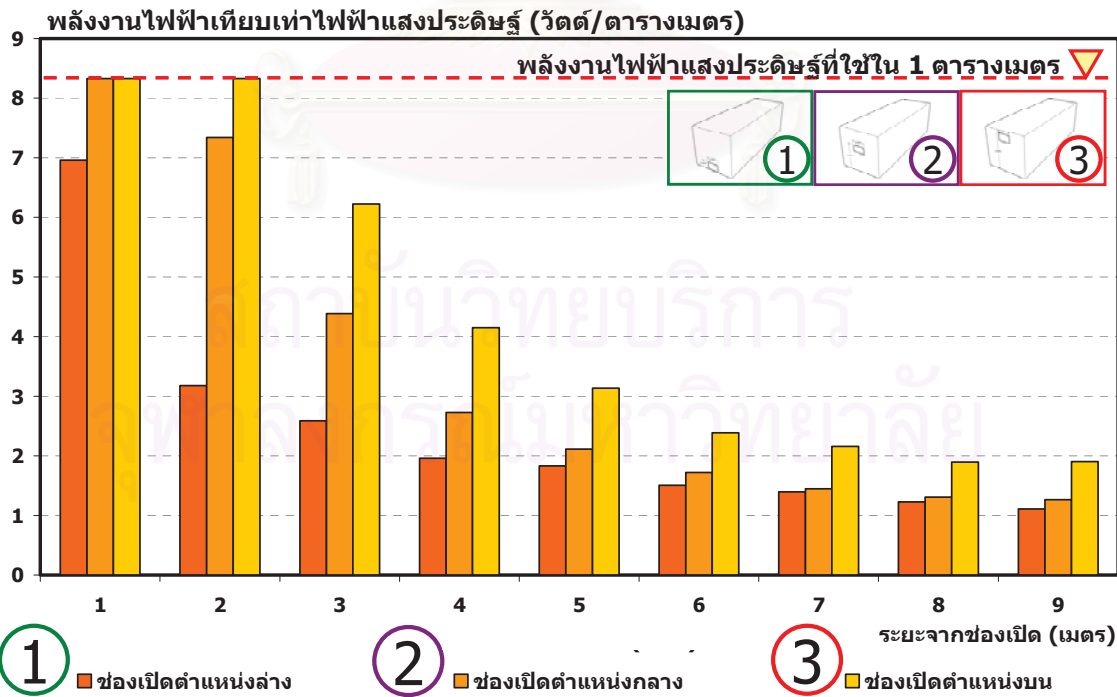
แผนภูมิที่ 4-68 พลังงานไฟฟ้าจากแสงธรรมชาติ เทียบเท่าแสงประดิษฐ์ ของช่องเปิดขนาด 0.90×0.60 เมตร นานากระจายใส่ 6 มม.

ระดับความส่องสว่างของช่องเปิดขนาด 0.90×0.60 เมตร กระจายใส่ 8 มม.



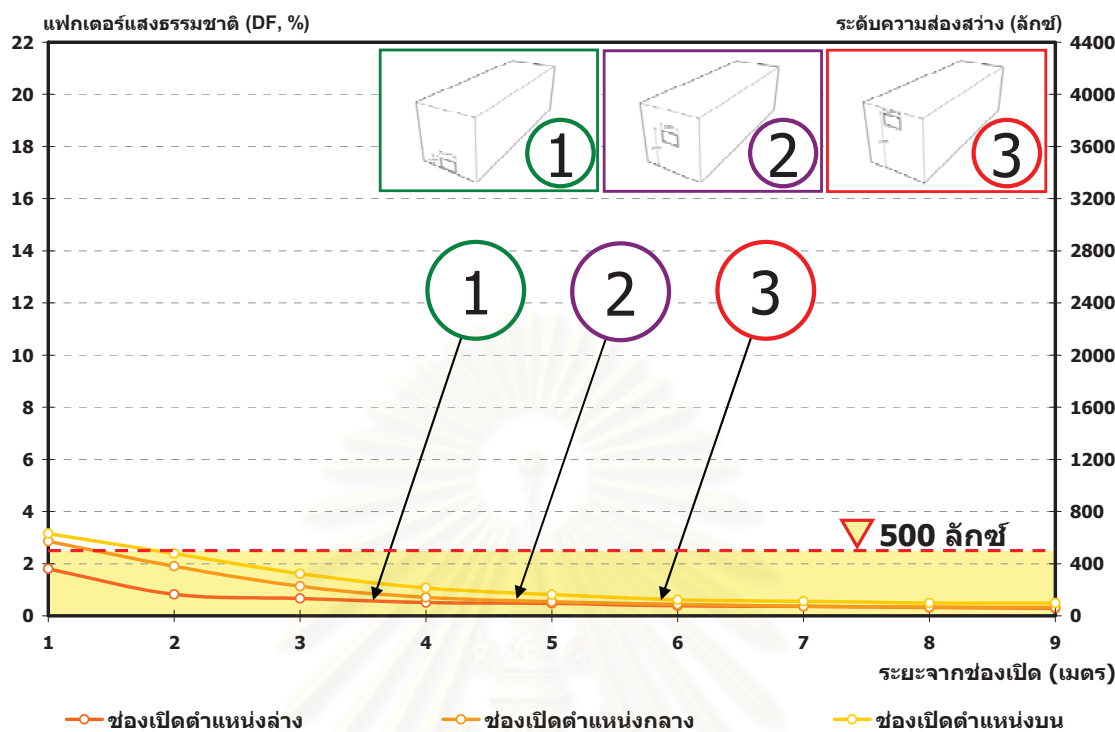
แผนภูมิที่ 4-69 ระดับความส่องสว่างของช่องเปิดขนาด 0.90×0.60 เมตร กระจายใส่ 8 มม. ติดตั้ง 3 ระดับ 1 ตำแหน่งล่าง 2 ตำแหน่งกลาง และ 3 ตำแหน่งบน

พลังงานไฟฟ้าที่ได้รับจากแสงธรรมชาติของช่องเปิดขนาด 0.90×0.60 เมตร บนกระจกใส 8 มม.



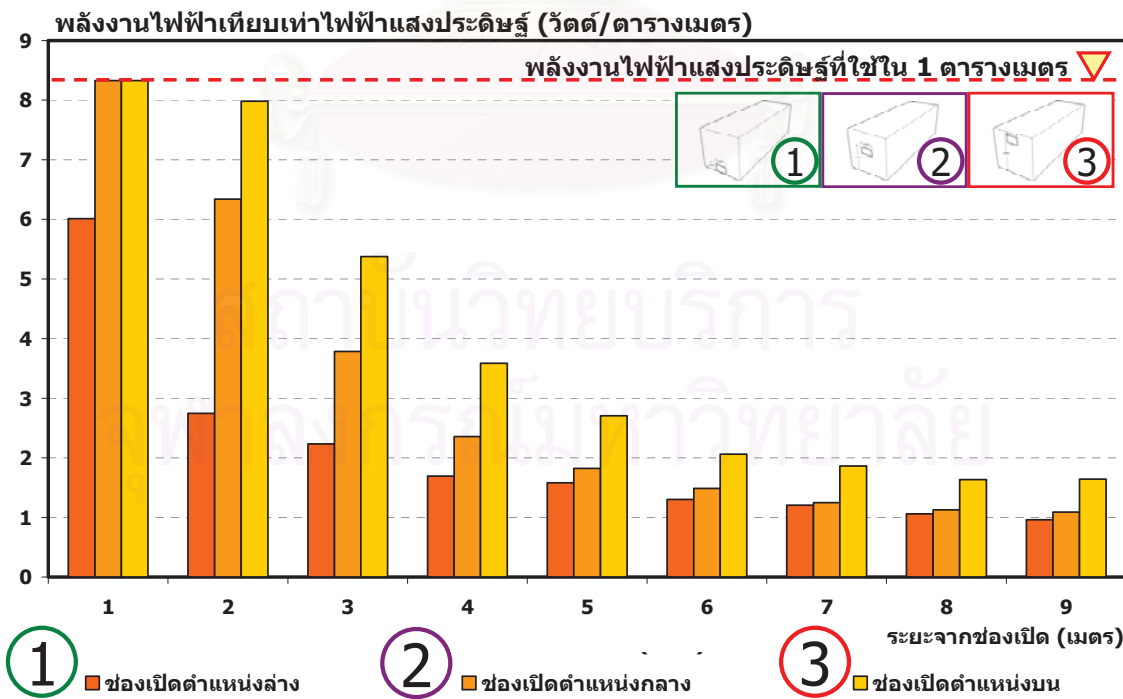
แผนภูมิที่ 4-70 พลังงานไฟฟ้าจากแสงธรรมชาติ เทียบเท่าแสงประดิษฐ์ ของช่องเปิดขนาด 0.90×0.60 เมตร กระจกใส 8 มม.

ระดับความส่องสว่างของช่องเปิดขนาด 0.90×0.60 เมตร กระจายเขียว 6 มม.



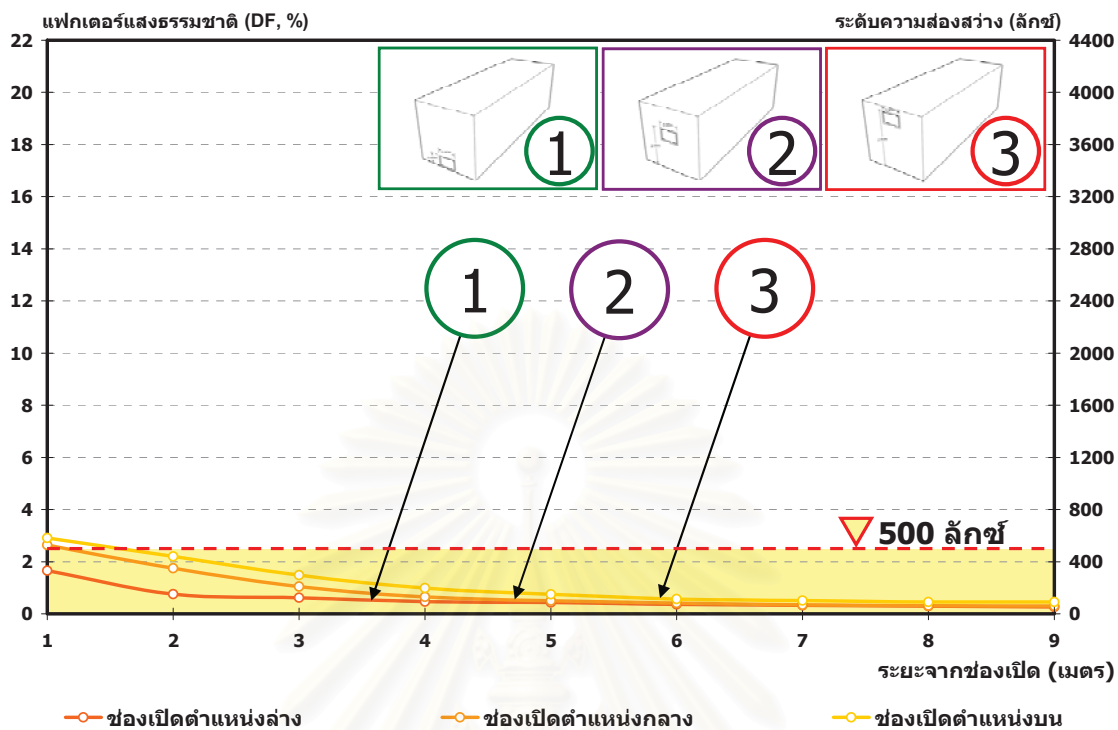
แผนภูมิที่ 4-71 ระดับความส่องสว่างของช่องเปิดขนาด 0.90×0.60 เมตร กระจายเขียว 6 มม. ติดตั้ง 3 ระดับ 1 ตำแหน่งล่าง 2 ตำแหน่งกลาง และ 3 ตำแหน่งบน

พลังงานไฟฟ้าที่ได้รับจากแสงธรรมชาติของช่องเปิดขนาด 0.90×0.60 เมตร
บนกระจกเขียว 6 มม.



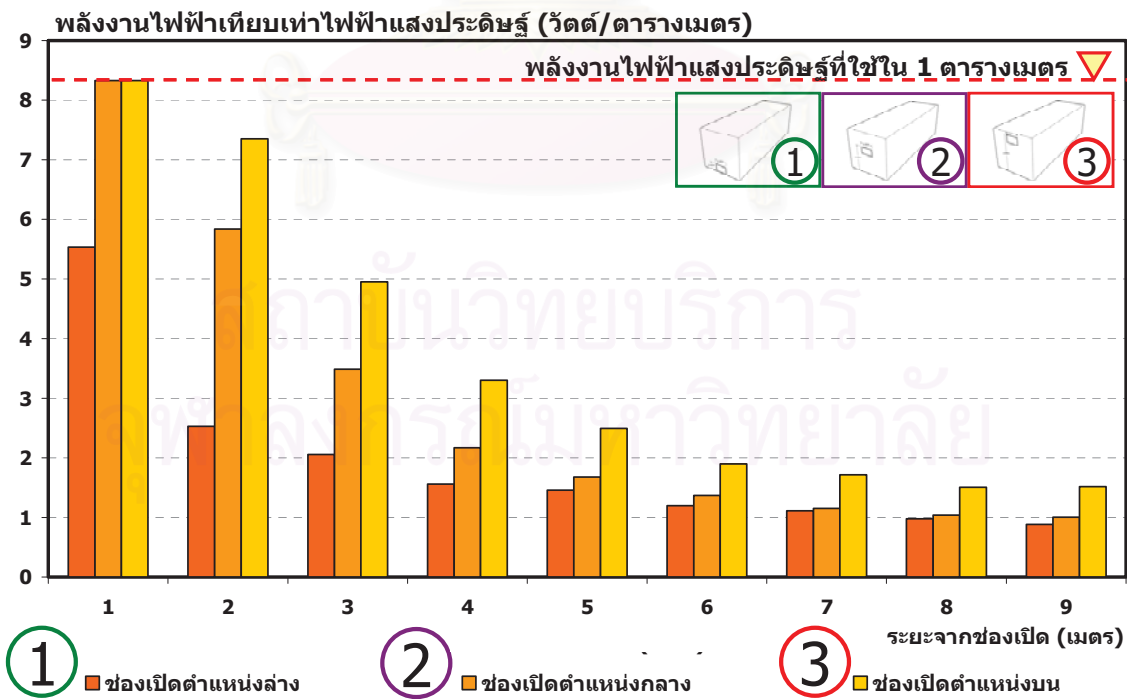
แผนภูมิที่ 4-72 พลังงานไฟฟ้าจากแสงธรรมชาติ เทียบเท่าแสงประดิษฐ์ ของช่องเปิดขนาด 0.90×0.60 เมตร กระจกเขียว 6 มม.

ระดับความส่องสว่างของช่องเปิดขนาด 0.90×0.60 เมตร กระจายเขียว 8 มม.



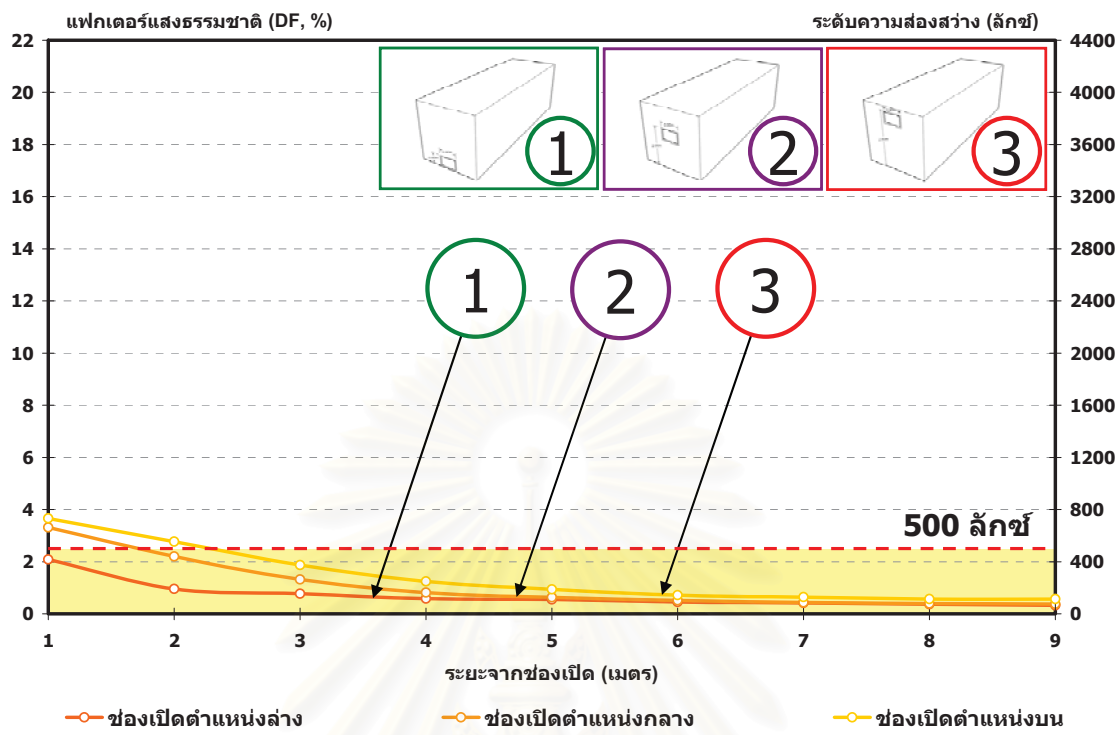
แผนภูมิที่ 4-73 ระดับความส่องสว่างของช่องเปิดขนาด 0.90×0.60 เมตร กระจายเขียว 8 มม. ติดตั้ง 3 ระดับ 1 ตำแหน่งล่าง 2 ตำแหน่งกลาง และ 3 ตำแหน่งบน

พลังงานไฟฟ้าที่ได้รับจากแสงธรรมชาติของช่องเปิดขนาด 0.90×0.60 เมตร
บนกระจายเขียว 8 มม.



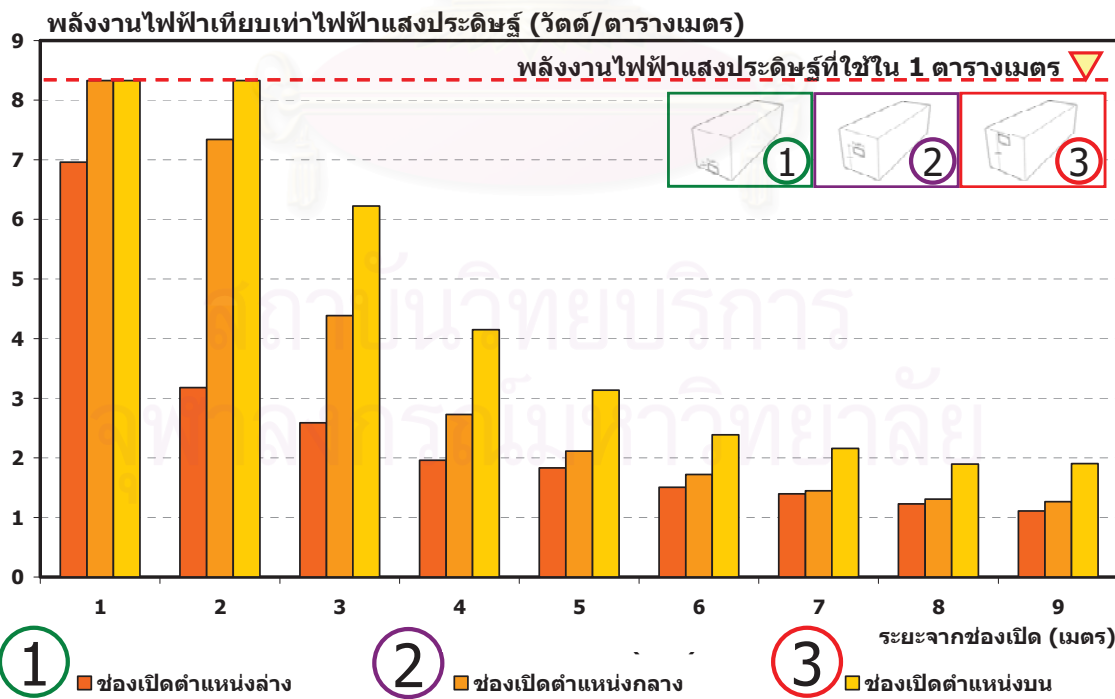
แผนภูมิที่ 4-74 พลังงานไฟฟ้าจากแสงธรรมชาติ เทียบเท่าแสงประดิษฐ์ ของช่องเปิดขนาด 0.90×0.60 เมตร กระจายเขียว 8 มม.

ระดับความส่องสว่างของช่องเปิดขนาด 0.90×0.60 เมตร กระจกalamini เนติส 8 มม.



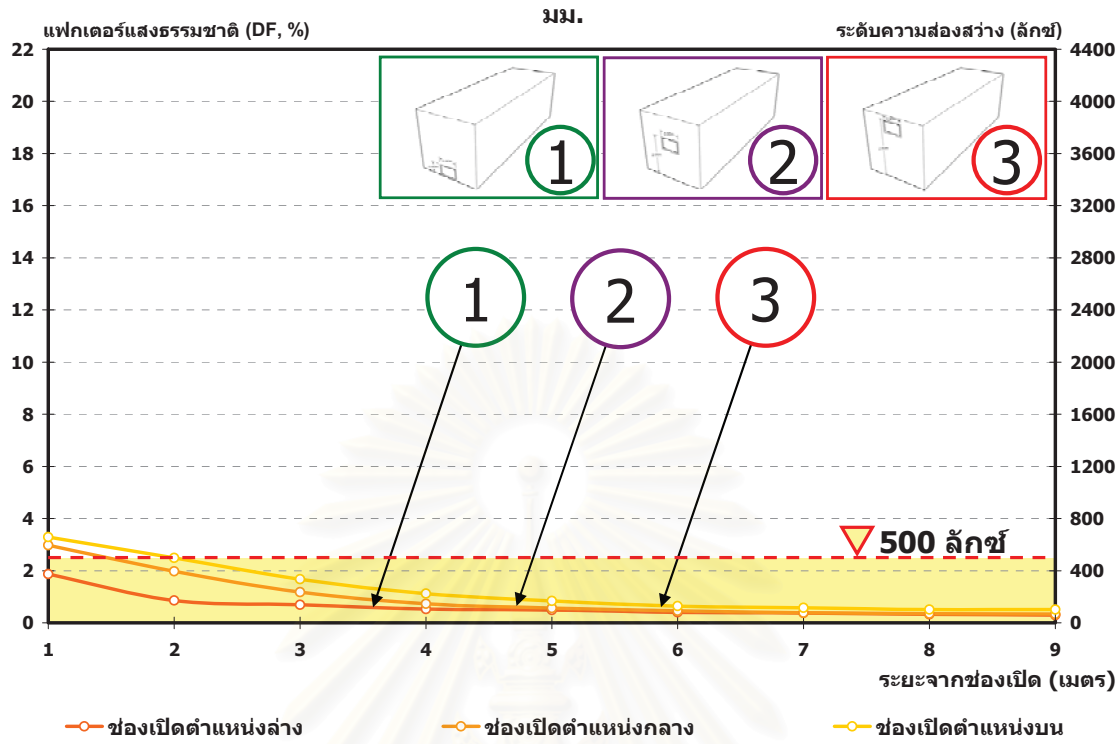
แผนภูมิที่ 4-75 ระดับความส่องสว่างของช่องเปิดขนาด 0.90×0.60 เมตร กระจกalamini เนติส 8 มม.
ติดตั้ง 3 ระดับ 1 ตำแหน่งล่าง 2 ตำแหน่งกลาง และ 3 ตำแหน่งบน

พลังงานไฟฟ้าที่ได้รับจากแสงธรรมชาติของช่องเปิดขนาด 0.90×0.60 เมตร
บนกระจกalamini เนติส 8 มม.



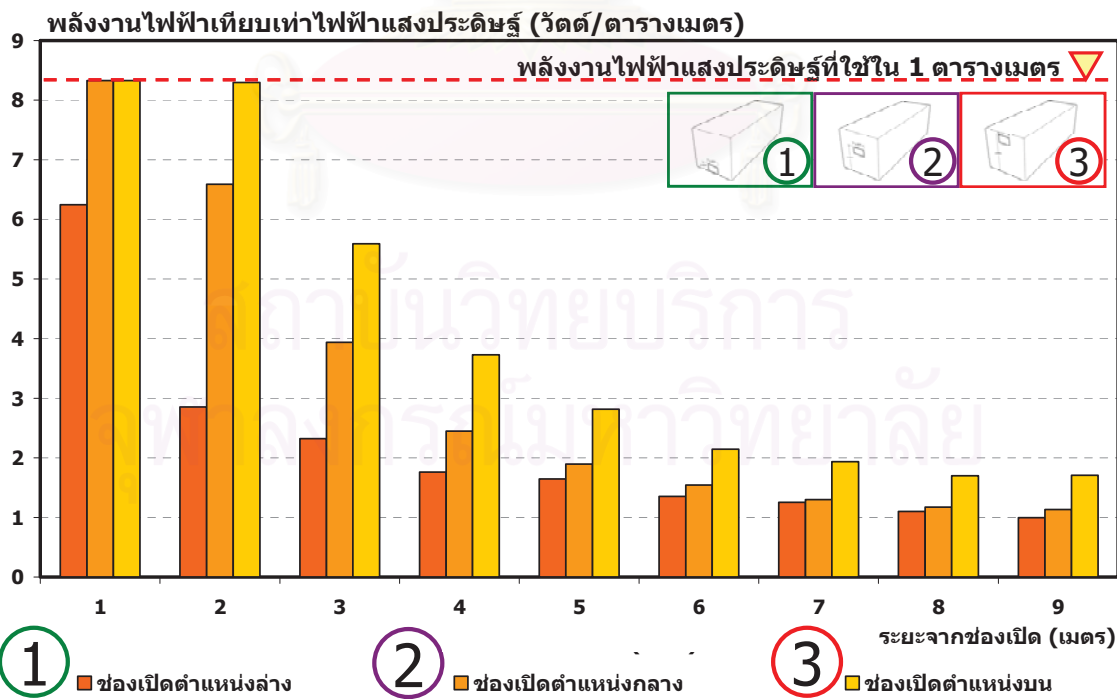
แผนภูมิที่ 4-76 พลังงานไฟฟ้าจากแสงธรรมชาติ เทียบเท่าแสงประดิษฐ์ ของช่องเปิดขนาด 0.90×0.60 เมตร กระจกalamini เนติส 8 มม.

ระดับความส่องสว่างของช่องเปิดขนาด 0.90×0.60 เมตร กระจายตามมิเนตเซีย 8 มม.



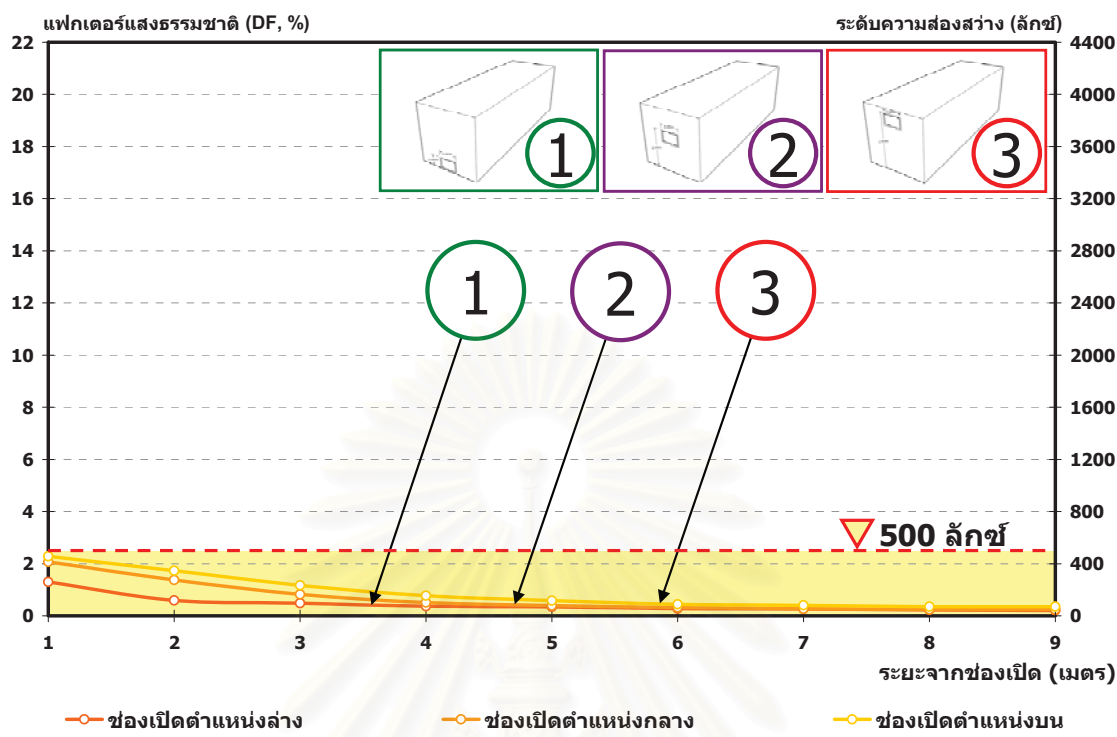
แผนภูมิที่ 4-77 ระดับความส่องสว่างของช่องเปิดขนาด 0.90×0.60 เมตร กระจายตามมิเนตเซีย 8 มม.
ติดตั้ง 3 ระดับ 1 ตำแหน่งล่าง 2 ตำแหน่งกลาง และ 3 ตำแหน่งบน

พลังงานไฟฟ้าที่ได้รับจากแสงธรรมชาติของช่องเปิดขนาด 0.90×0.60 เมตร
นานกระจายตามมิเนตเซีย 8 มม.



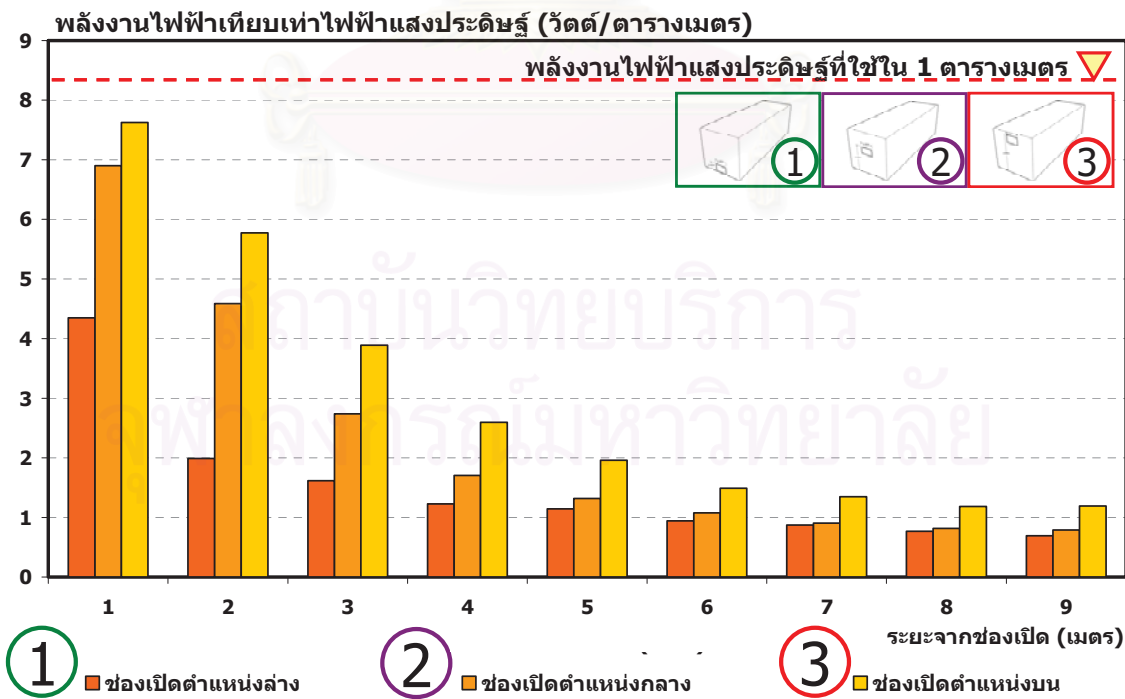
แผนภูมิที่ 4-78 พลังงานไฟฟ้าจากแสงธรรมชาติ เทียบเท่าแสงประดิษฐ์ ของช่องเปิดขนาด 0.90×0.60 เมตร กระจายตามมิเนตเซีย 8 มม.

ระดับความส่องสว่างของช่องเปิดขนาด 0.90×0.60 เมตร กระจายใส่ 2 ชั้น 24 มม.



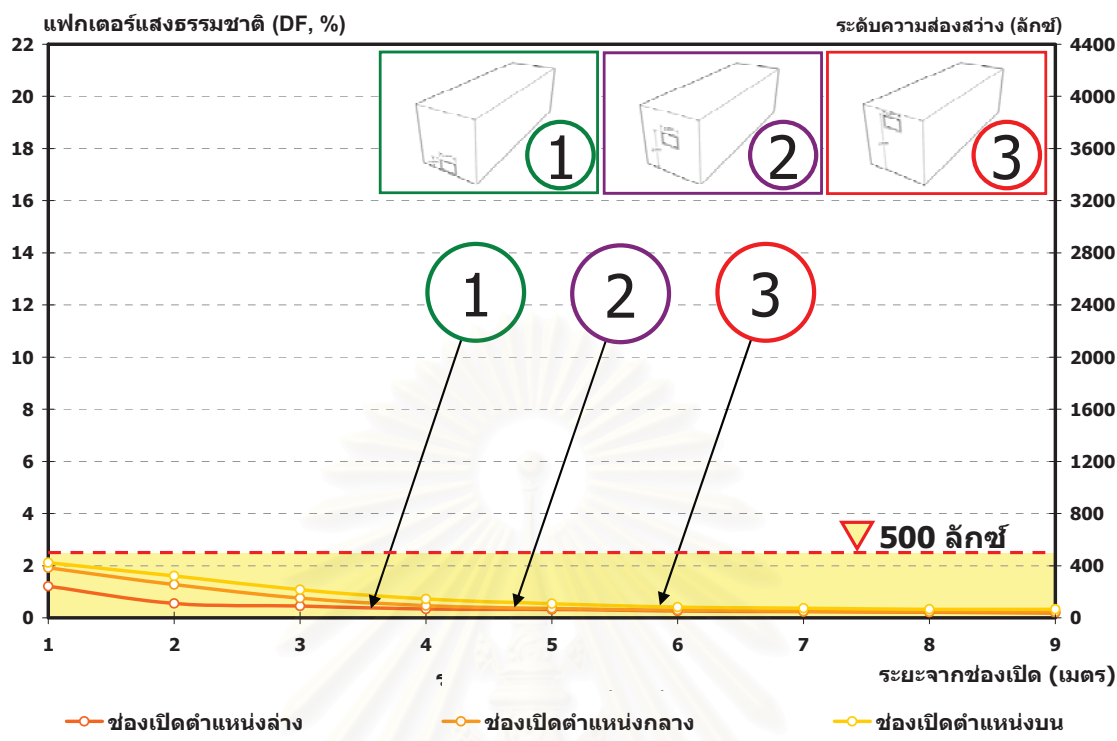
แผนภูมิที่ 4-79 ระดับความส่องสว่างของช่องเปิดขนาด 0.90×0.60 เมตร กระจายใส่ 2 ชั้น 24 มม.
ติดตั้ง 3 ระดับ 1 ตำแหน่งล่าง 2 ตำแหน่งกลาง และ 3 ตำแหน่งบน

พลังงานไฟฟ้าที่ได้รับจากแสงธรรมชาติของช่องเปิดขนาด 0.90×0.60 เมตร
นานกระจายใส่ 2 ชั้น 24 มม.



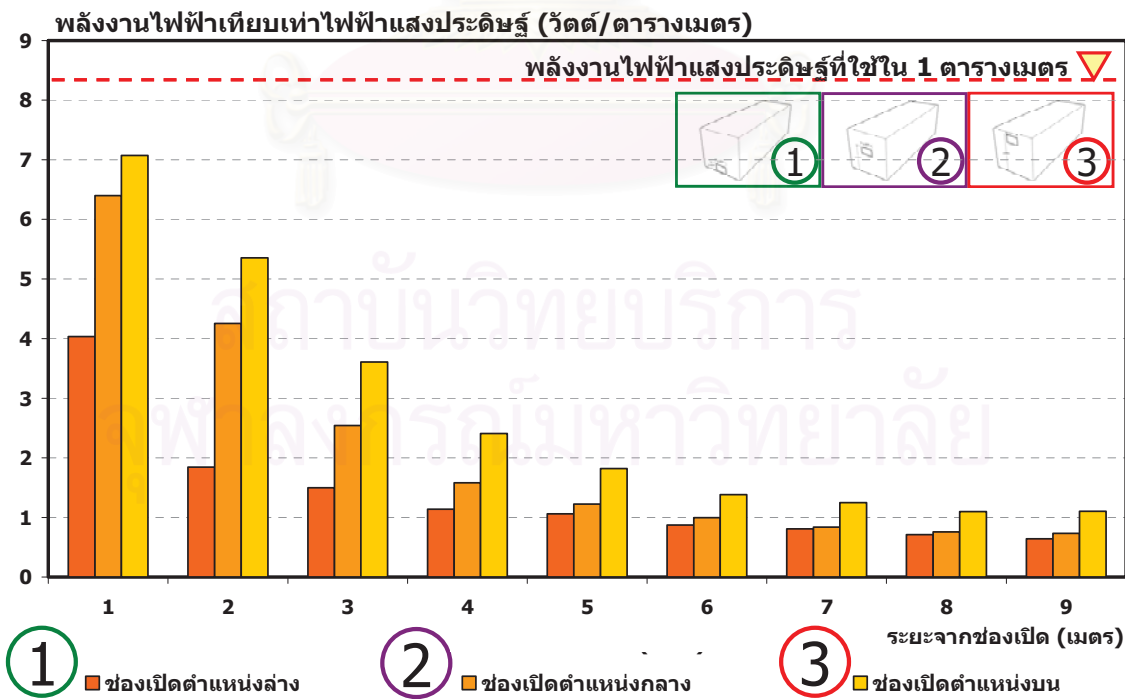
แผนภูมิที่ 4-80 พลังงานไฟฟ้าจากแสงธรรมชาติ เทียบเท่าแสงประดิษฐ์ ของช่องเปิดขนาด 0.90×0.60 เมตร กระจายใส่ 2 ชั้น 24 มม.

ระดับความส่องสว่างของช่องเปิดขนาด 0.90×0.60 เมตร กระจายใส่ 2 ชั้น 32 มม.



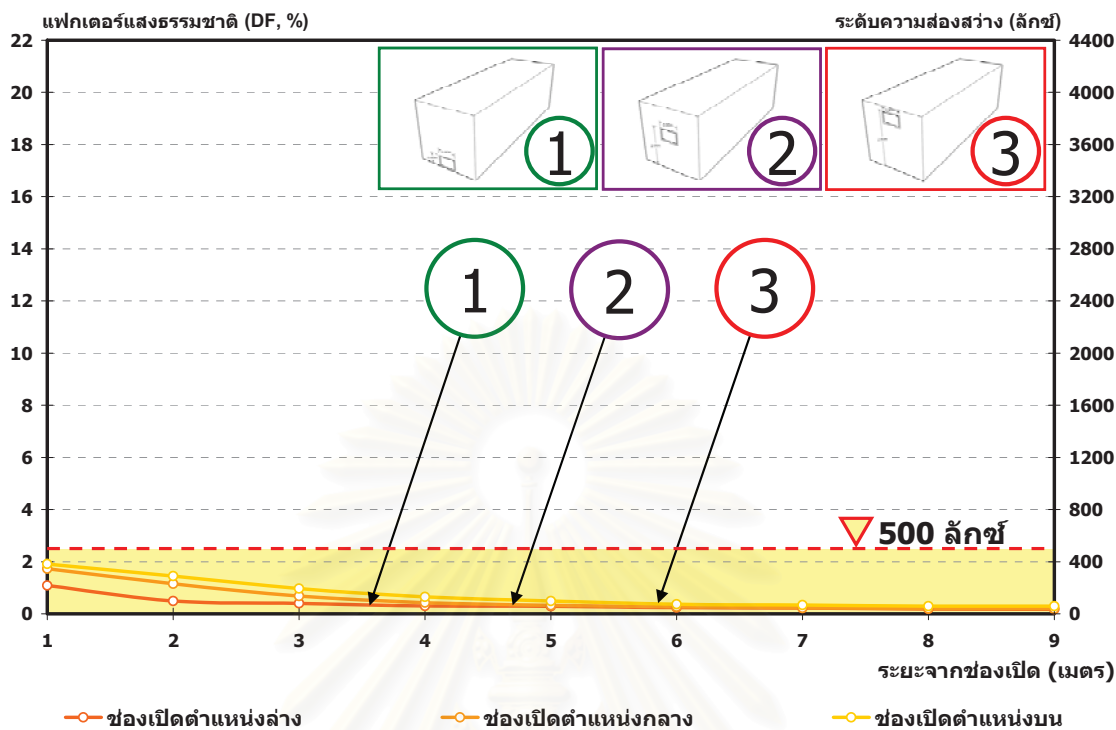
แผนภูมิที่ 4-81 ระดับความส่องสว่างของช่องเปิดขนาด 0.90×0.60 เมตร กระจายใส่ 2 ชั้น 32 มม.
ติดตั้ง 3 ระดับ 1 ตำแหน่งล่าง 2 ตำแหน่งกลาง และ 3 ตำแหน่งบน

พลังงานไฟฟ้าที่ได้รับจากแสงธรรมชาติของช่องเปิดขนาด 0.90×0.60 เมตร
บนกระจายใส่ 2 ชั้น 32 มม.

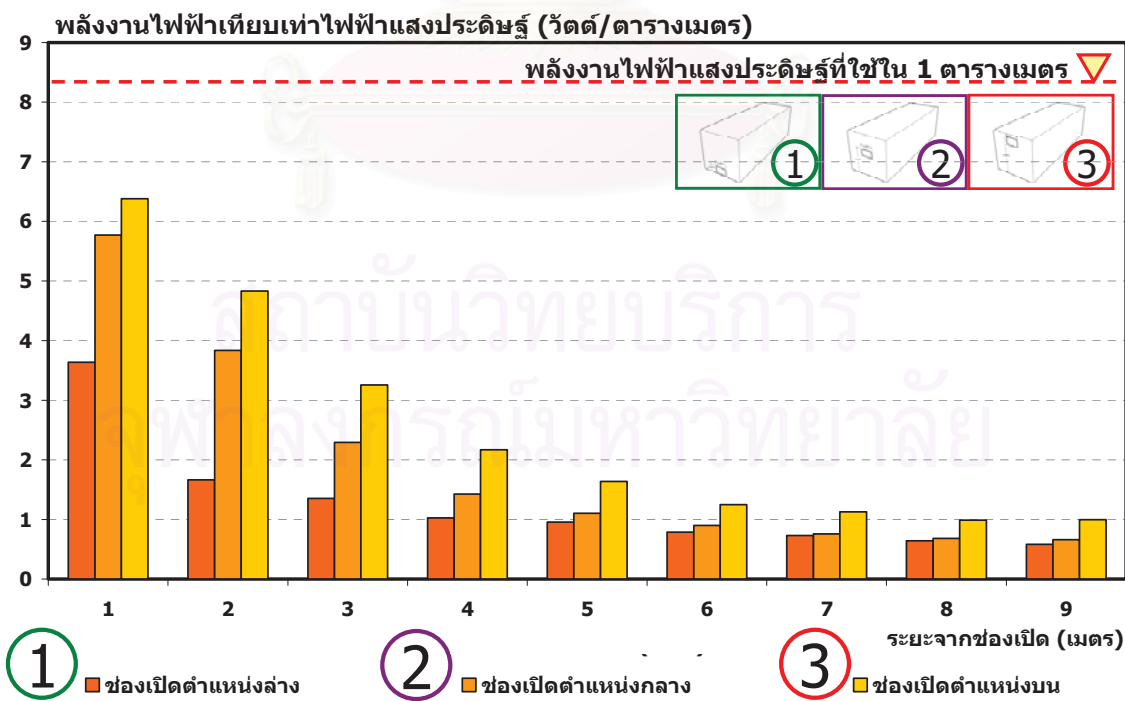


แผนภูมิที่ 4-82 พลังงานไฟฟ้าจากแสงธรรมชาติ เทียบเท่าแสงประดิษฐ์ ของช่องเปิดขนาด 0.90×0.60 เมตร กระจายใส่ 2 ชั้น 32 มม.

ระดับความส่องสว่างของช่องเปิดขนาด 0.90×0.60 เมตร กระจายเสียง 2 ชั้น 24 มม.

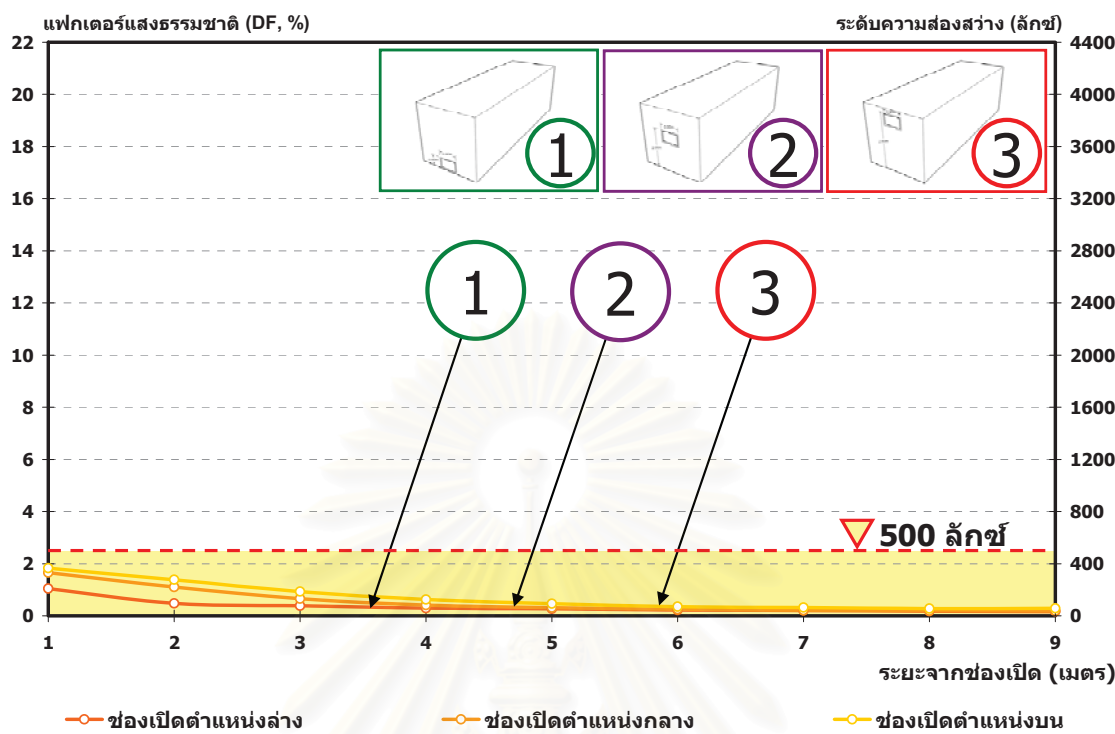


พลังงานไฟฟ้าที่ได้รับจากแสงธรรมชาติของช่องเปิดขนาด 0.90×0.60 เมตร
บนกระจกเชี่ยว 2 ชั้น 24 มม.



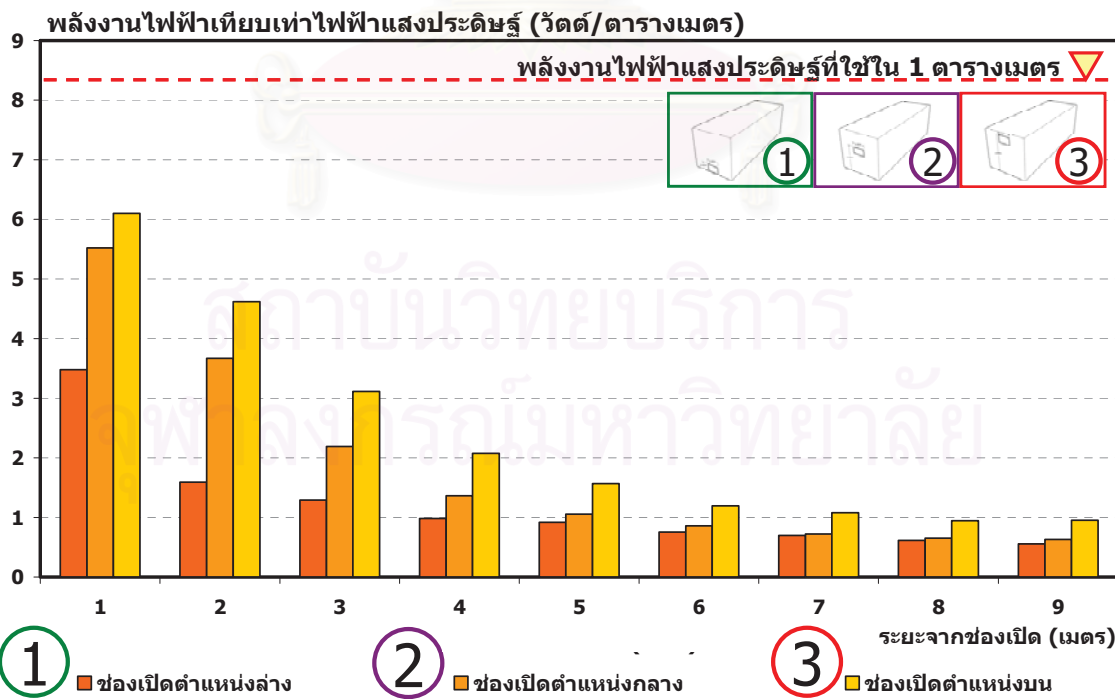
แผนภูมิที่ 4-84 พลังงานไฟฟ้าจากแสงธรรมชาติ เทียบเท่าแสงประดิษฐ์ ของช่องเปิดขนาด 0.90×0.60 เมตร กระจกเชี่ยว 2 ชั้น 24 มม.

ระดับความส่องสว่างของช่องเปิดกลมขนาด 1.20 เมตร กระจายเขียว 2 ชั้น 32 มม.

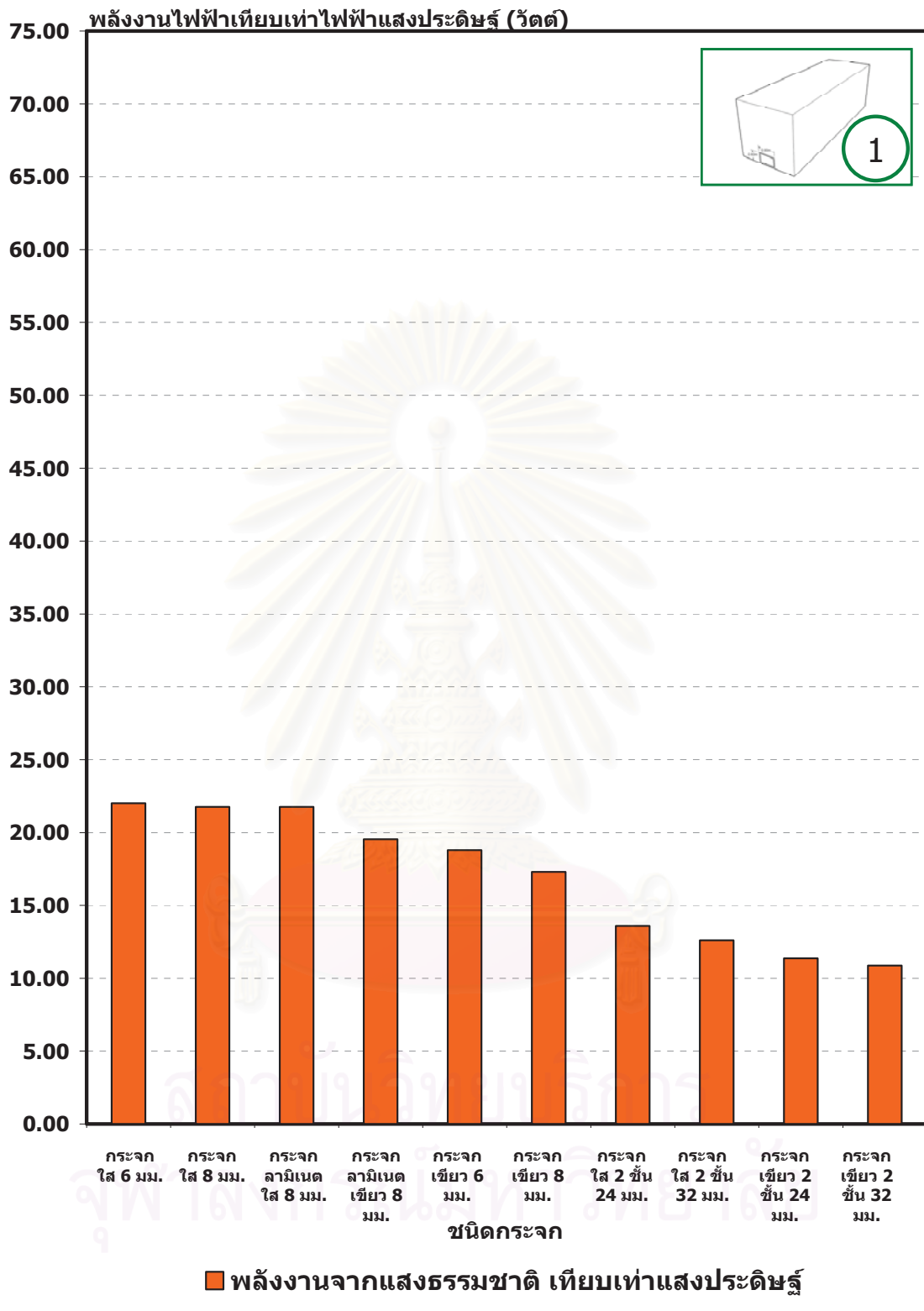


แผนภูมิที่ 4-85 ระดับความส่องสว่างของช่องเปิดขนาด 0.90x0.60 เมตร กระจายเขียว 2 ชั้น 32 มม.
ติดตั้ง 3 ระดับ 1 ตำแหน่งล่าง 2 ตำแหน่งกลาง และ 3 ตำแหน่งบน

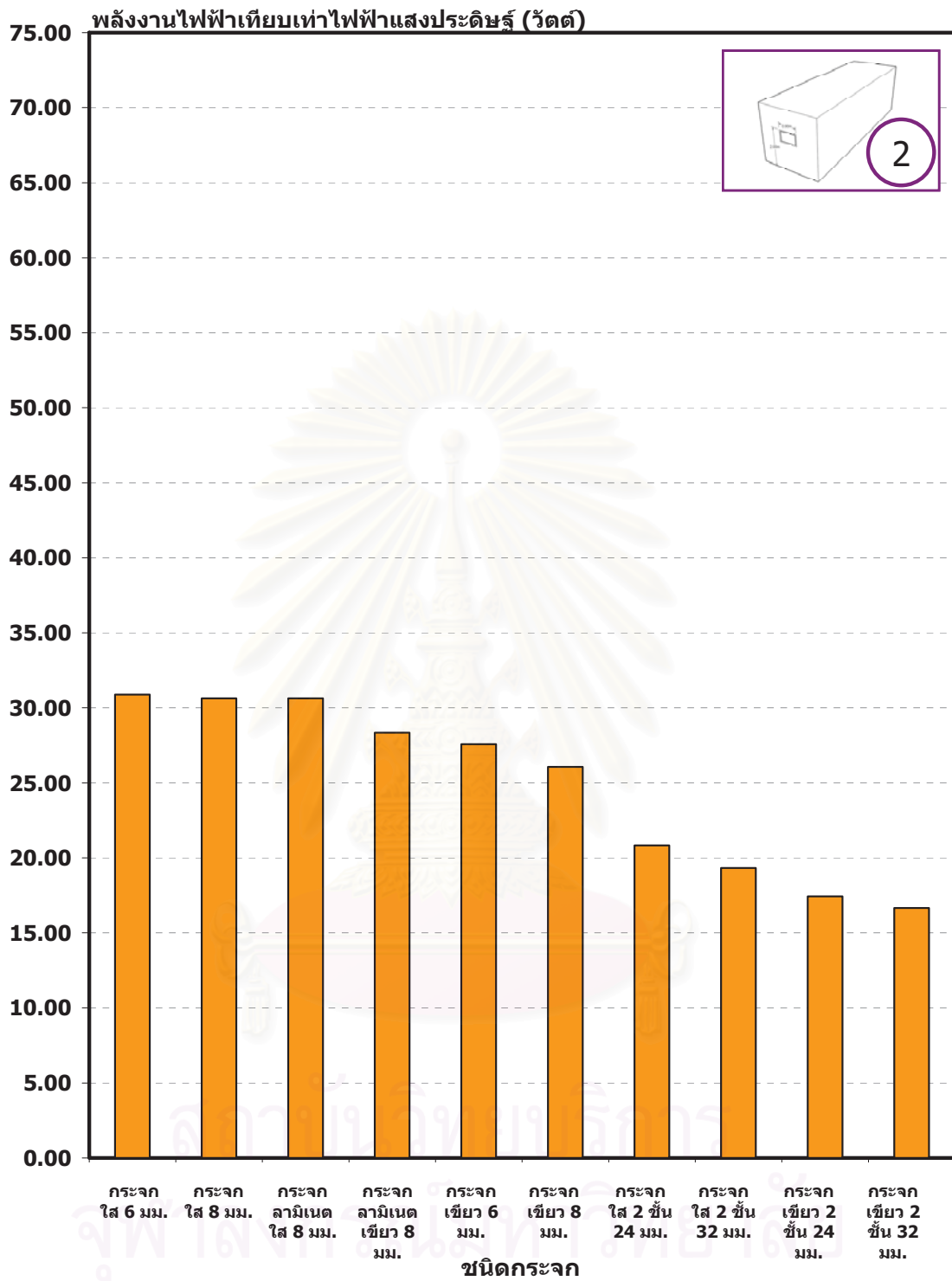
พลังงานไฟฟ้าที่ได้รับจากแสงธรรมชาติของช่องเปิดขนาด 0.90x0.60 เมตร
นานกระจายเขียว 2 ชั้น 32 มม.



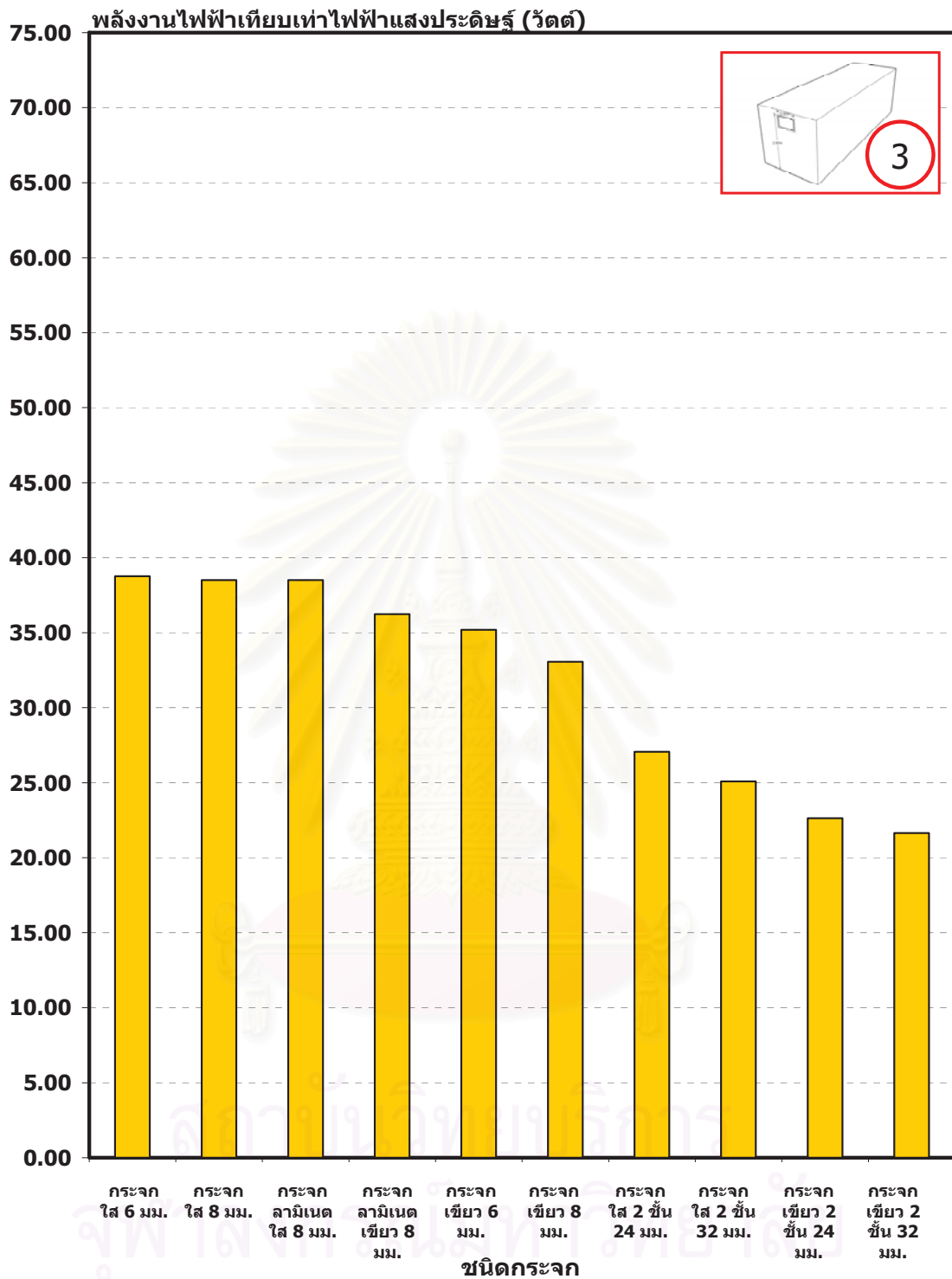
แผนภูมิที่ 4-86 พลังงานไฟฟ้าจากแสงธรรมชาติ เทียบเท่าแสงประดิษฐ์ ของช่องเปิดขนาด 0.90x0.60
เมตร กระจายเขียว 2 ชั้น 32 มม.



แผนภูมิที่ 4-87 เปรียบเทียบพลังงานไฟฟ้าจากแสงธรรมชาติเทียบเท่าแสง谱รัฐ ของซ่องเปิดขนาด 0.90×0.60 เมตร ตำแหน่งล่าง จากวัสดุบานกระจกแตกต่างกัน

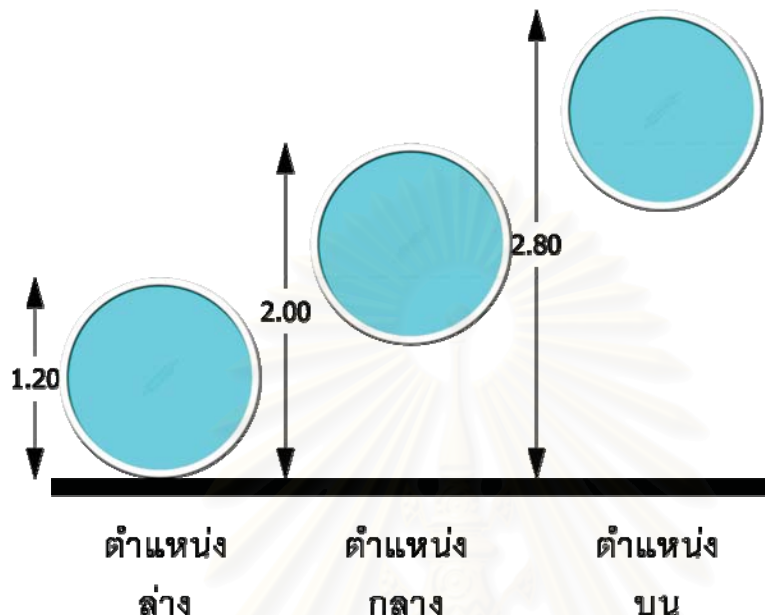


แผนภูมิที่ 4-88 เปรียบเทียบพลังงานไฟฟ้าจากแสงธรรมชาติเทียบเท่าแสง谱ดิษฐ์ ของซ่องเปิดขนาด 0.90×0.60 เมตร ตำแหน่งกลาง จากวัสดุบานกระจกแตกต่างกัน



แผนภูมิที่ 4-89 เปรียบเทียบพลังงานไฟฟ้าจากแสงธรรมชาติเทียบเท่าแสง谱รัฐ ของซ่องเปิดขนาด 0.90×0.60 เมตร ตำแหน่งบน จากรัศมีบานกระจกแตกต่างกัน

ระดับความส่องสว่างจากแสงธรรมชาติ และพลังงานไฟฟ้าเทียบเท่าแสงประดิษฐ์
ของช่องเปิดกลมเส้นผ่านศูนย์กลางขนาด 1.20 เมตร



รูปที่ 4-11 ตำแหน่งติดตั้งสำหรับทดสอบช่องเปิดกลม เส้นผ่านศูนย์กลางขนาด 1.20 เมตร



รูปที่ 4-12 การทดสอบระดับความส่องสว่างของช่องเปิดกลม เส้นผ่านศูนย์กลางขนาด 1.20 เมตร
ที่ตำแหน่งล่าง

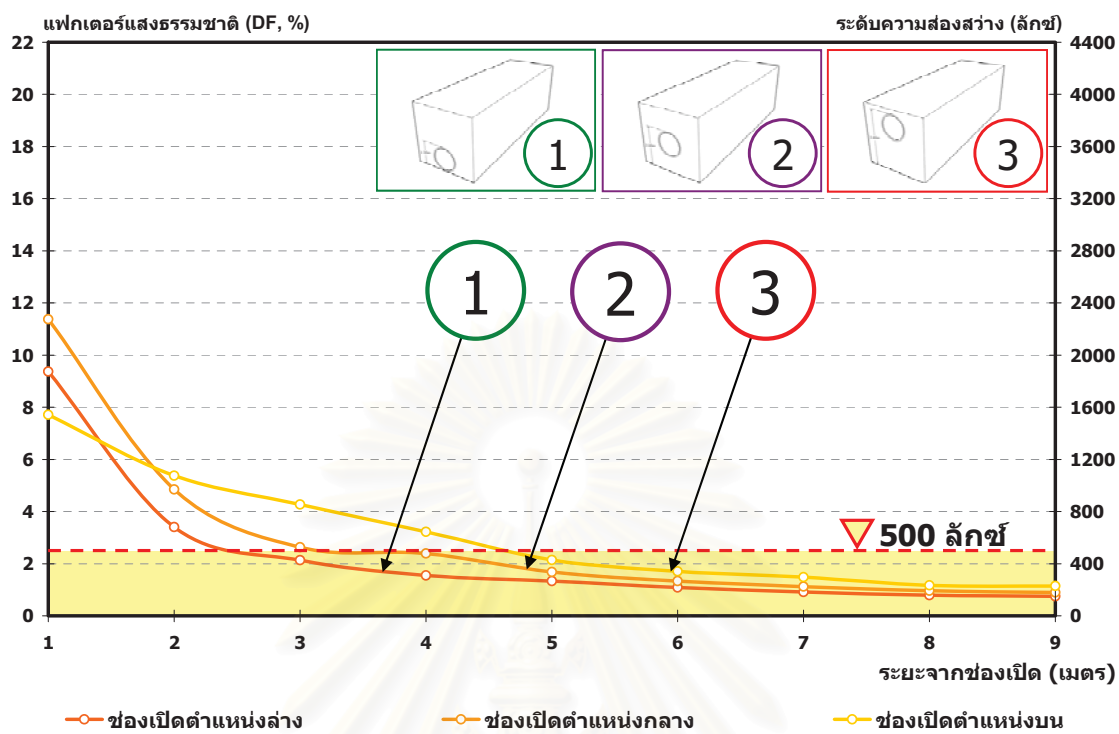


รูปที่ 4-13 การทดสอบระดับความส่องสว่างของช่องเปิดกลม เส้นผ่านศูนย์กลางขนาด 1.20 เมตร
ที่ตำแหน่งกลาง



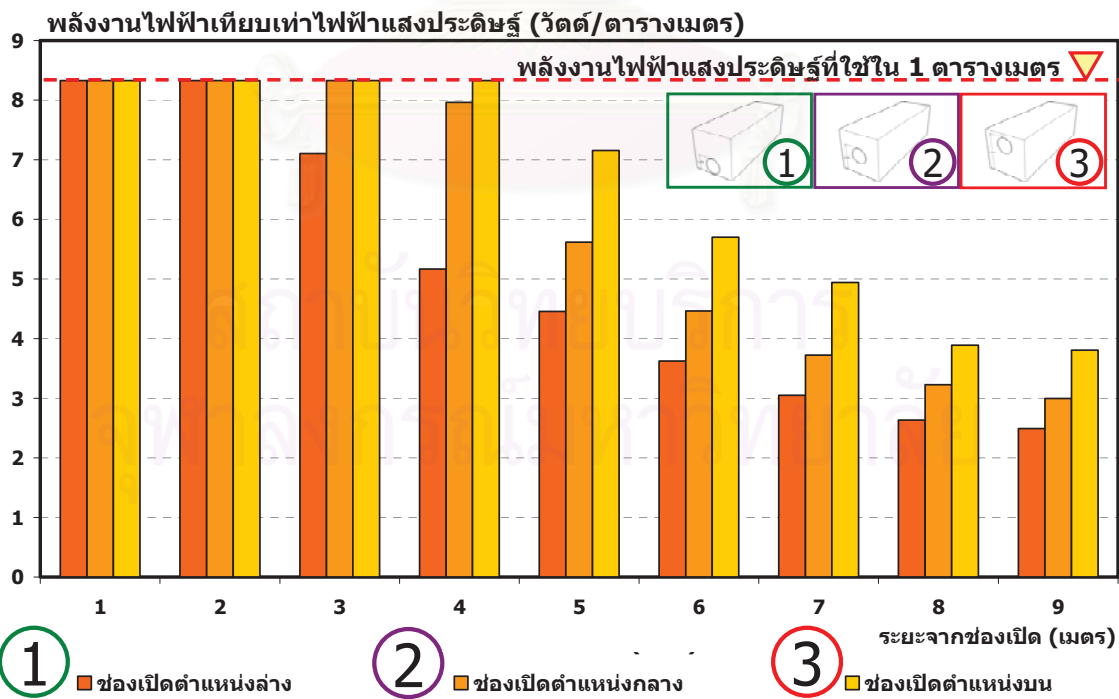
รูปที่ 4-14 การทดสอบระดับความส่องสว่างของช่องเปิดกลม เส้นผ่านศูนย์กลางขนาด 1.20 เมตร
ที่ตำแหน่งบน

ระดับความส่องสว่างของช่องเปิดกลมขนาด 1.20 เมตร กระจากใส 6 มม.



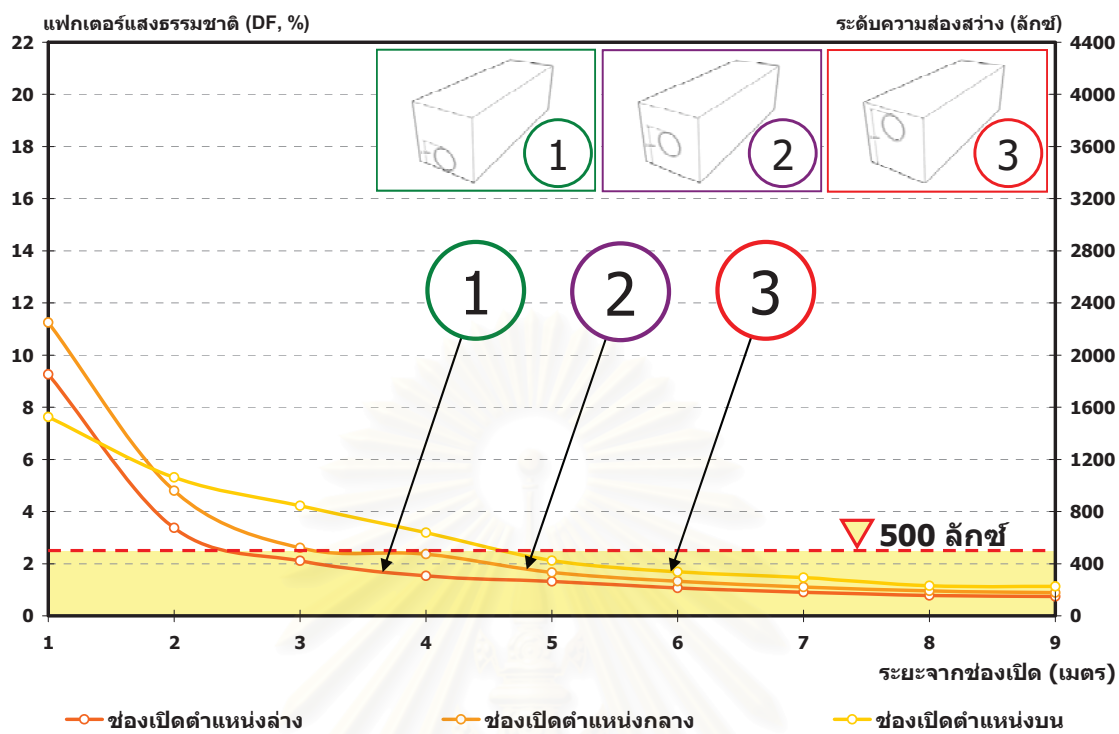
แผนภูมิที่ 4-90 ระดับความส่องสว่างของช่องเปิดกลมเส้นผ่านศูนย์กลางขนาด 1.20 เมตร กระจากใส 6 มม. ติดตั้ง 3 ระดับ 1 ตำแหน่งล่าง 2 ตำแหน่งกลาง และ 3 ตำแหน่งบน

พลังงานไฟฟ้าที่ได้รับจากแสงธรรมชาติของช่องเปิดกลมขนาด 1.20 เมตร บานกระจากใส 6 มม.



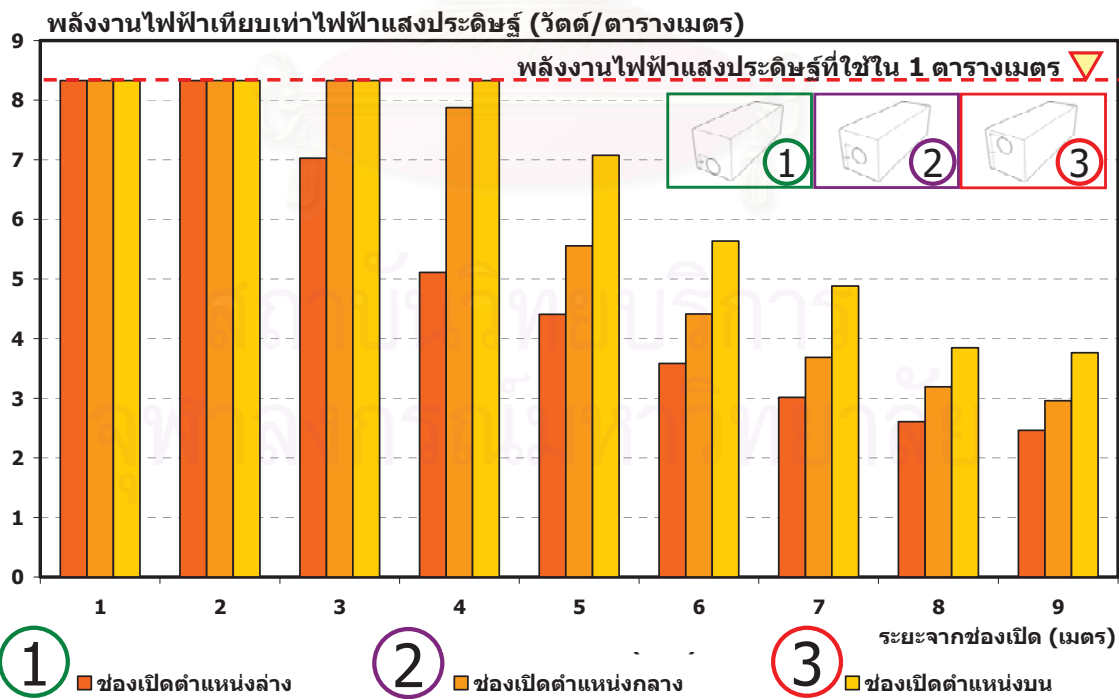
แผนภูมิที่ 4-91 พลังงานไฟฟ้าจากแสงธรรมชาติ เทียบเท่าแสงประดิษฐ์ ของช่องเปิดกลม เส้นผ่านศูนย์กลางขนาด 1.20 เมตร กระจากใส 6 มม.

ระดับความส่องสว่างของช่องเปิดกลมขนาด 1.20 เมตร กระจากใส 8 มม.



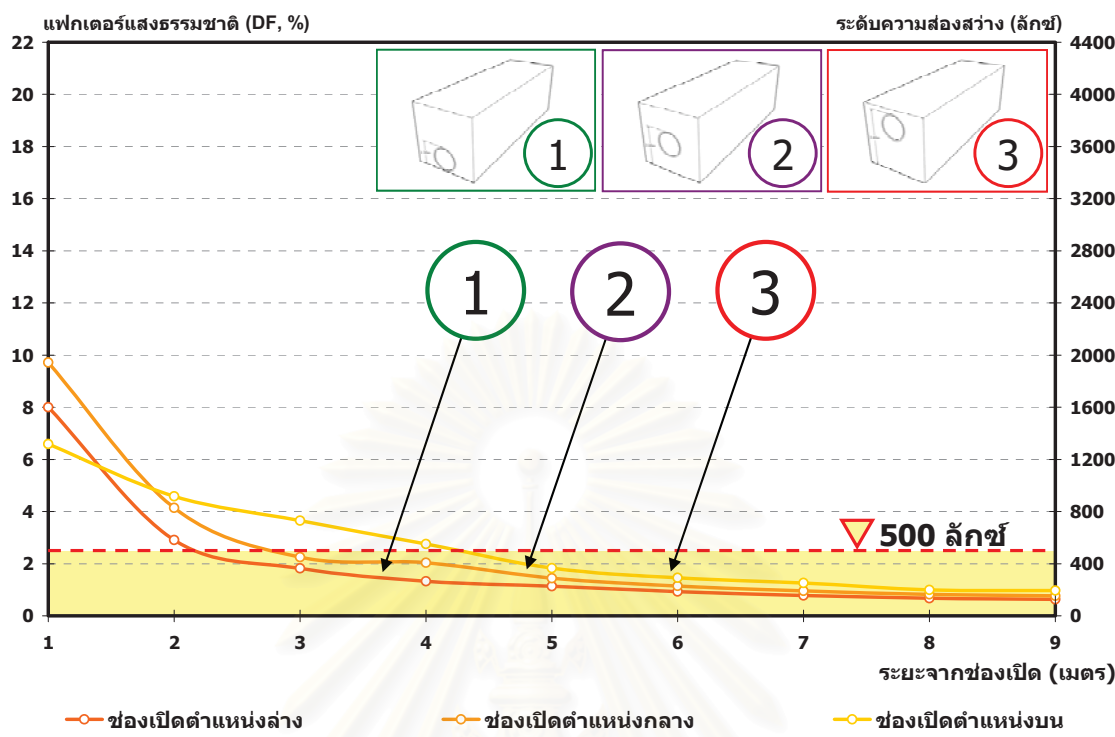
แผนภูมิที่ 4-92 ระดับความส่องสว่างของช่องเปิดกลมเส้นผ่านศูนย์กลางขนาด 1.20 เมตร กระจากใส 8 มม. ติดตั้ง 3 ระดับ 1 ตำแหน่งล่าง 2 ตำแหน่งกลาง และ 3 ตำแหน่งบน

พลังงานไฟฟ้าที่ได้รับจากแสงธรรมชาติของช่องเปิดกลมขนาด 1.20 เมตร บานกระจากใส 8 มม.



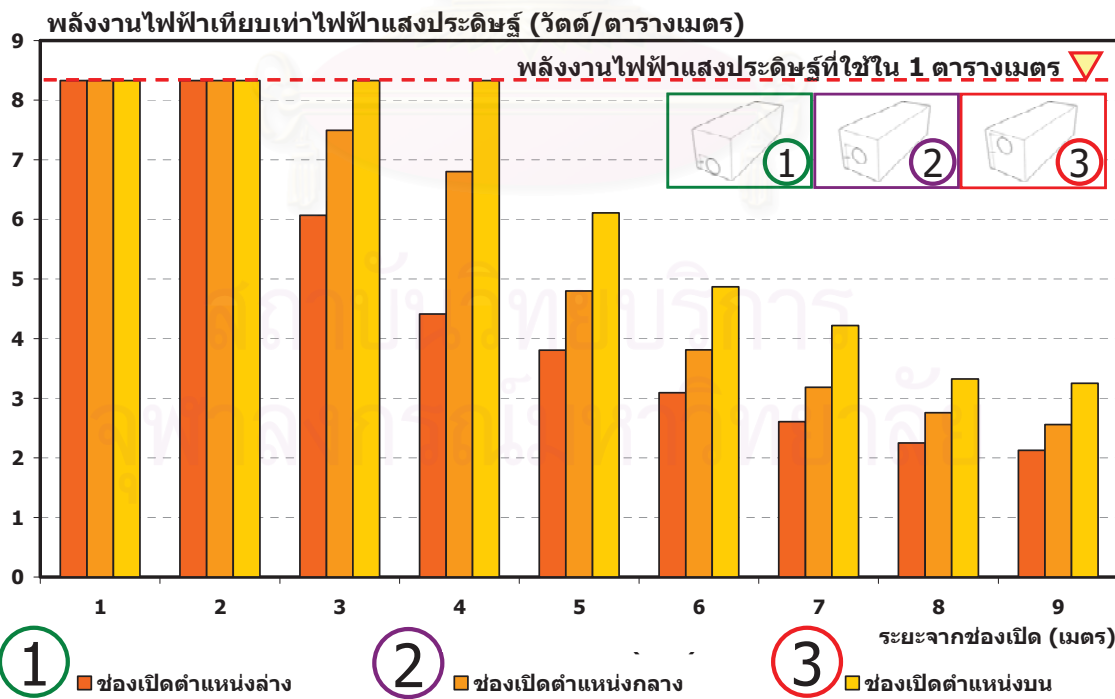
แผนภูมิที่ 4-93 พลังงานไฟฟ้าจากแสงธรรมชาติ เทียบเท่าแสงประดิษฐ์ ของช่องเปิดกลม เส้นผ่านศูนย์กลางขนาด 1.20 เมตร กระจากใส 8 มม.

ระดับความส่องสว่างของช่องเปิดกลมขนาด 1.20 เมตร กระจายเขียว 6 มม.



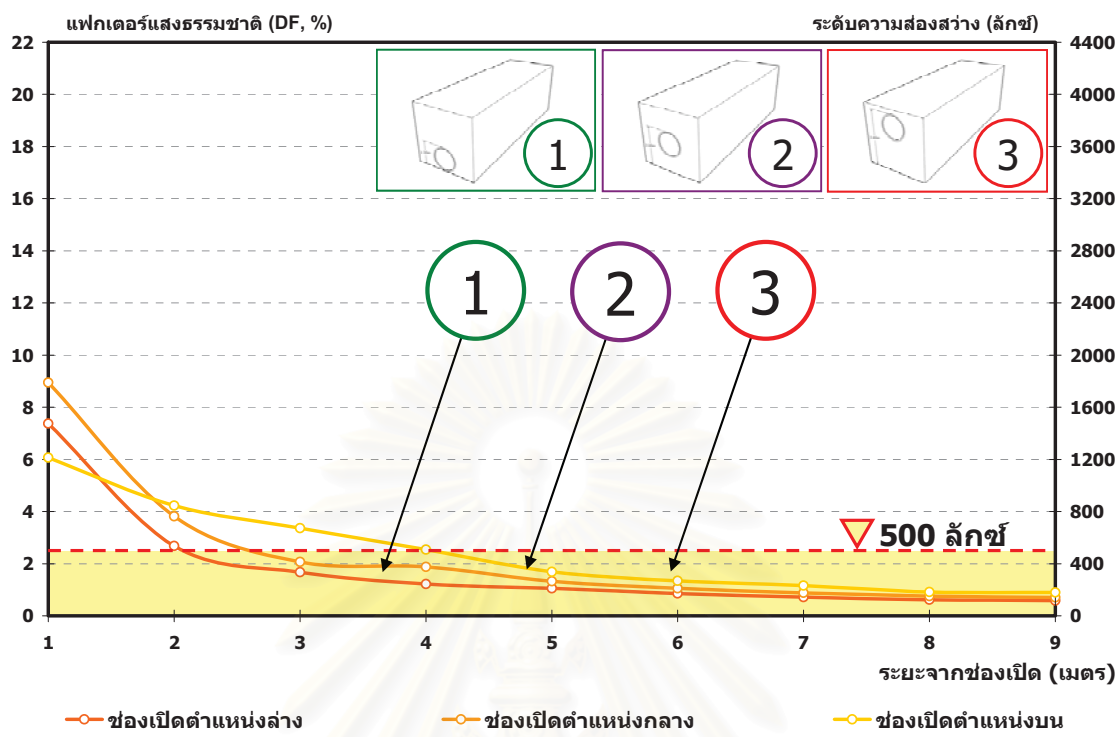
แผนภูมิที่ 4-94 ระดับความส่องสว่างของช่องเปิดกลมเส้นผ่านศูนย์กลางขนาด 1.20 เมตร กระจายเขียว 6 มม. ติดตั้ง 3 ระดับ 1 ตำแหน่งล่าง 2 ตำแหน่งกลาง และ 3 ตำแหน่งบน

พลังงานไฟฟ้าที่ได้รับจากแสงธรรมชาติของช่องเปิดกลมขนาด 1.20 เมตร นานกระจายเขียว 6 มม.



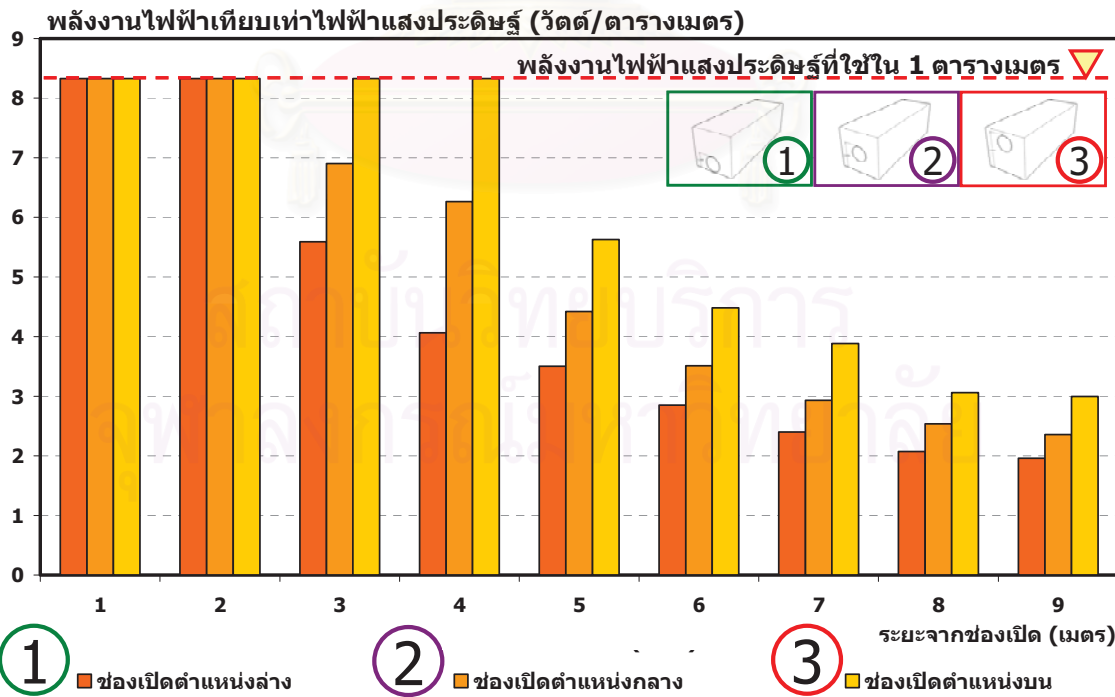
แผนภูมิที่ 4-95 พลังงานไฟฟ้าจากแสงธรรมชาติ เทียบเท่าแสงประดิษฐ์ ของช่องเปิดกลม เส้นผ่านศูนย์กลางขนาด 1.20 เมตร กระจายเขียว 6 มม.

ระดับความส่องสว่างของช่องเปิดกลมขนาด 1.20 เมตร กระจากเขียว 8 มม.



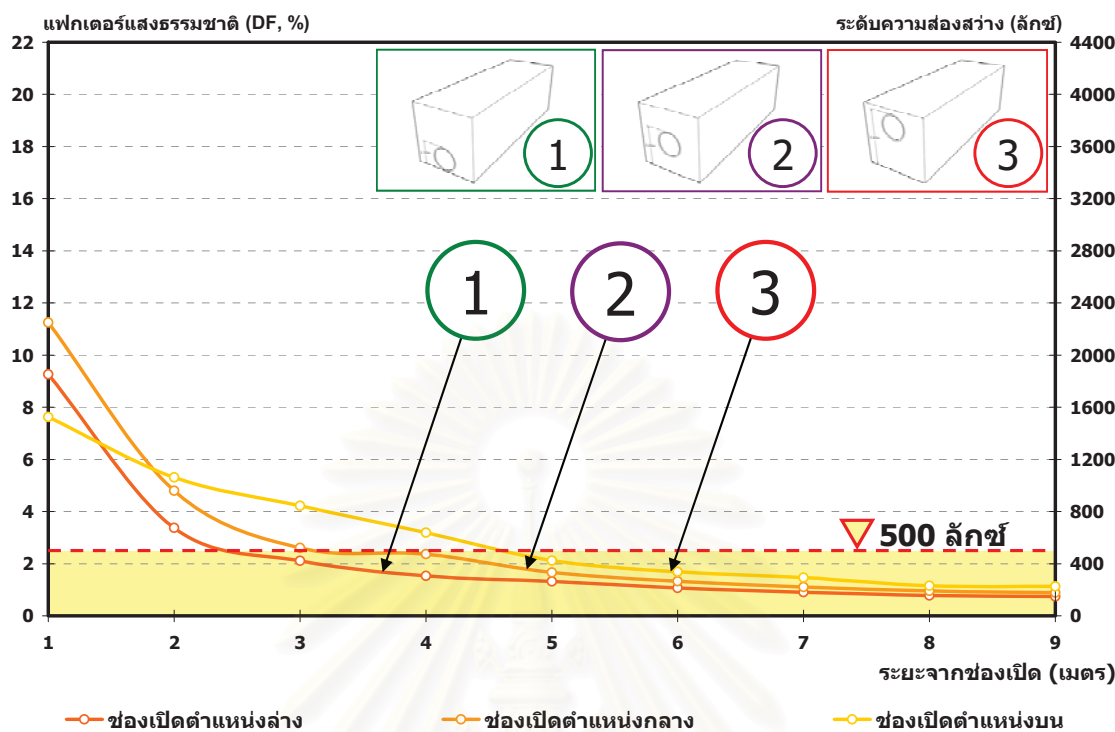
แผนภูมิที่ 4-96 ระดับความส่องสว่างของช่องเปิดกลมเส้นผ่านศูนย์กลางขนาด 1.20 เมตร กระจากเขียว 8 มม. ติดตั้ง 3 ระดับ 1 ตำแหน่งล่าง 2 ตำแหน่งกลาง และ 3 ตำแหน่งบน

พลังงานไฟฟ้าที่ได้รับจากแสงธรรมชาติของช่องเปิดกลมขนาด 1.20 เมตร บนกระจากเขียว 8 มม.



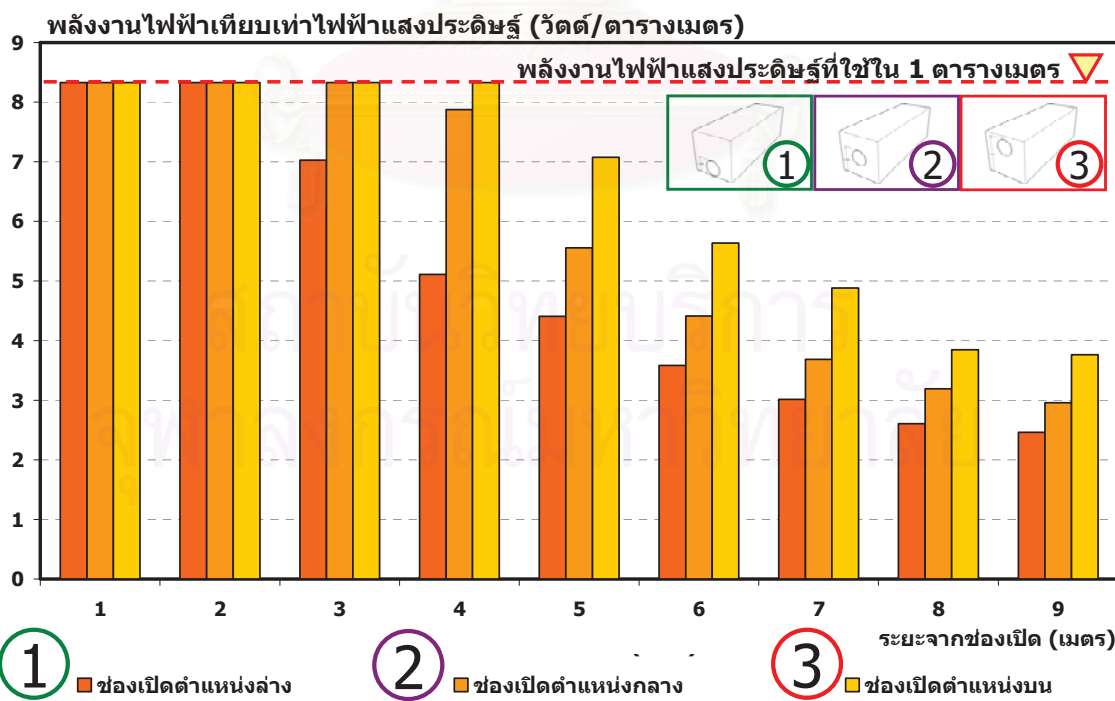
แผนภูมิที่ 4-97 พลังงานไฟฟ้าจากแสงธรรมชาติ เทียบเท่าแสงประดิษฐ์ ของช่องเปิดกลม เส้นผ่านศูนย์กลางขนาด 1.20 เมตร กระจากเขียว 8 มม.

ระดับความส่องสว่างของช่องเปิดกลมขนาด 1.20 เมตร กระจายตามเนตไส 8 มม.



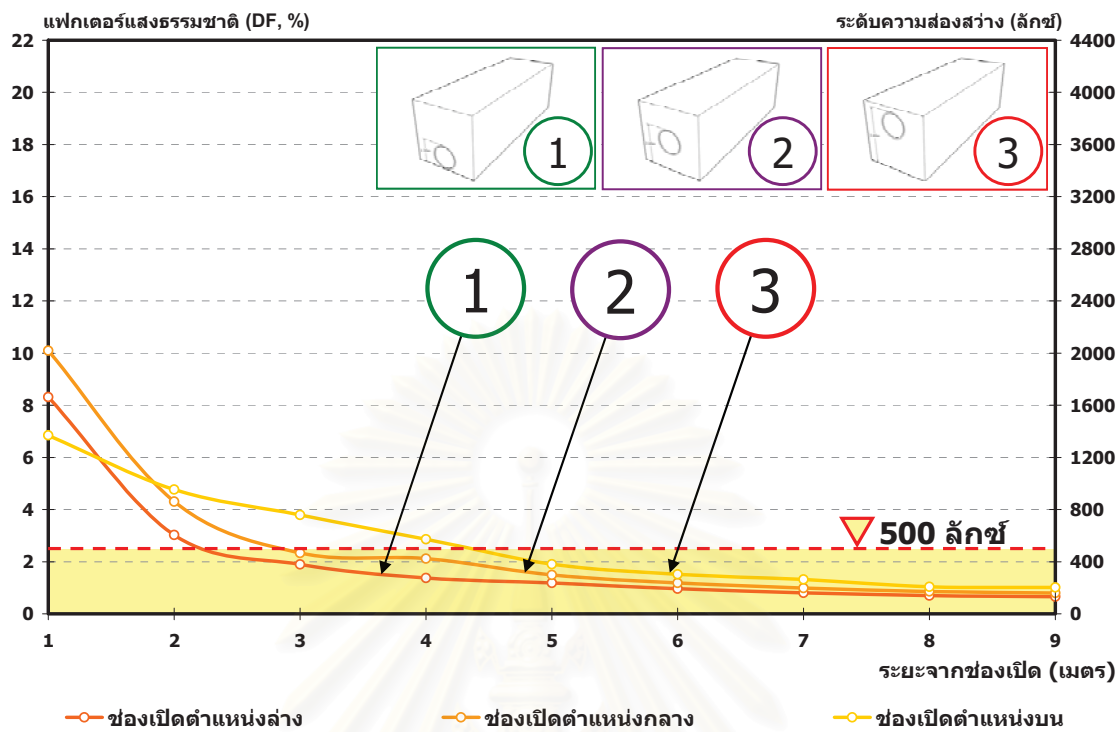
แผนภูมิที่ 4-98 ระดับความส่องสว่างของช่องเปิดกลมเส้นผ่านศูนย์กลางขนาด 1.20 เมตร กระจายตามเนตไส 8 มม. ติดตั้ง 3 ระดับ 1 ตำแหน่งล่าง 2 ตำแหน่งกลาง และ 3 ตำแหน่งบน

พลังงานไฟฟ้าที่ได้รับจากแสงธรรมชาติของช่องเปิดกลมขนาด 1.20 เมตร บนกระจากรามีเนตไส 8 มม.



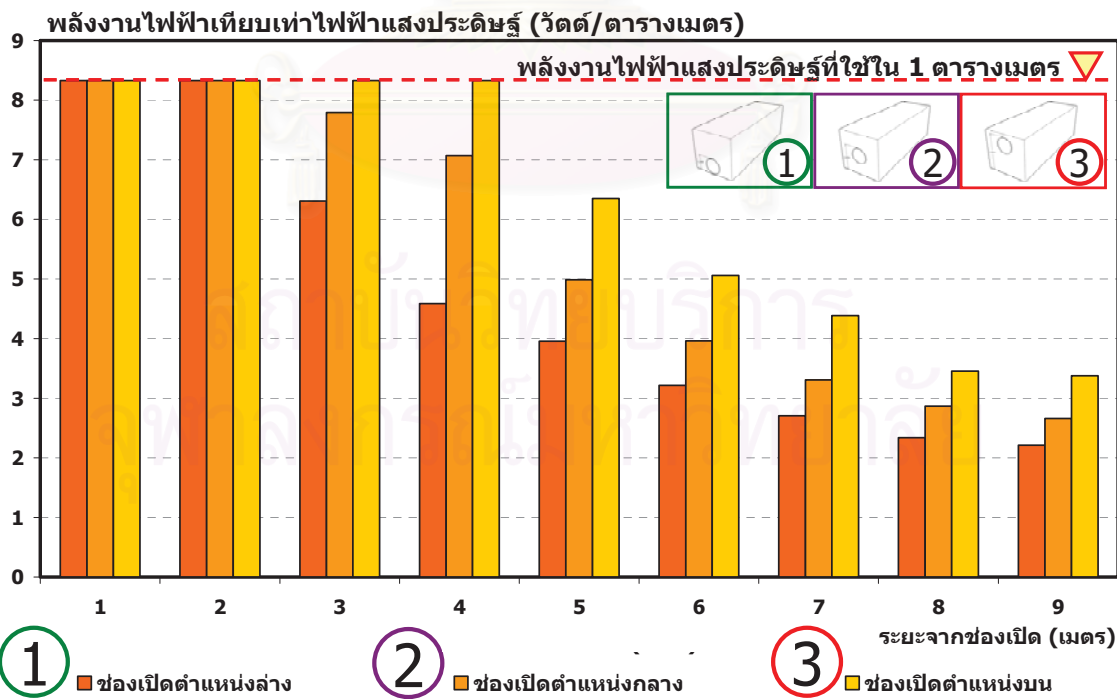
แผนภูมิที่ 4-99 พลังงานไฟฟ้าจากแสงธรรมชาติ เทียบเท่าแสงประดิษฐ์ ของช่องเปิดกลม เส้นผ่านศูนย์กลางขนาด 1.20 เมตร กระจายตามเนตไส 8 มม.

ระดับความส่องสว่างของช่องเปิดกลมขนาด 1.20 เมตร กระจก laminate เนตเชี่ยว 8 มม.



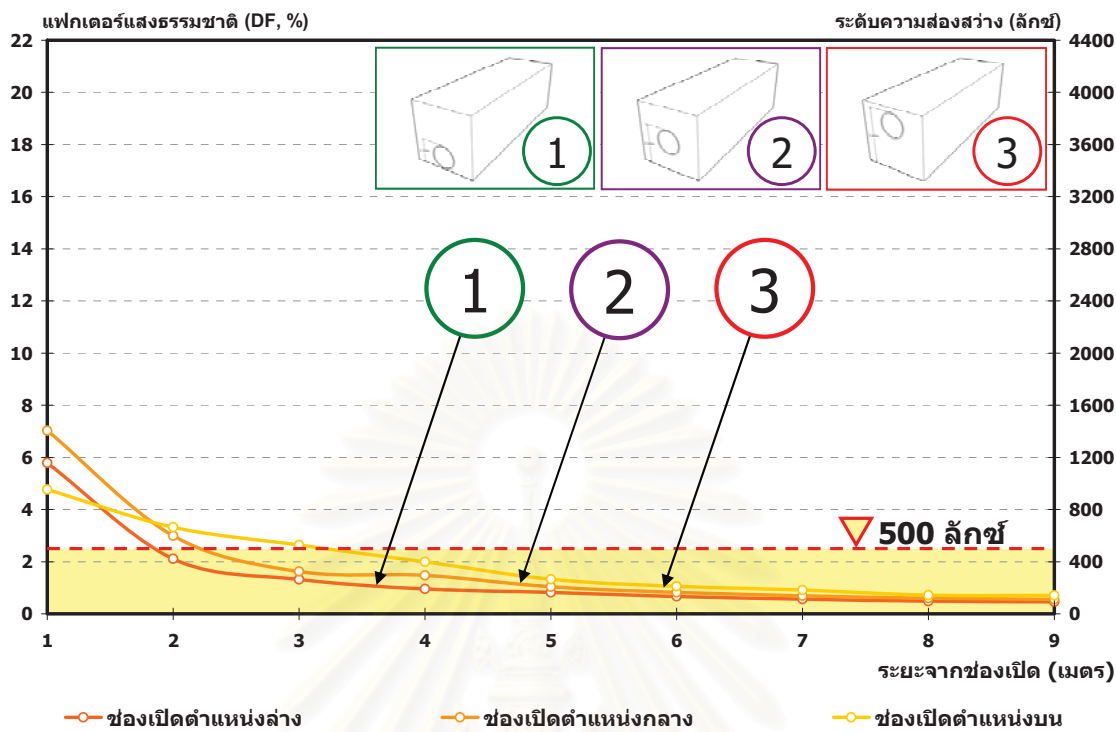
แผนภูมิที่ 4-100 ระดับความส่องสว่างของช่องเปิดกลมเส้นผ่านศูนย์กลางขนาด 1.20 เมตร กระจก laminate เนตเชี่ยว 8 มม. ติดตั้ง 3 ระดับ 1 ตำแหน่งล่าง 2 ตำแหน่งกลาง และ 3 ตำแหน่งบน

พลังงานไฟฟ้าที่ได้รับจากแสงธรรมชาติของช่องเปิดกลมขนาด 1.20 เมตร บนกระจก laminate เนตเชี่ยว 8 มม.



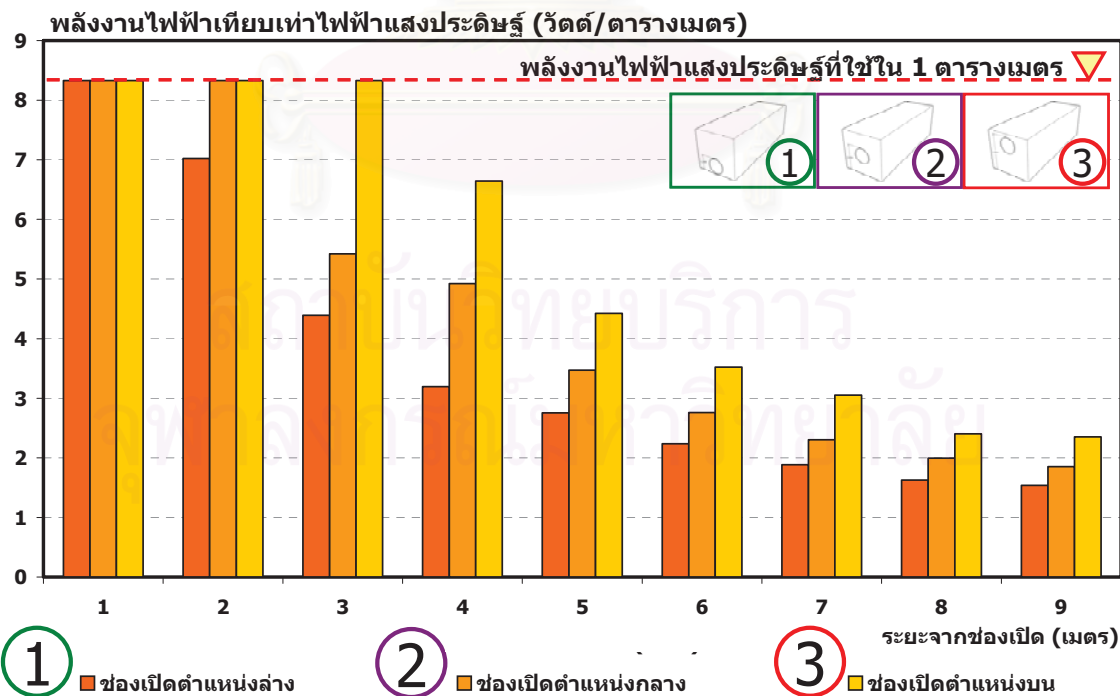
แผนภูมิที่ 4-101 พลังงานไฟฟ้าจากแสงธรรมชาติ เทียบเท่าแสงประดิษฐ์ ของช่องเปิดกลม เส้นผ่านศูนย์กลางขนาด 1.20 เมตร กระจก laminate เนตเชี่ยว 8 มม.

ระดับความส่องสว่างของช่องเปิดกลมขนาด 1.20 เมตร กระจายใส่ 2 ชั้น 24 มม.



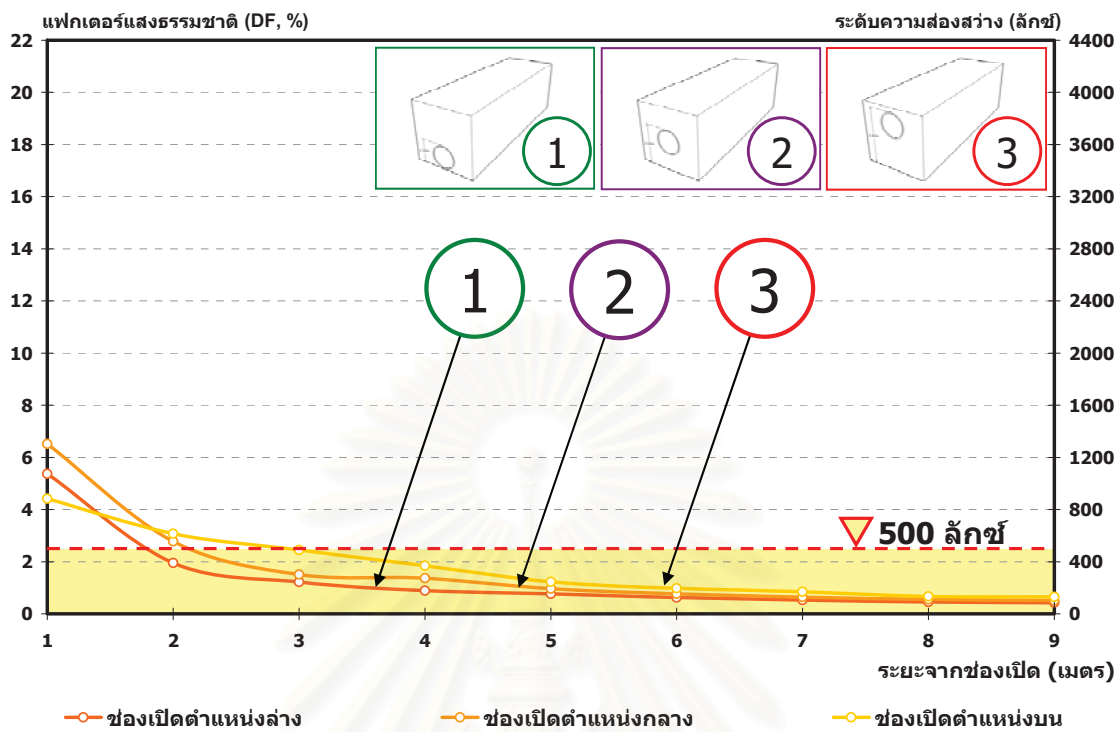
แผนภูมิที่ 4-102 ระดับความส่องสว่างของช่องเปิดกลมเส้นผ่านศูนย์กลางขนาด 1.20 เมตร กระจายใส่ 2 ชั้น 24 มม. ติดตั้ง 3 ระดับ 1 ตำแหน่งล่าง 2 ตำแหน่งกลาง และ 3 ตำแหน่งบน

พลังงานไฟฟ้าที่ได้รับจากแสงธรรมชาติของช่องเปิดกลมขนาด 1.20 เมตร บนกระจกใส 2 ชั้น 24 มม.



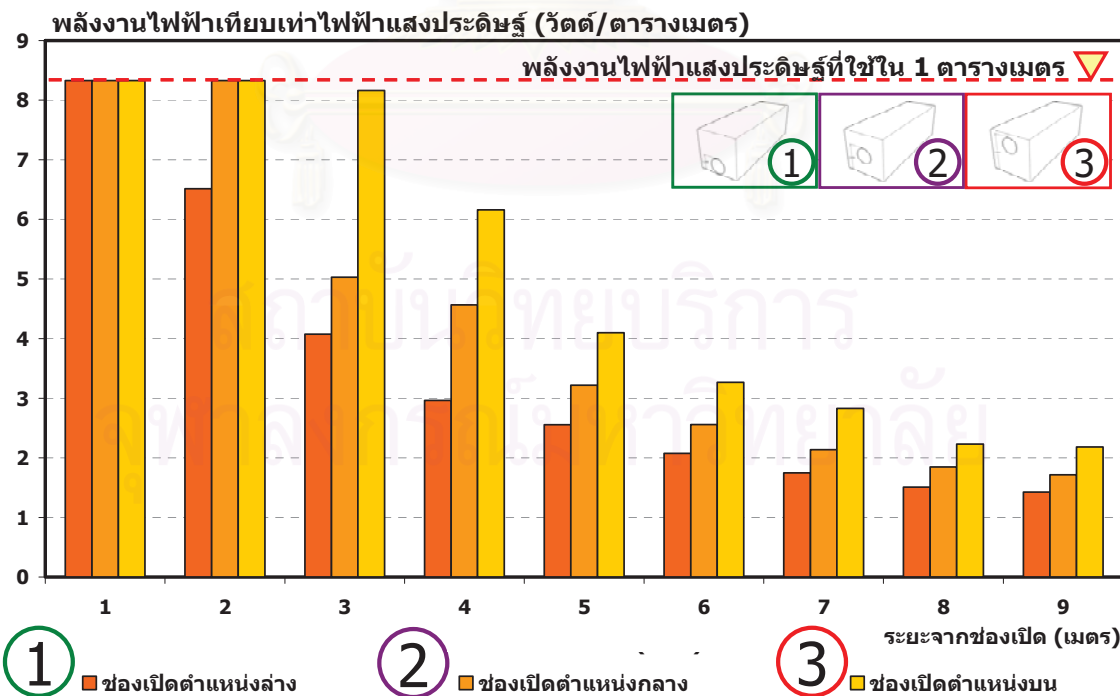
แผนภูมิที่ 4-103 พลังงานไฟฟ้าจากแสงธรรมชาติ เทียบเท่าแสงประดิษฐ์ ของช่องเปิดกลม เส้นผ่านศูนย์กลางขนาด 1.20 เมตร กระจกใส 2 ชั้น 24 มม.

ระดับความส่องสว่างของช่องเปิดกลมขนาด 1.20 เมตร กระจายใส่ 2 ชั้น 32 มม.



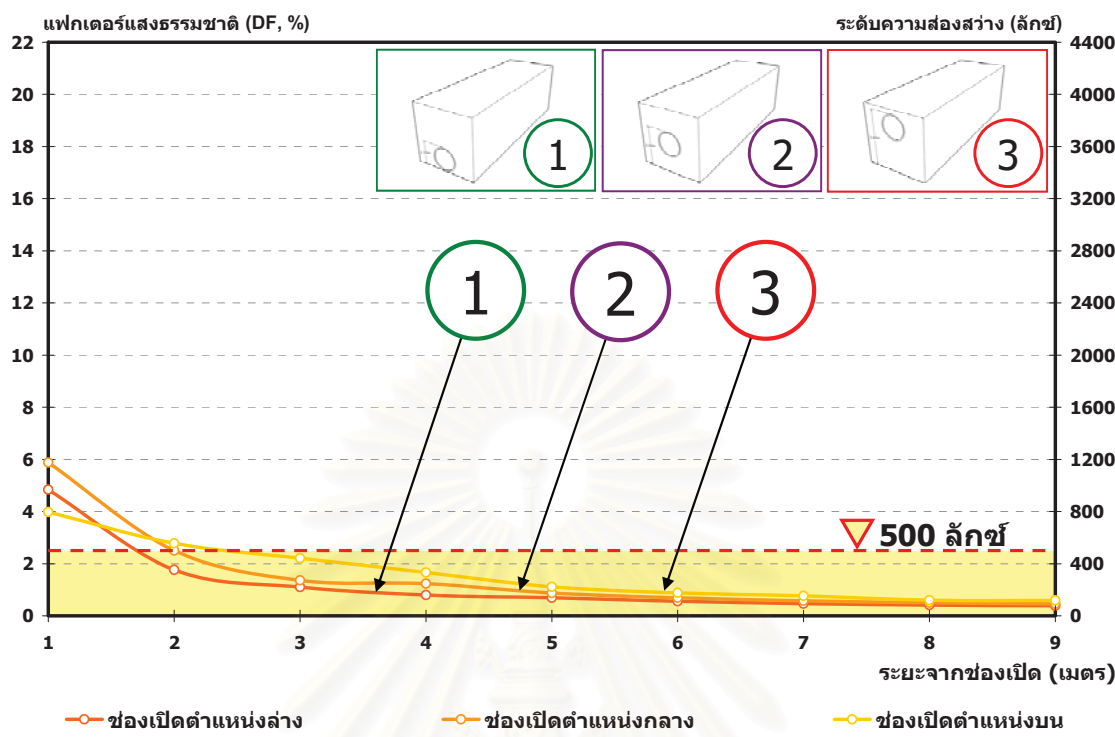
แผนภูมิที่ 4-104 ระดับความส่องสว่างของช่องเปิดกลมเส้นผ่านศูนย์กลางขนาด 1.20 เมตร กระจายใส่ 2 ชั้น 32 มม. ติดตั้ง 3 ระดับ 1 ตำแหน่งล่าง 2 ตำแหน่งกลาง และ 3 ตำแหน่งบน

พลังงานไฟฟ้าที่ได้รับจากแสงธรรมชาติของช่องเปิดกลมขนาด 1.20 เมตร
บนกระจกใส 2 ชั้น 32 มม.



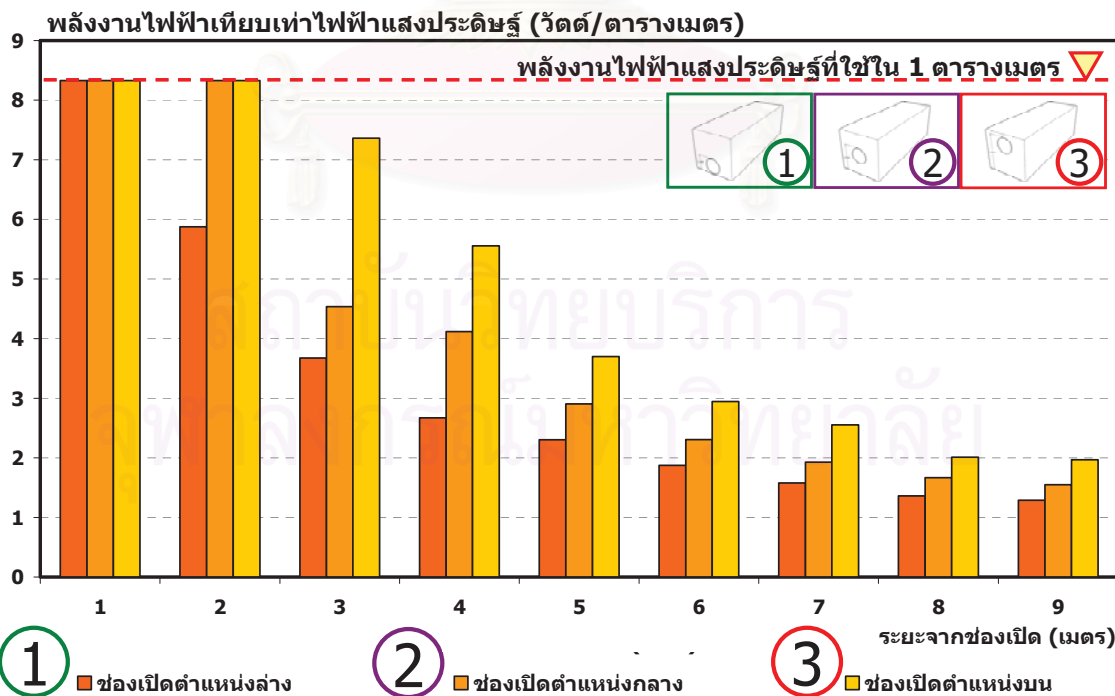
แผนภูมิที่ 4-105 พลังงานไฟฟ้าจากแสงธรรมชาติ เทียบเท่าแสงประดิษฐ์ ของช่องเปิดกลม เส้นผ่านศูนย์กลางขนาด 1.20 เมตร กระจายใส่ 2 ชั้น 32 มม.

ระดับความส่องสว่างของช่องเปิดกลมขนาด 1.20 เมตร กระจายเขียว 2 ชั้น 24 มม.



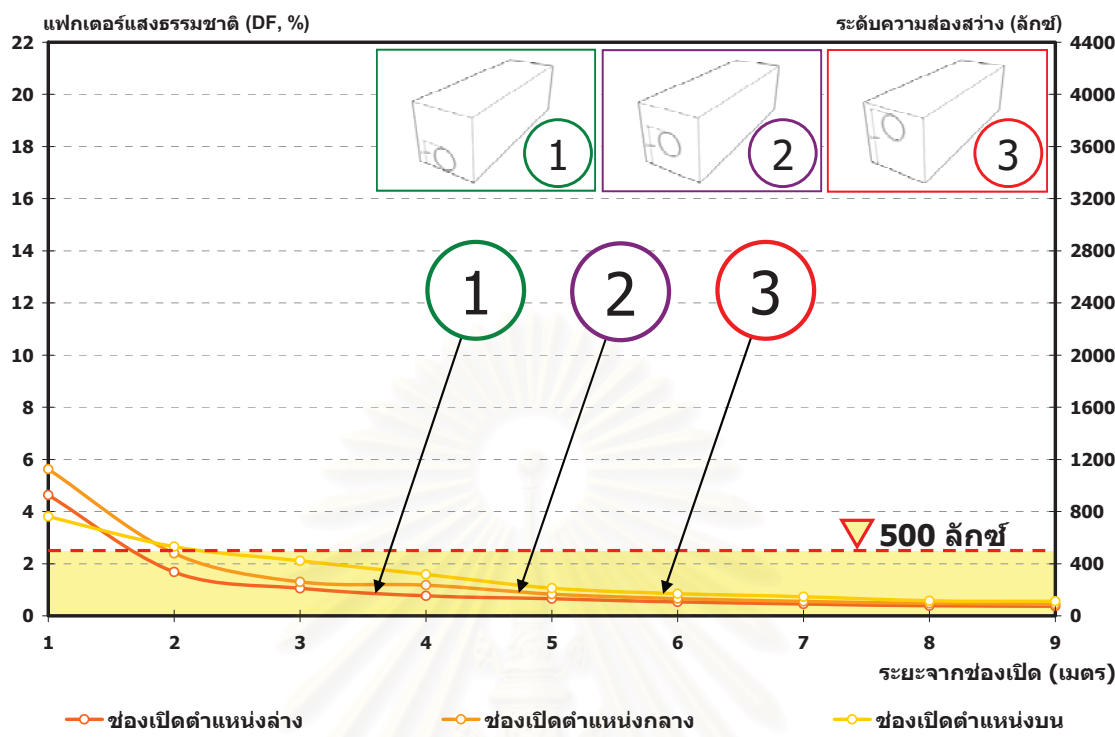
แผนภูมิที่ 4-106 ระดับความส่องสว่างของช่องเปิดกลมเส้นผ่านศูนย์กลางขนาด 1.20 เมตร กระจายเขียว 2 ชั้น 24 มม. ติดตั้ง 3 ระดับ 1 ตำแหน่งล่าง 2 ตำแหน่งกลาง และ 3 ตำแหน่งบน

พลังงานไฟฟ้าที่ได้รับจากแสงธรรมชาติของช่องเปิดกลมขนาด 1.20 เมตร
นานกระจายเขียว 2 ชั้น 24 มม.



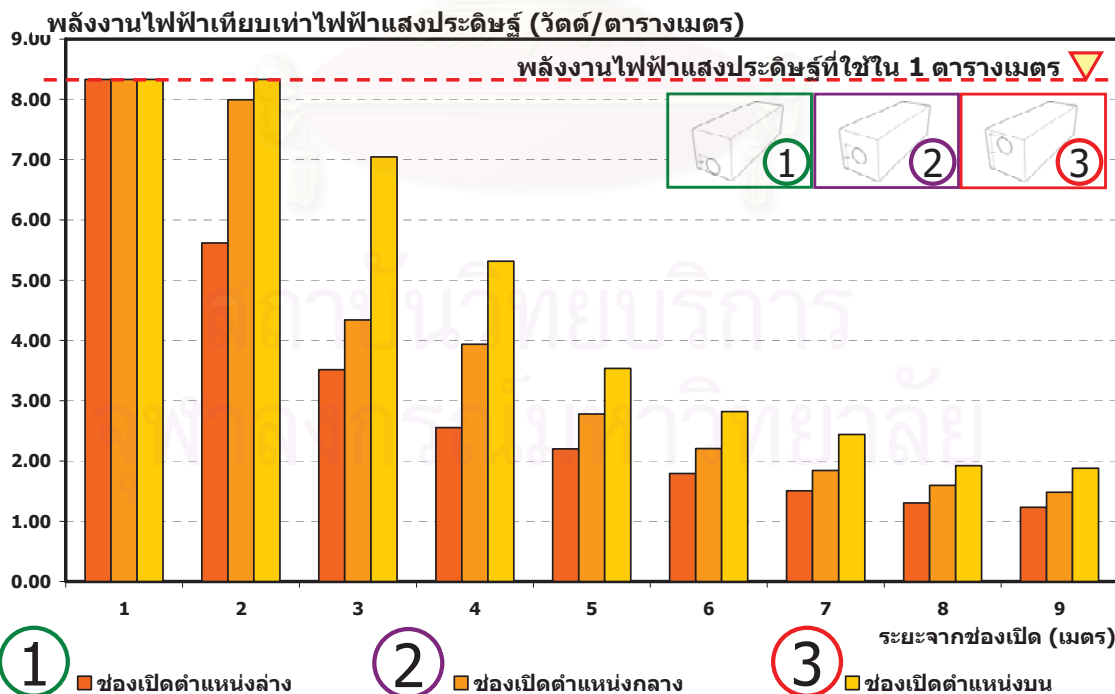
แผนภูมิที่ 4-107 พลังงานไฟฟ้าจากแสงธรรมชาติ เทียบเท่าแสงประดิษฐ์ ของช่องเปิดกลม เส้นผ่านศูนย์กลางขนาด 1.20 เมตร กระจายเขียว 2 ชั้น 24 มม.

ระดับความส่องสว่างของช่องเปิดกลมขนาด 1.20 เมตร กระจายเขียว 2 ชั้น 32 มม.

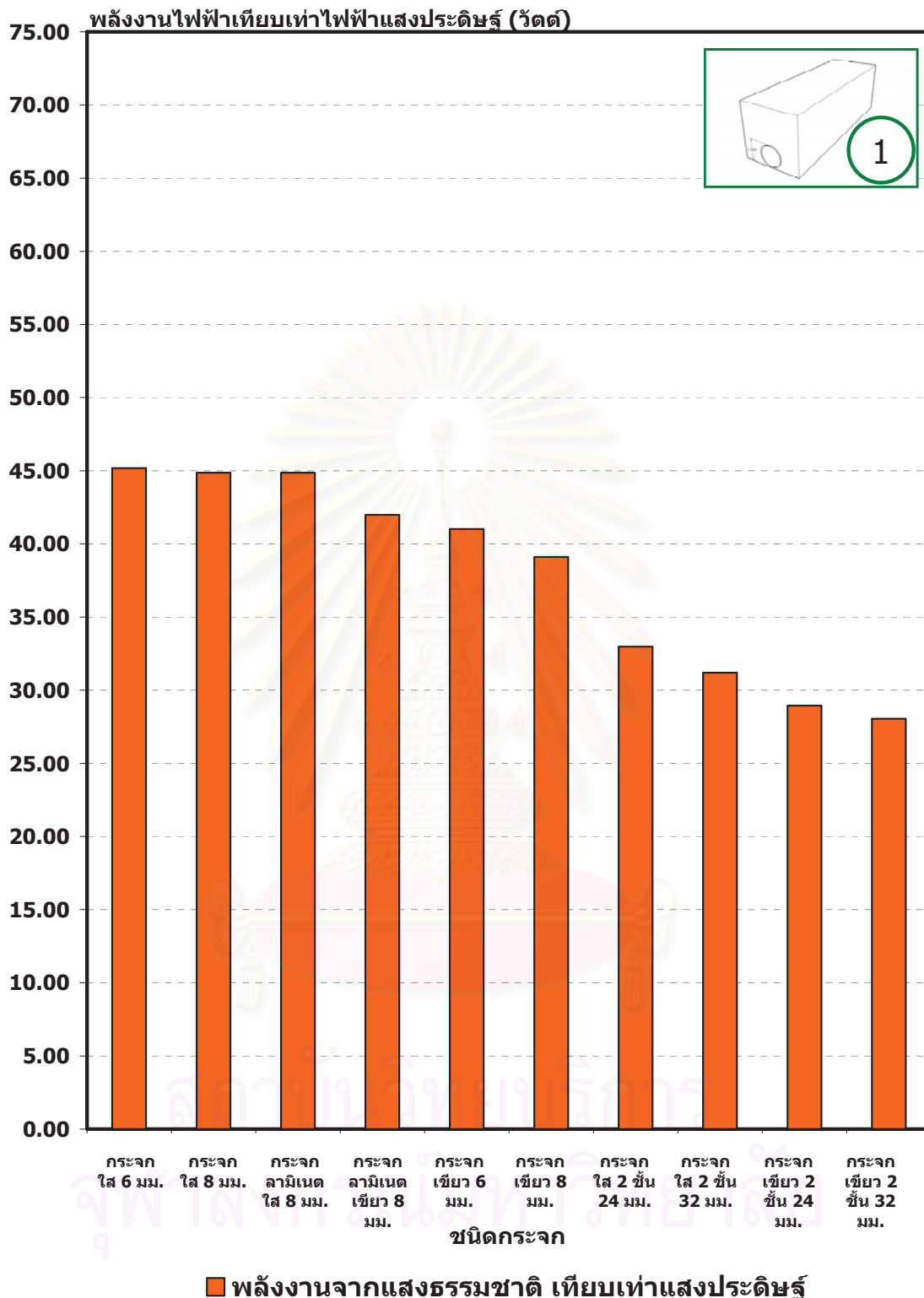


แผนภูมิที่ 4-108 ระดับความส่องสว่างของช่องเปิดกลมเส้นผ่านศูนย์กลางขนาด 1.20 เมตร กระจายเขียว 2 ชั้น 32 มม. ติดตั้ง 3 ระดับ 1 ตำแหน่งล่าง 2 ตำแหน่งกลาง และ 3 ตำแหน่งบน

พลังงานไฟฟ้าที่ได้รับจากแสงธรรมชาติของช่องเปิดกลมขนาด 1.20 เมตร นานกระจายเขียว 2 ชั้น 32 มม.



แผนภูมิที่ 4-109 พลังงานไฟฟ้าจากแสงธรรมชาติ เทียบเท่าแสงประดิษฐ์ ของช่องเปิดกลม เส้นผ่านศูนย์กลางขนาด 1.20 เมตร กระจายเขียว 2 ชั้น 32 มม.



แผนภูมิที่ 4-110 เปรียบเทียบพลังงานไฟฟ้าจากแสงธรรมชาติ เทียบเท่าแสง谱ดิษฐ์ ของช่องเปิดกลมเส้นผ่านศูนย์กลางขนาด 1.20 เมตร ตำแหน่งล่าง จากวัสดุบานกระจกแตกต่างกัน

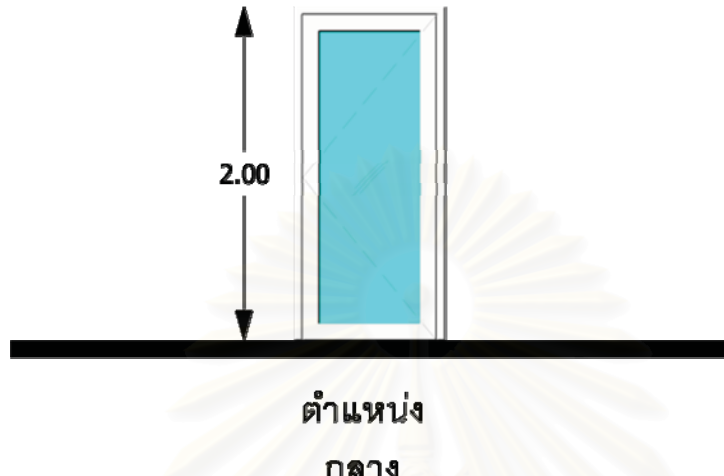


แผนภูมิที่ 4-111 เปรียบเทียบพลังงานไฟฟ้าจากแสงธรรมชาติ เทียบเท่าแสง谱ดิษฐ์ ของช่องเปิด กลมเส้นผ่านศูนย์กลางขนาด 1.20 เมตร ตำแหน่งกลาง จากวัสดุบนกระเจกแตกต่างกัน



แผนภูมิที่ 4-112 เปรียบเทียบพลังงานไฟฟ้าจากแสงธรรมชาติ เทียบเท่าแสง谱ดิษฐ์ ของช่องเปิดกลมเส้นผ่านศูนย์กลางขนาด 1.20 เมตร ตำแหน่งบน จากรัศดูบานกระจกแตกต่างกัน

ระดับความส่องสว่างจากแสงธรรมชาติ และพลังงานไฟฟ้าเทียบเท่าแสง
ประดิษฐ์ของช่องเปิดขนาด 0.90×2.00 เมตร

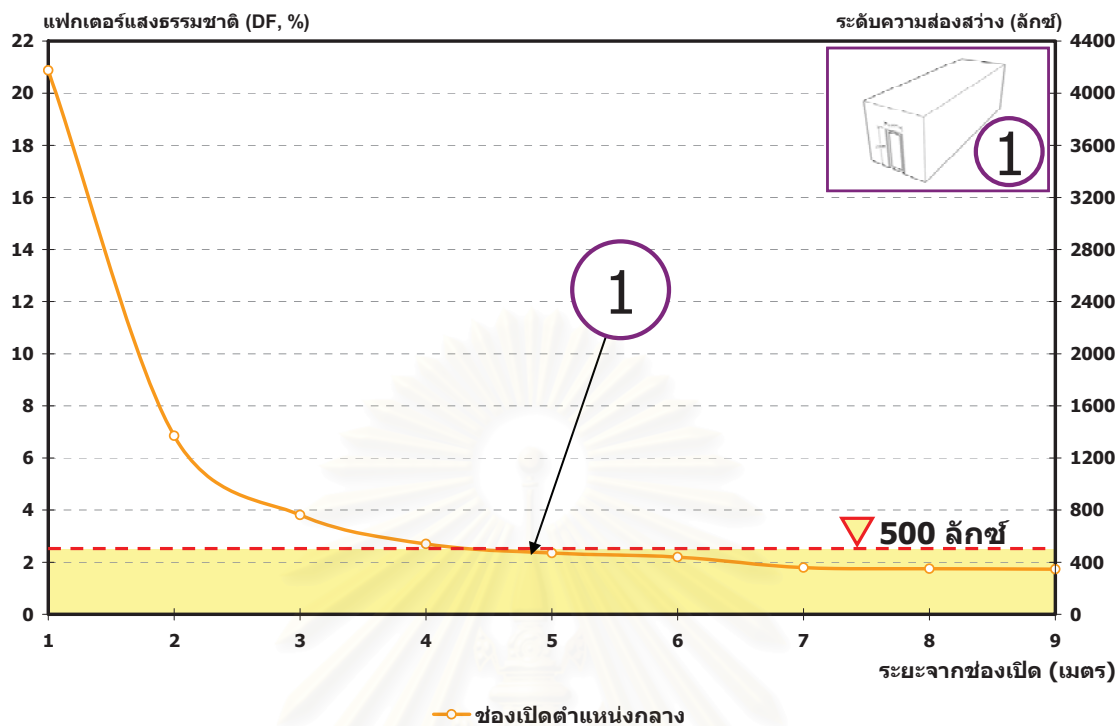


รูปที่ 4-15 ตัวแทนงติดตั้งสำหรับทดสอบช่องเปิดขนาด 0.90×2.00 เมตร



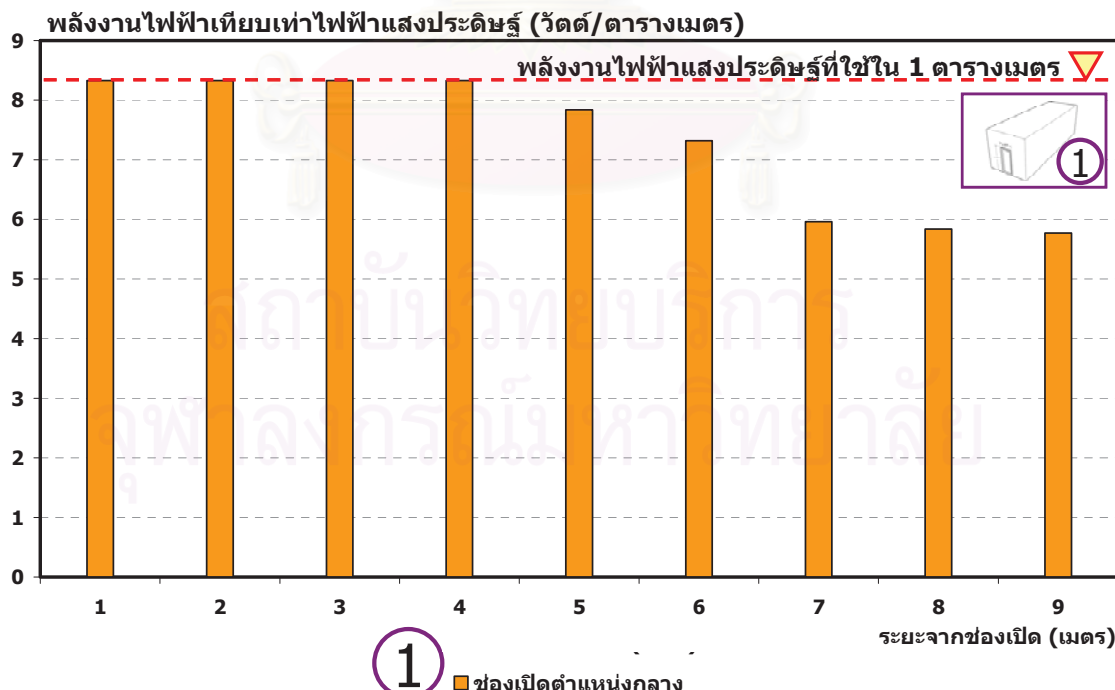
รูปที่ 4-16 การทดสอบระดับความส่องสว่างของช่องเปิด 0.90×2.00 เมตร ที่ตัวแทนงกลาง

ระดับความส่องสว่างของช่องเปิดขนาด 0.90×1.20 เมตร กระจายใส่ 6 มม.



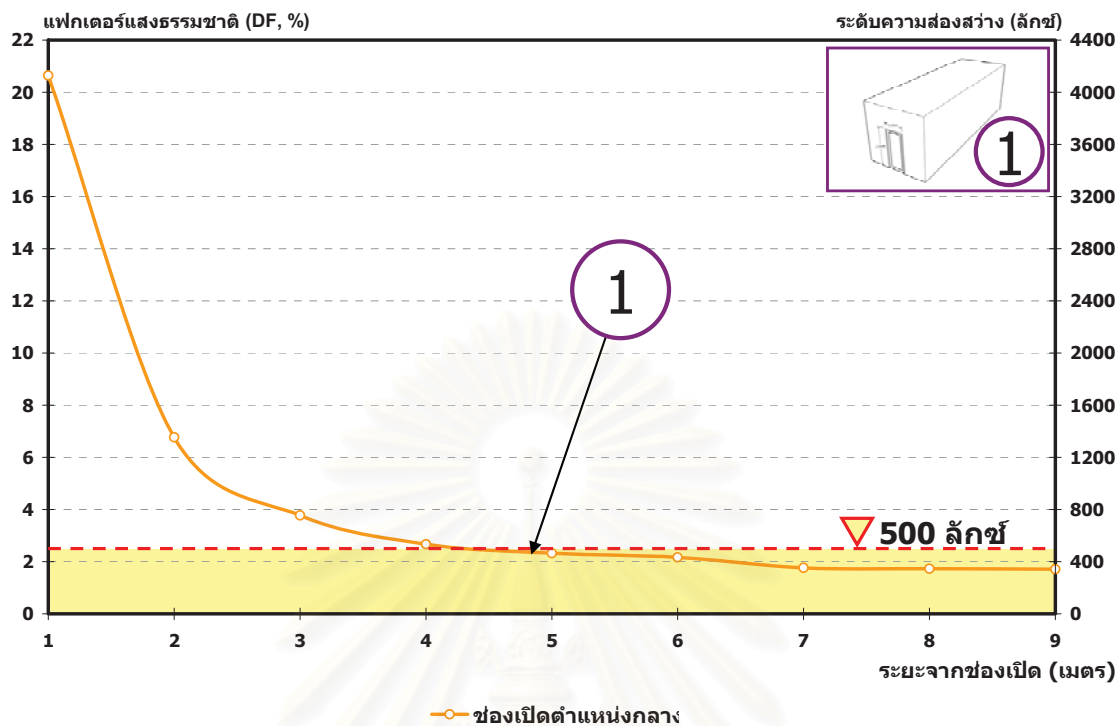
แผนภูมิที่ 4-113 ระดับความส่องสว่างของช่องเปิดขนาด 0.90×2.00 เมตร กระจายใส่ 6 มม. ติดตั้งตำแหน่งกลาง

พลังงานไฟฟ้าที่ได้รับจากแสงธรรมชาติของช่องเปิดกลมขนาด 1.20 เมตร
บนกระจายใส่ 6 มม.



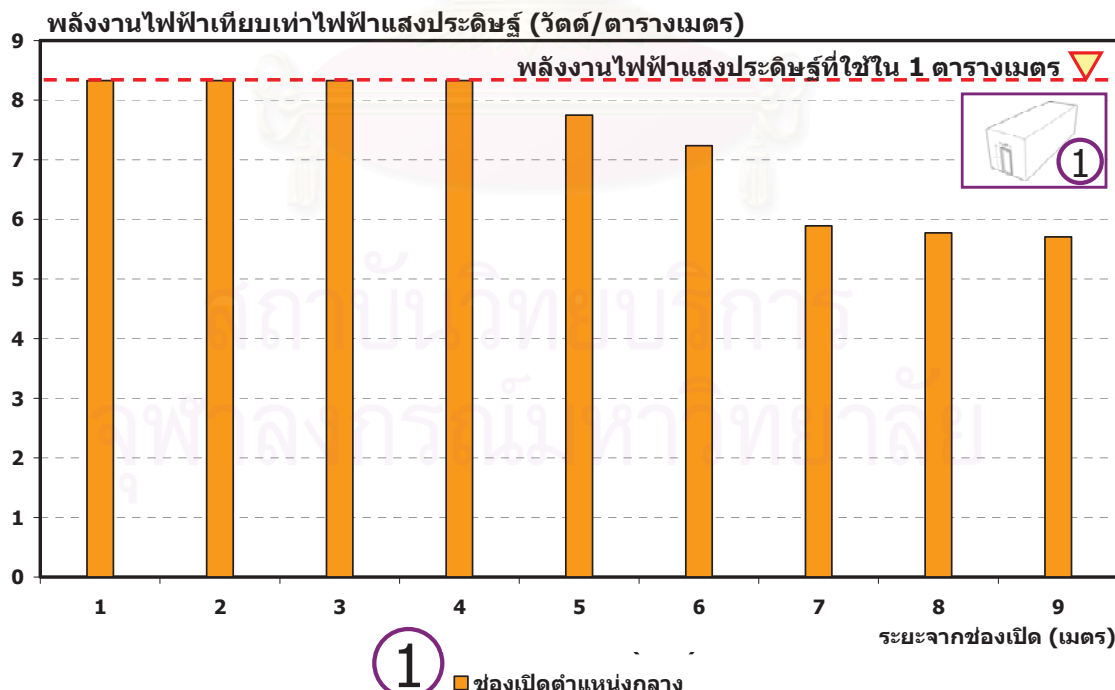
แผนภูมิที่ 4-114 พลังงานไฟฟ้าจากแสงธรรมชาติ เทียบเท่าแสงประดิษฐ์ ของช่องเปิดขนาด 0.90×2.00 เมตร กระจายใส่ 6 มม

ระดับความส่องสว่างของช่องเปิดขนาด 0.90×1.20 เมตร กระจายใส่ 8 มม.



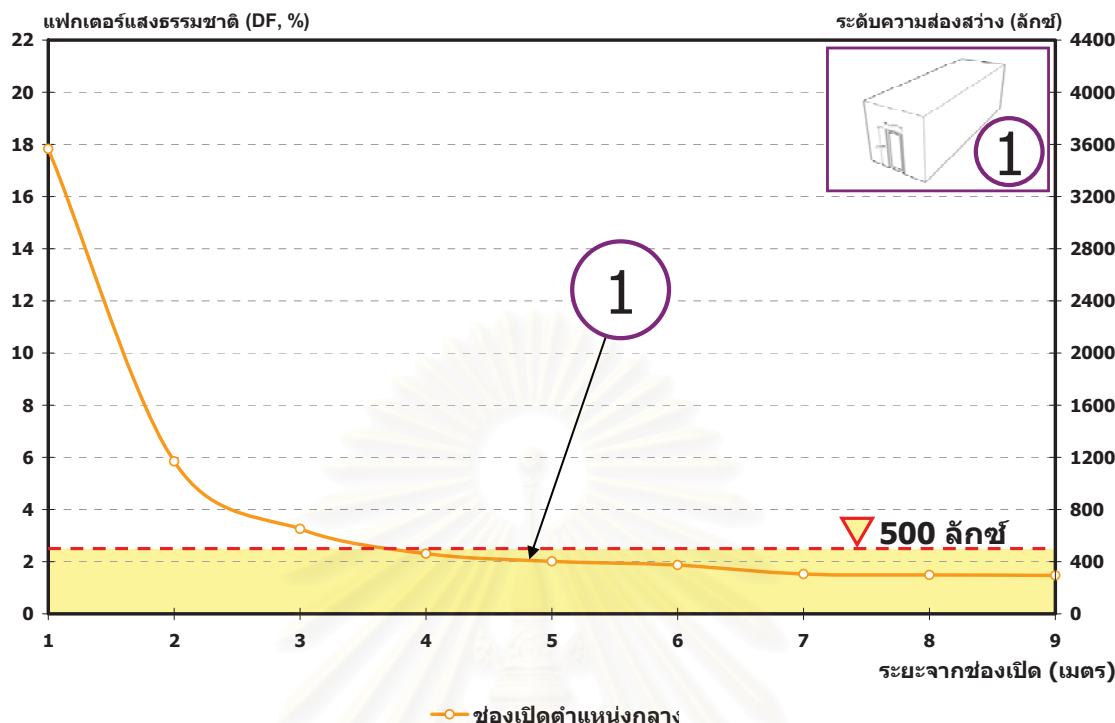
แผนภูมิที่ 4-115 ระดับความส่องสว่างของช่องเปิดขนาด 0.90×2.00 เมตร กระจายใส่ 8 มม. ติดตั้งตำแหน่งกลาง

พลังงานไฟฟ้าที่ได้รับจากแสงธรรมชาติของช่องเปิดกลมขนาด 1.20 เมตร
บานกระจายใส่ 8 มม.



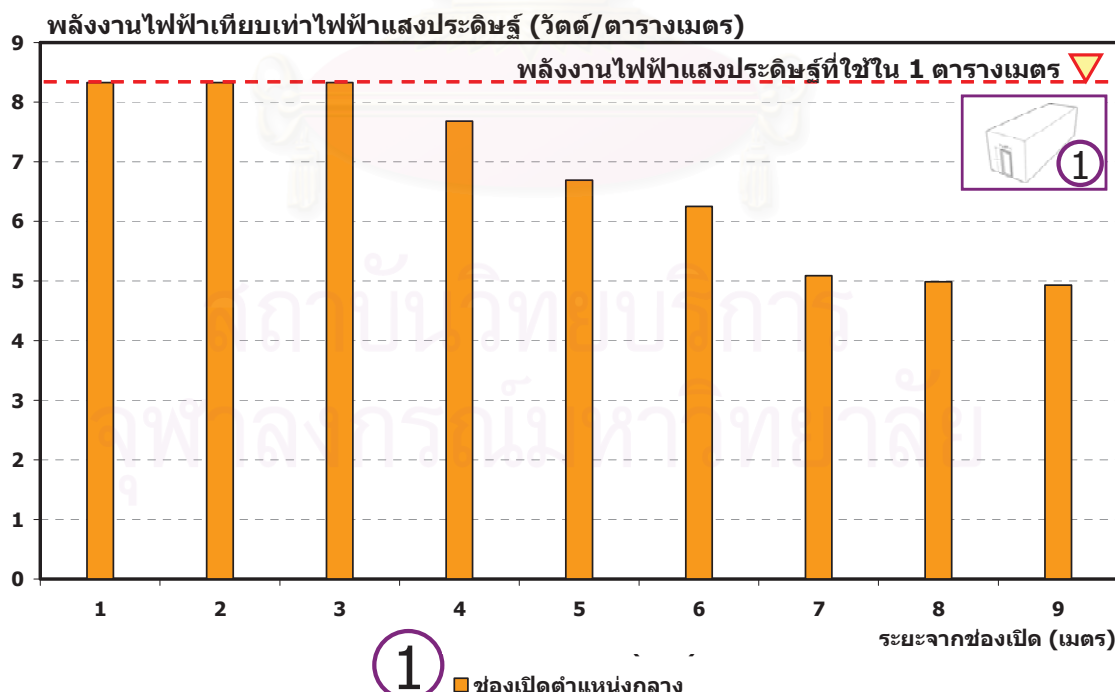
แผนภูมิที่ 4-116 พลังงานไฟฟ้าจากแสงธรรมชาติ เทียบเท่าแสงประดิษฐ์ ของช่องเปิดขนาด 0.90×2.00 เมตร กระจายใส่ 8 มม.

ระดับความส่องสว่างของช่องเปิดขนาด 0.90×1.20 เมตร กระจากเขียว 6 มม.



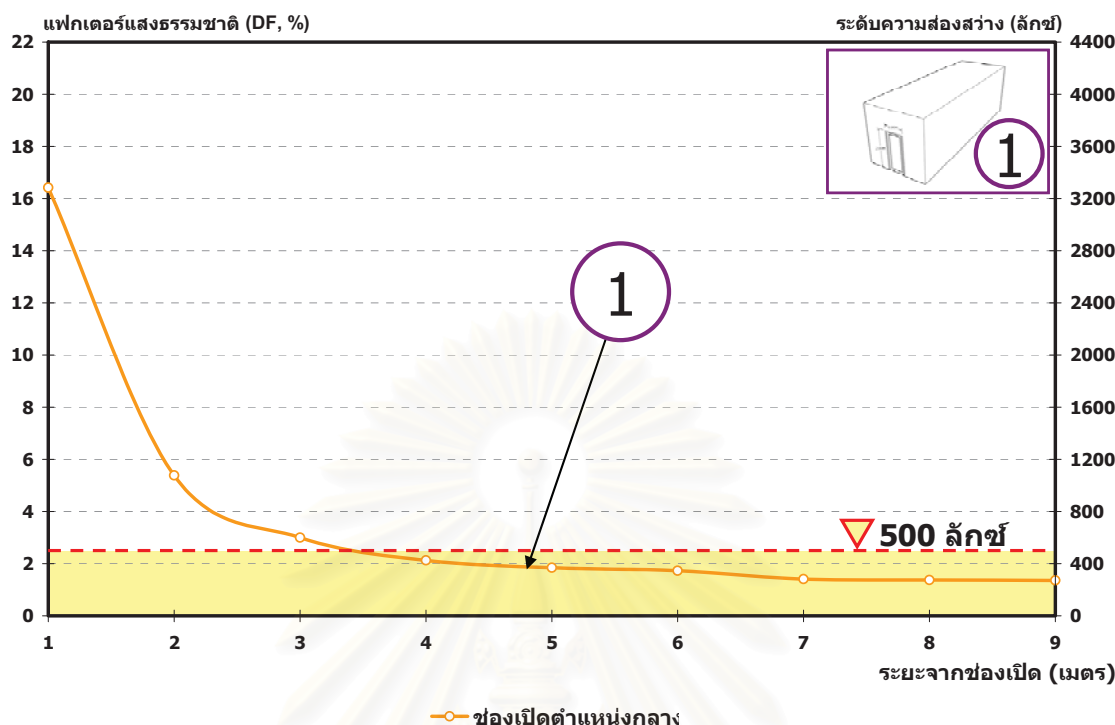
แผนภูมิที่ 4-117 ระดับความส่องสว่างของช่องเปิดขนาด 0.90×2.00 เมตร กระจากเขียว 6 มม. ติดตั้งตำแหน่งกลาง

พลังงานไฟฟ้าที่ได้รับจากแสงธรรมชาติของช่องเปิดกลมขนาด 1.20 เมตร
บนกระจากเขียว 6 มม.



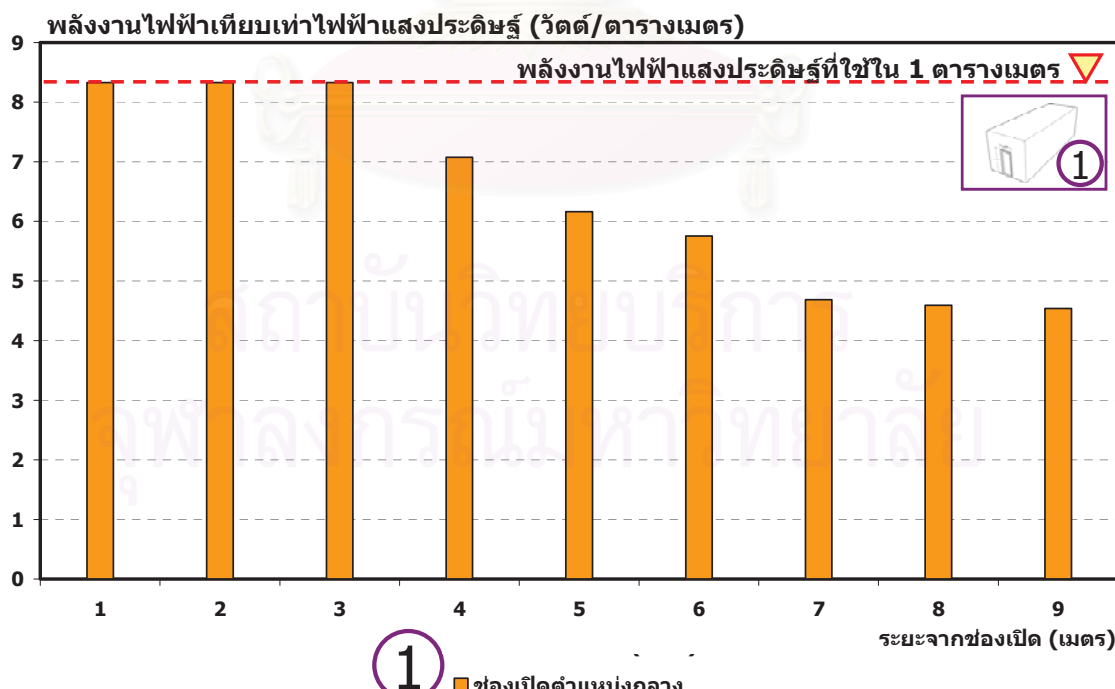
แผนภูมิที่ 4-118 พลังงานไฟฟ้าจากแสงธรรมชาติ เทียบเท่าแสงประดิษฐ์ ของช่องเปิดขนาด 0.90×2.00 เมตร กระจากเขียว 6 มม.

ระดับความส่องสว่างของช่องเปิดขนาด 0.90×1.20 เมตร กระจากเขียว 8 มม.



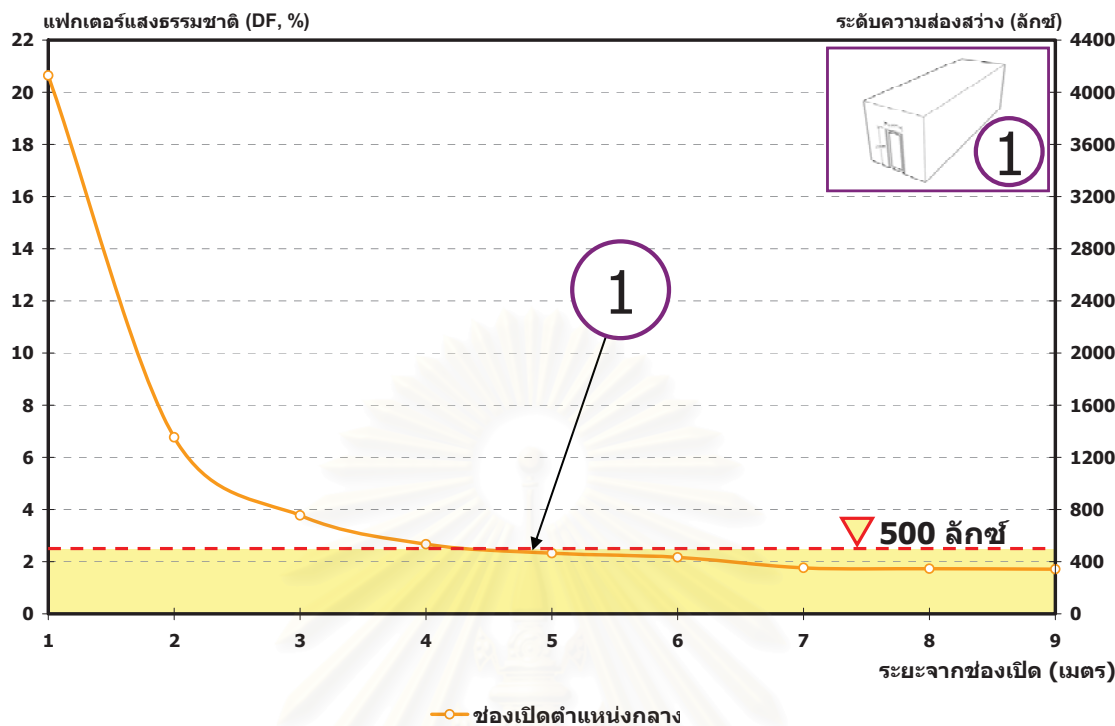
แผนภูมิที่ 4-119 ระดับความส่องสว่างของช่องเปิดขนาด 0.90×2.00 เมตร กระจากเขียว 8 มม. ติดตั้งตำแหน่งกลาง

พลังงานไฟฟ้าที่ได้รับจากแสงธรรมชาติของช่องเปิดกลมขนาด 1.20 เมตร
บนกระจากเขียว 8 มม.



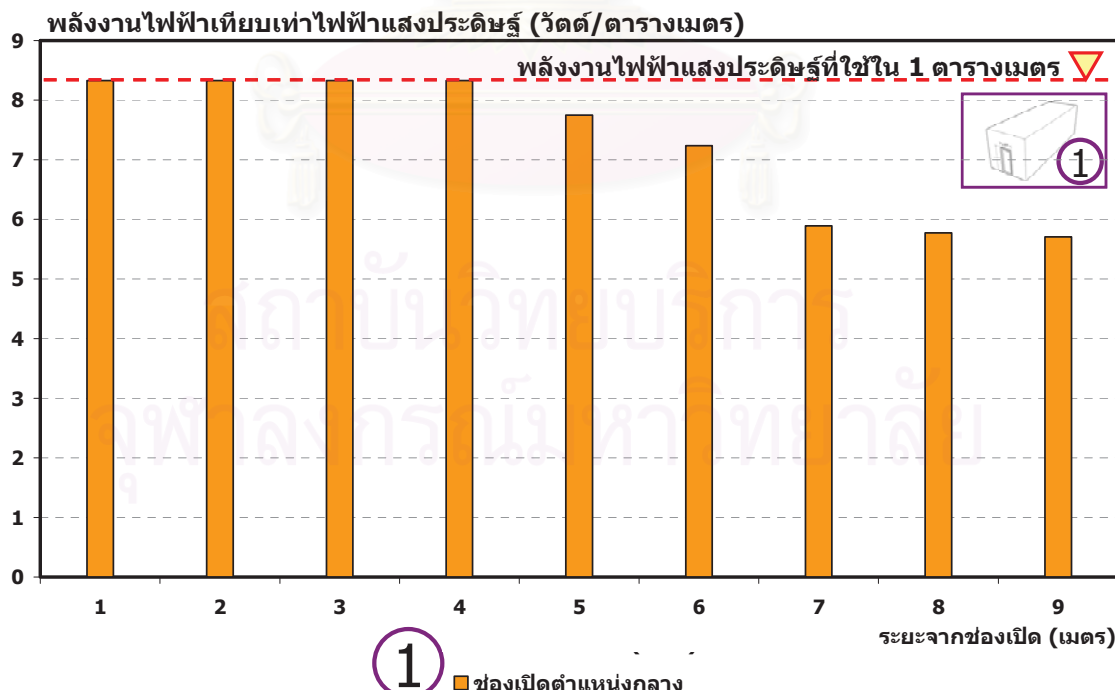
แผนภูมิที่ 4-120 พลังงานไฟฟ้าจากแสงธรรมชาติ เทียบเท่าแสงประดิษฐ์ ของช่องเปิดขนาด 0.90×2.00 เมตร กระจากเขียว 8 มม.

ระดับความส่องสว่างของช่องเปิดขนาด 0.90×1.20 เมตร กระจก laminate ใส 8 มม.



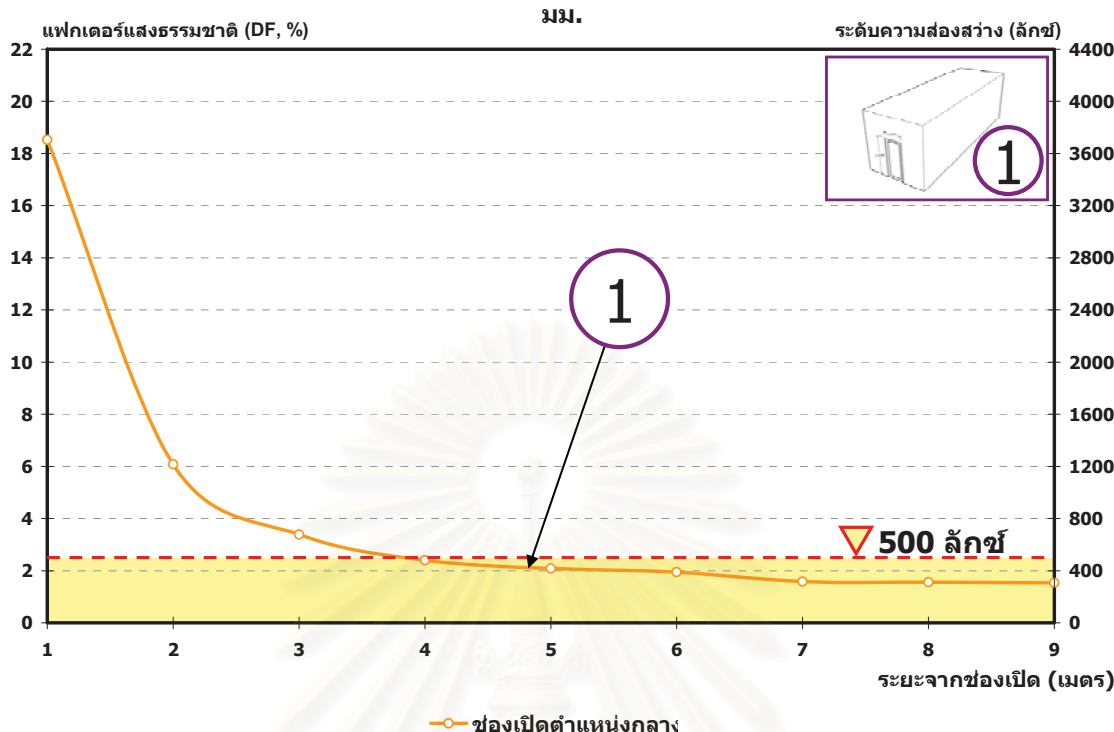
แผนภูมิที่ 4-121 ระดับความส่องสว่างของช่องเปิดขนาด 0.90×2.00 เมตร กระจก laminate ใส 8 มม.
ติดตั้งตำแหน่งกลาง

พลังงานไฟฟ้าที่ได้รับจากแสงธรรมชาติของช่องเปิดกลมขนาด 1.20 เมตร
บนกระจก laminate ใส 8 มม.



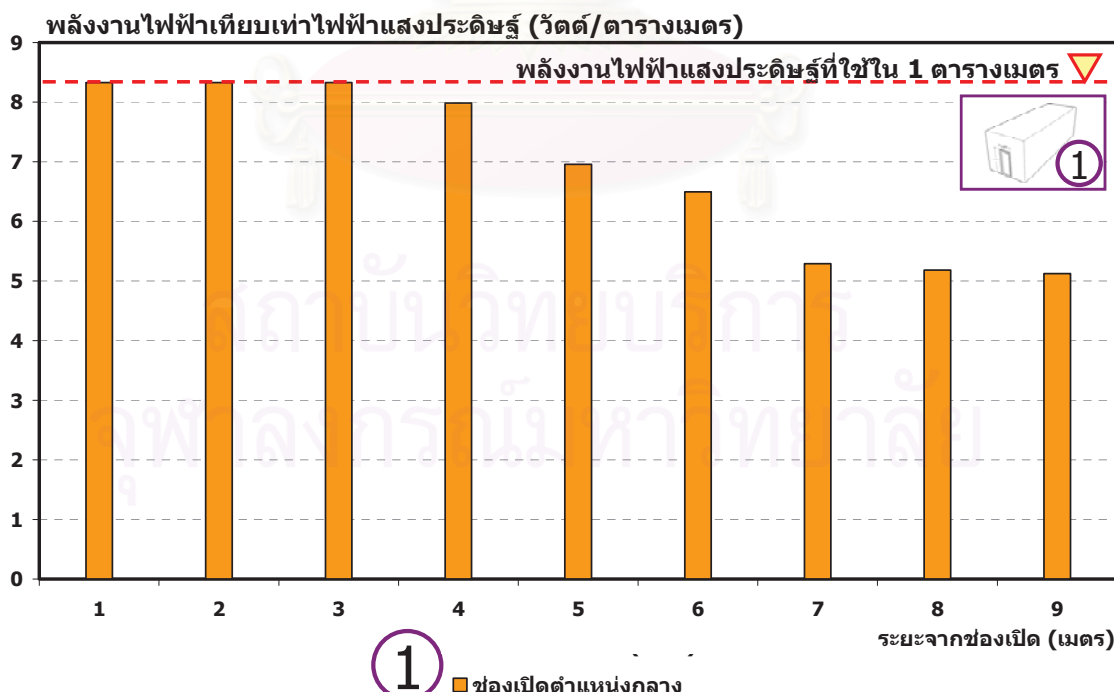
แผนภูมิที่ 4-122 พลังงานไฟฟ้าจากแสงธรรมชาติ เทียบเท่าแสงประดิษฐ์ ของช่องเปิดขนาด 0.90×2.00 เมตร กระจก laminate ใส 8 มม.

ระดับความส่องสว่างของช่องเปิดขนาด 0.90×1.20 เมตร กระจก laminate เขียว 8 มม.



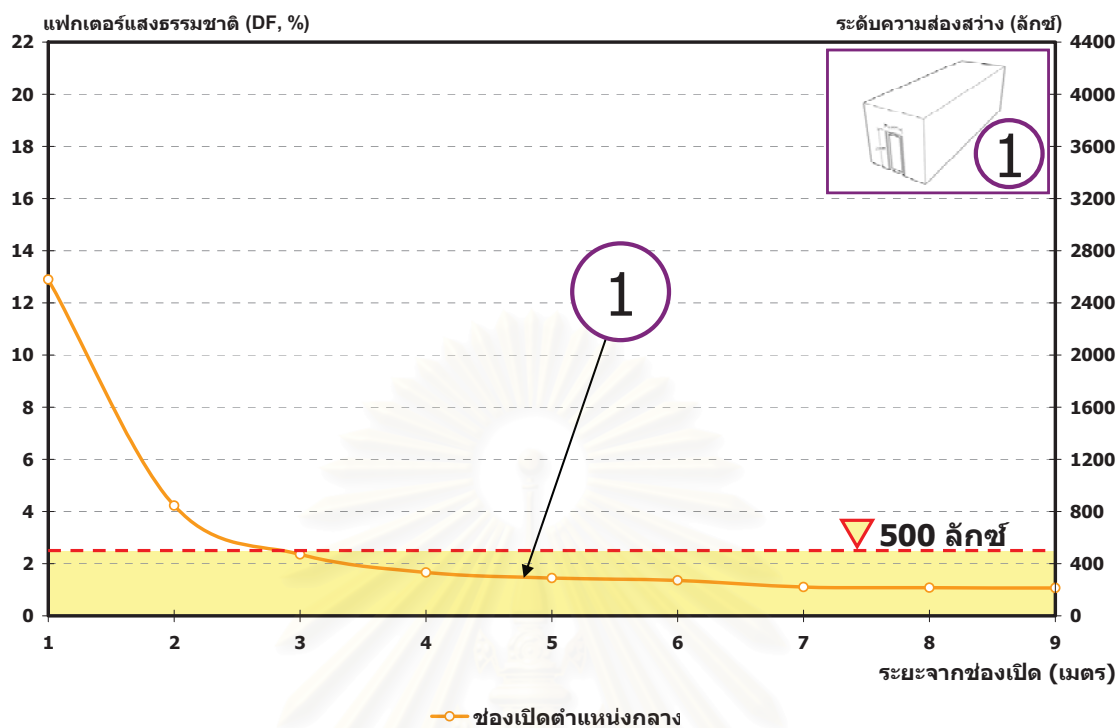
แผนภูมิที่ 4-123 ระดับความส่องสว่างของช่องเปิดขนาด 0.90×2.00 เมตร กระจก laminate เขียว 8 มม.
ติดตั้งตำแหน่งกลาง

พลังงานไฟฟ้าที่ได้รับจากแสงธรรมชาติของช่องเปิดกลมขนาด 1.20 เมตร
บนกระจก laminate เขียว 8 มม.



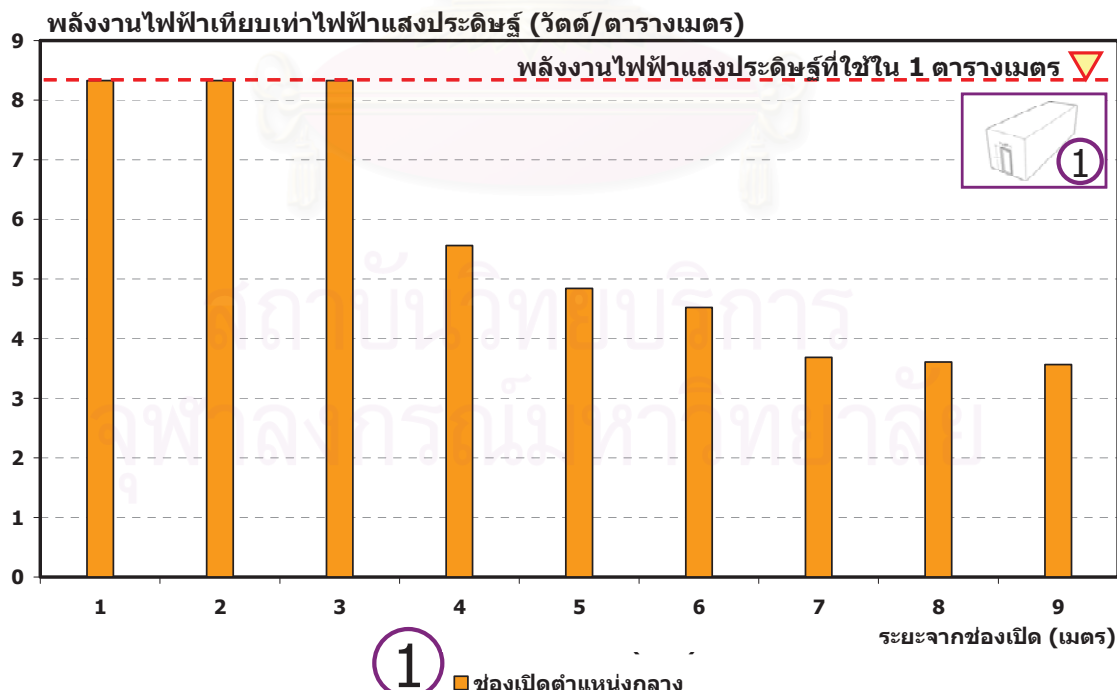
แผนภูมิที่ 4-124 พลังงานไฟฟ้าจากแสงธรรมชาติ เทียบเท่าแสงประดิษฐ์ ของช่องเปิดขนาด 0.90×2.00 เมตร กระจก laminate เขียว 8 มม.

ระดับความส่องสว่างของช่องเปิดขนาด 0.90×1.20 เมตร กระจายใส่ 2 ชั้น 24 มม.



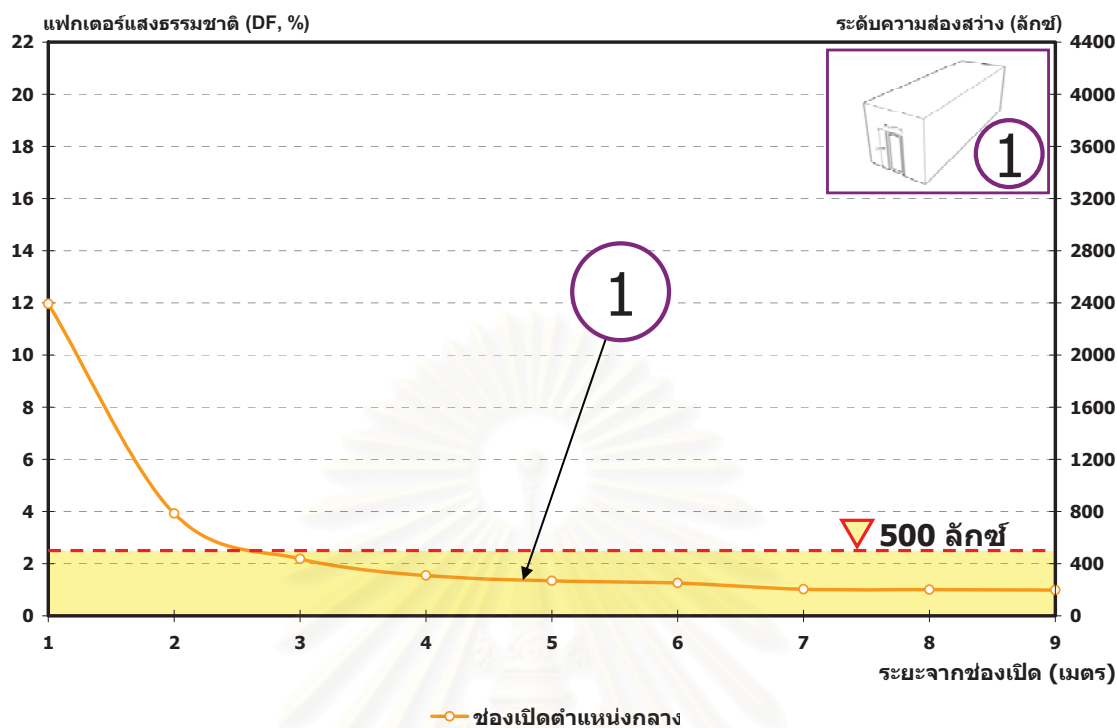
แผนภูมิที่ 4-125 ระดับความส่องสว่างของช่องเปิดขนาด 0.90×2.00 เมตร กระจายใส่ 2 ชั้น 24 มม.
ติดตั้งตำแหน่งกลาง

พลังงานไฟฟ้าที่ได้รับจากแสงธรรมชาติของช่องเปิดกลมขนาด 1.20 เมตร
บนกระจกใส 2 ชั้น 24 มม.



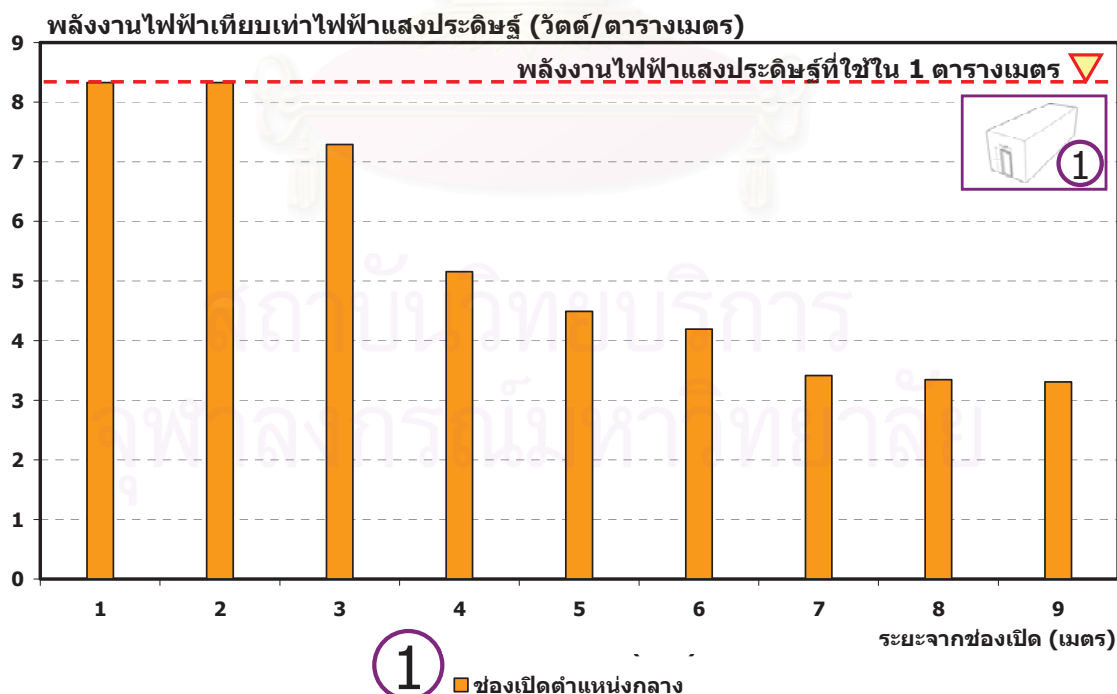
แผนภูมิที่ 4-126 พลังงานไฟฟ้าจากแสงธรรมชาติ เทียบเท่าแสงประดิษฐ์ ของช่องเปิดขนาด 0.90×2.00 เมตร กระจกใส 2 ชั้น 24 มม.

ระดับความส่องสว่างของช่องเปิดขนาด 0.90×1.20 เมตร กระจายใส่ 2 ชั้น 32 มม.



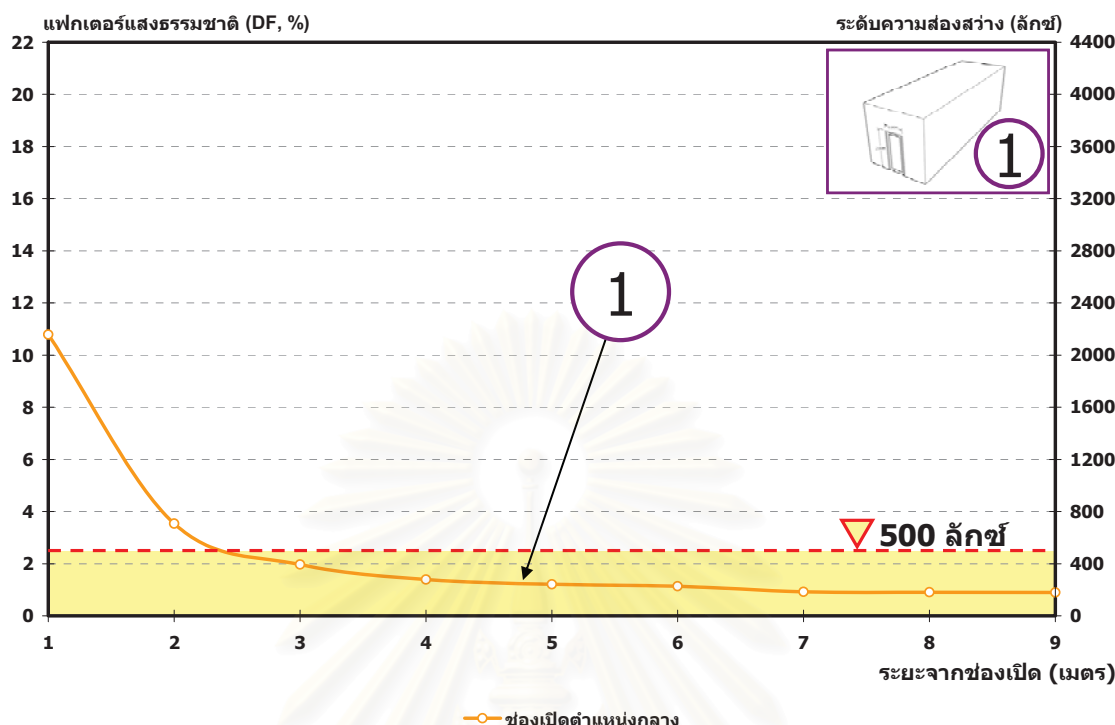
แผนภูมิที่ 4-127 ระดับความส่องสว่างของช่องเปิดขนาด 0.90×2.00 เมตร กระจายใส่ 2 ชั้น 32 มม.
ติดตั้งตำแหน่งกลาง

พลังงานไฟฟ้าที่ได้รับจากแสงธรรมชาติของช่องเปิดกลมขนาด 1.20 เมตร
บนกระจกใส 2 ชั้น 32 มม.



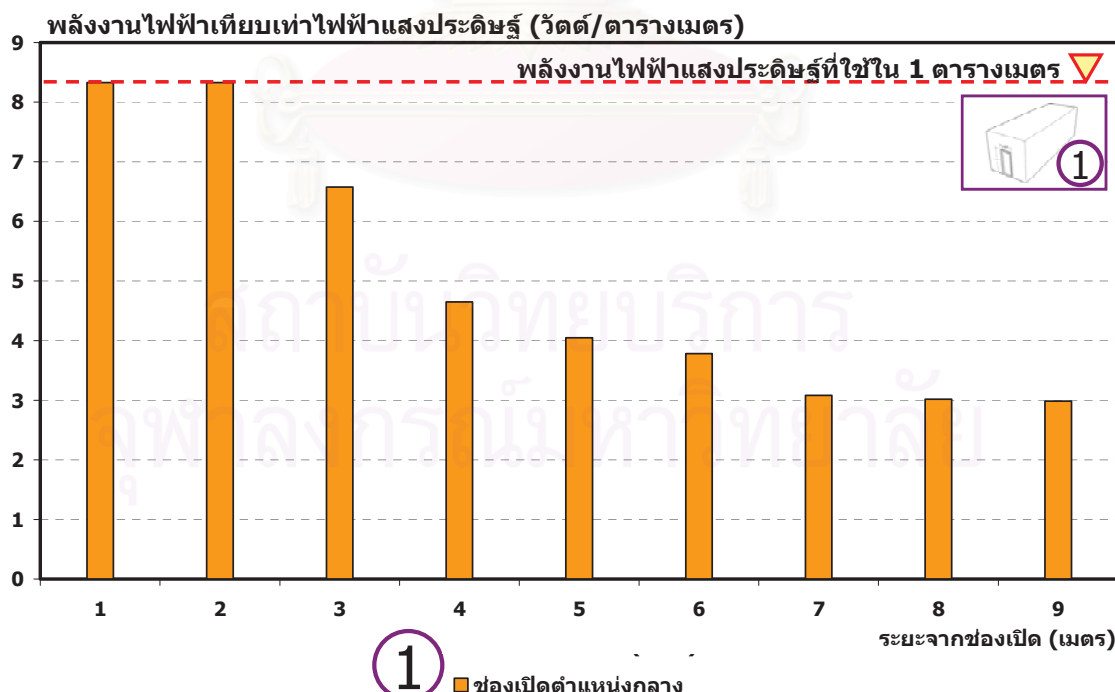
แผนภูมิที่ 4-128 พลังงานไฟฟ้าจากแสงธรรมชาติ เทียบเท่าแสงประดิษฐ์ ของช่องเปิดขนาด 0.90×2.00 เมตร กระจกใส 2 ชั้น 32 มม.

ระดับความส่องสว่างของช่องเปิดขนาด 0.90×1.20 เมตร กระจายเชี่ยว 2 ชั้น 24 มม.



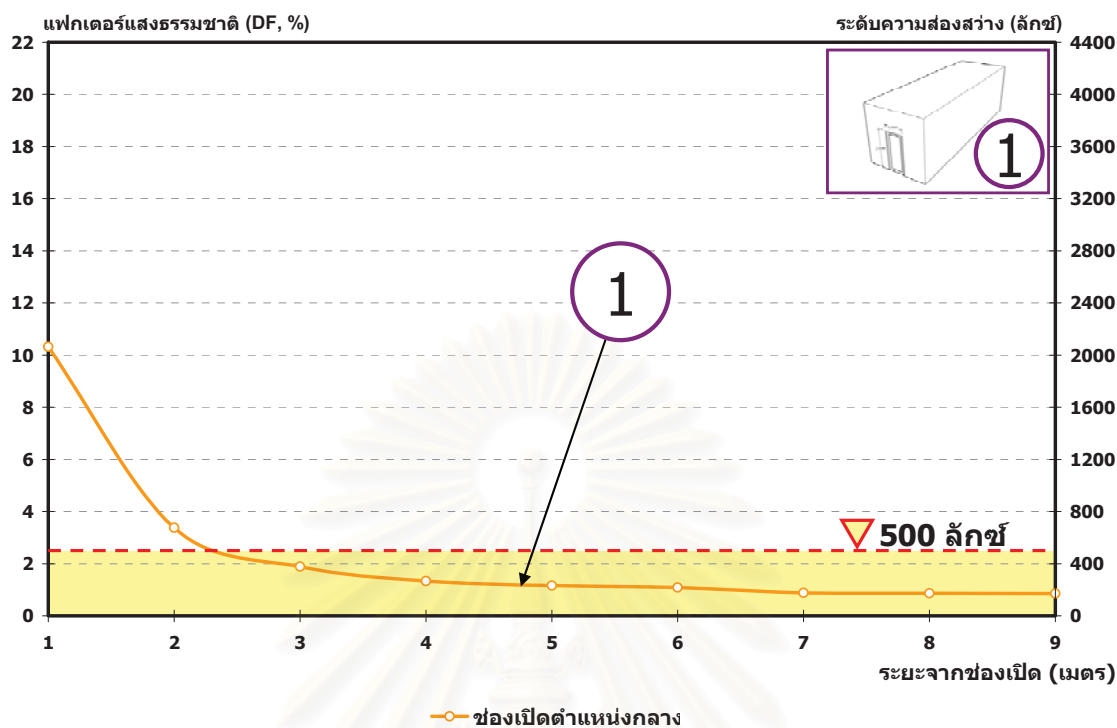
แผนภูมิที่ 4-129 ระดับความส่องสว่างของช่องเปิดขนาด 0.90×2.00 เมตร กระจายเชี่ยว 2 ชั้น 24 มม.
ติดตั้งตำแหน่งกลาง

พลังงานไฟฟ้าที่ได้รับจากแสงธรรมชาติของช่องเปิดกลมขนาด 1.20 เมตร
นานกระจายเชี่ยว 2 ชั้น 24 มม.



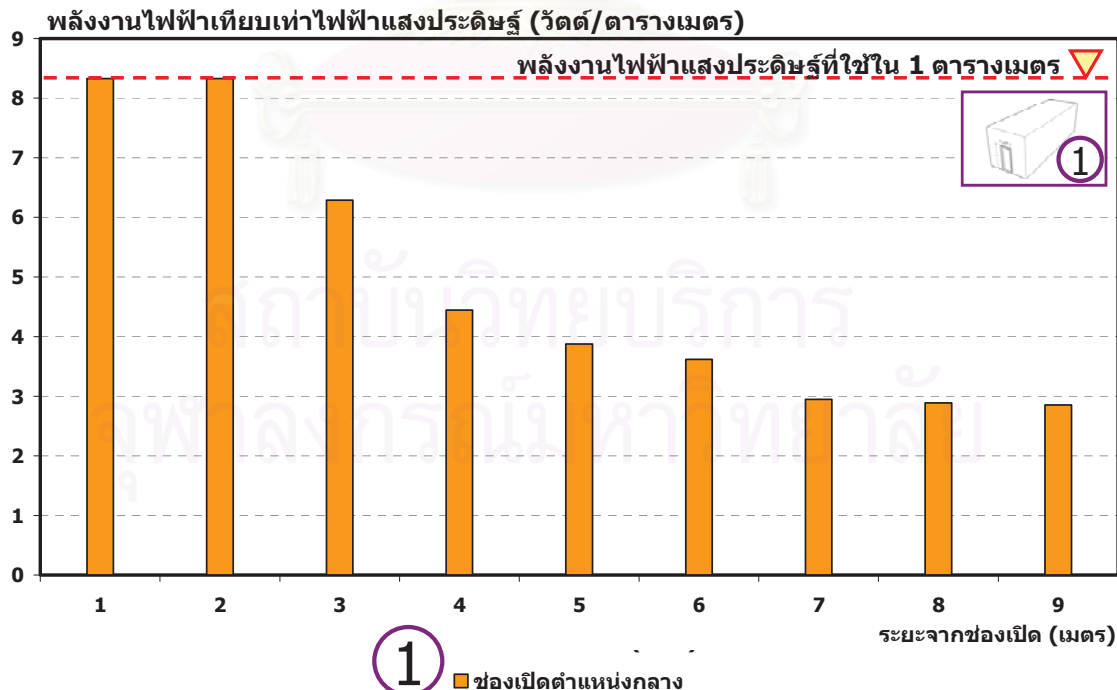
แผนภูมิที่ 4-130 พลังงานไฟฟ้าจากแสงธรรมชาติ เทียบเท่าแสงประดิษฐ์ ของช่องเปิดขนาด 0.90×2.00 เมตร กระจายเชี่ยว 2 ชั้น 24 มม.

ระดับความส่องสว่างของช่องเปิดขนาด 0.90×1.20 เมตร กระจายเชี่ยว 2 ชั้น 32 มม.

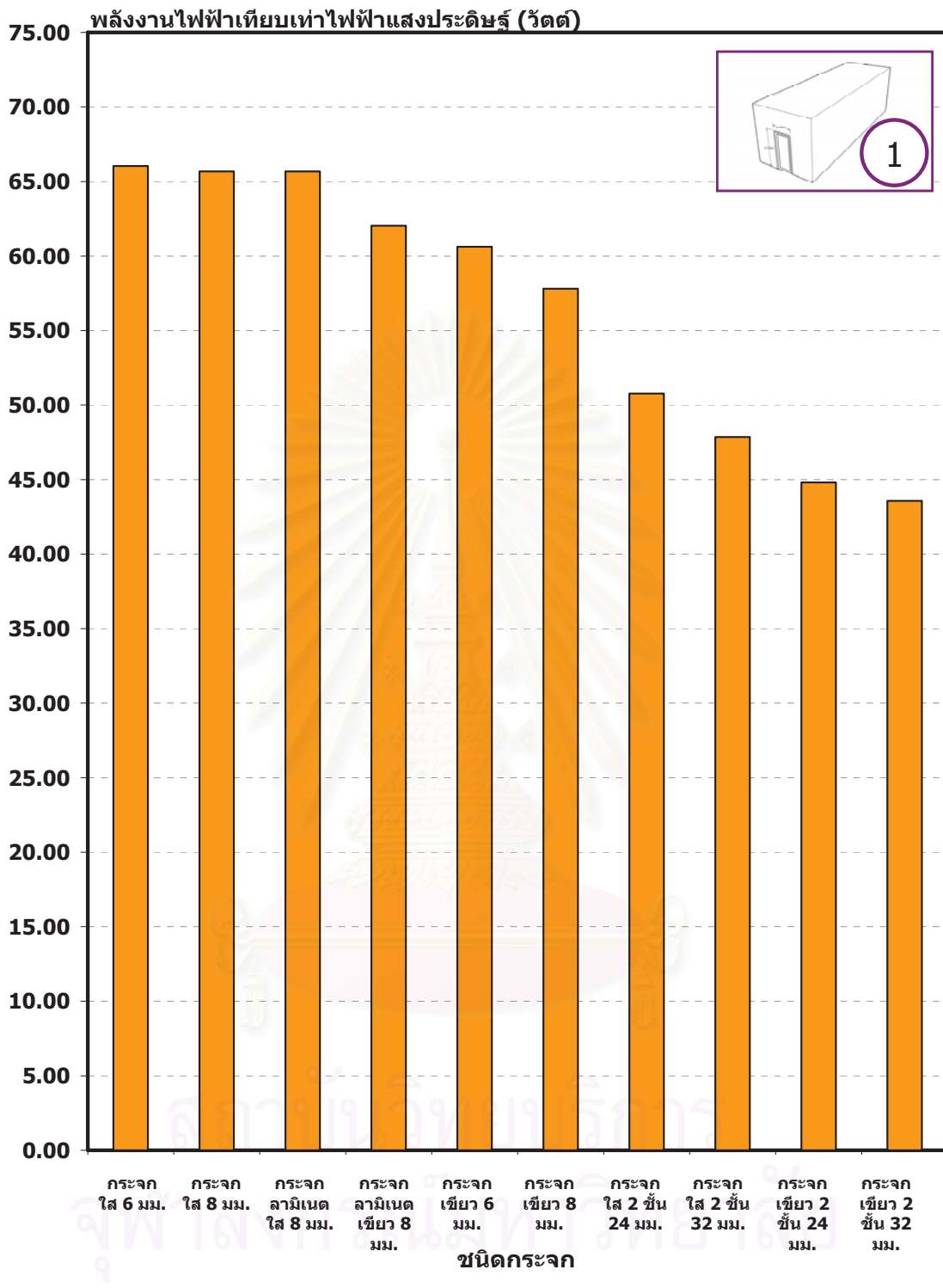


แผนภูมิที่ 4-131 ระดับความส่องสว่างของช่องเปิดขนาด 0.90×2.00 เมตร กระจายเชี่ยว 2 ชั้น 32 มม.
ติดตั้งตำแหน่งกลาง

พลังงานไฟฟ้าที่ได้รับจากแสงธรรมชาติของช่องเปิดกลมขนาด **1.20** เมตร
บนกระจกเชี่ยว 2 ชั้น 32 มม.



แผนภูมิที่ 4-132 พลังงานไฟฟ้าจากแสงธรรมชาติ เทียบเท่าแสงประดิษฐ์ ของช่องเปิดขนาด 0.90×2.00 เมตร กระจกเชี่ยว 2 ชั้น 32 มม.



แผนภูมิที่ 4-133 เปรียบเทียบพลังงานไฟฟ้าจากแสงธรรมชาติ เทียบเท่าแสง谱ดิษฐ์ ของช่องเปิดขนาด 0.90×2.00 เมตร ตำแหน่งกลาง จากวัสดุบนกระเจกแตกต่างกัน

สรุปผลระดับความส่องสว่างจากแสงธรรมชาติ และพลังงานไฟฟ้าเทียบเท่าแสง ประดิษฐ์ของช่องเปิด

ผลการศึกษาการใช้ประโยชน์จากแสงธรรมชาติเพื่อลดการใช้แสงประดิษฐ์
สามารถแบ่งการพิจารณาได้ 2 ส่วนคือ ระดับการติดตั้งช่องเปิด และส่วนวัสดุบาน
กระเจก

ช่องเปิดที่ติดตั้งตำแหน่งล่าง ที่มีระดับความส่องสว่างรวม จากมาก ไปน้อย คือ
ช่องเปิดขนาด 0.90×1.20 ม. ช่องเปิดกลมเส้นผ่านศูนย์กลางขนาด 1.20 ม. และช่อง
เปิดขนาด 0.90×2.00 ม.

ช่องเปิดที่ติดตั้งตำแหน่งกลาง ที่มีระดับความส่องสว่างรวม จากมาก ไปน้อย คือ²
ช่องเปิดขนาด 0.90×2.00 ม. ช่องเปิดขนาด 0.90×1.20 ม. ช่องเปิดกลมเส้นผ่าน
ศูนย์กลางขนาด 1.20 ม. และช่องเปิดขนาด 0.90×2.00 ม.

ช่องเปิดที่ติดตั้งตำแหน่งบน ที่มีระดับความส่องสว่างรวม จากมาก ไปน้อย คือ³
ช่องเปิดกลมเส้นผ่านศูนย์กลางขนาด 1.20 ม. ช่องเปิดขนาด 0.90×1.20 ม. และช่อง
เปิดขนาด 0.90×2.00 ม.

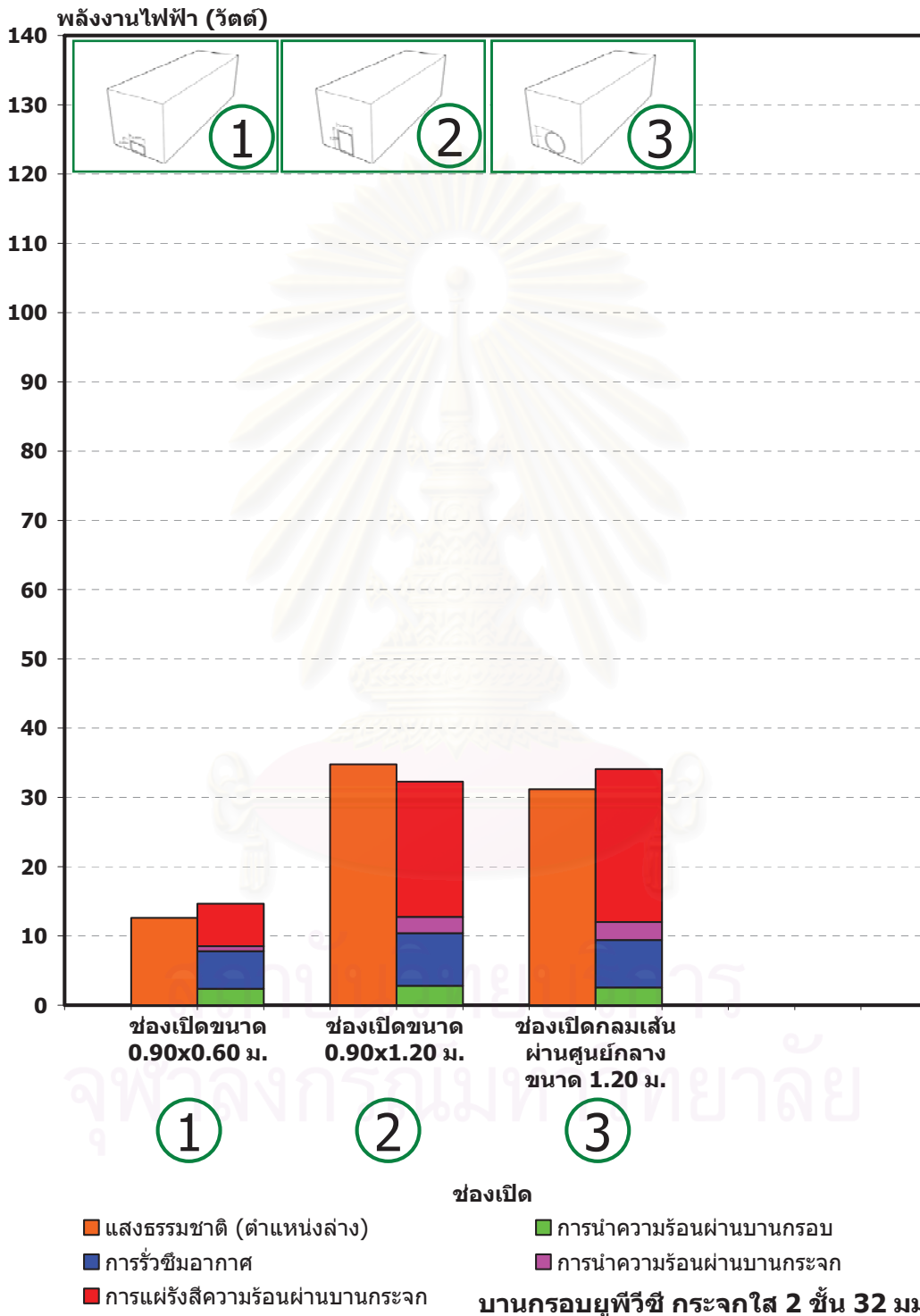
การพิจารณาในส่วนระดับการติดตั้งช่องเปิด พบร่วมกันที่ได้จากการ
ทดสอบที่ได้รับการติดตั้งช่องเปิด พบว่าพลังงานที่ได้จากการ
ทดสอบที่ได้รับการติดตั้งช่องเปิด ไม่สูงกว่า แต่ต่ำกว่า คือ การติดตั้งช่องเปิดใน
ระดับบนให้ความส่องสว่าง และปริมาณพลังงานไฟฟ้าจากแสงธรรมชาติเทียบเท่าแสง
ประดิษฐ์ มากกว่าการติดตั้งช่องเปิดในตำแหน่งที่ต่ำกว่า

การพิจารณาในส่วนวัสดุบานกระเจก พบร่วมกันที่ได้จากการ
ทดสอบที่ได้รับการติดตั้งช่องเปิด พบว่าพลังงานที่ได้จากการ
ทดสอบที่ได้รับการติดตั้งช่องเปิด ไม่สูงกว่า แต่ต่ำกว่า คือ ช่องเปิดบานกระเจกใส 6 มม. กระเจกใส 8
มม. กระเจกلامมิเนตใส 8 มม. กระเจกلامมิเนตเขียว 8 มม. กระเจกเขียว 6 มม. กระเจก
เขียว 8 มม. กระเจกใส 2 ชั้น 24 มม. กระเจกใส 2 ชั้น 32 มม. กระเจกเขียว 2 ชั้น 24 มม.
และกระเจกเขียว 2 ชั้น 32 มม. ตามลำดับ

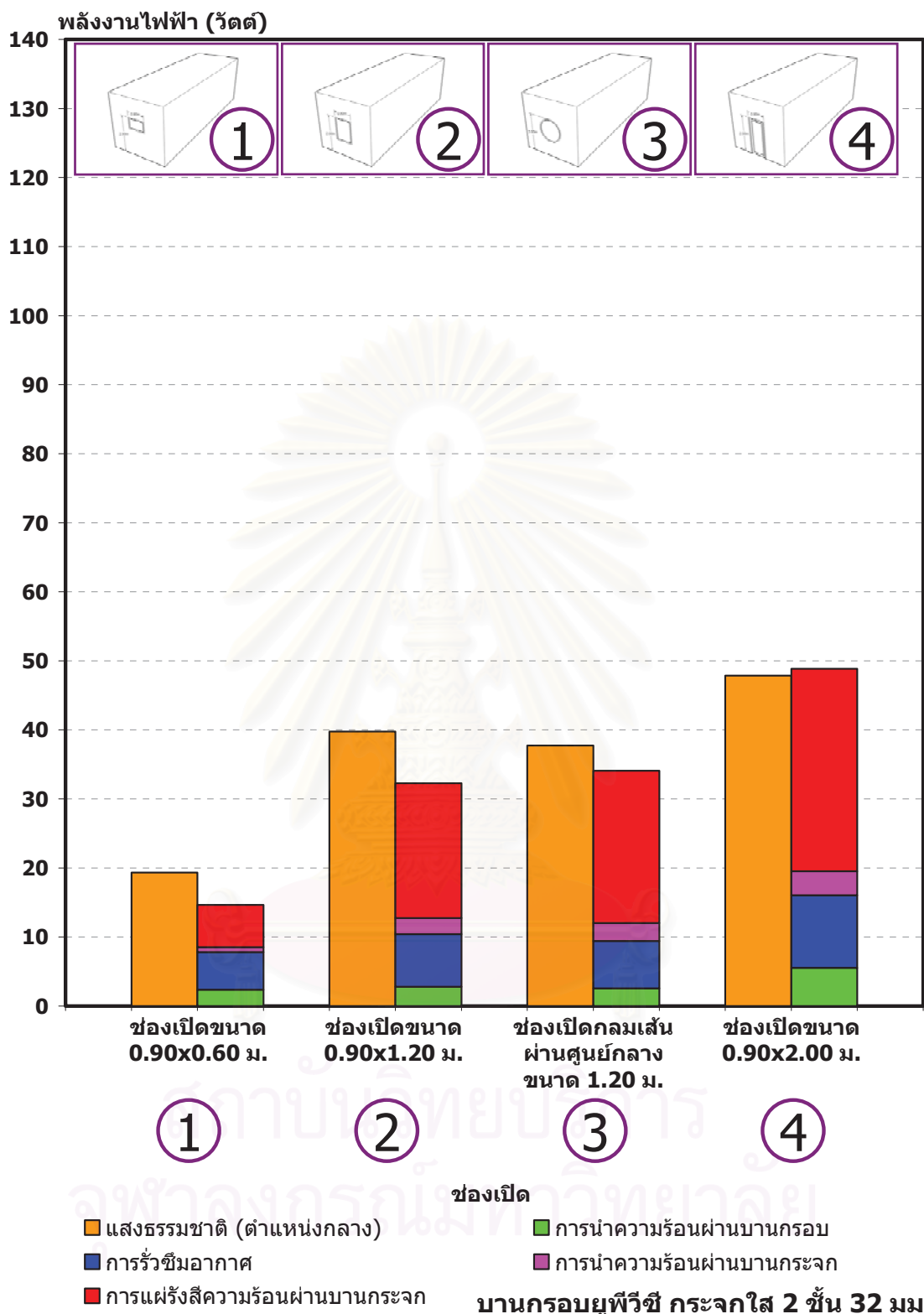
ตัวแปรที่มีอิทธิพลต่อระดับพลังงานที่ได้จากการ
ทดสอบที่ได้รับการติดตั้งช่องเปิด คือ ตำแหน่งช่องเปิด
และค่าความส่องผ่านแสงที่ตามองเห็น (visible light transmission)

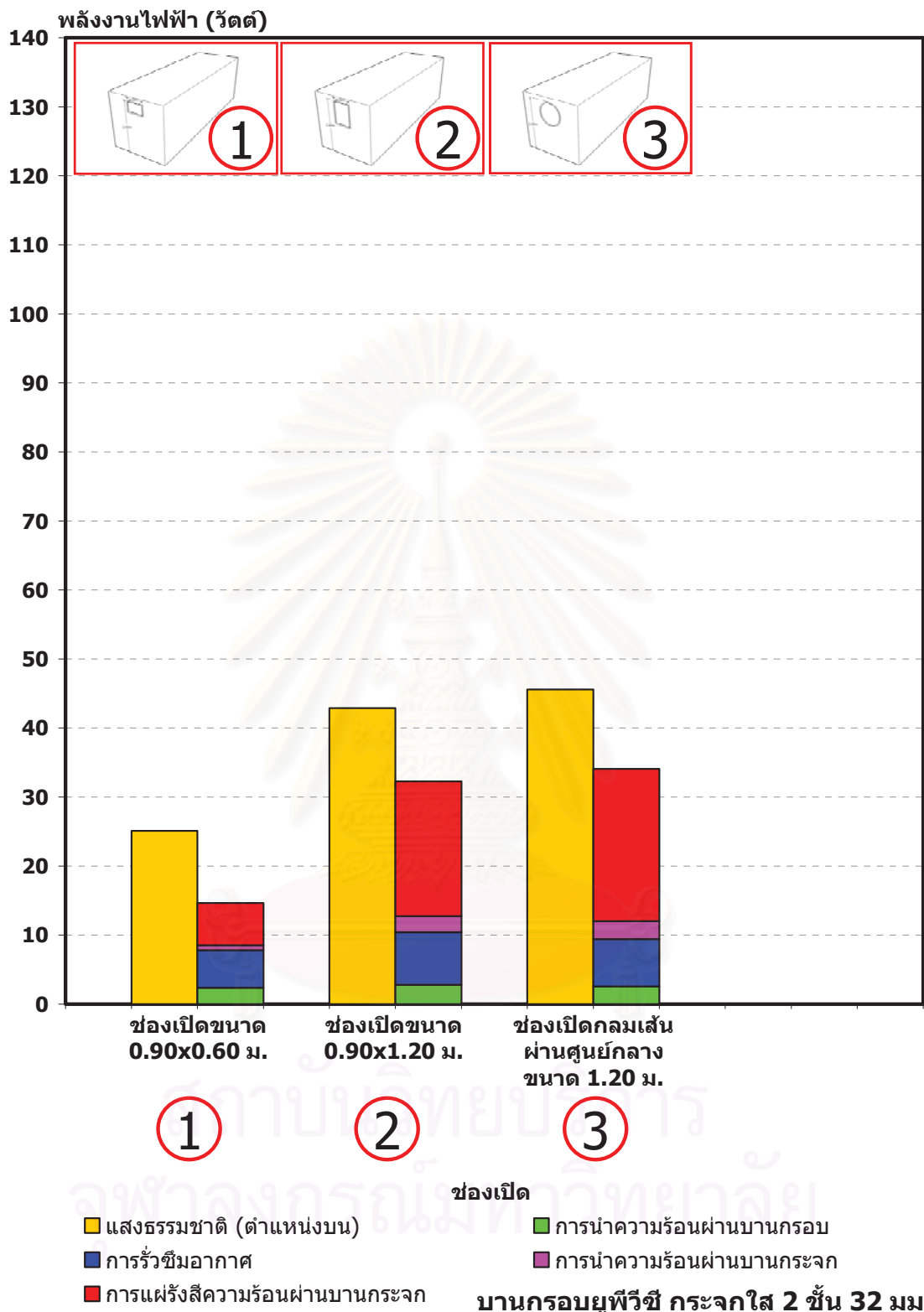
4.1.3. การเปรียบเทียบพลังงานที่เกิดจากการถ่ายเทความร้อนผ่านช่องเปิดเข้าสู่ภายในอาคาร และปริมาณพลังงานที่ได้รับจากแสงธรรมชาติผ่านช่องเปิด เทียบเท่าแสงประดิษฐ์

การเปรียบเทียบพลังงานสุทธิของช่องเปิดขนาดต่าง ๆ

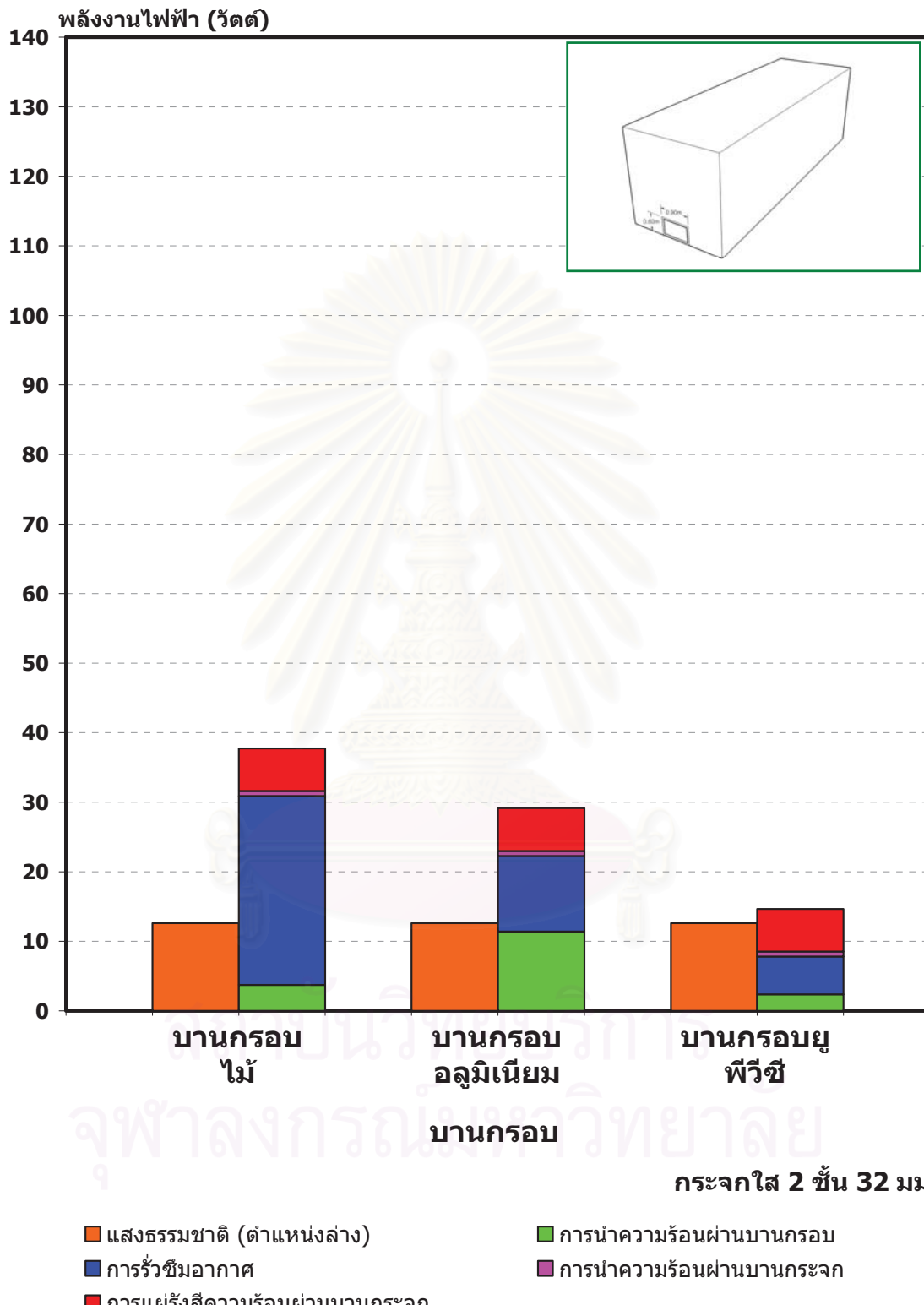


แผนภูมิที่ 4-134 การเปรียบเทียบพลังงานที่ได้จากการถ่ายเทแสงธรรมชาติเทียบเท่าแสงประดิษฐ์ และพลังงานที่ใช้ในการขัดความร้อนอันเนื่องมาจากการเปิด ของช่องเปิดขนาดต่าง ๆ บานกรอบยูพีวีซี และกระจกใส 2 ชั้น 32 มม. ต่ำหน่งติดตั้ง ต่ำหน่งล่าง

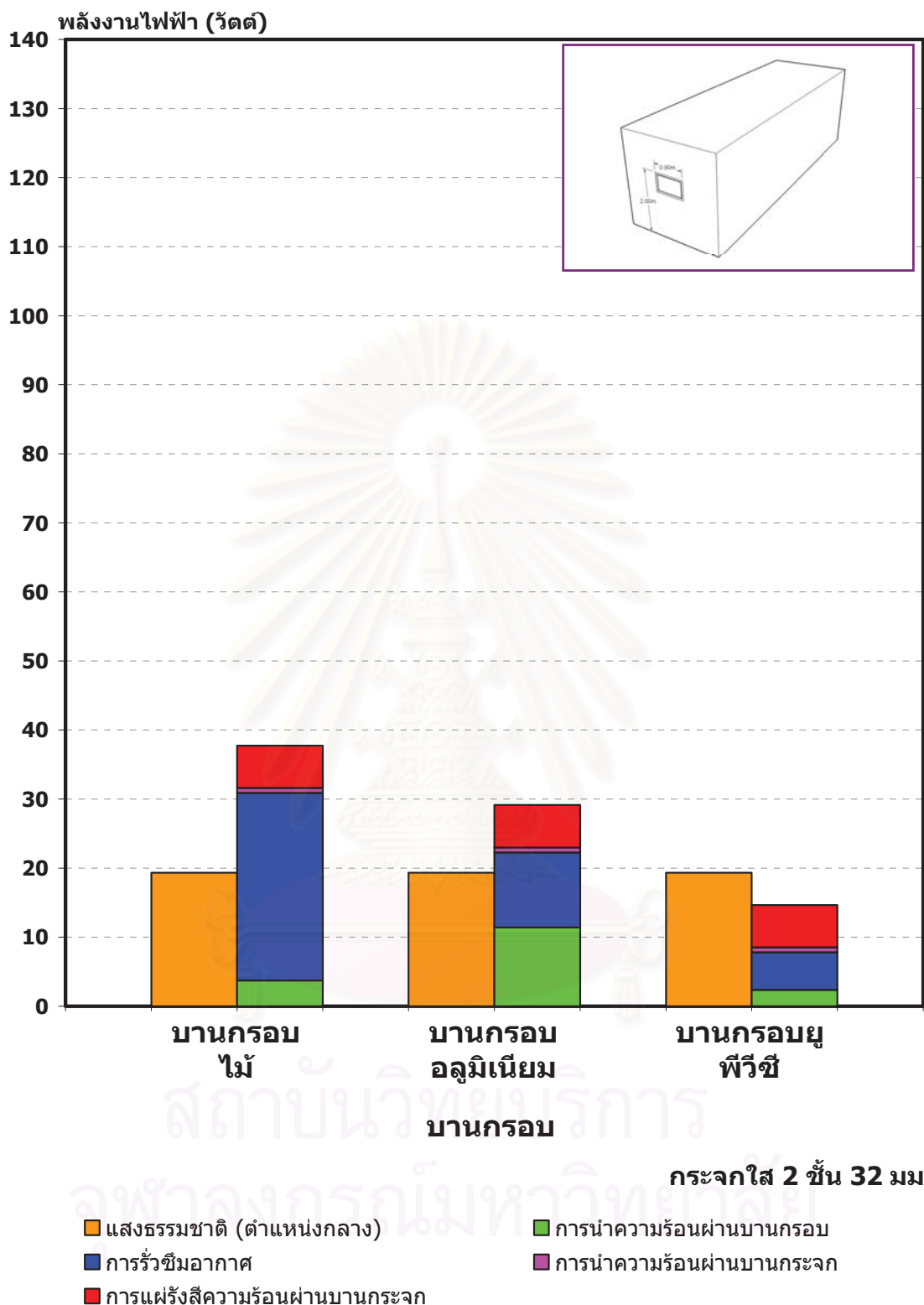




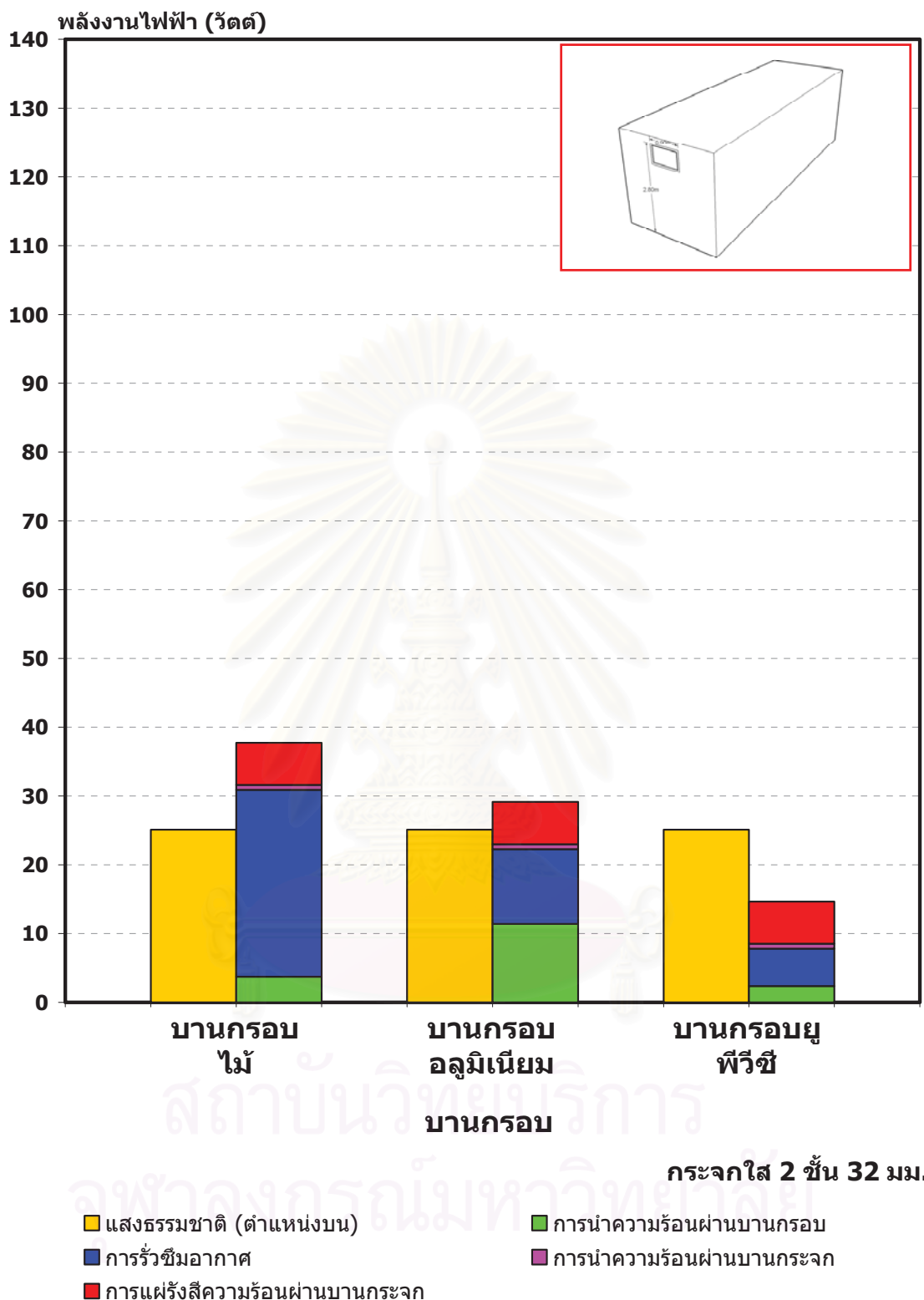
การเปรียบเทียบพลังงานสุทธิของวัสดุบานกรอบชนิดต่าง ๆ



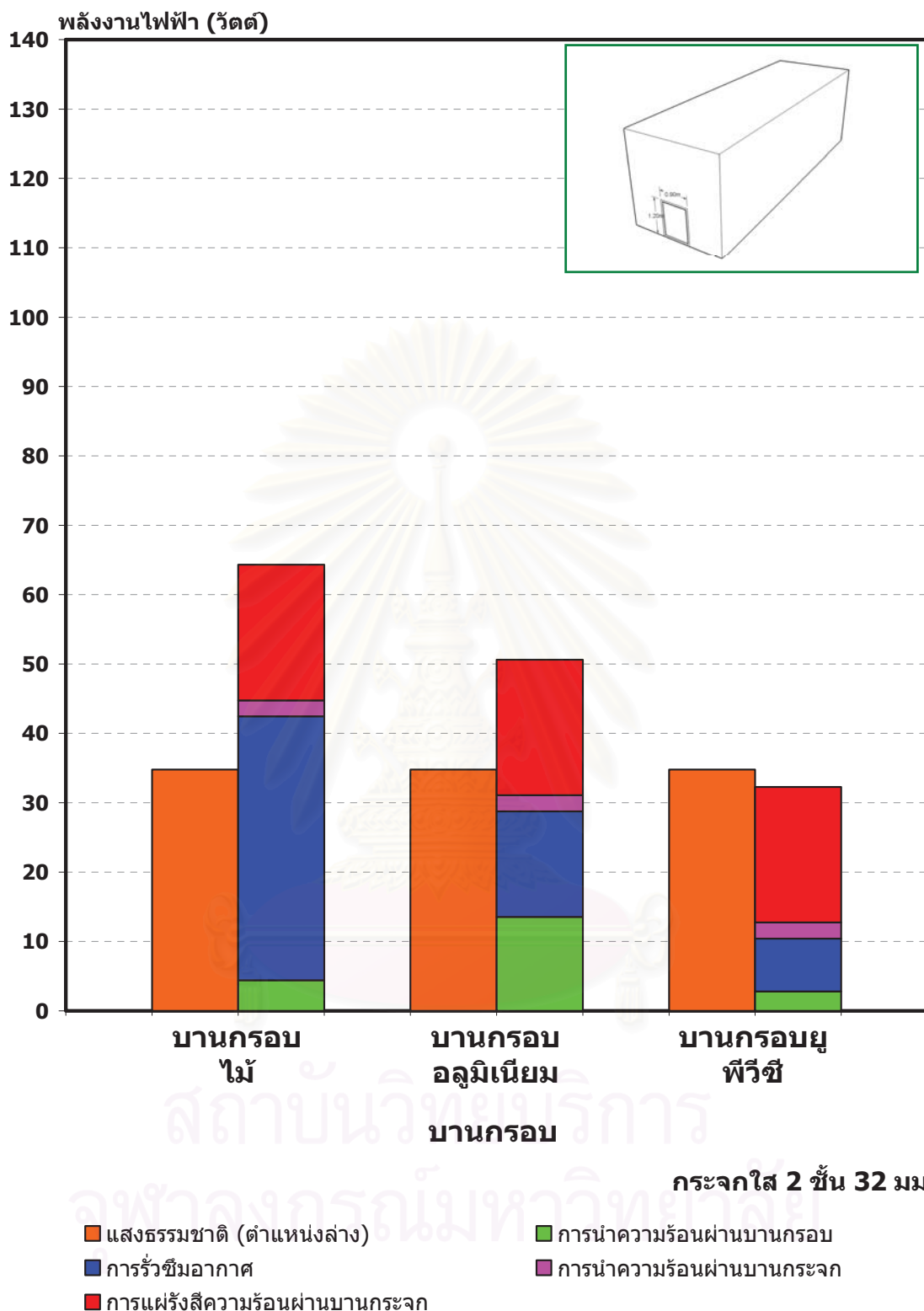
แผนภูมิที่ 4-137 การเปรียบเทียบพลังงานที่ได้จากแสงธรรมชาติเทียบเท่าแสงประดิษฐ์ และพลังงานที่ใช้ในการขัดความร้อนอันเนื่องมาจากการซ่องเปิด ของวัสดุบานกรอบต่าง ๆ ซ่องเปิดขนาด 0.90×0.60 ม. และ กระจกใส 2 ชั้น 32 มม. ตำแหน่งติดตั้ง ตำแหน่งล่าง



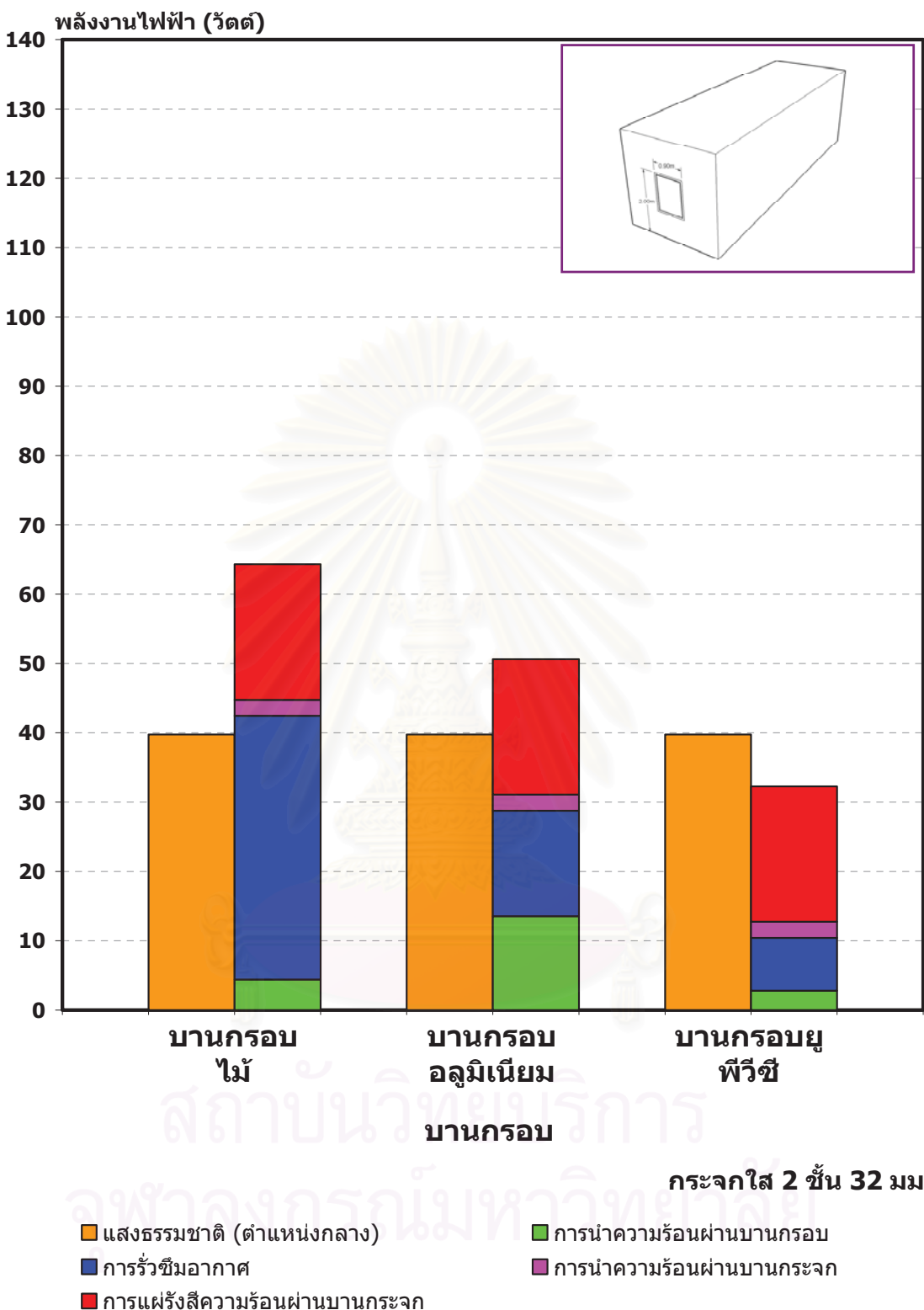
แผนภูมิที่ 4-138 การเปรียบเทียบพลังงานที่ได้จากแสงธรรมชาติเทียบเท่าแสงประดิษฐ์ และพลังงานที่ใช้ในการขัดความร้อนอันเนื่องมาจากซ่องเปิด ของวัสดุบานกรอบต่าง ๆ ซ่องเปิดขนาด 0.90×0.60 ม. และ กระจกใส 2 ชั้น 32 มม. ตำแหน่งติดตั้ง ตำแหน่งกล่อง



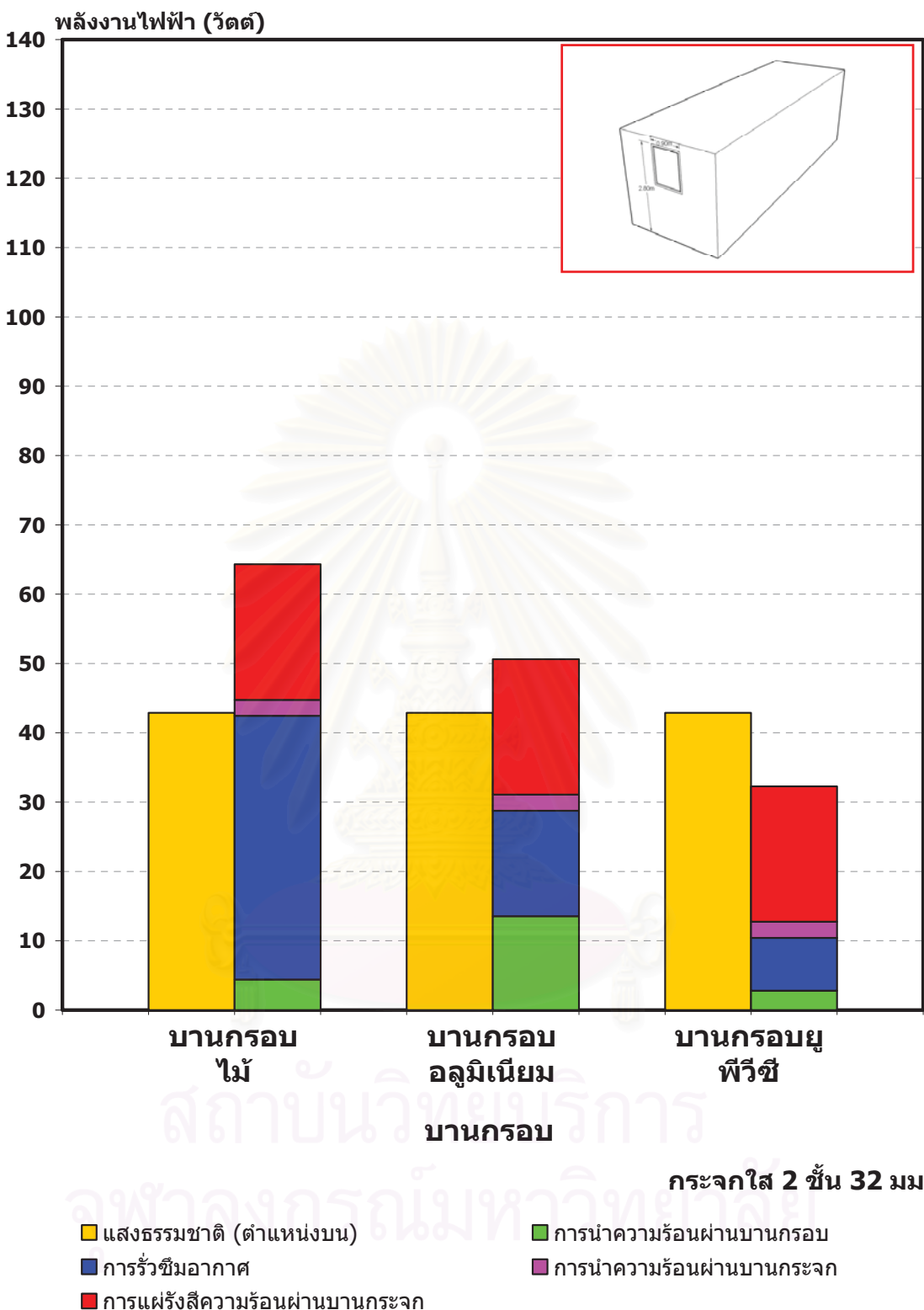
แผนภูมิที่ 4-139 การเปรียบเทียบพลังงานที่ได้จากแสงธรรมชาติเทียบเท่าแสงประดิษฐ์ และพลังงานที่ใช้ในการขัดความร้อนอันเนื่องมาจากการซึมของเปิด ของวัสดุบ้านกรอบต่าง ๆ ซึ่งเปิดขนาด 0.90×0.60 ม. และ กระจกใส 2 ชั้น 32 มม. ตำแหน่งติดตั้ง ตำแหน่งบน



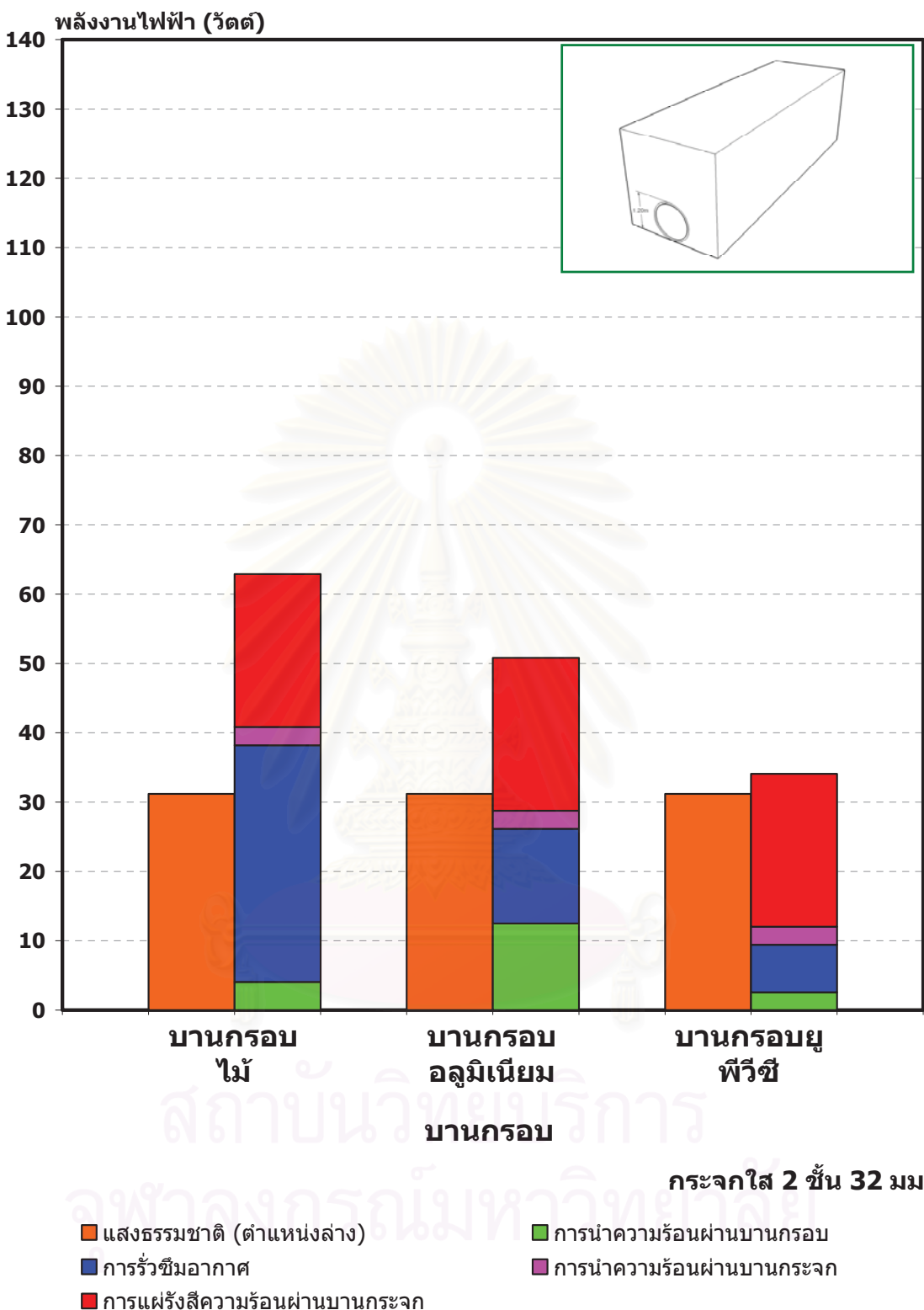
แผนภูมิที่ 4-140 การเปรียบเทียบพลังงานที่ได้จากแสงธรรมชาติเทียบเท่าแสงประดิษฐ์ และพลังงานที่ใช้ในการจัดความร้อนอันเนื่องมาจากการเปิด ของวัสดุบานกรอบต่าง ๆ ซึ่งเปิดขนาด 0.90×1.20 ม. และ กระจกใส 2 ชั้น 32 มม. ตำแหน่งติดตั้ง ตำแหน่งล่าง



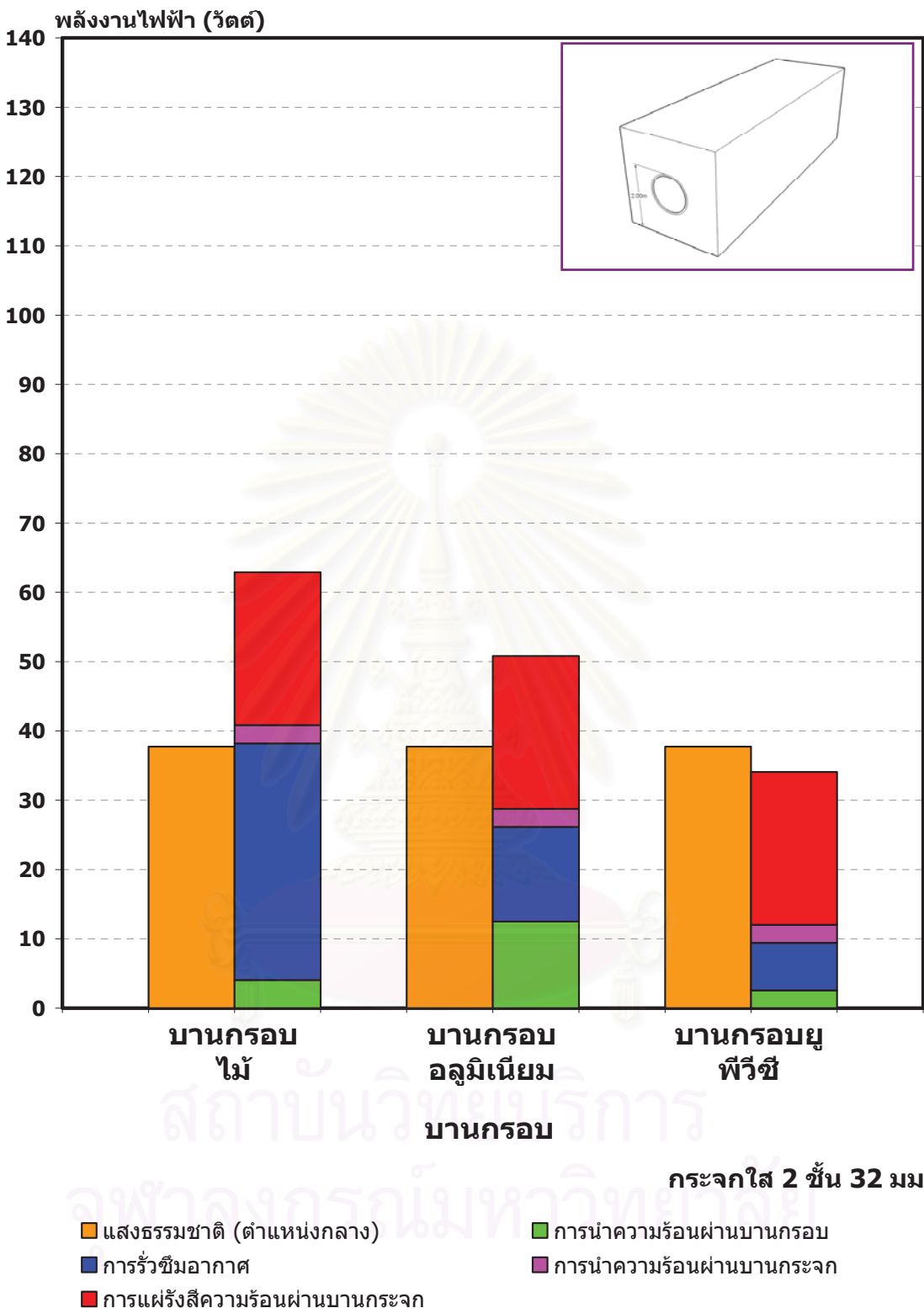
แบบภูมิที่ 4-141 การเปรียบเทียบพลังงานที่ได้จากแสงธรรมชาติเทียบเท่าแสงประดิษฐ์ และพลังงานที่ใช้ในการจัดความร้อนอันเนื่องมาจากช่องเปิด ของวัสดุบานกรอบต่าง ๆ ช่องเปิดขนาด 0.90×1.20 ม. และ กระจกใส 2 ชั้น 32 มม. ตำแหน่งติดตั้ง ตำแหน่งกลาง



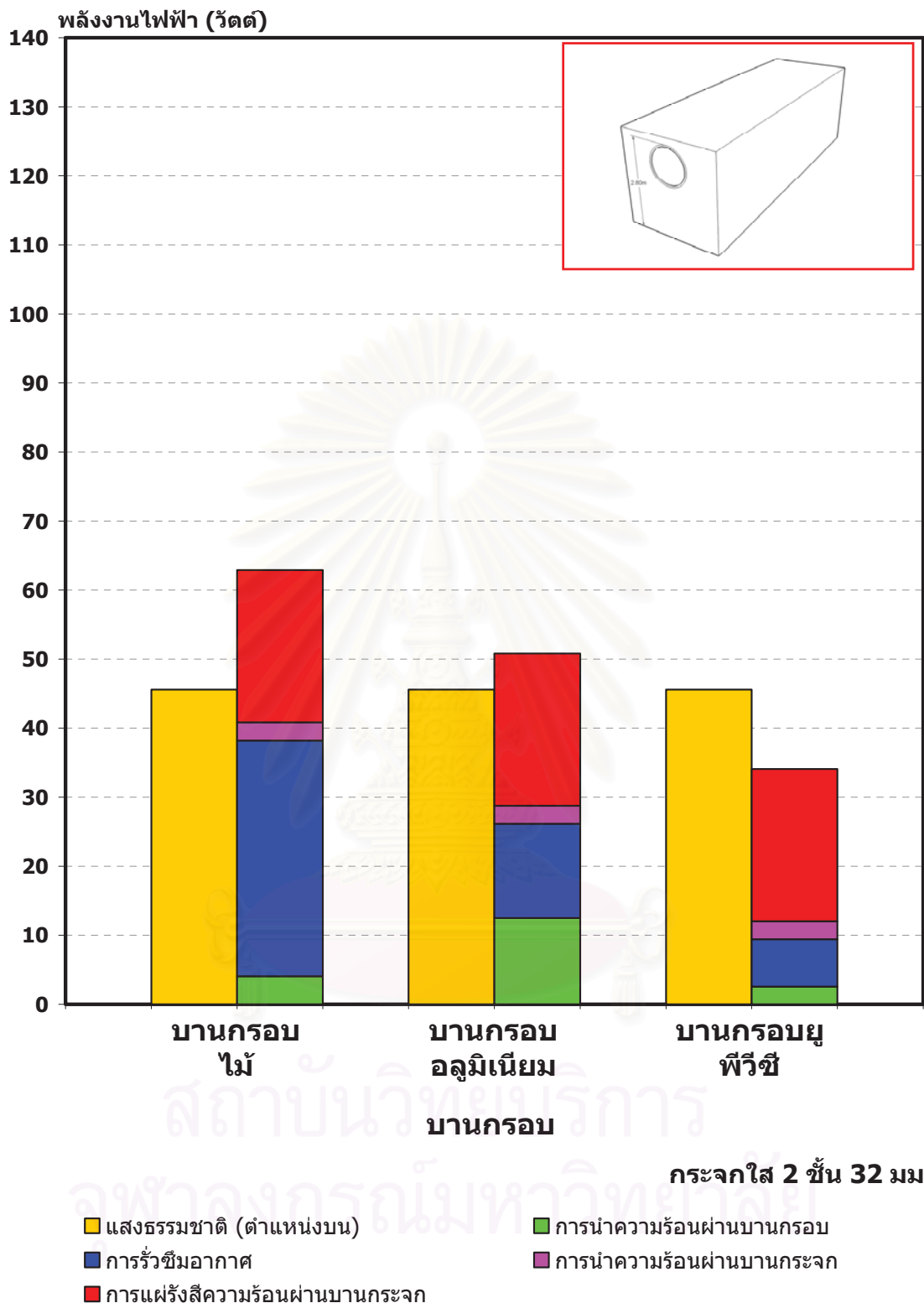
แผนภูมิที่ 4-142 การเปรียบเทียบพลังงานที่ได้จากแสงธรรมชาติเทียบเท่าแสงประดิษฐ์ และพลังงานที่ใช้ในการจัดความร้อนอันเนื่องมาจากซ่องเปิด ของวัสดุบ้านกรอบต่าง ๆ ซ่องเปิดขนาด 0.90×1.20 ม. และ กระจาย 2 ชั้น 32 มม. ตำแหน่งติดตั้ง ตำแหน่งบน



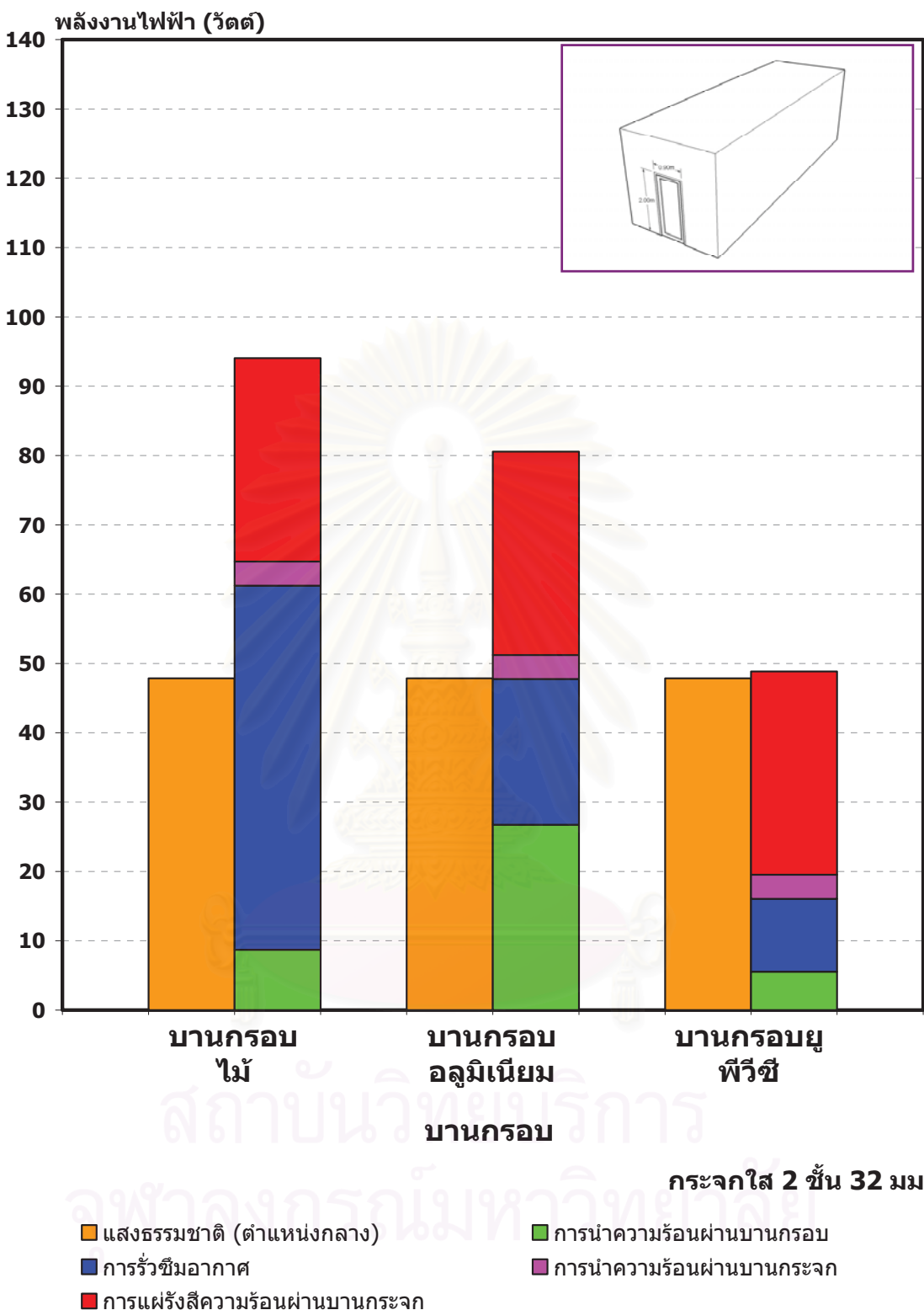
แผนภูมิที่ 4-143 การเปรียบเทียบพลังงานที่ได้จากแสงธรรมชาติเทียบเท่าแสงประดิษฐ์ และพลังงานที่ใช้ในการจัดความร้อนอันเนื่องมาจากช่องเปิด ของวัสดุบานกรอบต่าง ๆ ช่องเปิดกลมเส้นผ่านศูนย์กลางขนาด 1.20 ม. และ กระเจิง 2 ชั้น 32 มม. ตำแหน่งติดตั้ง ตำแหน่งล่าง



แผนภูมิที่ 4-144 การเปรียบเทียบพลังงานที่ได้จากแสงธรรมชาติเทียบเท่าแสงประดิษฐ์ และพลังงานที่ใช้ในการจัดความร้อนอันเนื่องมาจากช่องเปิด ของวัสดุบ้านกรอบต่าง ๆ ช่องเปิดกลมเส้นผ่านศูนย์กลางขนาด 1.20 ม. และ กระจกใส 2 ชั้น 32 มม. ตำแหน่งติดตั้ง ตำแหน่งกลาง

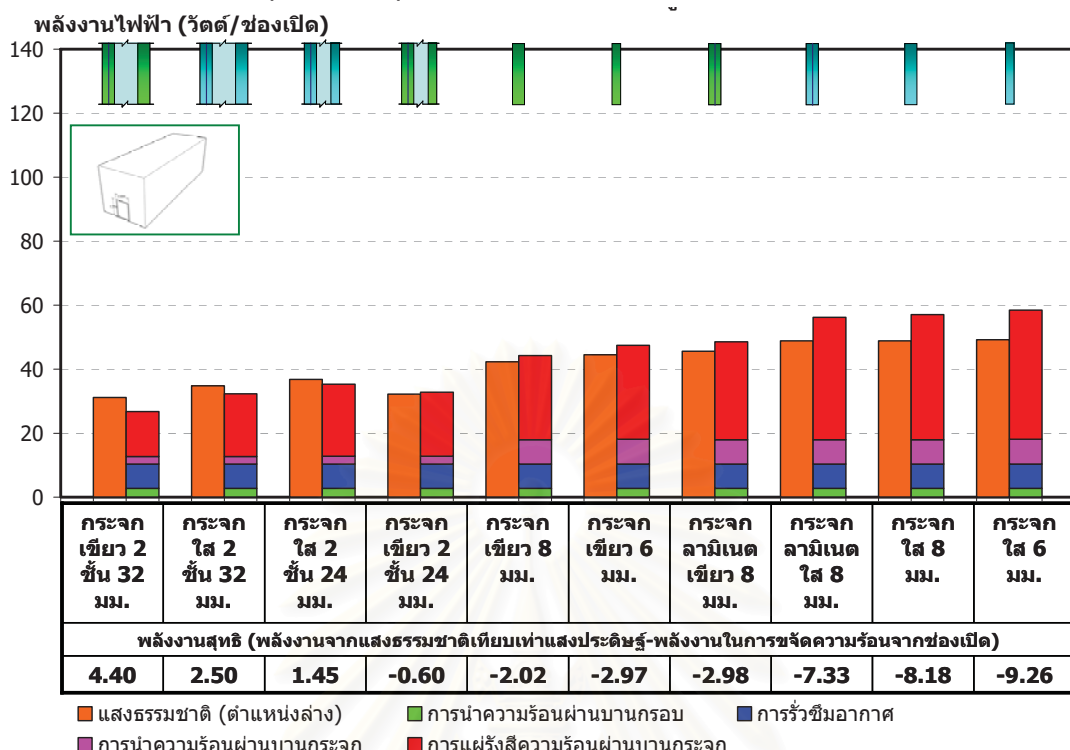


แผนภูมิที่ 4-145 การเปรียบเทียบพลังงานที่ได้จากแสงธรรมชาติเทียบเท่าแสงประดิษฐ์ และพลังงานที่ใช้ในการจัดความร้อนอันเนื่องมาจากซ่องเปิด ของวัสดุบ้านกรอบต่าง ๆ ซ่องเปิดกลมเส้นผ่านศูนย์กลางขนาด 1.20 ม. และ กระจกใส 2 ชั้น 32 มม. ตำแหน่งติดตั้ง ตำแหน่งกลาง

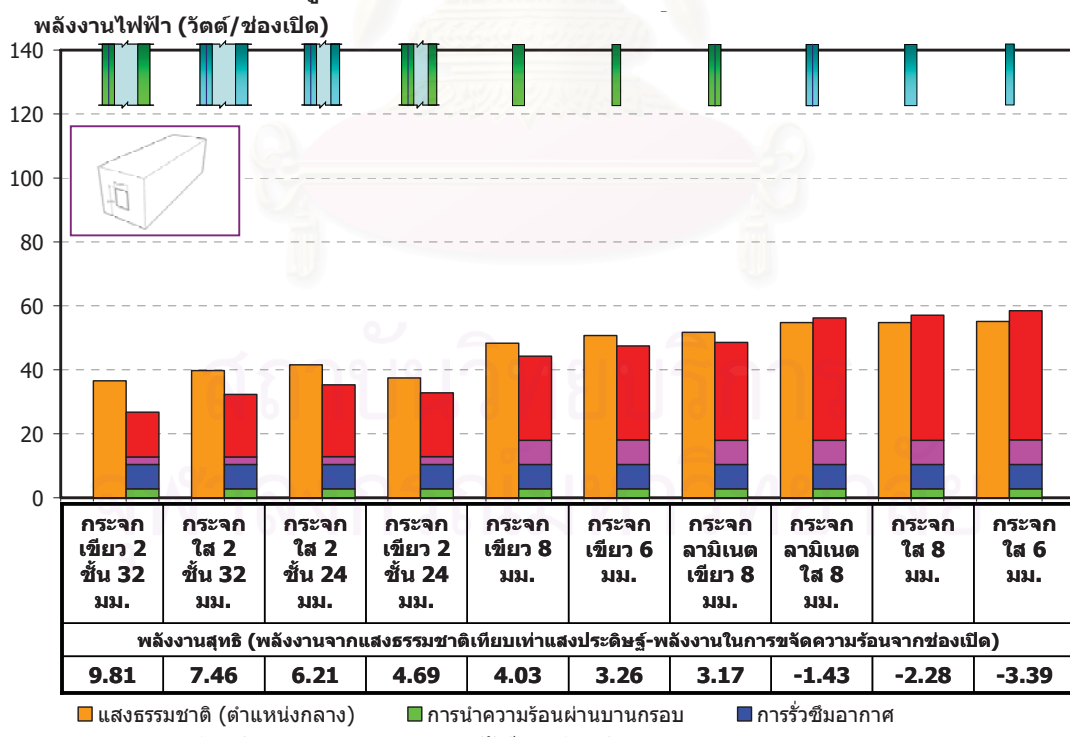


แผนภูมิที่ 4-146 การเปรียบเทียบพลังงานที่ได้จากแสงธรรมชาติเทียบเท่าแสงประดิษฐ์ และพลังงานที่ใช้ในการจัดความร้อนอันเนื่องมาจากการเปิด ของวัสดุบ้านกรอบต่าง ๆ ซึ่งเปิดขนาด 0.90×2.00 ม. และ กระจกใส 2 ชั้น 32 มม. ตำแหน่งติดตั้ง ตำแหน่งกลาง

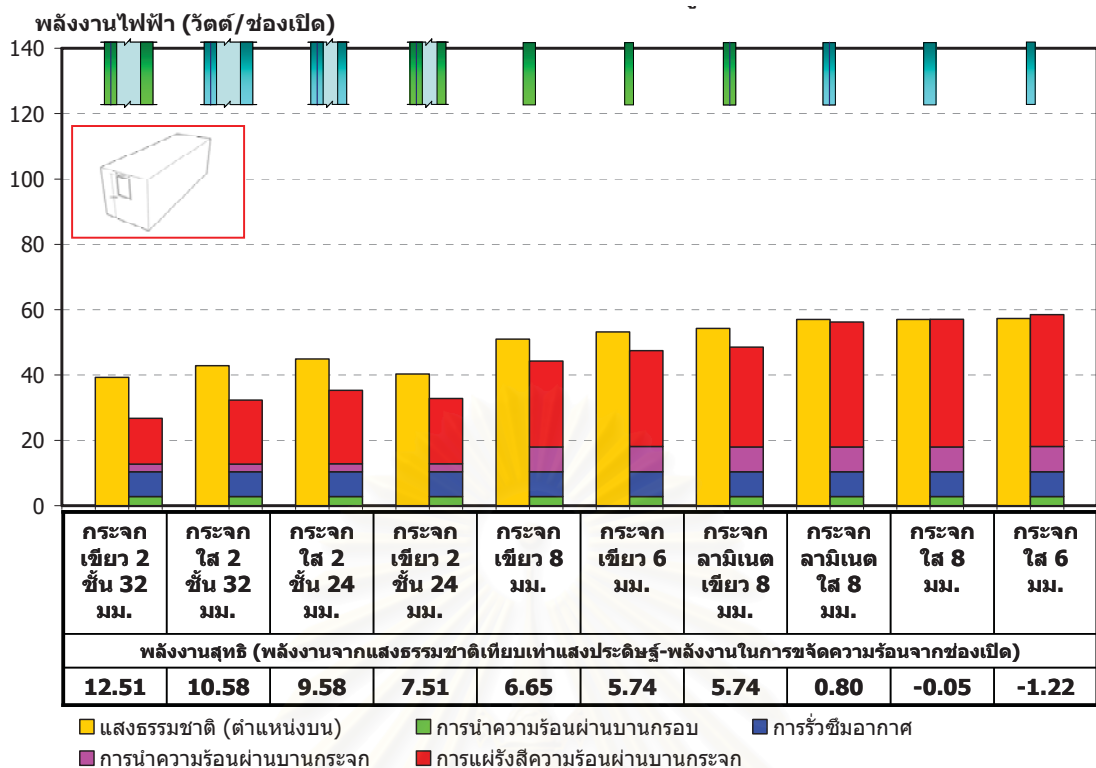
การเปรียบเทียบพลังงานสุทธิของวัสดุบานกระจาดชนิดต่าง ๆ



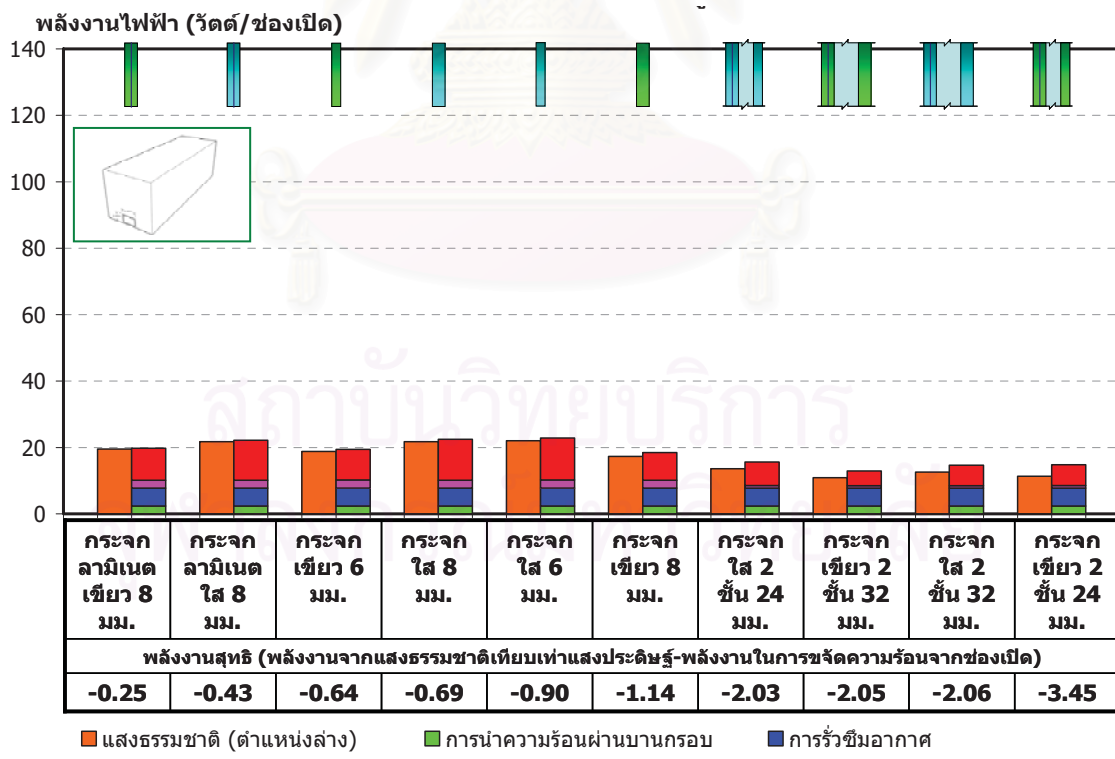
แผนภูมิที่ 4-147 การเปรียบเทียบพลังงานที่ได้จากการแสวงธรรมชาติเทียบเท่าแสงประดิษฐ์ และพลังงานที่ใช้ในการจัดความร้อนอันเนื่องมาจากการซ่องเปิด ของวัสดุบานกระจาดต่าง ๆ ซ่องเปิดขนาด 0.90×1.20 ม. และ บานกรอบยูพีวีซี ตำแหน่งติดตั้ง ตำแหน่งล่าง



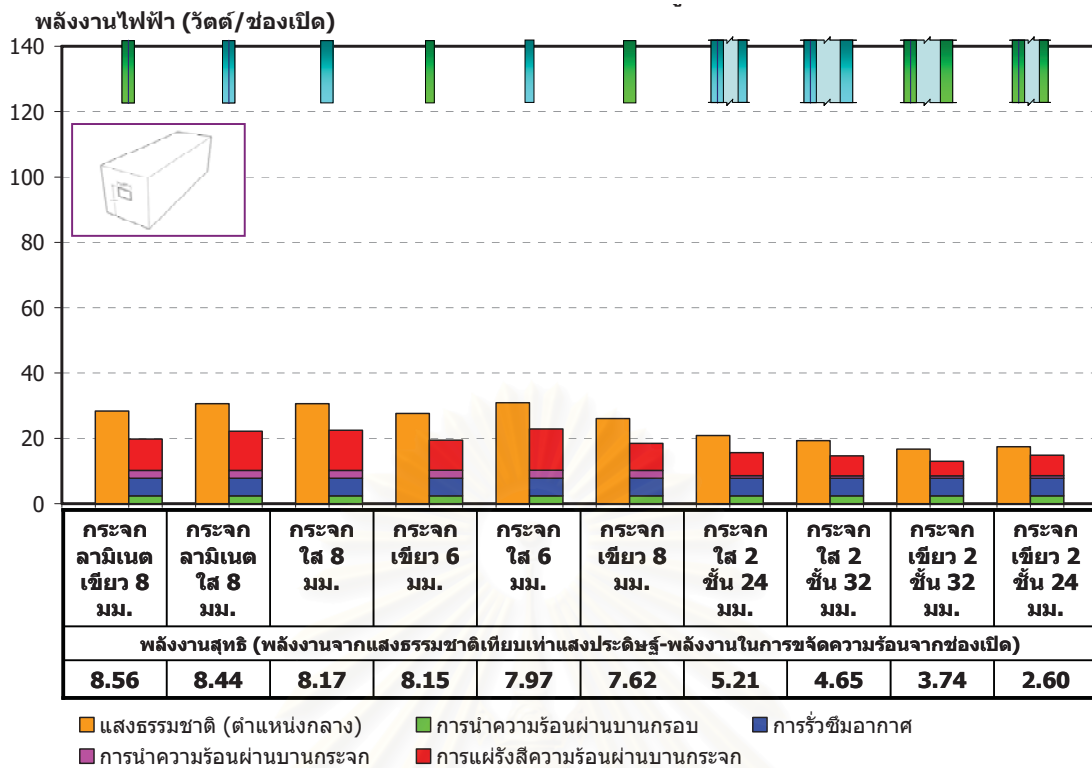
แผนภูมิที่ 4-148 การเปรียบเทียบพลังงานที่ได้จากการแสวงธรรมชาติเทียบเท่าแสงประดิษฐ์ และพลังงานที่ใช้ในการจัดความร้อนอันเนื่องมาจากการซ่องเปิด ของวัสดุบานกระจาดต่าง ๆ ซ่องเปิดขนาด 0.90×1.20 ม. และ บานกรอบยูพีวีซี ตำแหน่งติดตั้ง ตำแหน่งกลาง



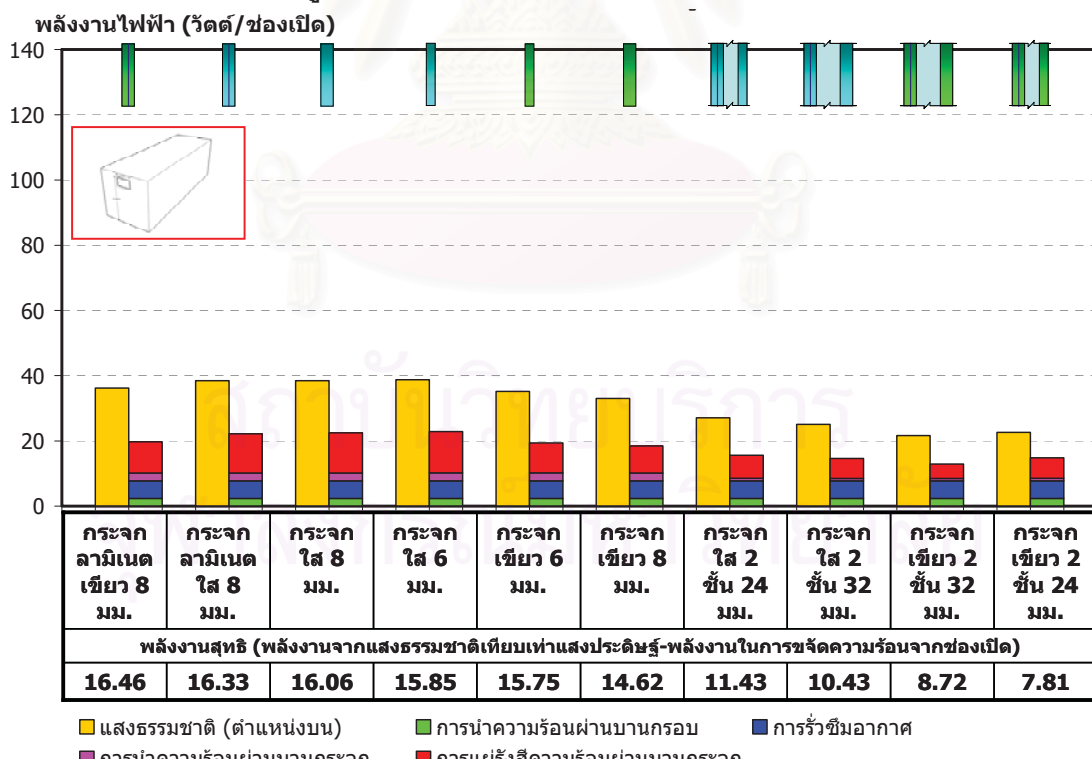
แผนภูมิที่ 4-149 การเปรียบเทียบพลังงานที่ได้จากการจัดความร้อนน้ำในห้องน้ำที่ใช้ในการจัดความร้อนอันเนื่องมาจากการซ่อมเปิด ของวัสดุบานกระจกต่าง ๆ ช่องเปิดขนาด 0.90×1.20 ม. และ บานกรอบยูพีวีซี ตำแหน่งติดตั้ง ตำแหน่งงบ



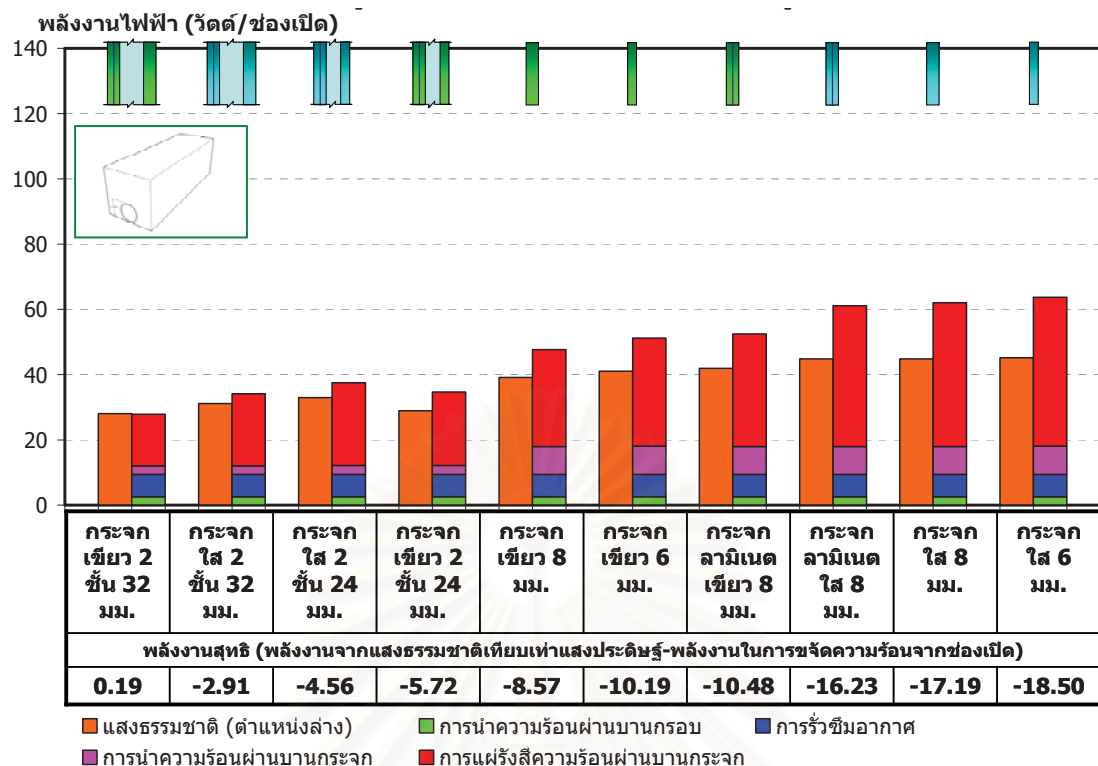
แผนภูมิที่ 4-150 การเปรียบเทียบพลังงานที่ได้จากการจัดความร้อนน้ำในห้องน้ำที่ใช้ในการจัดความร้อนอันเนื่องมาจากการซ่อมเปิด ของวัสดุบานกระจกต่าง ๆ ช่องเปิดขนาด 0.90×0.60 ม. และ บานกรอบยูพีวีซี ตำแหน่งติดตั้ง ตำแหน่งล่าง



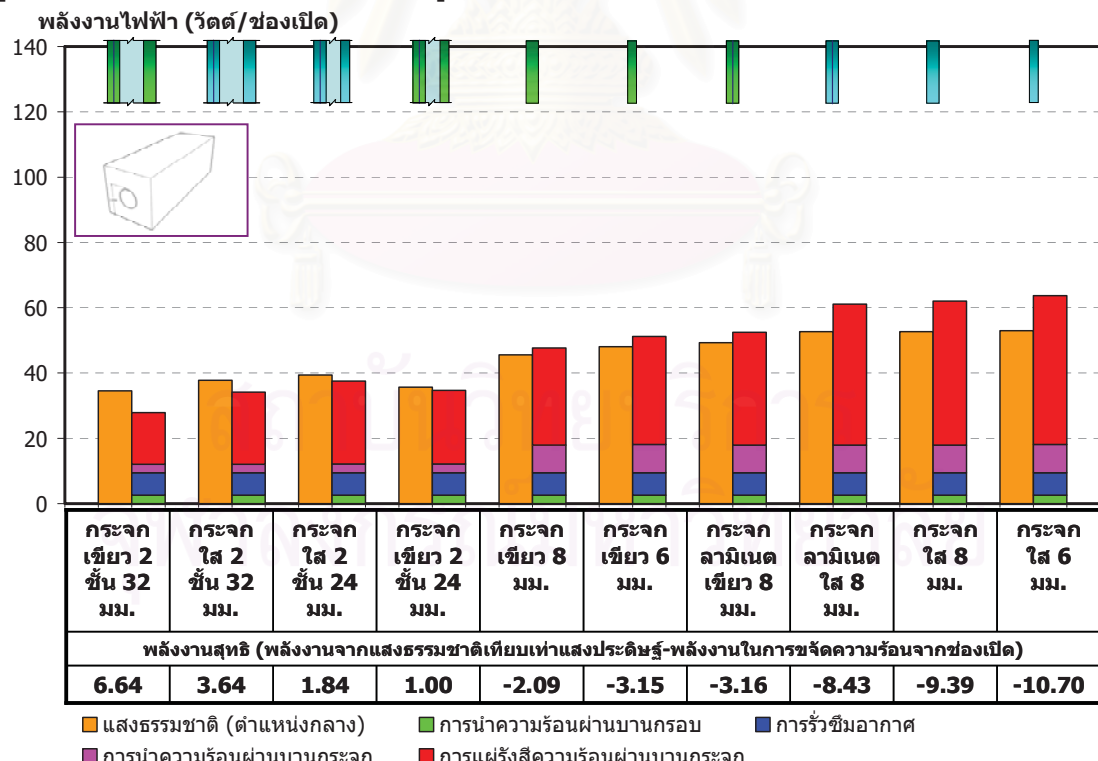
แผนภูมิที่ 4-151 การเปรียบเทียบพลังงานที่ได้จากการแสงธรรมชาติเทียบเท่าแสงประดิษฐ์ และพลังงานที่ใช้ในการขัดความร้อนอันเนื่องมาจากการซ่อนช่องเปิด ของวัสดุบานกระจกต่าง ๆ ช่องเปิดขนาด 0.90×0.60 ม. และ บานกรอบยูพีวีซี ตำแหน่งติดตั้ง ตำแหน่งกลาง



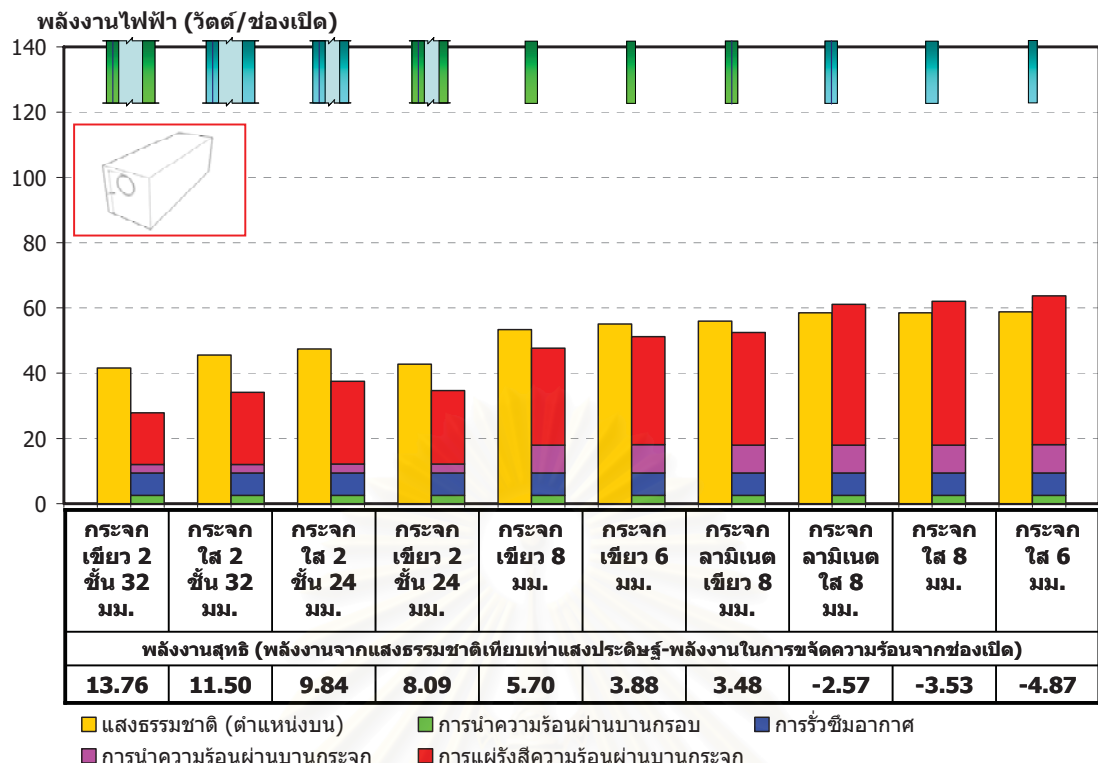
แผนภูมิที่ 4-152 การเปรียบเทียบพลังงานที่ได้จากการแสงธรรมชาติเทียบเท่าแสงประดิษฐ์ และพลังงานที่ใช้ในการขัดความร้อนอันเนื่องมาจากการซ่อนช่องเปิด ของวัสดุบานกระจกต่าง ๆ ช่องเปิดขนาด 0.90×0.60 ม. และ บานกรอบยูพีวีซี ตำแหน่งติดตั้ง ตำแหน่งบน



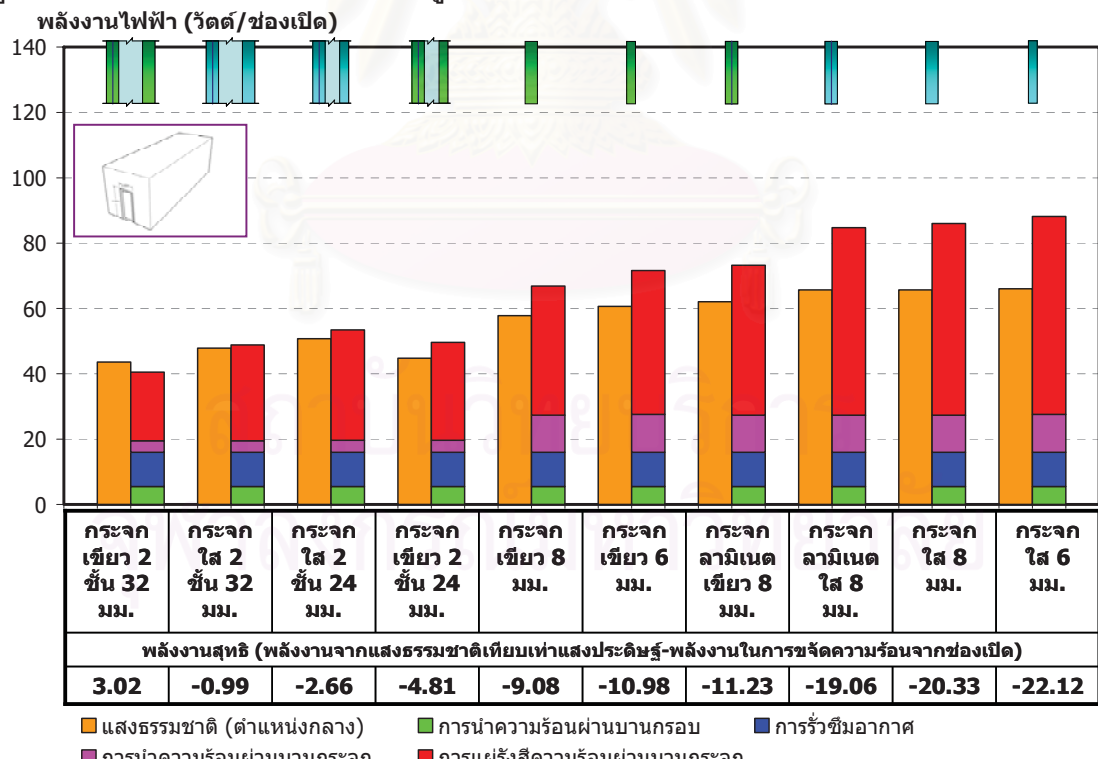
แผนภูมิที่ 4-153 การเปรียบเทียบพลังงานที่ได้จากแสงธรรมชาติเทียบเท่าแสงประดิษฐ์ และพลังงานที่ใช้ในการขัดความร้อนอันเนื่องมาจากช่องเปิด ของวัสดุบานกระจกต่าง ๆ ช่องเปิดกลมเส้นผ่านศูนย์กลางขนาด 1.20 ม. และ บานกรอบยูพีวีซี ตัวแทนงติดตั้ง ตัวแทนงล่าง



แผนภูมิที่ 4-154 การเปรียบเทียบพลังงานที่ได้จากแสงธรรมชาติเทียบเท่าแสงประดิษฐ์ และพลังงานที่ใช้ในการขัดความร้อนอันเนื่องมาจากช่องเปิด ของวัสดุบานกระจกต่าง ๆ ช่องเปิดกลมเส้นผ่านศูนย์กลางขนาด 1.20 ม. และ บานกรอบยูพีวีซี ตัวแทนงติดตั้ง ตัวแทนงกลาง



แผนภูมิที่ 4-155 การเปรียบเทียบพลังงานที่ได้จากการใช้แสงธรรมชาติเทียบเท่าแสงประดิษฐ์ และพลังงานที่ใช้ในการขัดความร้อนอันเนื่องมาจากการซ่อนเปิด ของวัสดุบานกระเจ้าต่าง ๆ ช่องเปิดกลมเส้นผ่านศูนย์กลางขนาด 1.20 ม. และ บานกรอบยูพีวีซี ตำแหน่งติดตั้ง ตำแหน่งงบน



แผนภูมิที่ 4-156 การเปรียบเทียบพลังงานที่ได้จากการใช้แสงธรรมชาติเทียบเท่าแสงประดิษฐ์ และพลังงานที่ใช้ในการขัดความร้อนอันเนื่องมาจากการซ่อนเปิด ของวัสดุบานกระเจ้าต่าง ๆ ช่องเปิดขนาด 0.90x2.00 ม. และ บานกรอบยูพีวีซี ตำแหน่งติดตั้ง ตำแหน่งงอกลาง

สรุปผลการเปรียบเทียบพลังงานที่เกิดจากการถ่ายเทความร้อนผ่านช่องเปิดเข้าสู่ภายในอาคาร และปริมาณพลังงานที่ได้รับจากแสงธรรมชาติผ่านช่องเปิดเทียบเท่าแสงประดิษฐ์

ผลการเปรียบเทียบพิจารณาจากพลังงานสุทธิซึ่งเป็นผลต่างของพลังงานที่ใช้ในการขัดความร้อนอันเนื่องมาจากช่องเปิด และพลังงานจากแสงธรรมชาติเทียบเท่าแสงประดิษฐ์จากการพิจารณาช่องเปิดขนาดต่าง ๆ ที่ติดตั้งในตำแหน่ง และเลือกใช้วัดดูต่าง ๆ กันจำนวน 300 ตัวอย่างพบว่า

ช่องเปิดบานกรอบไม้ มีสัดส่วนของช่องเปิดที่พลังงานสุทธิเป็นบวกอยู่ที่ร้อยละ 0 ของจำนวนช่องเปิดไม้ที่นำมาใช้เป็นกรณีศึกษา โดยช่องเปิดที่มีพลังงานสุทธิสูงที่สุดเท่ากับ -6.63 และพลังงานสุทธิต่ำสุดเท่ากับ -67.32

ช่องเปิดบานกรอบอลูมิเนียม มีสัดส่วนของช่องเปิดที่พลังงานสุทธิเป็นบวกอยู่ที่ร้อยละ 6 ของจำนวนช่องเปิดอลูมิเนียมที่นำมาใช้เป็นกรณีศึกษา โดยช่องเปิดที่มีพลังงานสุทธิสูงที่สุด เท่ากับ 1.98 และพลังงานสุทธิต่ำสุดเท่ากับ -53.83

ช่องเปิดบานกรอบยูพีวีซี มีสัดส่วนของช่องเปิดที่พลังงานสุทธิเป็นบวกอยู่ที่ร้อยละ 44 ของจำนวนช่องเปิดยูพีวีซีที่นำมาใช้เป็นกรณีศึกษา โดยช่องเปิดที่มีพลังงานสุทธิสูงที่สุด เท่ากับ 16.46 และพลังงานสุทธิต่ำสุดเท่ากับ -28.24

การเปรียบเทียบในส่วนของบานกรอบพบว่าพลังงานสุทธิของบานกรอบจากมากที่สุด ไปน้อยที่สุดคือ บานกรอบยูพีวีซี บานกรอบอลูมิเนียม และบานกรอบไม้ ตามลำดับ

การเปรียบเทียบในส่วนของวัสดุบานกราะจะพบว่าพลังงานสุทธิของบานกระจากของช่องเปิดขนาด 0.90×0.60 ม. พบร้า พลังงานสุทธิของบานกรอบจากมากที่สุด ไปน้อยที่สุดคือ กระเจาลามิเนตเขียวหนา 8 มม. กระเจาลามิเนตใสหนา 8 มม. กระเจาใสหนา 8 มม. กระเจาเขียวหนา 6 มม. กระเจาใสหนา 6 มม. กระเจาเขียวหนา 8 มม. กระเจาใส 2 ชั้น หนา 24 มม. กระเจาใส 2 ชั้น หนา 32 มม. กระเจาเขียว 2 ชั้น หนา 24 มม. และกระเจาเขียว 2 ชั้น หนา 32 มม. ตามลำดับ

การเปรียบเทียบในส่วนของวัสดุบานกราะจะพบว่าพลังงานสุทธิของบานกระจากของช่องเปิดขนาด 0.90×1.20 ม. ช่องเปิดกลมเล่นผ่านศูนย์กลางขนาด 1.20 ม. และช่องเปิดขนาด 0.90×2.00 ม. พบร้า พลังงานสุทธิของบานกรอบจากมากที่สุด ไปน้อยที่สุดคือ กระเจาเขียว 2 ชั้น หนา 32 มม. กระเจาใส 2 ชั้น หนา 32 มม. กระเจาใส 2 ชั้น หนา 24 มม. กระเจาเขียว 2 ชั้น หนา 24 มม. กระเจาเขียวหนา 8 มม. กระเจาเขียวหนา

6 มม. กระจก laminate เขียวหนา 8 มม. กระจก laminate ใสหนา 8 มม. กระจกใสหนา 8 มม. และกระจกใสหนา 6 มม. ตามลำดับ

การพิจารณาประสีทิกภาพทางด้านพลังงานของช่องเปิดพิจารณาจากพลังงานสุทธิ โดยพลังงานสุทธิของช่องเปิดกรณีต่าง ๆ แสดงในตารางที่ 4-3

ตารางที่ 4-1 ระดับพลังงานสุทธิของช่องเปิดจากวัสดุกระจกที่แตกต่างกันของช่องเปิดขนาด 0.90×0.60 ม.

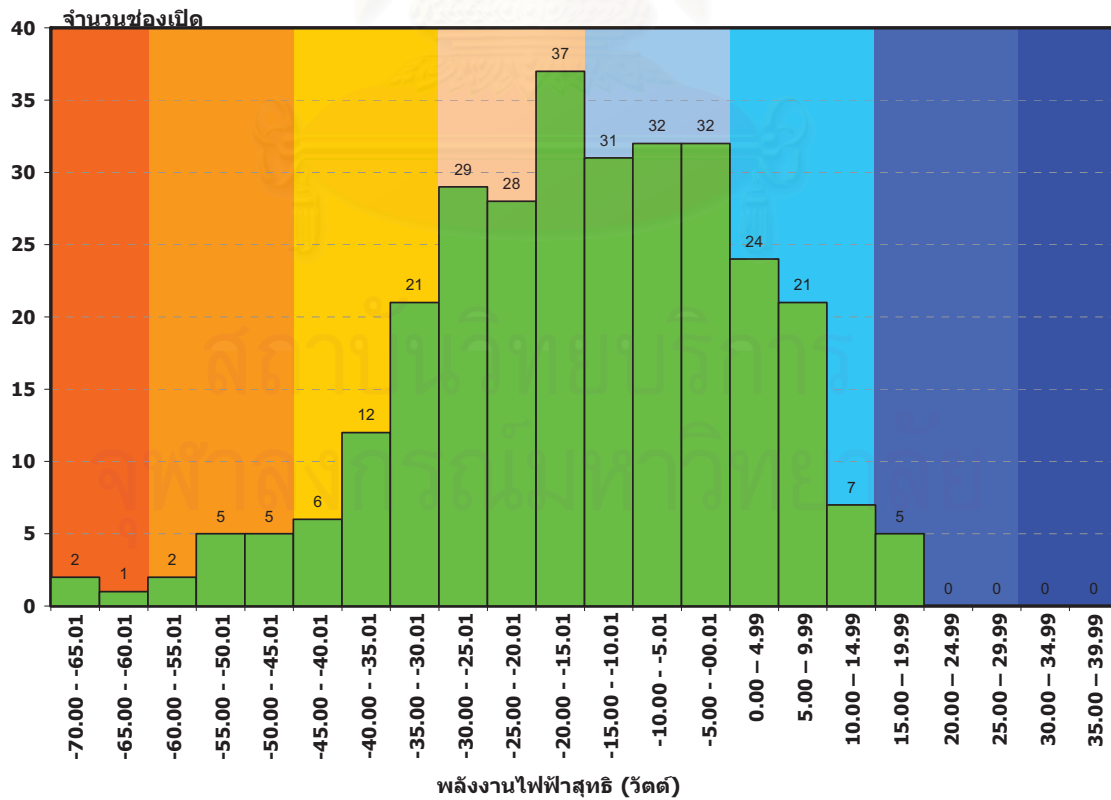
อันดับ	ชนิดกระจก
1	กระจก laminate เขียวหนา 8 มม.
2	กระจก laminate ใสหนา 8 มม.
3	กระจกใสหนา 8 มม.
4	กระจกเขียวหนา 6 มม.
5	กระจกใสหนา 6 มม.
6	กระจกเขียวหนา 8 มม.
7	กระจกใส 2 ชั้น หนา 24 มม.
8	กระจกใส 2 ชั้น หนา 32 มม.
9	กระจกเขียว 2 ชั้น หนา 24 มม.
10	กระจกเขียว 2 ชั้น หนา 32 มม.

ตารางที่ 4-2 ระดับพลังงานสุทธิของช่องเปิดจากวัสดุกระจกที่แตกต่างกันของช่องเปิดขนาด 0.90×1.20 ม. ช่องเปิดกลมขนาดเส้นผ่าศูนย์กลาง 1.20 ม. และช่องเปิดขนาด 0.90×2.00 ม.

อันดับ	ชนิดกระจก
1	กระจกเขียว 2 ชั้น หนา 32 มม.
2	กระจกใส 2 ชั้น หนา 32 มม.
3	กระจกใส 2 ชั้น หนา 24 มม.
4	กระจกเขียว 2 ชั้น หนา 24 มม.
5	กระจกเขียวหนา 8 มม.
6	กระจกเขียวหนา 6 มม.
7	กระจก laminate เขียวหนา 8 มม.
8	กระจก laminate ใสหนา 8 มม.
9	กระจกใสหนา 8 มม.
10	กระจกใสหนา 6 มม.

ตารางที่ 4-3 พลังงานสุทธิ จากพลังงานที่ใช้ขัดความร้อนอันเนื่องมาจากการซ่องเปิด และพลังงานจากแสงธรรมชาติเทียบเท่าแสงประดิษฐ์ของช่องเปิดที่ใช้ในการศึกษา

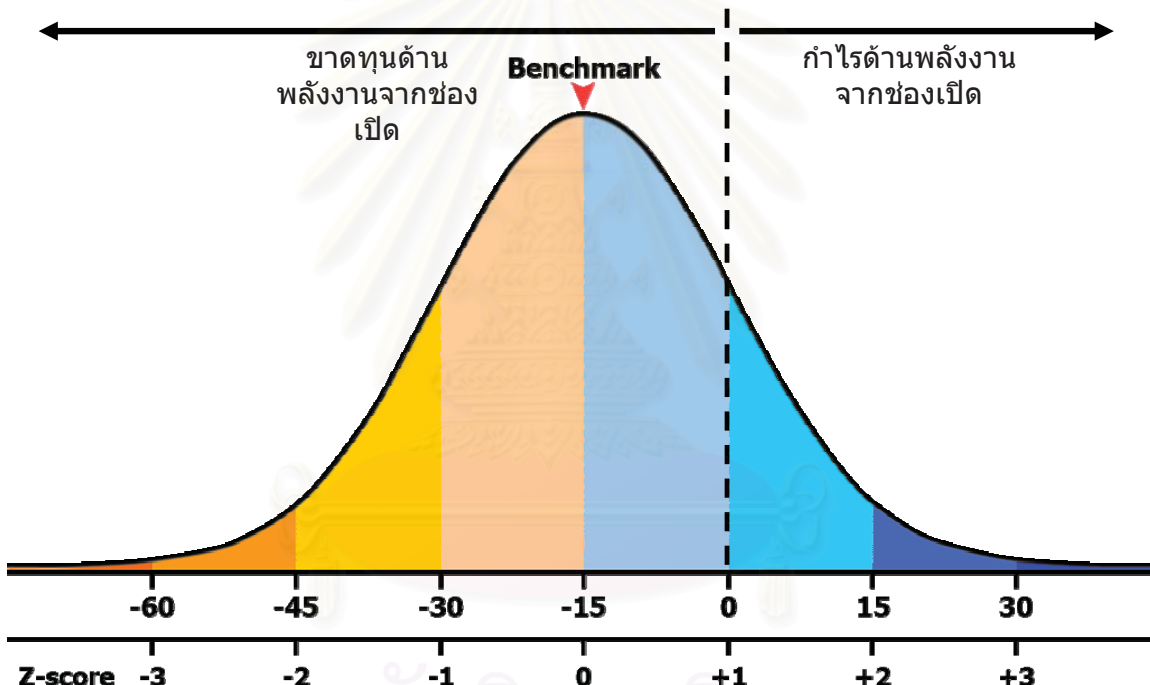
นานกรอบ	นานกระจุก	0.90x0.60 เมตร			0.90x1.20 เมตร			เส้นผ่านศูนย์กลาง 1.2 เมตร			0.90x2.00 เมตร
		ระดับ ล่าง	ระดับ กลาง	ระดับ สูง	ระดับ ล่าง	ระดับ กลาง	ระดับ สูง	ระดับ ล่าง	ระดับ กลาง	ระดับ สูง	ระดับ กลาง
ไม้	กระจกใส 6 มม.	-23.99	-15.12	-7.24	-41.30	-35.42	-33.26	-47.30	-39.51	-33.68	-67.32
	กระจกใส 8 มม.	-23.79	-14.92	-7.03	-40.22	-34.32	-32.09	-46.00	-38.20	-32.34	-65.53
	กระจกลามิเนตใส 8 มม.	-23.52	-14.65	-6.76	-39.37	-33.47	-31.24	-45.04	-37.24	-31.38	-64.25
	กระจกลามิเนตเย็บ 8 มม.	-23.34	-14.53	-6.63	-35.02	-28.87	-26.30	-39.29	-31.97	-25.32	-56.43
	กระจกเย็บ 6 มม.	-23.73	-14.94	-7.34	-35.01	-28.77	-26.30	-39.00	-31.96	-24.93	-56.18
	กระจกเย็บ 8 มม.	-24.23	-15.47	-8.47	-34.06	-28.01	-25.39	-37.38	-30.89	-23.11	-54.28
	กระจกใส 2 ชั้น 24 มม.	-25.12	-17.88	-11.66	-30.59	-25.83	-22.46	-33.37	-26.97	-18.97	-47.86
	กระจกใส 2 ชั้น 32 มม.	-25.15	-18.44	-12.67	-29.54	-24.58	-21.46	-31.71	-25.17	-17.31	-46.18
	กระจกเย็บ 2 ชั้น 24 มม.	-26.54	-20.49	-15.29	-32.64	-27.35	-24.53	-34.53	-27.81	-20.72	-50.01
	กระจกเย็บ 2 ชั้น 32 มม.	-26.88	-21.09	-14.37	-27.64	-22.23	-19.53	-28.62	-22.17	-15.05	-42.18
อลูมิเนียม	กระจกใส 6 มม.	-15.38	-6.51	1.38	-27.61	-21.73	-19.57	-35.22	-27.42	-21.60	-53.83
	กระจกใส 8 มม.	-15.17	-6.31	1.58	-26.53	-20.63	-18.40	-33.92	-26.11	-20.26	-52.04
	กระจกลามิเนตใส 8 มม.	-14.91	-6.04	1.85	-25.68	-19.78	-17.55	-32.96	-25.15	-19.30	-50.76
	กระจกลามิเนตเย็บ 8 มม.	-14.73	-5.92	1.98	-21.33	-15.18	-12.61	-27.21	-19.89	-13.24	-42.94
	กระจกเย็บ 6 มม.	-15.12	-6.33	1.27	-21.32	-15.08	-12.61	-26.92	-19.88	-12.85	-42.68
	กระจกเย็บ 8 มม.	-15.62	-6.86	0.14	-20.37	-14.32	-11.69	-25.30	-18.81	-11.02	-40.78
	กระจกใส 2 ชั้น 24 มม.	-16.51	-9.27	-3.05	-16.90	-12.14	-8.77	-21.29	-14.89	-6.89	-34.36
	กระจกใส 2 ชั้น 32 มม.	-16.54	-9.83	-4.05	-15.85	-10.89	-7.77	-19.63	-13.09	-5.23	-32.69
	กระจกเย็บ 2 ชั้น 24 มม.	-17.93	-11.88	-6.67	-18.95	-13.66	-10.84	-22.45	-15.73	-8.64	-36.51
	กระจกเย็บ 2 ชั้น 32 มม.	-18.27	-12.48	-5.76	-13.95	-8.54	-5.84	-16.53	-10.08	-2.96	-28.69
ยูพีวีซี	กระจกใส 6 มม.	-0.90	7.97	15.85	-9.26	-3.39	-1.22	-18.50	-10.70	-4.87	-22.12
	กระจกใส 8 มม.	-0.69	8.17	16.06	-8.18	-2.28	-0.05	-17.19	-9.39	-3.53	-20.33
	กระจกลามิเนตใส 8 มม.	-0.43	8.44	16.33	-7.33	-1.43	0.80	-16.23	-8.43	-2.57	-19.06
	กระจกลามิเนตเย็บ 8 มม.	-0.25	8.56	16.46	-2.98	3.17	5.74	-10.48	-3.16	3.48	-11.23
	กระจกเย็บ 6 มม.	-0.64	8.15	15.75	-2.97	3.26	5.74	-10.19	-3.15	3.88	-10.98
	กระจกเย็บ 8 มม.	-1.14	7.62	14.62	-2.02	4.03	6.65	-8.57	-2.09	5.70	-9.08
	กระจกใส 2 ชั้น 24 มม.	-2.03	5.21	11.43	1.45	6.21	9.58	-4.56	1.84	9.84	-2.66
	กระจกใส 2 ชั้น 32 มม.	-2.06	4.65	10.43	2.50	7.46	10.58	-2.91	3.64	11.50	-0.99
	กระจกเย็บ 2 ชั้น 24 มม.	-3.45	2.60	7.81	-0.60	4.69	7.51	-5.72	1.00	8.09	-4.81
	กระจกเย็บ 2 ชั้น 32 มม.	-3.79	2.00	8.72	4.40	9.81	12.51	0.19	6.64	13.76	3.02



แผนภูมิที่ 4-157 แสดงการกระจายของจำนวนช่องเปิดในช่วงพลังงานสุทธิต่าง ๆ

จากผลการศึกษาพบว่าค่าเฉลี่ย (mean) ของผลงานสุทธิของช่องเปิดที่ใช้ในการศึกษาเท่ากับ -15.18 มีการแจกแจงแบบเบ้ (skewness) เท่ากับ -0.44 และการแจกแจงแบบโด่ง (kurtosis) เท่ากับ 0.03 แสดงว่าชุดข้อมูลมีการแจกแจงใกล้เคียงกับการแจกแจงปกติ มีค่าเบี่ยงเบนมาตรฐาน (standard deviation) เท่ากับ 16.49

การพิจารณาประสิทธิภาพช่องเปิดเริ่มจากกำหนดช่วงคะแนนสำหรับแบ่งระดับประสิทธิภาพ โดยพิจารณาจากข้อมูลส่วนเบี่ยงเบนมาตรฐาน โดยแบ่งช่วงคะแนนออกเป็น 6 ระดับ ในแต่ละระดับมีช่วงระดับผลงานสุทธิที่ 15 วัดต์ แบ่งระดับเป็น ระดับที่ 1 ถึง 6 ตามระดับผลงานสุทธิต่ำ ไปสูงตามลำดับ ดังที่แสดงในตารางที่ 4-4 ผลการศึกษาพบว่าช่องเปิดที่มีประสิทธิภาพด้านผลงานคือช่องเปิดที่ได้คะแนนระดับ 5 ขึ้นไป



Poor	1 Very bad	2 Bad	3 Quite bad	4 Quite good	5 Good	6 Very good	Excellence
-------------	----------------------	-----------------	-----------------------	------------------------	------------------	-----------------------	-------------------

รูปที่ 4-17 ระดับการประเมินประสิทธิภาพด้านผลงานของช่องเปิด

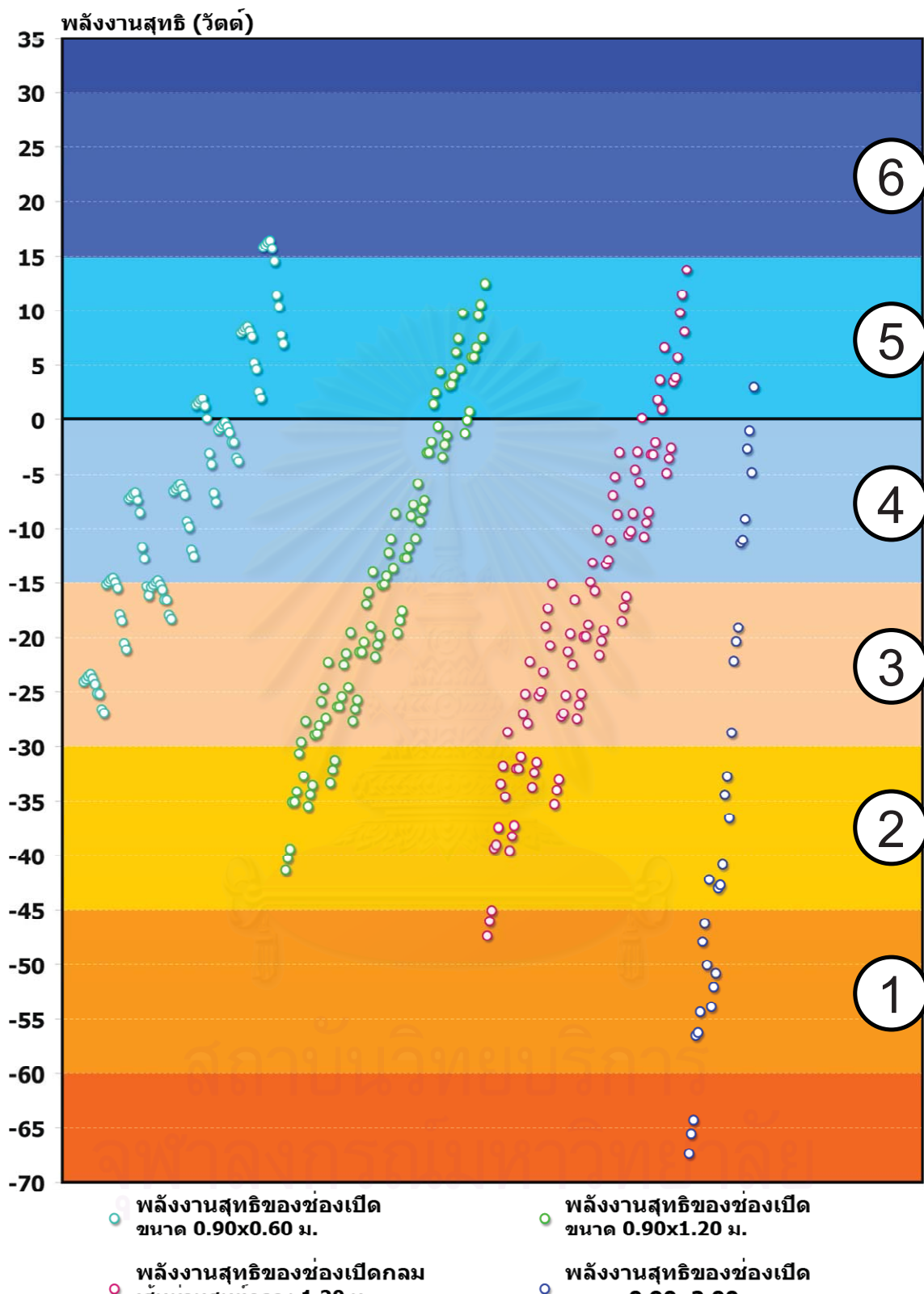
ตารางที่ 4-4 ระดับค่าแนนสำหรับวัดประสิทธิภาพด้านพลังงานของช่องเปิด และช่วงพลังงานสุทธิ

ระดับ	ขอบเขตพลังงานสุทธิ (วัตต์)	
	ต่ำสุด	สูงสุด
ยอดเยี่ยม	30.00	
ระดับที่ 1	15.00	29.99
ระดับที่ 2	0.00	14.99
ระดับที่ 3	-15.00	-0.01
ระดับที่ 4	-30.00	-15.01
ระดับที่ 5	-45.00	-30.01
ระดับที่ 6	-60.00	-45.01
ไม่สามารถยอมรับได้		-60.01

จากแนวทางดังกล่าว ช่องเปิดที่มีประสิทธิภาพซึ่งเปรียบเสมือนช่องเปิดที่ได้กำไรมากที่สุดคือช่องเปิดที่ได้ระดับค่าแนน 5 และ 6 และช่องเปิดที่ขาดทุนพลังงานสุทธิคือช่องเปิดที่ได้ระดับค่าแนน 1 ถึง 4 จากผลการศึกษาพบว่าระดับการประเมินของช่องเปิดทั้งหมดที่นำมาศึกษาอยู่ในช่วงระดับค่าแนน 1-ไม่สามารถยอมรับได้ โดยช่องเปิดที่ได้ค่าแนนสูงสุดคือช่องเปิดขนาด 0.90×0.60 เมตร บานกรอบบูรพาพีวีซี และบานกระจกเคลื่อนตัวภายในช่องกว้าง 8 มม. และช่องเปิดที่ได้ระดับค่าแนนต่ำที่สุดในการจัดระดับประสิทธิภาพคือช่องเปิดขนาด 0.90×2.00 เมตร บานกรอบไม้ และบานกระจกใส 6 มม.

ตารางที่ 4-5 จำนวนช่องเปิดในแต่ละระดับประสิทธิภาพด้านพลังงาน

ระดับ	จำนวนช่องเปิด
ยอดเยี่ยม	0
ระดับที่ 6	5
ระดับที่ 5	52
ระดับที่ 4	95
ระดับที่ 3	94
ระดับที่ 2	39
ระดับที่ 1	12
ไม่สามารถยอมรับได้	3



4.1.4. การเสนอช่องเปิดต้นแบบที่เหมาะสมสำหรับอาคารในเขตต้อนรับ

จากข้อมูลการวัดระดับประสิทธิภาพด้านพลังงานของช่องเปิดพบว่าช่องเปิดที่มีประสิทธิภาพระดับ 5 ขึ้นไปคือช่องเปิดที่มีประสิทธิภาพด้านพลังงาน

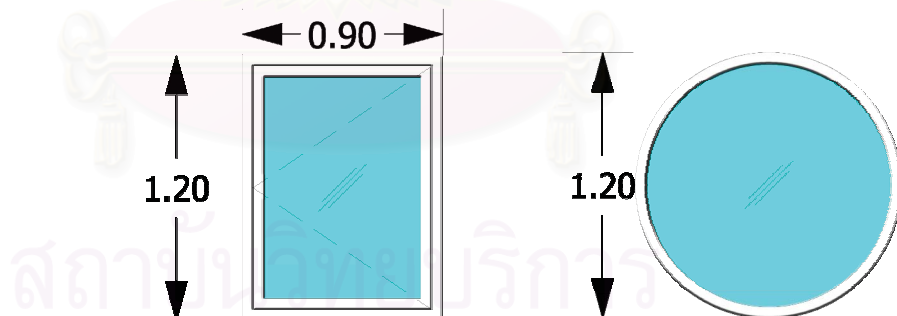
การพัฒนาต้นแบบช่องเปิดที่เหมาะสมสำหรับอาคารในเขตต้อนรับพิจารณาใน 3 ประเด็นคือ ขนาด และรูปร่างช่องเปิดที่เหมาะสม วัสดุช่องเปิดที่เหมาะสม และตำแหน่งช่องเปิดที่เหมาะสม

ขนาด และรูปร่างช่องเปิดที่เหมาะสม

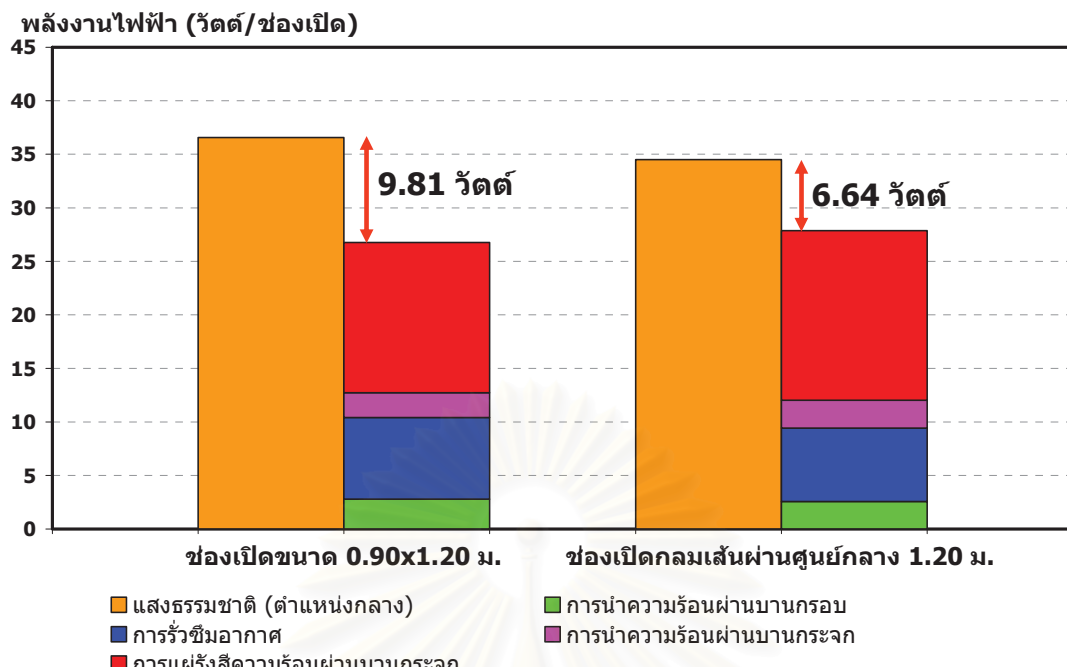
การศึกษาประสิทธิภาพช่องเปิดจากรูปร่างช่องเปิดที่แตกต่างกันพิจารณาเปรียบเทียบช่องเปิดรูปร่างสี่เหลี่ยม และรูปร่างวงกลม และเลือกช่องเปิดรูปร่างสี่เหลี่ยมขนาด 0.90×1.20 เมตร และช่องเปิดรูปร่างวงกลมเส้นผ่านศูนย์กลางขนาด 1.20 เมตร เป็นกรณีศึกษาโดยช่องเปิดทั้งสองมีพื้นที่ช่องเปิดใกล้เคียงกันที่ 0.32 ตารางเมตร และ 0.35 ตารางเมตร ตามลำดับ

ผลของการวิจัยพบว่าช่องเปิดรูปร่างสี่เหลี่ยมมีประสิทธิภาพทางด้านพลังงานสูงกว่าช่องเปิดรูปร่างกลมในตำแหน่งช่องเปิดล่าง และตำแหน่งช่องเปิดกลาง ส่วนช่องเปิดรูปร่างกลมจะมีประสิทธิภาพทางด้านพลังงานสูงกว่าช่องเปิดรูปแบบรูปร่างสี่เหลี่ยมในตำแหน่งบนดังที่แสดงในตาราง 4-6

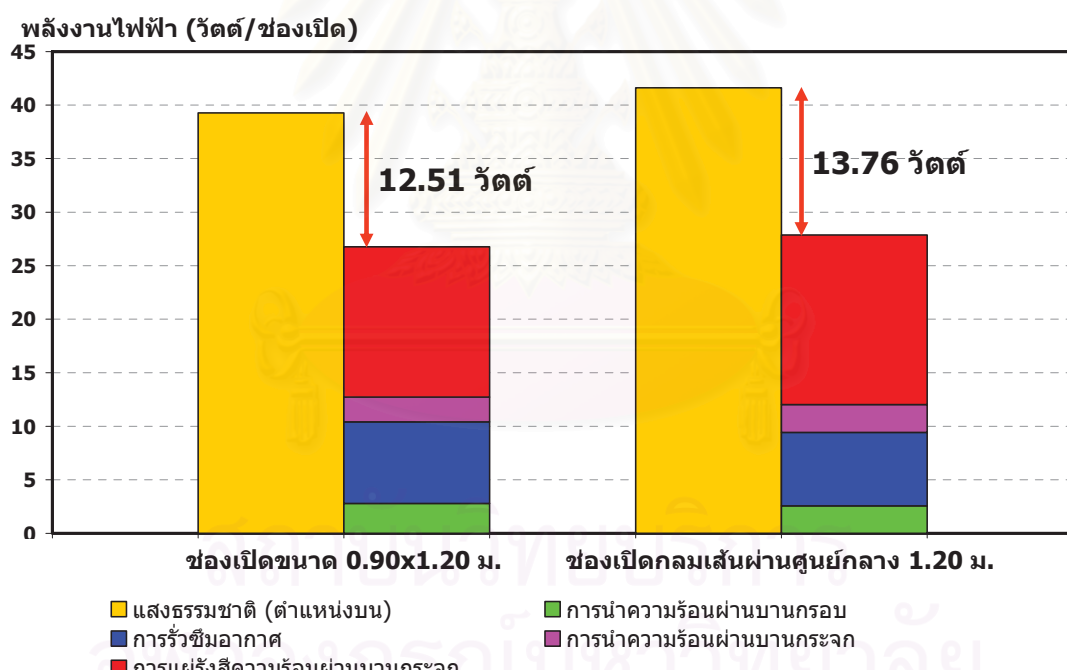
ตารางที่ 4-6 การเปรียบเทียบพลังงานสุทธิของช่องเปิดรูปร่างสี่เหลี่ยมและวงกลม



ตำแหน่งช่องเปิด	พลังงานไฟฟ้า (วัตต์/ตารางเมตร)	พลังงานไฟฟ้า (วัตต์/ตารางเมตร)
ช่องเปิดตำแหน่งกลาง	30.66	18.97
ช่องเปิดตำแหน่งบน	39.09	39.31



แผนภูมิที่ 4-160 เปรียบเทียบพลังงานสุทธิ ของช่องเปิดรูปแบบสี่เหลี่ยม และรูปแบบกลม ติดตั้ง ตำแหน่งกลาง วัสดุบานกรอบยูพีวีซี กระจายเขียว 2 ชั้น 32 มม.



แผนภูมิที่ 4-161 เปรียบเทียบพลังงานสุทธิ ของช่องเปิดรูปแบบสี่เหลี่ยม และรูปแบบกลม ติดตั้ง ตำแหน่งบน วัสดุบานกรอบยูพีวีซี กระจายเขียว 2 ชั้น 32 มม.

การพิจารณาขนาดของช่องเปิดพบว่า ช่องเปิดที่มีความเหมาะสมด้านพลังงานคือ ช่องเปิดขนาด 0.90×0.60 เมตร ช่องเปิดขนาด 0.90×1.20 เมตร และช่องเปิดกลมเส้นผ่านศูนย์กลางขนาด 1.20 เมตร

ช่องเปิดขนาด 0.90×0.60 เมตรเป็นช่องเปิดที่มีประสิทธิภาพด้านพลังงานในตัวແໜ່ງກລາງ ແລະ ຕໍາແໜ່ງນັບ ຈຶ່ງເໝາະສົມສໍາຮັບເປັນຊ່ອງແສງສໍາຮັບອາຄາວໃນກຣນີໄໝຕ້ອງກາຮຸມມອງອອກສູງກາຍນອກ ເຊັ່ນທີ່ອັນດີ້ຫລັງຄາເປັນຕົ່ນ

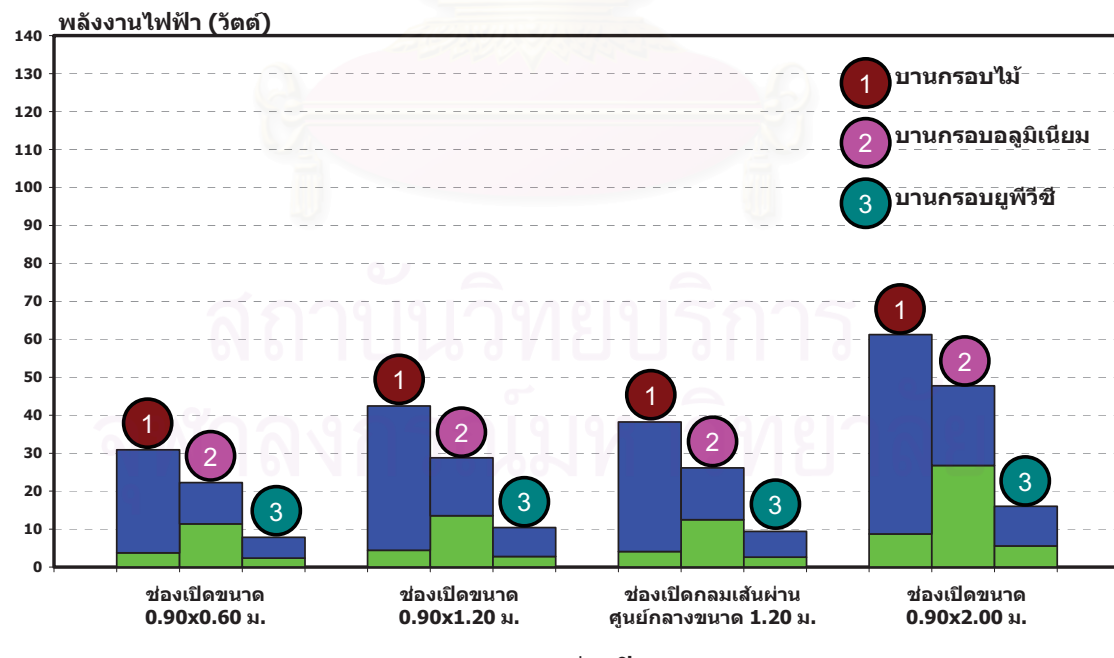
ช่องเปิดขนาด 0.90×1.20 เมตรເປັນຊ່ອງເປີດທີ່ມີປະສິຖິກາພດ້ານພລັງງານໃນຕໍາແໜ່ງລ່າງ ຕໍາແໜ່ງກລາງ ແລະ ຕໍາແໜ່ງນັບ ຈຶ່ງເໝາະສົມສໍາຮັບຊ່ອງເປີດທ່າວໄປ

ຈຳນວດການເສັ້ນຜ່ານສູນຍົກລາງຂາດ 1.20 ເມືອງເປັນຊ່ອງເປີດທີ່ມີປະສິຖິກາພດ້ານພລັງງານໃນ ຕໍາແໜ່ງກລາງ ແລະ ຕໍາແໜ່ງນັບ ແຕ່ເນື້ອເປົ້າຍເຫັນປະສິຖິກາພ ຮະຫວ່າງຈຳນວດກູ່ປະກາດສື່ເໝີຍມພບວ່າມີປະສິຖິກາພຕໍ່າກວ່າ ຈຶ່ງເໝາະສົມສໍາຮັບພື້ນທີ່ທີ່ຕ້ອງກາຮຸມມອງອອກສູງກາຍນອກ ເຊັ່ນໄໝເໝາະສົມສໍາຮັບໃຊ້ເປັນຊ່ອງເປີດທ່າວໄປ

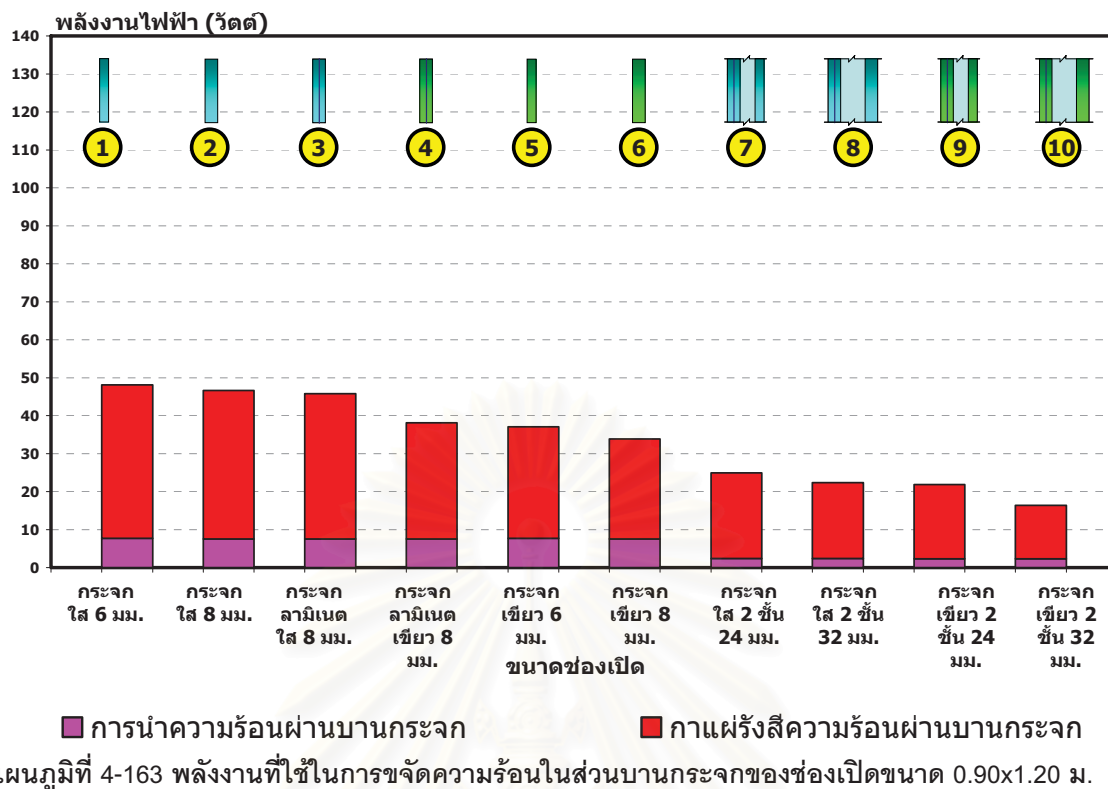
ຈຳນວດກູ່ປະກາດ 0.90×2.00 ເມືອງມີປະສິຖິກາພທາງດ້ານພລັງງານຄ່ອນຂ້າງນ້ອຍ ໂດຍມີເພີ່ມຊ່ອງເປີດບານກຽບຢູ່ພົວເວີ້ມ ແລະ ກະຈົກເງິນວ 2 ຊັ້ນ 32 ມມ. ເທົ່ານັ້ນທີ່ມີປະສິຖິກາພດ້ານພລັງງານ ຈຶ່ງໄໝເໝາະສົມສໍາຮັບເປັນຊ່ອງເປີດທ່າວໄປ

ວັສດຸຈຳນວດກູ່ປະກາດທີ່ເໝາະສົມ

ວັສດຸບານກຽບຂອງຈຳນວດກູ່ປະກາດທີ່ເໝາະສົມດ້ານກາປະຫຍັດພລັງງານຄື່ອງ ຈຳນວດບານກຽບຢູ່ພົວເວີ້ມ ຈຶ່ງມີຄຸນສົມບັດກາປ່ອງກັນຄວາມຮັບອີກວ່າ ບານກຽບອຸລົມເນື່ອມ ແລະ ໄມ້ 3 ແລະ 4 ເທົ່າ ຕາມລຳດັບ



ແຜນກຸມທີ່ 4-162 ພລັງງານທີ່ໃຊ້ໃນການຈັດຄວາມຮັບອີກໃນສ່ວນບານກຽບຂອງຈຳນວດຕ່າງໆ



วัสดุบานกระจกของช่องเปิดพิจารณาได้ 2 กรณีคือ ในกรณีช่องเปิดขนาดเล็ก เช่นช่องเปิดขนาด 0.90×0.60 เมตร ผลของการถ่ายเทความร้อนจากบานกรอบสูงกว่า บานกระจก ประตูที่มีประสิทธิภาพสูงสุดคือ ประตูลามิเนตเขียว 8 มม. และในกรณี ช่องเปิดขนาดใหญ่ เช่น ช่องเปิดขนาด 0.90×1.20 เมตร ผลของการถ่ายเทความร้อน จากบานกระจกสูงกว่าบานกรอบ บานกระจกที่มีประสิทธิภาพสูงสุดคือประตูเขียว 2 ชั้น 32 มม.

ตำแหน่งช่องเปิดที่เหมาะสม

ตำแหน่งช่องเปิดที่เหมาะสมพิจารณาจากประสิทธิภาพของช่องเปิด และมุ่งมอง ทางสายตาออกสู่ภายนอกอาคารโดยพิจารณาเบริ่ยบเทียบกับสัดส่วนร่างกายของคน ไทย

ช่องเปิดตำแหน่งล่างช่องเปิดที่มีประสิทธิภาพคือช่องเปิดขนาด 0.90×1.20 เมตร และช่องเปิดกลมเด่นผ่านศูนย์กลาง 1.20 เมตร ส่วนช่องเปิดขนาด 0.90×0.60 เมตรไม่มีประสิทธิภาพทางด้านพลังงาน อย่างไรก็ตามช่องเปิดตำแหน่งล่างจะไม่มุ่งมองออก สู่ภายนอก

ช่องเปิดตัวແໜ່ງກລາງເປັນຕຳແໜ່ງໜ້ອງເປີດທີ່ເໝາະສມທີ່ສຸດເນື່ອງຈາກ ປະສິທິກາພທາງດ້ານພັ້ງງານແລະມີມຸນມອງທາງສາຍຕາອູ້ໃນຮະດັບທີ່ໄດ້ ໂດຍໜ້ອງເປີດທີ່ ທຳກາວທີ່ກ່າວທຸກໆນາດມີປະສິທິກາພທີ່ໄດ້

ໜ້ອງເປີດຕຳແໜ່ງບນເປັນຕຳແໜ່ງທີ່ມີປະສິທິກາພດ້ານພັ້ງງານສູງທີ່ສຸດແຕ່ຈະເປັນ ຕຳແໜ່ງທີ່ຂາດມຸນມອງທາງສາຍຕາ

ຕາຮາງທີ່ 4-7 ກາຣພິຈາຣນາປະສິທິກາພທາງດ້ານໜ້ອງເປີດແລະມຸນມອງທາງສາຍຕາຂອງໜ້ອງເປີດຕຳແໜ່ງ ລ່າງໝົດຕ່າງໆ

	ປະສິທິກາພດ້ານ ພັ້ງງານ	ມຸນມອງທາງສ່າຍຕາ
ໜ້ອງເປີດນາດ 0.90×0.60 ມ.	✗	✗
ໜ້ອງເປີດນາດ 0.90×1.20 ມ.	✓	✗
ໜ້ອງເປີດກລມເສັ້ນຝ່ານສູນຍົກລາງນາດ 1.20 ມ.	✓	✗
ໜ້ອງເປີດນາດ 0.90×2.00 ມ.	N/A	N/A

ຕາຮາງທີ່ 4-8 ກາຣພິຈາຣນາປະສິທິກາພທາງດ້ານໜ້ອງເປີດແລະມຸນມອງທາງສາຍຕາຂອງໜ້ອງເປີດຕຳແໜ່ງ ກລາງໝົດຕ່າງໆ

	ປະສິທິກາພດ້ານ ພັ້ງງານ	ມຸນມອງທາງສ່າຍຕາ
ໜ້ອງເປີດນາດ 0.90×0.60 ມ.	✓	✓
ໜ້ອງເປີດນາດ 0.90×1.20 ມ.	✓	✓
ໜ້ອງເປີດກລມເສັ້ນຝ່ານສູນຍົກລາງນາດ 1.20 ມ.	✓	✓
ໜ້ອງເປີດນາດ 0.90×2.00 ມ.	✓	✓

ຕາຮາງທີ່ 4-9 ກາຣພິຈາຣນາປະສິທິກາພທາງດ້ານໜ້ອງເປີດແລະມຸນມອງທາງສາຍຕາຂອງໜ້ອງເປີດຕຳແໜ່ງ ບນໝົດຕ່າງໆ

	ປະສິທິກາພດ້ານ ພັ້ງງານ	ມຸນມອງທາງສ່າຍຕາ
ໜ້ອງເປີດນາດ 0.90×0.60 ມ.	✓	✗
ໜ້ອງເປີດນາດ 0.90×1.20 ມ.	✓	✗
ໜ້ອງເປີດກລມເສັ້ນຝ່ານສູນຍົກລາງນາດ 1.20 ມ.	✓	✗
ໜ້ອງເປີດນາດ 0.90×2.00 ມ.	N/A	N/A

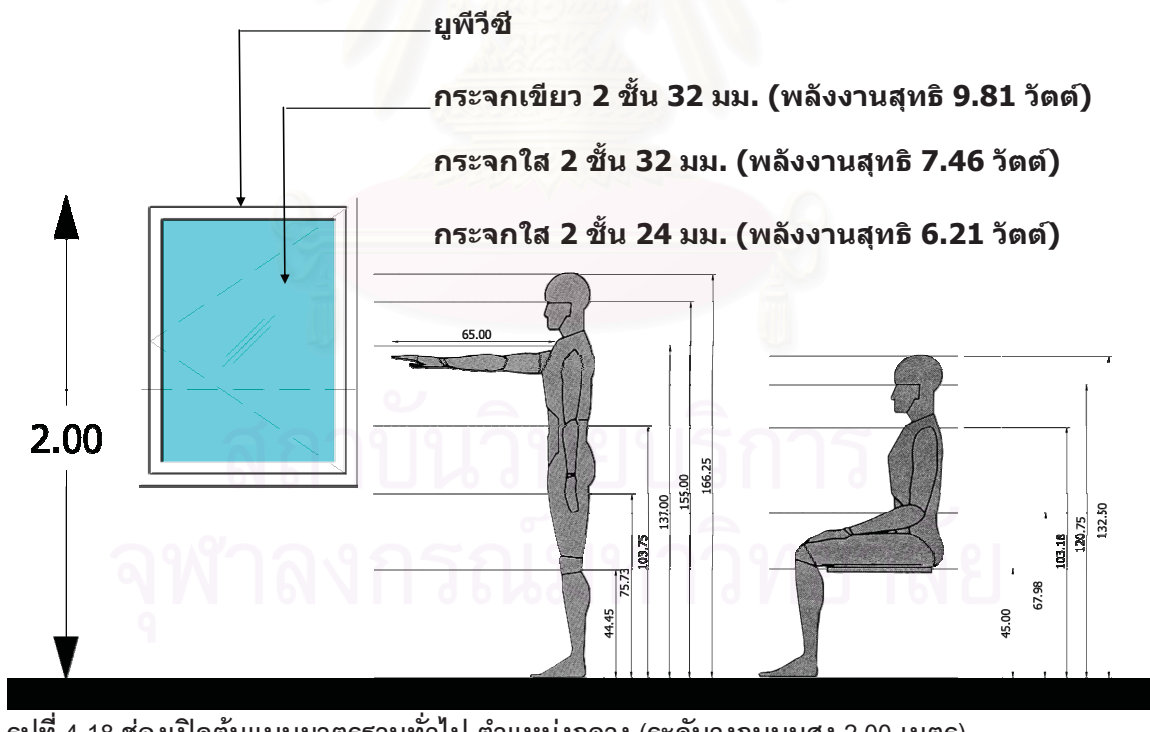
การเสนอช่องเปิดมาตรฐาน

การพิจารณาเพื่อนำเสนอต้นแบบช่องเปิดที่เหมาะสมสำหรับอาคารในเขตภูมิภาคครรลองชื่นสามารถสรุปแบบช่องเปิดต้นแบบ 3 แบบคือ ช่องเปิดต้นแบบมาตรฐาน ช่องเปิดต้นแบบรูปแบบพิเศษ และช่องเปิดต้นแบบช่องแสง ซึ่งสามารถสรุปช่องเปิดต้นแบบดังนี้

ช่องเปิดต้นแบบมาตรฐาน

ช่องเปิดต้นแบบมาตรฐานเป็นช่องเปิดที่เหมาะสมสำหรับการใช้งานโดยทั่วไปซึ่งต้องการช่องเปิดที่มีประสิทธิภาพ และมุ่งมองออกสู่ภายนอกสูงที่สุด

ขนาดของช่องเปิดต้นแบบมาตรฐานคือ ช่องเปิดขนาด 0.90×1.20 เมตร ระดับติดตั้งช่องเปิดคือระดับกลางซึ่งมีระดับวงกบบนสูง 2.00 เมตร และวัสดุบานกรอบช่องเปิดคือ วัสดุบานกรอบบุญพิวีซี บานกระเจียด 2 ชั้น 32 มม. กระเจ้าใส 2 ชั้น 32 มม. หรือกระเจ้าใส 2 ชั้น 24 มม.

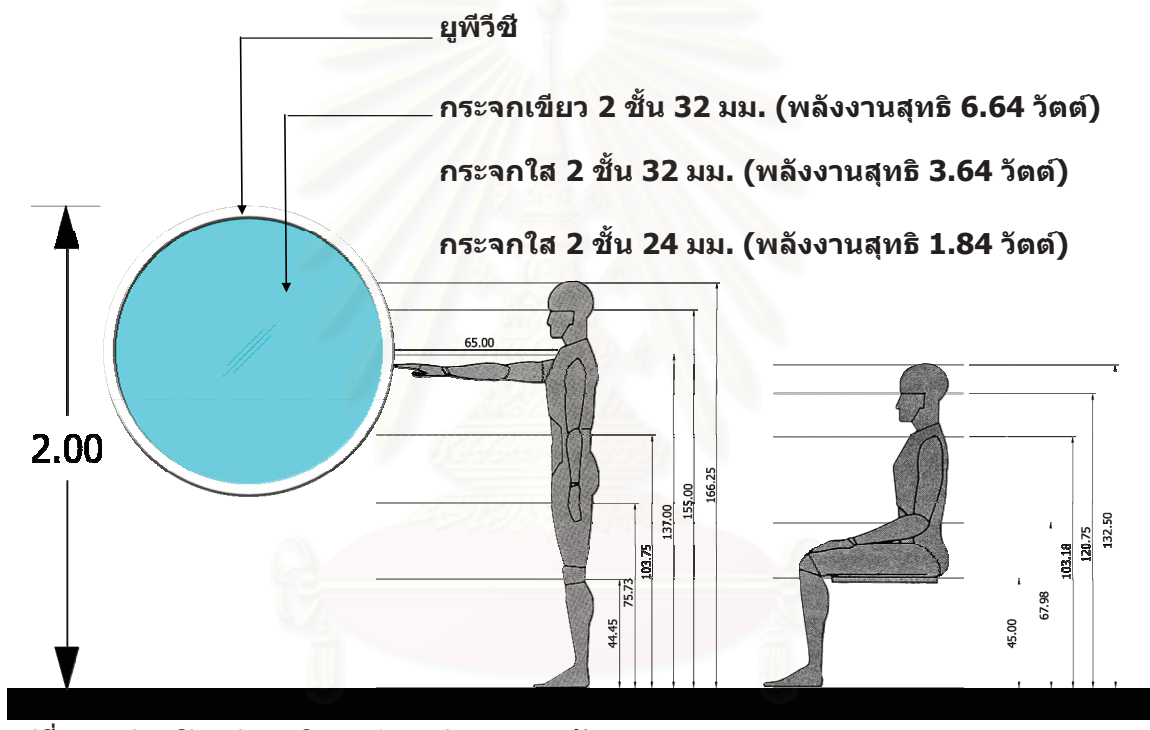


รูปที่ 4-18 ช่องเปิดต้นแบบมาตรฐานทั่วไป ตำแหน่งกลาง (ระดับวงกบบนสูง 2.00 เมตร)

ช่องเปิดตันแบบรูปแบบพิเศษ

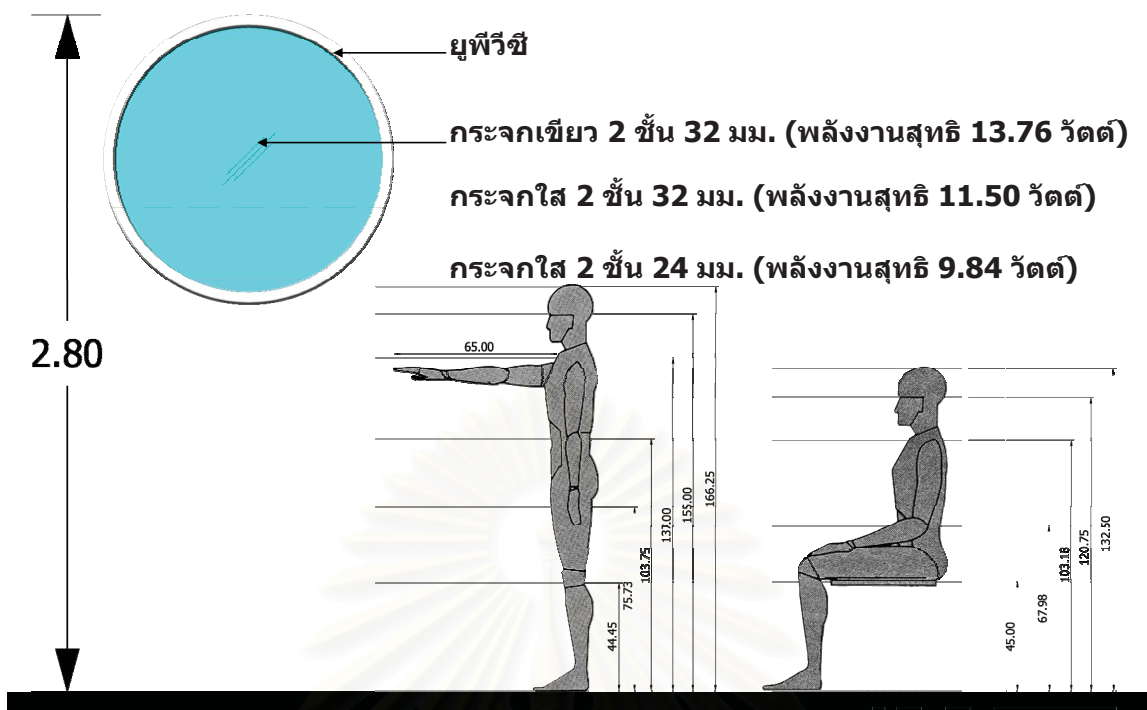
ช่องเปิดตันแบบรูปแบบพิเศษเป็นช่องเปิดสำหรับพื้นที่ที่ต้องการเอกสารลักษณ์โดยเด่น อย่างไรก็ตามต้องมีประสิทธิภาพด้านพลังงานในระดับสูง

ขนาดของช่องเปิดตันแบบรูปแบบพิเศษคือ ช่องเปิดกลมเส้นผ่าศูนย์กลางขนาด 1.20 เมตร ระดับติดตั้งช่องเปิดคือระดับกากบาท และระดับบน ซึ่งมีระดับวงกบบนสูง 2.00 เมตร หรือ 2.80 เมตร ตามลำดับ และวัสดุบานกรอบช่องเปิดคือ บานกรอบบุญพิริชี บานกระจกเขียว 2 ชั้น 32 มม. กระจกใส 2 ชั้น 32 มม. หรือกระจกใส 2 ชั้น 24 มม.



รูปที่ 4-19 ช่องเปิดรูปแบบพิเศษ ตำแหน่งกากบาท (ระดับวงกบบนสูง 2.00 เมตร)

**สถาบันนวัตกรรม
จุฬาลงกรณ์มหาวิทยาลัย**



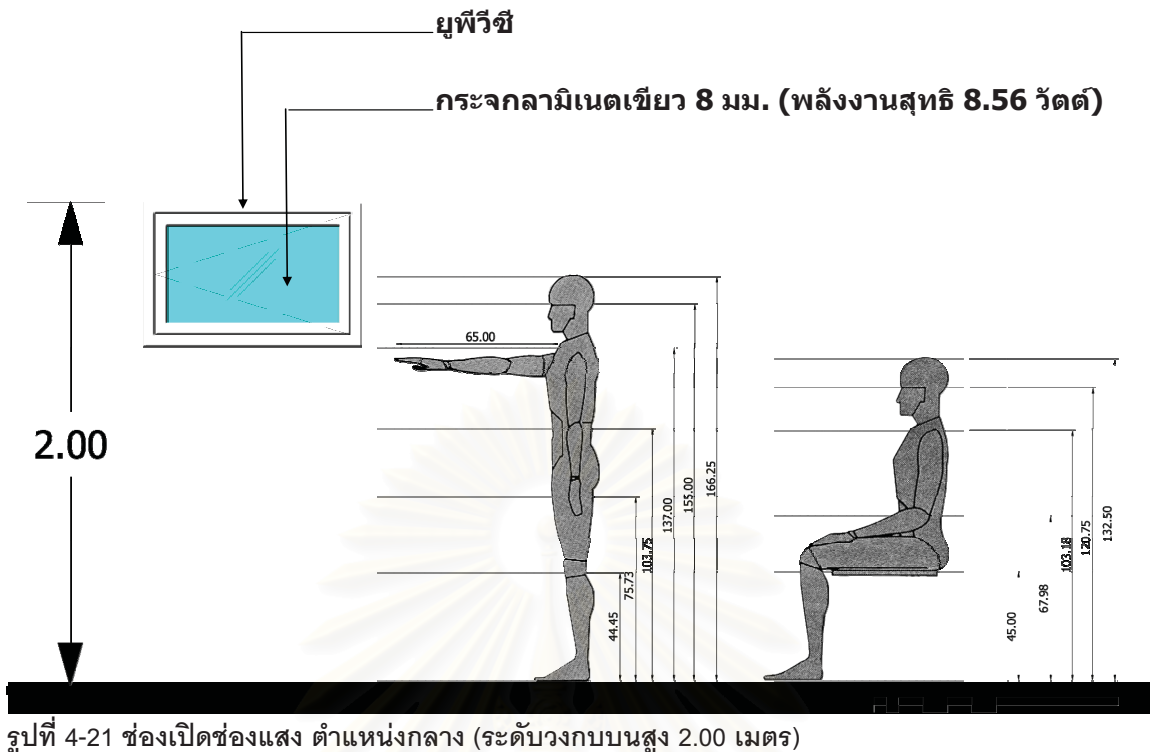
รูปที่ 4-20 ช่องเปิดรูปแบบพิเศษ ตำแหน่งงบน (ระดับวงกบบนสูง 2.80 เมตร)

ช่องเปิดตันแบบช่องแสง

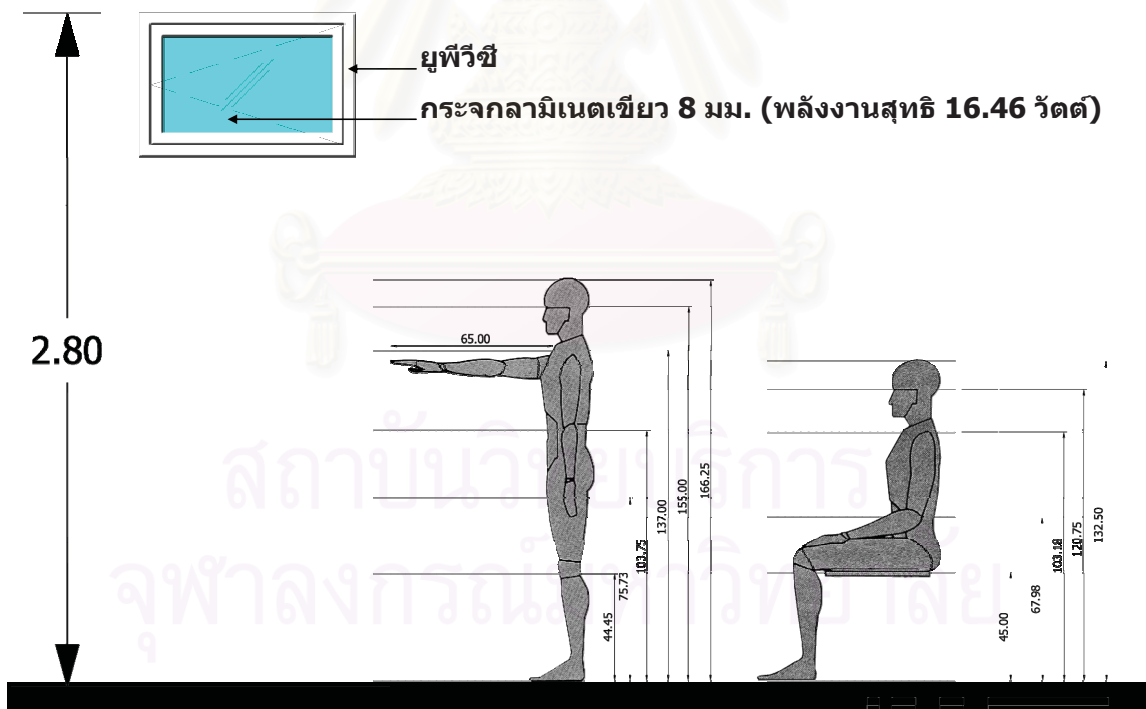
ช่องเปิดตันแบบช่องแสงเป็นช่องเปิดที่เหมาะสมสำหรับการใช้งานในบริเวณที่ต้องการแสงสว่าง โดยไม่ต้องการมุ่มมองออกสู่ภายนอก แต่ต้องเป็นช่องเปิดที่มีประสิทธิภาพสูงที่สุด

ขนาดของช่องเปิดตันแบบช่องแสงคือ ช่องเปิดขนาด 0.90×0.60 เมตร ระดับติดตั้งช่องเปิดคือระดับกลาง และระดับบน ซึ่งมีระดับวงกบบนสูง 2.00 เมตร หรือ 2.80 เมตร ตามลำดับ และวัสดุบานกรอบช่องเปิดคือ บานกรอบบูฟฟ์วีซี กระเจ้าลมในเดเรียวก 8 มม.

สถาบันวิทยบริการ
จุฬาลงกรณ์มหาวิทยาลัย



รูปที่ 4-21 ช่องเปิดช่องแสง ตัวแทนงกลาง (ระดับวงกบบนสูง 2.00 เมตร)



รูปที่ 4-22 ช่องเปิดช่องแสง ตัวแทนงบบ (ระดับวงกบบนสูง 2.80 เมตร)

บทที่ 5

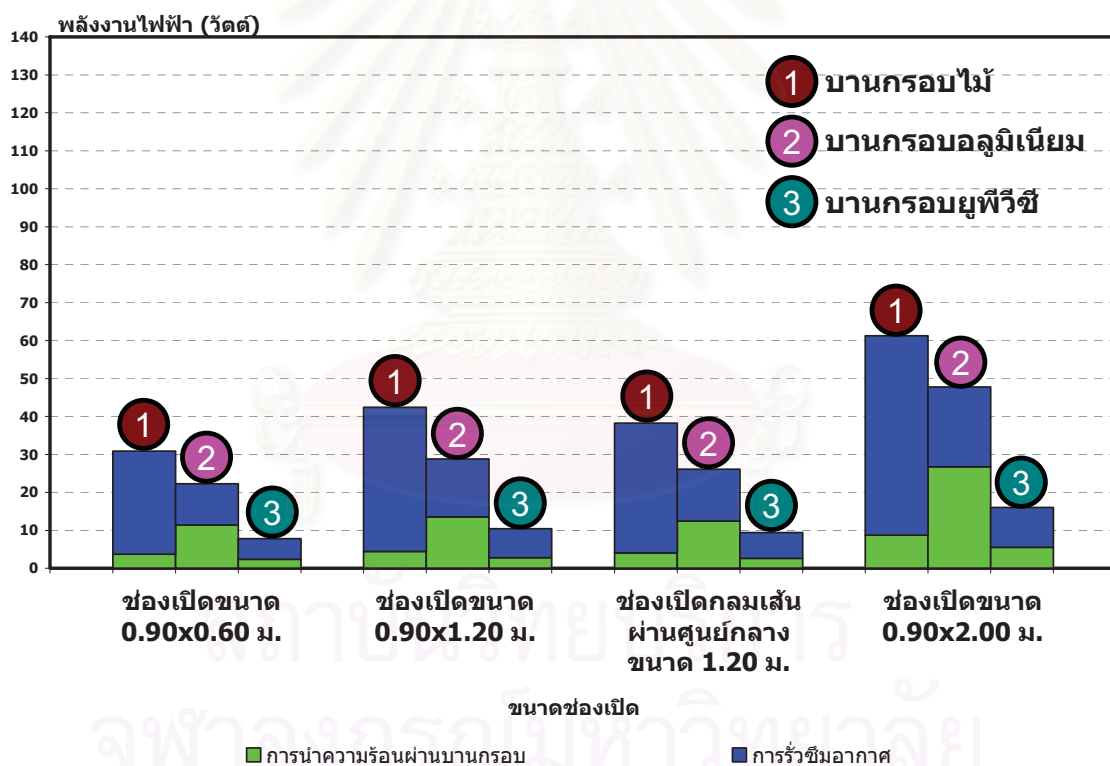
สรุปและวิเคราะห์ผลการวิจัย

5.1. สรุปผลการวิจัย

การศึกษาการวิจัยเพื่อสร้างต้นแบบช่องเปิดสำหรับอาคารในเขตว่อนซึ่นเป็นการพิจารณาฐานรูปแบบช่องเปิดที่มีประสิทธิภาพด้านพลังงาน อิทธิพลด้านการใช้พลังงานไฟฟ้าสามารถสรุปได้ 2 ส่วนคือ การใช้พลังงานไฟฟ้าเพื่อขัดความร้อนอันเนื่องมาจากการเปิด และพลังงานไฟฟ้าที่ได้จากแสงธรรมชาติเทียบเท่าแสงประดิษฐ์

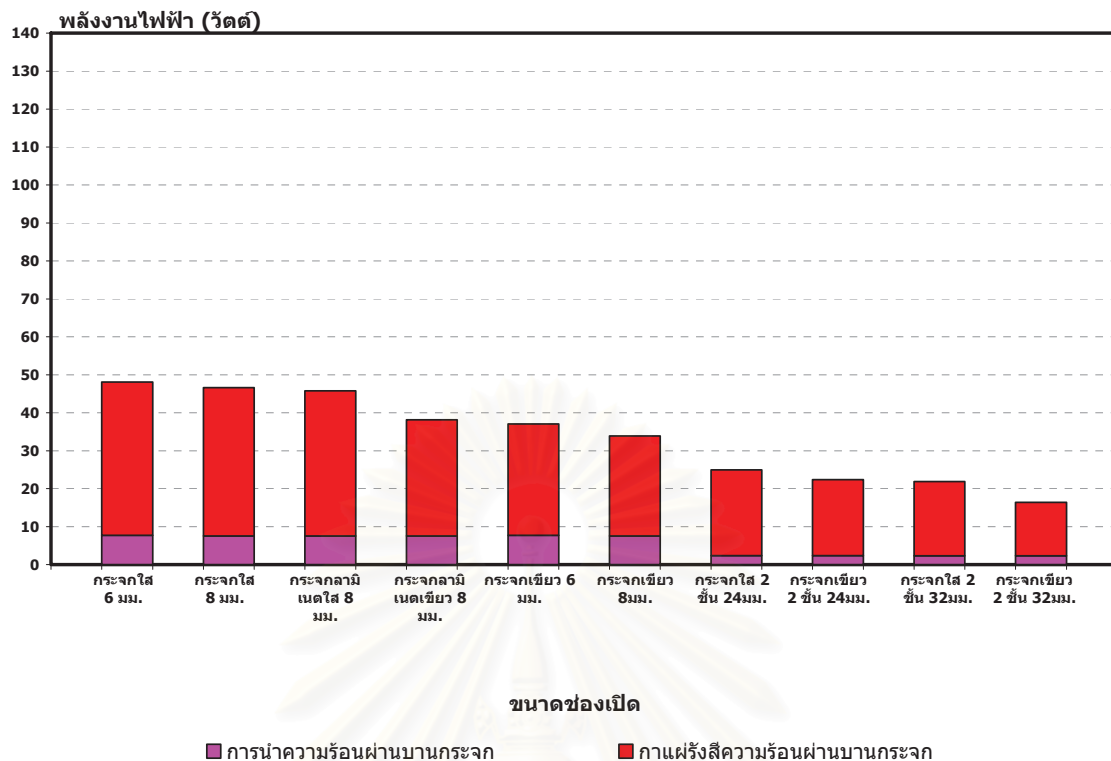
5.1.1. การใช้พลังงานไฟฟ้าเพื่อขัดความร้อนอันเนื่องมาจากการเปิด

ในส่วนวัสดุบานกรอบของช่องเปิด วัสดุที่มีความสามารถป้องกันความร้อนจากมากไปน้อยคือ บานกรอบยูพีวีซี บานกรอบอลูминีียม และบานกรอบไม้ มีอัตราส่วนการใช้พลังงานอยู่ที่ 1 : 3 และ 4 ตามลำดับ ตัวแปรที่มีอิทธิพลสูงที่สุดสำหรับการใช้พลังงานเพื่อขัดความร้อนผ่านบานกรอบคือ การรั้วซึ่งมีผลลัพธ์ดังนี้



แผนภูมิที่ 5-1 พลังงานที่ใช้ในการขัดความร้อนในส่วนบานกรอบของช่องเปิดขนาดต่าง ๆ

วัสดุบานกรอบของช่องเปิดมีวัสดุที่มีความสามารถป้องกันความร้อนจากมากไปน้อยคือ กระจกเชี่ยว 2 ชั้น 32 มม. กระจกใส 2 ชั้น 32 มม. กระจกเชี่ยว 2 ชั้น 24 มม. กระจกใส 2 ชั้น 24 มม. กระจกเชี่ยว 8 มม. กระจกใส 6 มม. กระจก laminate เเชี่ยว 8 มม. กระจก laminate ใส 8 มม. กระจกใส 8 มม. และกระจกใส 6 มม. ตามลำดับ ตัวแปรที่มีอิทธิพลสูงสุดคือการแผ่วรังสีความร้อนผ่านช่องเปิด

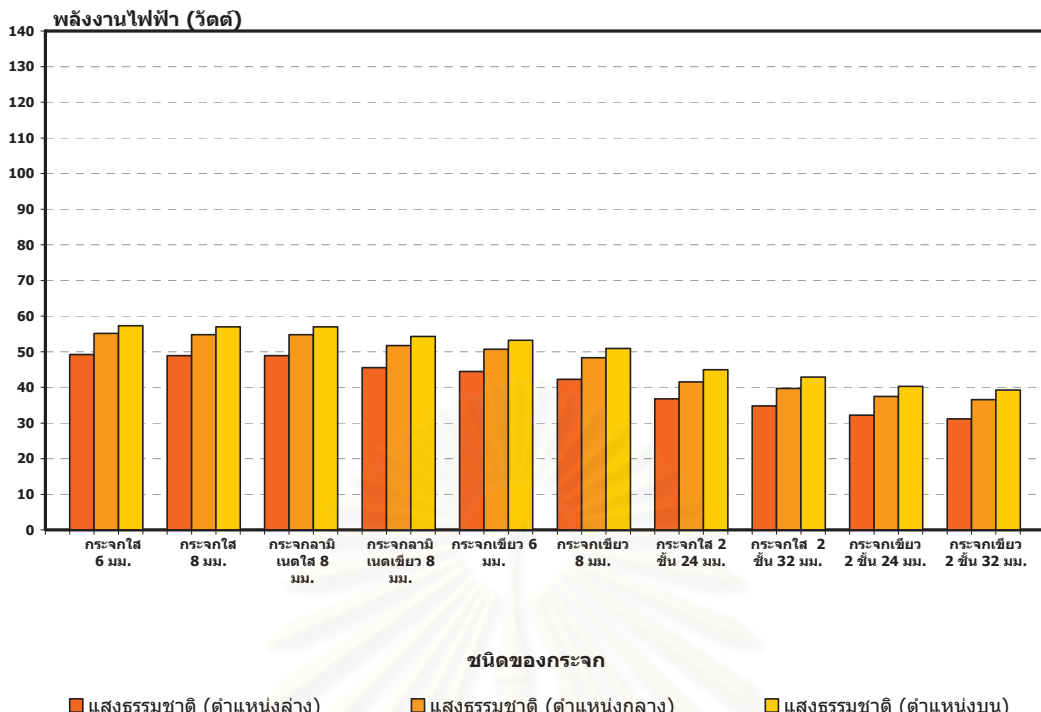


แผนภูมิที่ 5-2 พลังงานที่ใช้ในการขัดความร้อนในส่วนบานกระจกของช่องเปิดขนาด 0.90×1.20 ม.

5.1.2. การได้รับพลังงานไฟฟ้าจากแสงธรรมชาติเทียบเท่าการลดการใช้พลังงานไฟฟ้าจากแสงประดิษฐ์

การพิจารณาพลังงานไฟฟ้าที่ได้รับจากแสงธรรมชาติพิจารณาเทียบเท่าพลังงานไฟฟ้าจากแสงประดิษฐ์ โดยกำหนดการใช้พลังงานไฟฟ้า 8.3 วัตต์ต่อตารางเมตร จากระบบไฟฟ้า หลอดฟลูออเรสเซนต์ (T5) ประสิทธิภาพ 100 ลูเมนต์ต่อวัตต์

ระดับความส่องสว่างของแสงธรรมชาติเข้าสู่อาคารแปรผันตามขนาดของช่องเปิด และระดับความสูงของช่องเปิด ระดับความส่องสว่างของช่องเปิดจะขึ้นอยู่กับค่าส่องผ่านแสงของกระจก โดยค่าส่องผ่านแสงของวัสดุมาก ความส่องสว่างจากแสงธรรมชาติก็จะมากเช่นกัน ระดับความส่องสว่างของวัสดุบานกระจกจากมากไปน้อยคือ กระจกใส 6 มม. กระจกใส 8 มม. กระจกามิเนตใส 8 มม. กระจกามิเนตเขียว 8 มม. กระจกเขียว 6 มม. กระจกเขียว 8 มม. กระจกใส 2 ชิ้น 24 มม. กระจกใส 2 ชิ้น 32 มม. กระจกเขียว 2 ชิ้น 24 มม. และกระจกเขียว 2 ชิ้น 32 มม. ตามลำดับ



แผนภูมิที่ 5-3 พลังงานที่ได้จากแสงธรรมชาติเทียบเท่าแสงประดิษฐ์ของช่องเปิดขนาด 0.90×1.20 ม.

5.1.3. การเปรียบเทียบพลังงานที่เกิดจากการถ่ายเทความร้อนผ่านช่องเปิดเข้าสู่ภายในอาคารและปริมาณพลังงานที่ได้รับจากการใช้แสงธรรมชาติผ่านช่องเปิดเทียบเท่าแสงประดิษฐ์

การเปรียบเทียบประลักษณ์ภาพพิจารณาจาก **พลังงานสุทธิ** ของช่องเปิดซึ่งเป็นผลต่างของพลังงานที่ได้รับจากแสงธรรมชาติเทียบเท่าแสงประดิษฐ์ และพลังงานที่ใช้ในการขัดความร้อนจากช่องเปิด จากการวิจัยพบว่าวัสดุช่องเปิดที่มีการถ่ายเทความร้อนสูงสุดคือช่องเปิดบานกรอบไม้ กระจกใส 6 มม. ซึ่งเป็นช่องเปิดกรณีพื้นฐาน (base case) สำหรับเปรียบเทียบกับช่องเปิดอื่นๆ

ช่องเปิดขนาด 0.90×0.60 ม. ที่มีประสิทธิภาพสูงสุดคือ ช่องเปิดบานกรอบบูฟเฟอร์ และบานกระจกามิเนตเขียว 8 มม. ระยะติดตั้งช่องเปิดที่มีประสิทธิภาพคือตัวแทนกลาง และตัวแทนบน มีระดับวงกบบันที่ 2.00 ม. และ 2.80 ม. ตามลำดับ โดยมีประสิทธิภาพดีกว่าช่องเปิดบานกรอบไม้ กระจกใส 6 มม. 24 วัตต์ต่อบาน ห้อง 2 กรณี

ช่องเปิดขนาด 0.90×1.20 ม. ที่มีประสิทธิภาพสูงสุดคือ ช่องเปิดบานกรอบบูฟเฟอร์ และบานกระจกเขียว 2 ชั้น 32 มม. ระยะติดตั้งช่องเปิดที่มีประสิทธิภาพคือตัวแทนล่าง ตัวแทนกลาง และตัวแทนบน มีระดับวงกบบันที่ 1.20 ม. 2.00 ม. และ 2.80 ม. ตามลำดับ โดยมีประสิทธิภาพดีกว่าช่องเปิดบานกรอบไม้ กระจกใส 6 มม. 46 วัตต์ต่อบาน และ 46 วัตต์ต่อบาน ตามลำดับ

ช่องเปิดกลมเส้นผ่านศูนย์กลางขนาด 1.20 ม. ที่มีประสิทธิภาพสูงสุดคือ ช่องเปิดบานกรอบยูพีวีซี และบานกระจกเขียว 2 ชั้น 32 มม. ระยะติดตั้งช่องเปิดที่มีประสิทธิภาพคือต่ำแห่งล่าง ต่ำแห่งกลาง และต่ำแห่งบน มีระดับวงกบบันที่ 1.20 ม. 2.00 ม. และ 2.80 ม. ตามลำดับ โดยมีประสิทธิภาพดีกว่าช่องเปิดบานกรอบไม้ กระจกใส 6 มม. 48 วัตต์ต่อบาน 46 วัตต์ต่อบาน และ 47 วัตต์ต่อบาน ตามลำดับ

ช่องเปิดขนาด 0.90×2.00 ม. ที่มีประสิทธิภาพสูงสุดคือ ช่องเปิดบานกรอบยูพีวีซี และบานกระจกเขียว 2 ชั้น 32 มม. ระยะติดตั้งช่องเปิดที่มีประสิทธิภาพคือต่ำแห่งกลาง มีระดับวงกบบันที่ 2.00 ม. โดยมีประสิทธิภาพดีกว่าช่องเปิดบานกรอบไม้ กระจกใส 6 มม. 70 วัตต์ต่อบาน

วัสดุช่องเปิดที่เหมาะสมสมสำหรับอาคารปรับอากาศในเขตร้อนชื้นคือช่องเปิดบานกรอบยูพีวีซี ควบคู่กับบานกระจกคุณภาพสูง วัสดุกระจกที่แนะนำสำหรับการใช้งานในอาคารปรับอากาศในเขตร้อนชื้น มี 3 ชนิด คือ กระจกเขียว 2 ชั้น 32 มม. กระจกใส 2 ชั้น 32 มม. และกระจกใส 2 ชั้น 24 มม. ตามลำดับ

5.1.4. การเสนอช่องเปิดตันแบบที่เหมาะสมสมสำหรับอาคารในเขตร้อนชื้น

ช่องเปิดตันแบบที่เหมาะสมสมสำหรับอาคารในเขตร้อนชื้นแบ่งออกเป็นช่องเปิด 3 รูปแบบคือ ช่องเปิดตันแบบมาตรฐาน ช่องเปิดตันแบบรูปแบบพิเศษ และช่องเปิดตันแบบช่องแสง

ช่องเปิดตันแบบมาตรฐาน คือช่องเปิดขนาด 0.90×1.20 เมตร ติดตั้งระดับวงกบบันสูง 2.00 เมตร วัสดุบานกรอบยูพีวีซี และวัสดุบานกระจก 3 ชนิด คือ กระจกเขียว 2 ชั้น 32 มม. กระจกใส 2 ชั้น 32 มม. หรือกระจกใส 2 ชั้น 24 มม.

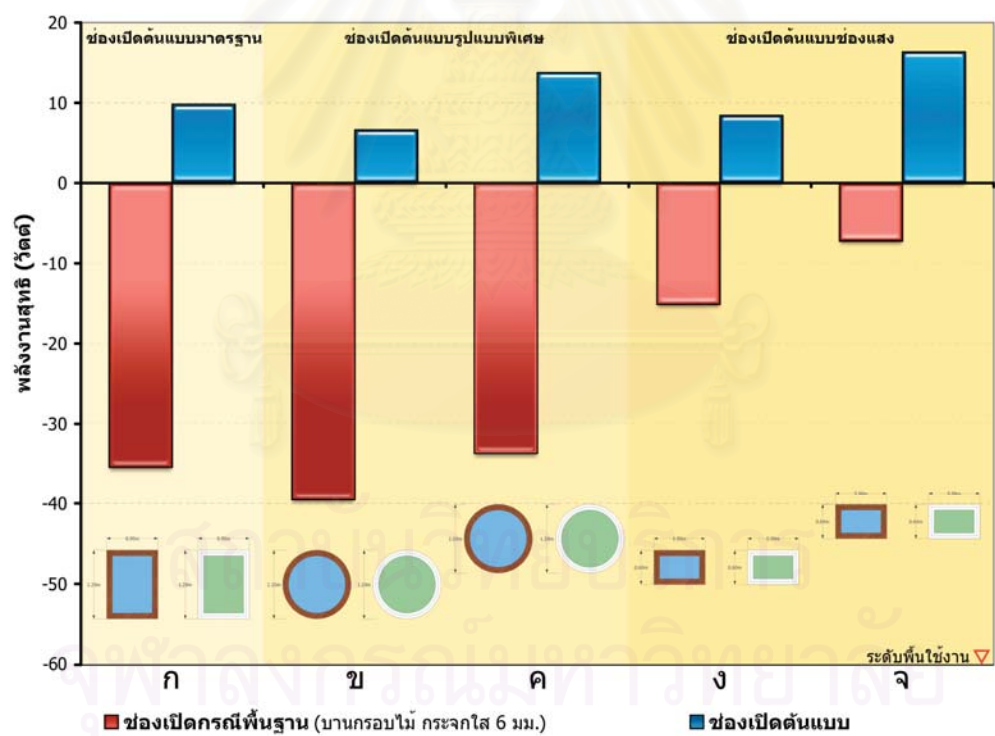
ช่องเปิดตันแบบรูปแบบพิเศษคือช่องเปิดกลมเส้นผ่านศูนย์กลางขนาด 1.20 เมตร ติดตั้งระดับวงกบบันสูง 2.00 เมตร หรือ 2.80 เมตร ตามลำดับ วัสดุบานกรอบยูพีวีซี และวัสดุบานกระจก 3 ชนิด คือ กระจกเขียว 2 ชั้น 32 มม. กระจกใส 2 ชั้น 32 มม. หรือกระจกใส 2 ชั้น 24 มม.

ช่องเปิดตันแบบรูปแบบช่องแสงคือช่องเปิดขนาด 0.90×0.60 เมตร ติดตั้งระดับวงกบบันสูง 2.00 เมตร หรือ 2.80 เมตร ตามลำดับ วัสดุบานกรอบยูพีวีซี และกระจก ลามิเนตเขียว 8 มม.

ช่องเปิดตันแบบทั้ง 3 ชนิดเป็นช่องเปิดที่มีประสิทธิภาพเหมาะสมสมสำหรับอาคารปรับอากาศในเขตร้อนชื้น โดยมีประสิทธิภาพเมื่อเทียบกับช่องเปิดกรณีพื้นฐานดังที่แสดงในตารางที่ 5-1

ตารางที่ 5-1 ประสิทธิภาพช่องเปิดตันแบบเทียบกับช่องเปิดกรณีพื้นฐาน

ช่องเปิด	ตำแหน่ง วงกบบน	วัสดุบานกรอบ	วัสดุบานกระจก	ผลต่างพลังงานสุทธิ (วัตต์/ปาน)
ช่องเปิดตันแบบ มาตรฐาน	2.00 ม.	ยูพีวีซี	กระจกเชี่ยว 2 ชั้น 32 มม.	45
			กระจกใส 2 ชั้น 32 มม.	43
			กระจกใส 2 ชั้น 24 มม.	42
ช่องเปิดตันแบบ รูปแบบพิเศษ	2.00 ม.	ยูพีวีซี	กระจกเชี่ยว 2 ชั้น 32 มม.	46
			กระจกใส 2 ชั้น 32 มม.	42
			กระจกใส 2 ชั้น 24 มม.	41
ช่องเปิดตันแบบ ช่องแสง	2.00 ม.	ยูพีวีซี	กระจกลามิเนตเชี่ยว 6 มม.	24
	2.80 ม.	ยูพีวีซี	กระจกลามิเนตเชี่ยว 6 มม.	24



แผนภูมิที่ 5-4 เปรียบเทียบพลังงานสุทธิระหว่างช่องเปิดตันแบบกับช่องเปิดกรณีพื้นฐาน: กำหนดช่องเปิดกรณีพื้นฐานคือ ช่องเปิดบานกรอบไม้ กระจกใส 6 มม.

- ก ช่องเปิดมาตรฐานบานกรอบยูพีวีซี กระจกเชี่ยว 2 ชั้น 32 มม. วงกบบนสูง 2.00 เมตร
- ข เชื่อมเปิดรูปแบบพิเศษบานกรอบยูพีวีซี กระจกเชี่ยว 2 ชั้น 32 มม. วงกบบนสูง 2.00 เมตร
- ค ช่องเปิดรูปแบบพิเศษบานกรอบยูพีวีซี กระจกเชี่ยว 2 ชั้น 32 มม. วงกบบนสูง 2.80 เมตร
- ง ช่องเปิดช่องแสงบานกรอบยูพีวีซี กระจกลามิเนตเชี่ยว 8 มม. วงกบบนสูง 2.00 เมตร
- จ ช่องเปิดช่องแสงบานกรอบยูพีวีซี กระจกลามิเนตเชี่ยว 8 มม. วงกบบนสูง 2.80 เมตร

5.1.5. การออกแบบช่องเปิดตันแบบเพื่อแก้ปัญหาโลกร้อน

ปัญหาโลกร้อนในปัจจุบันเป็นปัญหาสำคัญเร่งด่วนที่ทุกคนควรตระหนักรถึง ความสำคัญ การผลิตไฟฟ้าจะมีการปลดปล่อยก๊าซคาร์บอนไดออกไซด์จากการเผาไหม้ เช่น น้ำมัน ถ่านหิน หรือก๊าซธรรมชาติ จากการขนส่ง และนำเข้าวัตถุดิบ ซึ่งมีความแตกต่างกันในแต่ละประเทศ (IPCC, 2006) การผลิตพลังงานไฟฟ้า 1 หน่วย (1 กิโลวัตต์ ชั่วโมง) ของประเทศไทยจะปลดปล่อยก๊าซคาร์บอนไดออกไซด์ประมาณ 0.46 กิโลกรัม คาร์บอนไดออกไซด์ (kg CO_2) (เอกสารนี้ ใบอนุญาต 2550) แนวทางแก้ปัญหาโลกร้อน คือการลดการใช้พลังงานไฟฟ้าในอาคาร ซึ่งส่งผลให้ลดการปลดปล่อยก๊าซ คาร์บอนไดออกไซด์ ซึ่งเปิดตันแบบมีคุณสมบัติพิเศษคือเป็นช่องเปิดที่สามารถลดการใช้พลังงานไฟฟ้าและประดิษฐ์จากการใช้ประโยชน์จากแสงธรรมชาติ ได้มากกว่าภาระการทำความเย็นอันเนื่องมาจากการเปิด ดังนั้นช่องเปิดตันแบบจึงเสมือนสามารถลดการปลดปล่อยก๊าซคาร์บอนไดออกไซด์ได้ในช่วงเวลาใช้งานอาคารที่กำหนด

ช่องเปิดตันแบบมาตรฐาน ระดับวงกบบนสูง 2.00 เมตร กระจายเสียง 2 ชั้น 32 มม. กระจายเสียง 2 ชั้น 32 มม. และกระจายเสียง 2 ชั้น 24 มม. มีศักยภาพลดการปลดปล่อยก๊าซ คาร์บอนไดออกไซด์ 4.51 3.43 และ 2.86 กรัมคาร์บอนไดออกไซด์ ตามลำดับ

ช่องเปิดตันแบบรูปแบบพิเศษ ระดับวงกบบนสูง 2.00 เมตร กระจายเสียง 2 ชั้น 32 มม. กระจายเสียง 2 ชั้น 32 มม. และกระจายเสียง 2 ชั้น 24 มม. มีศักยภาพลดการปลดปล่อย ก๊าซคาร์บอนไดออกไซด์ 3.05 1.67 และ 0.84 กรัมคาร์บอนไดออกไซด์ ตามลำดับ

ช่องเปิดตันแบบรูปแบบพิเศษ ระดับวงกบบนสูง 2.80 เมตร กระจายเสียง 2 ชั้น 32 มม. กระจายเสียง 2 ชั้น 32 มม. และกระจายเสียง 2 ชั้น 24 มม. มีศักยภาพลดการปลดปล่อย ก๊าซคาร์บอนไดออกไซด์ 6.33 5.29 และ 4.53 กรัมคาร์บอนไดออกไซด์ ตามลำดับ

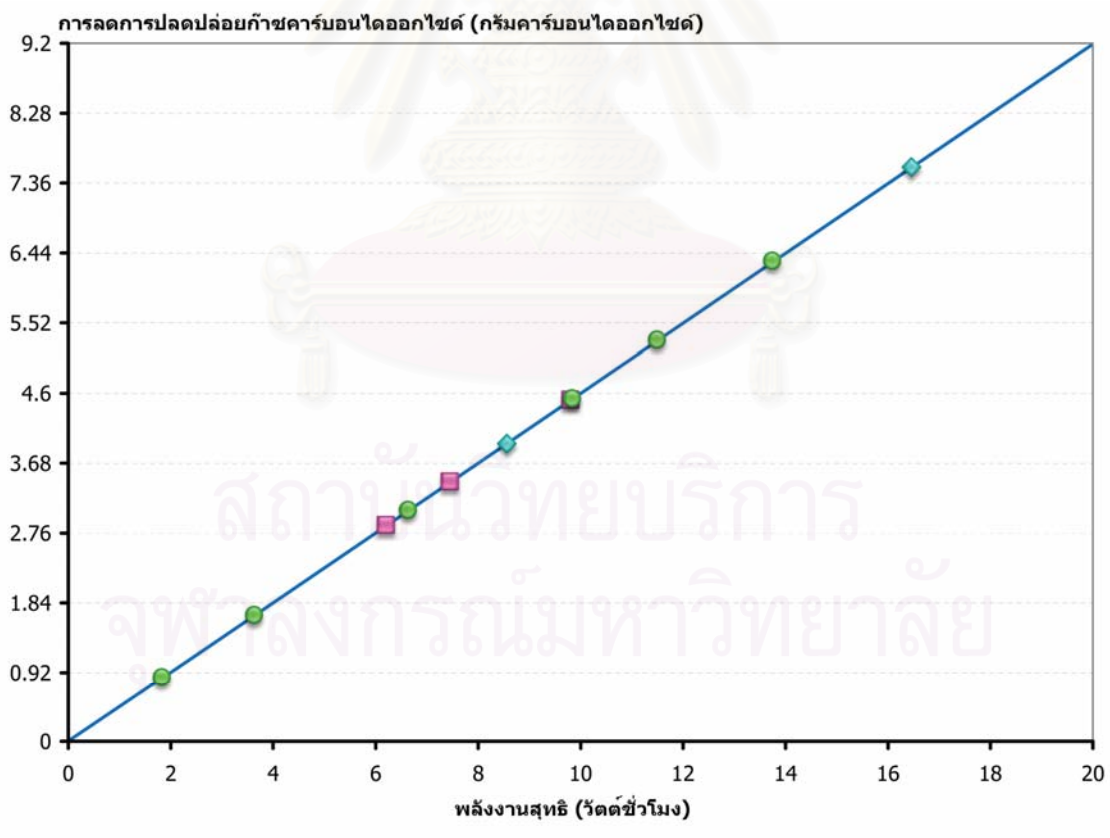
ช่องเปิดตันแบบช่องแสง ระดับวงกบบนสูง 2.00 เมตร กระจายความโน้มเนตเสียง 8 มม. มีศักยภาพลดการปลดปล่อยก๊าซคาร์บอนไดออกไซด์ 3.94 กรัมคาร์บอนไดออกไซด์

ช่องเปิดตันแบบช่องแสง ระดับวงกบบนสูง 2.80 เมตร กระจายความโน้มเนตเสียง 8 มม. มีศักยภาพลดการปลดปล่อยก๊าซคาร์บอนไดออกไซด์ 7.57 กรัมคาร์บอนไดออกไซด์

ปริมาณการลดการปลดปล่อยก๊าซคาร์บอนไดออกไซด์ดังกล่าวเป็นการประมาณ จากการใช้อาคารเดือนเมษายน ในช่วงเวลา 8:00 – 17:00 น. เท่านั้น หากช่องเปิดเหล่านี้ มีการใช้งานในช่วงเวลาอื่น หรือมีระยะเวลาการใช้งานที่แตกต่างจากข้อกำหนดใน งานวิจัย ปริมาณการปลดปล่อยก๊าซคาร์บอนไดออกไซด์จะแตกต่างกันไป

ตารางที่ 5-2 การลดการปลดปล่อยก๊าซคาร์บอนไดออกไซด์ของช่องเปิดตันแบบ

ช่องเปิด ตันแบบ	ระดับวงกบบน (เมตร)	กระจาก	พลังงาน สุทธิ (วัตต์ชั่วโมง)	การลดก๊าซ คาร์บอนไดออกไซด์ (กรัมคาร์บอนไดออกไซด์)
ช่องเปิด มาตรฐาน	2.00	กระจากเขียว 2 ชั้น 32 มม.	9.81	4.51
		กระจากใส 2 ชั้น 32 มม.	7.46	3.43
		กระจากใส 2 ชั้น 24 มม.	6.21	2.86
ช่องเปิด รูปแบบ พิเศษ	2.00	กระจากเขียว 2 ชั้น 32 มม.	6.64	3.05
		กระจากใส 2 ชั้น 32 มม.	3.64	1.67
		กระจากใส 2 ชั้น 24 มม.	1.84	0.84
	2.80	กระจากเขียว 2 ชั้น 32 มม.	13.76	6.33
		กระจากใส 2 ชั้น 32 มม.	11.50	5.29
		กระจากใส 2 ชั้น 24 มม.	9.84	4.53
ช่องเปิด ช่องแสง	2.00	กระจากلامินेटเขียว 8 มม.	8.56	3.94
	2.80	กระจากلامินेटเขียว 8 มม.	16.46	7.57



แผนภูมิที่ 5-5 แสดงการลดการปลดปล่อยก๊าซคาร์บอนไดออกไซด์ของช่องเปิดตันแบบ

5.1.6. ช่องเปิดตันแบบและผลกระทบต่อสิ่งแวดล้อม

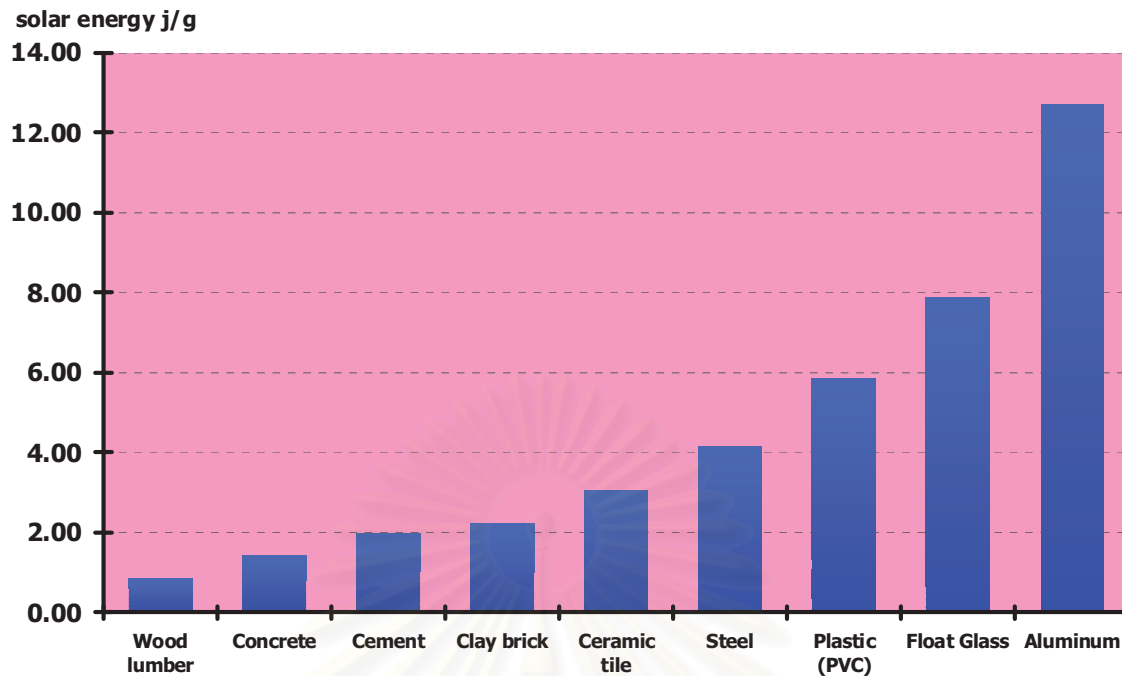
การใช้งานช่องเปิดตันแบบที่เสนอในการวิจัยให้ได้ประโยชน์สูงสุดต้องใช้งานควบคู่กับการควบคุมการใช้งานแสงประดิษฐ์ให้สัมพันธ์กับการได้รับแสงธรรมชาติในอาคาร โดยการใช้ระบบควบคุมแสงธรรมชาติ (daylight control) ซึ่งสามารถเปิด ปิด หรือปรับลดความส่องสว่างของหลอดไฟฟ้าแสงประดิษฐ์ในเวลาที่ไม่มีความจำเป็นได้

วัสดุบ้านกรอบช่องเปิดตันแบบคือวัสดุพีวีซีมีข้อดีคือ มีคุณสมบัติความเป็นอนุนัณสูง และป้องกันการรั่วซึมอากาศได้อย่างไรก็ตามข้อเสียของยูพีวีซีคือไม่ทนไฟ และหากเป็นช่องเปิดขนาดใหญ่จำเป็นต้องเสริมโครงสร้างด้วย เช่น การใช้เหล็กกัลวาไนต์เป็นตัน โดยข้อดีข้อเสียของช่องเปิดสามารถสรุปตามตารางที่ 5-3

ตารางที่ 5-3 ข้อดี และข้อเสียของบานกรอบยูพีวีซี

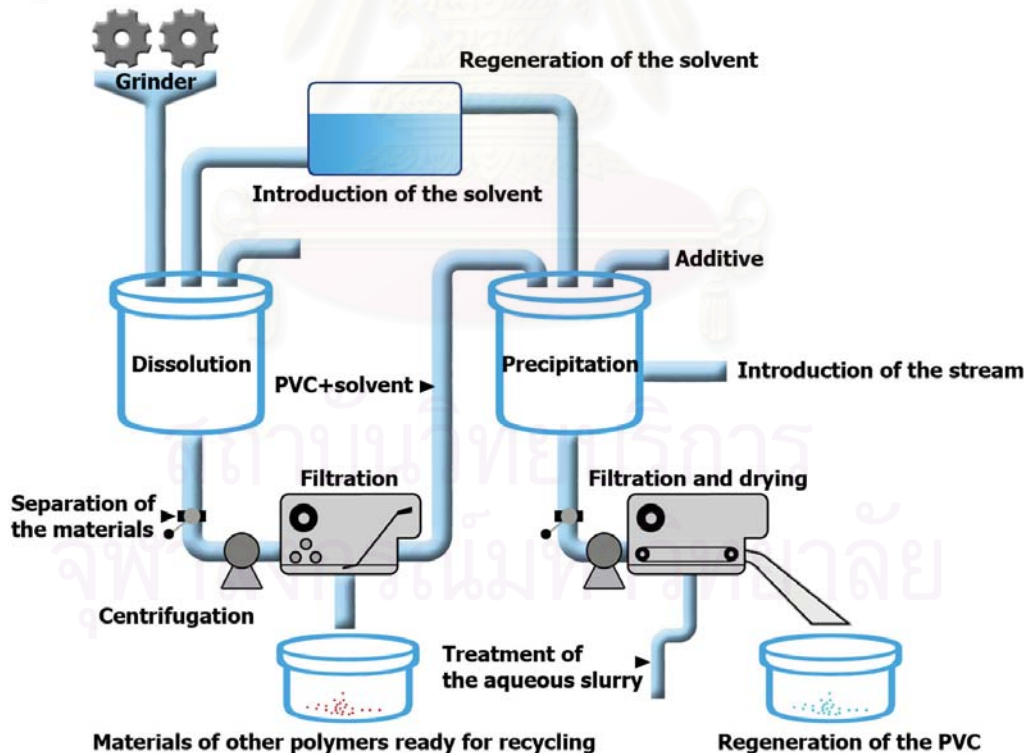
ข้อดี	ข้อเสีย
มีค่าสัมประสิทธิ์การถ่ายเทความร้อนต่ำ	ราคาแพง
อัตราการรั่วซึมอากาศต่ำ	ไม่ทนไฟ จุดหลอมเหลวต่ำ
อายุการใช้งานยาวนาน การบำรุงรักษาต่ำ	ต้องเสริมแรงให้กับช่องเปิดขนาดใหญ่
กันเสียงได้ดี	ระดับเอ็มบอดีเอ็นเนอร์จีค่อนข้างสูง
ติดตั้งง่าย	
ป้องกันการจลาจลได้ดี	
ควบคุมคุณภาพชิ้นงานได้ดี	
กันปลวกแมลง และสภาพแวดล้อมได้ดี	
ใช้พลังงานในกระบวนการผลิตต่ำ	
ใช้พลังงานในกระบวนการนำกลับมาใช้ใหม่ต่ำ	

ผลกระทบของยูพีวีซีต่อสิ่งแวดล้อม พบว่า เอมบอดีเอ็นเนอร์จีของยูพีวีซีต่ำกว่า อลูมิเนียม แต่สูงกว่าไม้ อย่างไรก็ตามบานกรอบยูพีวีซีมีศักยภาพในการนำกลับมาใช้ใหม่ สูงมาก โดยกระบวนการดังกล่าวสามารถกระทำได้ทั้งในระหว่างกระบวนการผลิต และ หลังการใช้งาน โดยบานกรอบยูพีวีซีสามารถนำกลับมาใช้ใหม่ได้เกือบสมบูรณ์ด้วยวิธีไนลูปซึ่งเป็นวิธีที่สามารถสร้างผงพลาสติกขึ้นต้นที่มีความบริสุทธิ์สูงซึ่งมีสารเจือปนน้อย กว่าร้อยละ 2 (Solvay, 2008) นอกจากนั้นกระบวนการนำกลับมาใช้ใหม่ของบานกรอบอลูมิเนียมมาก ส่วนบานกรอบไม้ไม่สามารถเข้าสู่กระบวนการนำกลับมาใช้ใหม่ได้ ดังนั้นหากมีระบบการจัดการที่ดีจะสามารถกำจัดปริมาณขยะจากยูพีวีซีได้อย่างสมบูรณ์ลดผลกระทบสิ่งแวดล้อมได้



แผนภูมิที่ 5-6 เอกชนบดีเอนเนอร์จีของวัสดุก่อสร้างต่างๆ (Carol, 2004)

Preparation of the raw materials



ภาพที่ 5-1 กระบวนการนำกลับมาใช้ใหม่ระบบไวนิลคลูป

5.2. ข้อเสนอแนะ

- 5.2.1. การใช้งานซ่องเปิดตันแบบในการวิจัยให้ได้ประโยชน์สูงสุดต้องใช้งานควบคู่กับการควบคุมการใช้งานแสงประดิษฐ์ให้สมพนธ์กับการได้รับแสงธรรมชาติในอาคาร โดยการใช้ระบบควบคุมแสงธรรมชาติ (daylight control) ซึ่งสามารถเปิด ปิด หรือปรับลดความส่องสว่างของหลอดไฟฟ้าแสงประดิษฐ์ในเวลาที่ไม่มีความจำเป็นได้
- 5.2.2. งานวิจัยได้กำหนดขอบเขต การใช้งานในอาคารในช่วงเวลา 8:00-17:00 น. ซึ่งเป็นเวลาทำงานโดยทั่วไป ดังนั้นการศึกษาขั้นต่อไปควรขยายการศึกษาการใช้งานอาคารในช่วงเวลาอื่น ๆ เพิ่มเติม
- 5.2.3. ระดับความสูงในงานวิจัยได้กำหนดระดับความสูงไว้ 3 ระดับ และศึกษาซ่องเปิดเพียงบานเดียว ซึ่งการศึกษาขั้นต่อไปควรศึกษาผลกระทบของซ่องเปิดหลายบาน และระดับซ่องเปิดเพิ่มขึ้น
- 5.2.4. การศึกษาระดับความส่องสว่างในงานวิจัยพิจารณาความส่องสว่างในแนวจากซ่องเปิดเท่านั้นโดยไม่ได้ศึกษาระดับความส่องสว่างในแนวอื่น ๆ ซึ่งสามารถศึกษาเพิ่มเติมมากกว่านี้ได้

**สถาบันวิทยบริการ
จุฬาลงกรณ์มหาวิทยาลัย**

รายการอ้างอิง

ภาษาไทย

กุลศรี สุจิเดชสกุล. ทฤษฎีเกี่ยวกับแสงธรรมชาติ[ออนไลน์]. ขอนแก่น: คณะสถาปัตยกรรม

ศาสตร์ มหาวิทยาลัยขอนแก่น, ม.ป.ป. แหล่งที่มา:

<http://arch.kku.ac.th/philosophy/kulrasri1.html> [2 ธันวาคม 2550]

กุสกานา กุบanya และสุทธิพงศ์ เนื่องเยาว์. การศึกษาลักษณะการรั่วซึมอากาศของหน้าต่าง

และประตู. กรุงเทพฯ: สถาบันวิจัยพลังงาน จุฬาลงกรณ์มหาวิทยาลัย, 2549.

เครือข่ายสารสนเทศด้านพลังงานและสิ่งแวดล้อมของประเทศไทย. การเลือกใช้หลอดไฟฟ้า

และอุปกรณ์ประหยัดพลังงานประเภทต่างๆ[ออนไลน์]. กรุงเทพฯ: สถาบันวิจัย

พลังงาน จุฬาลงกรณ์มหาวิทยาลัย, 2549. แหล่งที่มา:

<http://www.teenet.chula.ac.th/casestudy/detail2.asp?ID=277> [2 ธันวาคม 2550]

สำนักงานมาตรฐานผลิตภัณฑ์อุตสาหกรรม กระทรวงอุตสาหกรรม. มาตรฐานผลิตภัณฑ์

อุตสาหกรรม มอก. 1043-2534: หน้าต่างพีวีซี. กรุงเทพฯ: โรงพิมพ์อักษรไทย, 2534.

ปรีชญา มหาทันทวี. การใช้แสงสว่างธรรมชาติภายในอาคารเพื่อการประหยัดพลังงาน. ใน

สร้างสรรค์อาคารسبาย. กรุงเทพฯ: สมาคมสถาปนิกสยามในพระบรมราชูปถัมภ์,

2547.

พันธุดา พุฒิไพบูลย์. การพิจารณาคุณสมบัติด้านการประหยัดพลังงานของ หน้าต่างสำหรับ

อาคารป้องกันอากาศ. ใน บทความวิชาการชุดที่ 8. กรุงเทพฯ: สมาคมวิศวกรรมป้องกัน

อากาศแห่งประเทศไทย, 2546

ราชบัณฑิตยสถาน. พจนานุกรม ศัพท์เรื่องโมเดนามิกส์ อังกฤษ-ไทย. กรุงเทพฯ:

ราชบัณฑิตยสถาน, 2548.

สุนทร บุญญาธิการ. เทคนิคการออกแบบบ้านประหยัดพลังงาน เพื่อคุณภาพชีวิตที่ดีกว่า.

กรุงเทพฯ: โรงพิมพ์แห่งจุฬาลงกรณ์มหาวิทยาลัย, 2542.

สุนทร บุญญาธิการ. นวัตกรรมการใช้กระจาดสำหรับเมืองร้อนชื้น. กรุงเทพฯ: คุลพรินท์.

2551.

สุนทร บุญญาธิการ และคณะ. พลังงานใกล้ตัว. กรุงเทพฯ: เพลส์ ออฟ เชฟ (1993), 2545.

สุนทร บุญญาธิการ และอุษณีย์ มิงวิมล. เอกสารเผยแพร่การออกแบบอาคาร อนุรักษ์

พลังงาน: การใช้กระจาก. กรุงเทพฯ: โรงพิมพ์คอมฟอร์ม, 2542.

สุนทร บุญญาธิการ และอุษณี นิ่วิมล. เอกสารเผยแพร่การออกแบบอาคาร อนุรักษ์ พลังงาน: การใช้สุดและอุปกรณ์เพื่อการอนุรักษ์พลังงาน. กรุงเทพฯ: โรงพิมพ์คอมฟอร์ม, 2542.

อุดุนิยมวิทยา, กรม. **สถิติภูมิอากาศของกรุงเทพมหานคร พ.ศ. 2550 [แฟ้มข้อมูล]**.

กรุงเทพฯ: กรมอุดุนิยมวิทยา กระทรวงเทคโนโลยีสารสนเทศและการสื่อสาร (ผู้ผลิต), 2551.

เอกสารนี้ ใบเซ็นต์. Emission Baseline สำหรับการจัดการด้านการใช้ไฟฟ้าการไฟฟ้าฝ่ายผลิตแห่งประเทศไทย. ใน รายงานการไฟฟ้าฝ่ายผลิตแห่งประเทศไทย. กรุงเทพฯ: การไฟฟ้าฝ่ายผลิตแห่งประเทศไทย, 2550.

ภาษาอังกฤษ

ASHRAE. **Handbook of Fundamentals 2001**. Georgia: American Society of Heating, Refrigeration and Air Conditioning Engineer, 2001.

Avasoo, D. **Energy transparency for energy efficiency**. Halmstad: WSP Environmental, 2004.

Blanusa, P. et al. Comparison between ASHRAE and ISO thermal transmittance calculation methods. **Energy and building** 39 (2007): 374-384.

Carmody, J. et al. **Windows systems for high performance building[Online]**. Minnesota: College of design university of Minnesota, 2004. Source:
<http://www.commercialwindows.umn.edu/index.php> [2007 September 2]

Carol Boyle. Sustainable Building in New Zealand. **IPENZ Sustainability Task Committee** (2004): 1-13.

Eclipse Lighting Inc. **Lamp type Lumens Output Guide [Online]**. 2008. Available from:
<http://www.eclipselightinginc.com/pages/posts/t5-bi-pin-t5-fluorescent-lumens-output29.php> [2008, February 15]

Fissore, A. and Fonseca, N. Experimental stud of the thermal balance of a window, design description. **Building and environment** 47 (2007): 3309-3321.

Fissore, A. and Fonseca, N. Measurement result and experiment analysis study of the thermal balance of a window. **Building and environment** 47 (2007), 3570-3581.

IPCC. **The 2006 IPCC Guideline for national greenhouse gas inventories**. Kanagawa: Institute for Global Environmental Strategies, 2006.

Kaufman, J.E. IES Lighting Handbook: reference volume. Maryland: Waverly press, 1981.

Menzies G.F. and Wherrett. Windows in the workplace: examining issues of environmental sustainability and occupant comfort in the selection of multi glazed windows. *Energy and building* 37 (2005): 623-630.

Robbins, Claude L. *Daylighting: design and analysis*. New York: Van Nostrand Reinhold, 1986.

SOLVAY. *Recycling [Online]*. 2008. Available from:
<http://www.solvayindupa.com/pvcumprodutonobre/reciclagem/0,,10619-2-0,00.htm> [2008, February 20]

Stein, Reynolds and McGuinness. *Mechanical and electrical equipment for building*. 7th edition. New York: John Wiley and Sons, 1986.

Stein, Reynolds. *Mechanical and electrical equipment for building*. 9th edition. New York: John Wiley and Sons, 1999.

TGSG. *Glass performance data [file]*. Bangkok: Thai-German specialty glass (Producer), 2550.

สถาบันวิทยบริการ
จุฬาลงกรณ์มหาวิทยาลัย



ภาคพนวก

สถาบันวิทยบริการ จุฬาลงกรณ์มหาวิทยาลัย



ข้อมูลภูมิอากาศกรุงเทพมหานคร 2550 (อุตุนิยมวิทยา, 2551)

อุณหภูมิกระแสแห้ง

ตารางที่ 6-1 อุณหภูมิกระแสแห้งเดือนมกราคม

เดือนมกราคม

วันที่	1:00	2:00	3:00	4:00	5:00	6:00	7:00	8:00	9:00	10:00	11:00	12:00
1 มค.	24.5	24.9	24.9	24.4	23.4	23.0	23.0	23.8	25.3	26.8	28.7	30.2
2 มค.	24.7	24.5	24.3	24.2	23.8	23.6	23.5	24.0	26.0	27.3	30.3	31.5
3 มค.	24.8	24.4	24.1	23.8	23.2	22.6	22.8	25.1	25.3	27.9	29.0	30.4
4 มค.	24.3	23.5	22.9	22.8	22.7	22.2	22.0	22.9	26.0	28.1	30.0	31.5
5 มค.	26.0	25.8	25.7	25.5	25.0	24.1	23.8	24.5	26.5	28.5	31.9	33.4
6 มค.	27.7	27.3	27.0	26.8	26.6	26.1	26.2	27.2	26.5	28.4	30.0	30.8
7 มค.	27.8	27.3	26.8	26.3	25.8	25.0	24.6	24.4	25.0	25.6	27.5	29.6
8 มค.	25.2	25.0	24.8	24.5	24.2	23.6	23.5	24.5	26.3	27.3	28.7	29.2
9 มค.	25.1	24.7	24.4	24.1	23.7	23.2	23.0	23.0	24.5	25.1	27.0	29.0
10 มค.	26.1	25.7	25.4	24.8	24.3	24.1	23.8	24.4	26.8	28.4	30.2	30.4
11 มค.	25.0	24.5	24.0	23.6	23.0	22.7	22.5	23.0	26.0	28.5	31.4	31.9
12 มค.	26.4	25.8	25.0	24.1	23.4	23.0	23.5	24.9	27.5	29.6	30.8	31.8
13 มค.	25.7	25.2	24.6	24.1	23.5	23.3	23.1	24.0	26.5	28.8	30.5	32.3
14 มค.	27.1	26.8	26.4	26.0	25.4	24.4	24.8	25.0	27.8	28.5	30.4	31.4
15 มค.	26.8	26.0	25.5	25.0	24.5	23.9	23.6	24.3	27.9	30.0	31.5	32.9
16 มค.	26.6	26.3	26.1	25.9	25.3	24.5	24.9	26.2	29.0	30.8	32.7	32.7
17 มค.	27.1	26.6	26.0	25.8	25.3	24.9	24.8	25.6	28.9	30.8	32.5	33.5
18 มค.	28.0	27.5	27.0	26.5	26.0	25.5	25.5	26.0	29.0	31.6	33.1	34.4
19 มค.	28.3	28.0	27.8	27.5	27.0	26.6	27.2	27.5	29.8	32.2	33.7	33.8
20 มค.	27.5	27.4	27.4	27.3	27.4	27.4	27.4	27.7	28.5	29.9	31.0	32.1
21 มค.	27.1	27.1	27.2	27.2	26.8	26.6	26.8	27.9	28.9	29.6	31.0	32.4
22 มค.	27.5	27.5	27.4	27.4	27.2	27.3	27.3	27.6	28.1	28.3	28.5	26.6
23 มค.	27.1	26.9	26.8	26.7	26.7	26.8	26.8	26.9	27.0	28.0	29.0	29.5
24 มค.	26.7	26.6	26.5	26.4	25.8	25.2	25.5	26.3	27.4	28.5	30.0	31.4
25 มค.	26.3	25.5	24.9	24.9	24.4	24.3	24.3	25.1	27.1	27.3	29.2	31.0
26 มค.	26.2	25.8	25.2	24.7	24.2	23.9	23.7	24.0	27.0	28.8	30.5	31.1
27 มค.	26.9	26.1	25.4	25.3	25.1	25.0	24.6	24.6	26.5	27.3	28.5	30.5
28 มค.	25.6	25.2	24.6	24.1	22.8	21.8	21.7	23.0	24.1	25.3	26.0	27.0
29 มค.	22.3	21.6	21.0	20.5	19.9	19.4	19.2	19.6	21.4	23.5	25.8	26.5
30 มค.	22.4	21.6	21.1	20.5	19.8	19.2	19.7	20.8	23.4	25.4	25.8	27.5
31 มค.	23.3	22.4	21.6	21.3	20.7	20.5	20.1	20.5	23.3	24.9	26.4	27.7
วันที่	13:00	14:00	15:00	16:00	17:00	18:00	19:00	20:00	21:00	22:00	23:00	0:00
1 มค.	31.7	32.2	32.5	32.6	31.4	29.8	28.2	27.2	26.6	26.2	25.8	25.2
2 มค.	32.1	32.6	33.2	33.3	32.3	30.5	29.1	28.3	27.2	26.3	25.4	24.6
3 มค.	31.3	32.4	33.2	32.9	31.8	30.3	28.4	27.3	26.3	25.6	24.9	24.4
4 มค.	32.6	33.1	33.2	32.6	31.4	30.1	29.2	27.9	27.1	26.8	26.5	26.3
5 มค.	34.0	34.4	34.0	33.3	33.1	31.2	30.4	29.7	29.4	29.1	28.8	28.1
6 มค.	31.4	31.6	30.6	30.9	30.1	29.2	28.7	28.6	28.7	28.8	28.4	28.1
7 มค.	29.5	29.2	29.1	26.9	25.6	25.2	24.9	25.4	25.4	25.6	25.6	25.4
8 มค.	30.7	30.0	30.2	30.0	28.6	27.7	26.6	26.6	26.2	26.1	25.8	25.5
9 มค.	30.2	31.0	31.5	31.6	30.1	28.9	28.2	27.2	26.6	26.4	26.4	26.5
10 มค.	31.4	31.7	31.6	31.6	31.0	29.2	28.1	27.5	27.0	26.6	26.2	25.5
11 มค.	32.4	32.6	34.2	33.7	33.2	31.1	29.9	28.7	27.8	27.2	26.6	26.4
12 มค.	33.2	33.9	33.9	33.1	31.6	30.2	29.1	28.1	27.6	26.8	26.6	26.1
13 มค.	33.2	34.0	34.2	33.3	32.5	31.5	30.4	29.4	28.6	28.2	28.1	27.4
14 มค.	32.4	33.4	34.0	33.8	32.7	31.7	30.4	28.9	28.1	27.6	27.1	27.1
15 มค.	33.5	34.0	34.5	34.3	33.6	32.8	30.6	30.2	29.8	28.2	27.6	27.0
16 มค.	34.0	34.6	34.7	34.1	33.4	32.1	31.2	29.6	28.9	28.7	28.3	27.6
17 มค.	35.0	35.2	36.2	35.8	34.8	33.6	32.1	30.8	30.0	29.7	29.2	28.5
18 มค.	35.3	35.6	35.9	35.4	34.5	34.0	32.4	30.9	29.2	29.2	28.6	28.4
19 มค.	34.1	34.2	34.5	32.6	31.7	30.1	29.0	28.8	28.5	28.3	28.0	27.8
20 มค.	32.2	33.6	34.0	32.7	32.0	30.1	29.0	28.2	28.1	27.8	27.6	27.4
21 มค.	33.5	33.4	33.3	33.0	32.3	30.5	29.3	28.4	28.3	28.1	28.0	27.8
22 มค.	27.2	27.5	28.4	29.7	30.0	29.7	29.0	28.4	28.3	28.0	27.8	27.5
23 มค.	30.8	30.0	29.6	29.2	29.2	28.6	28.3	27.9	27.6	27.4	27.2	26.9
24 มค.	32.3	32.9	33.0	33.1	32.1	30.9	29.8	28.5	27.9	27.6	27.1	26.7
25 มค.	31.6	32.6	32.9	33.0	32.4	32.1	29.8	29.0	28.5	28.0	27.5	27.0
26 มค.	31.8	32.4	32.9	33.0	32.3	31.0	29.9	28.9	27.8	27.4	27.1	27.0
27 มค.	31.2	31.9	32.2	32.5	31.5	30.5	29.2	28.1	27.5	27.0	26.6	26.3
28 มค.	27.4	28.3	27.9	28.6	28.3	27.0	26.2	25.2	24.9	24.4	23.4	22.9
29 มค.	27.4	28.2	28.5	28.4	27.9	25.8	25.0	24.4	23.8	23.2	23.0	22.7
30 มค.	28.6	29.5	30.2	29.5	29.0	27.5	26.5	25.1	24.8	24.6	24.2	23.9
31 มค.	28.0	28.6	28.9	28.8	28.5	27.5	26.1	25.2	24.6	23.5	22.8	22.9

ตารางที่ 6-2 อุณหภูมิกระแสไฟฟ้าห้องเดือนกุมภาพันธ์

เดือนกุมภาพันธ์

วันที่	1:00	2:00	3:00	4:00	5:00	6:00	7:00	8:00	9:00	10:00	11:00	12:00
1 กพ.	23.0	22.5	21.5	21.0	20.5	20.1	20.0	20.5	23.2	25.4	26.8	27.2
2 กพ.	22.6	22.1	21.1	20.5	19.9	19.4	19.0	19.7	21.7	24.1	25.6	27.2
3 กพ.	22.7	22.2	21.6	21.0	20.5	19.4	19.6	20.7	22.8	24.6	25.6	27.0
4 กพ.	22.4	22.1	21.0	20.3	19.4	19.1	18.6	19.4	21.8	24.5	27.0	29.0
5 กพ.	22.0	21.7	21.4	21.0	20.6	20.1	20.4	21.8	23.9	26.9	28.6	30.0
6 กพ.	23.7	23.5	23.3	23.0	22.8	22.4	22.2	22.4	24.0	26.0	28.7	30.6
7 กพ.	25.6	25.4	25.2	25.4	25.0	25.0	24.8	25.0	26.0	27.7	29.7	30.9
8 กพ.	25.8	25.6	25.4	25.2	24.9	24.6	25.5	26.5	27.4	29.1	30.0	31.0
9 กพ.	25.9	25.6	25.4	25.4	25.3	25.3	25.5	26.1	27.5	28.1	30.4	30.5
10 กพ.	26.2	26.0	25.8	25.6	25.2	24.7	25.2	26.0	27.9	29.3	31.4	32.2
11 กพ.	26.5	26.3	26.2	25.8	25.6	25.4	25.3	25.6	27.5	28.6	31.0	31.6
12 กพ.	26.6	26.6	26.5	26.3	26.1	25.9	26.1	26.9	27.5	29.4	31.1	31.6
13 กพ.	26.6	26.2	26.1	26.0	26.3	26.0	26.0	26.7	29.4	29.5	31.1	32.5
14 กพ.	26.6	26.4	26.2	26.2	25.8	25.6	26.5	27.0	27.9	30.3	30.4	30.8
15 กพ.	26.5	26.3	26.1	25.9	25.8	25.7	25.8	26.6	28.8	30.4	31.6	32.5
16 กพ.	26.5	24.4	26.2	26.1	26.0	25.8	25.8	26.4	28.7	30.1	31.8	32.2
17 กพ.	26.5	26.4	26.3	26.2	25.8	25.4	25.9	26.5	28.5	29.8	30.0	31.2
18 กพ.	26.2	26.0	25.6	25.5	25.5	25.5	25.2	25.8	28.0	29.5	31.0	31.0
19 กพ.	26.6	26.2	26.2	25.8	25.6	25.4	25.3	26.1	28.5	30.0	31.5	32.1
20 กพ.	27.0	26.9	26.7	26.5	26.2	25.8	26.5	27.9	30.4	29.8	30.5	31.3
21 กพ.	26.8	26.7	26.4	26.2	26.1	26.1	26.2	27.2	29.6	31.2	31.8	30.0
22 กพ.	27.5	27.3	27.2	27.1	26.9	26.7	26.7	27.3	30.6	31.0	32.4	33.9
23 กพ.	27.7	27.6	27.5	27.5	27.2	26.8	27.5	28.8	30.4	31.8	32.7	32.9
24 กพ.	27.9	27.6	27.5	27.4	27.4	27.3	27.3	28.1	29.9	31.8	32.5	33.2
25 กพ.	27.8	27.7	27.6	27.4	27.2	27.1	27.0	27.8	29.8	30.9	32.5	32.9
26 กพ.	28.0	27.8	27.7	27.5	27.3	27.2	27.7	29.3	30.9	32.4	32.8	33.9
27 กพ.	28.4	28.2	28.0	27.9	27.8	27.6	27.7	28.6	29.7	31.3	33.0	33.5
28 กพ.	28.0	27.9	27.7	27.6	27.5	27.4	27.4	28.1	31.0	31.0	33.0	32.8

วันที่	13:00	14:00	15:00	16:00	17:00	18:00	19:00	20:00	21:00	22:00	23:00	0:00
1 กพ.	28.0	29.4	29.6	29.2	29.0	27.6	26.5	24.9	23.9	23.4	23.3	23.2
2 กพ.	28.0	28.8	29.2	29.4	28.3	27.2	26.1	25.1	24.5	24.2	23.6	23.2
3 กพ.	27.7	29.1	29.1	28.8	28.4	27.3	26.2	24.5	23.7	23.6	23.2	22.4
4 กพ.	30.1	30.4	30.6	32.0	31.3	29.0	27.5	25.6	24.3	23.5	22.8	22.4
5 กพ.	31.8	33.0	33.0	32.7	32.0	30.5	29.0	27.0	26.0	25.5	25.0	24.3
6 กพ.	31.8	32.0	30.7	30.6	30.0	28.5	27.6	27.0	26.4	26.1	26.0	25.8
7 กพ.	31.5	31.7	32.9	31.2	30.2	28.8	27.6	27.1	26.7	26.4	26.2	26.0
8 กพ.	32.4	32.1	32.0	31.8	30.6	29.2	28.3	27.6	27.2	26.9	26.4	26.2
9 กพ.	31.0	32.4	32.5	32.0	30.9	29.4	28.6	27.5	27.2	27.0	26.8	26.5
10 กพ.	34.0	34.4	34.4	34.0	33.0	31.0	28.5	27.5	27.3	26.9	26.8	26.6
11 กพ.	31.4	32.5	31.6	31.9	30.8	29.2	28.0	27.7	27.5	27.2	26.9	26.7
12 กพ.	32.3	32.0	32.1	33.0	31.0	29.5	28.1	27.6	27.4	27.2	26.8	26.6
13 กพ.	32.7	33.2	33.2	33.4	31.9	30.9	28.6	27.9	27.6	27.4	27.0	26.8
14 กพ.	32.4	32.9	33.5	33.3	31.7	30.3	28.7	27.9	27.6	27.3	26.9	26.6
15 กพ.	32.5	32.0	33.3	32.7	32.0	30.5	28.8	27.8	27.0	27.0	26.8	26.6
16 กพ.	32.9	32.8	33.2	32.9	31.6	30.2	29.1	28.1	27.6	27.3	27.0	26.8
17 กพ.	32.0	32.7	32.9	31.9	31.4	30.2	28.6	27.8	27.4	27.0	26.6	26.5
18 กพ.	33.0	33.2	33.0	33.0	32.1	30.5	28.8	28.0	27.4	27.0	26.9	26.8
19 กพ.	33.0	33.2	33.5	33.0	31.7	30.8	29.2	28.4	27.9	27.7	27.5	27.1
20 กพ.	32.4	32.8	32.6	33.1	32.4	31.3	29.6	28.3	28.1	27.7	27.3	27.1
21 กพ.	33.4	33.7	33.7	33.0	32.6	33.5	28.9	28.4	28.1	27.9	27.7	27.6
22 กพ.	32.8	33.5	33.8	33.2	32.4	31.4	30.2	29.1	28.7	28.6	28.5	27.9
23 กพ.	32.6	33.9	33.6	33.4	32.3	30.9	29.8	29.1	28.6	28.4	28.2	27.9
24 กพ.	33.4	34.0	33.5	32.9	33.0	31.4	29.6	29.2	28.8	28.6	28.2	28.0
25 กพ.	33.3	33.7	34.9	33.5	31.9	31.5	30.2	29.2	29.1	28.8	28.5	28.3
26 กพ.	34.5	34.9	34.0	33.8	32.5	31.1	29.9	29.6	29.3	28.8	28.7	28.6
27 กพ.	32.4	32.8	33.0	34.6	32.8	31.3	29.8	29.1	28.5	28.4	28.3	28.2
28 กพ.	33.4	33.9	34.0	33.8	32.2	30.6	29.9	29.4	28.8	28.5	28.2	28.1

จุฬาลงกรณ์มหาวิทยาลัย

ตารางที่ 6-3 อุณหภูมิกระแสไฟฟ้าแห้งเดือนมีนาคม

วันที่	1:00	2:00	3:00	4:00	5:00	6:00	7:00	8:00	9:00	10:00	11:00	12:00
1 มีค.	27.9	27.7	27.5	27.4	27.3	27.0	28.0	29.1	30.9	31.5	32.3	32.6
2 มีค.	28.0	27.8	28.1	28.1	27.9	27.8	27.9	28.8	30.4	31.4	32.0	31.8
3 มีค.	27.7	27.6	27.5	27.4	27.5	27.4	27.4	28.1	29.2	30.1	32.3	32.0
4 มีค.	28.2	28.0	27.7	27.5	27.2	26.9	27.5	28.5	29.9	31.5	31.4	32.4
5 มีค.	27.8	27.5	27.3	27.2	27.2	27.3	27.3	28.3	30.0	30.3	31.4	32.5
6 มีค.	28.0	27.8	27.7	27.5	27.3	27.2	27.4	28.2	30.5	31.9	33.5	34.0
7 มีค.	28.2	28.0	27.8	27.6	27.2	26.8	27.5	29.4	30.9	32.0	33.0	33.7
8 มีค.	27.8	27.5	27.4	27.4	27.5	27.3	27.4	28.4	29.5	30.8	31.5	33.0
9 มีค.	27.1	27.1	27.2	27.2	27.0	26.9	26.8	27.8	29.3	30.2	32.4	33.5
10 มีค.	28.4	28.2	28.1	27.9	27.5	27.3	27.9	29.3	29.9	31.4	32.3	32.8
11 มีค.	28.5	28.5	28.3	28.0	28.0	27.7	27.6	28.8	30.5	32.0	33.8	34.5
12 มีค.	28.5	28.3	28.1	28.0	27.9	27.7	27.8	29.0	29.5	32.0	32.7	33.0
13 มีค.	28.6	28.5	28.4	28.3	27.9	27.6	28.2	29.4	31.0	32.0	33.2	34.5
14 มีค.	28.6	28.4	28.3	28.2	28.2	28.1	28.3	29.3	31.0	32.4	33.6	33.8
15 มีค.	28.7	28.5	28.3	28.2	28.2	28.2	28.2	29.0	30.4	31.5	32.3	33.0
16 มีค.	28.6	28.6	28.5	28.4	28.1	27.8	28.5	30.2	31.1	32.4	33.5	33.4
17 มีค.	28.5	28.3	28.0	27.9	27.8	27.9	28.0	29.0	31.0	32.5	32.9	34.0
18 มีค.	28.9	28.7	28.5	28.4	28.1	27.9	28.6	30.2	31.0	31.1	33.0	34.0
19 มีค.	29.1	29.0	28.9	28.8	28.5	26.2	26.9	27.4	28.4	29.5	30.5	32.5
20 มีค.	28.6	28.4	28.4	28.1	24.9	24.6	24.8	25.5	27.8	30.2	31.8	31.9
21 มีค.	27.0	26.8	26.4	26.0	25.8	25.6	25.8	26.8	29.6	34.0	33.1	32.7
22 มีค.	28.2	27.9	27.6	27.3	26.8	26.5	27.6	28.8	31.0	33.6	34.8	34.1
23 มีค.	28.8	28.6	28.4	28.1	27.6	27.4	27.5	29.0	31.0	33.2	34.0	34.6
24 มีค.	28.5	28.4	28.2	28.0	28.0	28.0	28.0	29.0	31.0	32.7	33.9	34.5
25 มีค.	29.4	29.3	29.2	29.1	28.7	28.4	28.9	30.4	30.9	32.0	32.8	33.3
26 มีค.	29.2	29.0	28.8	28.9	28.7	28.9	29.0	29.6	31.4	31.8	38.2	34.2
27 มีค.	29.5	29.3	29.2	29.0	28.9	28.8	29.0	30.0	32.0	32.0	33.1	34.2
28 มีค.	29.6	29.4	29.2	29.0	28.7	28.5	29.4	31.4	32.0	32.7	33.1	34.5
29 มีค.	29.8	29.6	29.5	29.3	29.2	29.0	29.4	30.3	32.8	33.4	34.6	35.0
30 มีค.	29.8	29.6	29.3	29.1	29.1	29.4	30.4	31.8	33.2	33.4	35.3	35.3
31 มีค.	29.5	29.7	29.2	29.1	28.8	28.6	29.4	30.8	22.6	33.9	34.4	35.6
วันที่	13:00	14:00	15:00	16:00	17:00	18:00	19:00	20:00	21:00	22:00	23:00	0:00
1 มีค.	32.4	32.8	33.1	33.4	32.3	31.0	29.9	29.3	28.8	28.6	28.5	28.2
2 มีค.	32.4	33.0	33.3	33.0	31.6	30.6	29.6	29.1	28.6	28.4	28.2	27.9
3 มีค.	33.4	33.0	33.0	33.0	32.2	31.2	29.9	29.6	29.3	28.7	28.4	28.3
4 มีค.	32.3	33.0	32.4	32.1	31.1	30.2	29.3	28.8	28.5	28.3	28.3	28.2
5 มีค.	32.8	33.6	33.1	33.0	32.3	31.5	29.8	29.0	28.6	28.4	28.2	28.1
6 มีค.	34.8	34.9	34.6	34.6	33.2	31.8	30.2	29.5	29.1	28.8	28.5	27.8
7 มีค.	34.5	34.8	35.2	35.3	33.8	32.6	30.4	29.2	28.5	28.3	27.9	27.9
8 มีค.	32.5	33.8	33.0	33.5	32.8	31.2	29.9	29.1	28.6	28.3	27.8	27.5
9 มีค.	33.6	34.7	34.4	34.0	32.5	31.5	30.2	29.5	29.2	28.9	28.6	28.4
10 มีค.	33.5	33.8	33.4	33.4	32.9	31.4	30.4	29.8	29.4	28.9	28.8	28.6
11 มีค.	35.5	34.8	35.4	35.0	34.0	31.7	30.2	29.6	29.2	29.1	28.9	28.7
12 มีค.	34.3	34.8	34.6	34.5	33.0	31.5	30.4	29.9	29.6	29.2	29.0	28.8
13 มีค.	34.5	34.6	33.8	34.4	32.9	31.6	30.6	29.7	29.3	29.1	28.9	28.8
14 มีค.	34.0	34.2	34.4	34.1	33.0	31.8	30.1	29.6	27.4	29.1	29.0	28.9
15 มีค.	33.5	33.6	33.4	32.8	32.2	30.8	29.9	29.2	29.1	29.1	28.8	28.6
16 มีค.	35.1	36.4	35.9	34.9	34.0	32.9	31.4	30.5	29.9	29.5	29.0	28.6
17 มีค.	34.7	34.7	35.0	35.1	34.1	32.4	31.3	30.6	30.2	29.9	29.5	29.2
18 มีค.	34.4	35.6	34.8	34.2	32.9	32.4	31.1	30.2	30.0	30.1	29.8	29.6
19 มีค.	33.6	34.3	34.5	34.0	31.9	30.5	30.0	29.5	29.5	29.1	28.9	29.0
20 มีค.	32.7	33.0	32.5	31.7	30.3	28.5	28.2	28.0	27.7	27.5	27.3	37.2
21 มีค.	33.6	33.5	34.6	34.4	33.1	32.0	31.9	30.3	29.9	29.5	29.2	29.0
22 มีค.	30.1	30.9	32.5	33.3	33.5	33.0	32.1	31.0	30.3	29.8	29.3	29.1
23 มีค.	34.9	35.0	35.7	33.4	32.0	31.0	30.0	29.6	29.2	29.1	28.9	28.7
24 มีค.	35.5	35.6	35.7	35.9	35.2	33.6	31.8	30.6	30.3	30.1	29.8	29.6
25 มีค.	33.8	34.4	34.3	33.9	34.0	32.3	30.8	30.3	29.9	29.8	29.4	29.4
26 มีค.	34.4	35.4	36.0	35.5	34.8	33.8	31.8	30.7	30.4	30.1	29.8	29.6
27 มีค.	35.8	35.7	34.5	33.0	32.5	32.2	32.2	31.2	30.9	30.5	30.3	30.1
28 มีค.	34.6	36.8	36.6	36.5	35.5	33.9	32.4	31.5	30.9	30.6	30.4	30.1
29 มีค.	35.6	35.4	36.0	35.6	34.1	32.7	31.6	30.8	30.5	30.6	30.0	29.9
30 มีค.	35.8	36.3	36.6	36.5	35.2	33.2	31.8	31.1	30.6	30.5	30.0	29.9
31 มีค.	35.8	35.9	35.7	35.4	33.8	32.0	31.0	30.5	30.2	30.0	29.9	29.8

ตารางที่ 6-4 อุณหภูมิกระแสไฟฟ้าแห้งเดือนเมษายน

ต่อองศาเซลเซียส

วันที่	1:00	2:00	3:00	4:00	5:00	6:00	7:00	8:00	9:00	10:00	11:00	12:00
1 เมย.	29.5	29.2	29.0	28.8	28.5	28.6	28.5	30.3	32.0	33.8	34.4	35.0
2 เมย.	29.6	29.4	29.3	29.1	28.7	28.5	29.4	30.0	32.4	33.2	34.7	34.8
3 เมย.	29.4	29.3	29.0	28.9	28.6	28.6	28.9	30.9	31.3	32.8	33.5	35.4
4 เมย.	28.8	28.7	28.6	28.5	28.1	27.7	28.3	30.6	32.5	33.4	34.3	35.3
5 เมย.	26.8	26.3	26.0	25.9	25.8	25.9	26.0	28.6	30.5	33.0	33.2	34.8
6 เมย.	29.6	29.4	29.2	29.0	28.6	28.1	29.1	29.6	30.1	32.8	34.9	30.8
7 เมย.	29.4	29.2	29.1	29.0	28.9	28.7	28.6	26.2	27.3	30.3	33.4	34.4
8 เมย.	28.5	28.0	27.5	26.9	26.7	26.2	27.2	27.9	31.2	32.3	32.9	34.1
9 เมย.	27.1	26.9	26.6	26.3	25.9	25.9	26.0	28.0	30.1	32.4	33.2	34.0
10 เมย.	29.1	28.9	28.8	28.6	28.2	27.6	28.0	29.2	30.7	33.5	34.1	35.4
11 เมย.	29.4	29.2	29.0	28.8	28.8	29.0	29.0	30.2	31.3	33.2	33.0	34.5
12 เมย.	26.4	26.3	26.2	26.0	25.8	25.6	25.5	26.6	28.5	29.5	31.0	31.8
13 เมย.	27.4	27.0	26.5	26.0	25.8	25.6	26.0	27.3	28.9	30.8	33.5	33.6
14 เมย.	28.4	27.8	27.6	27.2	27.0	26.8	26.9	28.0	30.1	31.2	31.8	33.7
15 เมย.	29.5	29.0	28.5	28.0	27.6	27.3	27.5	29.9	30.6	32.5	33.5	35.3
16 เมย.	28.9	28.7	28.5	28.3	27.6	27.3	27.3	29.3	30.6	32.1	33.9	34.8
17 เมย.	30.0	29.4	29.7	29.5	29.1	28.8	30.0	30.5	33.5	33.6	35.5	35.5
18 เมย.	30.1	29.9	29.8	29.6	29.5	29.5	31.2	33.5	34.0	36.0	37.3	
19 เมย.	30.6	30.4	30.2	30.0	29.5	29.1	29.5	30.5	27.5	28.0	30.4	33.1
20 เมย.	30.3	30.2	30.2	30.1	29.8	29.9	28.0	29.0	31.7	33.0	33.4	34.8
21 เมย.	30.4	30.3	30.2	30.1	30.0	29.5	29.8	30.5	32.0	32.8	34.4	35.8
22 เมย.	30.6	30.4	30.3	30.1	29.7	29.4	30.6	31.9	32.5	34.8	35.6	37.0
23 เมย.	30.8	30.5	30.5	30.4	30.4	30.3	30.5	32.8	34.0	35.0	34.6	35.5
24 เมย.	30.2	30.2	30.1	30.1	30.0	30.0	30.2	32.3	33.0	34.5	35.7	35.5
25 เมย.	30.6	30.6	30.5	30.4	30.1	29.9	30.6	31.5	33.5	34.4	35.5	34.3
26 เมย.	27.4	27.4	27.0	27.1	27.0	27.0	27.2	28.8	30.5	32.5	34.5	34.0
27 เมย.	26.5	26.4	26.3	26.2	26.1	26.1	26.5	27.5	29.2	31.7	33.6	34.5
28 เมย.	25.6	25.8	26.0	26.5	26.4	26.2	26.5	26.8	27.8	28.5	28.9	29.5
29 เมย.	28.5	26.1	25.7	25.9	25.6	25.5	26.0	27.3	30.5	31.5	31.7	33.4
30 เมย.	28.2	27.5	26.5	26.0	26.4	26.4	25.7	25.3	25.5	26.4	28.0	29.2

วันที่	13:00	14:00	15:00	16:00	17:00	18:00	19:00	20:00	21:00	22:00	23:00	0:00
1 เมย.	35.5	35.8	36.5	36.6	36.0	33.1	31.5	30.7	30.4	30.2	30.1	29.8
2 เมย.	35.5	35.3	35.4	35.6	34.8	33.4	31.9	30.9	30.4	29.9	29.6	29.5
3 เมย.	35.6	36.8	37.3	36.2	35.1	32.5	31.0	30.8	29.6	29.5	29.3	29.1
4 เมย.	35.9	35.4	35.7	34.4	33.4	32.0	31.0	30.4	29.1	27.7	27.5	27.3
5 เมย.	35.0	36.0	36.7	36.1	35.2	32.1	31.6	31.1	30.8	30.4	30.3	30.1
6 เมย.	29.5	29.9	32.8	34.0	31.6	30.6	30.3	30.1	29.9	29.6	29.5	29.4
7 เมย.	34.7	30.6	31.9	30.8	30.6	29.4	29.2	29.3	29.4	29.2	29.0	29.0
8 เมย.	35.0	34.8	32.8	34.2	32.8	31.1	29.5	27.7	27.5	27.5	27.5	27.4
9 เมย.	28.8	28.5	29.9	33.0	33.0	31.6	30.3	29.9	29.6	29.5	29.3	29.1
10 เมย.	33.0	33.3	35.1	35.3	34.0	32.2	31.4	30.5	30.2	30.0	29.9	29.5
11 เมย.	35.5	34.7	34.6	34.6	27.4	26.4	26.2	26.3	26.5	26.7	26.6	26.5
12 เมย.	32.0	29.6	31.6	30.0	29.4	28.8	28.6	28.5	28.3	28.2	28.0	27.7
13 เมย.	34.6	35.0	34.3	32.0	30.3	29.3	29.1	29.0	28.9	29.0	29.0	28.7
14 เมย.	34.8	34.5	34.5	34.5	33.0	31.1	30.6	30.2	30.0	29.9	29.9	
15 เมย.	35.0	34.4	34.4	34.3	34.4	31.6	31.0	30.5	30.3	30.0	29.0	29.3
16 เมย.	35.8	34.6	35.5	34.9	34.5	33.2	31.5	30.8	30.9	30.7	30.6	30.5
17 เมย.	36.0	36.1	36.6	36.9	36.0	34.0	32.6	31.6	31.2	31.0	30.8	30.4
18 เมย.	36.2	37.0	37.2	37.0	36.5	35.4	33.6	32.2	31.8	31.3	31.0	30.8
19 เมย.	34.8	36.1	37.0	38.0	35.3	34.1	32.6	31.9	31.5	31.1	30.8	30.6
20 เมย.	35.5	36.4	36.5	36.0	34.7	32.5	31.6	31.1	31.0	30.8	30.7	30.5
21 เมย.	35.5	35.8	36.3	36.0	35.4	33.8	32.2	31.6	31.2	31.1	31.0	30.6
22 เมย.	36.7	37.2	36.7	37.0	36.0	34.0	32.8	32.1	31.6	31.2	30.9	30.6
23 เมย.	36.4	36.5	35.6	35.7	35.0	33.4	32.3	31.5	31.1	31.0	30.7	30.5
24 เมย.	36.2	36.0	35.3	35.8	35.8	33.4	32.2	31.6	31.4	31.2	31.0	30.8
25 เมย.	35.6	35.5	37.0	36.4	35.1	34.4	30.8	29.0	28.6	27.6	28.0	27.5
26 เมย.	33.5	34.5	35.5	36.0	35.0	26.6	25.6	25.8	26.3	26.5	26.5	26.5
27 เมย.	35.1	35.9	35.8	36.4	35.4	33.2	32.5	31.6	31.4	26.0	24.9	25.3
28 เมย.	30.2	30.5	30.6	31.1	31.0	30.0	29.3	28.7	28.5	28.4	28.4	26.8
29 เมย.	34.7	33.0	28.2	27.5	27.8	28.2	28.2	28.1	28.1	28.1	28.1	28.2
30 เมย.	29.9	31.2	31.8	31.6	30.4	29.3	28.9	27.8	26.1	25.6	25.5	25.6

ตารางที่ 6-5 อุณหภูมิกระแสไฟฟ้าแห้งเดือนพฤษภาคม

ต่อองค์กรตามวันที่												
วันที่	1:00	2:00	3:00	4:00	5:00	6:00	7:00	8:00	9:00	10:00	11:00	12:00
1 พค.	25.3	25.4	25.4	25.5	25.4	25.2	25.6	25.9	26.0	26.2	26.5	27.4
2 พค.	26.4	26.1	26.0	26.0	26.1	26.0	26.1	26.3	26.8	28.3	30.0	30.4
3 พค.	27.3	26.8	26.0	25.6	25.8	25.8	26.0	28.8	26.0	26.6	29.4	30.5
4 พค.	28.1	27.0	25.6	25.2	25.0	25.2	27.9	29.5	28.5	29.5	28.8	29.5
5 พค.	28.0	27.6	27.4	27.2	26.9	26.7	26.7	29.5	30.4	31.1	31.8	31.6
6 พค.	27.5	27.3	27.3	27.3	27.2	27.0	27.0	28.1	29.4	30.0	30.5	31.9
7 พค.	27.5	27.3	27.2	27.0	26.8	26.6	27.5	29.5	31.4	31.2	32.0	32.4
8 พค.	25.8	25.5	25.5	25.3	25.2	25.2	25.6	28.1	29.5	31.0	31.5	32.8
9 พค.	28.6	28.3	27.5	27.3	27.2	26.8	27.3	29.9	31.3	32.0	29.2	28.7
10 พค.	26.6	26.6	26.5	26.6	26.6	26.6	26.8	27.3	29.6	30.9	28.3	26.6
11 พค.	27.0	26.9	26.8	26.7	26.5	26.2	26.6	26.9	27.8	28.6	30.0	31.5
12 พค.	28.0	27.5	27.1	26.9	26.9	27.0	27.2	27.1	27.0	27.7	29.0	31.7
13 พค.	28.4	28.2	28.0	27.0	26.0	26.2	26.6	28.6	31.2	32.8	31.9	31.6
14 พค.	27.7	27.1	27.0	27.1	27.0	26.8	27.0	27.7	29.0	29.7	31.7	31.9
15 พค.	27.3	27.1	27.6	26.8	26.4	26.1	27.1	28.2	29.3	30.2	31.1	30.5
16 พค.	25.9	25.5	25.6	25.6	25.5	25.3	25.5	27.0	29.4	30.9	30.2	31.6
17 พค.	28.8	28.4	28.1	27.8	27.5	27.2	28.1	25.8	28.9	30.0	31.0	32.3
18 พค.	27.2	27.9	27.0	27.0	26.9	26.7	26.9	28.7	29.7	31.7	31.7	32.6
19 พค.	28.9	28.6	28.0	27.8	27.4	27.1	27.1	28.6	29.8	31.0	32.8	34.1
20 พค.	29.1	29.0	28.9	28.7	28.2	27.3	27.7	29.6	31.2	32.5	32.9	34.1
21 พค.	30.0	29.8	29.7	29.5	28.9	28.1	28.1	29.7	31.5	32.5	33.4	34.1
22 พค.	29.9	29.6	29.1	28.8	28.7	28.7	28.8	29.6	31.3	31.5	32.6	33.9
23 พค.	29.9	29.2	28.4	27.2	27.0	26.6	29.2	30.1	30.8	32.6	33.5	33.7
24 พค.	29.5	29.3	29.1	29.0	29.1	28.4	28.5	30.7	31.5	32.6	33.0	33.6
25 พค.	29.1	28.6	28.5	28.5	28.4	28.5	28.7	30.0	31.7	32.1	33.8	34.3
26 พค.	30.6	30.3	29.8	29.2	28.7	28.4	29.5	30.6	32.2	33.0	33.3	34.5
27 พค.	29.5	29.5	29.3	29.2	29.2	29.0	29.0	30.5	31.5	32.7	34.1	35.0
28 พค.	28.4	28.5	28.3	28.1	27.8	27.6	28.3	29.5	30.6	32.0	33.0	34.3
29 พค.	28.9	28.9	28.6	28.5	27.6	27.0	28.5	30.4	31.5	32.8	32.9	33.2
30 พค.	28.1	27.3	27.2	27.0	27.0	27.3	27.6	29.5	31.5	33.5	34.0	34.2
31 พค.	29.6	27.2	26.8	26.8	26.7	26.8	27.0	27.8	29.7	31.5	32.5	32.8
วันที่	13:00	14:00	15:00	16:00	17:00	18:00	19:00	20:00	21:00	22:00	23:00	0:00
1 พค.	27.7	28.2	28.3	28.0	27.6	27.2	26.7	26.5	26.5	26.6	26.6	26.5
2 พค.	30.3	30.4	30.0	29.5	29.4	28.7	28.3	28.0	27.7	27.6	27.5	27.4
3 พค.	31.9	31.8	31.2	30.7	30.9	29.8	29.1	28.9	28.7	28.5	28.5	28.3
4 พค.	30.1	30.5	31.4	31.0	30.8	29.6	29.0	28.8	28.6	28.4	28.3	28.1
5 พค.	32.1	32.1	32.5	32.4	30.6	30.0	27.1	27.0	27.2	27.2	27.3	27.5
6 พค.	32.0	32.0	31.6	31.6	31.2	30.4	30.2	28.6	28.4	28.0	27.8	27.6
7 พค.	33.4	31.3	31.5	28.8	28.8	29.0	28.8	28.5	27.4	26.8	26.2	26.0
8 พค.	32.2	30.5	32.2	33.2	33.0	31.9	30.6	30.1	29.2	29.0	28.8	28.6
9 พค.	26.5	26.7	28.4	31.3	31.6	31.0	30.2	29.7	29.3	26.6	26.5	26.5
10 พค.	26.4	26.9	27.2	28.0	28.6	28.2	27.9	27.7	27.6	27.2	27.0	27.0
11 พค.	32.4	33.0	34.0	33.4	32.0	30.8	30.2	29.8	29.6	29.5	29.5	28.3
12 พค.	32.6	33.5	32.4	32.0	31.5	30.2	29.9	29.0	29.5	29.4	28.8	28.4
13 พค.	31.1	30.9	32.4	31.0	29.8	29.5	29.1	28.8	28.6	28.5	28.1	27.9
14 พค.	31.3	31.3	32.0	33.2	31.5	28.2	26.8	27.0	27.2	27.4	27.2	27.4
15 พค.	28.0	27.5	28.1	28.0	28.0	28.6	28.6	26.8	26.5	26.4	26.2	26.0
16 พค.	32.5	33.6	34.4	33.5	31.9	30.7	30.1	29.8	29.6	29.5	29.4	29.4
17 พค.	32.9	31.0	31.0	30.9	30.5	30.0	29.5	29.4	28.5	28.1	28.0	27.5
18 พค.	32.3	32.2	33.0	30.7	30.8	30.4	30.0	29.6	29.3	29.4	29.0	29.0
19 พค.	33.6	33.1	33.9	34.6	33.5	31.8	31.2	30.6	30.4	30.3	30.1	29.5
20 พค.	34.6	35.0	34.5	34.4	34.0	32.4	31.5	31.1	30.6	30.5	30.2	30.1
21 พค.	35.0	34.8	34.9	34.6	33.7	32.3	31.3	30.5	30.1	30.2	30.1	30.0
22 พค.	33.6	34.0	33.9	32.9	32.3	31.9	31.2	30.6	30.4	30.3	30.1	29.8
23 พค.	34.8	33.7	33.6	33.8	33.6	32.6	30.0	31.5	31.0	30.7	30.0	29.4
24 พค.	33.5	34.6	35.0	35.0	34.5	33.7	32.5	30.6	30.8	30.3	30.0	29.6
25 พค.	35.0	34.0	34.1	34.9	34.4	33.5	32.6	32.0	31.9	31.3	31.1	30.9
26 พค.	34.9	35.5	35.8	35.6	35.8	33.7	30.9	29.6	29.5	29.5	29.5	29.5
27 พค.	35.5	35.4	35.8	35.8	29.5	26.0	25.6	27.0	27.5	27.8	28.2	28.5
28 พค.	34.1	34.9	34.0	34.3	33.1	27.2	27.5	27.9	28.2	28.3	28.6	28.6
29 พค.	33.1	33.6	33.3	32.3	31.7	31.3	31.0	30.5	30.3	30.3	30.3	30.0
30 พค.	34.0	34.7	35.2	33.4	32.0	31.5	31.0	30.6	30.6	30.3	30.3	30.1
31 พค.	34.0	34.1	34.0	32.6	31.0	31.0	28.6	28.4	28.6	28.7	28.7	28.8

ตารางที่ 6-6 อุณหภูมิกระแสไฟฟ้าแห้งเดือนมิถุนายน

เดือนมิถุนายน

วันที่	1:00	2:00	3:00	4:00	5:00	6:00	7:00	8:00	9:00	10:00	11:00	12:00
1 มิ.ย.	28.9	28.8	28.7	28.5	28.2	27.9	28.6	30.9	31.7	32.5	33.0	33.4
2 มิ.ย.	27.5	27.3	27.2	27.0	27.4	27.8	28.0	29.7	31.7	32.5	33.1	33.6
3 มิ.ย.	27.8	26.3	25.2	25.2	25.1	25.5	25.6	26.8	28.7	31.3	32.3	32.6
4 มิ.ย.	27.4	27.1	28.8	26.6	26.3	26.1	27.4	28.5	29.5	31.2	32.1	33.7
5 มิ.ย.	28.3	28.0	27.6	27.9	27.9	27.9	27.9	29.2	30.9	32.5	32.8	33.5
6 มิ.ย.	25.6	24.6	24.5	24.7	25.0	25.0	25.8	28.3	30.4	31.4	32.5	33.8
7 มิ.ย.	28.7	28.0	27.5	27.2	27.2	27.1	28.0	30.7	31.4	32.6	33.2	33.5
8 มิ.ย.	29.1	29.0	28.9	28.8	28.7	28.5	28.4	30.0	30.5	30.7	32.2	32.4
9 มิ.ย.	30.0	30.0	30.0	28.5	28.3	28.7	29.2	30.3	31.5	32.4	33.8	34.7
10 มิ.ย.	30.6	30.3	30.0	29.5	29.1	28.6	29.6	31.5	32.2	33.8	34.5	34.5
11 มิ.ย.	30.4	30.5	28.2	28.3	28.2	28.0	28.0	29.2	31.5	33.5	34.4	34.5
12 มิ.ย.	29.6	27.4	27.1	27.0	27.0	27.1	27.7	29.5	31.5	32.7	34.3	35.1
13 มิ.ย.	30.2	29.9	29.7	29.5	29.0	28.5	28.9	31.5	31.6	33.4	33.4	34.2
14 มิ.ย.	27.7	26.5	26.3	26.5	26.8	27.5	27.7	30.0	31.6	32.9	34.0	34.5
15 มิ.ย.	30.9	30.7	25.5	25.7	26.5	26.7	27.5	29.4	30.7	32.3	33.4	34.5
16 มิ.ย.	31.2	30.4	27.8	27.4	27.0	26.7	28.0	29.9	31.1	32.3	33.0	34.0
17 มิ.ย.	27.7	27.6	27.6	27.5	27.7	27.8	28.0	30.5	0.0	31.7	32.6	34.1
18 มิ.ย.	28.0	27.8	27.7	27.6	27.5	27.5	27.9	28.9	31.3	32.8	33.1	34.2
19 มิ.ย.	29.4	29.2	29.0	28.7	28.3	27.9	28.8	31.2	32.4	33.4	33.4	33.5
20 มิ.ย.	29.7	28.5	27.2	26.9	26.9	27.0	27.1	30.1	31.6	30.0	31.6	32.7
21 มิ.ย.	28.8	28.6	28.3	28.2	27.1	26.5	26.5	27.3	28.8	30.5	31.6	32.4
22 มิ.ย.	29.4	29.0	28.7	28.3	27.8	27.5	28.1	30.2	31.7	33.6	33.3	33.2
23 มิ.ย.	28.5	28.3	28.4	29.5	27.5	27.0	27.2	29.6	31.7	32.8	33.1	34.4
24 มิ.ย.	26.3	26.5	26.3	26.3	26.0	26.1	26.3	27.2	28.5	29.9	31.9	33.3
25 มิ.ย.	28.2	28.1	27.9	27.8	27.5	27.2	27.9	29.0	28.9	30.8	31.7	32.8
26 มิ.ย.	27.0	26.9	26.9	26.8	26.7	26.7	26.7	28.2	29.2	30.4	32.3	32.2
27 มิ.ย.	29.0	28.8	28.5	28.6	28.7	28.4	27.7	28.0	29.9	30.8	30.8	31.5
28 มิ.ย.	28.3	28.4	28.5	28.3	28.0	27.9	28.0	29.2	30.2	30.6	31.8	32.4
29 มิ.ย.	27.2	27.1	27.1	27.0	26.7	26.5	26.8	28.0	29.2	29.7	31.3	30.5
30 มิ.ย.	28.5	28.3	28.0	27.9	27.7	26.6	24.9	25.5	26.6	28.1	29.5	31.5

วันที่	13:00	14:00	15:00	16:00	17:00	18:00	19:00	20:00	21:00	22:00	23:00	0:00
1 มิ.ย.	33.4	33.7	33.6	32.6	30.8	29.8	29.5	29.5	29.5	29.6	27.6	27.7
2 มิ.ย.	34.4	35.0	33.9	32.4	31.4	31.5	31.4	31.1	30.7	30.5	30.0	29.7
3 มิ.ย.	32.0	28.2	27.7	28.2	29.6	30.3	30.1	28.4	27.4	27.3	27.5	21.6
4 มิ.ย.	34.5	34.2	33.6	33.4	32.1	31.3	30.6	30.4	30.2	30.1	28.3	28.3
5 มิ.ย.	33.4	32.4	30.8	31.6	31.3	30.7	30.4	30.0	30.0	30.0	29.9	28.6
6 มิ.ย.	34.2	34.4	34.5	34.4	33.2	31.6	31.1	30.6	30.4	30.2	30.1	30.1
7 มิ.ย.	34.0	34.4	34.9	34.9	34.1	32.5	30.4	30.0	29.3	29.1	28.7	29.0
8 มิ.ย.	33.3	34.3	34.7	34.6	34.4	33.2	31.9	30.9	30.5	30.5	30.2	30.0
9 มิ.ย.	35.5	36.1	35.8	35.9	35.8	33.8	32.6	31.9	31.4	31.1	30.9	30.9
10 มิ.ย.	35.3	35.9	36.4	36.0	35.0	33.3	32.1	31.2	31.0	30.7	30.5	30.5
11 มิ.ย.	35.7	35.8	35.8	35.7	35.2	34.0	32.9	31.8	32.5	31.3	31.1	30.8
12 มิ.ย.	35.2	33.5	33.9	34.0	33.7	32.3	31.3	31.0	30.8	30.7	30.6	30.4
13 มิ.ย.	34.9	33.5	35.2	35.1	33.4	32.5	31.9	31.1	30.7	31.0	31.0	30.2
14 มิ.ย.	34.9	34.5	35.5	35.8	34.0	33.3	32.5	31.7	31.5	31.1	31.1	30.7
15 มิ.ย.	34.6	34.8	36.0	35.6	35.4	33.9	32.9	31.3	31.4	31.4	31.1	31.1
16 มิ.ย.	35.0	35.5	36.0	36.3	35.8	35.3	33.3	30.0	29.0	28.4	28.1	27.8
17 มิ.ย.	34.0	34.2	33.0	31.1	30.1	29.7	29.3	29.2	29.0	28.6	28.1	28.1
18 มิ.ย.	33.7	32.1	28.0	28.9	30.3	31.0	30.6	30.1	29.9	29.9	29.8	29.5
19 มิ.ย.	33.3	31.2	31.6	33.1	32.9	32.0	31.0	30.5	29.8	29.7	29.8	29.8
20 มิ.ย.	33.5	32.5	30.7	30.6	31.5	31.0	30.5	30.0	29.8	29.6	29.6	29.4
21 มิ.ย.	32.9	32.6	32.8	33.0	33.0	32.3	31.4	30.7	30.6	30.2	29.9	29.6
22 มิ.ย.	32.7	33.7	33.5	33.8	33.4	31.0	30.4	29.5	29.1	29.0	28.9	28.6
23 มิ.ย.	35.0	32.0	32.0	31.5	26.5	26.0	26.2	26.5	26.3	26.2	26.3	26.5
24 มิ.ย.	34.1	34.8	35.0	35.4	35.0	32.2	31.3	30.6	30.2	29.6	28.0	28.2
25 มิ.ย.	32.7	31.6	32.0	31.5	31.0	30.6	30.2	29.9	29.8	29.9	27.7	27.0
26 มิ.ย.	32.0	32.4	32.8	31.8	31.4	31.1	30.0	29.6	29.7	29.7	29.5	29.3
27 มิ.ย.	32.0	31.7	32.0	31.3	28.5	28.0	28.0	28.1	28.1	28.0	28.0	28.1
28 มิ.ย.	32.8	33.2	26.0	26.2	26.7	27.2	27.2	27.1	27.3	27.5	27.4	27.3
29 มิ.ย.	31.0	32.7	33.4	33.0	31.9	30.8	28.7	28.1	28.3	28.3	28.5	28.6
30 มิ.ย.	31.8	32.2	32.2	31.2	30.4	29.8	29.4	26.0	25.8	26.0	25.9	25.9

ตารางที่ 6-7 อุณหภูมิกระแสทางเดินกรุงเทพฯ

ต่อองกรุงเทพฯ												
วันที่	1:00	2:00	3:00	4:00	5:00	6:00	7:00	8:00	9:00	10:00	11:00	12:00
1 กค.	25.8	25.8	25.7	25.7	25.3	25.0	26.9	27.7	29.9	30.3	31.0	31.6
2 กค.	27.2	27.0	26.7	26.5	26.2	26.1	26.3	27.5	29.5	30.7	31.5	32.5
3 กค.	27.2	26.9	26.5	26.1	26.0	25.5	25.7	27.5	29.3	29.8	31.9	31.8
4 กค.	38.2	27.7	27.3	26.9	26.5	25.9	27.0	28.5	31.0	31.8	32.2	32.5
5 กค.	28.4	28.3	28.1	28.0	28.2	28.3	28.5	30.3	30.4	30.7	31.5	31.3
6 กค.	26.5	26.9	27.0	26.1	25.8	25.9	26.0	26.5	26.5	26.0	26.5	27.2
7 กค.	26.2	26.3	26.4	26.5	26.0	25.5	26.0	27.5	28.7	30.2	31.0	31.0
8 กค.	25.9	25.9	25.7	25.6	25.6	25.5	25.7	27.0	28.3	30.4	32.0	32.4
9 กค.	26.6	26.8	26.7	26.7	26.5	26.2	27.5	27.8	29.6	31.0	31.7	32.4
10 กค.	27.9	27.6	27.1	26.7	26.6	26.3	26.5	28.5	29.7	30.9	31.2	31.5
11 กค.	27.2	26.9	26.5	26.3	26.3	26.1	26.0	28.2	29.5	31.0	31.3	31.8
12 กค.	28.1	27.9	27.8	27.5	27.1	27.1	27.7	29.0	30.3	30.5	31.2	32.1
13 กค.	28.4	28.1	27.9	27.8	27.4	27.6	27.6	29.9	30.0	31.4	31.3	31.7
14 กค.	28.7	28.5	28.4	28.2	28.5	28.7	28.7	29.4	29.2	30.4	31.1	32.0
15 กค.	28.5	28.1	28.0	27.8	27.8	27.8	28.3	29.7	30.3	31.3	32.5	32.7
16 กค.	27.6	27.7	27.7	27.6	27.3	27.0	27.6	30.4	30.9	31.8	32.4	32.5
17 กค.	26.6	26.6	26.5	26.5	26.8	26.6	26.9	27.6	28.8	30.0	30.7	31.0
18 กค.	24.9	25.0	25.2	25.4	25.8	26.0	26.2	28.7	29.0	29.5	30.8	31.1
19 กค.	28.1	27.9	27.7	27.5	27.1	26.5	27.1	28.8	31.5	32.0	33.0	32.8
20 กค.	27.0	26.9	26.7	26.7	26.7	26.5	26.9	28.8	30.6	32.0	32.6	33.4
21 กค.	25.7	25.5	25.6	25.5	25.5	25.3	25.5	26.3	27.3	29.0	30.4	32.2
22 กค.	27.6	27.2	26.8	26.5	26.2	25.9	26.5	29.0	30.2	32.2	33.5	34.3
23 กค.	28.7	28.5	28.3	28.0	28.0	28.0	28.1	29.0	30.6	32.0	34.0	33.0
24 กค.	28.6	25.5	24.9	24.8	25.1	25.3	25.5	26.3	27.1	28.0	29.5	30.2
25 กค.	28.4	28.2	28.0	27.8	27.5	27.3	27.9	29.4	30.4	31.8	32.7	32.6
26 กค.	25.7	25.6	25.4	25.3	25.2	25.2	25.5	27.1	28.9	30.0	30.5	31.5
27 กค.	28.0	27.8	27.7	27.5	27.5	27.4	27.4	28.6	29.3	29.8	32.4	31.4
28 กค.	29.2	29.0	28.8	28.5	28.0	27.7	28.7	29.5	31.2	31.3	32.2	33.0
29 กค.	28.9	28.6	28.4	28.3	28.3	28.3	28.3	29.5	29.5	30.8	31.5	32.9
30 กค.	28.7	28.5	28.2	28.1	28.0	27.6	27.5	27.3	27.6	29.0	30.4	32.5
31 กค.	27.9	27.6	27.3	27.1	26.9	27.0	29.6	30.5	32.0	32.4	33.2	
วันที่	13:00	14:00	15:00	16:00	17:00	18:00	19:00	20:00	21:00	22:00	23:00	0:00
1 กค.	32.8	32.3	32.1	32.0	32.0	30.0	28.5	28.5	27.7	27.5	27.3	27.2
2 กค.	32.6	31.8	31.7	30.9	37.8	27.0	26.9	26.9	27.1	27.5	27.5	27.3
3 กค.	32.2	31.8	32.0	31.6	31.0	30.4	29.6	29.6	29.3	28.0	28.7	28.6
4 กค.	28.0	27.8	28.6	29.0	29.2	29.4	29.2	28.9	28.8	29.0	28.7	28.5
5 กค.	31.4	28.7	28.2	27.0	27.2	27.5	27.0	26.8	26.9	26.9	26.6	26.5
6 กค.	26.6	26.5	26.3	26.6	26.5	26.2	25.6	25.6	25.7	25.9	26.1	26.4
7 กค.	31.6	32.1	31.5	31.5	29.5	25.5	25.5	25.5	25.6	25.7	25.9	25.8
8 กค.	32.6	33.0	32.8	33.2	30.6	30.6	29.9	26.6	26.3	26.3	26.4	26.5
9 กค.	32.4	32.7	33.5	32.5	32.0	30.4	29.9	28.5	28.5	29.1	28.6	28.2
10 กค.	31.7	32.2	32.8	32.0	31.1	29.4	26.1	26.0	26.0	26.4	26.8	27.0
11 กค.	30.1	28.0	30.0	31.0	31.9	31.5	31.1	30.4	29.7	29.3	28.8	28.5
12 กค.	31.0	30.4	31.6	32.7	32.8	31.4	30.6	29.8	29.5	29.2	29.0	28.8
13 กค.	31.6	32.5	32.7	33.0	31.8	30.7	30.3	30.0	29.9	29.5	29.2	29.0
14 กค.	32.5	33.1	32.0	31.5	32.0	31.0	30.5	30.0	29.4	29.0	28.8	28.6
15 กค.	32.2	31.7	33.2	32.8	29.7	29.2	28.0	27.6	27.6	27.8	27.9	27.8
16 กค.	32.2	32.0	31.5	31.0	30.4	26.0	25.8	25.6	26.0	26.5	26.6	26.6
17 กค.	31.0	30.5	30.3	30.5	30.1	29.1	24.9	24.5	24.6	24.7	24.8	24.8
18 กค.	28.5	29.2	29.7	29.8	30.9	30.3	29.5	28.9	28.7	28.6	28.4	28.0
19 กค.	33.5	33.4	33.5	33.5	32.9	31.6	30.7	29.1	27.5	27.3	27.0	27.0
20 กค.	34.5	33.5	31.3	31.0	30.9	31.0	30.5	26.1	25.8	25.5	25.6	25.7
21 กค.	32.0	32.8	33.1	32.9	32.7	31.9	31.0	30.1	29.8	28.2	28.1	27.8
22 กค.	33.4	34.3	32.5	30.8	31.5	31.5	31.0	30.5	29.8	29.5	29.3	29.0
23 กค.	28.5	27.5	29.3	29.6	29.9	29.3	29.1	28.9	28.6	28.6	28.6	28.6
24 กค.	30.8	32.0	32.2	32.4	31.4	30.9	30.3	29.8	29.5	29.2	28.9	28.5
25 กค.	26.0	24.1	24.7	25.3	25.9	26.5	26.6	26.1	26.1	26.0	25.8	25.8
26 กค.	33.1	34.3	30.8	27.1	28.7	29.1	29.0	28.5	28.5	28.1	28.0	28.0
27 กค.	31.8	33.3	33.8	33.9	32.8	31.8	30.8	30.1	29.9	29.7	29.5	29.2
28 กค.	33.7	32.0	33.0	32.6	31.0	30.2	29.7	29.3	29.2	29.1	29.0	27.0
29 กค.	33.3	32.8	32.2	31.3	32.1	30.9	30.2	29.6	29.5	29.3	29.0	28.8
30 กค.	33.0	33.5	32.9	32.5	32.0	30.9	30.1	29.5	29.5	29.2	28.4	28.0
31 กค.	33.0	32.0	32.2	31.8	31.5	26.3	26.0	26.5	26.9	27.0	26.9	26.5

ตารางที่ 6-8 อุณหภูมิกระแสไฟฟ้าประจำเดือนสิงหาคม

วันที่	1:00	2:00	3:00	4:00	5:00	6:00	7:00	8:00	9:00	10:00	11:00	12:00
1 สค.	26.5	26.5	26.5	26.5	26.4	26.3	26.3	27.5	29.9	31.0	32.0	32.1
2 สค.	27.3	26.9	26.6	26.5	26.0	25.8	25.9	27.4	28.5	28.9	31.0	32.0
3 สค.	28.7	28.4	28.2	27.8	27.4	26.9	27.7	28.2	29.6	31.2	31.8	32.4
4 สค.	29.0	28.1	27.8	27.5	27.5	27.5	27.5	28.6	29.8	30.5	32.2	32.4
5 สค.	28.9	28.7	28.5	28.2	27.8	27.4	27.6	29.9	30.5	31.6	32.5	33.0
6 สค.	27.3	27.0	27.0	26.9	26.9	27.1	27.0	27.5	28.0	28.8	30.3	31.0
7 สค.	28.3	27.7	27.0	26.5	26.5	26.5	26.5	27.5	28.5	29.1	29.5	30.0
8 สค.	25.8	26.0	26.0	25.9	25.7	25.8	26.0	25.5	26.5	27.0	27.2	27.5
9 สค.	26.2	26.3	26.4	26.4	26.0	25.7	27.5	28.8	29.0	29.5	31.0	30.4
10 สค.	27.5	27.8	27.8	27.6	27.4	27.3	27.2	27.0	27.5	28.0	30.0	31.0
11 สค.	28.1	28.2	28.2	28.0	27.8	27.7	27.8	29.1	29.6	30.3	31.0	31.5
12 สค.	26.5	26.6	26.6	26.5	26.2	25.9	26.9	29.8	30.6	31.9	32.1	32.3
13 สค.	28.7	28.5	28.3	28.1	27.8	27.9	28.0	29.3	30.3	31.5	32.0	32.6
14 สค.	27.9	27.6	27.5	27.5	26.9	26.6	26.6	28.5	30.7	32.1	33.5	34.4
15 สค.	28.8	28.6	28.3	28.0	27.6	27.3	27.8	29.2	29.9	31.4	32.6	33.3
16 สค.	29.7	29.3	28.9	28.6	28.3	28.0	28.1	29.0	29.7	31.5	33.2	33.0
17 สค.	28.6	28.5	28.4	28.4	28.1	27.8	27.5	27.7	28.3	29.4	30.5	32.0
18 สค.	29.2	29.0	28.8	28.5	27.9	27.4	27.3	27.5	30.6	32.2	33.0	33.3
19 สค.	26.5	26.4	26.4	26.2	26.1	25.9	25.8	28.0	29.5	31.0	32.8	33.3
20 สค.	28.5	28.2	28.0	27.7	27.5	27.1	27.1	28.6	30.4	31.5	33.5	33.4
21 สค.	26.8	26.9	26.8	27.0	26.5	26.0	27.1	28.5	29.2	31.2	32.0	33.0
22 สค.	26.3	26.4	26.4	26.6	26.4	26.2	26.3	27.8	29.5	30.6	31.5	32.3
23 สค.	28.5	28.4	28.3	27.8	27.5	27.0	26.8	27.3	28.7	29.9	30.8	31.4
24 สค.	26.7	26.5	26.4	26.3	25.9	25.7	26.3	28.0	29.6	30.4	31.3	32.5
25 สค.	28.6	28.6	28.4	28.3	28.0	27.6	27.3	28.1	29.5	30.5	32.2	33.2
26 สค.	26.6	26.4	26.4	26.4	26.3	26.2	26.1	26.9	28.1	30.3	32.2	33.4
27 สค.	25.8	25.7	25.9	25.9	25.6	25.3	26.2	28.4	29.1	31.2	32.3	32.7
28 สค.	26.5	26.4	26.3	26.3	26.1	26.0	25.8	26.3	26.8	27.2	28.0	29.6
29 สค.	28.0	27.6	26.9	26.4	26.3	26.1	26.2	27.5	29.0	29.7	30.4	30.6
30 สค.	26.3	26.2	26.1	26.2	25.8	26.6	26.2	27.5	28.4	30.5	31.7	31.9
31 สค.	25.4	25.6	25.8	26.0	25.8	25.6	26.0	27.0	28.4	29.5	31.1	31.8
วันที่	13:00	14:00	15:00	16:00	17:00	18:00	19:00	20:00	21:00	22:00	23:00	0:00
1 สค.	32.3	32.4	32.0	31.4	30.1	28.1	27.6	27.3	27.8	28.0	27.8	27.4
2 สค.	31.9	31.5	31.4	31.7	30.6	30.2	29.9	29.4	29.2	29.1	28.9	28.8
3 สค.	32.7	33.7	33.1	32.9	32.2	31.5	30.9	30.2	30.0	30.0	29.6	29.3
4 สค.	32.9	32.9	33.0	32.8	32.5	31.8	31.4	31.0	30.6	30.0	29.6	29.4
5 สค.	32.5	31.8	32.0	29.0	29.5	30.0	29.8	28.0	28.4	28.2	27.8	27.5
6 สค.	31.3	31.8	31.8	31.4	31.3	30.7	30.5	29.9	29.5	29.1	28.7	28.4
7 สค.	30.2	30.4	30.1	30.0	29.6	29.5	26.3	25.2	25.0	25.4	25.8	25.8
8 สค.	27.7	28.2	28.4	28.5	27.2	27.4	27.1	27.1	27.1	27.0	27.0	27.0
9 สค.	31.0	30.8	31.0	30.5	30.4	29.6	29.1	28.5	28.0	27.8	27.8	27.6
10 สค.	31.1	31.1	30.5	30.3	30.3	29.5	28.6	28.2	28.4	28.4	28.4	28.3
11 สค.	31.2	30.7	30.0	29.5	27.8	26.8	26.9	26.8	26.7	26.8	26.7	26.6
12 สค.	33.0	33.3	33.4	33.0	32.3	31.3	30.5	30.2	30.2	30.2	29.4	29.2
13 สค.	32.3	32.5	32.5	33.1	32.9	29.4	27.9	28.1	27.9	28.1	28.0	28.0
14 สค.	35.2	34.9	34.8	35.5	35.0	33.1	31.6	30.6	30.2	29.9	29.2	29.0
15 สค.	33.9	33.7	32.9	33.0	32.7	31.2	30.2	29.9	29.7	29.7	29.9	29.9
16 สค.	32.3	29.0	28.5	29.5	29.4	29.5	29.5	29.5	29.3	29.1	29.0	28.8
17 สค.	33.2	32.8	32.8	33.3	32.9	31.4	30.3	29.9	30.2	29.9	29.6	29.4
18 สค.	32.3	32.4	32.5	33.2	31.6	30.2	26.8	26.1	26.4	26.4	26.5	26.6
19 สค.	34.1	34.0	34.8	33.8	33.1	28.2	27.4	27.4	27.7	28.8	29.1	28.5
20 สค.	34.6	33.4	34.5	34.0	25.3	25.4	26.2	26.3	26.4	26.6	26.6	26.8
21 สค.	32.6	32.8	33.4	33.0	32.8	31.5	30.4	29.8	29.7	26.3	26.3	26.3
22 สค.	32.9	31.8	31.4	30.6	30.1	29.5	29.3	29.0	29.0	28.9	28.9	28.8
23 สค.	31.9	31.8	31.4	30.5	29.8	29.4	29.2	28.1	27.9	28.7	28.8	26.8
24 สค.	33.0	33.5	32.6	31.5	31.1	30.6	30.4	29.8	29.4	29.0	28.8	28.6
25 สค.	34.0	32.6	31.5	31.8	32.0	31.2	30.2	30.0	29.4	26.8	26.5	26.5
26 สค.	33.2	33.6	33.7	32.3	29.6	30.3	29.6	26.5	25.6	25.5	25.4	25.8
27 สค.	33.2	33.4	34.2	34.3	33.7	32.6	31.3	30.6	30.4	30.3	28.5	26.5
28 สค.	30.3	32.0	32.5	32.1	31.5	31.0	30.4	29.6	29.3	28.9	28.7	28.3
29 สค.	29.3	28.1	27.3	28.3	29.2	29.3	28.8	28.0	26.5	26.3	26.3	26.0
30 สค.	33.0	32.0	32.0	31.3	30.5	29.8	29.3	26.9	26.5	25.8	25.6	26.5
31 สค.	31.9	30.6	30.1	30.1	30.1	30.0	29.5	29.0	28.7	28.8	28.8	28.5

ตารางที่ 6-9 อุณหภูมิกระแสไฟฟ้าต่อวันกันยายน

เดือนกันยายน

วันที่	1:00	2:00	3:00	4:00	5:00	6:00	7:00	8:00	9:00	10:00	11:00	12:00
1 กย.	27.3	26.8	26.8	26.6	26.5	26.5	26.5	27.2	28.0	30.5	32.0	32.6
2 กย.	27.3	27.1	27.0	26.8	26.4	26.0	26.7	29.0	29.8	30.4	31.6	32.0
3 กย.	28.5	28.2	27.6	27.1	27.1	26.7	26.5	26.8	27.3	28.5	29.4	30.5
4 กย.	28.4	28.0	28.0	27.8	27.3	27.0	27.1	28.0	29.0	30.1	31.3	31.3
5 กย.	27.2	27.0	26.8	26.5	26.6	26.6	26.7	27.6	30.0	31.2	31.8	32.6
6 กย.	28.7	28.3	28.1	27.9	27.5	27.2	28.0	29.0	30.3	31.0	31.4	33.5
7 กย.	27.1	26.8	27.0	27.0	27.0	26.8	26.6	27.7	29.0	31.4	33.0	33.5
8 กย.	29.6	29.4	29.2	29.0	28.5	28.0	28.4	29.3	31.3	33.3	34.5	34.9
9 กย.	29.0	28.0	27.5	27.3	27.3	27.5	27.7	28.8	30.6	32.0	33.6	34.5
10 กย.	28.1	28.0	27.7	27.6	27.3	27.5	27.5	28.9	29.7	30.0	31.6	33.1
11 กย.	25.7	25.8	26.0	26.0	26.1	26.2	26.2	27.0	28.3	29.6	31.0	32.4
12 กย.	26.4	26.4	26.3	26.2	25.8	25.6	26.5	27.6	29.1	30.1	31.6	32.7
13 กย.	27.6	27.2	27.4	27.3	27.3	27.2	27.2	28.6	30.3	31.3	32.9	33.0
14 กย.	28.8	27.6	27.7	27.8	27.6	27.3	27.0	27.0	26.9	26.9	28.7	29.6
15 กย.	27.4	27.2	26.9	26.7	26.6	26.6	26.5	27.8	29.0	30.4	31.1	32.0
16 กย.	28.1	28.0	27.6	27.5	27.6	27.5	27.5	28.5	30.0	30.1	29.5	27.5
17 กย.	25.9	24.8	24.3	24.3	24.4	24.5	24.6	25.8	27.2	29.0	30.1	31.3
18 กย.	27.1	26.8	26.6	26.6	26.5	26.5	26.9	27.3	27.8	29.6	30.6	31.0
19 กย.	27.5	27.3	27.1	26.9	26.9	26.8	26.8	28.4	30.0	31.3	31.5	30.8
20 กย.	26.4	26.3	26.5	26.4	26.4	26.0	25.8	26.0	26.4	27.0	27.8	29.0
21 กย.	23.4	23.3	22.8	22.7	22.7	22.9	23.0	24.0	26.5	25.0	26.5	27.1
22 กย.	25.8	25.6	25.5	25.1	24.9	24.8	24.9	25.6	27.8	29.5	30.4	30.0
23 กย.	27.2	26.9	26.6	26.4	26.0	25.6	26.2	27.5	29.0	30.1	31.0	32.0
24 กย.	27.2	26.8	26.9	26.8	26.6	26.3	26.0	27.4	29.0	30.5	31.9	32.4
25 กย.	28.6	28.2	27.8	27.5	27.2	27.1	27.1	28.0	29.6	31.1	32.9	33.6
26 กย.	28.6	28.3	28.0	27.8	27.6	26.8	27.9	29.0	30.1	31.9	32.8	33.0
27 กย.	28.7	28.8	28.5	28.5	28.0	28.0	27.9	28.9	30.3	30.4	30.5	31.0
28 กย.	29.0	28.8	28.5	28.0	27.5	27.0	26.5	26.5	27.0	28.2	30.1	30.5
29 กย.	26.0	26.0	25.9	25.9	25.5	25.2	26.5	26.8	28.3	29.4	31.5	32.0
30 กย.	27.8	27.5	27.2	26.9	26.7	26.5	26.3	27.2	29.3	31.0	31.3	32.0

วันที่	13:00	14:00	15:00	16:00	17:00	18:00	19:00	20:00	21:00	22:00	23:00	0:00
1 กย.	32.7	31.9	33.0	33.0	32.2	31.2	30.3	29.6	29.5	29.5	27.4	27.2
2 กย.	31.8	31.0	31.0	31.2	31.2	30.8	29.9	29.4	29.2	29.0	29.8	28.7
3 กย.	31.1	33.3	32.9	32.0	31.4	30.3	29.8	29.4	29.3	29.0	28.5	28.5
4 กย.	31.2	30.9	30.7	30.5	30.3	30.0	29.2	28.8	28.8	28.7	28.4	28.1
5 กย.	32.5	32.8	32.9	32.4	31.5	30.6	29.7	29.4	29.2	29.1	29.1	28.8
6 กย.	32.7	32.5	32.5	32.0	31.6	30.8	30.1	29.6	29.5	29.6	28.2	27.6
7 กย.	34.4	34.5	34.0	33.6	33.4	32.0	31.1	30.5	30.1	30.1	29.9	29.7
8 กย.	35.9	36.1	36.3	34.7	33.0	32.5	31.8	30.6	29.5	29.2	29.3	29.3
9 กย.	34.8	34.8	34.5	34.3	33.8	33.2	29.8	27.8	27.6	27.7	28.0	28.1
10 กย.	33.0	33.8	33.6	33.4	32.7	32.2	31.3	29.9	26.0	25.5	25.7	25.9
11 กย.	32.4	32.9	32.9	32.3	31.8	31.0	27.2	25.4	25.7	26.0	26.3	26.4
12 กย.	33.2	33.7	34.4	34.8	34.4	32.6	31.5	30.2	29.1	28.9	28.7	28.6
13 กย.	33.5	34.0	34.3	33.8	32.6	31.5	30.7	30.4	29.8	29.1	28.9	28.9
14 กย.	30.4	32.3	33.0	32.7	32.8	32.0	31.1	29.1	28.5	28.1	28.0	28.0
15 กย.	32.1	32.5	32.9	32.5	31.6	30.8	30.4	30.1	29.5	29.1	28.5	28.3
16 กย.	26.3	27.8	28.8	29.0	29.0	28.8	28.6	28.3	28.0	28.2	27.9	26.7
17 กย.	32.4	33.2	32.5	31.6	30.8	29.9	28.4	28.1	28.1	27.7	27.5	27.2
18 กย.	31.7	31.5	30.2	30.2	29.0	29.2	28.8	28.7	28.7	28.4	28.6	27.5
19 กย.	30.9	31.0	29.1	29.4	29.7	28.8	28.5	28.4	27.5	27.1	26.9	26.5
20 กย.	30.5	30.4	29.0	29.5	29.0	28.9	28.7	28.5	26.0	25.0	24.2	23.8
21 กย.	27.6	29.0	29.8	29.1	28.9	28.5	28.5	28.0	27.5	27.2	26.4	26.0
22 กย.	31.4	31.6	31.1	29.0	29.2	29.1	28.7	28.1	27.6	27.6	27.7	27.6
23 กย.	33.2	33.3	32.8	33.0	32.5	30.5	30.0	28.8	28.0	27.8	27.4	27.4
24 กย.	33.0	33.4	33.4	33.6	32.9	32.0	31.2	30.5	30.2	30.0	29.8	29.0
25 กย.	34.0	34.4	34.5	33.2	32.8	31.8	31.1	30.6	30.1	29.6	29.2	28.9
26 กย.	34.4	33.5	33.7	32.2	30.8	30.4	29.9	29.6	29.5	29.4	29.3	29.0
27 กย.	31.5	31.8	32.2	31.4	30.5	30.0	29.5	27.2	29.2	29.2	29.1	29.0
28 กย.	32.0	32.8	32.3	31.4	30.6	29.8	28.9	27.9	27.2	26.9	26.4	26.3
29 กย.	31.7	31.8	31.5	32.4	31.2	29.3	29.0	28.8	28.7	28.5	28.2	28.0
30 กย.	32.6	32.5	31.5	30.9	29.9	28.5	28.4	27.6	27.8	27.4	27.4	27.2

ตารางที่ 6-10 อุณหภูมิกระแสแห้งเดือนตุลาคม

เดือนตุลาคม

วันที่	1:00	2:00	3:00	4:00	5:00	6:00	7:00	8:00	9:00	10:00	11:00	12:00
1 ตค.	27.2	27.0	26.9	26.5	26.3	26.1	26.1	27.5	29.6	30.5	31.8	31.9
2 ตค.	27.5	27.3	27.0	26.8	26.4	26.0	27.2	27.9	29.9	31.8	31.8	32.2
3 ตค.	27.8	27.6	27.3	27.0	27.0	27.0	27.0	27.7	28.8	29.8	30.6	31.5
4 ตค.	28.2	28.0	27.7	27.4	27.4	27.4	27.5	28.0	29.0	30.1	31.0	31.0
5 ตค.	28.6	28.6	28.5	28.5	28.2	27.9	28.5	27.3	27.5	28.3	29.2	29.9
6 ตค.	27.0	27.0	27.1	27.2	26.9	26.7	26.5	27.5	29.5	30.2	31.5	32.4
7 ตค.	27.8	28.0	27.7	27.5	27.3	27.1	27.0	28.5	30.5	31.2	31.8	32.8
8 ตค.	28.6	28.3	28.0	27.6	27.2	26.9	27.5	28.7	29.6	30.6	31.5	31.8
9 ตค.	28.4	27.9	27.4	26.8	26.8	26.6	26.5	26.8	27.7	29.2	29.8	30.0
10 ตค.	27.5	27.3	27.2	27.0	26.8	26.8	26.8	27.5	28.3	28.7	29.2	29.5
11 ตค.	25.1	25.0	24.9	24.9	24.7	24.5	24.9	25.2	25.0	25.2	26.7	28.0
12 ตค.	25.0	24.5	24.4	24.5	24.6	24.6	24.9	26.0	26.9	28.4	29.0	30.1
13 ตค.	25.1	25.1	25.1	25.1	24.9	24.8	25.0	26.5	27.4	28.8	26.7	28.0
14 ตค.	25.9	25.4	25.8	25.7	25.5	25.2	26.1	27.4	29.2	30.5	32.0	32.7
15 ตค.	25.3	25.3	25.0	24.9	24.9	25.0	25.1	26.2	28.0	29.9	30.2	30.5
16 ตค.	25.5	25.5	25.4	25.5	25.3	25.1	26.0	26.6	28.0	28.7	30.2	30.8
17 ตค.	26.8	26.6	26.4	26.2	26.6	26.1	26.0	26.7	27.5	28.3	28.4	29.0
18 ตค.	27.0	27.0	26.8	26.5	26.3	26.3	26.3	27.5	29.5	30.8	32.5	33.3
19 ตค.	28.0	27.8	27.5	27.5	27.3	27.2	27.0	28.5	29.5	31.0	32.7	33.2
20 ตค.	27.9	27.4	27.0	26.5	26.1	25.7	25.9	27.4	30.0	30.5	31.1	31.5
21 ตค.	26.7	26.3	26.0	25.7	25.5	25.4	25.3	27.2	28.7	30.3	32.0	32.8
22 ตค.	27.1	26.5	25.9	25.7	25.5	25.0	25.5	26.0	28.3	29.8	21.7	32.2
23 ตค.	28.3	28.0	27.6	27.6	27.5	27.5	27.3	28.0	29.0	30.0	30.8	31.7
24 ตค.	28.2	27.9	27.6	27.3	27.2	27.0	26.9	27.8	29.0	30.8	32.0	32.8
25 ตค.	27.8	27.5	27.0	27.0	26.5	26.2	26.1	27.5	28.8	31.0	31.5	31.8
26 ตค.	27.8	27.6	27.3	27.0	26.6	26.3	26.8	27.2	28.7	29.8	30.3	31.0
27 ตค.	27.5	27.4	27.3	27.3	27.9	26.6	27.0	27.8	28.5	29.3	30.3	30.8
28 ตค.	28.5	28.2	28.1	28.0	27.6	27.4	27.2	28.4	30.0	30.8	31.5	33.0
29 ตค.	29.6	29.0	28.8	28.5	28.2	27.9	28.4	28.9	31.5	33.2	34.2	33.9
30 ตค.	28.4	28.2	27.8	27.6	27.2	26.7	26.2	27.5	29.5	31.2	32.5	33.1
31 ตค.	26.2	25.8	25.3	24.0	23.5	23.3	23.7	23.9	24.1	24.4	25.3	25.6

วันที่

วันที่	13:00	14:00	15:00	16:00	17:00	18:00	19:00	20:00	21:00	22:00	23:00	0:00
1 ตค.	31.5	32.0	33.4	33.6	32.4	30.6	29.0	28.9	28.1	28.1	27.8	27.5
2 ตค.	32.0	33.0	33.0	33.2	31.3	30.8	30.3	29.8	29.5	29.2	28.6	28.0
3 ตค.	32.2	32.0	32.2	31.9	30.9	30.1	29.7	29.7	29.6	29.5	28.9	28.5
4 ตค.	31.2	30.9	31.2	31.2	31.4	30.9	30.2	29.9	29.6	29.2	29.0	28.8
5 ตค.	30.4	30.7	30.3	30.0	29.7	29.2	28.9	28.3	27.3	27.5	27.3	27.2
6 ตค.	32.5	31.8	31.5	31.1	29.5	28.1	28.0	27.6	27.5	27.5	27.6	27.7
7 ตค.	32.9	33.3	33.1	32.8	31.5	29.5	28.7	28.6	28.6	28.6	28.4	28.8
8 ตค.	32.3	32.6	31.7	31.3	30.5	29.7	29.3	29.0	28.8	28.8	28.5	28.4
9 ตค.	28.0	29.7	31.0	31.2	30.5	28.0	27.9	27.7	27.5	27.5	27.5	27.5
10 ตค.	27.9	29.5	29.6	29.6	29.1	28.5	25.7	25.2	25.1	24.9	25.1	25.1
11 ตค.	28.6	28.7	29.7	30.4	29.9	28.9	28.4	28.0	27.3	26.8	26.6	26.0
12 ตค.	30.8	25.7	28.8	28.6	28.6	28.1	27.7	27.3	27.1	26.7	25.3	25.0
13 ตค.	29.0	27.9	28.0	28.0	28.2	27.8	27.4	27.1	26.7	26.5	26.3	26.1
14 ตค.	33.0	32.8	30.5	25.4	25.5	25.6	26.6	25.6	25.6	25.5	25.4	25.3
15 ตค.	30.9	33.0	33.8	33.1	31.7	29.3	28.6	27.9	25.8	25.7	25.6	25.6
16 ตค.	32.2	31.6	32.0	31.0	30.3	29.6	29.0	28.5	28.0	27.5	27.2	27.0
17 ตค.	29.8	30.0	29.9	29.5	29.0	28.7	28.2	28.0	27.8	27.8	27.5	27.3
18 ตค.	32.8	32.5	33.7	33.5	32.3	31.3	20.5	29.8	29.3	29.0	28.7	28.4
19 ตค.	33.5	33.7	33.4	32.8	32.4	30.9	30.4	30.1	29.6	29.2	28.5	28.3
20 ตค.	32.0	32.7	32.5	32.2	31.6	30.5	30.0	29.6	29.3	28.8	28.5	28.5
21 ตค.	33.4	33.6	32.8	31.5	31.1	30.4	29.6	29.2	28.8	28.4	28.0	27.6
22 ตค.	33.2	32.7	32.4	33.1	32.1	31.3	30.0	29.3	29.6	29.2	28.9	28.6
23 ตค.	32.6	32.9	32.2	32.5	31.5	30.7	30.1	29.8	27.8	29.2	28.8	28.5
24 ตค.	33.6	33.5	34.0	33.0	32.5	31.3	30.5	30.0	29.7	29.5	28.7	28.1
25 ตค.	32.2	33.5	34.0	32.8	32.0	30.8	30.2	29.8	29.4	28.0	28.6	28.1
26 ตค.	29.9	30.3	30.1	30.0	29.7	29.5	29.3	29.4	29.2	29.0	28.2	27.8
27 ตค.	31.4	30.9	30.3	30.5	30.1	29.8	29.6	29.3	29.0	28.5	28.4	28.6
28 ตค.	33.1	32.4	32.4	33.0	32.3	31.2	30.9	30.2	30.2	29.9	29.8	29.7
29 ตค.	23.6	34.7	34.6	33.8	33.4	32.3	31.5	30.7	30.2	29.8	29.3	28.8
30 ตค.	33.3	33.9	32.9	31.6	30.4	29.7	29.3	28.9	28.3	27.6	26.7	26.2
31 ตค.	25.5	24.8	25.8	26.3	27.1	26.3	25.8	25.6	25.4	25.3	25.3	25.1

ตารางที่ 6-11 อุณหภูมิกระแสแห้งเดือนพฤษจิกายน

เดือนพฤษจิกายน

วันที่	1:00	2:00	3:00	4:00	5:00	6:00	7:00	8:00	9:00	10:00	11:00	12:00
1 พย.	25.2	25.0	24.9	24.7	24.2	24.7	24.9	26.7	27.5	29.5	31.2	31.3
2 พย.	27.5	27.0	26.6	26.5	26.1	26.0	26.0	26.5	29.3	30.2	31.8	31.7
3 พย.	27.3	26.9	26.5	26.1	26.1	25.9	25.8	26.5	28.0	29.8	31.5	30.8
4 พย.	27.0	26.4	25.9	25.4	24.9	24.5	24.8	27.9	28.5	29.0	30.6	31.5
5 พย.	26.7	26.0	25.6	25.2	24.6	25.0	24.9	26.5	28.1	29.9	30.5	31.3
6 พย.	27.0	26.5	26.0	25.2	25.0	24.4	25.2	25.8	27.5	29.2	30.5	31.1
7 พย.	25.5	25.1	24.7	24.4	24.1	23.8	24.0	25.5	27.0	28.0	29.4	30.7
8 พย.	25.7	25.5	25.2	24.7	24.4	24.5	24.4	25.9	28.0	28.5	29.8	30.5
9 พย.	24.8	24.3	23.9	23.6	23.0	21.8	22.2	24.8	27.2	28.3	29.2	30.8
10 พย.	25.1	24.8	24.5	24.2	23.8	23.0	23.5	25.0	27.0	28.0	30.0	31.5
11 พย.	27.9	27.3	27.0	26.6	26.2	25.6	25.7	26.5	29.6	29.8	29.4	30.8
12 พย.	26.0	25.8	25.6	25.5	25.0	24.5	24.5	25.7	26.9	29.0	31.0	31.1
13 พย.	28.0	27.3	27.1	27.0	26.5	26.0	26.4	28.8	29.6	30.8	32.4	32.3
14 พย.	27.0	26.9	26.8	26.8	26.7	26.5	26.5	27.3	29.3	30.8	30.5	31.3
15 พย.	28.0	27.9	27.7	27.5	27.0	26.6	27.0	27.2	27.0	28.5	29.3	30.5
16 พย.	27.8	27.5	27.6	27.4	27.3	26.0	25.8	27.2	29.8	30.2	31.3	32.2
17 พย.	26.8	26.3	26.0	25.6	25.3	25.0	24.8	26.5	27.5	29.8	31.6	32.6
18 พย.	27.8	27.6	27.3	27.0	26.8	26.6	26.4	27.3	29.7	31.5	32.3	31.4
19 พย.	26.9	26.5	26.0	25.1	24.8	24.6	25.6	26.0	26.5	27.8	27.0	29.1
20 พย.	25.7	25.8	25.8	25.6	25.4	25.3	25.2	25.3	26.2	27.5	29.6	30.0
21 พย.	25.7	25.4	25.4	25.5	25.0	24.6	24.7	26.1	27.5	28.5	29.5	30.5
22 พย.	25.8	25.4	24.8	24.5	24.2	23.5	24.0	26.4	27.4	27.7	29.0	30.0
23 พย.	25.1	24.5	27.0	23.5	23.0	22.7	22.5	24.2	26.5	27.0	28.3	29.5
24 พย.	24.5	23.9	23.5	23.1	22.3	21.6	22.4	24.8	26.1	27.8	28.5	30.3
25 พย.	24.6	24.3	24.0	23.6	23.0	22.3	22.6	24.6	26.0	27.7	28.5	29.3
26 พย.	24.5	24.0	24.0	23.5	22.6	22.0	21.9	24.0	26.0	27.5	29.3	30.3
27 พย.	24.1	23.8	23.6	24.0	22.8	21.8	22.4	24.9	26.4	27.5	28.7	30.4
28 พย.	22.6	21.9	21.2	20.6	20.9	20.2	21.6	24.4	25.4	26.3	26.8	28.5
29 พย.	22.0	21.4	21.1	20.6	20.2	19.9	20.0	21.0	24.7	26.3	27.5	28.6
30 พย.	21.5	21.4	21.2	21.2	20.8	20.4	20.9	22.9	24.1	25.5	27.4	28.3

วันที่	13:00	14:00	15:00	16:00	17:00	18:00	19:00	20:00	21:00	22:00	23:00	0:00
1 พย.	31.5	31.0	30.5	30.3	30.1	29.5	28.8	28.5	28.3	28.1	28.0	27.7
2 พย.	32.3	32.0	32.7	33.4	31.8	30.7	30.0	29.8	29.5	28.8	28.3	27.8
3 พย.	31.0	31.2	31.5	31.4	30.1	29.6	29.1	28.7	28.6	28.2	27.9	27.3
4 พย.	32.0	31.3	32.0	32.2	30.8	29.9	25.2	28.8	28.2	27.7	27.1	26.8
5 พย.	32.1	32.5	32.4	31.3	31.0	29.5	29.0	29.1	28.6	28.1	27.5	27.3
6 พย.	31.9	31.6	31.5	30.9	30.1	29.5	28.9	28.0	27.6	27.1	26.4	26.0
7 พย.	31.8	32.3	31.2	30.4	29.5	28.8	28.3	27.6	27.2	27.0	26.6	26.1
8 พย.	31.1	31.7	31.5	31.1	29.6	28.7	28.3	27.7	27.6	26.9	26.2	25.4
9 พย.	31.4	31.9	32.0	31.6	30.1	29.0	28.0	27.0	26.6	25.8	25.2	25.0
10 พย.	31.9	32.5	32.8	31.9	30.5	29.5	28.8	28.8	28.6	28.4	28.0	28.0
11 พย.	31.5	31.8	30.7	30.0	29.7	29.2	28.8	28.4	27.5	27.1	26.7	26.3
12 พย.	30.0	31.3	31.1	30.6	30.0	29.5	29.2	28.7	28.5	28.2	28.1	28.0
13 พย.	32.1	32.2	32.5	32.3	31.4	30.7	29.1	28.5	28.0	27.7	27.5	27.2
14 พย.	31.3	33.0	33.2	32.6	31.6	30.1	29.7	29.1	29.0	28.9	28.8	28.5
15 พย.	31.3	31.3	32.1	32.1	31.1	30.0	28.3	27.5	27.5	27.2	27.0	27.4
16 พย.	32.2	33.7	33.8	32.3	31.7	30.7	30.0	29.9	29.1	28.6	27.8	27.3
17 พย.	33.1	32.8	32.5	31.8	31.1	30.2	29.9	29.7	29.5	29.3	28.9	28.5
18 พย.	31.3	31.0	30.6	30.8	30.0	29.5	28.8	28.7	28.6	28.2	27.6	27.3
19 พย.	28.8	29.3	29.3	29.2	29.0	28.2	28.0	25.5	25.5	25.8	25.7	25.8
20 พย.	29.9	30.8	29.6	29.5	29.0	28.2	28.0	27.8	27.6	27.3	26.8	26.0
21 พย.	30.5	31.5	31.9	30.6	29.8	29.2	28.7	27.9	27.4	27.1	26.3	25.9
22 พย.	30.2	30.5	30.7	30.5	29.5	28.4	27.7	27.2	26.8	26.1	25.5	25.1
23 พย.	29.7	30.5	30.7	30.0	29.2	28.0	27.3	27.2	27.0	26.0	25.5	24.9
24 พย.	30.7	30.8	31.0	31.0	29.9	28.3	27.5	26.6	26.0	25.8	25.2	24.8
25 พย.	30.4	30.5	30.6	30.7	29.6	28.3	27.5	26.8	26.1	25.8	25.8	25.1
26 พย.	31.0	32.2	32.0	31.7	30.7	29.0	27.5	26.5	25.9	25.6	25.2	24.9
27 พย.	30.8	30.8	30.5	30.2	29.6	28.1	26.9	26.5	25.6	24.8	23.4	23.1
28 พย.	29.2	29.2	29.7	29.3	28.1	26.7	25.5	24.5	23.6	23.0	22.0	22.5
29 พย.	29.0	29.9	30.2	29.5	28.5	26.6	25.3	25.0	24.3	23.8	22.5	22.0
30 พย.	28.7	29.6	28.9	29.0	28.0	26.6	25.5	24.6	24.1	23.6	23.0	22.0

ตารางที่ 6-12 อุณหภูมิกระแสแห้งเดือนธันวาคม

เดือนธันวาคม

วันที่	1:00	2:00	3:00	4:00	5:00	6:00	7:00	8:00	9:00	10:00	11:00	12:00
1 ธค.	21.2	21.3	21.2	21.1	20.8	20.6	21.2	23.8	25.2	26.4	29.0	29.0
2 ธค.	23.4	23.4	22.8	22.5	22.0	22.0	21.6	22.3	24.8	28.4	28.6	30.2
3 ธค.	23.4	22.8	22.4	21.9	23.2	24.3	24.5	24.6	26.0	27.8	30.0	31.3
4 ธค.	24.6	24.5	24.4	24.2	23.4	22.7	23.0	25.1	27.0	28.5	29.6	31.3
5 ธค.	25.5	24.7	24.0	23.6	23.1	23.0	23.0	23.4	25.8	27.4	29.4	30.5
6 ธค.	25.8	25.6	25.3	25.0	24.7	24.3	24.0	25.5	27.9	29.0	30.2	31.0
7 ธค.	26.8	26.2	25.7	25.2	24.6	23.9	24.2	26.4	27.5	29.5	30.2	31.9
8 ธค.	26.5	26.3	26.1	26.0	25.0	24.0	24.7	25.6	28.4	29.6	31.4	32.3
9 ธค.	26.3	26.2	26.2	26.0	25.8	25.6	25.4	26.5	28.9	30.4	31.5	32.0
10 ธค.	27.0	26.7	26.4	26.0	25.3	24.5	25.6	26.6	28.0	30.3	31.5	31.8
11 ธค.	26.5	26.1	25.8	25.7	25.5	25.2	25.0	26.2	28.1	29.5	31.1	32.5
12 ธค.	26.8	26.4	26.1	25.8	25.3	24.6	25.0	26.9	28.2	30.5	32.5	32.6
13 ธค.	28.5	28.0	27.5	26.9	26.4	25.8	26.2	27.5	29.2	30.9	32.3	33.8
14 ธค.	28.4	27.7	27.1	26.6	26.5	26.6	26.8	27.1	29.2	30.8	33.1	34.0
15 ธค.	29.0	28.6	28.1	27.8	27.3	26.6	27.0	27.9	30.0	31.5	32.5	33.4
16 ธค.	27.8	27.2	26.8	26.4	26.0	25.7	27.0	27.5	20.2	31.5	32.5	33.0
17 ธค.	28.3	27.8	27.5	27.0	26.8	26.5	27.5	29.8	32.1	32.5	33.9	
18 ธค.	28.5	28.2	27.8	27.6	27.2	26.8	27.8	28.6	29.5	31.5	32.0	32.4
19 ธค.	28.7	28.3	27.8	27.5	27.1	26.5	27.0	28.6	31.2	32.0	33.8	34.5
20 ธค.	29.0	28.4	28.0	27.7	27.3	27.2	27.0	27.8	30.2	32.1	33.2	33.5
21 ธค.	28.4	28.1	27.7	27.5	27.1	26.6	27.1	28.7	29.5	30.2	32.0	33.0
22 ธค.	27.5	27.1	27.0	26.8	26.6	25.9	26.4	27.8	29.2	31.3	32.8	33.5
23 ธค.	27.0	26.8	26.5	26.5	26.4	26.1	26.0	26.8	29.8	31.1	33.0	33.4
24 ธค.	26.4	26.0	25.7	25.4	25.2	25.1	25.0	25.5	27.8	30.1	32.1	33.0
25 ธค.	26.3	26.1	26.0	25.8	25.3	24.9	25.5	26.8	28.7	30.6	31.2	31.6
26 ธค.	27.2	27.1	26.7	26.5	26.0	25.3	25.0	25.5	28.0	25.4	30.7	30.2
27 ธค.	26.4	26.2	26.0	25.7	25.3	24.8	25.4	27.4	28.2	27.7	31.3	33.0
28 ธค.	26.5	26.3	25.9	25.6	25.2	24.5	25.2	26.8	29.1	30.0	32.3	33.3
29 ธค.	27.1	27.0	26.9	26.7	26.3	25.6	25.1	26.0	28.9	30.3	31.6	32.4
30 ธค.	26.2	25.5	24.8	24.3	23.9	23.6	24.2	25.4	27.5	29.0	30.1	31.5
31 ธค.	27.6	27.4	27.2	27.0	25.9	24.9	25.1	26.0	27.4	28.5	29.8	30.5

วันที่	13:00	14:00	15:00	16:00	17:00	18:00	19:00	20:00	21:00	22:00	23:00	0:00
1 ธค.	29.7	30.1	25.8	29.0	28.0	26.7	25.5	24.9	24.8	24.5	23.5	23.2
2 ธค.	31.3	31.6	31.7	31.0	29.6	31.0	27.1	25.9	25.3	25.3	24.7	24.1
3 ธค.	31.4	32.0	31.8	31.5	30.5	29.1	28.0	26.9	26.5	25.9	25.5	25.1
4 ธค.	32.3	31.8	32.5	32.4	30.8	29.1	28.3	28.0	27.0	26.5	26.0	25.4
5 ธค.	31.5	31.6	31.8	30.4	29.8	28.9	28.4	27.9	28.2	27.6	27.0	26.8
6 ธค.	32.0	32.5	33.0	32.7	31.6	30.3	30.0	29.3	28.6	28.3	28.0	27.4
7 ธค.	32.5	33.1	33.0	33.0	31.4	30.3	29.5	28.6	28.0	27.9	27.3	26.7
8 ธค.	32.7	32.9	33.4	32.4	31.9	30.7	30.0	29.1	28.5	28.0	27.7	26.8
9 ธค.	32.8	33.1	33.2	32.3	31.5	30.3	29.6	29.0	28.5	28.4	28.5	27.2
10 ธค.	32.5	32.3	32.6	32.5	31.6	30.6	29.5	28.6	27.9	27.7	27.1	26.7
11 ธค.	33.6	33.5	33.4	33.3	32.5	31.0	30.0	29.0	28.6	27.8	27.1	27.2
12 ธค.	33.9	34.6	34.0	33.1	32.2	31.0	30.1	29.5	29.3	28.8	28.5	28.6
13 ธค.	34.4	33.4	34.2	33.0	32.1	30.9	30.1	29.8	29.5	29.3	29.0	28.9
14 ธค.	35.0	35.2	35.7	34.8	33.4	32.7	31.3	30.7	30.6	30.6	29.9	29.7
15 ธค.	33.9	34.0	33.5	34.0	32.6	31.7	31.0	30.8	30.4	29.5	28.8	28.2
16 ธค.	33.7	34.5	34.8	34.5	33.8	32.5	31.3	30.6	30.1	29.9	29.4	28.9
17 ธค.	34.2	34.6	34.4	34.5	34.0	32.9	31.7	31.3	31.1	30.4	29.3	28.8
18 ธค.	34.5	35.0	35.0	35.0	33.2	32.1	31.2	30.7	30.2	30.0	29.4	29.0
19 ธค.	35.0	35.2	35.0	34.0	33.2	32.6	31.3	30.6	31.0	30.9	30.0	29.5
20 ธค.	34.7	34.5	35.5	35.1	34.0	32.8	31.8	30.9	30.3	29.8	29.6	28.8
21 ธค.	33.5	34.0	33.7	33.7	32.5	31.1	30.1	29.4	28.6	28.0	27.2	27.7
22 ธค.	33.4	33.4	32.8	33.0	32.6	30.5	29.1	28.1	27.7	27.4	27.0	27.0
23 ธค.	33.8	34.2	33.8	33.3	32.9	31.3	29.5	28.6	27.5	27.2	27.0	26.8
24 ธค.	33.6	32.5	32.4	32.0	32.3	31.1	30.0	28.6	28.6	27.6	26.9	26.5
25 ธค.	33.5	32.9	34.1	33.7	32.5	30.3	29.2	28.7	28.2	27.9	27.5	27.4
26 ธค.	31.7	31.5	33.0	32.6	31.7	30.5	29.0	28.0	27.5	26.9	26.8	26.6
27 ธค.	32.8	33.2	32.5	32.2	31.3	30.4	29.2	28.3	27.4	27.0	26.8	26.7
28 ธค.	33.4	34.0	33.0	32.0	31.0	30.0	29.3	28.3	27.5	27.1	27.1	27.1
29 ธค.	32.9	33.5	33.2	33.0	32.5	30.5	29.5	28.7	27.6	27.2	26.6	26.3
30 ธค.	33.0	33.0	32.7	33.1	31.5	30.4	29.5	28.8	28.2	28.0	27.8	27.6
31 ธค.	31.1	31.4	31.0	31.0	30.0	28.7	27.9	27.4	27.4	27.3	27.1	25.8

ข้อมูลรังสีกระเจ้ายอาทิตย์

ตารางที่ 6-13 รังสีกระเจ้ายอาทิตย์เดือนมกราคม

Totals of Diffuse Solar Radiation (sky), x 0.01 MJ/m²

Station	Bangkok (Lat : 13 40' N, Long : 100 37' E)															Country	Thailand	
Instrument	Pyranometer CM 121															Month Year	January 2007	
Time	Hourly Totals																Daily	
Date	04-05	05-06	06-07	07-08	08-09	09-10	10-11	11-12	12-13	13-14	14-15	15-16	16-17	17-18	18-19	Totals		
1	0	0	1	33	58	73	92	81	80	90	85	79	38	9	0	719		
2	0	0	2	29	64	75	69	56	52	54	58	49	30	9	0	547		
3	0	0	1	17	26	35	45	50	63	69	72	57	41	10	0	486		
4	0	0	1	-	37	42	53	66	70	64	69	64	50	13	0	529		
5	0	0	1	18	35	44	50	63	124	110	108	51	32	12	0	648		
6	0	0	1	17	37	66	74	84	60	102	81	61	36	13	0	632		
7	0	0	1	18	54	95	134	156	149	142	106	57	31	7	0	950		
8	0	0	0	22	43	93	107	156	131	133	132	99	33	12	0	961		
9	0	0	1	17	57	103	118	58	55	56	48	48	36	12	0	609		
10	0	0	1	18	33	44	53	62	69	73	61	47	32	11	0	504		
11	0	0	1	15	31	42	49	60	74	80	67	47	32	12	0	510		
12	0	0	1	16	33	44	53	59	64	60	61	57	38	12	0	498		
13	0	0	0	15	37	55	66	70	70	71	68	61	41	14	0	568		
14	0	0	1	18	40	72	74	73	75	79	75	58	38	14	0	617		
15	0	0	1	15	32	44	51	58	60	55	48	39	27	13	0	443		
16	0	0	1	16	37	48	56	59	59	58	58	50	35	13	0	490		
17	0	0	1	15	33	44	51	59	65	66	61	49	35	17	0	496		
18	0	0	1	17	35	48	91	70	50	46	44	38	28	11	0	479		
19	0	0	1	18	35	48	59	101	110	84	95	88	46	13	0	698		
20	0	0	1	21	46	77	127	155	138	90	62	49	35	15	0	816		
21	0	0	1	18	60	58	88	101	115	88	80	63	42	16	0	730		
22	0	0	0	17	38	34	67	40	82	90	105	83	45	17	0	618		
23	0	0	1	12	26	80	117	130	102	100	39	51	45	12	0	715		
24	0	0	0	19	45	63	86	79	76	84	77	62	39	15	0	645		
25	0	0	1	22	50	73	81	70	68	62	54	45	33	15	0	574		
26	0	0	1	18	37	47	56	58	55	54	51	45	33	15	0	470		
27	0	0	0	20	51	49	54	59	62	62	58	53	38	17	0	523		
28	0	0	1	24	47	64	77	82	84	85	84	76	51	19	1	695		
29	0	0	0	18	42	58	66	72	76	72	64	57	42	17	1	585		
30	0	0	1	18	42	60	72	78	77	74	69	58	41	17	0	607		
31	0	0	1	19	40	56	66	70	70	68	62	53	39	17	0	561		
N	31	31	31	30	31	31	31	31	31	31	31	31	31	31	31	31		
Total	0	0	26	560	1281	1834	2302	2435	2485	2421	2202	1794	1162	419	2	18923		
Mean	0	0	1	19	41	59	74	79	80	78	71	58	37	14	0	610		
Max	0	0	2	33	64	103	134	156	149	142	132	99	51	19	1	961		
Min	0	0	0	12	26	34	45	40	50	46	39	38	27	7	0	443		

ตารางที่ 6-14 รังสีกระจายอาทิตย์เดือนกุมภาพันธ์

Totals of Diffuse Solar Radiation (sky), x 0.01 MJ/m²

Station : Bangkok (Lat : 13 40' N, Long : 100 37' E) Country : Thailand
Instrument : Pyranometer CM 121 Month Year : February 2007

Time Date	Hourly Totals															Daily Totals
	04-05	05-06	06-07	07-08	08-09	09-10	10-11	11-12	12-13	13-14	14-15	15-16	16-17	17-18	18-19	
1	0	0	1	18	39	54	61	66	66	66	63	55	39	18	1	547
2	0	0	1	18	43	61	74	84	87	85	77	63	44	18	1	656
3	0	0	1	18	45	67	83	94	93	91	82	65	44	18	1	702
4	0	0	1	18	42	60	73	77	77	74	70	56	40	16	0	604
5	0	0	1	18	43	63	78	87	85	78	71	62	42	16	0	644
6	0	0	1	18	47	78	87	105	126	122	126	84	57	24	1	876
7	0	0	1	15	52	82	123	119	119	105	92	73	53	25	1	860
8	0	0	4	21	55	83	88	107	109	98	88	68	50	22	1	794
9	0	0	1	22	54	96	106	93	101	101	83	67	45	20	1	790
10	0	0	1	21	66	88	102	119	101	107	90	67	39	19	1	821
11	0	0	1	20	50	87	104	137	131	118	82	63	47	20	1	861
12	0	0	1	23	45	75	118	124	132	88	68	57	38	13	1	783
13	0	0	1	22	50	68	84	81	69	60	51	48	36	17	1	588
14	0	0	1	23	54	77	101	122	95	71	61	49	37	19	1	711
15	0	0	1	23	47	50	60	66	69	62	53	42	31	17	1	522
16	0	0	2	21	43	44	48	50	49	46	44	37	26	14	1	425
17	0	0	2	22	43	65	89	82	57	39	36	35	26	14	1	511
18	0	0	1	19	52	74	92	73	41	36	36	36	30	17	1	508
19	0	0	1	19	44	54	52	52	51	44	39	35	28	17	1	437
20	0	0	2	19	46	63	81	84	63	50	43	36	30	17	1	535
21	0	0	2	23	48	58	64	67	64	63	60	52	42	26	3	572
22	0	0	1	17	34	62	73	66	61	54	48	43	43	28	3	533
23	0	0	3	41	72	88	120	128	83	57	52	69	75	32	2	822
24	0	0	2	24	53	80	79	86	75	61	62	72	61	24	1	680
25	0	0	2	25	58	80	85	74	67	68	62	52	39	20	1	633
26	0	0	2	23	46	63	79	85	83	75	69	63	44	24	1	657
27	0	0	4	35	52	72	94	102	136	115	81	68	41	22	1	823
28	0	0	2	25	63	85	88	85	80	74	64	52	41	21	1	681

N	28	28	28	28	28	28	28	28	28	28	28	28	28	28	28	28
Total	0	0	44	611	1386	1977	2386	2515	2370	2108	1853	1569	1168	558	31	18576
Mean	0	0	2	22	50	71	85	90	85	75	66	56	42	20	1	663
Max	0	0	4	41	72	96	123	137	136	122	126	84	75	32	3	876
Min	0	0	1	15	34	44	48	50	41	36	36	35	26	13	0	425

ตารางที่ 6-15 รังสีกระจายอาทิตย์เดือนมีนาคม

Totals of Diffuse Solar Radiation (sky), x 0.01 MJ/m ²																
Station	Country : Thailand															
Instrument	Month Year : March 2007															
Hourly Totals																
Time Date	04-05	05-06	06-07	07-08	08-09	09-10	10-11	11-12	12-13	13-14	14-15	15-16	16-17	17-18	18-19	Daily Totals
1	-	-	-	-	-	-	-	-	-	-	-	-	-	-	-	-
2	-	-	-	-	-	-	-	-	-	-	-	-	-	-	-	-
3	0	0	2	29	61	85	91	112	112	97	74	51	36	19	1	770
4	0	0	4	40	68	95	102	123	132	134	110	92	50	34	2	986
5	0	0	3	28	60	87	104	111	108	94	95	76	48	23	1	838
6	0	0	4	33	59	78	86	96	96	84	62	55	38	18	1	710
7	0	0	3	24	43	59	73	77	61	54	42	35	27	15	1	514
8	0	0	4	27	58	73	99	110	106	77	56	46	34	17	1	708
9	0	0	3	25	57	72	81	84	69	55	69	52	38	21	2	628
10	0	0	3	36	60	95	131	131	109	103	114	93	65	26	1	967
11	0	0	5	35	71	73	88	66	64	60	56	50	38	21	1	628
12	0	0	4	33	64	95	111	118	102	82	73	66	50	28	3	829
13	0	0	4	31	63	78	93	114	107	100	92	75	54	29	2	842
14	0	0	4	33	61	73	88	100	96	83	82	72	51	22	0	765
15	0	0	4	27	59	85	104	122	129	125	109	78	51	22	1	916
16	0	0	4	25	60	86	90	108	90	80	70	60	42	19	2	736
17	0	0	4	28	66	92	105	110	103	86	67	52	37	19	1	770
18	-	-	-	-	-	-	-	-	-	-	-	-	-	-	-	-
19	0	0	11	27	59	69	46	110	111	105	89	74	35	17	1	754
20	0	0	6	27	65	97	130	138	155	155	120	68	28	5	0	994
21	0	0	7	41	56	91	107	119	116	111	92	70	55	22	1	888
22	0	0	6	27	41	69	86	84	117	60	108	80	49	24	2	753
23	0	0	8	32	46	60	98	96	75	72	81	78	52	28	2	728
24	0	0	8	35	53	74	80	74	59	54	50	44	48	34	3	616
25	0	0	6	37	51	72	102	107	117	95	72	89	81	38	3	870
26	0	0	6	43	86	85	113	95	72	67	91	103	77	42	4	884
27	0	0	5	39	61	86	103	114	91	65	81	44	71	39	3	802
28	0	0	8	47	69	90	100	99	76	58	57	58	58	40	2	762
29	0	0	8	34	63	80	91	92	78	67	55	47	37	20	2	674
30	0	0	9	36	59	77	111	106	99	80	70	48	33	19	2	749
31	0	0	8	30	55	59	56	60	53	46	45	37	32	21	2	504
N	28	28	28	28	28	28	28	28	28	28	28	28	28	28	28	28
Total	0	0	151	909	1674	2235	2669	2876	2703	2349	2182	1793	1315	682	47	21585
Mean	0	0	5	32	60	80	95	103	97	84	78	64	47	24	2	771
Max	0	0	11	47	86	97	131	138	155	155	120	103	81	42	4	994
Min	0	0	2	24	41	59	46	60	53	46	42	35	27	5	0	504

ตารางที่ 6-16 รังสีกระจายอาทิตย์เดือนเมษายน

Totals of Diffuse Solar Radiation (sky), x 0.01 MJ/m²

Station : Bangkok (Lat : 13 40' N, Long : 100 37' E) Country : Thailand
 Instrument : Pyranometer CM 121 Month Year : April 2007

Time Date	Hourly Totals															Daily Totals
	04-05	05-06	06-07	07-08	08-09	09-10	10-11	11-12	12-13	13-14	14-15	15-16	16-17	17-18	18-19	
1	0	0	7	28	43	53	56	52	47	38	33	31	27	16	2	433
2	0	0	7	29	58	85	91	86	96	90	60	46	34	19	2	703
3	0	0	8	33	59	66	75	44	38	30	152	30	26	14	1	576
4	0	0	8	32	49	84	-	93	92	119	91	66	40	22	2	698
5	0	0	8	27	44	68	97	101	116	123	111	89	55	25	2	866
6	0	0	9	41	78	108	122	54	21	68	114	101	44	20	2	782
7	0	0	2	5	56	84	113	105	126	108	87	93	57	19	2	857
8	0	0	9	37	62	97	126	120	122	101	86	64	47	23	2	896
9	0	0	9	39	61	78	108	108	4	1	-	-	55	17	2	482
10	0	0	10	38	70	103	90	114	118	105	79	57	45	24	2	855
11	0	0	11	39	56	83	119	103	95	98	78	77	23	5	1	788
12	0	0	6	43	59	111	146	132	60	5	51	49	46	22	1	731
13	0	0	11	45	57	94	102	122	109	108	135	91	48	18	2	942
14	0	0	12	48	85	135	138	125	111	130	78	56	45	17	2	982
15	0	0	17	50	82	97	95	78	72	63	76	72	46	21	2	771
16	0	0	10	34	59	80	115	116	141	140	106	109	69	31	2	1012
17	0	0	20	54	64	81	67	68	62	59	47	40	26	12	1	601
18	0	0	8	32	61	75	102	113	98	71	54	43	40	31	3	731
19	0	0	9	48	36	48	129	133	133	107	122	99	64	27	3	958
20	0	0	14	33	72	91	79	97	99	66	54	56	57	24	2	744
21	0	0	17	47	81	95	88	68	71	67	50	42	33	16	2	677
22	0	0	12	29	37	40	42	41	39	38	36	32	26	16	1	389
23	0	0	17	54	73	102	121	125	95	89	74	51	34	20	3	858
24	0	0	13	36	74	98	99	96	103	86	43	37	31	18	1	735
25	0	0	11	37	55	83	83	86	63	49	45	40	37	32	6	627
26	0	0	14	42	50	58	101	137	129	101	120	81	21	0	0	854
27	0	0	18	57	60	64	86	121	105	111	104	101	87	30	3	947
28	0	0	0	0	0	6	11	55	74	82	89	94	65	20	1	497
29	0	0	21	55	94	106	126	135	128	80	6	0	16	13	2	782
30	0	0	1	4	3	0	1	20	91	90	93	76	48	23	1	451
N	30	30	30	30	30	30	29	30	30	30	29	29	30	30	30	30
Total	0	0	319	1096	1738	2373	2728	2848	2658	2423	2274	1823	1292	595	58	22225
Mean	0	0	11	37	58	79	94	95	89	81	78	63	43	20	2	741
Max	0	0	21	57	94	135	146	137	141	140	152	109	87	32	6	1012
Min	0	0	0	0	0	0	1	20	4	1	6	0	16	0	0	389

ตารางที่ 6-17 รังสีกระเจ้ายอาทิตย์เดือนพฤษภาคม

Totals of Diffuse Solar Radiation (sky), x 0.01 MJ/m ²																
Station	Country : Thailand															
Instrument	Month Year : May 2007															
Hourly Totals														Daily		
Time	04-05	05-06	06-07	07-08	08-09	09-10	10-11	11-12	12-13	13-14	14-15	15-16	16-17	17-18	18-19	Totals
Date																
1	-	-	-	-	-	-	-	-	-	-	-	-	-	-	-	-
2	-	-	-	-	-	-	-	-	-	-	-	-	-	-	-	-
3	-	-	-	-	-	-	-	-	-	-	-	-	-	-	-	-
4	0	0	4	18	27	12	26	26	81	116	111	79	47	12	1	560
5	0	0	7	27	69	86	90	150	172	122	70	70	53	15	0	931
6	0	0	18	62	99	84	150	184	173	161	107	107	58	15	1	1219
7	0	0	17	41	61	84	141	134	110	136	94	39	21	14	9	901
8	0	0	16	44	41	78	108	133	105	86	96	76	45	18	2	848
9	0	0	14	37	51	81	78	6	9	0	1	6	38	34	2	357
10	0	0	14	44	54	88	72	2	0	0	0	8	30	24	2	338
11	0	0	6	19	28	7	83	153	125	95	74	99	74	29	3	795
12	0	0	5	12	7	0	4	43	123	149	139	100	76	14	1	673
13	0	0	12	15	15	73	105	5	60	95	94	14	26	20	2	536
14	0	0	14	15	5	43	65	105	77	74	121	94	45	15	0	673
15	-	-	-	-	-	-	-	-	-	-	-	-	-	-	-	-
16	0	1	20	56	9	38	84	82	146	65	57	70	76	40	6	750
17	0	2	20	73	125	73	137	156	134	80	82	94	73	23	2	1074
18	0	1	15	28	11	51	100	111	108	107	54	63	33	18	3	703
19	0	0	17	51	60	56	57	77	104	128	116	63	47	15	2	793
20	0	1	19	41	53	60	80	74	65	49	40	39	45	28	3	597
21	0	0	15	24	37	66	70	71	56	79	75	70	62	32	4	661
22	0	0	16	46	76	108	133	132	144	124	112	76	49	28	4	1048
23	0	1	24	44	47	62	59	82	101	99	70	59	18	30	9	705
24	0	1	15	30	45	77	131	147	134	110	69	79	49	26	6	919
25	0	1	15	38	49	117	96	117	118	121	119	86	36	22	5	940
26	0	0	20	43	49	49	58	65	100	88	81	68	39	25	5	690
27	0	0	17	40	51	47	48	46	77	70	65	57	36	4	1	559
28	0	1	22	54	84	85	114	139	126	106	85	87	74	8	0	985
29	0	1	25	59	77	98	133	142	139	129	124	54	32	25	2	1040
30	0	0	17	55	58	67	96	93	88	100	108	65	40	24	2	813
31	0	0	9	45	85	100	116	135	114	129	129	83	46	16	3	1010
N	27	27	27	27	27	27	27	27	27	27	27	27	27	27	27	27
Total	0	10	413	1061	1373	1790	2434	2610	2789	2618	2293	1805	1268	574	80	21118
Mean	0	0	15	39	51	66	90	97	103	97	85	67	47	21	3	782
Max	0	2	25	73	125	117	150	184	173	161	139	107	76	40	9	1219
Min	0	0	4	12	5	0	4	2	0	0	0	6	18	4	0	338

ตารางที่ 6-18 รังสีกระเจ้ายอาทิตย์เดือนมิถุนายน

Totals of Diffuse Solar Radiation (sky), x 0.01 MJ/m ²																	
Station	Bangkok (Lat : 13 40' N, Long : 100 37' E)													Country	Thailand		
Instrument	Pyranometer CM 121													Month Year	June 2007		
Time		Hourly Totals													Daily		
Date	Time	04-05	05-06	06-07	07-08	08-09	09-10	10-11	11-12	12-13	13-14	14-15	15-16	16-17	17-18	18-19	Totals
1	0	0	18	52	90	101	102	98	91	98	99	75	28	9	2	863	
2	0	1	27	44	46	61	105	115	123	60	20	22	26	11	1	662	
3	0	1	7	45	79	88	112	117	128	74	22	37	46	20	2	778	
4	0	1	18	61	88	97	130	133	144	99	102	91	66	32	5	1067	
5	0	1	22	53	67	84	89	94	90	87	56	64	38	26	5	776	
6	0	1	23	29	32	48	55	43	47	58	28	23	22	14	3	426	
7	0	1	13	19	24	34	59	77	67	47	30	33	40	26	3	473	
8	0	1	15	39	39	90	69	112	115	62	69	57	41	24	4	737	
9	0	2	40	41	77	39	42	65	79	67	48	46	50	24	5	625	
10	0	1	18	27	26	33	38	101	97	53	46	50	50	34	6	580	
11	0	1	15	41	42	33	60	39	34	39	35	31	27	20	5	422	
12	0	0	19	40	45	67	97	105	89	97	89	87	57	27	5	824	
13	0	0	20	50	70	87	96	96	102	66	60	77	60	27	4	815	
14	0	0	18	40	53	63	94	103	98	106	76	62	54	39	8	814	
15	0	0	20	51	78	93	58	60	56	60	81	80	74	31	3	745	
16	0	0	17	55	83	82	75	72	66	81	75	71	77	36	5	795	
17	0	0	18	53	81	82	76	121	126	121	112	88	54	16	1	949	
18	0	0	21	50	52	67	81	116	117	40	36	38	46	35	4	703	
19	0	0	20	47	68	92	92	106	70	43	89	50	52	38	6	773	
20	0	2	21	29	66	89	81	92	94	56	15	39	67	38	7	696	
21	0	0	18	52	96	94	136	127	65	103	100	96	60	36	4	987	
22	0	0	11	34	70	98	115	111	121	136	121	82	35	2	0	936	
23	0	1	21	53	64	84	119	110	62	121	96	38	2	0	0	771	
24	0	0	11	44	94	124	48	47	48	64	41	31	44	8	2	606	
25	0	0	16	58	102	117	135	129	119	92	116	70	45	29	3	1031	
26	0	0	16	40	74	109	103	124	150	148	123	90	77	38	5	1097	
27	0	0	13	49	97	107	115	136	150	133	133	83	39	12	2	1069	
28	0	0	12	40	91	116	140	153	117	108	43	23	15	22	8	888	
29	0	0	14	47	79	76	138	103	133	116	61	119	79	22	1	988	
30	0	0	8	26	65	126	136	192	185	141	133	81	49	14	2	1158	
N		30	30	30	30	30	30	30	30	30	30	30	30	30	30	30	
Total	0	14	530	1309	2038	2481	2796	3097	2983	2576	2155	1834	1420	710	111	24054	
Mean	0	0	18	44	68	83	93	103	99	86	72	61	47	24	4	802	
Max	0	2	40	61	102	126	140	192	185	148	133	119	79	39	8	1158	
Min	0	0	7	19	24	33	38	39	34	39	15	22	2	0	0	422	

ตารางที่ 6-19 รังสีกระจายอาทิตย์เดือนกรกฎาคม

Totals of Diffuse Solar Radiation (sky), x 0.01 MJ/m ²																
Station	Bangkok (Lat : 13 40' N, Long : 100 37' E)													Country	Thailand	
Instrument	Pyranometer CM 121													Month Year	July 2007	
Hourly Totals															Daily	
Time Date	04-05	05-06	06-07	07-08	08-09	09-10	10-11	11-12	12-13	13-14	14-15	15-16	16-17	17-18	18-19	Totals
1	0	0	13	41	107	135	150	146	165	144	104	103	78	39	2	1227
2	0	0	17	48	81	122	171	166	143	124	124	78	30	11	3	1118
3	0	0	15	53	80	107	137	172	169	154	127	90	48	14	1	1167
4	0	0	14	45	88	74	121	143	110	74	106	73	65	25	9	947
5	0	0	20	59	78	92	137	156	119	64	39	17	39	23	3	846
6	0	0	8	36	47	37	49	75	62	48	48	46	32	13	2	503
7	0	0	12	46	88	102	154	108	153	124	74	72	38	2	0	973
8	0	0	13	46	105	129	143	138	106	109	97	92	41	39	5	1063
9	0	1	15	32	55	84	56	59	73	65	74	55	47	16	2	634
10	0	0	12	23	35	71	139	146	151	91	61	64	58	17	1	869
11	0	0	17	25	31	35	84	138	58	106	147	90	67	43	6	847
12	0	0	15	46	78	116	172	168	146	136	134	80	38	27	6	1162
13	0	0	14	43	74	83	129	153	124	130	65	100	60	34	7	1016
14	0	0	10	38	33	109	137	170	175	137	118	66	75	31	8	1107
15	0	0	16	46	86	116	107	114	119	92	108	103	63	33	3	1006
16	0	0	9	57	73	92	121	110	115	69	53	52	42	7	1	801
17	0	0	8	36	69	93	103	132	111	52	37	48	44	24	0	757
18	0	0	15	60	56	85	146	131	110	73	59	61	73	41	6	916
19	0	0	14	43	73	87	97	119	128	127	120	103	76	37	6	1030
20	0	0	15	42	61	70	73	74	100	112	116	30	57	41	5	796
21	0	0	10	39	74	97	110	122	140	100	70	73	79	40	7	961
22	0	0	10	18	38	43	54	70	99	91	84	72	53	31	5	668
23	0	0	11	26	68	-	-	-	-	-	-	-	-	-	-	105
24	-	-	-	-	59	100	146	160	175	146	111	83	53	30	5	1068
25	0	0	11	46	74	106	107	52	11	20	0	0	24	23	4	478
26	0	0	13	43	74	103	115	103	149	137	88	68	61	28	5	987
27	0	0	11	31	46	64	115	40	73	128	85	86	68	45	6	798
28	0	0	17	64	82	103	83	76	114	71	51	75	32	19	2	789
29	0	0	-	-	-	-	109	120	111	98	95	70	60	27	3	693
30	0	0	16	34	83	34	53	66	33	51	73	79	52	29	8	611
31	0	0	9	28	43	37	40	76	113	82	91	99	75	11	0	704
N	30	30	29	29	30	29	30	30	30	30	30	30	30	30	31	
Total	0	1	380	1194	2039	2526	3358	3503	3455	2955	2559	2128	1628	800	121	26647
Mean	0	0	13	41	68	87	112	117	115	99	85	71	54	27	4	860
Max	0	1	20	64	107	135	172	172	175	154	147	103	79	45	9	1227
Min	0	0	8	18	31	34	40	40	11	20	0	0	24	2	0	105

ตารางที่ 6-20 รังสีกระจายอาทิตย์เดือนสิงหาคม

Totals of Diffuse Solar Radiation (sky), x 0.01 MJ/m ²																
Station	Country : Thailand															
Instrument	Month Year : August 2007															
Hourly Totals														Daily		
Time Date	04-05	05-06	06-07	07-08	08-09	09-10	10-11	11-12	12-13	13-14	14-15	15-16	16-17	17-18	18-19	Totals
1	0	0	7	36	86	55	100	118	109	107	103	84	46	9	3	863
2	0	0	18	59	68	88	132	168	118	109	90	59	51	29	5	994
3	0	0	7	35	79	142	79	120	143	110	109	87	73	39	6	1029
4	0	0	8	46	74	117	142	144	131	103	137	98	76	44	7	1127
5	0	0	8	45	82	94	120	147	133	80	72	3	61	30	6	881
6	0	0	3	19	44	74	148	134	168	112	101	81	83	29	3	999
7	0	0	5	38	65	110	102	138	122	106	73	56	38	19	1	873
8	0	0	2	2	24	45	54	67	70	75	60	38	18	12	2	469
9	0	0	10	49	57	73	117	134	133	187	145	111	74	36	6	1132
10	0	0	4	15	25	77	160	187	186	179	130	79	-	-	4	1046
11	0	0	10	52	70	86	120	148	122	85	92	62	20	0	2	869
12	0	0	12	40	58	100	93	119	103	154	131	114	65	35	5	1029
13	0	0	12	50	84	103	126	119	138	146	117	86	53	24	1	1059
14	0	0	14	38	51	58	60	83	108	93	77	58	47	28	6	721
15	0	0	11	45	81	115	133	136	131	143	120	104	75	33	3	1130
16	0	0	10	24	24	96	108	147	126	93	24	42	25	7	1	727
17	0	0	11	50	62	103	128	149	115	108	120	97	72	37	6	1058
18	0	0	5	31	55	78	80	116	133	95	78	54	43	16	1	785
19	0	0	12	34	36	40	45	62	65	106	83	69	40	6	2	600
20	0	0	9	24	31	39	46	64	87	86	79	84	29	0	1	579
21	0	0	11	42	81	93	117	124	137	132	108	73	43	28	3	992
22	0	0	10	45	84	102	107	144	163	137	101	83	42	13	1	1032
23	0	0	6	31	70	92	125	132	141	131	78	31	13	6	1	857
24	0	0	11	43	51	94	116	130	123	129	122	75	43	26	2	965
25	0	0	9	43	70	113	99	94	80	101	71	96	54	26	2	858
26	0	0	11	41	81	63	48	76	85	91	88	43	35	23	1	686
27	0	0	11	40	52	60	110	142	156	130	119	69	42	23	2	956
28	0	0	1	6	23	11	1	29	40	126	120	46	14	16	2	435
29	0	0	11	51	84	99	63	93	42	68	40	86	55	27	2	721
30	0	0	0	6	8	67	67	110	124	158	119	96	61	25	1	842
31	0	0	7	32	35	112	146	156	147	118	40	32	31	22	3	881
N	31	31	31	31	31	31	31	31	31	31	31	30	30	31	31	31
Total	0	0	266	1112	1795	2599	3092	3730	3679	3598	2947	2196	1422	668	91	27195
Mean	0	0	9	36	58	84	100	120	119	116	95	71	47	22	3	877
Max	0	0	18	59	86	142	160	187	186	187	145	114	83	44	7	1132
Min	0	0	0	2	8	11	1	29	40	68	24	3	13	0	1	435

ตารางที่ 6-21 รังสีกระจายอาทิตย์เดือนกันยายน

Totals of Diffuse Solar Radiation (sky), x 0.01 MJ/m ²															
Station	Country : Thailand														
Instrument	Month Year : September 2007														
Hourly Totals															Daily
Time Date	04-05	05-06	06-07	07-08	08-09	09-10	10-11	11-12	12-13	13-14	14-15	15-16	16-17	17-18	18-19 Totals
1	0	0	5	40	72	89	103	154	173	148	107	64	62	29	2 1048
2	0	0	10	36	89	113	135	132	87	81	77	95	71	31	2 959
3	0	0	5	16	9	84	95	117	162	153	116	90	56	25	1 929
4	0	0	6	34	57	107	134	105	110	100	94	85	61	33	2 928
5	0	0	8	47	87	104	119	114	127	146	117	91	64	26	1 1051
6	0	0	11	49	80	102	110	111	88	108	76	70	62	31	2 900
7	0	0	11	40	78	61	38	70	105	122	125	76	46	21	2 795
8	0	0	11	23	28	31	51	57	98	95	92	58	26	13	1 584
9	0	0	10	48	78	92	115	141	107	116	93	45	39	15	0 899
10	0	0	13	61	106	127	120	106	126	110	105	98	58	21	1 1052
11	0	0	8	36	79	113	143	136	144	116	103	88	47	23	1 1037
12	0	0	12	52	57	56	81	81	121	103	73	63	48	20	1 768
13	0	0	0	18	69	101	112	102	129	129	90	80	47	24	1 902
14	0	0	0	4	7	0	26	101	120	57	56	76	62	29	1 539
15	0	0	11	38	77	101	136	135	72	132	119	98	54	9	0 982
16	0	0	12	45	88	61	136	74	43	168	58	25	24	14	0 748
17	0	0	9	55	24	28	99	155	123	109	68	85	60	19	0 834
18	0	0	11	37	78	113	155	172	120	141	104	90	36	14	0 1071
19	0	0	13	52	78	57	112	84	106	151	103	75	72	22	1 926
20	0	0	6	11	12	55	85	147	174	108	50	74	46	14	0 782
21	0	0	11	48	14	3	42	82	102	174	138	70	32	14	0 730
22	0	0	13	43	68	114	139	138	138	149	112	43	52	13	0 1022
23	0	0	14	55	100	146	143	110	115	114	104	99	59	36	0 1095
24	0	0	11	32	54	79	90	108	137	106	115	94	48	16	0 890
25	0	0	13	41	53	65	83	108	130	113	102	88	47	14	0 857
26	0	0	15	33	48	60	89	92	134	115	79	61	21	9	0 756
27	0	0	7	41	54	58	57	91	124	94	87	45	25	10	0 693
28	0	0	1	8	30	35	122	143	107	72	94	85	53	15	0 765
29	0	0	10	47	70	118	71	115	133	112	97	45	35	10	0 863
30	0	0	10	35	53	56	77	103	91	118	48	43	40	9	0 683
N	30	30	30	30	30	30	30	30	30	30	30	30	30	30	30
Total	0	0	277	1125	1797	2329	3018	3384	3546	3560	2802	2199	1453	579	19 26088
Mean	0	0	9	38	60	78	101	113	118	119	93	73	48	19	1 870
Max	0	0	15	61	106	146	155	172	174	174	138	99	72	36	2 1095
Min	0	0	0	4	7	0	26	57	43	57	48	25	21	9	0 539

ตารางที่ 6-22 รังสีกระเจ้ายอาทิตย์เดือนตุลาคม

Totals of Diffuse Solar Radiation (sky), x 0.01 MJ/m ²																
Station	Country : Thailand															
Instrument	Month Year : October 2007															
Hourly Totals																
Time Date	04-05	05-06	06-07	07-08	08-09	09-10	10-11	11-12	12-13	13-14	14-15	15-16	16-17	17-18	18-19	Daily Totals
1	0	0	7	24	32	78	124	120	119	106	93	62	29	4	0	798
2	0	0	14	31	74	94	111	140	133	139	133	100	41	19	0	1029
3	0	0	11	52	86	133	154	161	157	109	61	74	47	11	0	1056
4	0	0	8	42	74	137	171	134	112	133	117	55	40	10	0	1033
5	0	0	5	30	32	48	76	120	118	122	94	66	50	13	0	774
6	0	0	8	46	90	122	113	123	101	113	109	81	31	7	0	944
7	0	0	8	32	53	95	133	133	107	89	79	62	40	14	0	845
8	0	0	8	45	52	105	131	121	132	151	121	82	34	8	0	990
9	0	0	10	48	86	71	54	21	0	3	69	75	24	2	0	463
10	0	0	7	43	34	45	65	100	23	40	51	48	44	5	0	505
11	0	0	6	32	16	0	25	64	108	99	59	28	26	6	0	469
12	0	0	0	0	41	112	131	104	73	55	43	31	8	0	598	
13	0	0	14	63	47	105	150	118	124	66	80	64	46	9	0	886
14	0	0	13	47	78	102	104	93	86	93	42	0	0	0	0	658
15	0	0	10	44	93	85	106	112	94	90	75	44	14	3	0	770
16	0	0	11	52	76	103	113	121	109	72	92	61	30	5	0	845
17	0	0	9	47	75	118	129	86	176	164	123	64	36	10	0	1037
18	0	0	12	41	48	56	66	111	138	125	91	43	32	7	0	770
19	0	0	12	42	61	80	102	144	138	135	112	91	52	9	0	978
20	0	0	7	33	67	111	115	110	120	122	99	76	44	9	0	913
21	0	0	12	50	84	103	110	126	136	126	128	67	25	8	0	975
22	0	0	12	43	68	91	103	103	114	103	80	58	17	3	0	795
23	0	0	5	40	69	91	137	160	156	131	101	64	56	8	0	1018
24	0	0	10	35	82	94	68	61	63	65	64	56	38	11	0	647
25	0	0	10	29	75	74	121	142	125	93	67	63	37	-	-	836
26	0	0	10	38	76	118	118	85	65	72	44	34	23	3	0	686
27	0	0	5	20	58	105	132	152	154	53	64	50	20	4	0	817
28	0	0	9	38	56	128	150	139	112	100	82	43	33	12	0	902
29	0	0	7	45	50	45	80	140	114	76	55	37	24	5	0	678
30	0	0	10	31	39	49	51	63	76	119	118	48	25	4	0	633
31	0	0	2	14	27	53	118	91	51	88	62	89	34	5	0	634
N	31	31	31	31	31	31	31	31	31	31	31	31	31	30	31	
Total	0	0	272	1177	1858	2680	3342	3525	3365	3070	2620	1828	1023	222	0	24982
Mean	0	0	9	38	60	86	108	114	109	99	85	59	33	7	0	806
Max	0	0	14	63	93	137	171	161	176	164	133	100	56	19	0	1056
Min	0	0	0	0	0	0	25	21	0	3	42	0	0	0	0	463

ตารางที่ 6-23 รังสีกระจายอาทิตย์เดือนพฤษจิกายน

Totals of Diffuse Solar Radiation (sky), x 0.01 MJ/m ²																
Station	Country : Thailand															
Instrument	Month Year : November 2007															
Hourly Totals														Daily		
Time	04-05	05-06	06-07	07-08	08-09	09-10	10-11	11-12	12-13	13-14	14-15	15-16	16-17	17-18	18-19	Totals
Date																
1	0	0	11	43	56	67	81	96	96	117	72	41	38	8	0	726
2	0	0	6	43	66	99	113	122	153	137	43	46	48	7	0	883
3	0	0	9	47	87	73	45	95	104	49	71	47	23	7	0	657
4	0	0	8	24							75	54	22	3	0	186
5	0	0	8	26	38	68	112	95	66	54	54	42	22	3	0	588
6	0	0	10	37	66	52	59	74	74	64	56	49	28	3	0	572
7	0	0	9	37	73	98	89	71	57	63	68	50	29	5	0	649
8	0	0	11	33	47	62	78	82	66	65	63	55	14	4	0	580
9	0	0	8	26	39	48	54	57	60	57	52	50	34	6	0	491
10	0	0	8	36	57	70	79	89	106	106	100	79	38	5	0	773
11	0	0	11	44	69	105	114	159	153	118	108	80	18	5	0	984
12	0	0	9	35	58	100	96	119	146	116	113	71	42	6	0	911
13	0	0	7	22	30	42	69	84	100	84	75	72	19	4	0	608
14	0	0	8	39	51	64	91	100	91	68	54	28	18	4	0	616
15	0	0	8	20	73	105	105	125	147	107	101	65	28	4	0	888
16	0	0	7	22	30	35	37	42	44	44	40	29	19	3	0	352
17	0	0	6	21	31	41	43	56	76	82	66	40	27	5	0	494
18	0	0	4	27	35	69	63	113	111	113	84	56	18	4	0	697
19	0	0	1	9	50	96	95	46	96	86	60	41	23	3	0	606
20	0	0	5	18	54	109	101	138	149	147	92	57	21	2	0	893
21	0	0	8	34	52	59	66	76	74	64	58	44	20	2	0	557
22	0	0	12	46	51	60	75	83	93	100	84	80	39	5	0	728
23	0	0	7	28	46	60	65	69	71	70	59	46	28	5	0	554
24	0	0	8	37	58	65	66	67	67	67	65	50	27	3	0	580
25	0	0	6	30	49	61	69	75	82	92	74	53	26	3	0	620
26	0	0	4	28	47	57	61	64	69	68	65	60	30	4	0	557
27	0	0	5	28	46	55	59	62	64	64	60	50	26	4	0	523
28	0	0	6	27	41	51	57	59	57	54	49	40	26	5	0	472
29	0	0	6	29	44	54	61	61	55	51	48	40	26	5	0	480
30	0	0	6	30	47	60	66	67	72	72	71	-	31	7	0	529
N	30	30	30	30	29	29	29	29	29	29	30	29	30	30	30	30
Total	0	0	222	926	1491	1985	2169	2446	2599	2379	2080	1515	808	134	0	18754
Mean	0	0	7	31	51	68	75	84	90	82	69	52	27	4	0	625
Max	0	0	12	47	87	109	114	159	153	147	113	80	48	8	0	984
Min	0	0	1	9	30	35	37	42	44	44	40	28	14	2	0	186

ตารางที่ 6-24 รังสีกระจายอาทิตย์เดือนธันวาคม

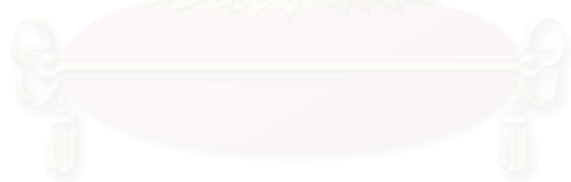
Totals of Diffuse Solar Radiation (sky), x 0.01 MJ/m²

Station : Bangkok (Lat : 13 40' N, Long : 100 37' E) **Country** : Thailand
Instrument : Pyranometer CM 121 **Month Year** : December 2007

Time Date	Hourly Totals															Daily Totals
	04-05	05-06	06-07	07-08	08-09	09-10	10-11	11-12	12-13	13-14	14-15	15-16	16-17	17-18	18-19	
1	0	0	4	24	38	50	56	58	61	67	70	50	28	7	0	513
2	0	0	4	28	44	50	56	65	59	53	46	41	28	7	0	481
3	0	0	3	23	37	48	46	46	61	63	50	36	24	7	0	444
4	0	0	3	17	25	28	29	29	29	35	35	25	19	6	0	280
5	0	0	3	23	41	76	84	64	71	77	82	68	35	5	0	629
6	0	0	3	21	33	40	49	60	63	59	52	40	29	7	0	456
7	0	0	3	23	35	45	43	44	48	54	47	40	26	6	0	414
8	0	0	2	32	62	49	43	43	47	52	61	45	23	7	0	466
9	0	0	3	25	44	54	60	59	59	53	49	44	29	7	0	486
10	0	0	4	31	51	54	61	79	105	104	93	66	38	10	0	696
11	0	0	4	37	52	68	81	90	93	92	76	58	38	9	0	698
12	0	0	3	21	32	41	43	54	65	66	69	50	23	5	0	472
13	0	0	3	25	38	44	47	49	69	71	68	55	30	6	0	505
14	0	0	3	26	53	53	51	51	51	53	55	49	33	9	0	487
15	0	0	2	26	45	81	70	76	82	90	92	57	27	9	0	657
16	0	0	3	22	33	41	50	56	60	58	53	41	28	8	0	453
17	0	0	3	31	56	59	58	48	49	61	62	42	27	7	0	503
18	0	0	2	22	55	80	97	97	64	47	42	46	42	8	0	602
19	0	0	1	16	34	50	58	64	81	100	98	77	36	9	0	624
20	0	0	3	25	34	40	41	51	46	48	46	33	24	9	0	400
21	0	0	2	24	41	59	70	69	65	58	47	39	29	9	0	512
22	0	0	2	29	55	62	65	82	92	85	70	55	38	12	0	647
23	0	0	1	17	43	45	50	44	37	32	29	24	17	6	0	345
24	0	0	2	22	34	47	60	52	49	66	68	73	48	12	0	533
25	0	0	1	17	34	55	80	81	87	79	72	79	45	10	0	640
26	0	0	1	17	34	41	74	72	72	77	74	51	35	7	0	555
27	0	0	2	28	44	72	75	73	78	97	66	42	34	8	0	619
28	0	0	2	33	52	60	52	45	45	62	68	60	26	10	0	515
29	0	0	1	25	37	47	47	50	45	50	60	47	31	9	0	449
30	0	0	1	24	38	48	56	57	48	49	53	47	28	8	0	457
31	0	0	1	19	38	51	59	64	67	74	70	61	43	15	0	562
N	31	31	31	31	31	31	31	31	31	31	31	31	31	31	31	31
Total	0	0	75	753	1292	1638	1811	1872	1948	2032	1923	1541	961	254	0	16100
Mean	0	0	2	24	42	53	58	60	63	66	62	50	31	8	0	519
Max	0	0	4	37	62	81	97	97	105	104	98	79	48	15	0	698
Min	0	0	1	16	25	28	29	29	32	29	24	17	5	0	280	

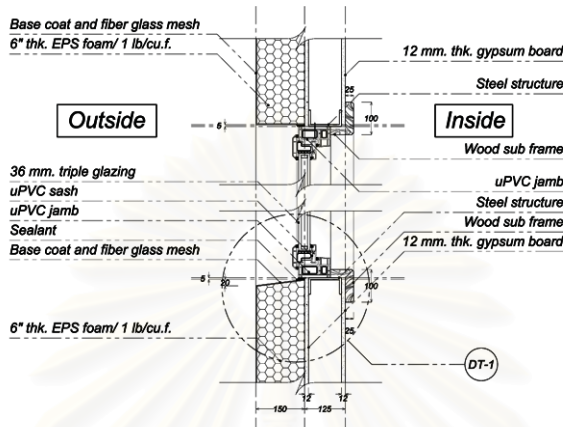


ภาคผนวก ข



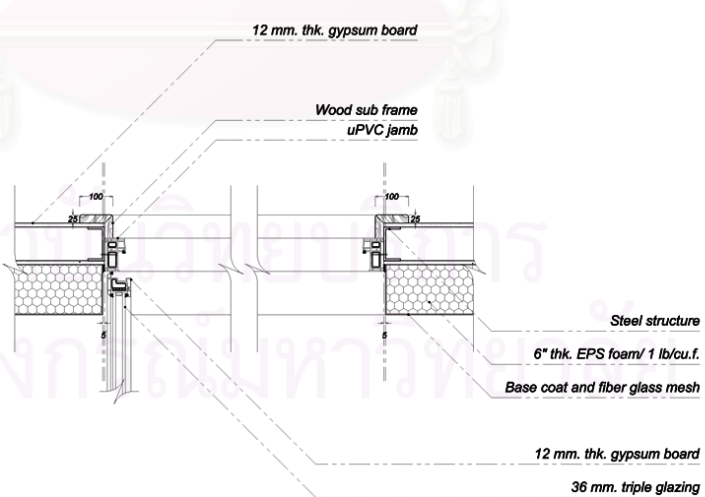
สถาบันวิทยบริการ จุฬาลงกรณ์มหาวิทยาลัย

การทดสอบการติดตั้งช่องเปิดตันแบบบานอาคารจริง
อาคารบ้านชีวاثิพย์ 2



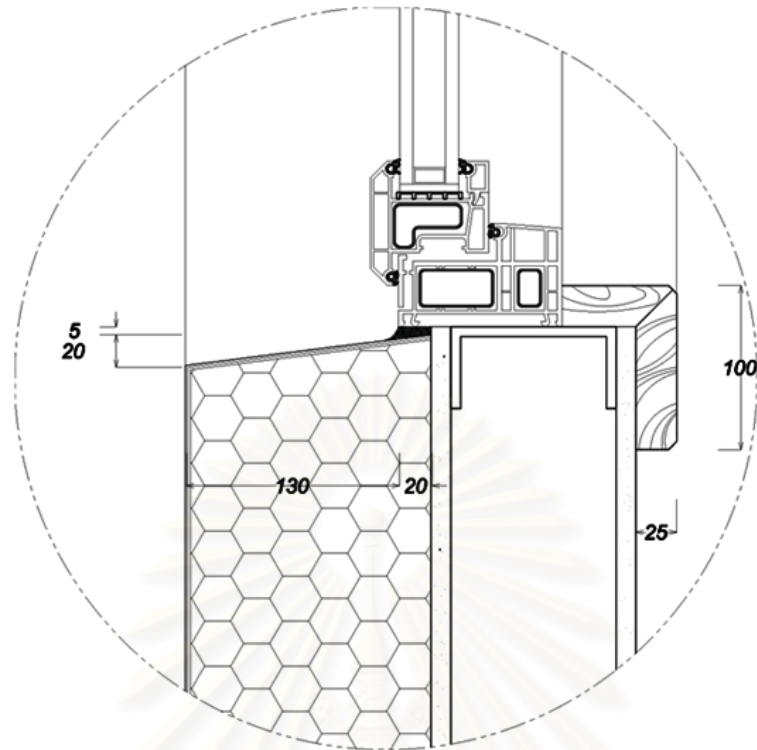
SECTION *Sliding glass window frame with subframe typical section detail*
SCALE 1 : 10

รูปที่ 6-1 แบบรายละเอียดติดตั้งช่องเปิดบานเปิด: รูปตัด



PLAN *Exterior opening door frame with sub frame typical plan detail*
SCALE 1 : 10

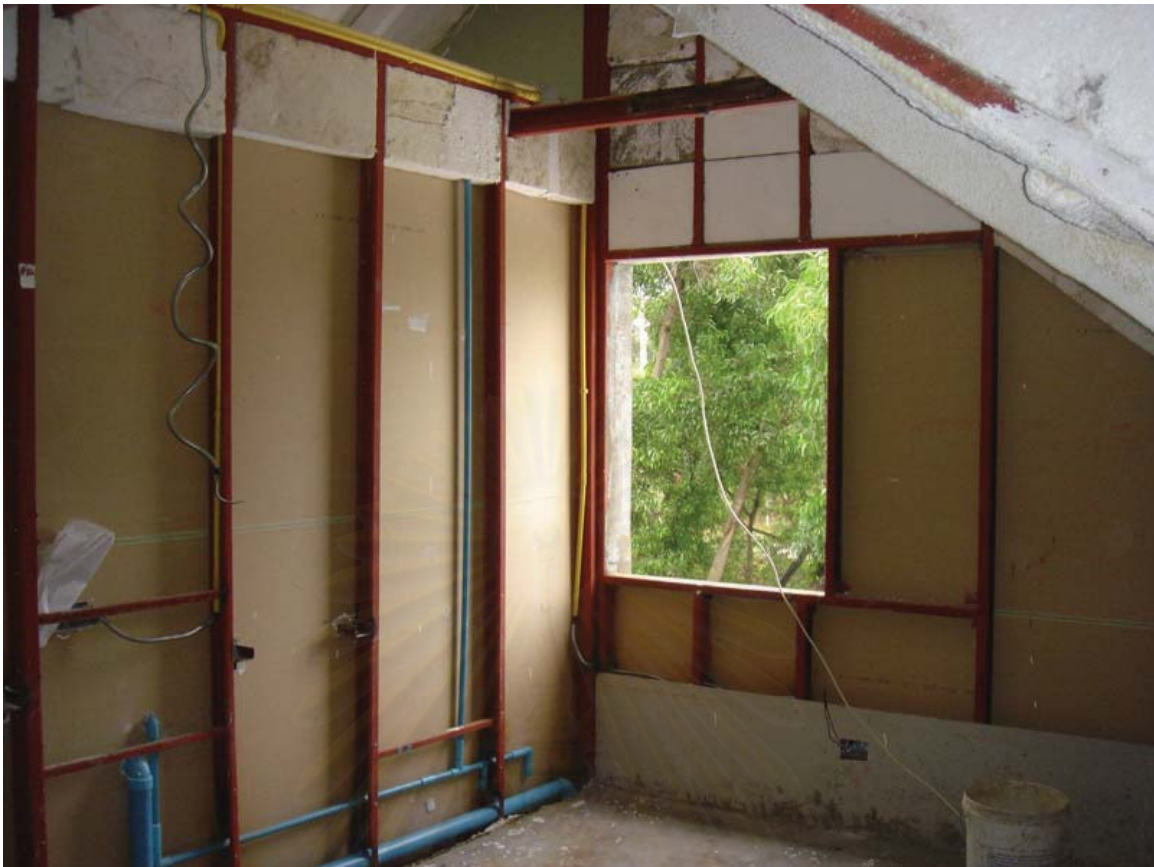
รูปที่ 6-2 แบบรายละเอียดติดตั้งช่องเปิดบานเปิด: ผัง



รูปที่ 6-3 แบบรายละเอียดติดตั้งช่องเปิดบานเปิด: แบบขยายรายละเอียด



รูปที่ 6-4 อาคารบ้านชีวاثิศ 2



รูปที่ 6-5 การเตรียมซ่องเปิดก่อนการติดตั้ง



รูปที่ 6-6 อุปกรณ์วัดระดับซ่องเปิด



รูปที่ 6-7 การติดตั้งช่องเปิด



รูปที่ 6-8 บรรยากาศภายในอาคารหลังการติดตั้ง 1: ช่องเปิดตันแบบบูรณาแบบพิเศษ



รูปที่ 6-9 บรรยากาศภายในอาคารหลังการติดตั้ง 2: ช่องเปิดตันแบบรูปแบบพิเศษ



รูปที่ 6-10 รายละเอียดการติดตั้งช่องเปิดภายใน: ช่องเปิดตันแบบรูปแบบพิเศษ



รูปที่ 6-11 บรรยากาศภายในอาคารหลังการติดตั้ง 3: ช่องเปิดตันแบบซองแสง

จุฬาลงกรณ์มหาวิทยาลัย



รูปที่ 6-12 บรรยากาศภายในอาคารหลังการติดตั้ง 4: ช่องเปิดตันแบบมาตรฐาน



รูปที่ 6-13 บรรยากาศภายนอกอาคาร



รูปที่ 6-14 บรรยากาศภายนอกอาคาร

สถาบันวิทยบริการ
จุฬาลงกรณ์มหาวิทยาลัย

ประวัติผู้เขียนวิทยานิพนธ์

นายวรวุฒิ ศิริวัชภู

เกิดวันพุธที่ 9 กันยายน พ.ศ. 2524

สถานที่เกิด กรุงเทพมหานคร

สถานที่ติดต่อ

ศูนย์เชี่ยวชาญเฉพาะทางด้านเทคโนโลยีอาคาร และสิ่งแวดล้อม ชั้น 11 คณะสถาปัตยกรรมศาสตร์ จุฬาลงกรณ์มหาวิทยาลัย ถนนพญาไท แขวงวงศ์ใหม่ เขตปทุมวัน กรุงเทพ 10330

ประวัติการศึกษา และการทำงาน

พ.ศ. 2541 สำเร็จการศึกษาระดับมัธยมศึกษาตอนปลายจากโรงเรียนเทพศิรินทร์

พ.ศ. 2546 สำเร็จการศึกษาระดับบัณฑิตศึกษาจากคณะสถาปัตยกรรมศาสตร์ จุฬาลงกรณ์มหาวิทยาลัย

พ.ศ. 2547-2548 ประกอบวิชาชีพสถาปนิกบริษัท สถาปนิกหนึ่ง ร้อยสิบ จำกัด

ปัจจุบัน ผู้ช่วยนักวิจัย ศูนย์เชี่ยวชาญเฉพาะทางด้านเทคโนโลยีอาคารและสิ่งแวดล้อม คณะสถาปัตยกรรมศาสตร์ จุฬาลงกรณ์มหาวิทยาลัย

**สถาบันวิทยบริการ
จุฬาลงกรณ์มหาวิทยาลัย**